

Numerische Mathematik

für Studiengang Rechnergestützte Wissenschaften

Profs. Ralf Hiptmair und Rolf Jeltsch

Draft version 15. Januar 2007, Subversion rev #1769

(C) Seminar für Angewandte Mathematik, ETH Zürich

http://www.sam.math.ethz.ch/~hiptmair/tmp/NCSE_06.pdf

Inhaltsverzeichnis

0.1 Danksagung	11
1 Computerarithmetik und Konsequenzen	13
1.1 Beispiele	13
1.2 Zahldarstellung	23
1.3 Gleitpunktarithmetik und Rundungsfehler	27
1.5 Über- und Unterlauf	32
1.6 Kondition	33
1.7 Auslöschung	37
1.8 Stabilität	47

2 Nichtlineare Gleichungen	53
2.1 Iterationsverfahren	54
2.2 Fixpunktiteration	68
2.3 Nullstellenbestimmung von Funktionen	79
2.3.1 Bisektionsverfahren	79
2.3.2 Modelfunktionsverfahren	81
2.3.2.1 Newton-Verfahren in 1D	81
2.3.2.2 Spezielle Einpunktverfahren	83
2.3.2.3 Mehrpunktverfahren	90
2.4 Effizienz	96
2.5 Newton-Verfahren für Gleichungssysteme	99
2.5.1 Die Newton-Iteration	99
2.6.1 Konvergenzanalyse des Newton-Verfahrens	103
2.6.2 Gedämpftes Newton-Verfahren	108
2.6.3 Quasi-Newton-Verfahren	111
2.7 Nichtlineare Ausgleichsrechnung	119
3 Numerische lineare Algebra	127
3.1 Grundbegriffe und -operationen	128
3.1.1 Operationen	129
3.1.2 Matrix-Speicherformate	131
3.1.3 Erinnerung: Normen	137
3.2 Numerische Lösung linearer Gleichungssysteme	139
3.2.1 Theorie und Kondition	140
3.2.2 Die Gaußelimination	146
3.2.3 Die LU-Zerlegung	150
3.2.4 Pivotsuche	157
3.2.5 Symmetrisch positiv definite Matrizen	168
3.2.6 Dünnbesetzte Gleichungssysteme	175
3.2.7 Die QR-Zerlegung	188
3.2.8 Modifikationstechniken	199
3.2.8.1 Rang-1-Modifikationen	199
3.2.8.2 Hinzufügen einer Spalte	207
3.2.8.3 Hinzufügen einer Zeile	211
3.3 Numerische Berechnung von Eigenwerten und Eigenvektoren	213
3.3.1 Theorie und Kondition	214
3.3.2 Transformationsmethoden	218
3.4.1 Potenzmethoden	225
3.4.2 Vorkonditionierte inverse Iteration	235
3.4.3 Krylov-Unterraumverfahren	243
3.4.4 Singulärwertzerlegungen	260
3.5 Numerik linearer Ausgleichsprobleme	272
3.5.1 Orthogonaltransformationsmethode	275

3.5.2 Normalengleichungen	282	4.3 Stückweise Polynome	484
3.5.3 Totales Ausgleichsproblem	285	4.3.1 Stückweise Polynominterpolation	486
3.5.4 Ausgleichsrechnung mit linearen Nebenbedingungen	286	4.3.1.1 Stückweise lineare Interpolation	487
3.6 Krylov-Verfahren für lineare Gleichungssysteme	289	4.3.1.2 Stückweise polynomiale Interpolation von Funktionen	489
3.6.1 Das Verfahren der konjugierten Gradienten (CG)	290	4.3.1.3 Kubische Hermite-Interpolation	494
3.6.1.1 Prinzip des CG-Verfahrens	291	4.3.2 Splines	499
3.6.1.2 Implementierung des CG-Verfahrens	294	4.3.2.1 Splineinterpolation	500
3.6.1.3 Konvergenzgeschwindigkeit	303	4.3.2.2 Form erhaltende Splineinterpolation	507
3.6.2 Vorkonditionierung	309	4.3.3 Bezier-Techniken	514
3.6.3 Weitere Krylov-Unterraumverfahren	315	4.4 Numerische Quadratur	523
3.6.3.1 Residuenminimierende Verfahren	315	4.4.1 Polynomiale Quadraturformeln	524
3.6.3.2 Verfahren mit kurzen Rekursionen	317	4.4.2 Gauss-Quadratur	527
3.7 Spezielle Matrizen	320	4.4.3 Zusammengesetzte Quadraturformeln	536
3.7.1 Diskrete Fouriertransformationen	321	4.6.1 Adaptive Quadratur	544
3.7.1.1 Schnelle Fouriertransformation	326	4.6.2 Numerische Berechnung oszillatorischer Integrale	547
3.8.0.2 Sinustransformation	336	4.7 Multiskalenbasen	547
3.8.0.3 Kosinustransformation	346	5 Numerik Gewöhnlicher Differentialgleichungen	564
3.8.1 Zirkulante Matrizen	348	5.1 Theorie gewöhnlicher Differentialgleichungen	566
3.9.1 Toeplitz-Matrizen	357	5.2 Kondition von Anfangswertproblemen	572
3.9.1.1 Toeplitz-Matrix-Arithmetik	360	5.3 Einschrittverfahren	575
3.9.1.2 Der Levinson-Algorithmus	362	5.3.1 Kollokation	576
4 Interpolation und Approximation	366	5.3.2 Runge-Kutta-Verfahren	581
4.1 Polynomiale Techniken	367	5.4 Konvergenz	588
4.1.1 Polynominterpolation	368	5.4.1 Schrittweitensteuerung für Einschrittverfahren	595
4.1.1.1 Theorie und Kondition	370	5.6 Stabilität	606
4.1.1.2 Algorithmen	377	5.6.1 Modellproblemanalyse	608
4.1.2 Interpolationsfehlerabschätzungen	384	5.7.1 Steifheit	614
4.1.3 Tschebyscheff-Interpolation	391	5.8.1 Einschrittverfahren für steife AWP	618
4.1.4 Trigonometrische Interpolation	402	5.8.2 Implementierung impliziter Runge-Kutta-Einschrittverfahren	627
4.1.4.1 Trigonometrische Polynome	402	5.9 Differential-Algebraische Anfangswertprobleme	629
4.1.4.2 Trigonometrische Interpolation 1-periodischer Funktionen:	407	5.10 Strukturerhaltung	633
4.1.4.3 Trigonometrische Interpolation analytischer Funktionen	415	5.10.1 Nichtexpansivität	633
4.1.4.4 Trigonometrische Interpolation und Tschebyscheff-Interpolation	421	5.10.2 Quadratische erste Integrale	635
4.1.5 Approximation durch Polynome	425	5.10.3 Symplektizität	638
4.1.5.1 Bestapproximation	425	5.10.4 Reversibilität	649
4.1.5.2 Polynomiale Least-Squares Approximation	427	5.11 Splittingverfahren	658
4.1.5.3 Tschebyscheff-Approximation	434	5.12 Verfahren für oszillatorische Differentialgleichungen	664
4.1.6 Clusteringapproximation	441	Verzeichnisse	679
4.1.6.1 Separierte Kernapproximation	444	Stichwortverzeichnis	679
4.1.6.2 Clustertechnik	456	Verzeichnis der Beispiele und Bemerkungen	696
4.1.6.3 Multipol-Matrixmultiplikation	461	Verzeichnis der Definitionen und Konzepte	702
4.2 Dreitermrekursionen	472	Verzeichnis der MATLAB-CODE-Fragmente	705
		Symbolverzeichnis	708

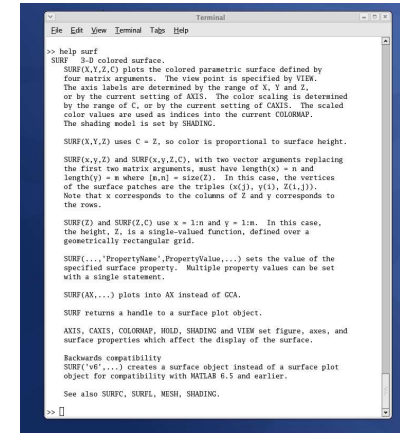
Reporting errors

Fehler in den Vorlesungsunterlagen bitte per [Wiki](#) melden!

<http://elbanet.ethz.ch/wikifarm/rhiptmair/index.php?n>Main.NCSECourse>

Bitte folgende Angaben in den Wiki eintragen:

- Abschnitt, in dem der Fehler gefunden wurde.
- Genauer Ort des Fehlers (z.B. „nach Gleichung (4)“)
- Kurzbeschreibung des Fehlers



The screenshot shows a MATLAB help window for the SURF function. The text describes SURF as a 3-D colored surface plotter. It explains that SURF(X,Y,Z,C) plots the colored parametric surface defined by X, Y, Z, and C, where the view point is specified by VIM. The axis labels are determined by the range of X, Y and Z, or by the current setting of AXES. The color scaling is determined by COLORMAP. If C is a matrix, the columns of C are scaled color values are used as indices into the current COLORMAP. The shading model is set by SHADING. SURF(X,Y,Z) uses C = Z, so color is proportional to surface height. SURF(X,Y,Z) and SURF(x,y,z,c), with two vector arguments replacing the first two matrix arguments, must have length(x) = n and length(y) = m where n and m are the size of the grid. The vertices of the surface patches are the triples (x(j), y(j), z(j)). Note that x corresponds to the columns of z and y corresponds to the rows. SURF(z) and SURF(z,C) use x = 1:m and y = 1:n. In this case, the vertices of the surface patches are the triples (x(j), y(j), z(j)). SURF(...,'PropertyName',PropertyValue,...) sets the value of the specified surface property. Multiple property values can be set with a single statement. SURF(AX,...) plots into AX instead of CAX. SURF returns a handle to a surface plot object. AXES, CAXES, COLORBAR, HOLD, SHADING, and VIEW set figure, axes, and surface properties which affect the display of the surface. Backwards compatibility SURF('v6',...) creates a surface object instead of a surface plot object for compatibility with MATLAB 6.5 and earlier. See also SURFC, SURFL, MESH, SHADE. >> []

MATLAB-LINKS:

[Matlab Online Documentation from the Mathworks](#)

[MATLAB guide](#)

[MATLAB Primer](#)

MATLAB

Beispielrechnungen und Übungen zur Vorlesung stützen sich auf die für numerische Berechnungen konzipierte Hochsprache [MATLAB](#) („Matrix Laboratory“) von der Firma MATHWORKS.

Matlab ist eine Interpretersprache und verfügt über folgende Möglichkeiten:

- Mächtige Funktionen für Vektor- und Matrixarithmetik und -manipulationen
- Kontrollstrukturen, wie if ... else ... end, for/while ... end
- Modularisierung durch Unterprogramme
- Bibliotheken für komplexe numerische Aufgaben
- Umfangreiche Visualisierungsfunktionen

Einarbeitung in MATLAB: Am besten durch „Learning by doing“ unter Zuhilfenahme der ausführlichen Online-Hilfsmenüs.

0.1 Danksagung

- 0.0 p. 9 Wertvolle Beiträge zur Entstehung und Verbesserung der vorliegenden Präsentationsfolien haben geleistet:
- Herr Martin Knoller Stocker (Student RW): Erstellung des Index und der Verzeichnisse im SS05
 - Herr Christian Heitzmann (Student RW): Umfangreiche Fehlerlisten im WS 04/05
 - Frau Gisela Widmer (Doktorandin RW): Korrekturlesen als Assistentin der Vorlesung im WS 04/05, WS 05/06, WS 06/07
 - Herr Henning Avenhaus und Herr Christoph Scherrer (Studenten RW): Aufarbeitung der vorlesungsbegleitenden MATLAB-Skripten

Computerarithmetik und Konsequenzen

Viele Beispiele aus diesem Kapitel sind den ersten Kapiteln von [16] und [28] entnommen. Zum weiterführenden Studium sind Kapitel 2 von [12] und das Buch [29] empfohlen.

1.1 Beispiele

[File: section-beispiele.tex, SVN: chapter-computerarithmetik-und-konsequenzen.tex 1035 2006-10-09 11:41:18Z kalai]

Rechner rechnen falsch !

Numerik \neq Analysis

Beispiel 1 (Berechnung der Eulerschen Zahl).

n	Näherung e_n	Fehler $e_n - e$
10^1	2.593742460100002	-0.124539368359044
10^2	2.704813829421529	-0.013467999037517
10^3	2.716923932235520	-0.001357896223525
10^4	2.718145926824356	-0.000135901634689
10^5	2.718268237197528	-0.000013591261517
10^6	2.718280469156428	-0.000001359302618
10^7	2.718281693980372	-0.000000134478673
10^8	2.718281786395798	-0.000000042063248
10^9	2.718282030814509	0.000000202355464
10^{10}	2.718282053234788	0.000000224775742
10^{11}	2.718282053357110	0.000000224898065
10^{12}	2.718523496037238	0.000241667578192
10^{13}	2.716110034086901	-0.002171794372145
10^{14}	2.716110034087023	-0.002171794372023
10^{15}	3.035035206549262	0.316753378090216

Bekannt aus Analysis I:

$$e = \lim_{n \rightarrow \infty} \left(1 + \frac{1}{n}\right)^n$$

MATLAB-CODE: Näherung für e

```
Approximation of e
for i=1:15
    n = 10^i; r = (1+1/n)^n;
    fprintf('10^%2d %20.15f ...
        %20.15f\n', i,r,r-exp(1));
end
```

Beispiel 2 („Quadratur des Kreises“).

COMPUTE Approximation durch reguläres n -Eck, $n \in \mathbb{N}$:

Fläche des n -Ecks:

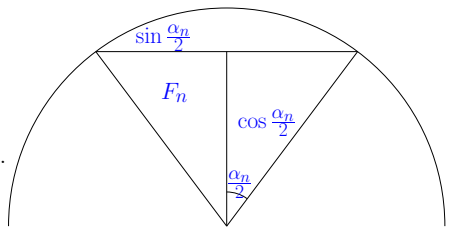
$$A_n = n \cos \frac{\alpha_n}{2} \sin \frac{\alpha_n}{2} = \frac{n}{2} \sin \alpha_n = \frac{n}{2} \sin\left(\frac{2\pi}{n}\right).$$

REKURSION

Rekursion für A_n abgeleitet von

$$\sin \frac{\alpha_n}{2} = \sqrt{\frac{1 - \cos \alpha_n}{2}} = \sqrt{\frac{1 - \sqrt{1 - \sin^2 \alpha_n}}{2}},$$

Startwert: $A_6 = \frac{3}{2}\sqrt{3}$.



MATLAB-CODE: Instabile Rekursion für Pi

```
s = sqrt(3)/2; A=3*s; n = 6; % initialization
z = [n A A-pi s]; % matrix for storing results
while (s > 1e-10) % terminate when s is small
    s = sqrt((1-s*s)/2); % Recursion
    n=2*n; A = n/2*s;
    z = [z; n A A-pi s]; % store results
end
for i=1:length(z)
    fprintf('%10d %20.15f %20.15f %20.15f\n', ...
        z(i,1),z(i,2),z(i,3),z(i,4));
end
```

1.1
p. 13

1.1
p. 14

1.1
p. 15

1.1
p. 16

n	A_n	$A_n - \pi$	$\sin \alpha_n$
6	2.598076211353316	-0.543516442236477	0.866025403784439
12	3.000000000000000	-0.141592653589794	0.500000000000000
24	3.105828541230250	-0.035764112359543	0.258819045102521
48	3.132628613281237	-0.008964040308556	0.130526192220052
96	3.139350203046872	-0.002242450542921	0.065403129230143
192	3.141031950890530	-0.000560702699263	0.032719082821776
384	3.141452472285344	-0.000140181304449	0.016361731626486
768	3.141557607911622	-0.000035045678171	0.008181139603937
1536	3.141583892148936	-0.000008761440857	0.004090604026236
3072	3.141590463236762	-0.000002190353031	0.002045306291170
6144	3.141592106043048	-0.000000547546745	0.001022653680353
12288	3.141592516588155	-0.000000137001638	0.000511326906997
24576	3.141592618640789	-0.000000034949004	0.000255663461803
49152	3.141592645321216	-0.00000008268577	0.000127831731987
98304	3.141592645321216	-0.00000008268577	0.000063915865594
196608	3.141592645321216	-0.00000008268577	0.000031957932997
393216	3.141592645321216	-0.00000008268577	0.000015978966498
786432	3.141593669849427	0.000001016259634	0.000007989485855
1572864	3.141592303811738	-0.000000349778055	0.000003994741190
3145728	3.141608696224804	0.000016042635011	0.000001997381017
6291456	3.141586839655041	-0.000005813934752	0.000000998683561
12582912	3.141674265021758	0.000081611431964	0.000000499355676
25165824	3.141674265021758	0.000081611431964	0.000000249677838
50331648	3.143072740170040	0.001480086580246	0.000000124894489
100663296	3.159806164941135	0.018213511351342	0.00000062779708
201326592	3.181980515339464	0.040387861749671	0.000000031610136
402653184	3.354101966249685	0.212509312659892	0.000000016660005
805306368	4.242640687119286	1.101048033529493	0.000000010536712
1610612736	6.000000000000000	2.858407346410207	0.000000007450581

Relativer Fehler eines Resultats \leftrightarrow Anzahl der gültigen Stellen

1.1
p. 17

Beispiel 3 (Auswertung der Exponentialfunktion).

EXPONENTIALREIHE

Global konvergente Exponentialreihe :

$$\begin{aligned}\exp(x) &= \sum_{k=0}^{\infty} \frac{x^k}{k!} \\ &= 1 + x + \frac{x^2}{2} + \frac{x^3}{6} + \frac{x^4}{24} + \dots\end{aligned}$$

MATLAB: Summation Exp.-Reihe

```
function y = expeval(x,tol)
% Evaluation of exponential series
s=1; term=1; k=1; % Initialization
while (abs(term)>tol*abs(s))
    term = term*x/k;
    s = s + term;
    k = k+1;
end
y = s;
```

Numerisches Experiment: Untersuchung des relativen Fehlers im Ergebnis für $\text{tol} = 10^{-8}$

Definition 1.1.1 (Relativer Fehler). $f(x) \in \mathbb{C} \hat{=} (\text{theoretisch}) \text{exaktes Resultat einer Berechnung}, \tilde{f}(x) \in \mathbb{C} \hat{=} \text{Näherung}. \text{Falls } f(x) \neq 0 \rightarrow \text{relativer Fehler (engl.: relative error) gegeben durch}$

$$\epsilon_r := \frac{|f(x) - \tilde{f}(x)|}{|f(x)|}$$

Warum betrachten wir den relative Fehler?

x	Approximation $\widetilde{\exp}(x)$	$\exp(x)$	$\frac{ \exp(x) - \widetilde{\exp}(x) }{\exp(x)}$
-20	5.6218844674e-09	2.0611536224e-09	1.727542676201181
-18	1.5385415977e-08	1.5229979745e-08	0.010205938187564
-16	1.1254180496e-07	1.1253517472e-07	0.000058917020257
-14	8.3152907681e-07	8.3152871910e-07	0.000000430176956
-12	6.1442133148e-06	6.1442123533e-06	0.000000156480737
-10	4.5399929556e-05	4.5399929762e-05	0.000000004544414
-8	3.3546262817e-04	3.3546262790e-04	0.000000000788902
-6	2.4787521758e-03	2.4787521767e-03	0.000000000333306
-4	1.8315638879e-02	1.8315638889e-02	0.000000000530694
-2	1.3533528320e-01	1.3533528324e-01	0.000000000273603
0	1.0000000000e+00	1.0000000000e+00	0.000000000000000
2	7.3890560954e+00	7.3890560989e+00	0.000000000479969
4	5.4598149928e+01	5.4598150033e+01	0.0000000001923058
6	4.0342879295e+02	4.0342879349e+02	0.0000000001344248
8	2.9809579808e+03	2.9809579870e+03	0.0000000002102584
10	2.2026465748e+04	2.2026465795e+04	0.0000000002143800
12	1.6275479114e+05	1.6275479142e+05	0.0000000001723845
14	1.2026042798e+06	1.2026042842e+06	0.0000000003634135
16	8.8861105010e+06	8.8861105205e+06	0.0000000002197990
18	6.5659968911e+07	6.5659969137e+07	0.0000000003450972
20	4.8516519307e+08	4.8516519541e+08	0.0000000004828738

1.1
p. 18

1.1
p. 19

1.2 Zahldarstellung

[File: section-zahldarstellung.tex, SVN: section-zahldarstellung.tex 1371 2007-04-04 10:42:11Z hiptmair]

ZAHLDARSTELLUNG

Beispiel 4 (Summation der Harmonischen Reihe).

MATLAB-CODE: Summation vorwärts
 $s = 0;$
 $\text{for } i = 1:1e6$
 $\quad s = s+1/i;$
 end

← ? →
 „+“ assoziativ !?

$$s := \sum_{k=1}^{100000} \frac{1}{k}$$

MATLAB-CODE: Summation rückwärts
 $s = 0;$
 $\text{for } i = 1e6:-1:1$
 $\quad s = s+1/i;$
 end

➤ $s = 14.39272672286498889$

[„Exakte“ Auswertung durch MAPLE-Code: ➤ $s = 14.39272672286572363138112749\dots$]

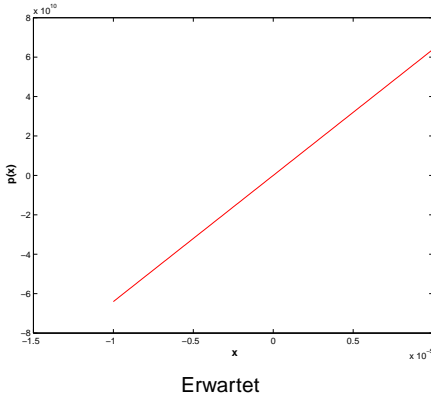
Beispiel 5 (Probleme bei Polynomauswertung).

p : Polynom, Grad 19

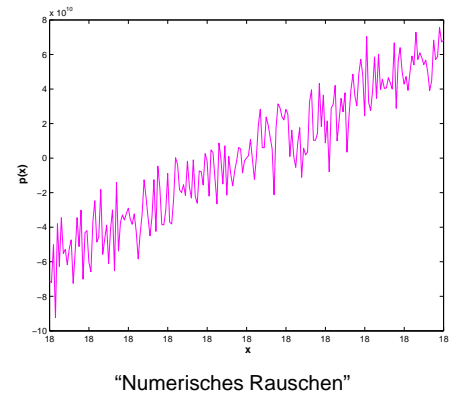
$$p(x) = x^{19} + \alpha_{18}x^{18} + \dots + \alpha_1x + \alpha_0$$

mit Nullstellen $0, 1, 2, \dots, 18$

➤ Symmetrie $p(9-x) = p(9+x)$



MATLAB-CODE: Polynomauswertung
 $p = \text{poly}(0:18);$
 $x = -1E-5:1E-7:1E-5;$
 $y = \text{polyval}(p,x);$
 $\text{plot}(x,y,'r-');$
 $y = \text{polyval}(p,x+18);$
 $\text{plot}(x+18,y,'m-');$



Computer = endlicher Automat

rechnet mit endlich vielen Zahlen

Bemerkung 6 (Zahldarstellung durch Exponent und Mantisse: “wissenschaftliche Notation”).

Basis $B \in \mathbb{N} \setminus \{1\}$ fest: $\forall x \in \mathbb{R}: \exists_1 B^{-1} \leq d < 1, \exists_1 E \in \mathbb{Z}: x = d \cdot B^E$.

Mantisse Exponent

MSTELLDEZZAHL

Beispiel 7 (m -stellige Dezimalzahlen).

3-stellige Dezimalzahlen $B = 10, 0.1 \leq d < 1$:

1.1 Gültig : $0.145 \cdot 10^5, -0.100 \cdot 10^7, 0.450 \cdot 10^{-20}$
 p. 21 Ungültig : $1.345 \cdot 10^2, 0.001 \cdot 10^4$

➤ Computer speichern Mantissen und Exponenten nur mit *endlich vielen Stellen*:

2. Definition 1.2.1 (Maschinenzahlen). Die Menge \mathbb{M} der **Maschinenzahlen** (engl. *machine numbers*) zur Basis $B \in \mathbb{N} \setminus \{1\}$, mit m -stelliger **Mantisse** d , $m \in \mathbb{N}$, und **Exponentenbereich** $\{e_{\min}, \dots, e_{\max}\}$, $e_{\min}, e_{\max} \in \mathbb{Z}$, ist gegeben durch

$$\mathbb{M} := \{d \cdot B^E : d = i \cdot B^{-m}, i = B^{m-1}, \dots, B^m - 1, E \in \{e_{\min}, \dots, e_{\max}\}\}$$

Niemals = 0!
 Maschinenzahl $\in \mathbb{M}$: $x = \pm [\square \square \square \dots \square \square] \cdot B^E$
 m Mantissenstellen Exponentenstellen

➤ Betraggrößte Maschinenzahl : $x_{\max} = (1 - B^{-m}) \cdot B^{e_{\max}}$
 Betragkleinste Maschinenzahl : $x_{\min} = B^{-1} \cdot B^{e_{\min}}$

Bemerkung 8. Endlichkeit von \mathbb{M} ➤ (Unvermeidliche) Eingabefehler (z.B. für $x = \pi$)

IEEESTANDARD GLEITKOMMAZAHLEN Beispiel 9 (IEEE Standard 754 für Gleitkommazahlen*). (engl. *floating point numbers*) → [35]

1.2
 p. 22 Natürlich: $B = 2$ (Binärsystem)

1.2

p. 23

1.2
 p. 24

EINFÄHRUNG

Einfache Genauigkeit (single precision) : $m = 24^*$, $E \in \{-125, \dots, 128\}$ ≥ 4 Byte

DOPPELGE nauigkeit

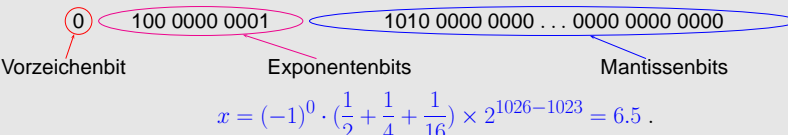
Doppelte Genauigkeit (double precision) : $m = 53^*$, $E \in \{-1021, \dots, 1024\}$ ≥ 8 Byte

*: Konsequent wird in dieser Vorlesung ein Dezimalpunkt verwendet.

*: Ein Vorzeichenbit ist inbegriffen.

Bemerkung 10 (Interne Binärdarstellung einer Gleitkommazahl doppelter Genauigkeit (MATLAB)).

```
>> format hex  
>> 6.5  
ans = 401a000000000000
```



Bemerkung 11 (Sonderfälle im IEEE Standard).

```
>> x = exp(1000), y = 3/x, z = x*sin(pi), w = x*log(1)  
x = Inf  
y = 0  
z = Inf  
w = NaN
```



NAN NOT A NUMBER

$E = e_{\max}, M \neq 0 \hat{=} \text{NaN} = \text{Not a number} \rightarrow \text{Ausnahme (engl. exception)}$

$E = e_{\max}, M = 0 \hat{=} \text{Inf} = \text{Infinity}$ Überlauf (\rightarrow Abschnitt I.5)

$E = 0 \hat{=} \text{Unnormalisierte Zahlen} \rightarrow \text{Unterlauf} (\rightarrow \text{Abschnitt I.5})$

$E = 0, M = 0 \hat{=} \text{Gleitkommazahl } 0$

Beispiel 12. Charakteristische Größen der IEEE Gleitpunktarithmetik (doppelte Genauigkeit)

Relevant für Rechnungen mit MATLAB

Parameter der Gleitkommaarithmetik in MATLAB

```
>> format hex; realmin, format long; realmin  
ans = 0010000000000000  
ans = 2.225073858507201e-308
```

```
>> format hex; realmax, format long; realmax  
ans = 7fffffffffffff  
ans = 1.797693134862316e+308
```



Konsequenzen der Gleitpunktarithmetik sind aktuelles Forschungsthema: [BPZ07], siehe auch die Monographie [Hig96]

1.3 Gleitpunktarithmetik und Rundungsfehler

[File: section-gleitpunktarithmetik-und-rundungsfehler.tex, SVN: section-zahldarstellung.tex 1371 2007-04-04 10:42:11Z hiptmair]

GLEITPUNKTARITHMETIK

1.2
p. 25

1. Beobachtung: Maschinenzahlenmenge (\rightarrow Def. I.2.1) \mathbb{M} ist endlich!

Beispiel 13. Abbruchkriterium von Iterationen unter Ausnutzung von Gleitpunktarithmetik:

WURZELITERATION

Wurzeliteration für $a > 0$:

$$x^{(k+1)} = \frac{1}{2}(x^{(k)} + \frac{a}{x^{(k)}}) \rightarrow \sqrt{a} \text{ for } k \rightarrow \infty.$$

Monotonie:

$$x^{(0)} > \sqrt{a} > \sqrt{a} < x^{(k)} < x^{(k-1)} \forall k \in \mathbb{N}.$$

MASCHINENABGABEKRIT

Maschinennahängiges Abbruchkriterium

MATLAB-CODE: Wurzeliteration

```
function y=squareRoot(a)
xo = 0.5*(1+a);
xn = (xo+a/xo)/2;
while (xn<xo)
    xo = xn; xn = (xo+a/xo)/2;
end
y = (xo+xn)/2;
```

1.3

p. 27

2. Beobachtung: Maschinenzahlenmenge \mathbb{M} (\rightarrow Def. I.2.1) nicht abgeschlossen unter den elementaren arithmetischen Operationen $+,-,\cdot,/$.

RUNDFEHLER
Unvermeidlich: Rundungsfehler

Rundung:

$$rd(x) = \arg \min_{\tilde{x} \in \mathbb{M}} |x - \tilde{x}|$$

(größere Gleitkommazahl bei Nichteindeutigkeit, "Aufrunden")

Beispiel 14 (Eingabefehler und Rundungsfehler).

1.2
p. 26

1.3

p. 28

MATLAB-CODE: Demonstration von Rundungsfehlern

```
>> format long;
>> a = 4/3; b = a-1; c = 3*b; e = 1-c
e = 2.220446049250313e-16
```

Notation: Realisierung von $\star \in \{+, -, \cdot, /\}$ in Gleitpunktarithmetik $\rightarrow \tilde{\star}$

DEFEPS
§ Definition 1.3.1 (Maschinengenauigkeit). Die **Maschinengenauigkeit** (engl. machine precision) eines Maschinenzahlensystems nach Def. I.2.1 ist gegeben durch

$$\text{eps} := \frac{1}{2}B^{-m+1}.$$

RELRUNDFEHLER Relativer Rundungsfehler $\frac{|rd(x) - x|}{|x|} \leq \text{eps}$.

Beispiel 15 (Abfrage der Maschinengenauigkeit in MATLAB). (Prozessor Intel Pentium)

Abfrage der Maschinengenauigkeit in MATLAB

```
>> format hex; eps, format long; eps
ans = 3cb0000000000000
ans = 2.220446049250313e-16
```

Axiom „Axiom“ der Gleitpunktarithmetik: Für die elementaren arithmetischen Operationen $\star \in \{+, -, \cdot, /\}$ und elementare Funktionen $f \in \{\exp, \sin, \cos, \log, \dots\}$ gilt

$$x \tilde{\star} y = (x \star y)(1 + \delta), \quad \tilde{f}(x) = f(x)(1 + \delta) \quad \forall x, y \in \mathbb{M},$$

mit $|\delta| < \text{eps}$, $\text{eps} = \text{Maschinengenauigkeit} (\rightarrow \text{Def. I.3.1})$

► Relative Rundungsfehler elementarer Rechenschritte beschränkt durch Maschinengenauigkeit

Bemerkung 16 (Realisierung von $\tilde{+}, \tilde{-}, \tilde{\cdot}, \tilde{/}$).

$$\star \in \{+, -, \cdot, /\}: \quad x \tilde{\star} y := rd(x \star y) \quad (1.3.1)$$

1.3
p. 30

Warum sollen uns diese winzigen Rundungsfehler kümmern?

- Sie sollten (\rightarrow siehe Abschnitt I.1.1):
- Akkumulation von Rundungsfehlern
 - Verstärkung von Rundungsfehlern

Bemerkung 17. Rundung ► Operationen $\tilde{+}, \tilde{-}, \tilde{\cdot}, \tilde{/}: \mathbb{M} \times \mathbb{M} \mapsto \mathbb{M}$ nicht assoziativ! (\rightarrow Beispiel I.4)

Beispiel 18 (Nichtassoziativität der Maschinenaddition). 3-stellig Dezimalarithmetik, $\tilde{+}$ gemäß (I.3.1)

$$\rightarrow 0.100 \cdot 10^4 \tilde{+} 1 = rd(0.100 \cdot 10^4) = 0.100 \cdot 10^4 !$$

$$\blacktriangleright \quad \begin{matrix} 1000 \tilde{+} 1 \tilde{+} \dots \tilde{+} 1 \\ 1000 \times \end{matrix} = 1000 \leftrightarrow \begin{matrix} 1 \tilde{+} \dots \tilde{+} 1 \tilde{+} 1000 \\ 1000 \times \end{matrix} = 2000 .$$

Bemerkung 19 (Numerische Nullabfrage).

Eine Konsequenz von Rundungsfehlern:

Abfragen wie `if (x == 0)` oft sinnlos/gefährlich, falls x Rechenergebnis

! ► Besser: Abfrage `if (abs(x) < eps*s) ...`,
 $s = \text{positive Zahl, relativ zu der } x \text{ „klein“ sein soll.}$

1.3
p. 29

1.4
p. 31

Übung 1.4. Gauge the relative error in the function evaluation $x * \log(x)$ (can be plotted in MATLAB with `ezplot(@(x) x.*log(x), [0, 5])`)

1.5 Über- und Unterlauf

[File: section-ueber-und-unterlauf.tex, SVN: section-gleitpunktarithmetik-und-rundungsfehler.tex 1081 2006-10-27 14:13:07Z hiptmair]

ÜBERLAUF

Überlauf (engl. overflow) $\hat{=} |\text{Resultat einer elementaren Operation}| > \max\{\mathbb{M}\}$

UNTERLAUF $\hat{=} \text{IEEE Standard} \Rightarrow \text{Inf}$

Unterlauf (engl. underflow) $\hat{=} 0 < |\text{Resultat einer elementaren Operation}| < \min\{|\mathbb{M} \setminus \{0\}|\}$

$\hat{=} \text{IEEE Standard} \Rightarrow \text{unnormalisierte Zahlen (!)}$

Bemerkung 20. Axiom der Gleitpunktarithmetik gilt nicht bei Unterlauf: MATLAB Beispiel

MATLAB-CODE: Unterlauf

```
>> format long; res=pi*realmin/123456789101112
res = 5.681754927174335e-322
>> res=res*123456789101112/realmin
res = 3.15248510554597
```

1.5
p. 32

Vermeide Über- und Unterlauf wann immer möglich !

Beispiel 21 (Vermeidung von Überlauf).

$$r = \sqrt{x^2 + y^2}$$

Naive Auswertung: Überlauf für $x \gg 1, y \gg 1$

$$r = \begin{cases} |x|\sqrt{1+(y/x)^2} & \text{wenn } |x| \geq |y|, \\ |y|\sqrt{1+(x/y)^2} & \text{wenn } |y| > |x|. \end{cases}$$

\Rightarrow Überlauf vermieden

1.6 Kondition

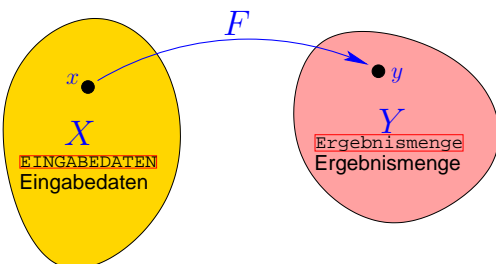
[File: section-kondition.tex, SVN: section-kondition.tex 1037 2006-10-09 13:23:05Z kalai]

KONDITION

Die Kondition ist eine intrinsische Eigenschaft eines Problems

Hier:
KONDPROBL Problem = Mathematisch wohldefinierte Vorschrift, wie aus Eingabedaten (Input) ein Ergebnis (Output) erhalten werden kann.

- X : Datenmenge
- Y : Ergebnismenge
- F : „Problemfunktion“ $X \mapsto Y$
- d_X : Metrik auf X
- d_Y : Metrik auf Y
- Die Metriken (Abstandsmasse) auf X und Y sind „sinnvoll“ zu wählen.



Definition 1.6.1 (Gut konditioniertes Problem). Ein Problem $F : X \mapsto Y$ heisst **gut konditioniert** zum Input $x \in X$ (engl. well conditioned), wenn „kleine Störungen in den Eingabedaten ebenso kleine Störungen im Ergebnis hervorrufen“, das heisst

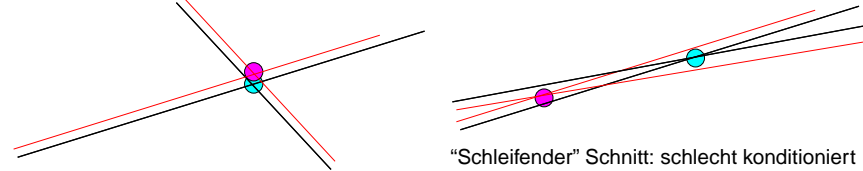
$$\exists \kappa_{\text{abs}} \approx 1: d_Y(F(x), F(y)) \leq \kappa_{\text{abs}} d_X(x, y) \quad \forall y \in \mathcal{U}(x)$$

für eine Umgebung $\mathcal{U}(x)$ von x in X .

κ_{abs} = **absolute Konditionszahl**, misst Verstärkung von Fehlern in den Eingabedaten.



Beispiel 22. Schnitt von Geraden (mit Abstandsmetrik)



„Schleifender“ Schnitt: schlecht konditioniert

DIFFKONDANAL

Differentielle Konditionsanalyse: betrachte Spezialfall: $X, Y \subset \mathbb{R}$, Betragsmetrik

Falls f differenzierbar: $\delta y := f(x + \delta x) - f(x) = f'(\xi)\delta x$, mit $\xi \in [x, x + \delta x]$

Falls f stetig differenzierbar: $\delta y = f'(x)\delta x + O(\delta x^2)$

Falls $x \neq 0, y := f(x) \neq 0, f$ stetig differenzierbar

$$\frac{\delta y}{y} \approx f'(x) \frac{\delta x}{f(x)} = \left(f'(x) \frac{x}{f(x)} \right) \frac{\delta x}{x}.$$

1.6 p. 33 $\Rightarrow \kappa_{\text{rel}} := \left| f'(x) \frac{x}{f(x)} \right|$ = **relative Konditionszahl**, misst Verstärkung relativer Fehler

1.6 p. 35

Beispiel 23 (Kondition von Nullstellen).

$f : I \subset \mathbb{R} \mapsto \mathbb{R}$ 2-fach stetig differenzierbar mit Nullstelle (engl. zero) $s \in I: f(s) = 0$.

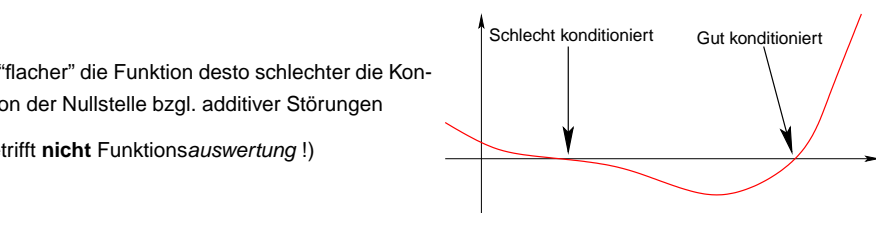
Additive Störung: $\tilde{f} := f + \epsilon \Rightarrow s = s(\epsilon), \tilde{f}(s(\epsilon)) = 0$

Implizites Differenzieren von $f(s(\epsilon)) = -\epsilon$

$$f'(s(\epsilon)) \frac{ds}{d\epsilon}(\epsilon) = -1 \Rightarrow \frac{ds}{d\epsilon}|_{\epsilon=0} = -\frac{1}{f'(s)}.$$

Je „flacher“ die Funktion desto schlechter die Kondition der Nullstelle bzgl. additiver Störungen

(betrifft **nicht** Funktionsauswertung !)



Kondition elementarer Operationen:

1.6
p. 34

1.6
p. 36

- Multiplikation $f(x) = a \cdot x, a \in \mathbb{R}$

$$\kappa_{\text{rel}} = \left| f'(x) \frac{x}{f(x)} \right| = 1 !$$

➤ Keine Verstärkung relativer Fehler durch Multiplikation

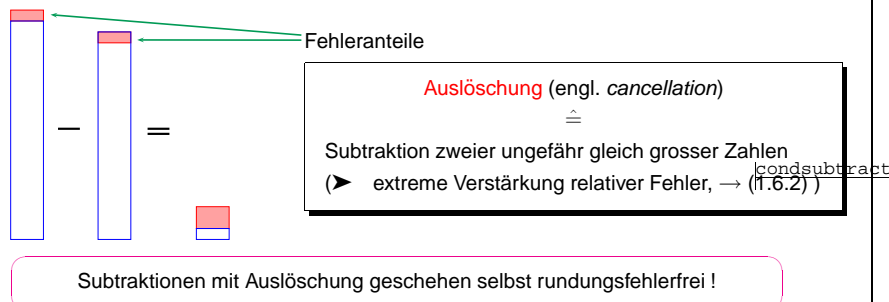
- Subtraktion $f(x) = x - a, a \in \mathbb{R}$. Relative Konditionszahl für $x \notin \{0, a\}$

$$\kappa_{\text{rel}} = \left| f'(x) \frac{x}{f(x)} \right| = \left| \frac{x}{x-a} \right| \Rightarrow \kappa_{\text{rel}} \gg 1, \text{ falls } x \approx a$$

1.7 Auslöschung

[File: section-ausloesung.tex, SVN: section-ausloesung.tex 1073 2006-10-24 19:22:33Z hiptmair]

AUSLÖSCHUNG



Beispiel 24 (Auslöschung). Rechnung mit 2-stelliger Dezimalarithmetik:

$$a = 1.3, \quad b = 1.2$$

$$a^2 - b^2 = (a+b)(a-b)$$

ALGA

Algorithmus A

$$x := a \tilde{\cdot} a = 1.7 \text{ (gerundet)}$$

$$y := b \tilde{\cdot} b = 1.4 \text{ (gerundet)}$$

$$x \tilde{-} y = 0.30 \text{ (exakt)}$$

Algorithmus B

$$x := a \tilde{+} b = 2.5 \text{ (exakt)}$$

$$y := a \tilde{-} b = 0.1 \text{ (exakt)}$$

$$x * y = 0.25 \text{ (exakt)}$$

► Subtraktion im letzten Schritt ➤ grosse Verstärkung der (relativen) Rundungsfehler aus den ersten beiden Schritten

„Auslöschungsverdächtige“ Subtraktionen möglichst zu Beginn eines Algorithmus !
(Allgemein: Schlecht konditionierte Elementarschritte möglichst früh !)

Formale Analyse für $a, b \in \mathbb{R}: f = a^2 - b^2$

Mit $\delta_1, \delta_2, \delta_3 \in \mathbb{R}, |\delta_i| < \text{eps}$ (→ Axiom der Gleitpunktarithmetik)

+ Vernachlässigung von Termen höherer Ordnung in eps (= Linearisierung)

Algorithmus A:

$$x = a^2(1 + \delta_1), y = b^2(1 + \delta_2) \\ \tilde{f} = (a^2(1 + \delta_1) - b^2(1 + \delta_2))(1 + \delta_3) = f + a^2\delta_1 + b^2\delta_2 + (a^2 - b^2)\delta_3 + O(\text{eps}^2)$$

$$\frac{|\tilde{f} - f|}{|f|} \leq \text{eps} \frac{a^2 + b^2 + |a^2 - b^2|}{|a^2 - b^2|} + O(\text{eps}^2) = \text{eps} \left(1 + \frac{|a^2 + b^2|}{|a^2 - b^2|} \right) + O(\text{eps}^2). \quad (1.7.1) \quad \text{ALGA}$$

Vernachlässigbar klein

1.7 p. 37 **LANDAU** Notation („Landau-O“): $f(h) = O(h^\alpha) \Leftrightarrow \exists C > 0, h_0 > 0: |f(x)| \leq C|h|^\alpha$ für alle $|h| < h_0$.

Algorithmus B:

$$x = (a+b)(1 + \delta_1), y = (a-b)(1 + \delta_2) \\ \tilde{f} = (a+b)(a-b)(1 + \delta_1)(1 + \delta_2)(1 + \delta_3) = f + (a^2 - b^2)(\delta_1 + \delta_2 + \delta_3) + O(\text{eps}^2)$$

$$\frac{|\tilde{f} - f|}{|f|} \leq |\delta_1 + \delta_2 + \delta_3| + O(\text{eps}^2) \leq 3\text{eps} + O(\text{eps}^2). \quad (1.7.2) \quad \text{ALGB}$$

► Relativer Ergebnisfehler immer $\approx \text{eps}$!

1.7 p. 39

Beispiel 25 (Fortsetzung von „Berechnung der Exponentialfunktion“, Beispiel 3). lex: exp

1.7 p. 40

Für $x > 0$:

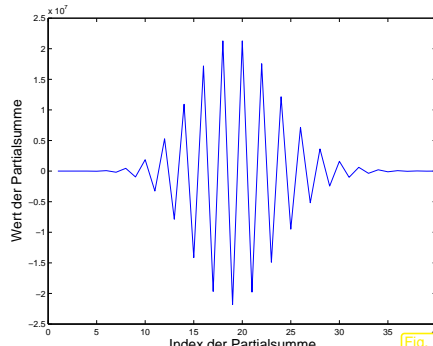
$$\begin{aligned}\exp(-x) &= \sum_{k=0}^{\infty} (-1)^k \frac{x^k}{k!} \\ &= 1 - x + \frac{x^2}{2} - \frac{x^3}{6} + \frac{x^4}{24} - \dots\end{aligned}$$

Alternierende Reihe

► Ständige Auslöschung bei Summation

Partialsummen für $x = 20 \rightarrow$

partsum



```
z = [z; n An An-pi s]; % store results
end
```

Beispiel 26 (Fortsetzung „Quadratur des Kreises“, Beispiel [Ex:circarea](#)).

Rekursionsformel aus Beispiel [Ex:circarea](#):

$$\sin \frac{\alpha_n}{2} = \sqrt{\frac{1 - \cos \alpha_n}{2}} = \sqrt{\frac{1 - \sqrt{1 - \sin^2 \alpha_n}}{2}}$$

Für $\alpha_n \ll 1$: $\sqrt{1 - \sin^2 \alpha_n} \approx 1$

Auslösung!

Umformung in auslöschngsfreie Formel:

$$\begin{aligned}\sin \frac{\alpha_n}{2} &= \sqrt{\frac{1 - \sqrt{1 - \sin^2 \alpha_n}}{2}} = \sqrt{\frac{1 - \sqrt{1 - \sin^2 \alpha_n}}{2} \cdot \frac{1 + \sqrt{1 - \sin^2 \alpha_n}}{1 + \sqrt{1 - \sin^2 \alpha_n}}} \\ &= \sqrt{\frac{1 - (1 - \sin^2 \alpha_n)}{2(1 + \sqrt{1 - \sin^2 \alpha_n})}} = \frac{\sin \alpha_n}{\sqrt{2(1 + \sqrt{1 - \sin^2 \alpha_n})}}\end{aligned}$$

MATLAB Code:

(mit maschinenunabhängigem Abbruchkriterium)

MATLAB-CODE: Stabile Rekursion für Pi

```
s = sqrt(3)/2; Ao = 0; An=3*s; n = 6; % initialization
z = [n A An-pi s]; % matrix for storing results
while (An < Ao) % terminate when machine accuracy is reached
    s = s/sqrt(2*(1+sqrt((1+s)*(1-s)))); % Stabilized recursion
    n=2*n; Ao = An; An = n/2*s;
```

1.7

p. 41

1.7

p. 42

n	A_n	$A_n - \pi$	$\sin \alpha_n$
6	2.598076211353316	-0.543516442236477	0.866025403784439
12	3.000000000000000	-0.141592653589793	0.500000000000000
24	3.105828541230249	-0.035764112359544	0.258819045102521
48	3.132628613281238	-0.008964040308555	0.130526192220052
96	3.139350203046867	-0.002242450542926	0.065403129230143
192	3.141031950890509	-0.000560702699284	0.032719082821776
384	3.141452472285462	-0.000140181304332	0.016361731626487
768	3.141557607911857	-0.000035045677936	0.008181139603937
1536	3.141583892148318	-0.000008761441475	0.004090604026235
3072	3.141590463228050	-0.000002190361744	0.002045306291164
6144	3.141592105999271	-0.000000547590522	0.001022653680338
12288	3.141592516692156	-0.000000136897637	0.000511326907014
24576	3.141592619365383	-0.000000034224410	0.000255663461862
49152	3.141592645033690	-0.00000008556103	0.000127831731976
98304	3.141592651450766	-0.00000002139027	0.000063915866118
196608	3.141592653055036	-0.000000000534757	0.000031957933076
393216	3.141592653456104	-0.000000000133690	0.000015978966540
786432	3.141592653556371	-0.000000000033422	0.000007989483270
1572864	3.141592653581438	-0.00000000008355	0.000003994741635
3145728	3.141592653587705	-0.00000000002089	0.000001997370818
6291456	3.141592653589271	-0.0000000000522	0.000000998685409
12582912	3.141592653589663	-0.0000000000130	0.000000499342704
25165824	3.141592653589761	-0.0000000000032	0.000000249671352
50331648	3.141592653589786	-0.0000000000008	0.000000124835676
100663296	3.141592653589791	-0.0000000000002	0.000000062417838
201326592	3.141592653589794	0.0000000000000	0.000000031208919
402653184	3.141592653589794	0.0000000000001	0.000000015604460
805306368	3.141592653589794	0.0000000000001	0.000000007802230
1610612736	3.141592653589794	0.0000000000001	0.000000003901115

1.7

p. 43

1.7

p. 44

NUMDIFF

Beispiel 27 (Numerische Differentiation).

DIFFQUOT

Approximation der Ableitung durch Differenzenquotienten: $f'(x) \approx \frac{f(x+h) - f(x)}{h}$.

Je kleiner h desto besser, oder?

MATLAB-CODE: Numerische Diff. von $\exp(x)$

```
h = 0.1; x = 0.0;
for i = 1:16
    df = (exp(x+h)-exp(x))/h;
    fprintf('%d %16.14f\n', i, df-1);
    h = h*0.1;
end
```

Offensichtliche Auslöschung

$$f'(x) - \frac{f(x+h) - f(x)}{h} \rightarrow 0 \quad \left. \begin{array}{l} \text{für } h \rightarrow 0 \\ \text{Rundungsfehlereinfluss} \rightarrow \infty \end{array} \right\}$$

Analyse für $f(x) = \exp(x)$:

$$\begin{aligned} df &= \frac{e^{x+h}(1+\delta_1) - e^x(1+\delta_2)}{h} \quad \text{Korrekturfaktoren berücksichtigen Rundungsfehlereinfluss:} \\ &= e^x \left(\frac{e^h - 1}{h} + \frac{\delta_1 e^h - \delta_2}{h} \right) \quad (\rightarrow \text{"Axiom der Gleitpunktarithmetik", siehe } \text{sec:rounding}) \\ \Rightarrow |df| &\leq e^x \left(e^h + \text{eps} \frac{1+e^h}{h} \right) \quad |\delta_1|, |\delta_2| \leq \text{eps}, \quad \text{eps} = \text{Maschinengenauigkeit} \\ &\quad 1 + O(h) \quad O(h^{-1}) \quad \text{für } h \rightarrow 0 \end{aligned}$$

► Relativer Fehler: $\left| \frac{e^x - df}{e^x} \right| \approx h + \frac{2\text{eps}}{h} \rightarrow \min \quad \text{für } h = \sqrt{2\text{eps}}$.

IEEE-Arithmetik doppelter Genauigkeit: $\sqrt{2\text{eps}} = 2.107342425544702 \cdot 10^{-8}$

$\log_{10}(h)$	Relativer Fehler
-1	0.05170918075648
-2	0.00501670841679
-3	0.00050016670838
-4	0.00005000166714
-5	0.0000050000696
-6	0.00000049996218
-7	0.00000004943368
-8	-0.0000000607747
-9	0.00000008274037
-10	0.00000008274037
-11	0.00000008274037
-12	0.00008890058234
-13	-0.00079927783736
-14	-0.00079927783736
-15	0.11022302462516
-16	-1.000000000000000



1.8 Stabilität

[File: section-stabilitaet.tex, SVN: section-stabilitaet.tex 1073 2006-10-24 19:22:33Z hiptmair]

STABILITÄT

Stabilität ist eine Eigenschaft eines Algorithmus für ein Problem

NUMALGO

Numerischer Algorithmus = Spezifizierte Folge elementarer Operationen
 (→ C++- oder FORTRAN-Programm)

Im folgenden: X, Y = normierte Vektorräume, z.B. $X = \mathbb{R}^n, Y = \mathbb{R}^m$

□ **Definition 1.8.1** (Stabiler Algorithmus). Ein Algorithmus \tilde{F} zu einem Problem $F : X \mapsto Y$ heisst **numerisch stabil** (engl. stable), wenn sich für alle $x \in X$ sein (durch Rundungsfehlereinfluss gestörtes Ergebnis) $\tilde{F}(x)$ als exaktes Ergebnis zu leicht gestörten Eingabedaten interpretieren lässt, d.h.

$$\exists C \approx 1: \forall x \in X: \exists \tilde{x} \in X: \|x - \tilde{x}\| \leq C \text{eps} \|x\| \wedge \tilde{F}(x) = F(\tilde{x}).$$

1.7
p. 45

Je besser die Kondition eines Problems, desto kritischer die Stabilität von Algorithmen!

Bemerkung: Def. 1.8.1 definiert Stabilität im Sinne der **Rückwärtseehleranalyse** (engl. backward error analysis)

□ **Theorem 1.8.2** (Stabilität elementarer Operationen).

Unter dem "Axiom der Gleitpunktarithmetik" sind die elementaren Operationen $+, -, \cdot, /$ numerisch stabil.

Beweis. (für +)

$$x \tilde{+} y = (x+y)(1+\delta) = \underbrace{x(1+\delta)}_{=: \tilde{x}} + \underbrace{y(1+\delta)}_{=: \tilde{y}}.$$

Beispiel 28. Stabilität von Algorithmus A aus Bsp. 24: [\[ex:canc1\]](#)

$$\tilde{f} = \underbrace{a^2(1+\delta_1)(1+\delta_3)}_{=: \tilde{a}^2} - \underbrace{b^2(1+\delta_2)(1+\delta_3)}_{=: \tilde{b}^2} \quad \text{mit} \quad \tilde{a} = a\sqrt{1+\delta_a}, \quad |\delta_a|, |\delta_b| < 3\text{eps}.$$

1.8
p. 46

► (Schlechter) Algorithmus ist trotzdem numerisch stabil! Warum?

1.8
p. 47

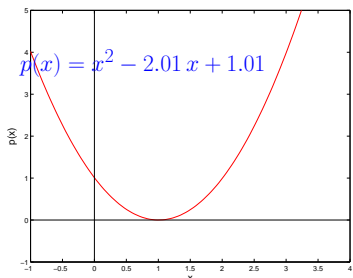
Betrachte (relative) Kondition von $(a, b) \mapsto f = a^2 - b^2$, z.B.

$$\frac{|\partial_a f(a, b)|}{|f(a, b)|} = \frac{2|a|^2}{|a^2 - b^2|} \gg 1 \quad \text{falls } a \approx b .$$

► Algorithmus A, (1.7.1): grosser Rundungsfehlereinfluss nur im Fall schlechter Kondition
NULLSTELLEN

Beispiel 29 (Reelle Nullstellen eines quadratischen Polynoms).

$$p(x) = x^2 + px + q, \quad p, q \in \mathbb{R} \Rightarrow \text{Nullstellen } x_{\pm} = -\frac{p}{2} \pm \sqrt{\left(\frac{p}{2}\right)^2 - q}, \text{ falls } p^2 > 4q .$$



Fall:

$$p^2 \approx 4q$$

HILFE! Auslöschung unter der Wurzel

Don't panic:

NULLSTELLENBEST

Nullstellenbestimmung schlecht konditioniert (*)

Formel auch mit Auslöschung stabil

(*) Absolute Konditionszahl bzgl. q : $\kappa_{\text{abs}} = \frac{1}{\sqrt{p^2 - 4q}}$

Fall: $p^2 \gg 4q$
[x_{\pm} gut konditioniert \Rightarrow Auslöschung gefährlich]

$$\left| \frac{p}{2} \right| \approx \sqrt{\left(\frac{p}{2}\right)^2 - q}$$

Auslöschung bei x_- , falls $p < 0$,
 x_+ , falls $p > 0$.

Benutze $x_- - x_+ = q$: numerisch stabile Nullstellenformel

$$\begin{cases} x_- = -\frac{p}{2} - \sqrt{\left(\frac{p}{2}\right)^2 - q}, & x_+ = \frac{q}{x_-}, \text{ falls } p > 0, \\ x_+ = -\frac{p}{2} + \sqrt{\left(\frac{p}{2}\right)^2 - q}, & x_- = \frac{q}{x_+}, \text{ falls } p < 0. \end{cases}$$

MATLAB-CODE: Nullstellen einer quadr. Fkt.

```
function [xm,xp] = quadzero(p,q)
D = 0.25*p^2-q;
if (D < 0), error('No zeros'); end;
if (p>0), xm = -0.5*p-sqrt(D); xp = q/xm;
else xp = -0.5*p+sqrt(D); xm = q/xp;
end
```

Stabile MATLAB-Implementierung

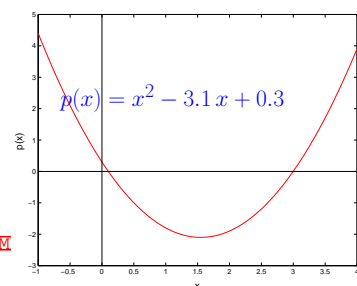
a	Relativer Fehler in x_-
10^{-5}	0.00000000000000009995
10^{-6}	0.000000000000267561
10^{-7}	0.00000000000287549
10^{-8}	0.000000000005263567
10^{-9}	0.000000000272292189
10^{-10}	0.000000000827403699
10^{-11}	0.000000000827403699
10^{-12}	0.0000333894311084
10^{-13}	0.0003109451872646
10^{-14}	0.0007992778373605
10^{-15}	0.0007992778373608
10^{-16}	0.1102230246251547
10^{-17}	1.00000000000000000000

Resultate: Instabile Implementierung \downarrow für $p = -1, q = a(1-a)$

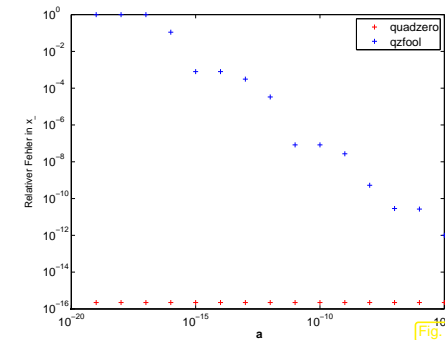
MATLAB-CODE: Nullstellen einer quadr. Fkt.

```
function [xm,xp] = qzfool(p,q)
D = 0.25*p^2-q;
if (D < 0), error('No zeros'); end;
xp = -0.5*p+sqrt(D);
xm = -0.5*p-sqrt(D);
```

Instabile MATLAB-Implementierung



1.8
p. 49



▷ Relativer Fehler der Nullstellenbestimmung von

$$p(x) = x^2 - x + a(1-a) \\ = (x-a)(x-1+a)$$

mittels `qzfool(-1.a*(1-a));`
`quadzero(-1.a*(1-a));`

(Relative Fehler $< \text{eps}$ ersetzt durch `eps!`)

1.8
p. 50

1.8
p. 51

2

[File: chapter-nichtlineare-gleichungen.tex, SVN: chapter-nichtlineare-gleichungen.tex 1054 2006-10-18 11:43:04Z kalai]

Nichtlineare Gleichungen

Gegeben:

Funktion $F : D \subset \mathbb{R}^n \mapsto \mathbb{R}^n, n \in \mathbb{N}$



Kann bedeuten: Wir verfügen über eine Prozedur function $y = F(x)$ zur Auswertung von F

NICHTLINEARE GLIECHUNG

Gesucht: Lösung der nichtlinearen Gleichung

$$F(x) = 0$$

Beachte: "Gleiche Anzahl von Gleichungen (engl. equations) und Unbekannten (engl. unknowns)"

Existenz und Eindeutigkeit von Lösungen ist für konkretes F jeweils zu klären !

2.1 Iterationsverfahren

[File: section-iterationsverfahren.tex, SVN: chapter-nichtlineare-gleichungen.tex 1054 2006-10-18 11:43:04Z kalai]

ITMETH

Iterationsverfahren zur (approximativen)

Lösung der nichtlinearen Gleichung $F(x) = 0$ = Algorithmus, der eine Folge $(x^{(k)})_{k \in \mathbb{N}_0}$ von Näherungslösungen erzeugt.

ITS

- Iterierte $x^{(k)}$ abhängig von F und (von einigen) $x^{(n)}, n < k$, z.B.

$$x^{(k)} = \underbrace{x^{(k)}(F, x^{(k-1)}, \dots, x^{(k-m)})}_{\text{Iterationsvorschrittfür } m\text{-Punkt-Verfahren}} \quad (2.1.1)$$

- $x^{(0)} = \text{Startwert}$ (engl. initial guess)

Wir kennen bereits Iterationsverfahren: → Beispiele [ex: einfache Verfahren](#)

Definition 2.1.1 (Konvergenz von Iterationsverfahren).

Iterationsverfahren konvergent $\Leftrightarrow x^{(k)} \rightarrow x^*$ und $F(x^*) = 0$.

Definition 2.1.2 (Konsistenz von Iterationsverfahren).

Iterationsverfahren **konsistent** mit $F(x) = 0 \Leftrightarrow \{x^{(k)} \rightarrow x^* \Rightarrow F(x^*) = 0\}$

Terminologie:

ITER

Fehler der Iterierten $x^{(k)}$: $e^{(k)} := x^{(k)} - x^*$

Definition 2.1.3 (Lokale und globale Konvergenz).

Ein Iterationsverfahren konvergiert lokal (engl. converges locally) gegen $x^* \in \mathbb{R}^n$, falls eine Umgebung $U \subset D$ von x^* existiert, so dass

$$x^{(0)} \in U \Rightarrow x^{(k)} \text{ wohldefiniert} \wedge \lim_{k \rightarrow \infty} x^{(k)} = x^*$$

für die erzeugten Iterationsfolgen $(x^{(k)})_{k \in \mathbb{N}}$ gilt.

Falls $U = D$, so heisst die Iteration global konvergent.

Ziel: Finde Iterationsverfahren, die (lokal) gegen (eine) Lösung von $F(x) = 0$ konvergieren.

2.1
p. 53 "Konvergenzgeschwindigkeit" ?

► Nötig: Norm $\|\cdot\|$ auf \mathbb{R}^n (→ Grundvorlesungen)
(Allgemeiner: Metrik auf \mathbb{R}^n)

Fest gewählte Norm auf \mathbb{R}^n wird im Folgenden vorausgesetzt.

Definition 2.1.4 (Norm).

$X = \mathbb{K}$ -Vektorraum, $\mathbb{K} = \mathbb{C}, \mathbb{R}$. Eine Abbildung $\|\cdot\| : X \mapsto \mathbb{R}_0^+$ ist eine Norm auf X , falls

- (i) $\forall x \in X: x \neq 0 \Leftrightarrow \|x\| > 0$ (Definitheit),
- (ii) $\|\lambda x\| = |\lambda| \|x\| \quad \forall x \in X, \lambda \in \mathbb{K}$ (Homogenität),
- (iii) $\|x + y\| \leq \|x\| + \|y\| \quad \forall x, y \in X$ (Dreiecksungleichung).

Beispiele: (für Vektor $x = (x_1, x_2, \dots, x_n)^T \in \mathbb{K}^n$)

Bezeichnung : Definition MATLAB-Funktion

EUKNORM Euklidische Norm: $\|x\|_2 := \sqrt{|x_1|^2 + \dots + |x_n|^2}$ norm(x)

INNORM 1-Norm: $\|x\|_1 := |x_1| + \dots + |x_n|$ norm(x, 1)

MAXNORM Maximumnorm: $\|x\|_\infty := \max\{|x_1|, \dots, |x_n|\}$ norm(x, inf)

Wahl der Norm "nicht so wichtig" im Endlichdimensionalen:

2.1
p. 54

2.1
p. 55

2.1
p. 56

Thm 2.1.5 (Normäquivalenz im Endlichdimensionalen).

Beliebige zwei Normen $\|\cdot\|, \|\cdot\|_0$ auf \mathbb{K}^n sind äquivalent

$$\exists C > 0: C^{-1} \|\mathbf{x}\| \leq \|\mathbf{x}\|_0 \leq C \|\mathbf{x}\| \quad \forall \mathbf{x} \in \mathbb{K}^n.$$

thm normeq

$x^{(15)}$ als Ersatz für \mathbf{x}^* bei der Berechnung der Konvergenzrate:

k	$x^{(0)} = 0.4$		$x^{(0)} = 0.6$		$x^{(0)} = 1$	
	$x(k)$	$\frac{ x^{(k)} - x^{(15)} }{ x^{(k-1)} - x^{(15)} }$	$x(k)$	$\frac{ x^{(k)} - x^{(15)} }{ x^{(k-1)} - x^{(15)} }$	$x(k)$	$\frac{ x^{(k)} - x^{(15)} }{ x^{(k-1)} - x^{(15)} }$
2	3.3887	0.1128	3.4727	0.4791	2.9873	0.4959
3	3.2645	0.4974	3.3056	0.4953	3.0646	0.4989
4	3.2030	0.4992	3.2234	0.4988	3.1031	0.4996
5	3.1723	0.4996	3.1825	0.4995	3.1224	0.4997
6	3.1569	0.4995	3.1620	0.4994	3.1320	0.4995
7	3.1493	0.4990	3.1518	0.4990	3.1368	0.4990
8	3.1454	0.4980	3.1467	0.4980	3.1392	0.4980

def: cvglin

Def 2.1.6 (Lineare Konvergenz).

Eine Folge $\mathbf{x}^{(k)}, k = 0, 1, 2, \dots$, in \mathbb{R}^n konvergiert linear gegen $\mathbf{x}^* \in \mathbb{R}^n$, falls

$$\exists L < 1: \|\mathbf{x}^{(k+1)} - \mathbf{x}^*\| \leq L \|\mathbf{x}^{(k)} - \mathbf{x}^*\| \quad \forall k \in \mathbb{N}_0.$$

Terminologie: Kleinste obere Schranke für $L \rightarrow$ Konvergenzrate (engl. rate of convergence)

Erinnerung an zentralen Satz der Analysis:

Thm 2.1.7 (Banachscher Fixpunktsatz).

Falls $D \subset \mathbb{K}^n$ abgeschlossen und für $\Phi: D \mapsto D$ gilt

$$\exists L < 1: \|\Phi(\mathbf{x}) - \Phi(\mathbf{y})\| \leq L \|\mathbf{x} - \mathbf{y}\| \quad \forall \mathbf{x}, \mathbf{y} \in D,$$

dann existiert genau ein Fixpunkt $\mathbf{x}^* \in D$ mit $\Phi(\mathbf{x}^*) = \mathbf{x}^*$, gegen den die Folge $\mathbf{x}^{(k+1)} := \Phi(\mathbf{x}^{(k)})$ für beliebige $\mathbf{x}^{(0)} \in D$ konvergiert

Proof. Beweis verwendet 1-Punkt-Iteration $\mathbf{x}^{(k)} = \Phi(\mathbf{x}^{(k-1)}), \mathbf{x}^{(0)} \in D$:

$$\begin{aligned} \|\mathbf{x}^{(k+N)} - \mathbf{x}^{(k)}\| &\leq \sum_{j=k}^{k+N-1} \|\mathbf{x}^{(j+1)} - \mathbf{x}^{(j)}\| \leq \sum_{j=k}^{k+N-1} L^j \|\mathbf{x}^{(1)} - \mathbf{x}^{(0)}\| \\ &\leq \frac{L^k}{1-L} \|\mathbf{x}^{(1)} - \mathbf{x}^{(0)}\| \xrightarrow{k \rightarrow \infty} 0. \end{aligned}$$

$(\mathbf{x}^{(k)})_{k \in \mathbb{N}_0}$ Cauchy-Folge \rightarrow konvergent $\mathbf{x}^{(k)} \xrightarrow{k \rightarrow \infty} \mathbf{x}^*$.

Stetigkeit von $\Phi \rightarrow \Phi(\mathbf{x}^*) = \mathbf{x}^*$. Eindeutigkeit des Fixpunktes ist klar

Beispiel 30 (Linear konvergente Iteration).

Iteration ($n = 1$):

$$x^{(k+1)} = x^{(k)} + \frac{\cos x^{(k)} + 1}{\sin x^{(k)}}.$$

```

y = [ ];
for i = 1:15
    x = x + (cos(x)+1)/sin(x);
    y = [y,x];
end
err = y - x;
rate = err(2:15)./err(1:14);

```

2.1

p. 57

2.1

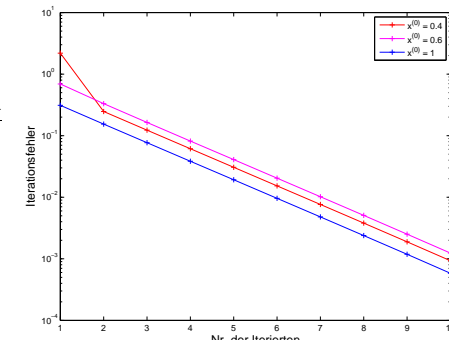
p. 58

Konvergenzrate ≈ 0.5

Lineare Konvergenz \rightarrow Def. 2.1.6

\Updownarrow

Fehlerkurven = Geraden im lin-log Plot



Abkürzung für Fehlernorm im k -ten Schritt $\epsilon_k := \|\mathbf{x}^{(k)} - \mathbf{x}^*\|$. Im Falle linearer Konvergenz (\rightarrow Def. 2.1.6) nimmt man an ($0 < L < 1$)

$$\epsilon_{k+1} \approx L \epsilon_k \Rightarrow \log \epsilon_{k+1} \approx \log L + \log \epsilon_k \Rightarrow \log \epsilon_{k+1} \approx k \log L + \log \epsilon_0.$$

$\rightarrow \log L < 0$ gibt die Steigung der Geraden im lin-log-Plot.

2.1

p. 59

2.1

p. 60

Im Fall von Konvergenz von p -ter Ordnung ($p > 1$) (\rightarrow Def. 2.1.8):
Def.: cvgord

$$\begin{aligned}\epsilon_{k+1} \approx C\epsilon_k^p &\Rightarrow \log \epsilon_{k+1} = \log C + p \log \epsilon_k \Rightarrow \log \epsilon_{k+1} = \log C \sum_{l=0}^k p^k + p^{k+1} \log \epsilon_0 \\ &\Rightarrow \log \epsilon_{k+1} = \left(\frac{\log C}{p-1} + \log \epsilon_0 \right) p^{k+1}.\end{aligned}$$

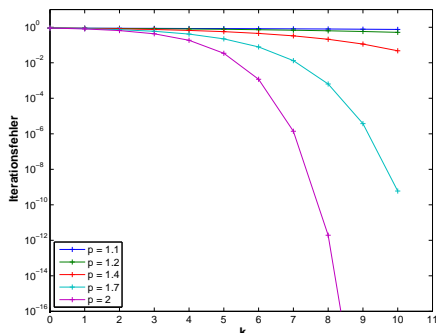
► Kurve ist negative Exponentialkurve im lin-log-Plot.

□ **Definition 2.1.8** (Konvergenzordnung).

Eine konvergente Folge $\mathbf{x}^{(k)}$, $k = 0, 1, 2, \dots$, in \mathbb{R}^n konvergiert in p -ter Ordnung gegen $\mathbf{x}^* \in \mathbb{K}^n$, falls $p > 1$ und

$$\exists C > 0: \|\mathbf{x}^{(k+1)} - \mathbf{x}^*\| \leq C \|\mathbf{x}^{(k)} - \mathbf{x}^*\|^p \quad \forall k \in \mathbb{N}_0.$$

PCVG



▷ Qualitative Fehlerkurven für Konvergenz der Ordnung p (lin-log-Plot)

Beispiel 31 (Quadratische Konvergenz einer Iteration).

Wurzeliteration für $a > 0$, \rightarrow Bsp. 1.3, Monotonie & Beschränktheit \Rightarrow Konvergenz

$$x^{(k+1)} = \frac{1}{2}(x^{(k)} + \frac{a}{x^{(k)}}) \Rightarrow |x^{(k+1)} - \sqrt{a}| = \frac{1}{2x^{(k)}}|x^{(k)} - \sqrt{a}|^2.$$

AGM: $x^{(k)} > \sqrt{a}$ für $k \geq 1$ \blacktriangleright Konvergenzordnung 2 (Quadratische Konvergenz)

(AGM $\hat{=}$ Ungleichung zwischen arithmetischem und geometrischem Mittel: $\sqrt{ab} \leq \frac{1}{2}(a+b)$)

Kürze ab: $\epsilon_k := \|\mathbf{x}^{(k)} - \mathbf{x}^*\|$

$$\epsilon_{k+1} \approx C\epsilon_k^p \Rightarrow \log \epsilon_{k+1} \approx \log C + p \log \epsilon_k \Rightarrow \frac{\log \epsilon_{k+1} - \log \epsilon_k}{\log \epsilon_k - \log \epsilon_{k-1}} \approx p.$$

Iterierte für $a = 2$:

k	$x^{(k)}$	$e^{(k)} := x^{(k)} - \sqrt{2}$	$\log \frac{ e^{(k)} }{ e^{(k-1)} } : \log \frac{ e^{(k-1)} }{ e^{(k-2)} }$
0	2.00000000000000000000	0.58578643762690485	
1	1.50000000000000000000	0.08578643762690485	
2	1.41666666666666652	0.00245310429357137	1.850
3	1.41421568627450966	0.00000212390141452	1.984
4	1.41421356237468987	0.000000000000159472	2.000
5	1.41421356237309492	0.000000000000000022	0.630

Verdopplung der Anzahl der gültigen Stellen in jeder Iteration!

[Rundungsfehlereinfluss!]

2.1

p. 61

$$\text{Relativer Fehler: } x^{(k)} = x^*(1 + \delta_k) \quad \blacktriangleright \quad x^{(k)} - x^* = \delta_k x^*$$

$$\begin{aligned} |x^* \delta_{k+1}| &= |x^{(k+1)} - x^*| \leq C|x^{(k)} - x^*|^2 = C|x^* \delta_k|^2 \\ &\blacktriangleright |\delta_{k+1}| \leq C|x^*| \delta_k^2. \end{aligned}$$

2.1

p. 63

TERMKRIT
Abbruchkriterium (engl. termination criterion) ?

Einfach:

Abbruch konvergenter Iteration $\{\mathbf{x}^{(k)}\}_{k \in \mathbb{N}_0}$ falls

$$\|F(\mathbf{x}^{(k)})\| \leq \tau \quad \begin{array}{l} \text{= vorgegebene Toleranz} \\ \text{RESTERMCRIT} \end{array} > 0.$$

= Residuenbasiertes Abbruchkriterium

2.1

p. 62

2.1

p. 64

Schwieriger: Abbruch konvergenter Iteration $\{\mathbf{x}^{(k)}\}_{k \in \mathbb{N}_0}$ mit Grenzwert \mathbf{x}^* falls

$$\|\mathbf{x}^{(k)} - \mathbf{x}^*\| \leq \tau = \text{vorgegebene Toleranz} > 0.$$

\mathbf{x}^* leider unbekannt !

Strategien:

- ☞ Maschinenunabhängiges Abbruchkriterium $\mathbf{x}^{(k+1)} = \mathbf{x}^{(k)}$ in \mathbb{M} (\rightarrow overkill ?)
- ☞ **A priori** Abbruchkriterium: fixiere Anzahl der Iterationen im Voraus (\rightarrow problemspezifisch !)
- ☞ **A posteriori** Abbruchkriterium: STOP, falls $\|\mathbf{x}^{(k)} - \mathbf{x}^{(k-1)}\| \leq \tau'$ (\rightarrow zuverlässig ?)
- ☞ Ersatzlösung: **Residuenbasiertes** Abbruchkriterium:
STOP, falls $\|F(\mathbf{x}^{(k)})\| \leq \tau''$ (\rightarrow zuverlässig ?)

A posteriori Abbruchkriterium für linear konvergente Iterationen mit Konvergenzrate $0 < L < 1$:

$$\begin{aligned} \|\mathbf{x}^{(k)} - \mathbf{x}^*\| &\stackrel{\triangle\text{-Ungl.}}{\leq} \|\mathbf{x}^{(k+1)} - \mathbf{x}^{(k)}\| + \|\mathbf{x}^{(k+1)} - \mathbf{x}^*\| \leq \|\mathbf{x}^{(k+1)} - \mathbf{x}^{(k)}\| + L \|\mathbf{x}^{(k)} - \mathbf{x}^*\|. \\ \Rightarrow \quad \|\mathbf{x}^{(k+1)} - \mathbf{x}^*\| &\leq \frac{L}{1-L} \|\mathbf{x}^{(k+1)} - \mathbf{x}^{(k)}\| \end{aligned} \quad (2.1.2)$$

Beispiel 32 (Fehlerschätzung für linear konvergente Iteration). \rightarrow Bsp. 30

$$x^{(k+1)} = x^{(k)} + \frac{\cos x^{(k)} + 1}{\sin x^{(k)}} \Rightarrow x^{(k)} \rightarrow \pi \quad \text{für } x^{(0)} \text{ nahe bei } \pi.$$

Beobachtete Konvergenzrate: $L = 1/2$

Fehler und geschätzter Fehler für $x^{(0)} = 0.4$:

k	$ x^{(k)} - \pi $	$\frac{L}{1-L} x^{(k)} - x^{(k-1)} $	Schätzfehler
1	2.191562221997101	4.933154875586894	2.741592653589793
2	0.247139097781070	1.944423124216031	1.697284026434961
3	0.122936737876834	0.124202359904236	0.001265622027401
4	0.061390835206217	0.061545902670618	0.000155067464401
5	0.030685773472263	0.030705061733954	0.000019288261691
6	0.015341682696235	0.015344090776028	0.000002408079792
7	0.007670690889185	0.007670991807050	0.000000300917864
8	0.003835326638666	0.003835364250520	0.000000037611854
9	0.001917660968637	0.001917665670029	0.00000004701392
10	0.000958830190489	0.000958830778147	0.00000000000587658
11	0.000479415058549	0.000479415131941	0.0000000000073392
12	0.000239707524646	0.000239707533903	0.000000000009257
13	0.000119853761949	0.000119853762696	0.0000000000000747
14	0.000059926881308	0.000059926880641	0.0000000000000667
15	0.000029963440745	0.000029963440563	0.0000000000000181

\Rightarrow A posteriori Schätzung sehr genau !

equapost Bemerkung. L nicht genau bekannt $\Rightarrow \tilde{L} > L$ für Fehlerschätzung garantiert Genauigkeit

p. 65

2.2
p. 67

2.2 Fixpunktiteration

[File: section-fixpunktiteration.tex, SVN: section-fixpunktiteration.tex 1103 2006-11-07 05:33:57Z hiptmair]

FIXPIT Eine **Fixpunktiteration** ist definiert durch eine FITFN Iterationsfunktion $\Phi : \text{dom}(\Phi) \subset \mathbb{R}^n \mapsto \mathbb{R}^n$.

Iterationsfunktion $\Phi : \text{dom}(\Phi) \subset \mathbb{R}^n \mapsto \mathbb{R}^n$ \Rightarrow Iterationsfolge $(\mathbf{x}^{(k)})_{k \in \mathbb{N}_0}$: $\mathbf{x}^{(k+1)} := \Phi(\mathbf{x}^{(k)})$.
Startwert $\mathbf{x}^{(0)} \in \text{dom}(\Phi)$

Iterationsfolge nicht unbedingt wohldefiniert: $\mathbf{x}^{(k)} \notin \text{dom}(\Phi)$ möglich !

KONSISTENTFIXP **Definition 2.2.1** (Spezialisierung von Def. 2.1.2). Eine Fixpunktiteration $\mathbf{x}^{(k+1)} = \Phi(\mathbf{x}^{(k)})$ ist def:consit **konsistent** (engl. consistent) mit $F(\mathbf{x}) = 0$, falls

$$F(\mathbf{x}) = 0 \quad \wedge \quad \mathbf{x} \in \text{dom}(\Phi) \cap D \quad \Leftrightarrow \quad \Phi(\mathbf{x}) = \mathbf{x}.$$

2.1 Beachte: Φ stetig & Fixpunktiteration (lokal) konvergent gegen Nullstelle \mathbf{x}^* \Rightarrow FIXPCT \mathbf{x}^* ist **Fixpunkt** (engl. *fixed point*) der Iterationsfunktion.

2.2
p. 68

Konstruktion von Fixpunktiteration für $F(x) = 0$:

$$F(x) = 0 \Leftrightarrow \Phi(x) = x \quad \text{Fixpunktiteration} \quad x^{(k+1)} := \Phi(x^{(k)}) . \quad (2.2.1)$$

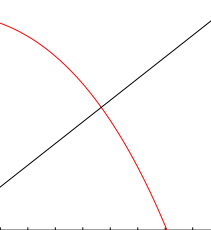
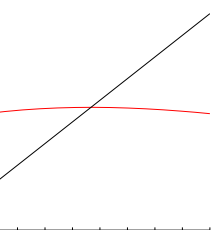
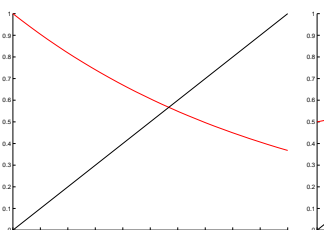
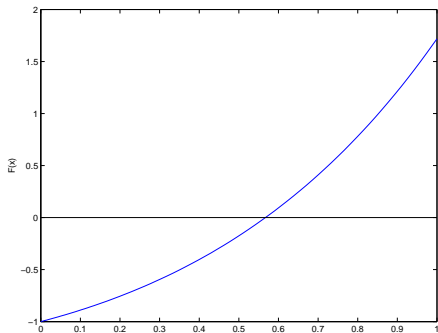
☞ Transformation in Fixpunktform (nicht eindeutig):

Beispiel 33 (Fixpunktiteration).

$$F(x) = xe^x - 1, \quad x \in [0, 1] .$$

Verschiedene Fixpunktformen:

$$\begin{aligned}\Phi_1(x) &= e^{-x}, \\ \Phi_2(x) &= \frac{1+x}{1+e^x}, \\ \Phi_3(x) &= x + 1 - xe^x.\end{aligned}$$



Funktion Φ_1

Funktion Φ_2

Funktion Φ_3

k	$x^{(k+1)} := \Phi_1(x^{(k)})$	$x^{(k+1)} := \Phi_2(x^{(k)})$	$x^{(k+1)} := \Phi_3(x^{(k)})$
0	0.5000000000000000	0.5000000000000000	0.5000000000000000
1	0.606530659712633	0.566311003197218	0.675639364649936
2	0.545239211892605	0.567143165034862	0.347812678511202
3	0.579703094878068	0.567143290409781	0.855321409174107
4	0.560064627938902	0.567143290409784	-0.156505955383169
5	0.571172148977215	0.567143290409784	0.977326422747719
6	0.564862946980323	0.567143290409784	-0.619764251895580
7	0.568438047570066	0.567143290409784	0.713713087416146
8	0.566409452746921	0.567143290409784	0.256626649129847
9	0.567559634262242	0.567143290409784	0.924920676910549
10	0.566907212935471	0.567143290409784	-0.407422405542253

k	$ x_1^{(k+1)} - x^* $	$ x_2^{(k+1)} - x^* $	$ x_3^{(k+1)} - x^* $
0	0.067143290409784	0.067143290409784	0.067143290409784
1	0.039387369302849	0.00032287212566	0.108496074240152
2	0.021904078517179	0.000000000000000	0.219330611898582
3	0.012559804468284	0.000000000000000	0.288178118764323
4	0.007078662470882	0.000000000000000	0.723649245792953
5	0.004028858567431	0.000000000000000	0.410183132337935
6	0.002280343429460	0.000000000000000	1.186907542305364
7	0.001294757160282	0.000000000000000	0.146569797006362
8	0.000733837662863	0.000000000000000	0.310516641279937
9	0.000416343852458	0.000000000000000	0.357777386500765
10	0.000236077474313	0.000000000000000	0.974565695952037

Beobachtung: Lineare Konvergenz von $x_1^{(k)}$, quadratische Konvergenz von $x_2^{(k)}$, Keine Konvergenz (chaotisches Verhalten) von $x_3^{(k)}$, $x_i^{(0)} = 0.5$. \diamond

KONVANALYSE FIXP

Konvergenzanalyse, Fall $n = 1$ ($\Phi : \text{dom}(\Phi) \subset \mathbb{R} \mapsto \mathbb{R}$)

2.2

p. 69

TAYLORFORMEL

Theorem 2.2.2 (Taylorformel). Falls $\Phi : \text{dom}(\Phi) \subset \mathbb{R} \mapsto \mathbb{R}$ $(m+1)$ -mal stetig differenzierbar, $x \in \text{dom}(\Phi)$

$$\Phi(y) - \Phi(x) = \sum_{k=1}^m \frac{1}{k!} \Phi^{(k)}(x)(y-x)^k + O(|y-x|^{m+1}) \quad \forall y \in \mathcal{U}(x) .$$

Anwendung auf Fixpunktiteration mit Iterationsfunktion Φ :

Falls $\Phi(x^*) = x^*$, $\Phi : \text{dom}(\Phi) \subset \mathbb{R} \mapsto \mathbb{R}$ "hinreichend glatt"

$$x^{(k+1)} - x^* = \Phi(x^{(k)}) - \Phi(x^*) = \sum_{l=1}^m \frac{1}{l!} \Phi^{(l)}(x^*)(x^{(k)} - x^*)^l + O(|x^{(k)} - x^*|^{m+1}) . \quad (2.2.2)$$

Lemma 2.2.3. Falls $\Phi : \text{dom}(\Phi) \subset \mathbb{R} \mapsto \mathbb{R}$ $(m+1)$ -mal stetig differenzierbar, $\Phi(x^*) = x^*$ für ein x^* im Innern von $\text{dom}(\Phi)$, und $\Phi^{(l)}(x^*) = 0$ für $l = 1, \dots, m$, $m \geq 1$, dann konvergiert die Fixpunktiteration (2.2.1) lokal mit Ordnung $m+1$ (\rightarrow Def. 2.1.8) gegen x^* .

2.2

p. 70

2.2

p. 71

2.2

p. 72

Beweis. Für Umgebung \mathcal{U} von x^*

$$\begin{aligned} \stackrel{\text{[ex:FPT]}}{\text{[2.2.2]}} \Rightarrow \exists C > 0: |\Phi(y) - \Phi(x^*)| \leq C |y - x^*|^{m+1} \quad \forall y \in \mathcal{U}. \\ \delta^m C < 1/2: |x^{(0)} - x^*| < \delta \Rightarrow |x^{(k)} - x^*| < 2^{-k} \delta \Rightarrow \text{lokale Konvergenz}. \quad \square \end{aligned}$$

Fortsetzung Bsp. 33: [ex:fixp]

$$\Phi_2'(x) = \frac{1 - xe^x}{(1 + e^x)^2} = 0 \quad \text{wenn } xe^x - 1 = 0 \quad \blacktriangleright \text{Quadratische Konvergenz}.$$

[TAYLORMEHRDIM]

Lemma 2.2.4 (Taylorformel im Mehrdimensionalen). Falls $\Phi : \text{dom}(\Phi) \subset \mathbb{R}^n \mapsto \mathbb{R}^n$ 2-fach stetig differenzierbar

$$\Phi(\mathbf{y}) - \Phi(\mathbf{x}) = D\Phi(\mathbf{x})(\mathbf{y} - \mathbf{x}) + O(\|\mathbf{y} - \mathbf{x}\|^2) \quad \forall \mathbf{y} \in \mathcal{U}(\mathbf{x}).$$

Terminologie: $D\Phi(\mathbf{x}) \in \mathbb{R}^{n,n}$ = Jacobimatrix von Φ an der Stelle \mathbf{x}

Lemma 2.2.5. Falls $\Phi : \text{dom}(\Phi) \subset \mathbb{R}^n \mapsto \mathbb{R}^n$ 2-fach stetig differenzierbar, $\Phi(\mathbf{x}^*) = \mathbf{x}^*$, $\|D\Phi(\mathbf{x}^*)\| < 1$, dann konvergiert die Fixpunktiteration (2.2.1) lokal linear.

[MATNORM]
Matrixnorm!

Definition 2.2.6. Der Norm $\|\cdot\|$ auf \mathbb{R}^n zugeordnete Matrixnorm [MATRIXNORM]

$$\mathbf{M} \in \mathbb{R}^{n,n}: \|\mathbf{M}\| := \sup_{x \in \mathbb{R}^n \setminus \{0\}} \frac{\|\mathbf{M}x\|}{\|x\|}.$$

Notation: $\|\mathbf{x}\|_2 \rightarrow \|\mathbf{M}\|_2$, $\|\mathbf{x}\|_1 \rightarrow \|\mathbf{M}\|_1$, $\|\mathbf{x}\|_\infty \rightarrow \|\mathbf{M}\|_\infty$

Beispiel 34 (Matrixnorm zur Maximumnorm und 1-Norm).

$$\begin{aligned} \text{z.B. f\"ur } \mathbf{M} \in \mathbb{K}^{2,2}: \quad & \|\mathbf{M}\mathbf{x}\|_\infty = \max\{|m_{11}x_1 + m_{12}x_2|, |m_{21}x_1 + m_{22}x_2|\} \\ & \leq \max\{|m_{11}| + |m_{12}|, |m_{21}| + |m_{22}|\} \|x\|_\infty, \\ & \|\mathbf{M}\mathbf{x}\|_1 = |m_{11}x_1 + m_{12}x_2| + |m_{21}x_1 + m_{22}x_2| \\ & \leq \max\{|m_{11}| + |m_{21}|, |m_{12}| + |m_{22}|\}(|x_1| + |x_2|). \end{aligned}$$

> Matrixnorm zu $\|\cdot\|_\infty = \text{Zeilensummennorm}$ $\|\mathbf{M}\|_\infty := \max_{i=1,\dots,n} \sum_{j=1}^n |m_{ij}|$, [eq:defrov] (2.2.3)

> Matrixnorm zu $\|\cdot\|_1 = \text{Spaltensummennorm}$ $\|\mathbf{M}\|_1 := \max_{j=1,\dots,m} \sum_{i=1}^n |m_{ij}|$. [eq:defcol] (2.2.4)

◊

Beweis von Lemma 2.2.5. Für Umgebung $\mathcal{U}(\mathbf{x}^*)$: [lem:fpcvgand]

$$\exists C > 0: \|\Phi(\mathbf{y}) - \Phi(\mathbf{x}) - D\Phi(\mathbf{x})(\mathbf{y} - \mathbf{x})\| \leq C \|\mathbf{y} - \mathbf{x}\|^2 \quad \forall \mathbf{y} \in \mathcal{U}(\mathbf{x}^*).$$

Wähle $\delta > 0$ so dass $L := \delta C + \|D\Phi(\mathbf{x}^*)\| < 1$, $\{\mathbf{y} \in \mathbb{R}^n: \|\mathbf{y} - \mathbf{x}^*\| < \delta\} \subset \mathcal{U}(\mathbf{x}^*)$

$$\blacktriangleright \|\mathbf{x} - \mathbf{x}^*\| < \delta \Rightarrow \|\Phi(\mathbf{x}) - \mathbf{x}^*\| \leq \underbrace{(\|D\Phi(\mathbf{x}^*)\| + C \|\mathbf{x} - \mathbf{x}^*\|)}_{\leq L} \|\mathbf{x} - \mathbf{x}^*\|. \quad \square$$

Bemerkung 35.

Falls $\|D\Phi(\mathbf{x}^*)\| < 1$, $\mathbf{x}^{(k)} \approx \mathbf{x}^* \Rightarrow$ [ASYMPKONV RATE] Asymptotische Konvergenzrate $L = \|D\Phi(\mathbf{x}^*)\|$

2.2

p. 73

2.2

p. 75

Fortsetzung Bsp. 33: Da $x^* e^{x^*} - 1 = 0$ [ex:fixp]

$$\Phi_1'(x) = -e^{-x} \Rightarrow \Phi_1'(x^*) = -x^* \approx -0.56 \quad \blacktriangleright \text{Lokal lineare Konvergenz}.$$

$$\Phi_3'(x) = 1 - xe^x - e^x \Rightarrow \Phi_3'(x^*) = -\frac{1}{x^*} \approx -1.79 \quad \blacktriangleright \text{Keine Konvergenz}.$$

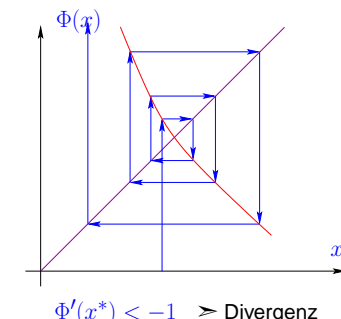
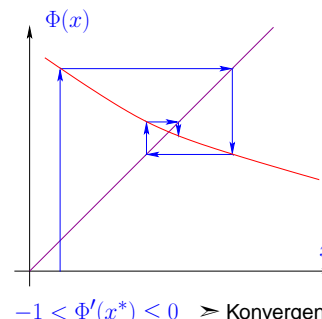
Definition 2.2.7. Für stetig differenzierbares $\Phi : \text{dom}(\Phi) \subset \mathbb{R} \mapsto \mathbb{R}$, [FIXPABST] heißt ein Fixpunkt $x^* \in \text{dom}(\Phi)$ [EXPANZ] anziehend (engl. attractive), falls $|\Phi'(x^*)| < 1$ und abstoßend, falls $|\Phi'(x^*)| > 1$

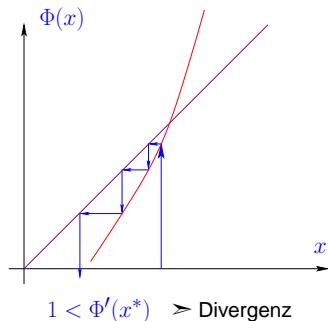
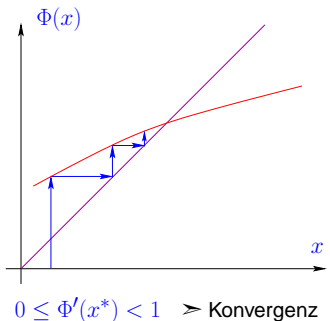
2.2

p. 74

2.2

p. 76





Beispiel 36 (Mehrdimensionale Fixpunktiteration).

Gleichungssystem	>	Fixpunktform
$x_1 - c(\cos x_1 - \sin x_2) = 0$	>	$c(\cos x_1 - \sin x_2) = x_1$
$(x_1 - x_2) + c \sin x_2 = 0$	>	$c(\cos x_1 - 2 \sin x_2) = x_2$
$\Phi \begin{pmatrix} x_1 \\ x_2 \end{pmatrix} = c \begin{pmatrix} \cos x_1 - \sin x_2 \\ \cos x_1 - 2 \sin x_2 \end{pmatrix}$	⇒	$D\Phi \begin{pmatrix} x_1 \\ x_2 \end{pmatrix} = -c \begin{pmatrix} \sin x_1 \cos x_2 \\ \sin x_1 2 \cos x_2 \end{pmatrix}$

Wahl einer geeigneten Vektornorm: $\|\cdot\| = \text{Maximumnorm} \|\cdot\|_\infty$ (→ Bsp. 65)

Wenn $c < \frac{1}{3}$ ⇒ $\|D\Phi(\mathbf{x})\|_\infty < 1 \quad \forall \mathbf{x} \in \mathbb{R}^2$ ► Lineare Konvergenz der Fixpunktiteration

◇

Abbruchkriterien für kontrahierende Iterationen mit Kontraktionsrate $0 < L < 1$:

$$\begin{aligned} \|\mathbf{x}^{(k+m)} - \mathbf{x}^{(k)}\| &\stackrel{\Delta-\text{Ungl.}}{\leq} \sum_{j=k}^{k+m-1} \|\mathbf{x}^{(j+1)} - \mathbf{x}^{(j)}\| \leq \sum_{j=k}^{k+m-1} L^{j-k} \|\mathbf{x}^{(k+1)} - \mathbf{x}^{(k)}\| \\ &= \frac{1-L^m}{1-L} \|\mathbf{x}^{(k+1)} - \mathbf{x}^{(k)}\| \leq \frac{1-L^m}{1-L} L^{k-l} \|\mathbf{x}^{(l+1)} - \mathbf{x}^{(l)}\|. \end{aligned}$$

► für $m \rightarrow \infty$, mit $\mathbf{x}^* := \lim_{k \rightarrow \infty} \mathbf{x}^{(k)}$:

$$\|\mathbf{x}^* - \mathbf{x}^{(k)}\| \leq \frac{L^{k-l}}{1-L} \|\mathbf{x}^{(l+1)} - \mathbf{x}^{(l)}\|. \quad (2.2.5)$$



Setze $l = 1$ in (2.2.5)	Setze $l = k$ in (2.2.5)
A priori Abbruchkriterium $\ \mathbf{x}^* - \mathbf{x}^{(k)}\ \leq \frac{L^k}{1-L} \ \mathbf{x}^{(1)} - \mathbf{x}^{(0)}\ \quad (2.2.6)$	A posteriori Abbruchkriterium $\ \mathbf{x}^* - \mathbf{x}^{(k)}\ \leq \frac{L}{1-L} \ \mathbf{x}^{(k)} - \mathbf{x}^{(k-1)}\ \quad (2.2.7)$

2.3 Nullstellenbestimmung von Funktionen

[File: section-nullstellenbestimmung-von-funktionen.tex, SVN: section-nullstellenbestimmung-von-funktionen.tex 1183 2006-11-29 10:46:03Z hiptmair]

Spezialfall $n = 1$:

$F : I \subset \mathbb{R} \mapsto \mathbb{R}$ stetig, I Intervall

Gesucht:

$x^* \in I: \quad F(x^*) = 0$

2.3.1 Bisektionsverfahren

Idee: Nutze Anordnung der reellen Zahlen aus (Intervallschachtelung) & Zwischenwertsatz

Input: $a, b \in I$ mit $F(a)F(b) < 0$ (unterschiedliche Vorzeichen)
► $\exists x^* \in]\min\{a, b\}, \max\{a, b\}[: F(x^*) = 0$

MATLAB-Implementierung:

2.2
p. 77

2.3
p. 79

MATLAB-CODE: Bisektionsverfahren

```
function x = bisect(F,a,b,tol)
% Searching zero by bisection
if (a>b), t=b; a=b; b=t; end;
fa = F(a); fb = F(b);
if (fa*fb>0)
    error('f(a), f(b) same sign');
end;
fa > 0, v=-1; else v = 1; end
x = 0.5*(b+a);
while((b-a) > tol) & ((a<x) & (x<b))
    if (v*F(x)>0), b=x; else a=x; end;
    x = 0.5*(a+b);
end
```

Handle auf MATLAB-Funktion, die F implementiert.

Vermeide Endlosschleife, falls $tol <$ Abstand von Maschinenzahlen bei Nullstelle x^* .



- „narrensicher“
- Nur Auswertungen von F erforderlich



Nur lineare Konvergenz: $|x^{(k)} - x^*| \leq 2^{-k}|b-a|$ ► $\log_2 \left(\frac{|b-a|}{\text{tol}} \right)$ Schritte

Bemerkung 37. Bisektion implementiert in MATLAB-Funktion `fzero`.

2.3
p. 78

2.3
p. 80

2.3.2 Modellfunktionsverfahren

MODELLFKTVERF
 $\hat{=}$ Iterationsverfahren zur Nullstellenbestimmung von F :



- Idee: Gegeben approximative Nullstellen $x^{(k)}, x^{(k-1)}, \dots, x^{(k-m)}$
- ➊ ersetze F durch **Modellfunktion** \tilde{F}
 (verwende Funktionswerte/Ableitungen in $x^{(k)}, x^{(k-1)}, \dots, x^{(k-m)}$)
 - ➋ $x^{(k+1)} :=$ Nullstelle von \tilde{F}
 (muss "einfach" \leftrightarrow analytisch zu bestimmen sein)

Unterscheidung:

EINPKTVERFAHREN
Einpunktverfahren: $x^{(k+1)} = x^{(k+1)}(F, x^{(k)}), k \in \mathbb{N}$ (z.B. Fixpunktiteration $\xrightarrow{\text{sec:fixpunkt}}$ Abschn. 2.2)

MEHRPKTVERF
Mehrpunktverfahren: $x^{(k+1)} = x^{(k+1)}(x^{(k)}, x^{(k-1)}, \dots, x^{(k-m)}), k \in \mathbb{N}, m = 2, 3, \dots$

2.3.2.1 Newton-Verfahren in 1D

NEWTONONED

Annahme: $F : I \mapsto \mathbb{R}$ stetig differenzierbar.

Modellfunktion = Tangente an F in $x^{(k)}$:

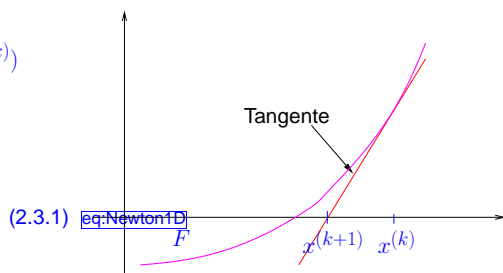
$$\tilde{F}(x) := F(x^{(k)}) + F'(x^{(k)})(x - x^{(k)})$$

➤ $x^{(k+1)}$ als Nullstelle der Tangente

➤ **Newton-Iteration**

$$x^{(k+1)} := x^{(k)} - \frac{F(x^{(k)})}{F'(x^{(k)})} ,$$

erforderlich $F'(x^{(k)}) \neq 0$.



(2.3.1) $\xrightarrow{\text{eq:Newton1D}}$

Beispiel 38 (Newton-Verfahren in 1D). (\rightarrow Beispiel 33) $\xrightarrow{\text{lex:fixp}}$

$$F(x) = xe^x - 1 \Rightarrow F'(x) = e^x(1+x) \Rightarrow x^{(k+1)} = x^{(k)} - \frac{x^{(k)}e^{x^{(k)}} - 1}{e^{x^{(k)}}(1+x^{(k)})} = \frac{(x^{(k)})^2 - e^{-x^{(k)}}}{1+x^{(k)}}$$

$$F(x) = x - e^{-x} \Rightarrow F'(x) = 1 + e^{-x} \Rightarrow x^{(k+1)} = x^{(k)} - \frac{x^{(k)} - e^{-x^{(k)}}}{1 + e^{-x^{(k)}}} = \frac{1 + x^{(k)}}{1 + e^{x^{(k)}}}$$

Beispiel 33 $\xrightarrow{\text{lex:fixp}}$ quadratische Konvergenz! (\rightarrow Def. 2.1.8) \diamond

Newton-Iteration (2.5.1) $\xrightarrow{\text{eq:Newton}}$ Fixpunktiteration (\rightarrow Abschnitt 2.2) mit Iterationsfunktion $\xrightarrow{\text{sec:fixpunktiteration}}$

$$\Phi(x) = x - \frac{F(x)}{F'(x)} \Rightarrow \Phi'(x) = \frac{F(x)F''(x)}{(F'(x))^2} \Rightarrow \Phi'(x^*) = 0, \text{ wenn } F(x^*) = 0, F'(x^*) \neq 0 .$$

Lemma 2.2.3 $\xrightarrow{\text{Lem:fpcvg}}$ Vermutung (bestätigt durch Theorie, [12, Thm. 4.10], [10, Sect. 2.1]):

LOKQUADKONV
 Newton-Verfahren konvergiert *lokal* quadratisch (\rightarrow Def. 2.1.8), falls $F'(x^*) \neq 0$ $\xrightarrow{\text{Def:cvgord}}$

2.3.2.2 Spezielle Einpunktverfahren

Konstruktionsidee (für weitere Einpunktverfahren): Nichtlineare lokale Approximation

Voraussetzung: Glattheit von F : $F \in C^m(I)$ für ein $m > 1$

Beispiel 39 (Halley'sche Iteration).

Gegeben $x^{(k)} \in I$, Modellfunktion $h(x^{(k+1)}) = 0$ wobei

$$h(x) = \frac{a}{x+b} + c \quad (\text{Rationale Funktion}), \quad F^{(j)}(x^{(k)}) = h^{(j)}(x^{(k)}), \quad j = 0, 1, 2 .$$

2.3
p. 81

$$\frac{a}{x^{(k)}+b} + c = F(x^{(k)}) , \quad -\frac{a}{(x^{(k)}+b)^2} = F'(x^{(k)}) , \quad \frac{2a}{(x^{(k)}+b)^3} = F''(x^{(k)}) .$$

$$x^{(k+1)} = x^{(k)} - \frac{F(x^{(k)})}{F'(x^{(k)})} \cdot \frac{1}{1 - \frac{1}{2} \frac{F(x^{(k)})F''(x^{(k)})}{F'(x^{(k)})^2}} .$$

Halley'sche Iteration für $F(x) = \frac{1}{(x+1)^2} + \frac{1}{(x+0.1)^2} - 1$, $x > 0$: und $x^{(0)} = 0$

k	$x^{(k)}$	$F(x^{(k)})$	$x^{(k)} - x^{(k-1)}$	$x^{(k)} - x^*$
1	0.19865959351191	10.90706835180178	-0.19865959351191	-0.84754290138257
2	0.69096314049024	0.94813655914799	-0.49230354697833	-0.35523935440424
3	1.02335017694603	0.03670912956750	-0.33238703645579	-0.02285231794846
4	1.04604398836483	0.00024757037430	-0.02269381141880	-0.00015850652965
5	1.04620248685303	0.00000001255745	-0.00015849848821	-0.00000000804145

2.3 Vergleich: Newton-Verfahren (2.3.1) für das gleiche Problem

k	$x^{(k)}$	$F(x^{(k)})$	$x^{(k)} - x^{(k-1)}$	$x^{(k)} - x^*$
1	0.04995004995005	44.38117504792020	-0.04995004995005	-0.99625244494443
2	0.12455117953073	19.62288236082625	-0.07460112958068	-0.92165131536375
3	0.23476467495811	8.57909346342925	-0.11021349542738	-0.81143781993637
4	0.39254785728080	3.63763326452917	-0.15778318232269	-0.65365463761368
5	0.60067545233191	1.42717892023773	-0.20812759505112	-0.44552704256257
6	0.82714994286833	0.46286007749125	-0.22647449053641	-0.21905255202615
7	0.99028203077844	0.09369191826377	-0.16313208791011	-0.05592046411604
8	1.04242438221432	0.00592723560279	-0.05214235143588	-0.00377811268016
9	1.04618505691071	0.00002723158211	-0.00376067469639	-0.00001743798377
10	1.04620249452271	0.00000000058056	-0.00001743761199	-0.00000000037178

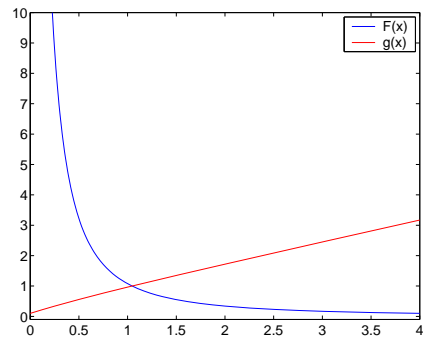
► Überlegenheit der Halley-Iteration, da F rationale Funktion.

! Newton-Verfahren langsamer, aber auch billiger (\rightarrow Abschn. 2.4) sec:effizienz

Beispiel 40 (Massgeschneidertes Newton-Verfahren).

Wie in Bsp. 39: lex:Halley

$$F(x) = \frac{1}{(x+1)^2} + \frac{1}{(x+0.1)^2} - 1, \quad x > 0:$$



Beobachtung:

$$F(x) + 1 \approx 2x^{-2} \text{ für } x \gg 1$$

$$\Rightarrow g(x) := \frac{1}{\sqrt{F(x) + 1}} \text{ fast linear für } x \gg 1$$

► Anstelle von $F(x) = 0$ löse $g(x) = 1$ mit Newton-Verfahren leg:Newton1D.

$$\begin{aligned} x^{(k+1)} &= x^{(k)} - \frac{g(x^{(k)}) - 1}{g'(x^{(k)})} = x^{(k)} + \left(\frac{1}{\sqrt{F(x^{(k)}) + 1}} - 1 \right) \frac{2(F(x^{(k)}) + 1)^{3/2}}{F'(x^{(k)})} \\ &= x^{(k)} + \frac{2(F(x^{(k)}) + 1)(1 - \sqrt{F(x^{(k)}) + 1})}{F'(x^{(k)})}. \end{aligned}$$

Konvergenzhistorie für $x^{(0)} = 0$:

k	$x^{(k)}$	$F(x^{(k)})$	$x^{(k)} - x^{(k-1)}$	$x^{(k)} - x^*$
1	0.91312431341979	0.24747993091128	0.91312431341979	-0.13307818147469
2	1.04517022155323	0.00161402574513	0.13204590813344	-0.00103227334125
3	1.04620244004116	0.00000008565847	0.00103221848793	-0.00000005485332
4	1.04620249489448	0.00000000000000	0.00000005485332	-0.00000000000000

Weitere Idee: **Konsistente Modifikation** der Newton-Iterationsvorschrift:

► Fixpunktiteration : $\Phi(x) = x - \frac{F(x)}{F'(x)}H(x)$ mit „geeignetem“ $H : I \mapsto \mathbb{R}$.

Ziel: Bestimme H so, dass Verfahren p -ter Ordnung entsteht, Werkzeug: Lemma 2.2.3. lem:fpcvg

Annahme: F „genügend“ glatt, $\exists x^* \in I : F(x^*) = 0, F'(x^*) \neq 0$.

$$\begin{aligned} \Phi &= x - uH, \quad \Phi' = 1 - u'H - uH', \quad \Phi'' = -u''H - 2u'H - uH'', \\ \text{mit } u &= \frac{F}{F'} \Rightarrow u' = 1 - \frac{FF''}{(F')^2}, \quad u'' = -\frac{F''}{F'} + 2\frac{F(F'')^2}{(F')^3} - \frac{FF'''}{(F')^2}. \end{aligned}$$

2.3
p. 85

2.3
p. 87

$$F(x^*) = 0 \quad u(x^*) = 0 \quad u'(x^*) = 1 \quad u''(x^*) = -\frac{F''(x^*)}{F'(x^*)}$$

$$\begin{aligned} \Phi'(x^*) &= 1 - H(x^*), \quad \Phi''(x^*) = \frac{F''(x^*)}{F'(x^*)}H(x^*) - 2H'(x^*). \quad (2.3.2) \quad \text{MN:1} \\ \text{2.2.3} \end{aligned}$$

$p = 2$ (quadratische Konvergenz): $H(x^*) = 1$,

$p = 3$ (kubische Konvergenz): $H(x^*) = 1 \wedge H'(x^*) = \frac{1}{2}\frac{F''(x^*)}{F'(x^*)}$.

$$H(x) = G(1 - u'(x)) \quad G$$

$$\begin{aligned} \text{► Fixpunktiteration} \quad x^{(k+1)} &= x^{(k)} - \frac{F(x^{(k)})}{F'(x^{(k)})}G\left(\frac{F(x^{(k)})F''(x^{(k)})}{(F'(x^{(k)}))^2}\right). \quad (2.3.3) \quad \text{eq:modN} \\ \text{2.3} \end{aligned}$$

zwi **Lemma 2.3.1.** Falls $F \in C^2(I)$, $F(x^*) = 0, F'(x^*) \neq 0$, $G \in C^2(U)$ in einer Umgebung U von 0 , $G(0) = 1, G'(0) = \frac{1}{2}$, dann konvergiert die Fixpunktiteration leg:modnewt lokal kubisch gegen x^* .

2.3
p. 86

2.3
p. 88

Beweis: Lemma 2.2.3, (2.3.2) und

$$H(x^*) = G(0), \quad H'(x^*) = -G'(0)u''(x^*) = G'(0)\frac{F''(x^*)}{F'(x^*)}.$$

Beispiel 41 (Beispiele für modifizierte Newton-Verfahren).

- $G(t) = \frac{1}{1 - \frac{1}{2}t} \rightarrow$ Halley Methode (\rightarrow Beispiel 39)

- $G(t) = \frac{2}{1 + \sqrt{1 - 2t}} \rightarrow$ Eulersche Methode

- $G(t) = 1 + \frac{1}{2}t \rightarrow$ Quadratische inverse Interpolation

k	$e^{(k)} := x^{(k)} - x^*$	Halley	Euler	Quad. Inv.
1	2.81548211105635	3.57571385244736	2.03843730027891	
2	1.37597082614957	2.76924150041340	1.02137913293045	
3	0.34002908011728	1.95675490333756	0.28835890388161	
4	0.00951600547085	1.25252187565405	0.01497518178983	
5	0.00000024995484	0.51609312477451	0.00000315361454	
6		0.14709716035310		
7		0.00109463314926		
8		0.00000000107549		

Numerisches Experiment:

$$F(x) = xe^x - 1, \quad x^{(0)} = 5$$

Sekantenverfahren
(MATLAB-Implementierung)

- Nur eine Funktionsauswertung von F pro Schritt!
- Ableitungsfrei!

```
function x = secant(x0,x1,F,tol)
fo = feval(F,x0);
for i=1:MAXIT
    fn = feval(F,x1);
    s = fn*(x1-x0)/(fn-fo);
    x0 = x1; x1 = x1-s;
    if (abs(s) < tol), x = x1; return; end
    fo = fn;
end
MATLAB-CODE Sekantenverfahren
```

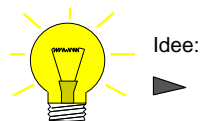
Beispiel 42 (Sekantenverfahren). $F(x) = xe^x - 1, \quad x^{(0)} = 0, x^{(1)} = 5$.

k	$x^{(k)}$	$F(x^{(k)})$	$e^{(k)} := x^{(k)} - x^*$	$\frac{\log e^{(k+1)} - \log e^{(k)} }{\log e^{(k)} - \log e^{(k-1)} }$
2	0.00673794699909	-0.99321649977589	-0.56040534341070	
3	0.01342122983571	-0.98639742654892	-0.55372206057408	24.43308649757745
4	0.98017620833821	1.61209684919288	0.41303291792843	2.70802321457994
5	0.38040476787948	-0.44351476841567	-0.18673852253030	1.48753625853887
6	0.50981028847430	-0.15117846201565	-0.05733300193548	1.51452723840131
7	0.57673091089295	0.02670169957932	0.00958762048317	1.70075240166256
8	0.56668541543431	-0.00126473620459	-0.00045787497547	1.59458505614449
9	0.56713970649585	-0.00000990312376	-0.00000358391394	1.62641838319117
10	0.56714329175406	0.00000000371452	0.00000000134427	
11	0.56714329040978	-0.0000000000000001	-0.0000000000000000	

2.3
p. 89

2.3
p. 91

2.3.2.3 Mehrpunktverfahren



Idee:
SEKANTENVERFAHREN

Ersetze F durch Interpolationspolynom

Interpolationsverfahren

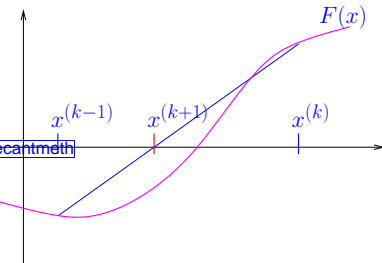
Einfachster Vertreter:

SEKANTENVERFAHREN

$x^{(k+1)}$ Nullstelle der Sekante

$$s(x) = F(x^{(k)}) + \frac{F(x^{(k)}) - F(x^{(k-1)})}{x^{(k)} - x^{(k-1)}}(x - x^{(k)}), \quad (2.3.4) \quad \text{eq:secantmeth}$$

$$\blacktriangleright x^{(k+1)} = x^{(k)} - \frac{F(x^{(k)})(x^{(k)} - x^{(k-1)})}{F(x^{(k)}) - F(x^{(k-1)})}. \quad (2.3.5)$$



Konvergenzanalyse: Fehler $e^{(k)} := x^{(k)} - x^*$

$$e^{(k+1)} = \Phi(x^* + e^{(k)}, x^* + e^{(k-1)}) - x^* \quad \text{mit} \quad \Phi(x, y) := x - \frac{F(x)(x - y)}{F(x) - F(y)}. \quad (2.3.6) \quad \text{eq:secmeth}$$

Taylorentwicklung mit MAPLE:

```
> Phi := (x,y) -> x-F(x)*(x-y)/(F(x)-F(y));
> F(s) := 0;
> e2 = normal(mtaylor(Phi(s+e1,s+e0)-s,[e0,e1],4));
```

\blacktriangleright (Linearisierte) Fehlerrekursion: $e^{(k+1)} \doteq \frac{1}{2} \frac{F''(x^*)}{F'(x^*)} e^{(k)} e^{(k-1)} = C e^{(k)} e^{(k-1)}$

Heuristik zur Bestimmung der Konvergenzordnung: $e^{(k+1)} = K^2(e^{(k-1)})^p, e^{(k)} = K(e^{(k-1)})^p$
def:cvgord (vgl. Def. 2.1.8)

$\blacktriangleright (e^{(k-1)})^{p^2-p-1} = K^{-1}C \Rightarrow p^2 - p - 1 = 0 \Rightarrow p = \frac{1}{2}(1 \pm \sqrt{5})$.

Da $e^{(k)} \rightarrow 0$ für $k \rightarrow \infty$ \Rightarrow Konvergenzrate $p = \frac{1}{2}(1 + \sqrt{5}) \approx 1.62$ (siehe Bsp. 42!)

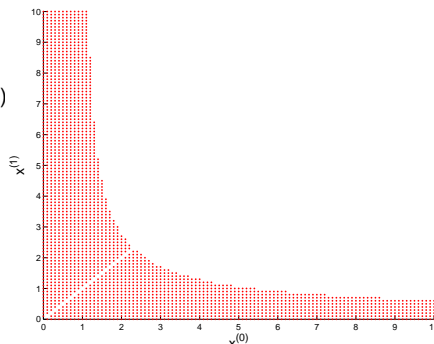
2.3
p. 90

2.3
p. 92

Beispiel 43 (Lokale Konvergenz, Sekantenverfahren)

$$F(x) = \arctan(x)$$

• Konvergenz des Sekantenverfahrens
für ein Paar $(x^{(0)}, x^{(1)})$ von Startwerten. \triangleright
= lokale Konvergenz \rightarrow Def. 2.1.3



Variante von Mehrpunktverfahren: *Inverse Interpolation*



Annahme:

$$F : I \subset \mathbb{R} \mapsto \mathbb{R} \text{ umkehrbar}$$

$$F(x^*) = 0 \Rightarrow F^{-1}(0) = x^*.$$

• Interpoliere F^{-1} durch Polynom p vom Grad d festgelegt durch

$$p(F(x^{(k-m)})) = x^{(k-m)}, \quad m = 0, \dots, d.$$

• Neue Näherung $x^{(k+1)} := p(0)$

Fall $m = 1 \triangleright$ Sekantenverfahren

Fall $m = 2$: Quadratische inverse Interpolation

MAPLE-Code:

```
p := x-> a*x^2+b*x+c;
solve({p(f0)=x0,p(f1)=x1,p(f2)=x2},{a,b,c});
assign(%); p(0);
```

$$\blacktriangleright x^{(k+1)} = \frac{F_0^2(F_1 x_2 - F_2 x_1) + F_1^2(F_2 x_0 - F_0 x_2) + F_2^2(F_0 x_1 - F_1 x_0)}{F_0^2(F_1 - F_2) + F_1^2(F_2 - F_0) + F_2^2(F_0 - F_1)}.$$

($F_0 := F(x^{(k-2)})$, $F_1 := F(x^{(k-1)})$, $F_2 := F(x^{(k)})$, $x_0 := x^{(k-2)}$, $x_1 := x^{(k-1)}$, $x_2 := x^{(k)}$)

Beispiel 44 (Quadratische inverse Interpolation). $F(x) = xe^x - 1$, $x^{(0)} = 0$, $x^{(1)} = 2.5$, $x^{(2)} = 5$.

k	$x^{(k)}$	$F(x^{(k)})$	$e^{(k)} := x^{(k)} - x^*$	$\frac{\log e^{(k+1)} - \log e^{(k)} }{\log e^{(k)} - \log e^{(k-1)} }$
3	0.08520390058175	-0.90721814294134	-0.48193938982803	
4	0.16009252622586	-0.81211229637354	-0.40705076418392	3.33791154378839
5	0.79879381816390	0.77560534067946	0.23165052775411	2.28740488912208
6	0.63094636752843	0.18579323999999	0.06380307711864	1.82494667289715
7	0.56107750991028	-0.01667806436181	-0.00606578049951	1.87323264214217
8	0.56706941033107	-0.00020413476766	-0.00007388007872	1.79832936980454
9	0.56714331707092	0.00000007367067	0.00000002666114	1.84841261527097
10	0.56714329040980	0.00000000000003	0.00000000000001	

◇

2.3

p. 93

2.4 Effizienz

[File: section-effizienz.tex, SVN: section-effizienz.tex 1054 2006-10-18 11:43:04Z kalai]

EFFIZIENZ	Effizienz eines Iterationsverfahrens (zur Lösung von $F(x) = 0$)	RECHENAUFWAND	Rechenaufwand um eine vorgegebene Anzahl gültiger Stellen zu erreichen.
-----------	--	---------------	---

Abstrakt:

$W \hat{=} \text{Rechenaufwand pro Schritt}$

$$\text{(etwa } W \approx \frac{\#\{\text{Auswertungen von } F\}}{\text{Schritt}} + n \cdot \frac{\#\{\text{Auswertungen von } F'\}}{\text{Schritt}} + \dots \text{)}$$

Quantitative Analyse für Iterationsverfahren der Konvergenzordnung p , $p \geq 1$ (\rightarrow Def. 2.1.8), d.h.,

$$\exists C > 0: \|e^{(k)}\| \leq C \|e^{(k-1)}\|^p \quad \forall k \geq 1.$$

2.3

p. 94

2.4

p. 95

2.4

p. 96

Anzahl Schritte k für $\|e^{(k)}\| \leq \rho \|e^{(0)}\|$, $\rho > 0$ vorgegeben ?: (Annahme $C \|e^{(0)}\|^{p-1} < 1$)

$$p = 1: \|e^{(k)}\| \leq C^k \|e^{(0)}\| \Rightarrow k \geq \frac{\log \rho}{\log C}, \quad (2.4.1) \quad \text{eq:IS}$$

$$p > 1: \|e^{(k)}\| \leq C^{\frac{p-1}{p}} \|e^{(0)}\|^{p^k} \Rightarrow p^k \geq 1 + \frac{\log \rho}{\log C/p-1 + \log(\|e^{(0)}\|)} \\ \Rightarrow k \geq \log(1 + \frac{\log \rho}{\log L_0}) / \log p, \quad L_0 := C^{1/p-1} \|e^{(0)}\|. \quad (2.4.2) \quad \text{eq:IS}$$

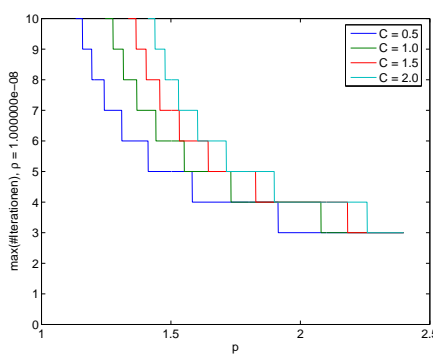
Beachte:

$|\log \rho| \leftrightarrow$ Anzahl gültiger Stellen in $x^{(k)}$

EFFICIENCY Effizienzmass (asymptotisch für $\rho \rightarrow 0$ $\rightarrow |\log \rho| \rightarrow \infty$):

$$\text{Effizienz} = \begin{cases} -\frac{\log C}{W} & , \text{falls } p = 1, \\ \frac{\log p |\log \rho|}{W \log |\log \rho|} & , \text{falls } p > 1. \end{cases} \quad (2.4.3) \quad \text{eq:efficie}$$

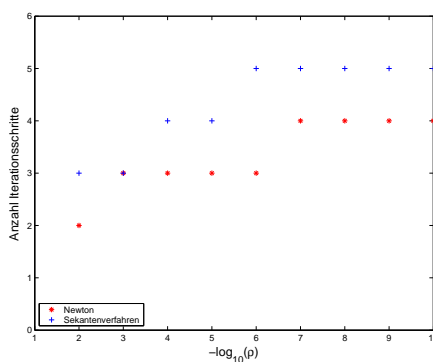
Beispiel 45 (Effizienz von Iterationsverfahren).



Auswertung (2.4.2) für $\|e^{(0)}\| = 0.1, \rho = 10^{-8}$

$$W_{\text{Newton}} = 2W_{\text{Sekant}}, \quad p_{\text{Newton}} = 2, \quad p_{\text{Sekant}} = 1.62 \quad \Rightarrow \quad \frac{\log p_{\text{Newton}}}{W_{\text{Newton}}} : \frac{\log p_{\text{Sekant}}}{W_{\text{Sekant}}} = 0.71.$$

Sekantenverfahren effizienter als Newton-Verfahren



Newton \leftrightarrow Sekantenverfahren, $C = 1$,
Anfangsfehler $\|e^{(0)}\| = 0.1$

2.5 Newton-Verfahren für Gleichungssysteme

[File: section-newton-verfahren.tex, SVN: section-newton-verfahren.tex 1234 2006-12-19 12:04:51Z hiptmair]

Nichtlineares Gleichungssystem: zu $F: D \subset \mathbb{R}^n \mapsto \mathbb{R}^n$ finde $\mathbf{x}^* \in D: F(\mathbf{x}^*) = 0$

Annahme: $F: D \subset \mathbb{R}^n \mapsto \mathbb{R}^n$ stetig differenzierbar

2.5.1 Die Newton-Iteration

Idee, siehe Abschn. 2.3.2.1: [Lokale Linearisierung](#):

Gegeben $\mathbf{x}^{(k)} \in D$ bestimme $\mathbf{x}^{(k+1)}$ als Nullstelle der affin linearen Modellfunktion
 $F(\mathbf{x}) \approx \tilde{F}(\mathbf{x}) := F(\mathbf{x}^{(k)}) + DF(\mathbf{x}^{(k)})(\mathbf{x} - \mathbf{x}^{(k)})$,
 $DF(\mathbf{x}) \in \mathbb{R}^{n,n}$ = Jacobi-Matrix, $DF(\mathbf{x}) = \left(\frac{\partial F_j}{\partial x_k}(\mathbf{x}) \right)_{j,k=1}^n$.

► **Newton-Iteration:** (\rightarrow (2.3.1) für 1D-Fall)

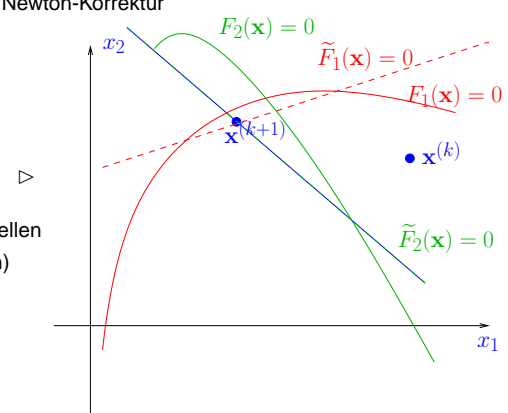
$$\mathbf{x}^{(k+1)} := \mathbf{x}^{(k)} - DF(\mathbf{x}^{(k)})^{-1} F(\mathbf{x}^{(k)}) \quad , \quad [\text{falls } DF(\mathbf{x}^{(k)}) \text{ regulär}] \quad (2.5.1) \quad \text{eq:Newt}$$

2.4
p. 97

Terminologie: $-DF(\mathbf{x}^{(k)})^{-1} F(\mathbf{x}^{(k)})$ [NEWTONKORR](#) = Newton-Korrektur

Veranschaulichung in 2D:

$\mathbf{x}^{(k+1)}$ als Schnitt von Geraden (= Nullstellenmengen der Komponenten der Modellfunktion)



Beispiel 46 (Newton-Verfahren in 2D, [32]).

$$F(\mathbf{x}) = \begin{pmatrix} x_1^2 - x_2^4 \\ x_1 - x_2^3 \end{pmatrix}, \quad \mathbf{x} = \begin{pmatrix} x_1 \\ x_2 \end{pmatrix} \in \mathbb{R}^2 \quad \Rightarrow \quad F \begin{pmatrix} 1 \\ 1 \end{pmatrix} = 0.$$

$$\Rightarrow DF(\mathbf{x}) = \begin{pmatrix} \frac{\partial x_1}{\partial x_1} F_1(x) & \frac{\partial x_2}{\partial x_1} F_1(x) \\ \frac{\partial x_1}{\partial x_2} F_2(x) & \frac{\partial x_2}{\partial x_2} F_2(x) \end{pmatrix} = \begin{pmatrix} 2x_1 & -4x_2^3 \\ 1 & -3x_2^2 \end{pmatrix} \quad \text{eq:Newton}$$

► Realisierung der Newton-Iteration (2.5.1):

2.5
p. 98

2.5
p. 99

1. Mit $\mathbf{x}^{(k)} = (x_1, x_2)^T$ löse das Gleichungssystem $\begin{pmatrix} 2x_1 & -4x_2^3 \\ 1 & -3x_2^2 \end{pmatrix} s = -\begin{pmatrix} x_1^2 - x_2^4 \\ x_1 - x_2^3 \end{pmatrix}$.

2. Setze $\mathbf{x}^{(k+1)} = \mathbf{x}^{(k)} + s$

k	$\mathbf{x}^{(k)}$	$\ \mathbf{x}^* - \mathbf{x}^{(k)}\ _2$
0	(0.7, 0.7) T	4.24e-01
1	(0.878500000000000, 1.064285714285714) T	1.37e-01
2	(1.01815943274188, 1.00914882463936) T	2.03e-02
3	(1.00023355916300, 1.00015913936075) T	2.83e-04
4	(1.00000000583852, 1.000000002726552) T	2.79e-08
5	(0.999999999999998, 1.000000000000000) T	2.11e-15
6	(1, 1) T	



Neuer Aspekt für $n \gg 1$ (im Vergleich zu $n = 1$, Abschn. 2.3.2.1)

Berechnung der Newton-Korrektur (evtl.) aufwändig, cf. (3.2.6)

MATLAB-Shell für Newton-Verfahren:

Löse lineares Gleichungssystem: $A \setminus b = A^{-1}b \rightarrow$ Abschn. 3.2

F, DF : Funktionshandles

```
MATLAB-CODE: Newtonverfahren
function x = newton(x,F,DF,tol)
% MATLAB template for Newton method
for i=1:MAXIT
    s = DF(x) \ F(x);
    if (norm(s) < tol), return; end;
end
```

Bemerkung 47. Wichtige Eigenschaft des Newton-Verfahrens: AFFINV DEU04

$G(\mathbf{x}) := \mathbf{A}F(\mathbf{x})$ mit $\mathbf{A} \in \mathbb{R}^{n,n}$ regulär $\Rightarrow F(\mathbf{x}^*) = 0 \Rightarrow G(\mathbf{x}^*) = 0$.

Die Newton-Iteration für G ist unabhängig von \mathbf{A} !

SIMPNEW

Bemerkung 48. Vereinfachtes Newton-Verfahren: Verwende $DF(\mathbf{x}^{(k)})$ für mehrere Schritte (\rightarrow nur lokal lineare Konvergenz)

Bemerkung 49. Falls $DF(\mathbf{x})$ nicht verfügbar (z.B. wenn $F(\mathbf{x})$ nur als Prozedur gegeben):

Numerisches Differenzieren: $\frac{\partial F_i}{\partial x_j}(\mathbf{x}) \approx \frac{F_i(\mathbf{x} + h\vec{e}_j) - F_i(\mathbf{x})}{h}$.

Achtung: Auslöschung (\rightarrow Beispiel 27) $h \approx \sqrt{\text{EPS}}$.

Übung 2.6. Given a matrix \mathbf{A} implement a numerical method for computing one eigenvalue/eigenvector of \mathbf{A} by applying Newton's method to

$$F\left(\begin{array}{c} \mathbf{x} \\ \lambda \end{array}\right) := \begin{pmatrix} \mathbf{Ax} - \lambda \mathbf{x} \\ \|\mathbf{x}\|^2 - 1 \end{pmatrix}.$$

2.6.1 Konvergenzanalyse des Newton-Verfahrens

Newton-Iteration (2.5.1) $\stackrel{\text{sec:Newton}}{=} \text{Fixpunktiteration}$ (\rightarrow Abschnitt 2.2) mit

$$\Phi(\mathbf{x}) = \mathbf{x} - DF(\mathbf{x})^{-1}F(\mathbf{x}).$$

„Produktregel“: $D\Phi(\mathbf{x}) = \mathbf{I} - D(DF(\mathbf{x})^{-1})F(\mathbf{x}) - DF(\mathbf{x})^{-1}DF(\mathbf{x})$

$$F(\mathbf{x}^*) = 0 \Rightarrow D\phi(\mathbf{x}^*) = 0.$$

2.5 Lemma 2.2.3 $\stackrel{\text{lem:fpcvg}}{\Rightarrow}$ Vermutung (bestätigt durch Theorie, [12, Thm. 4.10], [10, Sect. 2.1]):

Newton-Verfahren konvergiert lokal quadratisch, falls $DF(\mathbf{x}^*)$ regulär

Beispiel für theoretische Aussage über Newton-Verfahren:

Theorem 2.6.1 (Thm. 4.10 in [12]). Sei $D \subset \mathbb{R}^n$ offen und konvex und $F : D \mapsto \mathbb{R}^n$ stetig differenzierbar mit invertierbarer Jacobi-Matrix $DF(x) \forall x \in D$.

$\exists \omega \geq 0: \|DF(x)^{-1}(DF(x + \sigma v) - DF(x))v\| \leq \sigma \omega \|v\|^2 \quad \forall \sigma \in [0, 1], x \in D, v \in \mathbb{R}^n,$
 $\exists x^*, x^{(0)} \in D: F(x^*) = 0 \wedge \rho := \|x^* - x^{(0)}\| < \frac{2}{\omega} \wedge B_\rho(x^*) \subset D$.

Dann erfüllt die Newton-Folge aus (2.5.1):

1. $x^{(k)} \in B_\rho(x^*) := \{y \in \mathbb{R}^n, \|y - x^*\| < \rho\}$ für alle $k \in \mathbb{N}$,
2. $\lim_{k \rightarrow \infty} x^{(k)} = x^*$,
3. $\|x^{(k+1)} - x^*\| \leq \frac{\omega}{2} \|x^{(k)} - x^*\|^2$.

Problem: Normalerweise sind weder ω noch x^* bekannt!

2.5 \blacktriangleright A priori Abschätzungen (wie in Thm. 2.6.1) von geringem praktischen Nutzen

2.6
p. 103

ABBRUCHKRITERIEN

Abbruchkriterien für Newton-Verfahren:

Asymptotisch wegen quadratischer Konvergenz:

$$\|x^{(k+1)} - x^*\| \ll \|x^{(k)} - x^*\| \Rightarrow \|x^{(k)} - x^*\| \approx \|x^{(k+1)} - x^{(k)}\|.$$

► Beende Iteration, wenn $\|x^{(k+1)} - x^{(k)}\| = \|DF(x^{(k)})^{-1}F(x^{(k)})\| < \tau \|x^{(k)}\|$, τ = Toleranz
→ Überflüssiger (letzter) Schritt !

Beachte: für $n \gg 1$ kann jeder Newtonschritt mit grossem Rechenaufwand verbunden sein.

Alternativ: $DF(x^{(k-1)}) \approx DF(x^{(k)})$ ► Beende Iteration, wenn $\|DF(x^{(k-1)})^{-1}F(x^{(k)})\| < \tau$

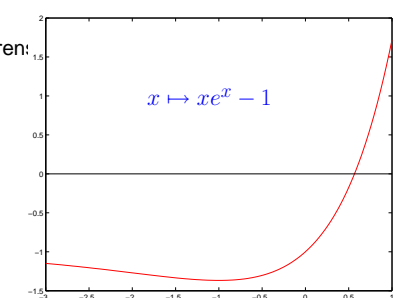
Terminologie: $DF(x^{(k-1)})^{-1}F(x^{(k)})$ heisst vereinfachte Newton-Korrektur
(billig verfügbar, falls LU-Zerlegung (→ Abschn. 3.2.3) von $DF(x^{(k-1)})$ bereits berechnet)

Beispiel 50 (Lokale Konvergenz des Newton-Verfahrens:

Was heisst lokale Konvergenz ? Beispiel:

$$F(x) = xe^x - 1 \Rightarrow F'(-1) = 0$$

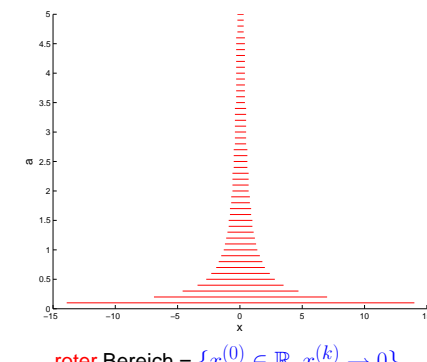
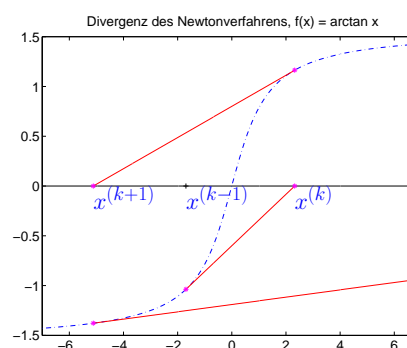
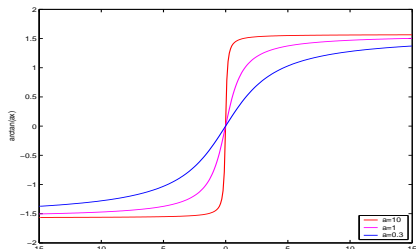
$$\begin{aligned} x^{(0)} < -1 &\Rightarrow x^{(k)} \rightarrow -\infty \\ x^{(0)} > -1 &\Rightarrow x^{(k)} \rightarrow x^* \end{aligned}$$



Beispiel 51 (Konvergenzbereich des Newton-Verfahrens).

$$F(x) = \arctan(ax), \quad a > 0, x \in \mathbb{R}$$

$$\Rightarrow x^* = 0.$$



Zusammenfassung: Das Newton-Verfahren

- 😊 konvergiert *asymptotisch* sehr schnell: Verdopplung Zahl gültiger Stellen in jedem Schritt
- 😢 hat u.U. nur sehr kleinen (lokalen) Konvergenzbereich

2.6

p. 105

2.6.2 Gedämpftes Newton-Verfahren

Beispiel 51: Problem ist „Überschissen“ der Newton-Korrektur



Idee: DAEMPFUNG Dämpfung der Korrektur:

$$\text{Mit } \lambda^{(k)} > 0: \quad x^{(k+1)} := x^{(k)} - \lambda^{(k)} DF(x^{(k)})^{-1}F(x^{(k)}). \quad (2.6.1)$$

Terminologie: $\lambda^{(k)}$ = Dämpfungsfaktor

Wahl des Dämpfungsfaktors: Affininvarianter natürlicher Monotonietest [DEU04, Ch. 3]

$$\text{„größtmögliche“ } \lambda^{(k)} > 0: \quad \left\| \bar{s}(\lambda^{(k)}) \right\| \leq \left(1 - \frac{\lambda^{(k)}}{2} \right) \|s\| \quad (2.6.2)$$

mit $s := DF(x^{(k)})^{-1}F(x^{(k)})$ → aktuelle Newton-Korrektur,
 $\bar{s}(\lambda^{(k)}) := DF(x^{(k)})^{-1}F(x^{(k)} + \lambda^{(k)} s)$ → versuchsweise vereinfachte Newton-Korrektur.

Heuristik: Konvergenz \Leftrightarrow Abnahme der „Länge“ der Newton-Korrektur

MATLAB-CODE : Gedämpftes Newton-Verfahren .

```
function [x,cvg] = dampnewton(x,F,DF,q,tol)
A = DF(x); s = A\b(F(x));
xn = x-s;
lambda = 1; cvg = 0;
while (norm(s) > tol)
```

2.6

p. 106

2.6

p. 107

2.6

p. 108

```

f = F(xn); st = A\f;
while (norm(st) > (1-lambda/2)*norm(s))
    lambda = q*lambda;
    if (lambda < LMIN), cvg = -1; return; end
    xn = x-lambda*s;
    f = F(xn); st = A\f;
end
x = xn;
A = DF(x); s = A\f;
lambda = min(lambda/q,1);
xn = x-lambda*s;
end
x = xn;

```

Strategie: Reduziere Dämpfungsparameter um Faktor $q \in [0, 1]$ (üblich $q = \frac{1}{2}$) solange bis affininvarianter natürlicher Monotonietest (2.6.2) erfüllt

Beispiel 52 (Gedämpftes Newton-Verfahren). (\rightarrow Beispiel 51)

$$F(x) = \arctan(x),$$

- $x^{(0)} = 20$

- $q = \frac{1}{2}$

- $LMIN = 0.001$

Beobachtung: asymptotische quadratische Konvergenz

k	$\lambda^{(k)}$	$x^{(k)}$	$F(x^{(k)})$
1	0.03125	0.94199967624205	0.75554074974604
2	0.06250	0.85287592931991	0.70616132170387
3	0.12500	0.70039827977515	0.61099321623952
4	0.25000	0.47271811131169	0.44158487422833
5	0.50000	0.20258686348037	0.19988168667351
6	1.00000	-0.00549825489514	-0.00549819949059
7	1.00000	0.00000011081045	0.00000011081045
8	1.00000	-0.00000000000001	-0.00000000000001

Beispiel 53 (Versagen des gedämpften Newton-Verfahrens).

- Wie in Bsp. 50: $F(x) = xe^x - 1$,

- Startwert für gedämpftes Newton-Verfahren $x^{(0)} = -1.5$

k	$\lambda^{(k)}$	$x^{(k)}$	$F(x^{(k)})$
1	0.25000	-4.4908445351690	-1.0503476286303
2	0.06250	-6.1682249558799	-1.0129221310944
3	0.01562	-7.6300006580712	-1.0037055902301
4	0.00390	-8.8476436930246	-1.0012715832278
5	0.00195	-10.5815494437311	-1.0002685596314

Abbruch wegen $\lambda^{(k)} < LMIN$!

Beobachtung: Newton-Korrektur hat „falsche Richtung“ \rightarrow Keine Konvergenz

2.6.3 Quasi-Newton-Verfahren

QUASINEWTON

Was tun, wenn $DF(\mathbf{x})$ nicht verfügbar und numerisches Differenzieren (\rightarrow Bem. 49) zu aufwändig?

Idee: in einer Dimension ($n = 1$, \rightarrow Sekantenverfahren (2.3.4), Abschn. 2.3.2.3)



$$F'(x^{(k)}) \approx \frac{F(x^{(k)}) - F(x^{(k-1)})}{x^{(k)} - x^{(k-1)}} \quad \text{"Differenzenquotient"} \quad (2.6.3)$$

Schon berechnet! \rightarrow billig

Verallgemeinerung für $n > 1$?

(2.6.3) SEKAN

Sekantenbedingung für Approximation $\mathbf{J}_k \approx DF(\mathbf{x}^{(k)})$, $\mathbf{x}^{(k)} \hat{=} \text{Iterierte}$:

$$\mathbf{J}_k(\mathbf{x}^{(k)} - \mathbf{x}^{(k-1)}) = F(\mathbf{x}^{(k)}) - F(\mathbf{x}^{(k-1)}). \quad (2.6.4)$$

Klar:

Viele \mathbf{J}_k erfüllen (2.6.4)

\Rightarrow Nötig: Weitere Bedingungen an $\mathbf{J}_k \in \mathbb{R}^{n,n}$

2.6

p. 109

Idee:

\mathbf{J}_k durch Modifikation von \mathbf{J}_{k-1}



Nebenbedingung (Broyden): $\mathbf{J}_k \mathbf{z} = \mathbf{J}_{k-1} \mathbf{z} \quad \forall \mathbf{z}: \mathbf{z} \cdot (\mathbf{x}^{(k)} - \mathbf{x}^{(k-1)}) = 0$

(2.6.5) eq:broyc



$$\mathbf{J}_k = \mathbf{J}_{k-1} + \frac{F(\mathbf{x}^{(k)})(\mathbf{x}^{(k)} - \mathbf{x}^{(k-1)})^T}{\|\mathbf{x}^{(k)} - \mathbf{x}^{(k-1)}\|_2^2} \quad (2.6.6)$$

(2.6.6) eq:broydt

(2.6.6) RANGONEMOD

Rang-1-Modifikation, Abschn. 3.2.8.1

BRPYON

Broydens Quasi-Newton-Verfahren zur Lösung von $F(\mathbf{x}) = 0$:

$$\mathbf{x}^{(k+1)} := \mathbf{x}^{(k)} + \Delta \mathbf{x}^{(k)}, \Delta \mathbf{x}^{(k)} := -\mathbf{J}_k^{-1} F(\mathbf{x}^{(k)}), \mathbf{J}_{k+1} := \mathbf{J}_k + \frac{F(\mathbf{x}^{(k+1)})(\Delta \mathbf{x}^{(k)})^T}{\|\Delta \mathbf{x}^{(k)}\|_2^2} \quad (2.6.7)$$

2.6

p. 110

Startwert $\mathbf{J}_0 = ? \rightarrow$ Verwende etwa exakte Jacobimatrix $DF(\mathbf{x}^{(0)})$



2.6

p. 112

Bemerkung 54 (Minimalität von Broydens Rang-1-Modifikation).

$$\mathbf{J} \in \mathbb{R}^{n,n} \text{ erfüllt (2.6.4)} \quad \triangleright \quad (\mathbf{I} - \mathbf{J}_k^{-1} \mathbf{J})(\mathbf{x}^{(k+1)} - \mathbf{x}^{(k)}) = -\mathbf{J}_k^{-1} F(\mathbf{x}^{(k+1)})$$

$$\begin{aligned} \|\mathbf{I} - \mathbf{J}_k^{-1} \mathbf{J}_{k+1}\|_2 &= \left\| \frac{-\mathbf{J}_k^{-1} F(\mathbf{x}^{(k+1)}) \Delta \mathbf{x}^{(k)}}{\|\Delta \mathbf{x}^{(k)}\|_2^2} \right\|_2 = \left\| (\mathbf{I} - \mathbf{J}_k^{-1} \mathbf{J}) \frac{\Delta \mathbf{x}^{(k)} (\Delta \mathbf{x}^{(k)})^T}{\|\Delta \mathbf{x}^{(k)}\|_2^2} \right\|_2 \\ &\leq \|\mathbf{I} - \mathbf{J}_k^{-1} \mathbf{J}\|_2. \end{aligned}$$

\Rightarrow (2.6.6) = $\|\cdot\|_2$ -minimale relative Korrektur von \mathbf{J}_{k-1} , die Sekantenbedingung (2.6.4) respektiert. \triangle

EXQUASINEWTON

Beispiel 55 (Broydens Quasi-Newton-Verfahren: Konvergenz).

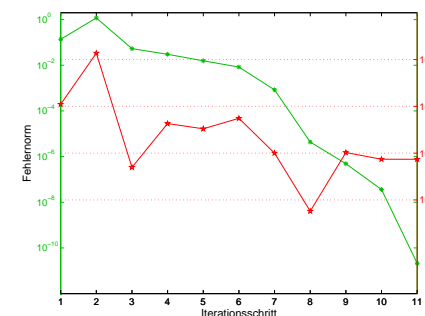
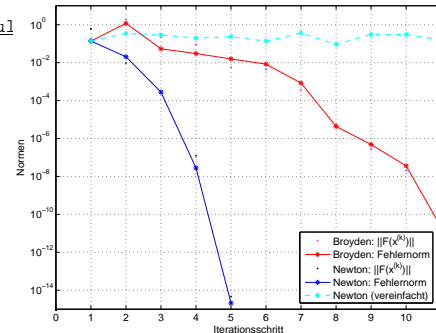
- Nullstellenbestimmung aus Bsp. 46, $n=2$
- $\mathbf{x}^{(0)} = (0.7, 0.7)^T$
- $\mathbf{J}_0 = DF(\mathbf{x}^{(0)})$

Langsamer als Newton-Verfahren

(2.5.1)

Besser als

vereinfachtes Newton-Verfahren (\rightarrow Bem. 48)



Konvergenzmonitor

= Grösse, die Probleme mit der Konvergenz einer Iteration anzeigen

Hier:

$$\mu := \frac{\|\mathbf{J}_{k-1}^{-1} F(\mathbf{x}^{(k)})\|}{\|\Delta \mathbf{x}^{(k-1)}\|}$$

Heuristik: $\mu > 1 \Rightarrow$ keine Konvergenz

\diamond

Bemerkung 56. Option: Gedämpftes Broyden-Verfahren (wie bei Newton-Verfahren, Abschn. 2.6.2) \triangle

Implementierung von (2.6.7): Mit Sherman-Morrison-Woodbury Update-Formel, Lemma 96 \triangle

2.6
p. 113

$$\mathbf{J}_{k+1}^{-1} = \left(\mathbf{I} - \frac{\mathbf{J}_k^{-1} F(\mathbf{x}^{(k+1)}) (\Delta \mathbf{x}^{(k)})^T}{\|\Delta \mathbf{x}^{(k)}\|_2^2 + \Delta \mathbf{x}^{(k)} \cdot \mathbf{J}_k^{-1} F(\mathbf{x}^{(k+1)})} \right) \mathbf{J}_k^{-1} = \left(\mathbf{I} + \frac{\Delta \mathbf{x}^{(k+1)} (\Delta \mathbf{x}^{(k)})^T}{\|\Delta \mathbf{x}^{(k)}\|_2^2} \right) \mathbf{J}_k^{-1} \quad (2.6.8)$$

2.6
p. 113

Sinnvoll, falls $\|\mathbf{J}_k^{-1} F(\mathbf{x}^{(k+1)})\|_2 < \|\Delta \mathbf{x}^{(k)}\|_2$ „vereinfachte Quasi-Newton-Korrektur“

MATLAB-CODE: Broyden-Verfahren (2.6.7)

```

function x = broyden(F,x,J,tol)
k = 1;
[L,U] = lu(J);
s = U \ (L \ F(x));
sn = dot(s,s);
dx = [s];
dxe = [sn];
x = x - s;
f = F(x);

while (sqrt(sn) > tol), k=k+1
    w = U \ (L \ f);
    for l=2:k-1
        w = w+dx(:,l)*(dx(:,l-1)'*w)...
            /dxe(l-1);
    end
    if (norm(w)>sn)
        warning('Dubious step %d!',k);
    end
    z = s'*w;
    s = (1+z/(sn-z))*w;
    sn=s'*s;
    dx = [dx,s];
    dxe = [dxe,sn];
    x = x - s;
    f = F(x);
end

```

Einmalige LU-Zerlegung !

Speicherung der $\Delta \mathbf{x}^{(k)}$, $\|\Delta \mathbf{x}^{(k)}\|_2^2$ (\rightarrow (2.6.8))

Löse gestaffelte LGS

Abbruch, vgl. Abschn. 2.6.1

Aufbau von $w := \mathbf{J}_k^{-1} F(\mathbf{x}^{(k)})$ (\rightarrow Rekursion (2.6.8))

Konvergenzmonitor $\frac{\|\mathbf{J}_{k-1}^{-1} F(\mathbf{x}^{(k)})\|}{\|\Delta \mathbf{x}^{(k-1)}\|} < 1$?

Korrektur $s = \mathbf{J}_k^{-1} F(\mathbf{x}^{(k)})$

2.6
p. 114

2.6
p. 116

- Rechenaufwand :
 - $O(N^2 \cdot n)$ Operationen Vektorarithmetik, (Level H)
 - N Schritte
 - 1 LU-Zerlegung von J , $N \times$ Lösung gestaffeltes LGS \rightarrow Abschn. 8.2.3
 - $N F$ -Auswertungen !

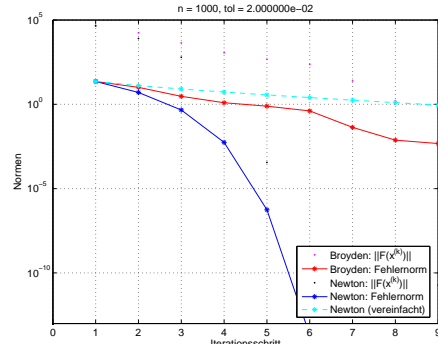
- Speicheraufwand :
 - LU-Faktoren von J + Hilfsvektoren $\in \mathbb{R}^n$
 - N Schritte
 - N Vektoren $\mathbf{x}^{(k)} \in \mathbb{R}^n$

Beispiel 57 (Broyden-Verfahren für grosses nichtlineares Gleichungssystem).

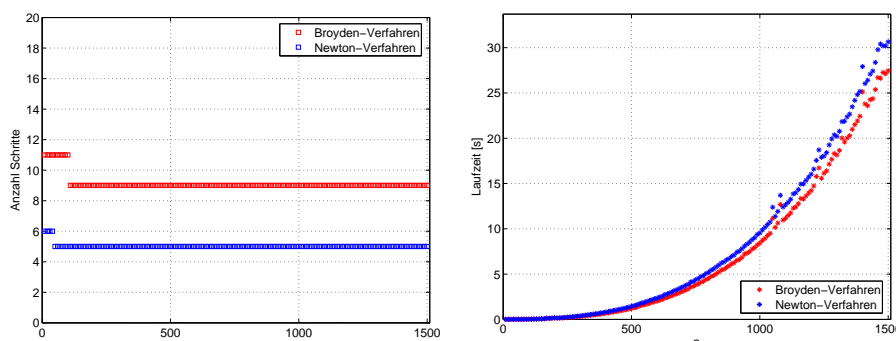
$$F(\mathbf{x}) = \begin{cases} \mathbb{R}^n \mapsto \mathbb{R}^n \\ \mathbf{x} \mapsto \text{diag}(\mathbf{x})\mathbf{A}\mathbf{x} - \mathbf{b}, \\ \mathbf{b} = (1, 2, \dots, n) \in \mathbb{R}^n, \\ \mathbf{A} = \mathbf{I} + \mathbf{a}\mathbf{a}^T \in \mathbb{R}^{n,n}, \\ \mathbf{a} = \frac{1}{\sqrt{1 \cdot \mathbf{b} - 1}}(\mathbf{b} - 1). \end{cases}$$

Auswertung wie in Bsp. 55

$\text{h} = 2/n; \mathbf{x}_0 = (2:h:4-h)'$



Vergleich der Effizienzen: Broyden-Verfahren \longleftrightarrow Newton-Verfahren:
(Problemgrösse $n >$ Toleranz $\text{tol} = 2n \cdot 10^{-5}$, $\text{h} = 2/n; \mathbf{x}_0 = (2:h:4-h)'$)



☞ Broyden-Verfahren konkurrenzfähig für $n \gg 1$ und geringe Genauigkeitsanforderungen

2.7 Nichtlineare Ausgleichsrechnung

Gegeben:

$$F : D \subset \mathbb{R}^n \mapsto \mathbb{R}^m, \quad m, n \in \mathbb{N}, m > n$$

➤ Erweiterte Aufgabenstellung:

NICHTLINEAUSGL

Nichtlineares Ausgleichsproblem

$$\text{Suche } \mathbf{x}^* \in D: \quad \mathbf{x}^* = \underset{\mathbf{x} \in D}{\operatorname{argmin}} \Phi(\mathbf{x}), \quad \Phi(\mathbf{x}) := \frac{1}{2} \|F(\mathbf{x})\|_2^2. \quad (2.7.1)$$

(Existenz/Eindeutigkeit von \mathbf{x}^* jeweils für jeden Fall konkret nachzuprüfen !)

Terminologie: $D \hat{=} \text{Parameterbereich}$, $x_1, \dots, x_n \hat{=} \text{Parameter}$

Wir verlangen „Abhängigkeit von allen Parametern“

\exists Umgebung $\mathcal{U}(\mathbf{x}^*)$: $DF(\mathbf{x})$ hat vollen Rang $n \quad \forall \mathbf{x} \in \mathcal{U}(\mathbf{x}^*)$.

(bedeutet: Spalten der Jacobimatrix $DF(\mathbf{x})$ sind linear unabhängig.)

2.6
p. 117

1. Möglichkeit: (gedämpftes) Newton-Verfahren

$$\Phi(\mathbf{x}^*) = \min \Rightarrow \text{grad } \Phi(\mathbf{x}) = 0, \quad \text{grad } \Phi(\mathbf{x}) := (\frac{\partial \Phi}{\partial x_1}(\mathbf{x}), \dots, \frac{\partial \Phi}{\partial x_n}(\mathbf{x}))^T \in \mathbb{R}^n.$$

Idee: Newton-Verfahren zur Bestimmung einer Nullstelle von $\text{grad } \Phi : D \mapsto \mathbb{R}^n$

Kettenregel $\Rightarrow \text{grad } \Phi(\mathbf{x}) = DF(\mathbf{x})^T F(\mathbf{x})$,

Produktregel $\Rightarrow H\Phi(\mathbf{x}) := D(\text{grad } \Phi)(\mathbf{x}) = DF(\mathbf{x})^T DF(\mathbf{x}) + \sum_{j=1}^m F_j(\mathbf{x}) D^2 F_j(\mathbf{x}).$

HESS
 $(H\Phi(\mathbf{x}))$ = Hesse-Matrix

➤ Lineares Gleichungssystem zur Bestimmung der Newton-Korrektur $\mathbf{s} \in \mathbb{R}^n$ zu $\mathbf{x}^{(k)}$:

$$\left(DF(\mathbf{x}^{(k)})^T DF(\mathbf{x}^{(k)}) + \sum_{j=1}^m F_j(\mathbf{x}^{(k)}) D^2 F_j(\mathbf{x}^{(k)}) \right) \mathbf{s} = -DF(\mathbf{x}^{(k)})^T F(\mathbf{x}^{(k)}). \quad (2.7.2)$$

Newton-Verfahren = Minimierung einer lokalen quadratischen Approximation von Φ :

$$\Phi(\mathbf{x}) \approx Q(\mathbf{s}) := \Phi(\mathbf{x}^{(k)}) + \text{grad } \Phi(\mathbf{x}^{(k)})^T \mathbf{s} + \frac{1}{2} \mathbf{s}^T H\Phi(\mathbf{x}^{(k)}) \mathbf{s}.$$

$$\text{grad } Q(\mathbf{s}) = 0 \Leftrightarrow H\Phi(\mathbf{x}^{(k)}) \mathbf{s} + \text{grad } \Phi(\mathbf{x}^{(k)}) = 0 \Leftrightarrow \boxed{(2.7.2)}$$

2.7
p. 118

2.7
p. 119

Bemerkung 58 (Differenzieren). → Wiederholung: Analysis Grundvorlesung

Seien V, W endlichdimensionale Vektorräume, $F : D \subset V \mapsto W$ hinreichend glatt. Ableitung $DF(\mathbf{x})$ von F in $\mathbf{x} \in V$

$$DF(\mathbf{x}) : V \mapsto W \text{ linear}, \quad \|F(\mathbf{x} + \mathbf{h}) - F(\mathbf{x}) - DF(\mathbf{x})\mathbf{h}\| = o(\|\mathbf{h}\|) \quad \forall \mathbf{h}, \|\mathbf{h}\| < \delta.$$

- $F : V \mapsto W$ linear, d.h. $F(\mathbf{x}) = \mathbf{A}\mathbf{x}$, \mathbf{A} Matrix ➤ $DF(\mathbf{x}) = \mathbf{A}$.

KETTENREGEL: Kettenregel: $F : V \mapsto W, G : W \mapsto U$ hinreichend glatt

$$D(G \circ F)(\mathbf{x})\mathbf{h} = DG(F(\mathbf{x}))(DF(\mathbf{x}))\mathbf{h}, \quad \mathbf{h} \in V, \mathbf{x} \in D.$$

PRODREGEL

- Produktregel: $F : D \subset V \mapsto W, G : D \subset V \mapsto U$ hinreichend glatt, $b : W \times U \mapsto Z$ bilinear

$$T(\mathbf{x}) = b(F(\mathbf{x}), G(\mathbf{x})) \quad \Rightarrow \quad DT(\mathbf{x})\mathbf{h} = b(DF(\mathbf{x})\mathbf{h}, G(\mathbf{x})) + b(F(\mathbf{x}), DG(\mathbf{x})\mathbf{h}), \quad \mathbf{h} \in V, \mathbf{x} \in D.$$

Für $F : D \subset V \mapsto \mathbb{R}$ sind der Gradient $\nabla F : D \mapsto \mathbb{R}^n$, $n := \dim V$, und die Hessematrix $HF(\mathbf{x}) : D \mapsto \mathbb{R}^{n,n}$ definiert durch

$$\nabla F(\mathbf{x})^T \mathbf{h} := DF(\mathbf{x})\mathbf{h}, \quad \mathbf{h}_1^T HF(\mathbf{x})\mathbf{h}_2 := D(DF(\mathbf{x})(\mathbf{h}_1))(\mathbf{h}_2), \quad \mathbf{h}, \mathbf{h}_1, \mathbf{h}_2 \in V.$$



2. Möglichkeit:

GAUSSNEWTON

Gauss-Newton-Verfahren

Idee: Lokale Linearisierung von F (anstatt lokaler quadratischer Approximation von Φ)

Korrektur \mathbf{s} zur aktuellen Iterierten $\mathbf{x}^{(k)}$ so dass

$$\|F(\mathbf{x}^{(k)}) + DF(\mathbf{x}^{(k)})\mathbf{s}\|_2 \rightarrow \min \quad (\text{Lineares Ausgleichsproblem} \rightarrow \text{Abschnitt 3.5}) \quad \text{(2.7.3) GNS}$$

Der Operator \backslash : die Wunderwaffe in MATLAB:

Für $\mathbf{A} \in \mathbb{R}^{m,n}$

$$\mathbf{x} = \mathbf{A} \backslash \mathbf{b}$$



Minimierer von $\|\mathbf{Ax} - \mathbf{b}\|_2$
mit minimaler 2-Norm,

MATLAB-Template für Gauss-Newton-Verfahren

```
function x = gn(x,f,J,tol)
s = J(x)\f(x);
x = x-s;
while (norm(s) > tol)
    s = J(x)\f(x);
    x = x-s;
end
```

Vorteil des Gauss-Newton-Verfahrens: Keine zweiten Ableitungen von F erforderlich

Nachteil des Gauss-Newton-Verfahrens: Keine lokale quadratische Konvergenz



3. Möglichkeit:

TRUSTREGION

Trust-Region-Verfahren (Levenberg-Marquardt-Verfahren)

Idee: Dämpfung der Gauss-Newton-Korrektur aus (2.7.3) durch Strafterm (engl. penalty term)

2.7

p. 121

$$\text{Statt } \|F(\mathbf{x}^{(k)}) + DF(\mathbf{x}^{(k)})\mathbf{s}\|_2^2 \text{ minimiere } \|F(\mathbf{x}^{(k)}) + DF(\mathbf{x}^{(k)})\mathbf{s}\|_2^2 + \lambda \|\mathbf{s}\|_2^2.$$

2.7

p. 123

$\lambda > 0$ ≈ Strafparameter (wie zu wählen?) → Heuristik)

$$\lambda = \gamma \|F(\mathbf{x}^{(k)})\|_2, \quad \gamma := \begin{cases} 10, & \text{falls } \|F(\mathbf{x}^{(k)})\|_2 \geq 10, \\ 1, & \text{falls } 1 < \|F(\mathbf{x}^{(k)})\|_2 < 10, \\ 0.01, & \text{falls } \|F(\mathbf{x}^{(k)})\|_2 \leq 1. \end{cases}$$

Modifizierte (regularisierte) Gleichung für Korrektur \mathbf{s} :

$$(DF(\mathbf{x}^{(k)})^T DF(\mathbf{x}^{(k)}) + \lambda I) \mathbf{s} = -DF(\mathbf{x}^{(k)})F(\mathbf{x}^{(k)}). \quad (2.7.4) \quad \text{GMS}$$

NICHTLINIREGR

Beispiel 59 (Nichtlineare Regression, parametrische Statistik).

Parametrische Statistik: Fitten von Messwerten (t_i, y_i) , $i = 1, \dots, m$ durch nichtlineare parameter-abhängige Funktion $f : \mathbb{R} \mapsto \mathbb{R}$, speziell $f(t) = x_1 + x_2 \exp(-x_3 t)$.

$$\Rightarrow F(\mathbf{x}) = \begin{pmatrix} x_1 + x_2 \exp(-x_3 t_1) - y_1 \\ \vdots \\ x_1 + x_2 \exp(-x_3 t_m) - y_m \end{pmatrix} : \mathbb{R}^3 \mapsto \mathbb{R}^m, \quad DF(\mathbf{x}) = \begin{pmatrix} 1 & e^{-x_3 t_1} & -x_2 t_1 e^{-x_3 t_1} \\ \vdots & \vdots & \vdots \\ 1 & e^{-x_3 t_m} & -x_2 t_m e^{-x_3 t_m} \end{pmatrix}$$

Numerisches Experiment:

Konvergenz des Newton-Verfahrens,
gedämpften Newton-Verfahrens
(→ Abschnitt 2.6.2) und Gauss-Newton-
Verfahrens für verschiedene Startwerte

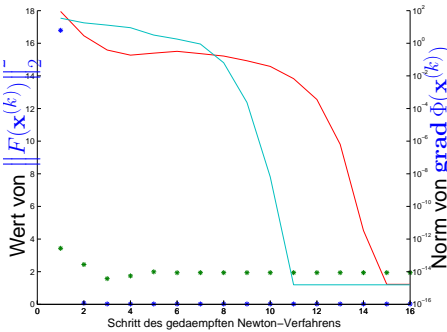
```
rand('seed',0);
t = (1:0.3:7)';
y = x(1) + x(2)*exp(-x(3)*t);
y = y+0.1*(rand(length(y),1)-0.5);
```

2.7

p. 122

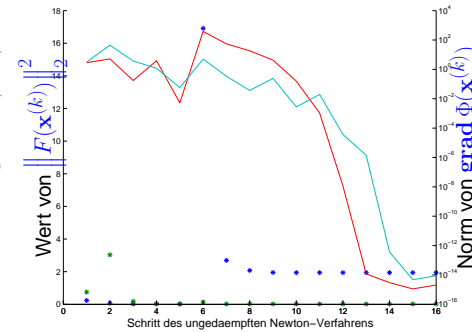
2.7

p. 124



Konvergenzverhalten des Newton-Verfahrens:

- Anfangswert $(1.8, 1.8, 0.1)^T$ (rote Kurve) \Rightarrow Newton-Verfahren gefangen in lokalem Minimum
- Anfangswert $(1.5, 1.5, 0.1)^T$ (cyan) Kurve) \Rightarrow Schnelle (lokal quadratische) Konvergenz



3

[File: chapter-numerische-lineare-algebra.tex, SVN: chapter-numerische-lineare-algebra.tex 1055 2006-10-18 15:44:34Z kalai]

Numerische lineare Algebra

- Klasse von Problemen, beschreibbar durch elementare Operationen mit Matrizen und/oder Vektoren im \mathbb{R}^n oder \mathbb{C}^n , z.B.
 - Lineare Gleichungssysteme (engl. *linear systems of equations*)
 - Lineare Ausgleichsprobleme (engl. *linear least squares*)
 - Eigenwertprobleme (engl. *eigenproblems*)

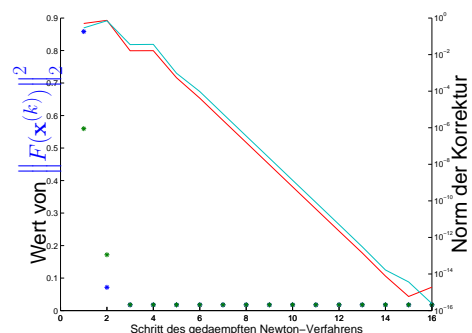
Algorithmen/Konzepte der numerischen linearen Algebra sind Teil/Grundlage
fast aller numerischer Methoden

Gauss-Newton-Verfahren

- Anfangswert $(1.8, 1.8, 0.1)^T$ (rote Kurve)
- Anfangswert $(1.5, 1.5, 0.1)^T$ (cyan) Kurve)

Konvergenz in beiden Fällen

Beobachtung: Lineare Konvergenz



2.7
p. 125

3.1 Grundbegriffe und -operationen

[File: section-grundbegriffe-und-operationen.tex, SVN: section-grundbegriffe-und-operationen.tex 1010 2006-09-11 15:44:43Z hiptmair]

Konventionen:

- Alle Vektoren sind **Spaltenvektoren** (engl. *column vectors*) [Zeilenvektor = \mathbf{x}^T],
MATLAB Initialisierung: $\mathbf{x} = [1; 2];$, für Zeilenvektor $\mathbf{x}^t = [1, 2];$
Notation: **fette** Kleinbuchstaben
Komponenten $\mathbf{x} = (x_1, \dots, x_n)^T \in \mathbb{K}^n$, $\mathbb{K} = \mathbb{R}, \mathbb{C}$, bzw. $x_i = (\mathbf{x})_i$, $i = 1, \dots, n$.
- **Fette** Grossbuchstaben für Matrizen, z.B. \mathbf{A} , Matrixeinträge Kleinbuchstaben mit subscript Indizes, z.B. a_{ij} oder $(\mathbf{A})_{ij}$ ($i \rightarrow$ Zeilenindex, $j \rightarrow$ Spaltenindex)
- Für Vektor $\mathbf{x} \in \mathbb{R}^n / \mathbf{x} \in \mathbb{C}^n$, $n \in \mathbb{N}$:

$$\mathbf{x}^T = \begin{pmatrix} x_1 \\ \vdots \\ x_n \end{pmatrix}^T := (x_1 \cdots x_n), \quad \mathbf{x}^H = \begin{pmatrix} x_1 \\ \vdots \\ x_n \end{pmatrix}^H := (\bar{x}_1 \cdots \bar{x}_n), \quad ^\top = \text{komplexe Konjugation.}$$

2.7
p. 126

3.1
p. 127

3.1
p. 128

- Für Matrix $\mathbf{A} \in \mathbb{K}^{n,m} \rightarrow$ **Transponierte** Matrix (engl. *transposed matrix*)

$$\mathbf{A}^T = \begin{pmatrix} a_{11} & \dots & a_{1m} \\ \vdots & \ddots & \vdots \\ a_{n1} & \dots & a_{nm} \end{pmatrix}^T := \begin{pmatrix} a_{11} & \dots & a_{n1} \\ \vdots & \ddots & \vdots \\ a_{1m} & \dots & a_{mn} \end{pmatrix} \in \mathbb{K}^{m,n}, \quad \mathbf{A}^H := \begin{pmatrix} \bar{a}_{11} & \dots & \bar{a}_{n1} \\ \vdots & \ddots & \vdots \\ \bar{a}_{1m} & \dots & \bar{a}_{mn} \end{pmatrix} \in \mathbb{K}^{m,n}.$$

- Spalten (engl. *columns*) einer Matrix $\mathbf{A} \in \mathbb{K}^{m,n}$ | Zeilen (engl. *rows/lines*) einer Matrix $\mathbf{A} \in \mathbb{K}^{m,n}$

$$\mathbf{A} = [\mathbf{a}_{:,1} \cdots \mathbf{a}_{:,n}]$$

MATLAB: $\mathbf{A}(:,1) \dots \mathbf{A}(:,n)$

$$\mathbf{A} = \begin{bmatrix} \mathbf{a}_{1,:}^T \\ \vdots \\ \mathbf{a}_{m,:}^T \end{bmatrix}$$

MATLAB: $\mathbf{A}(1,:) \dots \mathbf{A}(m,:)$

3.1.1 Operationen

KOMPLEXITÄT

Komplexität \leftrightarrow Aufwand für Algorithmus in Abhängigkeit von Problemgrößenparameter n

Notation („Landau-O“): $f(n) = O(g(n)) \Leftrightarrow \exists C > 0, N > 0: |f(n)| \leq Cg(n)$ für alle $n > N$.

- LEVEL I**
- (Euklidisches) Skalarprodukt: $\mathbf{x} \cdot \mathbf{y} = \mathbf{x}^H \mathbf{y} \in \mathbb{K}$, $\mathbf{x}, \mathbf{y} \in \mathbb{K}^n$, $\mathbb{K} = \mathbb{R}, \mathbb{C}$.
 - Matlab operator `dot(x,y)`, Rechenaufwand = $n - 1$ Additionen, n Multiplikationen.
 - Komplexität $O(n)$ (minimal)

- LEVEL I**
- SAXPY: $\mathbf{z} = \alpha \mathbf{x} + \mathbf{y}$, $\mathbf{x}, \mathbf{y} \in \mathbb{K}^n$, $\alpha \in \mathbb{K}$,
 - Matlab `z=alpha*x+y`, Rechenaufwand = n Additionen, Multiplikationen.
 - Komplexität $O(n)$ (minimal)

- LEVEL II**
- Vektor \times Matrix-Produkt $\mathbf{y} = \mathbf{Ax}$, $\mathbf{A} \in \mathbb{K}^{n,m}$
 - Matlab `y=A*x`, Rechenaufwand = m Skalarprodukte.
 - Komplexität $O(mn)$ (minimal)

- LEVEL III**
- Matrix \times Matrix-Produkt $\mathbf{C} = \mathbf{AB}$, $\mathbf{A} \in \mathbb{K}^{m,n}$, $\mathbf{B} \in \mathbb{K}^{n,k}$
 - Matlab `C=A*B`, Rechenaufwand = k -mal Matrix $\mathbf{A} \times$ Vektor.
 - Komplexität $O(kmn)$ (nicht minimal !)

Bemerkung 60. Effiziente maschinennahe Implementierung der Grundoperationen:

BLAS (www.netlib.org/blas/) \rightarrow Vorlesung „Programmiertechniken“

Bemerkung 61. Blockweise Matrixmultiplikation: $\mathbf{A}_{11} \in \mathbb{K}^{n,n}$, $\mathbf{A}_{12} \in \mathbb{K}^{n,m}$, $\mathbf{A}_{21} \in \mathbb{K}^{m,n}$, $\mathbf{A}_{22} \in \mathbb{K}^{m,m}$, $\mathbf{B}_{11} \in \mathbb{K}^{n,n}$, $\mathbf{B}_{12} \in \mathbb{K}^{n,m}$, $\mathbf{B}_{21} \in \mathbb{K}^{m,n}$, $\mathbf{B}_{22} \in \mathbb{K}^{m,m}$, $m, n \in \mathbb{N}$:

$$\begin{pmatrix} \mathbf{A}_{11} & \mathbf{A}_{12} \\ \mathbf{A}_{21} & \mathbf{A}_{22} \end{pmatrix} \begin{pmatrix} \mathbf{B}_{11} & \mathbf{B}_{12} \\ \mathbf{B}_{21} & \mathbf{B}_{22} \end{pmatrix} = \begin{pmatrix} \mathbf{A}_{11}\mathbf{B}_{11} + \mathbf{A}_{12}\mathbf{B}_{21} & \mathbf{A}_{11}\mathbf{B}_{12} + \mathbf{A}_{12}\mathbf{B}_{22} \\ \mathbf{A}_{21}\mathbf{B}_{11} + \mathbf{A}_{22}\mathbf{B}_{21} & \mathbf{A}_{21}\mathbf{B}_{12} + \mathbf{A}_{22}\mathbf{B}_{22} \end{pmatrix}. \quad (3.1.1) \quad \text{eq:Block}$$



3.1.2 Matrix-Speicherformate

MATSPFORMAT

Zwei Hauptklassen von Matrizen:

VOLLBESSETZ

Vollbesetzte (engl. *dense*) Matrizen

Dünnbesetzte (engl. *sparse*) Matrizen

Definition 3.1.1 (Dünnbesetzte Matrix). $\mathbf{A} \in \mathbb{K}^{m,n}$, $m, n \in \mathbb{N}$, heisst **dünnbesetzt**, falls

$$\text{nnz}(\mathbf{A}) := \#\{(i,j) \in \{1, \dots, m\} \times \{1, \dots, n\}: a_{ij} \neq 0\} \ll mn.$$

3.1
p. 129

- Speicherung vollbesetzter Matrizen („Standard“):

$\mathbf{A} \in \mathbb{K}^{m,n}$ Lineares Array (Grösse mn) + Indexarithmetik
(Beachte führende Dimension (engl. *row major, column major*))

- Speicherung dünnbesetzter Matrizen, Beispiel **Compressed-Row-Storage (CRS)**-Format:

Matrixinformation für $\mathbf{A} \in \mathbb{K}^{n,n}$ wird in drei Arrays gespeichert:

```
real val      Grösse nnz(A) := # {(i,j) ∈ {1, ..., n}², aij ≠ 0}
int col.ind  Grösse nnz(A)
int row_ptr  Grösse n + 1 & row_ptr[N + 1] = nnz(A) + 1
```

Zugriff auf Matrixeintrag $a_{ij} \neq 0$, $1 \leq i, j \leq n$:

3.1
p. 130

$$\text{val}[k] = a_{ij} \Leftrightarrow \begin{cases} \text{col.ind}[k] = j, \\ \text{row_ptr}[i] \leq k < \text{row_ptr}[i+1], \end{cases} \quad 1 \leq k \leq \text{nnz}(\mathbf{A}).$$

3.1
p. 131

3.1
p. 132

Beispiel 62 (CRS-Matrixspeicherformat).

$$\mathbf{A} = \begin{pmatrix} 10 & 0 & 0 & 0 & -2 & 0 \\ 3 & 9 & 0 & 0 & 0 & 3 \\ 0 & 7 & 8 & 7 & 0 & 0 \\ 3 & 0 & 8 & 7 & 5 & 0 \\ 0 & 8 & 0 & 9 & 9 & 13 \\ 0 & 4 & 0 & 0 & 2 & -1 \end{pmatrix}$$

val	10	-2	3	9	3	7	8	7	3...9	13	4	2	-1
col_ind	1	5	1	2	6	2	3	4	1...5	6	2	5	6
row_ptr	1	3	6	9	13	17	20						

Variante: Diagonales CRS-Format (Matrixdiagonale wird separat gespeichert)

Dünnbesetzte Matrizen in MATLAB [18]:

Initialisierungsfunktionen: `A = sparse(m,n); A = spalloc(m,n,nnz)`
`A = sparse(i,j,s,m,n);`
`A = spdiags(B,d,m,n); A = speye(n); A = spones(S);`

Beispiel 63 (Effiziente Initialisierung von Sparse-Matrizen).

①: Initialisierung dünnbesetzter Matrizen I

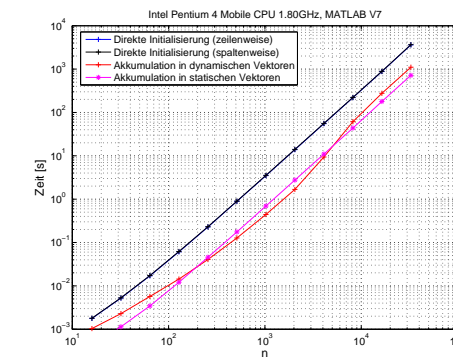
```
A1 = sparse(n,n);
for i=1:n
    for j=1:n
        if (abs(i-j) == 1), A1(i,j) = A1(i,j) + 1; end;
        if (abs(i-j) == round(n/3)), A1(i,j) = A1(i,j) -1; end;
    end; end
Direkte Initialisierung
```

②: Initialisierung dünnbesetzter Matrizen II

```
dat = [];
for i=1:n
    for j=1:n
        if (abs(i-j) == 1), dat = [dat; i,j,1.0]; end;
        if (abs(i-j) == round(n/3)), dat = [dat; i,j,-1.0];
    end; end; end;
A2 = sparse(dat(:,1),dat(:,2),dat(:,3),n,n);
Akumulation in dynamischem Vektor
```

③:

```
Initialisierung dünnbesetzter Matrizen III
dat = zeros(6*n,3); k = 0;
for i=1:n
    for j=1:n
        if (abs(i-j) == 1), k=k+1; dat(k,:) = [i,j,1.0];
        end;
        if (abs(i-j) == round(n/3))
            k=k+1; dat(k,:) = [i,j,-1.0];
        end;
    end; end;
A3 = sparse(dat(1:k,1),dat(1:k,2),dat(1:k,3),n,n);
Akumulation in statischem Vektor
```



Zeitmessung:

(MATLAB `tic, toc`-Funktionen)
 (Mobile Intel Pentium 4 - M CPU 2.40GHz,
 Linux MATLAB V6.5)

3.1

p. 133

Beachte: Vollbesetzt \star dünnbesetzt \rightarrow vollbesetzt
 dünnbesetzt $+, -, *, /$ dünnbesetzt \rightarrow dünnbesetzt
 $S = [A, B; C, D]$ dünnbesetzt, wenn ein Block dünnbesetzt

Beispiel 64 (Effiziente MATLAB-Implementierungen mit `sparse`-Matrizen).

Initialisierung:
`A = rand(n,n); v = rand(n,1);`

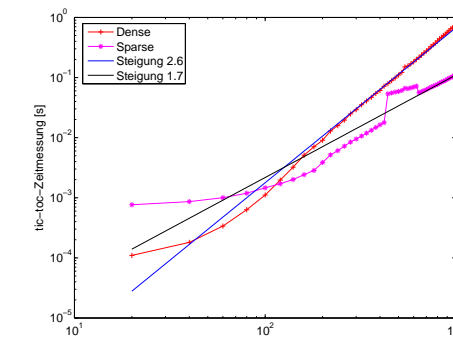
☞ Aufgabe: Skalierung einer Matrix:

• Dense-Matrixarithmetik:

`S = A*diag(v)+eye(n)`

• Sparse-Matrixarithmetik:

`S = A*spdiags(v,0,n,n)+speye(n)`



3.1

p. 134

3.1

p. 135

3.1

p. 136

3.1.3 Erinnerung: Normen

Begriffe Kondition (\rightarrow Abschn. I.6), Stabilität (\rightarrow Abschn. I.8), Fehler \rightarrow erfordern Metrik auf \mathbb{K}^n

Grundvorlesungen:

Norm $\|\cdot\|$ auf $\mathbb{K}^n \Rightarrow$ Metrik auf \mathbb{K}^n

Definition. \rightarrow Def. 2.1.4

$X = \mathbb{K}$ -Vektorraum, $\mathbb{K} = \mathbb{C}, \mathbb{R}$. Eine Abbildung $\|\cdot\| : X \mapsto \mathbb{R}_0^+$ ist eine **Norm** auf X , falls

- (i) $\forall x \in X: x \neq 0 \Leftrightarrow \|x\| > 0$ (Definitheit),
- (ii) $\|\lambda x\| = |\lambda| \|x\| \quad \forall x \in X, \lambda \in \mathbb{K}$ (Homogenität),
- (iii) $\|x + y\| \leq \|x\| + \|y\| \quad \forall x, y \in X$ (Dreiecksungleichung).

Beispiele: (für Vektor $x = (x_1, x_2, \dots, x_n)^T \in \mathbb{K}^n$)

Bezeichnung	:	Definition	MATLAB-Funktion
Euklidische Norm	:	$\ x\ _2 := \sqrt{ x_1 ^2 + \dots + x_n ^2}$	norm(x)
1-Norm	:	$\ x\ _1 := x_1 + \dots + x_n $	norm(x, 1)
Maximumnorm	:	$\ x\ _\infty := \max\{ x_1 , \dots, x_n \}$	norm(x, inf)

Definition. \rightarrow Def. 2.2.6

Der Norm $\|\cdot\|$ auf \mathbb{R}^n zugeordnete **Matrixnorm**

$$\mathbf{M} \in \mathbb{R}^{n,n}: \quad \|\mathbf{M}\| := \sup_{x \in \mathbb{R}^n \setminus \{0\}} \frac{\|\mathbf{M}x\|}{\|x\|}.$$

SUBMULT

Submultiplikativität: $\mathbf{A} \in \mathbb{K}^{n,m}, \mathbf{B} \in \mathbb{K}^{m,k}: \quad \|\mathbf{AB}\| \leq \|\mathbf{A}\| \|\mathbf{B}\|$

Notation: $\|x\|_2 \rightarrow \|\mathbf{M}x\|_2, \quad \|x\|_1 \rightarrow \|\mathbf{M}x\|_1, \quad \|x\|_\infty \rightarrow \|\mathbf{M}x\|_\infty$

Beispiel 65 (Matrixnorm zur Maximumnorm und 1-Norm).

z.B. für $\mathbf{M} \in \mathbb{K}^{2,2}: \quad \|\mathbf{M}x\|_\infty = \max\{|m_{11}x_1 + m_{12}x_2|, |m_{21}x_1 + m_{22}x_2|\}$
 $\leq \max\{|m_{11}| + |m_{12}|, |m_{21}| + |m_{22}|\} \|x\|_\infty,$
 $\|\mathbf{M}x\|_1 = |m_{11}x_1 + m_{12}x_2| + |m_{21}x_1 + m_{22}x_2|$
 $\leq \max\{|m_{11}| + |m_{21}|, |m_{12}| + |m_{22}|\} (|x_1| + |x_2|).$

\triangleright Matrixnorm zu $\|\cdot\|_\infty =$ **Zeilensummennorm** $\|\mathbf{M}\|_\infty := \max_{i=1,\dots,n} \sum_{j=1}^n |m_{ij}|, \quad (3.1.2)$

\triangleright Matrixnorm zu $\|\cdot\|_1 =$ **Spaltensummennorm** $\|\mathbf{M}\|_1 := \max_{j=1,\dots,m} \sum_{i=1}^n |m_{ij}|. \quad (3.1.3)$

3.2 Numerische Lösung linearer Gleichungssysteme

[File: section-numerische-loesung-linearer-gleichungssysteme.tex, SVN: section-numerische-loesung-linearer-gleichungssysteme.tex 1137 2006-11-13 09:27]

Gegeben: Matrix $\mathbf{A} \in \mathbb{K}^{n,n}$, Vektor $\mathbf{b} \in \mathbb{K}^n, n \in \mathbb{K}$

Gesucht : Lösungsvektor $\mathbf{x} \in \mathbb{K}^n: \quad \boxed{\mathbf{Ax} = \mathbf{b}} \leftarrow$ LGS

KNOTENANALYSE

Beispiel 66 (Knotenanalyse eines linearen elektrischen Netzwerks).

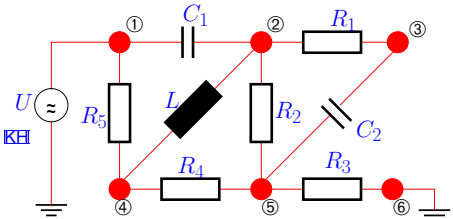
Numeriere Knoten $1, \dots, n$

I_{kj} : Strom Knoten $k \rightarrow$ Knoten $j, I_{kj} = -I_{jk}$

KIRCHHOFF

Kirchhoff'sche Regel: Zweigstromsumme = 0

$$\forall k \in \{1, \dots, n\}: \quad \sum_{j=1}^n I_{kj} = 0. \quad (3.2.1) \quad \text{KH}$$



Unbekannte: **Knotenpotentiale** $u_k, k = 1, \dots, n$.

(davon einige fixiert: Erdung, Quellen)

BAESELGL

Bauelementgleichungen

(im Frequenzbereich mit Winkelfrequenz $\omega > 0$):

OHMWSID

• Ohmscher Widerstand: $I = R^{-1}U, [R] = 1\text{VA}^{-1}$

KONDENSATOR

• Kondensator: $I = i\omega CU$, Kapazität $[C] = 1\text{AsV}^{-1}$

SPULE

• Spule: $I = -i\omega^{-1}L^{-1}U$, Induktivität $[L] = 1\text{VsA}^{-1}$

Bauelementgleichungen + (3.2.1) \rightarrow Lineares Gleichungssystem

$$\textcircled{2}: \quad i\omega C_1(u_2 - u_1) + R_1^{-1}(u_2 - u_3) - i\omega^{-1}L^{-1}(u_2 - u_4) + R_2^{-1}(u_2 - u_5) = 0,$$

$$\textcircled{3}: \quad R_1^{-1}(u_3 - u_2) + i\omega C_2(u_3 - u_5) = 0,$$

$$\textcircled{4}: \quad R_5^{-1}(u_4 - u_1) - i\omega^{-1}L^{-1}(u_4 - u_2) + R_4^{-1}(u_4 - u_5) = 0,$$

$$\textcircled{5}: \quad R_2^{-1}(u_5 - u_2) + i\omega C_2(u_5 - u_3) + R_4^{-1}(u_5 - u_4) + R_3(u_5 - u_6) = 0,$$

$$u_1 = U, \quad u_6 = 0.$$

$$\begin{pmatrix} i\omega C_1 + \frac{1}{R_1} - \frac{i}{\omega L} + \frac{1}{R_2} & -\frac{1}{R_1} & \frac{i}{\omega L} & & -\frac{1}{R_2} \\ -\frac{1}{R_1} & \frac{1}{R_1} + i\omega C_2 & 0 & & -i\omega C_2 \\ \frac{i}{\omega L} & 0 & \frac{1}{R_5} - \frac{i}{\omega L} + \frac{1}{R_4} & & -\frac{1}{R_4} \\ -\frac{1}{R_2} & -i\omega C_2 & -\frac{1}{R_4} & \frac{1}{R_2} + i\omega C_2 + \frac{1}{R_4} & \end{pmatrix} \begin{pmatrix} u_2 \\ u_3 \\ u_4 \\ u_5 \end{pmatrix} = \begin{pmatrix} i\omega C_1 U \\ 0 \\ \frac{1}{R_5} U \\ 0 \end{pmatrix}$$

3.2.1 Theorie und Kondition

Bekannt aus der linearen Algebra:

p. 138

3.2

3.2

p. 140

RANG

Definition 3.2.1. Der **Rang** einer Matrix $\mathbf{M} \in \mathbb{K}^{m,n}$ (engl. rank) ist die maximale Anzahl linear unabhängiger Spalten/Zeilen von \mathbf{M} .

Theorem 3.2.2 (Invertierbarkeit von Matrizen). Eine Matrix $\mathbf{A} \in \mathbb{R}^{n,n}$ heißt **regulär** oder **invertierbar**, falls eine der folgenden äquivalenten Bedingungen erfüllt ist:

1. $\exists \mathbf{B} \in \mathbb{R}^{n,n}: \mathbf{BA} = \mathbf{AB} = \mathbf{I}$, wobei \mathbf{I} die $n \times n$ -Einheitsmatrix ist.
2. $\mathbf{x} \mapsto \mathbf{Ax}$ definiert einen Isomorphismus des \mathbb{R}^n ($\mathbf{Ax} = \mathbf{b}$ hat genau eine Lösung $\forall \mathbf{b}$)
3. Die Spalten von \mathbf{A} sind linear unabhängig (voller Spaltenrang). **SPALTENRANG**
4. Die Zeilen von \mathbf{A} sind linear unabhängig (voller Zeilenrang). **ZEILENRANG**
5. $\det \mathbf{A} \neq 0$.

Abschn. 3.1.3: Fixiere Norm $\|\cdot\|$ auf $\mathbb{R}^n \Rightarrow$ induziert Matrixnorm (\rightarrow Def. 2.2.6) auf $\mathbb{R}^{n,n}$

Vorüberlegung: Relative Konditionszahl von $\mathbf{x} \mapsto \mathbf{Ax}$, \mathbf{A} regulär (bzgl. Störungen in \mathbf{x}):

$$\mathbf{A}(\mathbf{x} + \delta \mathbf{x}) = \mathbf{y} + \delta \mathbf{y} \quad \Rightarrow \quad \frac{\|\delta \mathbf{y}\|}{\|\mathbf{y}\|} \leq \frac{\|\mathbf{A}\| \|\mathbf{A}^{-1}\|}{\|\mathbf{x}\|} \frac{\|\delta \mathbf{x}\|}{\|\mathbf{x}\|}. \quad (3.2.2)$$

Herleitung der Abschätzung durch

$$\|\delta \mathbf{y}\| \leq \|\mathbf{A}\| \|\delta \mathbf{x}\| \quad \text{and} \quad \|\mathbf{y}\| = \|\mathbf{Ax}\| \geq \|\mathbf{A}^{-1}\|^{-1} \|\mathbf{x}\|.$$

Bei LGS: Wie wirken sich (kleine) Störungen in Eingabedaten \mathbf{A}, \mathbf{b} auf \mathbf{x} aus?

$$(\mathbf{A} + \Delta \mathbf{A})(\mathbf{x} + \Delta \mathbf{x}) = \mathbf{b} + \Delta \mathbf{b}, \quad \Delta \mathbf{x} = ?$$

STÖRLLEMMA

Lemma 3.2.3 (Störungslemma).

$$\mathbf{B} \in \mathbb{R}^{n,n}, \|\mathbf{B}\| < 1 \Rightarrow \mathbf{I} + \mathbf{B} \text{ regulär} \wedge \|(\mathbf{I} + \mathbf{B})^{-1}\| \leq \frac{1}{1 - \|\mathbf{B}\|}.$$

Beweis. Dreiecksungleichung $\Rightarrow \|(\mathbf{I} + \mathbf{B})\mathbf{x}\| \geq (1 - \|\mathbf{B}\|) \|\mathbf{x}\|, \forall \mathbf{x} \in \mathbb{R}^n \Rightarrow \mathbf{B}$ regulär.

$$\blacktriangleright \|(\mathbf{I} + \mathbf{B})^{-1}\| = \sup_{\mathbf{x} \in \mathbb{R}^n \setminus \{0\}} \frac{\|(\mathbf{I} + \mathbf{B})^{-1}\mathbf{x}\|}{\|\mathbf{x}\|} = \sup_{\mathbf{y} \in \mathbb{R}^n \setminus \{0\}} \frac{\|\mathbf{y}\|}{\|(\mathbf{I} + \mathbf{B})\mathbf{y}\|} \leq \frac{1}{1 - \|\mathbf{B}\|}$$

► Wegen Submultiplikativität der Matrixnorm: $\|\mathbf{AB}\| \leq \|\mathbf{A}\| \|\mathbf{B}\|$:

$$\mathbf{A} \text{ regulär: } (\mathbf{A} + \Delta \mathbf{A}) = \mathbf{A}(\mathbf{I} + \mathbf{A}^{-1}\Delta \mathbf{A}) \text{ regulär, falls } \|\Delta \mathbf{A}\| < \|\mathbf{A}^{-1}\|^{-1}.$$

$$\mathbf{Ax} = \mathbf{b} \leftrightarrow (\mathbf{A} + \Delta \mathbf{A})(\mathbf{x} + \Delta \mathbf{x}) = \mathbf{b} + \Delta \mathbf{b} \quad \blacktriangleright (\mathbf{A} + \Delta \mathbf{A})\Delta \mathbf{x} = \Delta \mathbf{b} - \Delta \mathbf{Ax}. \quad (3.2.3)$$

eq:lgscor

Theorem 3.2.4 (Kondition der Lösung linearer Gleichungssysteme).

Falls \mathbf{A} regulär, $\|\Delta \mathbf{A}\| < \|\mathbf{A}^{-1}\|^{-1}$ und (3.2.3), dann

$$\frac{\|\Delta \mathbf{x}\|}{\|\mathbf{x}\|} \leq \frac{\|\mathbf{A}^{-1}\| \|\mathbf{A}\|}{1 - \|\mathbf{A}^{-1}\| \|\mathbf{A}\| \|\Delta \mathbf{A}\| / \|\mathbf{A}\|} \left(\frac{\|\Delta \mathbf{b}\|}{\|\mathbf{b}\|} + \frac{\|\Delta \mathbf{A}\|}{\|\mathbf{A}\|} \right).$$

Relativer Fehler

Relative Störungen

$$\text{Lemma 3.2.3} \xrightarrow{\text{Lem:pert}} \|(\mathbf{A} + \Delta \mathbf{A})^{-1}\| \leq \frac{\|\mathbf{A}^{-1}\|}{1 - \|\mathbf{A}^{-1}\| \|\Delta \mathbf{A}\|} \quad \& \quad \text{(3.2.3)}$$

$$\Rightarrow \|\Delta \mathbf{x}\| \leq \frac{\|\mathbf{A}^{-1}\|}{1 - \|\mathbf{A}^{-1}\| \|\Delta \mathbf{A}\|} (\|\Delta \mathbf{b}\| + \|\Delta \mathbf{Ax}\|) \leq \frac{\|\mathbf{A}^{-1}\| \|\mathbf{A}\|}{1 - \|\mathbf{A}^{-1}\| \|\Delta \mathbf{A}\|} \left(\frac{\|\Delta \mathbf{b}\|}{\|\mathbf{A}\| \|\mathbf{x}\|} + \frac{\|\Delta \mathbf{A}\|}{\|\mathbf{A}\|} \right) \|\mathbf{x}\|$$

p. 141

3.2

p. 143

Definition 3.2.5 (Kondition). **Kondition** einer Matrix $\mathbf{A} \in \mathbb{R}^{n,n}$: $\text{cond}(\mathbf{A}) := \|\mathbf{A}^{-1}\| \|\mathbf{A}\|$

Beachte:

$\text{cond}(\mathbf{A})$ abhängig von $\|\cdot\|$!

Merkregel:

Wenn $\text{cond}(\mathbf{A}) \approx 10^s$ und relative Störungen $\|\Delta \mathbf{A}\| : \|\mathbf{A}\|, \|\Delta \mathbf{b}\| : \|\mathbf{b}\| \approx 10^{-k}, k > s$, dann können von der Lösung des LGS $\mathbf{Ax} = \mathbf{b}$ nur $k - s$ korrekte Dezimalstellen erwartet werden.

Beispiel 67 („Schlecht“ konditioniertes lineares Gleichungssystem).

$$\mathbf{Ax} = \mathbf{b} \quad \text{mit} \quad \mathbf{A} = \begin{pmatrix} 4.1 & 2.8 \\ 9.7 & 6.6 \end{pmatrix}, \mathbf{b} = \begin{pmatrix} 4.1 \\ 9.7 \end{pmatrix}, \mathbf{x} = \begin{pmatrix} 1 \\ 0 \end{pmatrix}.$$

Normen: $\|\cdot\|_1 \quad \blacktriangleright \quad \text{Maxtrixnorm} = \text{Spaltensummennorm}$ (3.1.2)

$$\text{Störung: } \Delta \mathbf{b} = \begin{pmatrix} 0.01 \\ 0 \end{pmatrix}, \|\Delta \mathbf{b}\|_1 = 0.01 \quad \blacktriangleright \quad \Delta \mathbf{x} = \begin{pmatrix} -0.66 \\ -0.97 \end{pmatrix}, \|\Delta \mathbf{x}\|_1 = 1.63 \quad (\text{„gross“})$$

3.2

p. 142

3.2

p. 144

$$\mathbf{A}^{-1} = \begin{pmatrix} -66 & 28 \\ 97 & 41 \end{pmatrix} \Rightarrow \text{cond}_1(\mathbf{A}) = \|\mathbf{A}\|_1 \cdot \left\| \mathbf{A}^{-1} \right\|_1 = 13.8 \cdot 163 = 2249.4 .$$

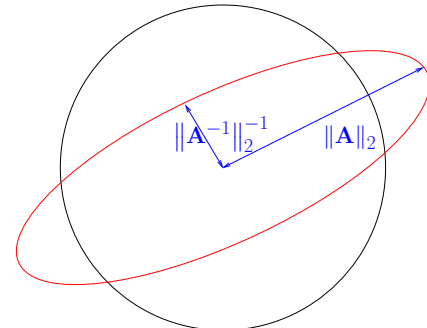
⇓

$$\frac{\|\Delta \mathbf{x}\|}{\|\mathbf{x}\|} : \frac{\|\Delta \mathbf{b}\|}{\|\mathbf{x}\|} = 1.63 : 0.0007246 = 2249.4 .$$

Kondition bzgl. Euklidischer Norm:

$$\text{cond}(A) = \frac{\max_{\|\mathbf{x}\|=1} \|\mathbf{Ax}\|}{\min_{\|\mathbf{x}\|=1} \|\mathbf{Ax}\|}$$

Für $\|\cdot\| = \|\cdot\|_2$, $n = 2$: Verhältnis von maximalem zu minimalem Abstand des Bildes des Einheitskreises zum Ursprung.



MATLAB-Funktionen zur Konditionsberechnung/-abschätzung:

- `cond(A)` → `cond2(A)`
- `cond(A, 1)` und `cond(A, inf)` → `cond1(A)` und `cond∞(A)`
- `condest(A)` schätzt `cond1(A)`, geeignet für grosse Matrizen

3.2.2 Die Gaußelimination

GAUSSELIM Ausnahmestellung linearer Gleichungssysteme (LGS):
„exakt“ lösbar mit endlich vielen arithmetischen Grundoperationen

Standardtechnik: **Gaußelimination** (→ Sekundarstufe, Kurs „Lineare Algebra“)



Idee: Transformation auf „einfachere“ äquivalente Gleichungssysteme durch sukzessive Zeilenumformungen (evtl. auch Spaltenumformungen)

Beispiel 68 (Gaußelimination).

$$\begin{array}{c} \left(\begin{array}{ccc} 1 & 1 & 0 \\ 2 & 1 & -1 \\ 3 & -1 & -1 \end{array} \right) \left(\begin{array}{c} x_1 \\ x_2 \\ x_3 \end{array} \right) = \left(\begin{array}{c} 4 \\ 1 \\ -3 \end{array} \right) \leftrightarrow \begin{array}{l} x_1 + x_2 = 4 \\ 2x_1 + x_2 - x_3 = 1 \\ 3x_1 - x_2 - x_3 = -3 \end{array} \\ \left(\begin{array}{ccc} 1 & 1 & 0 \\ 2 & 1 & -1 \\ 3 & -1 & -1 \end{array} \right) \left(\begin{array}{c} 4 \\ 1 \\ -3 \end{array} \right) \rightarrow \left(\begin{array}{ccc} 1 & 1 & 0 \\ 2 & 1 & -1 \\ 0 & 1 & -1 \end{array} \right) \left(\begin{array}{c} 4 \\ -7 \\ -3 \end{array} \right) \rightarrow \\ \left(\begin{array}{ccc} 1 & 1 & 0 \\ 0 & 1 & -1 \\ 3 & 0 & 1 \end{array} \right) \left(\begin{array}{c} 4 \\ -7 \\ -15 \end{array} \right) \rightarrow \left(\begin{array}{ccc} 1 & 1 & 0 \\ 0 & 1 & -1 \\ 3 & 4 & 1 \end{array} \right) \left(\begin{array}{c} 4 \\ -7 \\ 13 \end{array} \right) \end{array}$$

■ = Pivotzeile, Pivotelement fett.

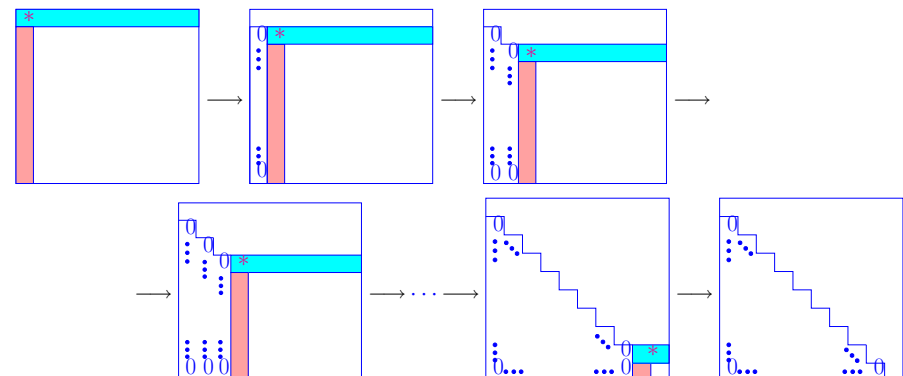
► Transformation auf obere Dreiecksform

Anschliessend: Lösung durch Rücksubstitution:

3.2
p. 145

$$\begin{array}{l} x_1 + x_2 = 4 \\ -x_2 - x_3 = -7 \\ 3x_3 = 13 \end{array} \Rightarrow \begin{array}{l} x_3 = \frac{13}{3} \\ x_2 = 7 - \frac{13}{3} = \frac{8}{3} \\ x_1 = 4 - \frac{8}{3} = \frac{4}{3} \end{array} .$$

3.2
p. 147



* ≈ Pivotelement (notwendig ≠ 0), ■ = Pivotzeile

Im k . Schritt ($\mathbf{A} \in \mathbb{K}^{n,n}$, $1 \leq k < n$, Pivotzeile \mathbf{a}_k^T): $\mathbf{Ax} = \mathbf{b} \rightarrow \mathbf{A}'\mathbf{x} = \mathbf{b}'$ mit

$$a'_{ij} := \begin{cases} a_{ij} - \frac{a_{ik}}{a_{kk}} a_{kj} & \text{für } k < i, j \leq n , \\ 0 & \text{für } k < i \leq n, j = k , \\ a_{ij} & \text{sonst,} \end{cases} \quad b'_i := \begin{cases} b_i - \frac{a_{ik}}{a_{kk}} b_k & \text{für } k < i \leq n , \\ b_i & \text{sonst.} \end{cases} \quad (3.2.4) \quad \text{eq:GE}$$

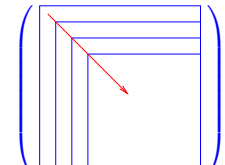
3.2
p. 146

3.2
p. 148

Block-Perspektive (erster Eliminationsschritt mit Pivotelement $\alpha \neq 0$):

$$A := \begin{pmatrix} \alpha & c^T \\ d & C \end{pmatrix} \rightarrow A' := \begin{pmatrix} \alpha & c^T \\ 0 & C' := C - \frac{dc^T}{\alpha} \end{pmatrix}. \quad (3.2.5)$$

Sukzessive Durchführung:



Rechte Seite $b \sim A(:, end)$

Demonstrations-MATLAB-CODE: Rekursive Gaußelimination

```
function A = blockgs(A)
% Recursive Gaussian elimination, no pivoting
n = size(A,1);
if (n ~= size(A,2))
    error('Size mismatch!');
end
if (n > 1)
    C = blockgs(A(2:end,2:end))-...
        A(2:end,1)*A(1,2:end)/A(1,1));
    A = [A(1,:); zeros(n-1,1), C];
end
```

Rechenaufwand (Anzahl elementarer Operationen) für die Gauß-Elimination:

$$\text{Elimination: } \sum_{i=1}^{n-1} (n-i-1)(n-i+1) = \frac{1}{3}n^3 - \frac{5}{6}n + \frac{1}{2}n^2 + 1,$$

$$\text{Rücksubstitution: } \sum_{i=1}^n (n-i+1) = \frac{1}{2}n(n+1).$$

Rechenaufwand für Gauß-Elimination (ohne Pivotsuche) für generisches LGS $\mathbf{Ax} = \mathbf{b}$, $\mathbf{A} \in \mathbb{R}^{n,n}$ $= \frac{1}{3}n^3 + O(n^2)$

Programmiere niemals eine Gaußelimination selbst!

Benutze Programmmbibliotheken oder MATLAB (MATLAB operator: \) !

3.2.3 Die LU-Zerlegung

LUZERD **MATFAKTO** Interpretation der Gaußelimination als Matrixfaktorisierung \rightarrow Bsp. 68.

(Zeilenumformung = Multiplikation mit Eliminationsmatrix)

$$a_1 \neq 0 \quad \begin{pmatrix} 1 & 0 & \dots & \dots & 0 \\ -\frac{a_2}{a_1} & 1 & & & 0 \\ -\frac{a_3}{a_1} & & \ddots & & \\ \vdots & & & \ddots & 1 \\ -\frac{a_n}{a_1} & 0 & & & 1 \end{pmatrix} \begin{pmatrix} a_1 \\ a_2 \\ a_3 \\ \vdots \\ a_n \end{pmatrix} = \begin{pmatrix} a_1 \\ 0 \\ 0 \\ \vdots \\ 0 \end{pmatrix}.$$

Nach $n-1$ Schritten der Gaußelimination: \rightarrow Matrixfaktorisierung (\rightarrow Bsp. 68)

$\mathbf{A} = \mathbf{L}_1 \cdots \mathbf{L}_{n-1} \mathbf{U}$ mit Eliminationsmatrizen \mathbf{L}_i , $i = 1, \dots, n-1$, oberer Dreiecksmatrix $\mathbf{U} \in \mathbb{R}^{n,n}$.

$$\begin{pmatrix} 1 & 0 & \dots & \dots & 0 \\ l_2 & 1 & & & 0 \\ l_3 & & \ddots & & \\ \vdots & & & \ddots & 1 \\ l_n & 0 & & & 1 \end{pmatrix} \begin{pmatrix} 1 & 0 & \dots & \dots & 0 \\ 0 & 1 & & & 0 \\ 0 & h_3 & 1 & & \\ \vdots & \vdots & & \ddots & 1 \\ 0 & h_n & 0 & & 1 \end{pmatrix} = \begin{pmatrix} 1 & 0 & \dots & \dots & 0 \\ l_2 & 1 & & & 0 \\ l_3 & h_3 & 1 & & \\ \vdots & \vdots & & \ddots & 1 \\ l_n & h_n & 0 & & 1 \end{pmatrix}$$

$\mathbf{L}_1 \cdots \mathbf{L}_{n-1}$ sind normalisierte untere Dreiecksmatrizen
(Einträge = Faktoren $-\frac{a_{ik}}{a_{kk}}$ aus (3.2.4) \rightarrow Bsp. 68)

3.2
p. 149

□ **Definition 3.2.6** (Matrizenarten). Matrix $\mathbf{A} = (a_{ij}) \in \mathbb{R}^{m,n}$ ist

DIAGMEN

- **Diagonalmatrix**, wenn $a_{ij} = 0$ für $i \neq j$,
- **obere Dreiecksmatrix** (engl. *upper triangular matrix*), falls $a_{ij} = 0$ für $i > j$,
- **untere Dreiecksmatrix** (engl. *lower triangular matrix*), falls $a_{ij} = 0$ für $i < j$.

Eine Dreiecksmatrix heißt **normalisiert**, wenn $a_{ii} = 1$, $i = 1, \dots, \min\{m, n\}$.

Die Vorwärtsrechnung in der Gaußelimination für $\mathbf{Ax} = \mathbf{b}$, $\mathbf{A} \in \mathbb{R}^{n,n}$ ist algebraisch **und numerisch** (d.h. mit Berücksichtigung von Rundungsfehlern) äquivalent zur **LU-Zerlegung** (engl. *LU decomposition*) $\mathbf{A} = \mathbf{LU}$ in eine normalisierte untere Dreiecksmatrix \mathbf{L} und eine obere Dreiecksmatrix \mathbf{U} .

Eindeutigkeit der LU-Zerlegung:

Reguläre obere Dreiecksmatrizen/normalisierte untere Dreiecksmatrizen bilden eine Gruppe bzgl. Matrixmultiplikation. Der Schnitt beider Matrixmengen enthält nur die Einheitsmatrix.

$$\mathbf{L}_1 \mathbf{U}_1 = \mathbf{L}_2 \mathbf{U}_2 \Rightarrow \mathbf{L}_2^{-1} \mathbf{L}_1 = \mathbf{U}_2 \mathbf{U}_1^{-1} = \mathbf{I}.$$

3.2
p. 150

3.2
p. 151

Direkte Herleitung der LU-Zerlegung

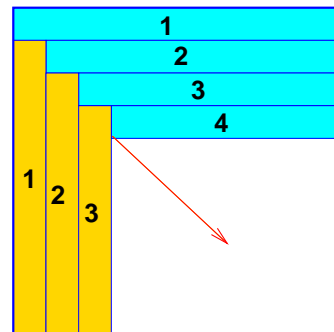
$$LU = A \Rightarrow a_{ik} = \sum_{j=1}^{\min\{i,k\}} l_{ij} u_{jk} = \begin{cases} \sum_{j=1}^{i-1} l_{ij} u_{jk} + 1 \cdot u_{ik} & , \text{ falls } i \leq k \\ \sum_{j=1}^{k-1} l_{ij} u_{jk} + l_{ik} u_{kk} & , \text{ falls } i > k \end{cases}$$

- • Zeilenweise Berechnung von U
- Spaltenweise Berechnung von L

Einträge von A können überschrieben werden.

(Bezeichnung: Rechnung *in situ*)

CROUT
(Algorithmus von Crout)



Algorithmus 69.

IN SITU
In situ LU-Zerlegung von $A \in \mathbb{R}^{n,n}$:
(ohne Pivotsuche)

A wird mit L, U überschrieben:

```
B = lurec(A);
L = tril(B,-1)+eye(size(A));
U = triu(B);
```

MATLAB-CODE: Rekursive LU-Zerlegung

```
function A = lurec(A)
% Recursive LU factorization
if (size(A,1) > 1)
    fac = A(2:end,1)/A(1,1);
    C = lurec(A(2:end,2:end)-fac*A(1,2:end));
    A = [A(1,:); fac, C];
end
```

RECHAUFWUD
Rechenaufwand für LU-Zerlegung von $A \in \mathbb{R}^{n,n} = \frac{1}{3}n^3 + O(n^2)$

(3.2.7)

Lösen eines linearen Gleichungssystems via LU-Zerlegung:

- $\mathbf{Ax} = \mathbf{b} :$
- ① LU-Zerlegung $A = LU$, Rechenaufwand $\frac{1}{3}n(n-1)(n+1)$
FORWARDSUB
 - ② **Vorwärtssubstitution**, löse $Lz = b$, Rechenaufwand $\frac{1}{2}n(n-1)$
BACKWARDSUB
 - ③ **Rücksubstitution**, löse $Ux = z$, Rechenaufwand $\frac{1}{2}n(n+1)$

➤ Äquivalent zur Gaußelimination

➤ Aufwand zur Lösung von $\mathbf{Ax}_k = \mathbf{b}_k$, $\mathbf{b}_k \in \mathbb{R}^n$, $k = 1, \dots, m$, $m \in \mathbb{N}$:

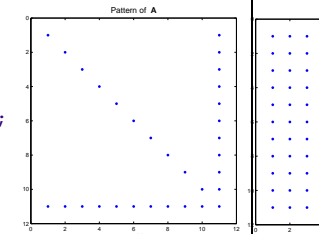
$$1 \times \text{LU-Zerlegung} + m \times \text{Vorwärts- & Rückwärtssubstitution} = \frac{1}{3}n(n-1)(n+1) + mn^2$$

☞ Für $m \gg 1$ wesentlich „billiger“ als m -fache Gaußelimination!
BESETZMUSTER

Beispiel 70 (Besetzungsmuster der LU-Faktoren).

`A = [diag(1:10),ones(10,1);ones(1,10),2];`

`[L,U] = lu(A); spy(A); spy(L); spy(U); spy(inv(A));`

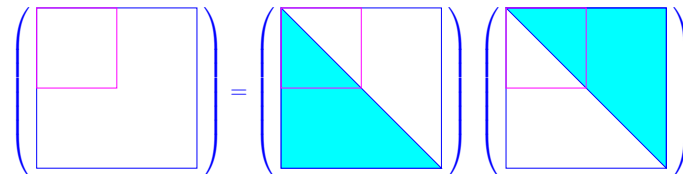


! Berechnung $A^{-1} = U^{-1}L^{-1}$ kann extrem unökonomisch sein!

3.2

p. 153

Bemerkung 71. „Teil-LU-Zerlegungen“ in linken oberen Blöcken:



Bemerkung 72. Blockweise Matrixmultiplikation (3.1.1) $\stackrel{\text{leg: Blockmul}}{\cong}$ Block-LU-Zerlegung:

Mit $A_{11} \in \mathbb{K}^{n,n}$ regulär, $A_{12} \in \mathbb{K}^{n,m}$, $A_{21} \in \mathbb{K}^{m,n}$, $A_{22} \in \mathbb{K}^{m,m}$:

$$\begin{pmatrix} A_{11} & A_{12} \\ A_{21} & A_{22} \end{pmatrix} = \begin{pmatrix} I & 0 \\ A_{21}A_{11}^{-1} & I \end{pmatrix} \begin{pmatrix} A_{11} & A_{12} \\ 0 & S \end{pmatrix}, \quad S := A_{22} - A_{21}A_{11}^{-1}A_{12}$$

(3.2.8) **eq:Block**

3.2

p. 154

3.2

p. 155

3.2.4 Pivotsuche

PIVOTSCHE

$$\begin{pmatrix} 0 & 1 \\ 1 & 0 \end{pmatrix} \begin{pmatrix} x_1 \\ x_2 \end{pmatrix} = \begin{pmatrix} b_1 \\ b_2 \end{pmatrix}$$

Zusammenbruch der Gauss-Elimination
Pivotelement = 0

$$\begin{pmatrix} 1 & 0 \\ 0 & 1 \end{pmatrix} \begin{pmatrix} x_1 \\ x_2 \end{pmatrix} = \begin{pmatrix} b_2 \\ b_1 \end{pmatrix}$$

Gauss-Elimination funktioniert
Idee: Vermeide sehr kleine Pivotelemente durch Zeilenumtauschungen

Terminologie: **Pivotsuche/Pivotstrategie** (engl.*pivoting*) = Wahl eines günstigen Pivotelements

Beispiel 73 (Pivotstrategie und Rundungsfehler).

$$A = \begin{pmatrix} \epsilon & 1 \\ 1 & 1 \end{pmatrix}, \quad 0 < \epsilon < \text{eps}, \quad b = \begin{pmatrix} 1 \\ 1 \end{pmatrix} \Rightarrow x = \begin{pmatrix} 0 \\ 1 \end{pmatrix}$$

Einfache LU-Zerlegung:

$$\blacktriangleright L = \begin{pmatrix} 1 & 0 \\ \epsilon^{-1} & 1 \end{pmatrix}, \quad U = \begin{pmatrix} \epsilon & 1 \\ 0 & 1 - \epsilon^{-1} \end{pmatrix} = \tilde{U} := \begin{pmatrix} \epsilon & 1 \\ 0 & -\epsilon^{-1} \end{pmatrix} \text{ in } M! \quad (3.2.9)$$

$$\blacktriangleright \text{Lösung von } L\tilde{U}x = b: \quad x = \begin{pmatrix} 1 - \epsilon \\ 1 \end{pmatrix} \quad (\text{unbrauchbares Ergebnis !})$$

LU-Zerlegung nach Zeilenumtauschung:

$$A = \begin{pmatrix} 1 & 1 \\ \epsilon & 1 \end{pmatrix} \Rightarrow L = \begin{pmatrix} 1 & 0 \\ \epsilon & 1 \end{pmatrix}, \quad U = \begin{pmatrix} 1 & 1 \\ 0 & 1 - \epsilon \end{pmatrix} = \tilde{U} := \begin{pmatrix} 1 & 1 \\ 0 & 1 \end{pmatrix} \quad (3.2.10)$$

$$\blacktriangleright \text{Lösung von } L\tilde{U}x = b: \quad x = \begin{pmatrix} \epsilon \\ 1 - \epsilon \end{pmatrix} \quad (\text{brauchbares Ergebnis !})$$

Ohne Zeilenumtauschung, $\rightarrow (3.2.9)$: $L\tilde{U} = A + E$ mit $E = \begin{pmatrix} 0 & 0 \\ 0 & 1 \end{pmatrix}$ \blacktriangleright Instabil!

Nach Zeilenumtauschung, $\rightarrow (3.2.10)$: $L\tilde{U} = \tilde{A} + E$ mit $E = \begin{pmatrix} 0 & 0 \\ 0 & \epsilon \end{pmatrix}$ \blacktriangleright Stabil!

Geeignete Pivotstrategie entscheidend für numerische Stabilität der Gaußelimination

Heuristik: „Explosion“ von Einträgen L, U \blacktriangleright Auslöschung bei Vorwärts- & Rückwärtssubstitution.

Algorithmus 74.

Rekursive in situ LU-Zerlegung von $A \in \mathbb{R}^{n,n}$ mit **Spaltenpivotsuche**

Wahl des Pivotindex j :
 $j \in \{i, \dots, n\}$ so, dass

$$\frac{|a_{kj}|}{\sum_{l=i}^n |a_{kl}|} \rightarrow \max \quad (3.2.11)$$

für $k = j, k \in \{i, \dots, n\}$.
(relativ größtes Pivotelement)

Demonstrations-MATLAB-Code: Rekursive Gaußelimination mit Spaltenpivotsuche

```
function A = gsrecpiv(A)
n = size(A,1);
if (n > 1)
    [p,j]=max(abs(A(:,1))./sum(abs(A)'),');
    if (p < eps*norm(A(:,1:n),1))
        error('Nearly Singular matrix');
    end
    A([1,j],:) = A([j,1],:);
    %DEPS gsrecpiv(A(2:end,2:end)-...
    %           A(2:end,1)*A(1,2:end)/A(1,1));
    A = [A(1,:); zeros(n-1,1), C];
end
```

Warum relativ größtes Pivotelement in (3.2.11)? Skalieren des Gleichungssystems aus Bsp. 73: ex:pivot

$$\begin{pmatrix} 2/\epsilon & 0 \\ 0 & 1 \end{pmatrix} \begin{pmatrix} \epsilon & 1 \\ 1 & 1 \end{pmatrix} \begin{pmatrix} x_1 \\ x_2 \end{pmatrix} = \begin{pmatrix} 2 & 2/\epsilon \\ 1 & 1 \end{pmatrix} \begin{pmatrix} x_1 \\ x_2 \end{pmatrix} = \begin{pmatrix} 2/\epsilon \\ 1 \end{pmatrix}$$

Keine Zeilenumtauschung, falls absolut größtes Pivotelement genommen wird.

$$\begin{pmatrix} 2 & 2/\epsilon \\ 1 & 1 \end{pmatrix} = \begin{pmatrix} 1 & 0 \\ 0 & 1 - 2/\epsilon \end{pmatrix} \stackrel{!}{=} \begin{pmatrix} 1 & 0 \\ 0 & -2/\epsilon \end{pmatrix} \text{ in } M.$$

3.2

p. 157

Konstruktiv bewiesen durch Algorithmus 74: ex:proof

Lemma 3.2.7 (LU-Zerlegung mit Pivotsuche). Zu jeder regulären Matrix $A \in \mathbb{R}^{n,n}$ existieren eine Zeilenpermutation P , eine normalisierte untere Dreiecksmatrix $L \in \mathbb{R}^{n,n}$ und eine obere Dreiecksmatrix $U \in \mathbb{R}^{n,n}$ ($\rightarrow \text{Def. 3.2.6}$) so dass

$$PA = LU.$$

MATLAB-Funktion: $[L, U, P] = \text{lu}(A)$ (P = Permutationsmatrix)

\blacktriangleright Gauß-Elimination mit Spaltenpivotsuche gemäß (3.2.11) ist „meistens“ numerisch stabil. lu:ps

Beispiel 75 (Wilkinsons Gegenbeispiel).

3.2

p. 158

3.2

p. 159

$n=10:$

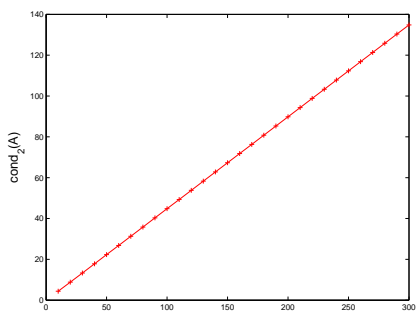
$$a_{ij} = \begin{cases} 1 & , \text{ falls } i = j \vee j = n , \\ -1 & , \text{ falls } i > j , \\ 0 & \text{ sonst} \end{cases}, \quad \mathbf{A} = \begin{pmatrix} 1 & 0 & 0 & 0 & 0 & 0 & 0 & 0 & 0 & 1 \\ -1 & 1 & 0 & 0 & 0 & 0 & 0 & 0 & 0 & 1 \\ -1 & -1 & 1 & 0 & 0 & 0 & 0 & 0 & 0 & 1 \\ -1 & -1 & -1 & 1 & 0 & 0 & 0 & 0 & 0 & 1 \\ -1 & -1 & -1 & -1 & 1 & 0 & 0 & 0 & 0 & 1 \\ -1 & -1 & -1 & -1 & -1 & 1 & 0 & 0 & 0 & 1 \\ -1 & -1 & -1 & -1 & -1 & -1 & 1 & 0 & 0 & 1 \\ -1 & -1 & -1 & -1 & -1 & -1 & -1 & 1 & 0 & 1 \\ -1 & -1 & -1 & -1 & -1 & -1 & -1 & -1 & 1 & 1 \\ -1 & -1 & -1 & -1 & -1 & -1 & -1 & -1 & -1 & 1 \end{pmatrix}$$

Spaltenpivotsuche führt zu keinen Zeilenvertauschungen !

► $\mathbf{A} = \mathbf{LU}$, $l_{ij} = \begin{cases} 1 & , \text{ falls } i = j , \\ -1 & , \text{ falls } i > j , \\ 0 & \text{ sonst} \end{cases}$, $u_{ij} = \begin{cases} 1 & , \text{ falls } i = j , \\ 2^{i-1} & , \text{ falls } j = n , \\ 0 & \text{ sonst} \end{cases}$

Bsp. Stabilität der LU-Zerlegung ?

Ist $\mathbf{A} - \tilde{\mathbf{L}}\tilde{\mathbf{U}}$ eine kleine relative Störung von \mathbf{A} ?



TOTALPIV

Bemerkung 76. Totalpivotweise verwendet Zeilen- und Spaltenvertauschungen: verwende a_{lj} mit $|a_{lj}| \geq |a_{mk}|, i \leq m, k \leq n$ als Pivotelement im i . Schritt (bei in situ Rechnung!).

► Gauss-Elimination mit Totalpivotweise numerisch stabil (aber meist zu teuer!)

Beispiel 77 („Pfeilmatrix“).

$$\mathbf{A} = \left(\begin{array}{c|cc} \mathbf{a} & \mathbf{b}^T \\ \hline \mathbf{c} & \mathbf{D} \end{array} \right), \quad \alpha \in \mathbb{R}, \quad \mathbf{b}, \mathbf{c} \in \mathbb{R}^{n-1}, \quad \mathbf{D} \in \mathbb{R}^{n-1, n-1} \text{ reguläre Diagonalmatrix, } \rightarrow \text{Def. 3.2.6}$$

(3.2.12) ↗

► \mathbf{A} ist Beispiel für dünnbesetzte Matrix (\rightarrow Def. 3.1.1), da

$$\#\{(i,j) \in \{1, \dots, n\}^2 : a_{ij} \neq 0\} \ll n^2.$$

Anwendung von Algorithmus 7/4: alg:LU

ANWLUUP Faktormatrizen mit $O(n^2)$ Einträgen.

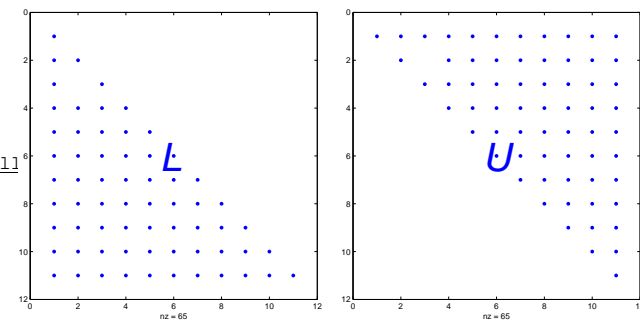
Rechenaufwand $O(n^3)$

3.2
p. 161

MATLAB-CODE LU-Zerlegung von Pfeilmatrix

```
A = [ 1, ones(1,10); ...  
      ones(10,1), eye(10,10)];  
[L,U,P] = lu(A);  
spy(L); spy(U);
```

3.2
p. 163



Auffüllen der LU-Faktoren

(engl. Fill-in) → Def. 3.2.14

Rotiere Zeilen/Spalten:

- 1. Zeile/Spalte → n . Zeile/Spalte,
- i . Zeile/Spalte → $i-1$. Zeile/Spalte,
 $i = 2, \dots, n$

► Alg. 69 kostet alg:LU $O(n)$ Rechenoperationen:

$$\mathbf{A} = \left(\begin{array}{c|cc} \mathbf{D} & \mathbf{c} \\ \hline \mathbf{b}^T & \alpha \end{array} \right) \quad (3.2.13) \quad ↗$$

3.2
p. 162

3.2
p. 164

Für permutiertes \mathbf{A} aus (3.2.13), vgl. (3.2.8):

$$\mathbf{L} = \begin{pmatrix} \mathbf{I} & 0 \\ \mathbf{b}^T \mathbf{D}^{-1} & 1 \end{pmatrix}, \quad \mathbf{U} = \begin{pmatrix} \mathbf{D} & \mathbf{c} \\ 0 & \sigma \end{pmatrix}, \quad \sigma := \alpha - \mathbf{b}^T \mathbf{D}^{-1} \mathbf{c}.$$

➤ Kein Auffüllen bei Berechnung der LU-Zerlegung, Rechenaufwand $O(n)$

Lösen des LGS $\mathbf{Ax} = \mathbf{y}$ mit \mathbf{A} aus 3.2.12: Zwei MATLAB-Implementierungen

„Naive“ Implementierung mittels „\“:

MATLAB-CODE: LGS mit Pfeilmatrix, Implementierung I

```
function x = sal(alpha,b,c,d,y)
A = [alpha, b'; c, diag(d)];
x = A\y;
```

„Strukturbewusste“ Implementierung:

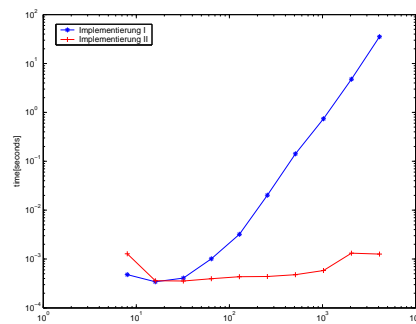
MATLAB-CODE: LGS mit Pfeilmatrix, Implementierung II

```
function x = sa2(alpha,b,c,d,y)
z = b./d;
xi = (y(1) - dot(z,y(2:end)))/...
(alpha-dot(z,c));
x = [xi; (y(2:end)-xi*c)./d];
```

Laufzeitmessung:

```
t = [];
for i=3:12
    n = 2^n; alpha = 2;
    b = ones(n,1); c = (1:n)';
    d = -ones(n,1); y = (-1).^(1:(n+1))';
    tic; x1 = sal(alpha,b,c,d,y); t1 = toc;
    tic; x2 = sa2(alpha,b,c,d,y); t2 = toc;
    t = [t; n t1 t2];
end
loglog(t(:,1),t(:,2), ...
... 'b-*',t(:,1),t(:,3),'r+-');
```

Resultat (Mobile Intel Pentium 4 - M CPU 2.40GHz, Linux
MATLAB V6.5)

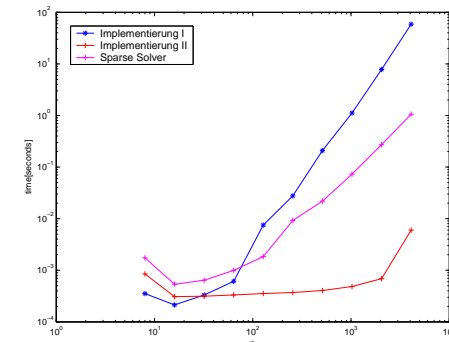


MATLAB kann es besser!

Mit dünnbesetzten Matrizen:
(Abschnitt 3.1.2)

MATLAB-CODE: Sparse Löser für Pfeilmatrix

```
function x = sa3(alpha,b,c,d,y)
n = length(d);
A = [alpha, b'; ...
c, spdiags(d,0,n,n)];
x = A\y;
```



Nütze Struktur eines linearen Gleichungssystems aus!



Vorsicht:

Stabilität der Implementierung

3.2

p. 165

3.2.5 Symmetrisch positiv definite Matrizen

SPDMATRIX

Definition 3.2.8 (Symmetrisch positiv definite Matrizen). $\mathbf{M} \in \mathbb{K}^{n,n}$, $n \in \mathbb{N}$, ist **symmetrisch (Hermitesch) positiv definit** (Abkürzung s.p.d.), falls

$$\mathbf{M} = \mathbf{M}^H \wedge \mathbf{x}^H \mathbf{M} \mathbf{x} > 0 \Leftrightarrow \mathbf{x} \neq 0.$$

Falls $\mathbf{x}^H \mathbf{M} \mathbf{x} \geq 0$ für alle $\mathbf{x} \in \mathbb{K}^n$, so nennt man \mathbf{M} **positiv semidefinit**.

Bemerkung 78. (Lokale) Minimierung \mathbf{x}^* von C^2 -Funktion $f : \mathbb{R}^n \mapsto \mathbb{R}$ ➤ Hessematrix $D^2 f(\mathbf{x}^*)$ s.p.d.

Wie stelle ich fest, ob eine Matrix positiv definit ist?

Notwendige Bedingungen:

3.2

p. 166

3.2

p. 167

Lemma 3.2.9 (Notwendige Bedingungen für s.p.d. Matrix). Für eine symmetrisch positiv definite Matrix $\mathbf{M} = \mathbf{M}^H \in \mathbb{K}^{n,n}$ gilt:

1. $m_{ii} > 0, i = 1, \dots, n,$
2. $m_{ii}m_{jj} - |m_{ij}|^2 > 0 \quad \forall i, j = 1, \dots, n,$
3. alle Eigenwerte von \mathbf{M} sind positiv. (\leftarrow auch hinreichend für symmetrisches \mathbf{M})

Beispiel 79 (Eigenschaften von Leitwertmatrizen). Siehe Bsp. 66 [\[ex:elnet\]](#)

$\mathbf{A} \in \mathbb{R}^{n,n}$: Matrix, entstanden aus der Knotenanalyse eines linearen elektrischen Netzwerks mit ausschliesslich Ohmschen Widerständen

- $\mathbf{A} = \mathbf{A}^T, a_{kk} > 0, a_{kj} \leq 0$ für $k \neq j,$
- $\sum_{j=1}^n a_{kj} \geq 0, k = 1, \dots, n.$

◊

Definition 3.2.10 (Diagonaldominanz). $\mathbf{A} \in \mathbb{K}^{n,n}$ heisst **diagonaldominant**, falls

$$\forall k \in \{1, \dots, n\}: \sum_{j \neq k} |a_{kj}| \leq a_{kk}.$$

Lemma 3.2.11. Eine diagonaldominante Hermitesche Matrix ist positiv semidefinit.

Beweis. $\mathbf{A} = \mathbf{A}^H$ diagonaldominant, mit AGM-Ungleichung

$$\begin{aligned} \mathbf{x}^H \mathbf{A} \mathbf{x} &= \sum_{i=1}^n a_{ii} |x_i|^2 - \sum_{i \neq j} a_{ij} \bar{x}_i x_j \geq \sum_{i=1}^n a_{ii} |x_i|^2 - \sum_{i \neq j} |a_{ij}| |x_i| |x_j| \\ &\geq \sum_{i=1}^n a_{ii} |x_i|^2 - \frac{1}{2} \sum_{i \neq j} |a_{ij}| (|x_i|^2 + |x_j|^2) \\ &\geq \frac{1}{2} \left(\sum_{i=1}^n \{a_{ii} |x_i|^2 - \sum_{j \neq i} |a_{ij}| |x_i|^2\} \right) + \frac{1}{2} \left(\sum_{j=1}^n \{a_{ii} |x_j|^2 - \sum_{i \neq j} |a_{ij}| |x_j|^2\} \right) \\ &\geq \sum_{i=1}^n |x_i|^2 \left(a_{ii} - \sum_{j \neq i} |a_{ij}| \right) \geq 0. \end{aligned}$$

Theorem 3.2.12 (Gauss-Elimination für s.p.d. Matrizen).

Zu jeder symmetrisch positiv definite Matrix (\rightarrow Def. 3.2.8) $\stackrel{\text{def: spd}}{\exists}$ existiert eine LU-Zerlegung.

Beweisskizze. Gauss-Elimination ohne Pivotsuche durchführbar.

Induktionsbeweis: betrachte ersten Eliminationsschritt:

$$\mathbf{A} = \begin{pmatrix} a_{11} & \mathbf{b}^T \\ \mathbf{b} & \tilde{\mathbf{A}} \end{pmatrix} \xrightarrow[\text{Gauss-Elimination}]{\text{1. Schritt}} \begin{pmatrix} a_{11} & \mathbf{b}^T \\ 0 & \tilde{\mathbf{A}} - \frac{\mathbf{b}\mathbf{b}^T}{a_{11}} \end{pmatrix}.$$

► Zu zeigen: $\tilde{\mathbf{A}} - \frac{\mathbf{b}\mathbf{b}^T}{a_{11}}$ s.p.d. (\rightarrow Induktionsschluss)

• Klar ist Symmetrie von $\tilde{\mathbf{A}} - \frac{\mathbf{b}\mathbf{b}^T}{a_{11}} \in \mathbb{R}^{n-1, n-1}$

• Da \mathbf{A} s.p.d. (\rightarrow Def. 3.2.8), für jedes $\mathbf{y} \in \mathbb{R}^{n-1} \setminus \{0\}$

$$0 < \begin{pmatrix} -\frac{\mathbf{b}^T \mathbf{y}}{a_{11}} \\ \mathbf{y} \end{pmatrix}^T \begin{pmatrix} a_{11} & \mathbf{b}^T \\ \mathbf{b} & \tilde{\mathbf{A}} \end{pmatrix} \begin{pmatrix} -\frac{\mathbf{b}^T \mathbf{y}}{a_{11}} \\ \mathbf{y} \end{pmatrix} = \mathbf{y}^T (\tilde{\mathbf{A}} - \frac{\mathbf{b}\mathbf{b}^T}{a_{11}}) \mathbf{y}.$$

► $\tilde{\mathbf{A}} - \frac{\mathbf{b}\mathbf{b}^T}{a_{11}}$ positiv definit. □

Beachte:

keine Pivotsuche (\rightarrow Sect. 3.2.4) erforderlich
(Spaltenpivotsuche wählt immer aktuelle Zeile)

3.2

p. 169

Lemma 3.2.13 (Cholesky-Zerlegung für s.p.d. Matrizen). Zu jedem s.p.d. $\mathbf{A} \in \mathbb{R}^{n,n}, n \in \mathbb{N}$, existiert eine eindeutige obere Dreiecksmatrix $\mathbf{R} \in \mathbb{R}^{n,n}$ mit $r_{ii} > 0, i = 1, \dots, n$, so dass $\mathbf{A} = \mathbf{R}^H \mathbf{R}$ (Cholesky-Zerlegung).

Thm. 3.2.12 $\stackrel{\text{thm:GEspd}}{\Rightarrow} \mathbf{A} = \mathbf{L} \mathbf{U}$ (LU-Zerlegung von \mathbf{A} , Sect. 3.2.3) [\[sec:die-lr-zerlegung\]](#)

$\mathbf{A} = \mathbf{L} \mathbf{D} \tilde{\mathbf{U}}$ „ $\mathbf{D} \hat{=} \text{Diagonale von } \mathbf{U}$, $\tilde{\mathbf{U}} \hat{=} \text{normalisierte obere Dreiecksmatrix} \rightarrow \text{Def. 3.2.6}$

Wegen Eindeutigkeit der LU-Zerlegung

$$\mathbf{A} = \mathbf{A}^T \Rightarrow \mathbf{U} = \mathbf{D} \mathbf{L}^T \Rightarrow \boxed{\mathbf{A} = \mathbf{L} \mathbf{D} \mathbf{L}^T},$$

mit eindeutigen \mathbf{L}, \mathbf{D} (Diagonalmatrix).

$$\mathbf{x}^T \mathbf{A} \mathbf{x} > 0 \quad \forall \mathbf{x} \neq 0 \Rightarrow \mathbf{y}^T \mathbf{D} \mathbf{y} > 0 \quad \forall \mathbf{y} \neq 0.$$

► \mathbf{D} hat positive Diagonaleinträge $\Rightarrow \mathbf{R} = \sqrt{\mathbf{D}} \mathbf{L}^T$. □

MATLAB-Kommando: `R = chol(A)`

3.2

p. 170 [\[RECHAUFWCHOL\]](#)

Rechenaufwand für Cholesky-Zerlegung: $\frac{1}{6}n^3 + O(n^2)$ \gg Halb so teuer wie Alg. 69 [\[alg:LU\]](#)

3.2

p. 171

Lösen eines LGS mit s.p.d. Koeffizientenmatrix via Cholesky-Zerlegung, Vorwärts- und Rückwärtssubstitution ist numerisch stabil.

Bemerkung 80 (LU-Zerlegung diagonaldominanter Matrizen).

$$\mathbf{A} \text{ regulär, diagonaldominant} \Leftrightarrow \begin{cases} \mathbf{A} \text{ LU-zerlegbar} \\ \Downarrow \\ \text{Gauss-Elimination ohne Pivotsuche durchführbar} \end{cases}$$

Beweis. (3.2.5) $\xrightarrow{\text{lu: block}}$ Induktion nach n : Nach 1. Eliminationsschritt:

$$a_{ij}^{(1)} = a_{ij} - \frac{a_{i1}}{a_{11}} a_{1j}, \quad i, j = 2, \dots, n \Rightarrow a_{ii}^{(1)} > 0.$$

$$\begin{aligned} \blacktriangleright |a_{ii}^{(1)}| - \sum_{\substack{j=2 \\ j \neq i}}^n |a_{ij}^{(1)}| &= \left| a_{ii} - \frac{a_{i1}}{a_{11}} a_{1i} \right| - \sum_{\substack{j=2 \\ j \neq i}}^n \left| a_{ij} - \frac{a_{i1}}{a_{11}} a_{1j} \right| \\ &\geq a_{ii} - \frac{|a_{i1}| |a_{1i}|}{a_{11}} - \sum_{\substack{j=2 \\ j \neq i}}^n |a_{ij}| - \frac{|a_{i1}|}{a_{11}} \sum_{\substack{j=2 \\ j \neq i}}^n |a_{1j}| \\ &\geq a_{ii} - \frac{|a_{i1}| |a_{1i}|}{a_{11}} - \sum_{\substack{j=2 \\ j \neq i}}^n |a_{ij}| - |a_{i1}| \frac{|a_{11} - |a_{1i}|}{a_{11}} \geq a_{ii} - \sum_{\substack{j=1 \\ j \neq i}}^n |a_{ij}| \geq 0. \end{aligned}$$

A lu:ps 3.2.11 i i

Bemerkung 81 (Übermitteln von Matrixeigenschaften an MATLAB).

MATLAB-` kann einer allgemeinen (vollbesetzten) Matrix spezielle Eigenschaften (symmetrisch, s.p.d., Dreiecksmatrix) nicht „ansehen“.

► Benutze `y = linsolve(A,b,opts)`

$\text{opts} \in \{ \begin{array}{ll} \text{LT} & \leftrightarrow \text{A untere Dreiecksmatrix} \\ \text{UT} & \leftrightarrow \text{A obere Dreiecksmatrix} \\ \text{UHESS} & \leftrightarrow \text{A obere Hessenbergmatrix} \\ \text{SYM} & \leftrightarrow \text{A Hermitesche Matrix} \\ \text{POSDEF} & \leftrightarrow \text{A positiv definite Matrix} \end{array} \}$



3.2.6 Dünnbesetzte Gleichungssysteme

DUENNBESGLSYS

= LGS $\mathbf{Ax} = \mathbf{b}$ mit dünnbesetzter Koeffizientenmatrix \mathbf{A} , → Abschnitt 3.1.2, Def. 3.1.1

3.2
p. 175

Beispiel 82 (Dünnbesetzte Gleichungssysteme in der Schaltkreissimulation).

3.2
p. 173

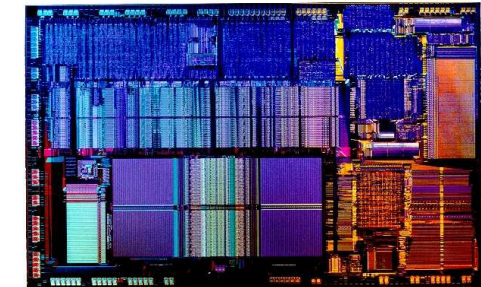
Moderne Schaltkreise (Chips):

$10^5 - 10^7$ Elemente

- Jedes Element mit nur wenigen Knoten verbunden
- Jeder Knoten mit nur wenigen Elementen verbunden

[Im Fall eines linearen Netzwerks]

Knotenanalyse ► dünnbesetzte Schaltkreismatrix



LUFAKTDUENNMAT
Beispiel 83 (LU-Faktorisierung dünnbesetzter Matrizen). → Bsp. 77

$$\mathbf{A} = \left(\begin{array}{cccc|ccc} 3 & -1 & .. & & -1 & .. & .. & .. \\ -1 & .. & .. & & -1 & .. & .. & .. \\ .. & .. & .. & & .. & .. & .. & .. \\ .. & .. & .. & & .. & .. & .. & .. \\ -1 & .. & .. & & 3 & -1 & .. & .. \\ .. & .. & .. & & .. & -1 & .. & .. \\ .. & .. & .. & & .. & .. & -1 & .. \\ .. & .. & .. & & .. & .. & .. & 3 \end{array} \right) \in \mathbb{R}^{n,n}, n \in 2\mathbb{N}$$

3.2
MATLAB lu-Funktion ergibt (für $n = 10$):

p. 174

3.2
p. 176

$$A = \underbrace{\begin{pmatrix} 1 & 0 & 0 & 0 & 0 & 0 & 0 & 0 & 0 & 0 \\ -0.33 & 1 & 0 & 0 & 0 & 0 & 0 & 0 & 0 & 0 \\ 0 & -0.38 & 1 & 0 & 0 & 0 & 0 & 0 & 0 & 0 \\ 0 & 0 & -0.38 & 1 & 0 & 0 & 0 & 0 & 0 & 0 \\ 0 & 0 & 0 & -0.38 & 1 & 0 & 0 & 0 & 0 & 0 \\ -0.33 & -0.13 & -0.05 & -0.02 & -0.01 & 1 & 0 & 0 & 0 & 0 \\ 0 & -0.38 & -0.14 & -0.05 & -0.02 & -0.44 & 1 & 0 & 0 & 0 \\ 0 & 0 & -0.38 & -0.15 & -0.06 & -0.02 & -0.58 & 1 & 0 & 0 \\ 0 & 0 & 0 & -0.38 & -0.15 & -0.01 & -0.03 & -0.65 & 1 & 0 \\ 0 & 0 & 0 & 0 & -0.38 & -0.003 & -0.01 & -0.04 & -0.671 & 0 \end{pmatrix}}_L \underbrace{\begin{pmatrix} 3 & -1 & 0 & 0 & 0 & -1 & 0 & 0 & 0 & 0 \\ 0 & 2.67 & -1 & 0 & 0 & -0.33 & -1 & 0 & 0 & 0 \\ 0 & 0 & 2.63 & -1 & 0 & -0.13 & -0.38 & -1 & 0 & 0 \\ 0 & 0 & 0 & 2.62 & -1 & -0.05 & -0.14 & -0.38 & -1 & 0 \\ 0 & 0 & 0 & 0 & 2.62 & -0.02 & -0.05 & -0.15 & -0.38 & -1 \\ 0 & 0 & 0 & 0 & 0 & 2.62 & -1.15 & -0.06 & -0.02 & -0.01 \\ 0 & 0 & 0 & 0 & 0 & 0 & 2.06 & -1.19 & -0.07 & -0.02 \\ 0 & 0 & 0 & 0 & 0 & 0 & 1.87 & -1.21 & -0.07 & -0.02 \\ 0 & 0 & 0 & 0 & 0 & 0 & 1.78 & -1.19 & -0.07 & -0.02 \\ 0 & 0 & 0 & 0 & 0 & 0 & 1.82 & -0.07 & -0.02 & -0.01 \end{pmatrix}}_U \diamond$$

A dünnbesetzt $\nRightarrow LU$ -Faktoren dünnbesetzt (siehe Bsp. 77) [lex:arrowmatrix](#)

Beispiel 84 (Hülle einer Matrix).

$$A = \begin{pmatrix} * & 0 & * & 0 & 0 & 0 & 0 \\ 0 & * & 0 & 0 & * & 0 & 0 \\ * & 0 & * & 0 & 0 & 0 & * \\ 0 & 0 & 0 & * & * & 0 & * \\ 0 & * & 0 & * & * & 0 & 0 \\ 0 & 0 & 0 & 0 & * & 0 & 0 \\ 0 & 0 & * & * & 0 & 0 & * \end{pmatrix} \quad \begin{array}{l} m_1(A) = 0 \\ m_2(A) = 0 \\ m_3(A) = 2 \\ m_4(A) = 0 \\ m_5(A) = 3 \\ m_6(A) = 1 \\ m_7(A) = 4 \end{array}$$

$\text{env}(A)$ = rote Einträge
 $\ast \triangleq$ nichtverschwindender Eintrag $a_{ij} \neq 0$

FILL-IN
Definition 3.2.14 (Fill-in). Sei $A = LU$ eine LU-Faktorisierung von $A \in \mathbb{K}^{n,n}$. Wenn $l_{ij} \neq 0$ oder $u_{ij} \neq 0$ obwohl $a_{ij} = 0$, dann handelt es sich um **FILL-IN** an Position (i,j) .

BANDBREITE
Definition 3.2.15 (Bandbreite). Für $A = (a_{ij})_{i,j} \in \mathbb{K}^{m,n}$ heisst

$$\begin{aligned} \bar{m}(A) &:= \min\{k \in \mathbb{N}: j-i > k \Rightarrow a_{ij} = 0\} \text{ Obere Bandbreite (engl. upper bandwidth),} \\ \underline{m}(A) &:= \min\{k \in \mathbb{N}: i-j > k \Rightarrow a_{ij} = 0\} \text{ Untere Bandbreite (engl. lower bandwidth).} \\ m(A) &:= \bar{m}(A) + \underline{m}(A) + 1 = \text{Bandbreite von } A. \end{aligned}$$

- $m(A) = 0 \quad \triangleright \quad A$ Diagonalmatrix, \rightarrow Def. [3.2.6](#)
- $\bar{m}(A) = \underline{m}(A) = 1 \quad \triangleright \quad A$ Tridiagonalmatrix

MATLAB-Funktion zum Erzeugen von Bandmatrizen:

Vollbesetzte Matrizen : `X=diag(v);`
Dünnbesetzte Matrizen : `X=spdiags(B,d,m,n);`
Tridiagonalmatrizen : `X=gallery('tridiag',c,d,e);` (\rightarrow sparse)

Definition 3.2.16 (Struktursymmetrie).
STRUKTUR
 $A \in \mathbb{K}^{n,n}$ ist **struktursymmetrisch** (engl. structurally symmetric), falls

$$\forall i, j \in \{1, \dots, n\}: a_{ij} \neq 0 \Leftrightarrow a_{ji} \neq 0.$$

Definition 3.2.17 (Hülle einer Matrix). Für struktursymmetrisches, reguläres $A \in \mathbb{K}^{n,n}$ definie-
RETEILENBANDER
Zeilensbandbreite $m_i(A) := \max\{0, j-i : a_{ij} \neq 0, 1 \leq j \leq n\}, i \in \{1, \dots, n\}$
Hülle (engl. envelope) $\text{env}(A) := \{(i,j), (j,i) : i - m_i(A) \leq j \leq i; 1 \leq i \leq n\}$

Theorem 3.2.18 (Hülle & Fill-in). Falls $A \in \mathbb{K}^{n,n}$ regulär, struktursymmetrisch mit LU-Zerlegung $A = LU$, dann beschränkt sich der Fill-in auf $\text{env}(A)$.

Beweis. (induktiv) Im ersten Schritt der Gaußelimination (ohne Pivotsuche):

$$A = \begin{pmatrix} a_{11} & \mathbf{b}^T \\ \mathbf{c} & \tilde{A} \end{pmatrix} = \underbrace{\begin{pmatrix} 1 & 0 \\ -\frac{\mathbf{c}}{a_{11}} & \mathbf{I} \end{pmatrix}}_{\tilde{L}} \underbrace{\begin{pmatrix} a_{11} & \mathbf{b}^T \\ 0 & \tilde{A} - \frac{\mathbf{c}\mathbf{b}^T}{a_{11}} \end{pmatrix}}_{\tilde{U}}$$

$$\text{Wenn } (i,j) \notin \text{env}(A), i \geq j \Rightarrow \begin{cases} c_i = b_i = 0 \\ a_{ij} = a_{ji} = 0 \end{cases} \Rightarrow \tilde{l}_{ij} = 0 \& \tilde{u}_{ji} = 0.$$

Insbesondere $(i-1, j-1) \notin \text{env}(\tilde{U})$ für $i, j > 1$ □

- Speichere nur $a_{ij}, (i,j) \in \text{env}(A)$ bei in situ Berechnung der LU-Zerlegung von $A \in \mathbb{K}^{n,n}$
- Speicherbedarf: $n + 2 \sum_{i=1}^n m_i(A)$ Gleitpunktzahlen
- hüllenorientierte Speichertechnik

Beispiel 85 (Hüllenorientierte Speicherung).

Lineare hüllenorientierte Speicherung von s.p.d. $A = A^T \in \mathbb{R}^{n,n}$:

Zwei Arrays:

```
real val(1:P),
integer dptr(0:n)
```

$$P := n + \sum_{i=1}^n m_i(\mathbf{A}). \quad (3.2.14) \text{ eq:Pdef}$$

$$\mathbf{A} = \begin{pmatrix} * & 0 & * & 0 & 0 & 0 & 0 \\ 0 & * & 0 & * & 0 & 0 & 0 \\ * & 0 & * & 0 & 0 & 0 & * \\ 0 & 0 & * & * & 0 & 0 & * \\ 0 & 0 & 0 & * & * & * & 0 \\ 0 & 0 & 0 & 0 & * & * & 0 \\ 0 & 0 & * & * & 0 & 0 & * \end{pmatrix}$$

Regel:

$$\begin{aligned} \text{dptr}[j] &= k \\ &\Updownarrow \\ \text{val}[k] &= a_{jj} \end{aligned}$$

	0	1	2	3	4	5	6	7	8	9	10	11	12	13	14	15	16	17
val		a_{11}	a_{22}	a_{31}	a_{32}	a_{33}	a_{44}	a_{52}	a_{53}	a_{54}	a_{55}	a_{65}	a_{66}	a_{73}	a_{74}	a_{75}	a_{76}	a_{77}
dptr	0	1	2	5	6	10	12	17										



Bemerkung 86. Hüllenorientierte Cholesky-Zerlegung von s.p.d. $\mathbf{A} \in \mathbb{R}^{n,n}$ überspringt $(i,j) \notin \text{env}(\mathbf{A})$

➤ Rechenaufwand: $O(P \cdot \max_{1 \leq i \leq N} m_i(\mathbf{A}))$ elementare Operationen!

Algorithmus: Hüllenorientierte Cholesky-Zerlegung

```
for (j = 1; j ≤ N; j++) {
    for (rjj = ajj, k = j - m_j(A); k < j; k++)
        rjj = rjj - rjk²;
    rjj = √rjj;
    for (i = j + 1; i ≤ N; i++) {
        if ((i, j) ∈ env(A)) {
            for (rij = aij, k = j - m_i(A); k < j; k++)
                rij -= rik * rjk;
            rij = rij / rjj;
        }
    }
}
```

Rechenaufwand:

$O(P \cdot \max_{1 \leq i \leq N} m_i(\mathbf{A}))$ elementare Operationen

$$P := n + \sum_{i=1}^n m_i(\mathbf{A}).$$

$\mathbf{A} \in \mathbb{R}^{n,n}$ s.p.d. Bandmatrix
➤ Rechenaufwand für Cholesky-Zerlegung:
 $O(m(\mathbf{A}) \cdot n)$

BANDBREED
Bandbreitenreduktion:

Ziel: Reduziere $m_i(\mathbf{A}), \mathbf{A} = (a_{ij}) \in \mathbb{R}^{N,N}$, durch Zeilen- und Spaltenvertauschungen.

Beispiel 87 (Bandbreitenreduktion durch Indexpermutation).

Spiegelung an Nebendiagonalen ➤ Reduktion von P aus (3.2.14) eq:Pdef

$$\begin{pmatrix} * & 0 & 0 & * & * & * \\ 0 & * & 0 & 0 & 0 & 0 \\ * & 0 & 0 & * & * & * \\ 0 & 0 & 0 & * & * & * \\ * & 0 & 0 & * & * & * \end{pmatrix} \xrightarrow{i \leftarrow N+1-i} \begin{pmatrix} * & * & * & 0 & 0 & * \\ * & * & * & 0 & 0 & 0 \\ 0 & 0 & 0 & * & 0 & 0 \\ 0 & 0 & 0 & * & 0 & 0 \\ * & * & * & 0 & 0 & * \end{pmatrix}$$

$$P = 30$$

$$P = 22$$

Allgemeine Techniken benutzen **Matrixgraph**: MATRIXGRAPH (→ Graphentheorie)

3.2

p. 181

■ **Definition 3.2.19 (Matrixgraph).** Matrix-Graph $G(\mathbf{A}) = (VG(\mathbf{A}), EG(\mathbf{A}))$ zu $\mathbf{A} \in \mathbb{R}^{n,n}$:

• Knotenmenge $VG(\mathbf{A})$ von $G(\mathbf{A}) = \{1, \dots, n\}$

• Kantenmenge $EG(\mathbf{A})$ von $G(\mathbf{A}): EG(\mathbf{A}) = \{(i, j) \in \{1, \dots, n\}^2 : a_{ij} \neq 0\}$

\mathbf{A} struktursymmetrisch $\Rightarrow G(\mathbf{A})$ ungerichtet.

$\iota \in VG(\mathbf{A})$: **Grad** $\deg \iota := \#\{\pi \in EG(\mathbf{A}) : \exists \kappa \in VG(\mathbf{A}), \pi = (\iota, \kappa)\}$

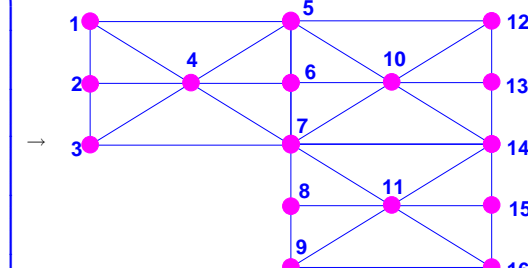
PLANARMATGRAPH

Beispiel 88 (Matrixgraph). Matrix mit planarem Matrixgraphen („Schaltkreis, Bsp. 66“) ex:elnet

$$\mathbf{A} = \begin{pmatrix} * & * & 0 & * & * & 0 & 0 & 0 & 0 & 0 & 0 & 0 & 0 & 0 & 0 & 0 & 0 & 0 \\ * & * & * & * & 0 & 0 & 0 & 0 & 0 & 0 & 0 & 0 & 0 & 0 & 0 & 0 & 0 & 0 \\ 0 & * & * & 0 & 0 & * & 0 & 0 & 0 & 0 & 0 & 0 & 0 & 0 & 0 & 0 & 0 & 0 \\ * & * & * & * & * & 0 & 0 & 0 & 0 & 0 & 0 & 0 & 0 & 0 & 0 & 0 & 0 & 0 \\ * & 0 & 0 & * & * & * & 0 & 0 & 0 & * & 0 & 0 & 0 & 0 & 0 & 0 & 0 & 0 \\ 0 & 0 & 0 & * & * & * & 0 & 0 & * & 0 & 0 & 0 & 0 & 0 & 0 & 0 & 0 & 0 \\ 0 & 0 & * & * & * & * & 0 & 0 & * & 0 & 0 & 0 & 0 & 0 & 0 & 0 & 0 & 0 \\ 0 & 0 & * & * & * & * & 0 & * & * & 0 & 0 & 0 & 0 & 0 & 0 & 0 & 0 & 0 \\ 0 & 0 & * & * & * & * & 0 & * & * & 0 & 0 & 0 & 0 & 0 & 0 & 0 & 0 & 0 \\ 0 & 0 & * & * & * & * & 0 & * & * & 0 & 0 & 0 & 0 & 0 & 0 & 0 & 0 & 0 \\ 0 & 0 & * & * & * & * & 0 & * & * & 0 & 0 & 0 & 0 & 0 & 0 & 0 & 0 & 0 \\ 0 & 0 & 0 & 0 & 0 & 0 & * & * & * & 0 & 0 & 0 & 0 & 0 & 0 & 0 & 0 & 0 \\ 0 & 0 & 0 & 0 & 0 & 0 & * & * & * & 0 & 0 & 0 & 0 & 0 & 0 & 0 & 0 & 0 \\ 0 & 0 & 0 & 0 & 0 & 0 & * & * & * & 0 & 0 & 0 & 0 & 0 & 0 & 0 & 0 & 0 \\ 0 & 0 & 0 & 0 & 0 & 0 & * & * & * & 0 & 0 & 0 & 0 & 0 & 0 & 0 & 0 & 0 \\ 0 & 0 & 0 & 0 & 0 & 0 & * & * & * & 0 & 0 & 0 & 0 & 0 & 0 & 0 & 0 & 0 \\ 0 & 0 & 0 & 0 & 0 & 0 & * & * & * & 0 & 0 & 0 & 0 & 0 & 0 & 0 & 0 & 0 \\ 0 & 0 & 0 & 0 & 0 & 0 & * & * & * & 0 & 0 & 0 & 0 & 0 & 0 & 0 & 0 & 0 \end{pmatrix}$$

3.2

p. 182



3.2

p. 183

Umordnungsalgorithmus von Cuthill & McKee [47] für struktursymmetrische Matrix $A \in \mathbb{R}^{n,n}$:

① Startknoten minimalen Grades $\nu_0 \in VG(A) : \deg(\nu_0) = \min\{\deg(\nu) : \nu \in VG(A)\}$

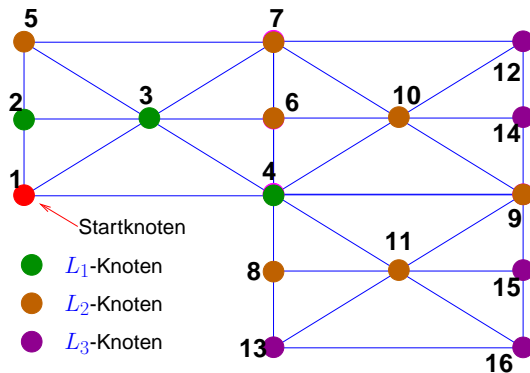
② Partitionierung von $VG(A)$:

$$L_i := \{\nu \in VG(A) : \text{dist}(\nu, \nu_0) = i\}, \quad i \in \mathbb{N}.$$

③ Sortierung $VG(A) = \{\nu_0\} \cup L_1 \cup L_2 \cup \dots \cup L_N$,
interne Sortierung der L_i nach aufsteigendem Grad.

Beispiel 89 (Algorithmus von Cuthill & McKee).

Matrix aus Bsp. 88: Partitionierung und Numerierung erzeugt durch CMK-Algorithmus



Erweiterung: Reverse Cuthill-McKee-Algorithmus

(CMK-Alg. nach Spiegelung an Nebendiagonalen → Bsp. 87)

☞ MATLAB-Funktion: `symrcm(M)`

Bemerkung 90. Alternative Umsortierungsstrategie: Optimieren der Anordnung unter Berücksichtigung der „Fill-in“-Historie der Cholesky-Zerlegung, **minimum degree reordering** [2].

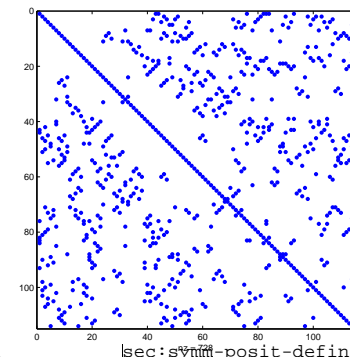
☞ MATLAB-Funktion: `symamd(M)`

Beispiel 91 (Fill-in-Minimierung durch Umordnung).

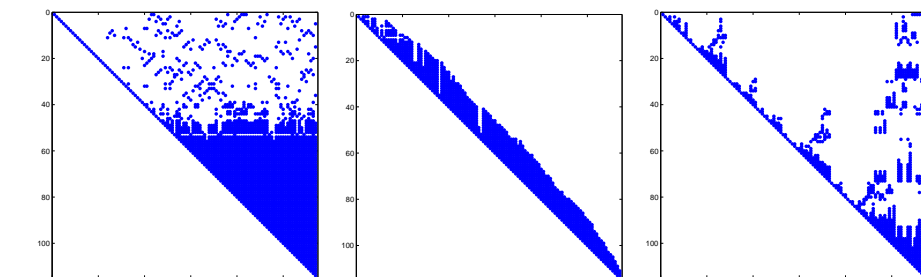
M : 114×114 s.p.d. Matrix aus FE-Diskretisierung einer PDE.

```
spy(M);
[R,P] = chol(M); spy(R);
r = symrcm(M);
[R,P] = chol(M(r,r)); spy(R);
m = symamd(M);
[R,P] = chol(M(m,m)); spy(R);
```

BESETZMUSTER
Besetzungsmuster von M



Untersche Besetzungsmuster von Cholesky-Faktoren (→ Abschnitt 3.2.5) nach Umordnung:



Warnung: Immer Bibliotheks Routinen zur Lösung von allgemeinen LGS mit dünnbesetzten Koeffizientenmatrizen verwenden!
 → SuperLU (<http://www.cs.berkeley.edu/~demmel/SuperLU.html>)
 → UMFPACK (<http://www.cise.vfl.edu/research/sparse/umfpack.html>)
 → Pardiso (<http://www.computational.unibas.ch/cs/scicomp/software/pardiso>)

Matlab-\Löser: verwendet Sparse-Techniken für **sparse**-Matrizen

3.2
p. 185

3.2.7 Die QR-Zerlegung

ORZERLEGUNG

LU-Probleme (Abschn. 3.2.4): ☹ T.a. Pivotsuche notwendig (→ Strukturzerstörung)

☹ Mögliche Instabilität (bei Spaltenpivotsuche)

■ **Definition 3.2.20.**

- $Q \in \mathbb{K}^{n,n}$, $n \in \mathbb{N}$, heisst **unitär**, falls $Q^{-1} = Q^H$.
- $Q \in \mathbb{R}^{n,n}$, $n \in \mathbb{N}$, heisst **orthogonal**, falls $Q^{-1} = Q^T$.

■ **Theorem 3.2.21** (Kriterium für Unitarität).

$$Q \in \mathbb{C}^{n,n} \text{ unitär} \Leftrightarrow \|Qx\|_2 = \|x\|_2 \quad \forall x \in \mathbb{K}^n.$$

3.2

p. 186 Falls $Q \in \mathbb{K}^{n,n}$ unitär, dann

► Q unitär $\Rightarrow \text{cond}(Q) = 1$

► Unitäre Transformationen „stabilitätsfördernd“

3.2
p. 187

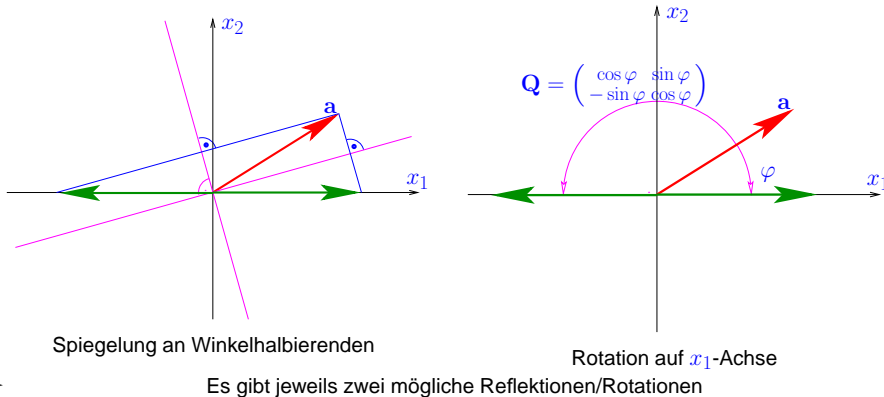
3.2

p. 188

- haben alle Spalten- und Zeilenvektoren paarweise Euklidische Norm = 1,
- sind alle Spalten- und Zeilenvektoren paarweise orthogonal (bzgl. Euklidischem Skalarprodukt),
- ist $|\det \mathbf{Q}| = 1$, alle Eigenwerte haben Betrag = 1.

Ziel: Finde orthogonale/unitäre Zeilenumformungen zum Annullieren von Matrixkomponenten.

In 2D: Zwei orthogonale Transformationen annullieren zweite Komponente von $\mathbf{a} \in \mathbb{R}^2$:



In n D: Zu $\mathbf{a} \in \mathbb{K}^n$ suche unitäre Matrix $\mathbf{Q} \in \mathbb{K}^{n,n}$ mit $\mathbf{Q}\mathbf{a} = \|\mathbf{a}\|_2 \mathbf{e}_1$, $\mathbf{e}_1 \hat{=} 1$. Einheitsvektor.

1. Möglichkeit: **HOUSEREFU**
Householder-Reflektionen

$$\mathbf{Q} = \mathbf{H}(\mathbf{v}) := \mathbf{I} - 2 \frac{\mathbf{v}\mathbf{v}^H}{\mathbf{v}^H \mathbf{v}} \quad \text{mit} \quad \mathbf{v} = \frac{1}{2}(\mathbf{a} \pm \|\mathbf{a}\|_2 \mathbf{e}_1). \quad (3.2.15)$$

Zur Vermeidung von Auslöschung (\rightarrow Abschn. II.7) wähle [sec:auslösung](#)

$$\mathbf{v} = \begin{cases} \frac{1}{2}(\mathbf{a} + \|\mathbf{a}\|_2 \mathbf{e}_1) & , \text{ falls } \operatorname{Re} a_1 > 0, \\ \frac{1}{2}(\mathbf{a} - \|\mathbf{a}\|_2 \mathbf{e}_1) & , \text{ falls } \operatorname{Re} a_1 \leq 0. \end{cases}$$

2. Möglichkeit: **GIVENS**
Sukzessive Givens-Rotationen (\rightarrow 2D Fall)

$$\mathbf{G}_{1k}(a_1, a_k) \mathbf{A} := \begin{pmatrix} \bar{\gamma} & \dots & \bar{\sigma} & \dots & 0 \\ \vdots & \ddots & \vdots & \ddots & \vdots \\ -\sigma & \dots & \gamma & \dots & 0 \\ \vdots & \vdots & \ddots & \ddots & \vdots \\ 0 & \dots & 0 & \dots & 1 \end{pmatrix} \begin{pmatrix} a_1 \\ \vdots \\ a_k \\ \vdots \\ a_n \end{pmatrix} = \begin{pmatrix} a_1^{(1)} \\ \vdots \\ 0 \\ \vdots \\ a_n \end{pmatrix}, \text{ wenn } \begin{aligned} \gamma &= \frac{a_1}{\sqrt{|a_1|^2 + |a_k|^2}}, \\ \sigma &= \frac{a_k}{\sqrt{|a_1|^2 + |a_k|^2}}. \end{aligned}$$

Zur Vermeidung von Überlauf (in \mathbb{R}) \rightarrow Abschn. [II.5](#): [sec:ueber-und-unterlauf](#)

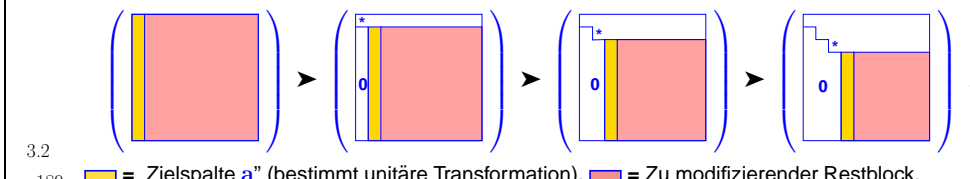
$$\begin{cases} \tau = \frac{a_1}{a_k}, & \sigma = \frac{1}{\sqrt{1+\tau^2}}, & \gamma = \sigma\tau, & \text{falls } |a_k| > |a_1|, \\ \tau = \frac{a_k}{a_1}, & \gamma = \frac{1}{\sqrt{1+\tau^2}}, & \sigma = \gamma\tau, & \text{falls } |a_k| \leq |a_1|. \end{cases}$$

MATLAB-Funktion: $[G, x] = \text{planerot}(a);$

MATLAB-CODE Givens-Rotation

```
function [G,x] = planerot(a)
%PLANEROT Givens plane rotation.
if (a(2) ~ 0), r = norm(a); G = [a'; -a(2) a(1)]/r; x = [r; 0];
else, G = eye(2); end
```

Transformation auf obere Dreiecksgestalt durch sukzessive unitäre Transformationen:



3.2 p. 191

QRDEC
QR-Zerlegung von $\mathbf{A} \in \mathbb{C}^{n,n}$: $\mathbf{A} = \mathbf{Q}\mathbf{R}$, $\mathbf{Q} := \mathbf{Q}_1^H \cdots \mathbf{Q}_{n-1}^H$ unitäre Matrix, \mathbf{R} obere Dreiecksmatrix.

Verallgemeinerung auf $\mathbf{A} \in \mathbb{K}^{m,n}$

$$m > n: \begin{pmatrix} \mathbf{A} \end{pmatrix} = \begin{pmatrix} \mathbf{Q} \end{pmatrix} \begin{pmatrix} \mathbf{R} \end{pmatrix}, \quad \mathbf{A} = \mathbf{Q}\mathbf{R}, \quad \mathbf{Q} \in \mathbb{K}^{m,n}, \quad \mathbf{R} \in \mathbb{K}^{n,n},$$

wobei $\mathbf{Q}^H \mathbf{Q} = \mathbf{I}$ (orthonormierte Spalten), \mathbf{R} obere Dreiecksmatrix.

$$m < n: \begin{pmatrix} \mathbf{A} \end{pmatrix} = \begin{pmatrix} \mathbf{Q} \end{pmatrix} \begin{pmatrix} \mathbf{R} \end{pmatrix}, \quad \mathbf{A} = \mathbf{Q}\mathbf{R}, \quad \mathbf{Q} \in \mathbb{K}^{m,m}, \quad \mathbf{R} \in \mathbb{K}^{m,n},$$

3.2
p. 190

3.2
p. 192

wobei \mathbf{Q} unitär, \mathbf{R} obere Dreiecksmatrix.

Wann nimmt man welche Transformation ?

- Householder-Reflektionen vorzuziehen, wenn Zielspalten vollbesetzt
- Givens-Rotationen effizienter (weil selektiver), wenn Zielspalte nur wenige Nicht-Null-Komponenten besitzt.

MATLAB-Funktionen:

$$[\mathbf{Q}, \mathbf{R}] = \text{qr}(\mathbf{A}) \quad \mathbf{Q} \in \mathbb{K}^{m,m}, \mathbf{R} \in \mathbb{K}^{m,n} \text{ für } \mathbf{A} \in \mathbb{K}^{m,n}$$

$$[\mathbf{Q}, \mathbf{R}] = \text{qr}(\mathbf{A}, 0) \quad \mathbf{Q} \in \mathbb{K}^{m,n}, \mathbf{R} \in \mathbb{K}^{n,n} \text{ für } \mathbf{A} \in \mathbb{K}^{m,n}, m > n$$

(jede Funktion verfügbar für voll- und dünnbesetzte Matrizen)

Bemerkung 92 (QR-Orthogonalisierung).

$$\left(\begin{array}{c|c} \mathbf{A} \\ \hline \end{array} \right) = \left(\begin{array}{c|c} \mathbf{Q} \\ \hline \end{array} \right) \left(\begin{array}{c|c} \mathbf{R} \\ \hline \end{array} \right), \quad \mathbf{A}, \mathbf{Q} \in \mathbb{K}^{m,n}, \mathbf{R} \in \mathbb{K}^{n,n}.$$

Falls $m > n$, $\text{rank}(\mathbf{R}) = \text{rank}(\mathbf{A}) = n$ (voller Rang)

- $\{\mathbf{q}_{\cdot,1}, \dots, \mathbf{q}_{\cdot,n}\}$ ist Orthonormalbasis von $\text{Im}(\mathbf{A})$ mit $\text{Span}\{\mathbf{q}_{\cdot,1}, \dots, \mathbf{q}_{\cdot,k}\} = \text{Span}\{\mathbf{a}_{\cdot,1}, \dots, \mathbf{a}_{\cdot,k}\}, 1 \leq k \leq n$.



Bemerkung 93 (Akkumulation von unitären Transformationen).

Wie speichert man $\mathbf{G}_{i_1 j_1}(a_1, b_1) \cdots \cdots \mathbf{G}_{i_k j_k}(a_k, b_k), \dots, \mathbf{H}(\mathbf{v}_1) \cdots \cdots \mathbf{H}(\mathbf{v}_k)$?

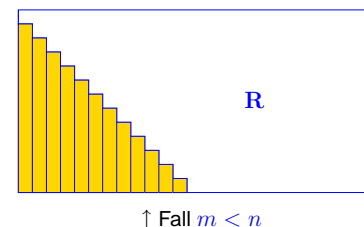
☞ Für Householder-Reflektionen

$\mathbf{H}(\mathbf{v}_1) \cdots \cdots \mathbf{H}(\mathbf{v}_k)$: Speichere $\mathbf{v}_1, \dots, \mathbf{v}_k$

Für in situ QR-Zerlegung von $\mathbf{A} \in \mathbb{K}^{m,n}$: Speichere „Householder-Vektoren“ \mathbf{v}_j (abnehmende Längen !) im unteren Dreieck von \mathbf{A}

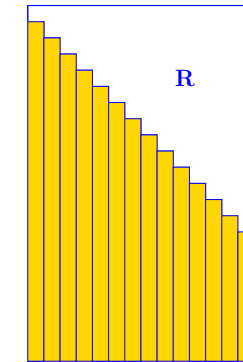
3.2

p. 194



■ = Householder-Vektoren.

Fall $m > n \rightarrow$



3.2

p. 193

☞ Konvention für Givens-Rotationen ($\mathbb{K} = \mathbb{R}$)

$$\mathbf{G} = \begin{pmatrix} \gamma & \sigma \\ -\sigma & \gamma \end{pmatrix} \Rightarrow \text{Speichere } \rho := \begin{cases} 1 & , \text{ falls } \gamma = 0, \\ \frac{1}{2}\text{sign}(\gamma)\sigma & , \text{ falls } |\sigma| < |\gamma|, \\ 2\text{sign}(\sigma)/\gamma & , \text{ falls } |\sigma| \geq |\gamma|. \end{cases}$$

► $\begin{cases} \rho = 1 & \Rightarrow \gamma = 0, \sigma = 1 \\ |\rho| < 1 & \Rightarrow \sigma = 2\rho, \gamma = \sqrt{1 - \sigma^2} \\ |\rho| > 1 & \Rightarrow \gamma = 2/\rho, \sigma = \sqrt{1 - \gamma^2}. \end{cases}$

Speichere $\mathbf{G}_{ij}(a, b)$ als Tripel (i, j, ρ)

Speicherung von Orthogonaltransformationen als Matrizen meist ineffizient!

LOESENGLGSQR

Lösen eines linearen Gleichungssystems via QR-Zerlegung:

① QR-Zerlegung $\mathbf{A} = \mathbf{Q}\mathbf{R}$, Rechenaufwand $\frac{2}{3}n^3 + O(n^2)$ (ca. doppelt so aufwendig wie LU-Zerlegung ohne Pivotsuche)

$\mathbf{Ax} = \mathbf{b}$: ② Orthogonaltransformation $\mathbf{z} = \mathbf{Q}^H \mathbf{b}$, Rechenaufwand $4n^2 + O(n)$ bei kompakter Abspeicherung der Reflektionen/Rotationen

③ Rücksubstitution, löse $\mathbf{Rx} = \mathbf{z}$, Rechenaufwand $\frac{1}{2}n(n+1)$

3.2

p. 195

3.2

p. 196

- Die Berechnung der (verallgemeinerten) QR-Zerlegung $\mathbf{A} = \mathbf{QR}$ mittels Householder-Reflektionen bzw. Givens-Rotationen ist für beliebiges $\mathbf{A} \in \mathbb{C}^{m,n}$ stabil.
- Für beliebige reguläre Koeffizientenmatrizen lässt sich ein LGS mittels QR-Zerlegung + Orthogonaltransformation + Rücksubstitution stabil lösen.

Fill-in bei QR-Zerlegung ?

$$\mathbf{A} \in \mathbb{C}^{n,n} \text{ mit QR-Zerlegung } \mathbf{A} = \mathbf{QR} \Rightarrow m(\mathbf{R}) \leq m(\mathbf{A}) \text{ (}\rightarrow \text{Def. 3.2.15)}$$

Beispiel 94 (QR-basiertes Lösen eines tridiagonalen Gleichungssystems).

Elimination der Subdiagonalen durch $n - 1$ sukzessive Givens-Rotationen:

$$\begin{pmatrix} * & * & 0 & 0 & 0 & 0 & 0 & 0 \\ * & * & 0 & 0 & 0 & 0 & 0 & 0 \\ 0 & * & * & 0 & 0 & 0 & 0 & 0 \\ 0 & 0 & * & * & 0 & 0 & 0 & 0 \\ 0 & 0 & 0 & * & * & 0 & 0 & 0 \\ 0 & 0 & 0 & 0 & * & * & 0 & 0 \\ 0 & 0 & 0 & 0 & 0 & * & * & 0 \\ 0 & 0 & 0 & 0 & 0 & 0 & * & * \end{pmatrix} \xrightarrow{\mathbf{G}_{12}} \begin{pmatrix} * & * & * & 0 & 0 & 0 & 0 & 0 \\ 0 & * & * & 0 & 0 & 0 & 0 & 0 \\ 0 & * & * & 0 & 0 & 0 & 0 & 0 \\ 0 & 0 & * & * & 0 & 0 & 0 & 0 \\ 0 & 0 & 0 & * & * & 0 & 0 & 0 \\ 0 & 0 & 0 & 0 & * & * & 0 & 0 \\ 0 & 0 & 0 & 0 & 0 & * & * & 0 \\ 0 & 0 & 0 & 0 & 0 & 0 & * & * \end{pmatrix} \xrightarrow{\mathbf{G}_{23}} \dots \xrightarrow{\mathbf{G}_{n-1,n}} \begin{pmatrix} * & * & * & 0 & 0 & 0 & 0 & 0 \\ 0 & * & * & * & 0 & 0 & 0 & 0 \\ 0 & 0 & * & * & * & 0 & 0 & 0 \\ 0 & 0 & 0 & * & * & * & 0 & 0 \\ 0 & 0 & 0 & 0 & * & * & * & 0 \\ 0 & 0 & 0 & 0 & 0 & * & * & * \\ 0 & 0 & 0 & 0 & 0 & 0 & * & * \\ 0 & 0 & 0 & 0 & 0 & 0 & 0 & * \end{pmatrix}$$

MATLAB-Code (c, d, e, b = Spaltenvektoren der Länge $n, n \in \mathbb{N}, e(n), c(n)$ nicht benutzt):

```
MATLAB-CODE : Lösen eines tridiagonalen LGS mit QR-Zerlegung
function y = tridiagqr(c,d,e,b)
n = length(d); t = norm(d)+norm(e)+norm(c);
for k=1:n-1
    [R,z] = planerot([d(k);e(k)]);
    if (abs(z(1))/t < eps), error('Matrix singular'); end;
    d(k) = z(1); b(k:k+1) = R*b(k:k+1);
    Z = R*[c(k), 0;d(k+1), c(k+1)];
    c(k) = Z(1,1); d(k+1) = Z(2,1);
    e(k) = Z(1,2); c(k+1) = Z(2,2);
end
A = spdiags([d,[0;c(1:end-1)],[0;0;e(1:end-2)]],[0 1 2],n,n);
y = A\b;
```

Rechenaufwand $O(n)$

Bemerkung 95 (Aufspüren fast singulärer Matrizen).

(Relativ) sehr kleine r_{ii} bei Berechnung der QR-Zerlegung $\leftrightarrow \mathbf{A}$ „fast singulär“

3.2.8 Modifikationstechniken

MODIFTECH

Problem: Effizientes Aktualisieren von Faktorisierungen bei „geringfügiger“ Änderung der Matrix, [GOL89, STO83, [T9, Abschnitt 12.6], [43, Abschnitt 4.9].

3.2.8.1 Rang-1-Modifikationen

RANG1MOD

$$\mathbf{A} \in \mathbb{K}^{n,n} \mapsto \tilde{\mathbf{A}} := \mathbf{A} + \boxed{\mathbf{u}\mathbf{v}^H}, \quad \mathbf{u}, \mathbf{v} \in \mathbb{K}^n. \quad (3.2.16) \text{ mod:1}$$

Allgemeine Rang-1-Matrix

Bemerkung 96 (Lösen eines Rang-1-modifizierten LGS).

SHERMORWOOD

Lemma 3.2.22 (Sherman-Morrison-Woodbury-Formel). Für reguläres $\mathbf{A} \in \mathbb{K}^{n,n}$ und $\mathbf{U}, \mathbf{V} \in \mathbb{K}^{n,k}, n, k \in \mathbb{N}, k \leq n$, gilt

$$(\mathbf{A} + \mathbf{U}\mathbf{V}^H)^{-1} = \mathbf{A}^{-1} - \mathbf{A}^{-1}\mathbf{U}(\mathbf{I} + \mathbf{V}^H\mathbf{A}^{-1}\mathbf{U})^{-1}\mathbf{V}^H\mathbf{A}^{-1},$$

wenn $\mathbf{I} + \mathbf{V}^H\mathbf{A}^{-1}\mathbf{U}$ invertierbar.

3.2
p. 197

Aufgabe: Zu lösen: $\tilde{\mathbf{A}}\mathbf{x} = \mathbf{b}$, wobei LU-Zerlegung $\mathbf{A} = \mathbf{LU}$ bekannt

MATLAB-CODE : Lösen eines Rang-1-modifizierten LGS

```
function x = smw(L,U,u,v,b)
t = L\b; z = U\t;
t = L\u; w = U\t;
alpha = 1+dot(v,w);
if (abs(alpha) < eps*norm(U,1))
error('Nearly singular matrix');
end;
x = z - w*dot(v,z)/alpha;
```

Anwendung von Lemma 3.2.22 für $k = 1$: Lem:SMW

$$\mathbf{x} = (\mathbf{I} - \frac{\mathbf{A}^{-1}\mathbf{u}\mathbf{v}^H}{1 + \mathbf{v}^H\mathbf{A}^{-1}\mathbf{u}})\mathbf{A}^{-1}\mathbf{b}.$$

Effiziente Implementierung !

3.2
p. 198

Aufgabe: Effiziente Berechnung der QR-Zerlegung (\rightarrow Abschn. 3.2.7) $\tilde{\mathbf{A}} = \tilde{\mathbf{Q}}\tilde{\mathbf{R}}$ von $\tilde{\mathbf{A}}$ aus (3.2.16), wenn eine QR-Zerlegung $\mathbf{A} = \mathbf{QR}$ bekannt.

①

Mit $\mathbf{w} := \mathbf{Q}^H\mathbf{u}$: $\mathbf{A} + \mathbf{u}\mathbf{v}^H = \mathbf{Q}(\mathbf{R} + \mathbf{w}\mathbf{v}^H)$

\rightarrow Rechenaufwand $O(n^2)$ (abhängig von Abspeicherung von \mathbf{Q})

3.2
p. 200

② Ziel: $\mathbf{w} \rightarrow \|\mathbf{w}\| \mathbf{e}_1$ ➤ durch $n - 1$ Givens-Rotationen

$$\mathbf{w} = \begin{pmatrix} * \\ * \\ \vdots \\ * \\ * \\ * \end{pmatrix} \xrightarrow{\mathbf{G}_{n-1,n}} \begin{pmatrix} * \\ * \\ \vdots \\ * \\ * \\ 0 \end{pmatrix} \xrightarrow{\mathbf{G}_{n-2,n-1}} \begin{pmatrix} * \\ * \\ \vdots \\ * \\ 0 \\ 0 \end{pmatrix} \xrightarrow{\mathbf{G}_{n-3,n-2}} \dots \xrightarrow{\mathbf{G}_{12}} \begin{pmatrix} * \\ 0 \\ \vdots \\ 0 \\ 0 \\ 0 \end{pmatrix}$$

Beachte: Auswirkung auf \mathbf{R} !

$$\mathbf{R} = \begin{pmatrix} * & * & \dots & * & * & * \\ 0 & * & \dots & * & * & * \\ \vdots & \ddots & & \vdots \\ 0 & \dots & 0 & * & * & * \\ 0 & \dots & 0 & 0 & * & * \\ 0 & \dots & 0 & 0 & 0 & * \\ 0 & \dots & 0 & 0 & 0 & 0 \end{pmatrix} \xrightarrow{\mathbf{G}_{n-1,n}} \begin{pmatrix} * & * & \dots & * & * & * \\ 0 & * & \dots & * & * & * \\ \vdots & \ddots & & \vdots \\ 0 & \dots & 0 & * & * & * \\ 0 & \dots & 0 & 0 & * & * \\ 0 & \dots & 0 & 0 & 0 & * \\ 0 & \dots & 0 & 0 & 0 & * \end{pmatrix} \xrightarrow{\mathbf{G}_{n-2,n-1}}$$

$$\xrightarrow{\mathbf{G}_{n-3,n-2}} \dots \xrightarrow{\mathbf{G}_{1,2}} \begin{pmatrix} * & * & \dots & * & * & * \\ * & * & \dots & * & * & * \\ \vdots & \ddots & & \vdots \\ 0 & \dots & 0 & * & * & * \\ 0 & \dots & 0 & 0 & * & * \\ 0 & \dots & 0 & 0 & * & * \\ 0 & \dots & 0 & 0 & 0 & * \end{pmatrix} =: \mathbf{R}_1$$

CHESS Obere Hessenbergmatrix: Eintrag $(i,j) = 0$, falls $i > j + 1$.

► $\mathbf{A} + \mathbf{u}\mathbf{v}^H = \mathbf{Q}\mathbf{Q}_1^H (\mathbf{R}_1 + \|\mathbf{w}\|_2 \mathbf{e}_1 \mathbf{v}^H)$ mit unitärem $\mathbf{Q}_1 := \mathbf{G}_{12} \dots \mathbf{G}_{n-1,n}$.
obere Hessenbergmatrix

⇒ Rechenaufwand $O(n^2)$

③ Sukzessive Givens-Rotationen: $\mathbf{R}_1 + \|\mathbf{w}\|_2 \mathbf{e}_1 \mathbf{v}^H \mapsto$ obere Dreiecksgestalt

$$\mathbf{R}_1 + \|\mathbf{w}\|_2 \mathbf{e}_1 \mathbf{v}^H = \begin{pmatrix} * & * & \dots & * & * & * \\ * & * & \dots & * & * & * \\ \ddots & & & & & \\ 0 & \dots & * & * & * & * \\ 0 & \dots & 0 & * & * & * \\ 0 & \dots & 0 & 0 & * & * \\ 0 & \dots & 0 & 0 & 0 & * \end{pmatrix} \xrightarrow{\mathbf{G}_{12}} \begin{pmatrix} * & * & \dots & * & * & * \\ 0 & * & \dots & * & * & * \\ \ddots & & & & & \\ 0 & \dots & * & * & * & * \\ 0 & \dots & 0 & * & * & * \\ 0 & \dots & 0 & 0 & * & * \\ 0 & \dots & 0 & 0 & 0 & * \end{pmatrix} \xrightarrow{\mathbf{G}_{23}} \dots$$

$$\xrightarrow{\mathbf{G}_{n-2,n-1}} \begin{pmatrix} * & * & \dots & * & * & * \\ 0 & * & \dots & * & * & * \\ \ddots & & & & & \\ 0 & \dots & 0 & * & * & * \\ 0 & \dots & 0 & 0 & * & * \\ 0 & \dots & 0 & 0 & 0 & * \\ 0 & \dots & 0 & 0 & 0 & 0 \end{pmatrix} \xrightarrow{\mathbf{G}_{n-1,n}} \begin{pmatrix} * & * & \dots & * & * & * \\ 0 & * & \dots & * & * & * \\ \ddots & & & & & \\ 0 & \dots & 0 & * & * & * \\ 0 & \dots & 0 & 0 & * & * \\ 0 & \dots & 0 & 0 & 0 & * \\ 0 & \dots & 0 & 0 & 0 & 0 \end{pmatrix} =: \tilde{\mathbf{R}} . \quad (3.2.17) \text{ mod:OH!}$$

⇒ Rechenaufwand $O(n^2)$

$$\mathbf{A} + \mathbf{u}\mathbf{v}^H = \tilde{\mathbf{Q}}\tilde{\mathbf{R}} \text{ mit } \tilde{\mathbf{Q}} = \mathbf{Q}\mathbf{Q}_1^H \mathbf{G}_{n-1,n}^H \dots \mathbf{G}_{12}^H .$$

MATLAB-Funktion: `[Q1,R1] = qrupdate(Q,R,u,v);`

Symmetrische und positivitätserhaltende Rang-1-Modifikation:

3.2

p. 201

$$\mathbf{A} = \mathbf{A}^H \in \mathbb{K}^{n,n} \mapsto \tilde{\mathbf{A}} := \mathbf{A} + \alpha \mathbf{v} \mathbf{v}^H, \quad \mathbf{v} \in \mathbb{K}^n, \alpha > 0 . \quad (3.2.18) \text{ mod:Z}$$

3.2

p. 203

Aufgabe: Effiziente Berechnung der Cholesky-Zerlegung $\tilde{\mathbf{A}} = \tilde{\mathbf{R}}^H \tilde{\mathbf{R}}$ (→ Lemma 3.2.13) von $\tilde{\mathbf{A}}$ aus (3.2.18), wenn eine solche $\mathbf{A} = \mathbf{R}^H \mathbf{R}$ für \mathbf{A} bekannt.

① Mit $\mathbf{w} := \mathbf{R}^{-H} \mathbf{v}$: $\mathbf{A} + \alpha \mathbf{v} \mathbf{v}^H = \mathbf{R}^H (\mathbf{I} + \alpha \mathbf{w} \mathbf{w}^H) \mathbf{R}$.

⇒ Rechenaufwand $O(n^2)$ (Rücksubstitution !)

② Idee: Formale Gauss-Elimination: mit $\tilde{\mathbf{w}} = (w_2, \dots, w_n)^T \rightarrow$ (3.2.5)

$$\mathbf{I} + \alpha \mathbf{w} \mathbf{w}^H = \left(\begin{array}{c|c} 1 + \alpha w_1^2 & \alpha w_1 \tilde{\mathbf{w}}^H \\ \hline \alpha w_1 \tilde{\mathbf{w}} & \mathbf{I} + \alpha \tilde{\mathbf{w}} \tilde{\mathbf{w}}^H \end{array} \right) \rightarrow \left(\begin{array}{c|c} 1 + \alpha w_1^2 & \alpha w_1 \tilde{\mathbf{w}}^H \\ \hline 0 & \mathbf{I} + \alpha^{(1)} \tilde{\mathbf{w}} \tilde{\mathbf{w}}^H \end{array} \right) \quad (3.2.19) \text{ mod:red}$$

$$\text{wobei } \alpha^{(1)} := 1 - \frac{\alpha^2 w_1^2}{1 + \alpha w_1^2} .$$

Analoge Struktur ➤ Rekursion

3.2

p. 202

3.2

p. 204

► Berechnung der Cholesky-Zerlegung

$$\mathbf{I} + \alpha \mathbf{w} \mathbf{w}^H = \mathbf{R}_1^H \mathbf{R}_1.$$

Motiviert durch "Rekursion"
(3.2.19).

→ Rechenaufwand $O(n^2)$
($O(n)$ wenn nur Abspeicherung von $\mathbf{d}, \mathbf{s} \rightarrow$ (3.2.20))

③ Spezielle Struktur von \mathbf{R}_1 :

$$\mathbf{R}_1 = \begin{pmatrix} d_1 & & & \\ & \ddots & & \\ & & \ddots & \\ & & & d_n \end{pmatrix} + \begin{pmatrix} s_1 & & & \\ & \ddots & & \\ & & \ddots & \\ & & & s_n \end{pmatrix} \begin{pmatrix} 0 & w_2 & w_3 & \cdots & \cdots & w_n \\ 0 & 0 & w_3 & \cdots & \cdots & w_n \\ \vdots & & \ddots & & & \vdots \\ & & & 0 & w_{n-1} & w_n \\ 0 & \cdots & \cdots & 0 & 0 & w_n \\ 0 & \cdots & & & \cdots & 0 \end{pmatrix} \quad (3.2.20)$$

$$\mathbf{R}_1 = \begin{pmatrix} d_1 & & & \\ & \ddots & & \\ & & \ddots & \\ & & & d_n \end{pmatrix} + \begin{pmatrix} s_1 & & & \\ & \ddots & & \\ & & \ddots & \\ & & & s_n \end{pmatrix} \begin{pmatrix} 0 & 1 & 1 & \cdots & \cdots & 1 \\ 0 & 0 & 1 & \cdots & \cdots & 1 \\ \vdots & & \ddots & & & \vdots \\ & & & 0 & 1 & 1 \\ 0 & \cdots & \cdots & 0 & 1 & \\ 0 & \cdots & & & \cdots & 0 \end{pmatrix} \begin{pmatrix} w_1 & & & \\ & \ddots & & \\ & & \ddots & \\ & & & w_n \end{pmatrix}$$

► Geschickte Multiplikation

$$\tilde{\mathbf{R}} := \mathbf{R}_1 \mathbf{R}$$

→ Rechenaufwand $O(n^2)$

$$\mathbf{A} + \alpha \mathbf{v} \mathbf{v}^H = \tilde{\mathbf{R}}^H \tilde{\mathbf{R}}$$

MATLAB-Funktion: $\mathbf{R} = \text{cholupdate}(\mathbf{R}, \mathbf{v});$

MATLAB-CODE Cholesky-Zerlegung

```
function [d,s] = roid(alpha,w)
n = length(w);
d = []; s = [];
for i=1:n
    t = alpha*w(i);
    d = [d; sqrt(1+t*w(i))];
    s = [s; t/d(i)];
% R=[R;zeros(1,i-1),d(i), ...
%      s(i)*w(i+1:end)'];
    alpha = alpha - s(i)^2;
end

```

bei Rang-1-Modifikation

3.2.8.2 Hinzufügen einer Spalte

$$\mathbf{A} \in \mathbb{K}^{m,n} \mapsto \tilde{\mathbf{A}} = [\mathbf{a}_1, \dots, \mathbf{a}_{i-1}, \mathbf{v}, \mathbf{a}_i, \dots, \mathbf{a}_n], \quad \mathbf{v} \in \mathbb{K}^m. \quad (3.2.21)$$

Gegeben: QR-Zerlegung $\mathbf{A} = \mathbf{Q}\mathbf{R}$, $\mathbf{Q} \in \mathbb{K}^{m,m}$ unitär, $\mathbf{R} \in \mathbb{K}^{m,n}$ obere Dreiecksmatrix.

Aufgabe: Effiziente Berechnung der QR-Zerlegung $\tilde{\mathbf{A}} = \tilde{\mathbf{Q}}\tilde{\mathbf{R}}$ von $\tilde{\mathbf{A}}$ aus (3.2.21), $\tilde{\mathbf{Q}} \in \mathbb{K}^{m,n+1}$ unitär, $\tilde{\mathbf{R}} \in \mathbb{K}^{m,n+1}$ obere Dreiecksmatrix.

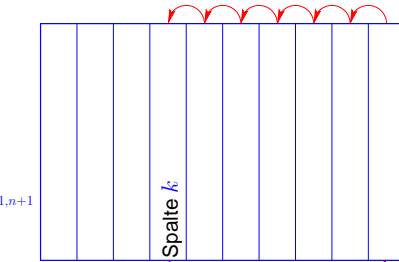
Idee: Aufgabe einfach, falls $k = n + 1$ (Anfügen einer Spalte von rechts)

► \exists Teilzyklische Spaltenpermutation

$$k \mapsto n + 1, i \mapsto i - 1, i = k + 1, \dots, n + 1$$

~ Permutationsmatrix

$$\mathbf{P} = \begin{pmatrix} 1 & 0 & \cdots & & \cdots & 0 \\ 0 & \ddots & & & & \\ & & 1 & 0 & & \\ & & & 0 & 1 & \\ \vdots & & & & \ddots & \\ 0 & \cdots & & 1 & 0 & \end{pmatrix} \in \mathbb{R}^{n+1,n+1}$$



3.2
p. 205

3.2
p. 207

$$\tilde{\mathbf{A}} \longrightarrow \mathbf{A}_1 = \tilde{\mathbf{A}}\mathbf{P} = [\mathbf{a}_1, \dots, \mathbf{a}_n, \mathbf{v}] = \mathbf{Q} [\mathbf{R} \quad \mathbf{Q}^H \mathbf{v}] = \mathbf{Q} \left(\begin{array}{c|c} \mathbf{R} & \mathbf{Q}^H \mathbf{v} \\ \hline \mathbf{Q}^H \mathbf{v} & \text{Fall } m > n+1 \end{array} \right)$$

① Falls $m > n + 1$: \exists orthogonale Transformation $\mathbf{Q}_1 \in \mathbb{K}^{m,m}$ (Householder-Reflektion) mit

$$\mathbf{Q}_1 \mathbf{Q}^H \mathbf{v} = \begin{pmatrix} * \\ \vdots \\ * \\ * \\ 0 \\ \vdots \\ 0 \end{pmatrix} \quad \left\{ \begin{array}{l} n+1 \\ \\ \\ \\ m-n-1 \end{array} \right\} \quad \mathbf{Q}_1 \mathbf{Q}^H \mathbf{A}_1 = \begin{pmatrix} * & \cdots & & * \\ 0 & * & & * \\ \vdots & \ddots & \ddots & \vdots \\ & & * & * \\ 0 & \cdots & \cdots & 0 \\ \vdots & & & \vdots \\ 0 & \cdots & \cdots & 0 \end{pmatrix} \quad \left\{ \begin{array}{l} n+1 \\ \\ \\ \\ m-n-1 \end{array} \right\}$$

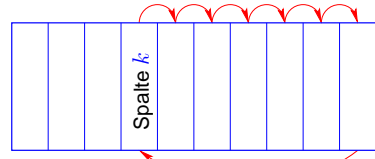
► Rechenaufwand $O(m - n)$ (Eine Reflektion)

3.2
p. 206

3.2
p. 208

Inverse Permutation:

~ Multiplikation mit \mathbf{P}^H von rechts



$$\mathbf{Q}_1 \mathbf{Q}^H \tilde{\mathbf{A}} = \mathbf{Q}_1 \mathbf{Q}^H \mathbf{A}_1 \mathbf{P}^H = \begin{pmatrix} * & \cdots & * & \cdots & * \\ 0 & * & * & \cdots & : \\ : & \ddots & \ddots & \ddots & : \\ & \vdots & \ddots & \ddots & : \\ & * & * & * & : \\ : & * & * & * & : \\ 0 & \cdots & 0 & \cdots & 0 \\ : & * & * & \cdots & : \\ 0 & \cdots & 0 & \cdots & 0 \end{pmatrix} = \begin{pmatrix} \text{yellow} & \text{yellow} & \text{yellow} & \text{yellow} & \text{yellow} & \text{yellow} & \text{yellow} \\ \text{yellow} & \text{yellow} & \text{yellow} & \text{yellow} & \text{yellow} & \text{yellow} & \text{yellow} \\ \text{yellow} & \text{yellow} & \text{yellow} & \text{yellow} & \text{yellow} & \text{yellow} & \text{yellow} \\ \text{yellow} & \text{yellow} & \text{yellow} & \text{yellow} & \text{yellow} & \text{yellow} & \text{yellow} \\ \text{yellow} & \text{yellow} & \text{yellow} & \text{yellow} & \text{yellow} & \text{yellow} & \text{yellow} \\ \text{yellow} & \text{yellow} & \text{yellow} & \text{yellow} & \text{yellow} & \text{yellow} & \text{yellow} \\ \text{red} & \text{white} & \text{white} & \text{white} & \text{white} & \text{white} & \text{white} \end{pmatrix}$$

② $n+1-k$ sukzessive Givens-Rotationen \Rightarrow obere Dreiecksmatrix $\tilde{\mathbf{R}}$

$$\mathbf{Q}_1 \mathbf{Q}^H \mathbf{A}_1 = \begin{pmatrix} * & \cdots & * & \cdots & * \\ 0 & * & * & \cdots & : \\ : & \ddots & \ddots & \ddots & : \\ & \vdots & \ddots & \ddots & : \\ & * & * & * & : \\ & * & * & * & : \\ : & * & * & 0 & : \\ & 0 & \cdots & 0 & \cdots & : \\ : & * & * & 0 & \cdots & : \\ 0 & \cdots & 0 & \cdots & 0 & \cdots & 0 \end{pmatrix} \xrightarrow{\mathbf{G}_{n,n+1}} \cdots \xrightarrow{\mathbf{G}_{k,k+1}} \begin{pmatrix} * & \cdots & * & \cdots & * \\ 0 & * & * & \cdots & : \\ : & \ddots & \ddots & \ddots & : \\ & \vdots & \ddots & \ddots & : \\ & 0 & \cdots & 0 & \cdots & : \\ & 0 & \cdots & 0 & \cdots & 0 \\ & 0 & \cdots & 0 & \cdots & 0 \\ & 0 & \cdots & 0 & \cdots & 0 \end{pmatrix}$$

$\left(\begin{array}{c|ccccc} \text{yellow} & \text{yellow} & \text{yellow} & \text{yellow} & \text{yellow} & \text{yellow} \\ \text{yellow} & \text{yellow} & \text{yellow} & \text{yellow} & \text{yellow} & \text{yellow} \\ \text{yellow} & \text{yellow} & \text{yellow} & \text{yellow} & \text{yellow} & \text{yellow} \\ \text{yellow} & \text{yellow} & \text{yellow} & \text{yellow} & \text{yellow} & \text{yellow} \\ \text{yellow} & \text{yellow} & \text{yellow} & \text{yellow} & \text{yellow} & \text{yellow} \\ \text{yellow} & \text{yellow} & \text{yellow} & \text{yellow} & \text{yellow} & \text{yellow} \\ \text{red} & \text{white} & \text{white} & \text{white} & \text{white} & \text{white} \end{array} \right) \rightarrow \left(\begin{array}{c|ccccc} \text{yellow} & \text{yellow} & \text{yellow} & \text{yellow} & \text{yellow} & \text{yellow} \\ \text{yellow} & \text{yellow} & \text{yellow} & \text{yellow} & \text{yellow} & \text{yellow} \\ \text{yellow} & \text{yellow} & \text{yellow} & \text{yellow} & \text{yellow} & \text{yellow} \\ \text{yellow} & \text{yellow} & \text{yellow} & \text{yellow} & \text{yellow} & \text{yellow} \\ \text{yellow} & \text{yellow} & \text{yellow} & \text{yellow} & \text{yellow} & \text{yellow} \\ \text{yellow} & \text{yellow} & \text{yellow} & \text{yellow} & \text{yellow} & \text{yellow} \\ \text{red} & \text{white} & \text{white} & \text{white} & \text{white} & \text{white} \end{array} \right) \rightarrow \left(\begin{array}{c|ccccc} \text{yellow} & \text{yellow} & \text{yellow} & \text{yellow} & \text{yellow} & \text{yellow} \\ \text{yellow} & \text{yellow} & \text{yellow} & \text{yellow} & \text{yellow} & \text{yellow} \\ \text{yellow} & \text{yellow} & \text{yellow} & \text{yellow} & \text{yellow} & \text{yellow} \\ \text{yellow} & \text{yellow} & \text{yellow} & \text{yellow} & \text{yellow} & \text{yellow} \\ \text{yellow} & \text{yellow} & \text{yellow} & \text{yellow} & \text{yellow} & \text{yellow} \\ \text{yellow} & \text{yellow} & \text{yellow} & \text{yellow} & \text{yellow} & \text{yellow} \\ \text{red} & \text{white} & \text{white} & \text{white} & \text{white} & \text{white} \end{array} \right) \rightarrow \left(\begin{array}{c|ccccc} \text{yellow} & \text{yellow} & \text{yellow} & \text{yellow} & \text{yellow} & \text{yellow} \\ \text{yellow} & \text{yellow} & \text{yellow} & \text{yellow} & \text{yellow} & \text{yellow} \\ \text{yellow} & \text{yellow} & \text{yellow} & \text{yellow} & \text{yellow} & \text{yellow} \\ \text{yellow} & \text{yellow} & \text{yellow} & \text{yellow} & \text{yellow} & \text{yellow} \\ \text{yellow} & \text{yellow} & \text{yellow} & \text{yellow} & \text{yellow} & \text{yellow} \\ \text{yellow} & \text{yellow} & \text{yellow} & \text{yellow} & \text{yellow} & \text{yellow} \\ \text{red} & \text{white} & \text{white} & \text{white} & \text{white} & \text{white} \end{array} \right) \rightarrow \left(\begin{array}{c|ccccc} \text{yellow} & \text{yellow} & \text{yellow} & \text{yellow} & \text{yellow} & \text{yellow} \\ \text{yellow} & \text{yellow} & \text{yellow} & \text{yellow} & \text{yellow} & \text{yellow} \\ \text{yellow} & \text{yellow} & \text{yellow} & \text{yellow} & \text{yellow} & \text{yellow} \\ \text{yellow} & \text{yellow} & \text{yellow} & \text{yellow} & \text{yellow} & \text{yellow} \\ \text{yellow} & \text{yellow} & \text{yellow} & \text{yellow} & \text{yellow} & \text{yellow} \\ \text{yellow} & \text{yellow} & \text{yellow} & \text{yellow} & \text{yellow} & \text{yellow} \\ \text{red} & \text{white} & \text{white} & \text{white} & \text{white} & \text{white} \end{array} \right)$

$\hat{\text{---}}$ Zielzeilen der Givens-Rotationen, $\hat{\text{[color]}}$ neue Einträge $\neq 0$

\Rightarrow Rechenaufwand $O((n-k)^2)$

3.2.8.3 Hinzufügen einer Zeile

$$\mathbf{A} \in \mathbb{K}^{m,n} \mapsto \tilde{\mathbf{A}} = \begin{bmatrix} \mathbf{a}_{1,:} \\ \vdots \\ \mathbf{a}_{k-1,:} \\ \mathbf{v}^T \\ \mathbf{a}_k,: \\ \vdots \\ \mathbf{a}_m,: \end{bmatrix}, \quad \mathbf{v} \in \mathbb{K}^n. \quad (3.2.22) \text{ mod:row}$$

Gegeben: QR-Zerlegung $\mathbf{A} = \mathbf{QR}$, $\mathbf{Q} \in \mathbb{K}^{m+1,m+1}$ unitär, $\mathbf{R} \in \mathbb{K}^{m,n}$ obere Dreiecksmatrix.

Aufgabe: Effiziente Berechnung der QR-Zerlegung $\tilde{\mathbf{A}} = \tilde{\mathbf{Q}} \tilde{\mathbf{R}}$ von $\tilde{\mathbf{A}}$ aus (3.2.22), $\tilde{\mathbf{Q}} \in \mathbb{K}^{m+1,m+1}$ unitär, $\tilde{\mathbf{R}} \in \mathbb{K}^{m+1,n+1}$ obere Dreiecksmatrix.

- ① \exists Teilzyklische Zeilenpermutation $m+1 \leftarrow k, i \leftarrow i+1, i = k, \dots, m$:
 \rightarrow unitäre Permutationsmatrix $\mathbf{P} \in \{0,1\}^{m+1,m+1}$

3.2
p. 209

$$\mathbf{P} \tilde{\mathbf{A}} = \begin{pmatrix} \mathbf{A} \\ \mathbf{v}^T \end{pmatrix} \Rightarrow \begin{pmatrix} \mathbf{Q}^H & 0 \\ 0 & 1 \end{pmatrix} \mathbf{P} \tilde{\mathbf{A}} = \begin{pmatrix} \mathbf{R} \\ \mathbf{v}^T \end{pmatrix} = \begin{pmatrix} \text{yellow} & \text{yellow} & \text{yellow} & \text{yellow} & \text{yellow} \\ \text{yellow} & \text{yellow} & \text{yellow} & \text{yellow} & \text{yellow} \\ \text{yellow} & \text{yellow} & \text{yellow} & \text{yellow} & \text{yellow} \\ \text{yellow} & \text{yellow} & \text{yellow} & \text{yellow} & \text{yellow} \\ \text{yellow} & \text{yellow} & \text{yellow} & \text{yellow} & \text{yellow} \\ \text{red} & \text{white} & \text{white} & \text{white} & \text{white} \end{pmatrix}$$

Fall $m = n$

3.2
p. 211

② Obere Dreiecksgestalt durch sukzessive Givens-Rotationen:

$$\begin{pmatrix} * & \cdots & \cdots & * \\ 0 & * & \cdots & : \\ : & 0 & \ddots & \ddots & : \\ & \vdots & \ddots & \ddots & : \\ & 0 & 0 & 0 & * & * \\ & * & \cdots & * & * & * \end{pmatrix} \xrightarrow{\mathbf{G}_{1,m}} \begin{pmatrix} * & \cdots & \cdots & * \\ 0 & * & \cdots & : \\ : & 0 & \ddots & \ddots & : \\ & \vdots & \ddots & \ddots & : \\ & 0 & 0 & 0 & * & * \\ & 0 & * & \cdots & * & * \end{pmatrix} \xrightarrow{\mathbf{G}_{2,m}} \cdots$$

$\cdots \xrightarrow{\mathbf{G}_{m-2,m}} \begin{pmatrix} * & \cdots & \cdots & * \\ 0 & * & \cdots & : \\ : & 0 & \ddots & \ddots & : \\ & \vdots & \ddots & \ddots & : \\ & 0 & 0 & 0 & * & * \\ & 0 & * & \cdots & * & * \end{pmatrix} \xrightarrow{\mathbf{G}_{m-1,m}} \begin{pmatrix} * & \cdots & \cdots & * \\ 0 & * & \cdots & : \\ : & 0 & \ddots & \ddots & : \\ & \vdots & \ddots & \ddots & : \\ & 0 & 0 & 0 & * & * \\ & 0 & * & \cdots & 0 & * \end{pmatrix} := \tilde{\mathbf{R}} \quad (3.2.23) \text{ mod:row}$

- ③ Mit $\mathbf{Q}_1 = \mathbf{G}_{m-1,m} \cdots \mathbf{G}_{1,m}$

$$\tilde{\mathbf{A}} = \mathbf{P}^T \begin{pmatrix} \mathbf{Q} & 0 \\ 0 & 1 \end{pmatrix} \mathbf{Q}_1^H \tilde{\mathbf{R}} = \tilde{\mathbf{Q}} \tilde{\mathbf{R}} \quad \text{mit unitärem } \tilde{\mathbf{Q}} \in \mathbb{K}^{m+1,m+1}$$

3.2
p. 210

Ähnliche Update-Algorithmen für Streichen von Zeilen/Spalten

3.3
p. 212

3.3 Numerische Berechnung von Eigenwerten und Eigenvektoren

[File: section-numerische-berechnung-von-eigenwerten-und-eigenvektoren.tex, SVN: section-numerische-berechnung-von-eigenwerten-und-eigenvektoren.te]

NUMERISCHEIC

Beispiel 97 (Resonanzen elektrischer Netzwerke).

Gegeben: Grosses elektrisches Netzwerk mit linearen Bauelementen

Gesucht: Resonanzfrequenzen

Bsp. 66: Kirschhoffsche Knotenregel + Bauelementgleichungen \Rightarrow Netzwerkmatrix

$$\mathbf{A}(\omega) := \mathbf{W} + i\omega\mathbf{C} - i\omega^{-1}\mathbf{S}, \quad \mathbf{W}, \mathbf{C}, \mathbf{S} \in \mathbb{R}^{n,n} \text{ s.p.d.} (\rightarrow \text{Def. 3.2.8})$$

Resonanzfrequenzen $= \omega \in \{\omega \in \mathbb{R}: \mathbf{A}(\omega) \text{ singulär}\}$.

Wie können diese ω numerisch berechnet werden (\rightarrow quadratisches Eigenwertproblem).

3.3.1 Theorie und Kondition

Definition 3.3.1 (Eigenwerte und Eigenvektoren).

- $\lambda \in \mathbb{C}$ **Eigenwert** (engl. eigenvalue) von $\mathbf{A} \in \mathbb{K}^{n,n}$: $\Leftrightarrow \det(\lambda\mathbf{I} - \mathbf{A}) = 0$ **Charakteristisches Polynom** $\chi(\lambda)$
- **Spektrum** von $\mathbf{A} \in \mathbb{K}^{n,n}$: $\sigma(\mathbf{A}) := \{\lambda \in \mathbb{C}: \lambda \text{ Eigenwert von } \mathbf{A}\}$
- **Eigenraum** (engl. eigenspace) zum Eigenwert $\lambda \in \sigma(\mathbf{A})$: $\text{Eig}_{\mathbf{A}}(\lambda) := \text{Ker}(\lambda\mathbf{I} - \mathbf{A})$
- $\mathbf{x} \in \text{Eig}_{\mathbf{A}}(\lambda) \Rightarrow \mathbf{x}$ ist **Eigenvektor**
- Geometrische **Vielfachheit** (engl. multiplicity) eines Eigenwerts $\lambda \in \sigma(\mathbf{A})$: $m(\lambda) := \dim \text{Eig}_{\mathbf{A}}(\lambda)$

Lemma 3.3.2. Das Spektrum einer Matrix ist invariant unter **Ähnlichkeitstransformationen**:

$$\forall \mathbf{A} \in \mathbb{K}^{n,n}: \sigma(\mathbf{S}^{-1}\mathbf{A}\mathbf{S}) = \sigma(\mathbf{A}) \quad \forall \text{ regulären } \mathbf{S} \in \mathbb{K}^{n,n}.$$

SCHURLEMMA

Theorem 3.3.3 (Schursches Lemma).

$$\forall \mathbf{A} \in \mathbb{K}^{n,n}: \exists \mathbf{U} \in \mathbb{C}^{n,n} \text{ unitär. } \mathbf{U}^H \mathbf{A} \mathbf{U} = \mathbf{T} \text{ mit } \mathbf{T} \in \mathbb{C}^{n,n} \text{ obere Dreiecksmatrix.}$$

Korollar 3.3.4 (Unitäre Diagonalisierbarkeit normaler Matrizen).

$$\mathbf{A} \in \mathbb{K}^{n,n}, \mathbf{A}\mathbf{A}^H = \mathbf{A}^H\mathbf{A}: \exists \mathbf{U} \in \mathbb{C}^{n,n} \text{ unitär. } \mathbf{U}^H \mathbf{A} \mathbf{U} = \text{diag}(\lambda_1, \dots, \lambda_n), \quad \lambda_i \in \mathbb{C}.$$

Beachte: – $\lambda_1, \dots, \lambda_n$ = Eigenwerte von \mathbf{A}

– Spalten von \mathbf{U} = Orthonormalbasis aus Eigenvektoren von \mathbf{A}

Matrizen $\mathbf{A} \in \mathbb{K}^{n,n}$ mit $\mathbf{A}\mathbf{A}^H = \mathbf{A}^H\mathbf{A}$ heissen **NORMALMAT**.

Normal sind z.B.

- **HERMMAT**: **HERM**atische Matrizen: $\mathbf{A}^H = \mathbf{A}$ $\Rightarrow \sigma(\mathbf{A}) \subset \mathbb{R}$
- **UNITMAT**: **UNIT**äre Matrizen: $\mathbf{A}^H = \mathbf{A}^{-1}$ $\Rightarrow |\sigma(\mathbf{A})| = 1$
- **SCHIEFERHERRMATT**: **SCHIEFERHERRMATT**ische Matrizen: $\mathbf{A} = -\mathbf{A}^H$ $\Rightarrow \sigma(\mathbf{A}) \subset i\mathbb{R}$

3.3
p. 213

Eigenwertprobleme:

- Gegeben $\mathbf{A} \in \mathbb{K}^{n,n}$ finde $\sigma(\mathbf{A})$.
- Gegeben $\mathbf{A} \in \mathbb{K}^{n,n}$ finde $\sigma(\mathbf{A})$ und alle Eigenvektoren.
- Gegeben $\mathbf{A} \in \mathbb{K}^{n,n}$ finde einige Eigenwerte und zugehörige Eigenvektoren.

Theorem 3.3.5 (Störungssatz für Eigenwerte). Zu $\mathbf{A} \in \mathbb{K}^{n,n}$ gebe es $\mathbf{S} \in \mathbb{C}^{n,n}$ regulär, so dass $\mathbf{S}^{-1}\mathbf{A}\mathbf{S} = \mathbf{D}$, \mathbf{D} diagonal. Dann

$$\forall \mathbf{E} \in \mathbb{K}^{n,n}, \lambda \in \sigma(\mathbf{A} + \mathbf{E}): \exists \lambda' \in \sigma(\mathbf{A}): |\lambda - \lambda'| \leq \text{cond}_2(\mathbf{S}) \|\mathbf{E}\|_2$$

Spalten von \mathbf{S} = Eigenvektoren von \mathbf{A}

► Falls Eigenvektoren „fast“ linear abhängig ($\Rightarrow \text{cond}_2(\mathbf{S})$ gross), kann Eigenwertproblem sehr schlecht konditioniert sein

► Falls \mathbf{A} normal \Rightarrow EWP gut (absolut) konditioniert

3.3
p. 214

3.3
p. 215

3.3
p. 216

Verfeinerte Analyse [19, Sect. 7.2.2], $\mathbf{A} \in \mathbb{K}^{n,n}$:

- $\lambda \in \mathbb{C}$ einfache Nullstelle von $\lambda \mapsto \det(\lambda\mathbf{I} - \mathbf{A})$ (einfacher Eigenwert)
- $\mathbf{x} \in \mathbb{C}^n$, $\|\mathbf{x}\|_2 = 1$ zugehöriger Eigenvektor (\rightarrow Def. 3.3.1), $\xrightarrow{\text{def:ew}}$
- $\mathbf{y} \in \mathbb{C}^n$, $\|\mathbf{y}\|_2 = 1$, Linkseigenvektor zu λ , d.h. $\mathbf{y}^H \mathbf{A} = \lambda \mathbf{y}^H \Leftrightarrow \mathbf{A}^H \mathbf{y} = \lambda \mathbf{y}$.
- absolute Konditionszahl von λ bzgl. Euklidischer Matrixnorm & Störungen von \mathbf{A} =

$$\kappa_{\text{abs}}(\lambda) := |\mathbf{y}^H \mathbf{x}|^{-1}. \quad (3.3.2)$$

Beispiel 98 (Störungsanfälligkeit von Eigenwerten).

$$\mathbf{A} = \begin{pmatrix} 1 & 2 & 3 \\ 0 & 4 & 5 \\ 0 & 0 & 4.001 \end{pmatrix} \quad \begin{array}{l} \text{E.v. von } \mathbf{A}: \left\{ \begin{pmatrix} 1.0000 \\ 0 \\ 0 \end{pmatrix}, \begin{pmatrix} 0.5547 \\ 0.8321 \\ 0.8321 \end{pmatrix}, \begin{pmatrix} 0.5547 \\ 0.0002 \\ 0 \end{pmatrix} \right\}, \\ \text{E.v. von } \mathbf{A}^T: \left\{ \begin{pmatrix} 0.8285 \\ -0.5523 \\ 0.0920 \end{pmatrix}, \begin{pmatrix} 0 \\ 0.0002 \\ -1.0000 \end{pmatrix}, \begin{pmatrix} 0 \\ 0 \\ 1.0000 \end{pmatrix} \right\} \end{array}$$

► $\kappa_{\text{abs}}(\lambda_1) = 1.2069722, \kappa_{\text{abs}}(\lambda_2) = 6009.25224, \kappa_{\text{abs}}(\lambda_3) = 6009.19059$

$$\mathbf{E} = \begin{pmatrix} 0 & 0 & 0 \\ 0 & 0 & 0 \\ 10^{-3} & 0 & 0 \end{pmatrix} \quad \sigma(\mathbf{A} + \mathbf{E}) = \{1.000111, 4.0581822, 3.9427066\}.$$

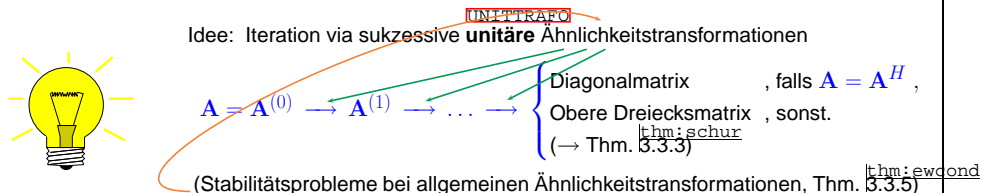
Bemerkung 99. Die (absolute) Kondition eines Eigenvektors einer diagonalisierbaren Matrix $\mathbf{A} \in \mathbb{K}^{n,n}$ mit n verschiedenen Eigenwerten ist schlecht, wenn

- die Kondition des zugehörigen Eigenwertes λ^* schlecht ist,
- oder wenn λ^* „schlecht separiert“ $\min\{|\lambda^* - \lambda|, \lambda \in \sigma(\mathbf{A}) \setminus \{\lambda^*\}\} \ll |\lambda^*|$.

3.3.2 Transformationsmethoden

TRANSFOMETH

Bemerkung 100. Alle Verfahren zur numerischen Berechnung von Eigenwerten/Eigenvektoren sind Iterationsverfahren $\xrightarrow{\text{sec:iterationsverfahren}} \rightarrow$ Abschn. 2.1



Thm:ewcond

Beispiel 101 (Unitäre Ähnlichkeitstransformation auf Tridiagonalgestalt).

$$\mathbf{A} = \begin{pmatrix} d_1 & b_1 & & & & \alpha \\ b_1 & d_2 & & & & \\ & & \ddots & & & \\ & & & \ddots & & \\ & & & & d_{n-1} & b_{n-1} \\ \alpha & & & & b_{n-1} & d_n \end{pmatrix}, \quad \mathbf{d} \in \mathbb{R}^n, \mathbf{b} \in \mathbb{R}^{n-1}, \alpha \in \mathbb{R}.$$

3.3
p. 217

3.3
p. 219

1. Schritt: Annulliere Matrixeinträge an Positionen $(n, 1)$ und $(1, n)$ durch Givens-Rotationen von rechts und links

▷ MATLAB-Animation

$$\mathbf{G}_{2,n} \mathbf{A} \mathbf{G}_{2,n}^T = \begin{pmatrix} * & * & & & & 0 \\ * & * & & & & * \\ & & \ddots & & & * \\ & & & \ddots & & * \\ & & & & * & * \\ 0 & * & * & & * & * \end{pmatrix} \rightarrow \begin{pmatrix} * & * & & & & 0 \\ * & * & & & & 0 \\ & & \ddots & & & * \\ & & & \ddots & & * \\ & & & & * & * \\ 0 & 0 & * & * & * & * \end{pmatrix} \rightarrow \dots$$

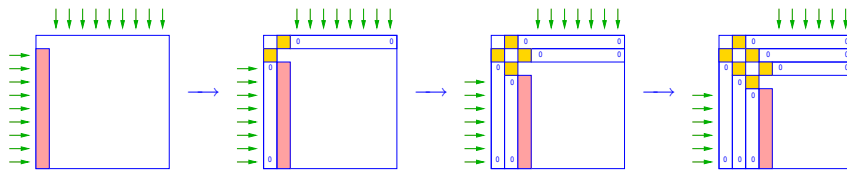
► Rechenaufwand, Speicheraufwand = $O(n^3)$! (da Dünnbesetzung zerstört)

3.3
p. 218

3.3
p. 220

Allgemeines Vorgehen: Sukzessive Householder-Ähnlichkeitstranstransformationen

($\rightarrow \hat{\cdot}$ betroffene Zeilen/Spalten, $\hat{\cdot}$ Zielvektor)



Endlich viele **unitäre** Householder/Givens- Ähnlichkeitstranstransformationen können jede Hermitesche Matrix auf Tridiagonalform bringen (Rechenaufwand $O(n^3)$)

→ Startwert $\mathbf{A}^{(0)}$ für iteratives Verfahren

MATLAB-Funktionen:

- Eigenwerte/normalisierte Eigenvektoren mit $[\mathbf{V}, \mathbf{D}] = \text{eig}(\mathbf{A})$;
- Schur-Zerlegung mit $[\mathbf{U}, \mathbf{T}] = \text{schur}(\mathbf{A})$;

RECHAUFWEITG

Rechenaufwand (elementare Operationen) für $\text{eig}()$ (Ergebnis auf Maschinengenauigkeit):

Eigenwerte und Eigenvektoren von $\mathbf{A} \in \mathbb{K}^{n,n}$ $\sim 25n^3 + O(n^2)$
Nur Eigenwerte von $\mathbf{A} \in \mathbb{K}^{n,n}$ $\sim 10n^3 + O(n^2)$

Eigenwerte und Eigenvektoren von $\mathbf{A} = \mathbf{A}^H \in \mathbb{K}^{n,n}$ $\sim 9n^3 + O(n^2)$
Nur Eigenwerte von $\mathbf{A} = \mathbf{A}^H \in \mathbb{K}^{n,n}$ $\sim \frac{4}{3}n^3 + O(n^2)$

Nur Eigenwerte von tridiagonalem $\mathbf{A} = \mathbf{A}^H \in \mathbb{K}^{n,n}$ $\sim 30n^2 + O(n)$

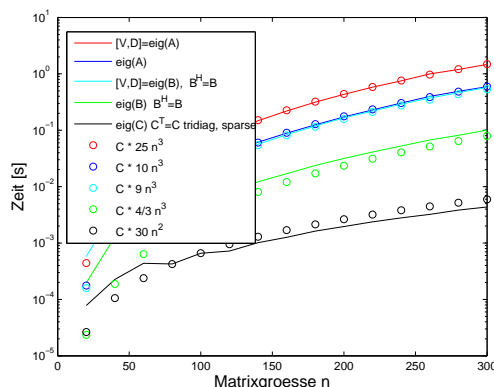
Beachte: Keine MATLAB-Implementierung von eig für dünnbesetzte Matrizen!

Ausnahme:

$\mathbf{d} = \text{eig}(\mathbf{A})$ für Hermitesche dünnbesetzte Matrizen

Beispiel 102. (Komplexität von MATLAB-Eigenlösern)

Experiment beschreiben und Verwe auf MATLAB-Code einfuegen. Legen denbeschriftung kürzen und Erklären im Text.



VERALLGEW

Verallgemeinertes Eigenwertproblem (VEWP) (engl. generalized eigenvalue problem):

Gegeben: $\mathbf{A}, \mathbf{B} \in \mathbb{K}^{n,n}$

Gesucht: Verallgemeinerte Eigenwerte $\lambda \in \mathbb{C}$: $\mathbf{Ax} = \lambda \mathbf{Bx}$
Verallgemeinerte Eigenvektoren $\mathbf{x} \in \mathbb{K}^n \setminus \{0\}$

MATLAB-Funktion:

- $\mathbf{d} = \text{eig}(\mathbf{A}, \mathbf{B})$; (\rightarrow nur Eigenwerte)
- $[\mathbf{V}, \mathbf{D}] = \text{eig}(\mathbf{A}, \mathbf{B})$; (\rightarrow Eigenwerte + -vektoren)

QZALGO

Insiderinformation: MATLAB benutzt QZ-Algorithmus [19, Sect. 7.7] (für vollbesetzte \mathbf{A}, \mathbf{B})

Falls \mathbf{B} regulär \Rightarrow VEW formal äquivalent zu EWP für $\mathbf{B}^{-1}\mathbf{A}$
(kein Rezept zur effizienten numerischen Implementierung !)

Bemerkung 103. Falls $\mathbf{B} = \mathbf{B}^H$ s.p.d. mit Cholesky-Zerlegung $\mathbf{B} = \mathbf{R}^H \mathbf{R}$

$$\mathbf{Ax} = \lambda \mathbf{Bx} \Leftrightarrow \tilde{\mathbf{A}}\mathbf{y} = \lambda \mathbf{y} \text{ mit } \tilde{\mathbf{A}} := \mathbf{R}^{-H} \mathbf{A} \mathbf{R}^{-1}, \mathbf{y} := \mathbf{Rx} .$$

3.3

p. 221 → Algorithmisch relevant, da billiger als QZ.

3.3

p. 223

Beispiel 104 (Quadratisches Eigenwertproblem). (Fortsetzung von Bsp. 97)

Finde $\mathbf{x} \neq 0, \omega \neq 0$, so dass

$$\mathbf{A}(\omega)\mathbf{x} = (\mathbf{W} + i\omega\mathbf{C} - i\omega^{-1}\mathbf{S})\mathbf{x} = 0 .$$

(3.3.3) eq.netwo

Substitution: $\mathbf{y} = -i\omega^{-1}\mathbf{x}$ [TM01, 44, Sect. 3.4]:

$$\begin{aligned} & \text{leg: netwo} \\ & \text{eq.netwo} \Leftrightarrow \begin{pmatrix} \mathbf{W} & \mathbf{S} \\ \mathbf{I} & 0 \end{pmatrix} \begin{pmatrix} \mathbf{x} \\ \mathbf{y} \end{pmatrix} = -i\omega \begin{pmatrix} \mathbf{C} & 0 \\ 0 & \mathbf{I} \end{pmatrix} \begin{pmatrix} \mathbf{x} \\ \mathbf{y} \end{pmatrix} \end{aligned}$$

➤ Verallgemeinertes Eigenwertproblem

Übung 3.4. (i) Welche Bedingung muss der Vektor $\mathbf{a} \in \mathbb{R}^{n-1}$ erfüllen, damit die Matrix

$$\mathbf{M} := \begin{pmatrix} 1 & \mathbf{a}^T \\ \mathbf{a} & \mathbf{I} \end{pmatrix} \in \mathbb{R}^{n,n}$$

positiv definit ist.

(ii) Schreibe eine effiziente MATLAB-Routine zur Berechnung der Eigenwerte für das verallgemeinerte Eigenwertproblem

$$\lambda \in \mathbb{R}, \mathbf{x} = (x_1, \dots, x_n)^T \in \mathbb{R}^n \setminus \{0\}: \mathbf{x}_1 \mathbf{e}_1 = \lambda \mathbf{M} \mathbf{x} ,$$

3.3 p. 222 wobei $\mathbf{e}_1 := (1, 0, \dots, 0)^T \in \mathbb{R}^n$.

3.4

p. 224

3.4.1 Potenzmethoden

POTMETH

Spezielle Eigenwertprobleme für $\mathbf{A} \in \mathbb{K}^{n,n}$:

- Finde den **betraggrößten** Eigenwert (+ Eigenvektor) von \mathbf{A} .
- Finde den **betragkleinsten** Eigenwert (+ Eigenvektor) von \mathbf{A} .
- Zu $\alpha \in \mathbb{C}$ finde $\lambda \in \sigma(\mathbf{A})$ mit $|\alpha - \lambda| = \min\{|\alpha - \mu|, \mu \in \sigma(\mathbf{A})\}$.



Idee für diagonalisierbares $\mathbf{A} \in \mathbb{K}^{n,n}$: $\mathbf{S}^{-1}\mathbf{A}\mathbf{S} = \text{diag}(\lambda_1, \dots, \lambda_n)$

$$\mathbf{z} = \sum_{j=1}^n \zeta_j \mathbf{s}_{\cdot j} \Rightarrow \mathbf{A}^k \mathbf{z} = \sum_{j=1}^n \zeta_j \lambda_j^k \mathbf{s}_{\cdot j}.$$

Falls $|\lambda_1| < |\lambda_2| < \dots < |\lambda_n|$, $\|\mathbf{s}_{\cdot j}\|_2 = 1, j = 1, \dots, n$, $\zeta_n \neq 0$

$$\blacktriangleright \frac{\mathbf{A}^k \mathbf{z}}{\|\mathbf{A}^k \mathbf{z}\|} \rightarrow \pm \mathbf{s}_{\cdot n} \text{ = Eigenvektor zu } \lambda_n \text{ für } k \rightarrow \infty. \quad (3.4.1)$$

\blacktriangleright Motiviert **direkte Potenzmethode** (engl. power method): Iterationsverfahren (\rightarrow Abschn. 2.1)

Startwert: $\mathbf{z}^{(0)}$ „beliebig“,

Iterationsvorschrift: $\mathbf{w} := \mathbf{A}\mathbf{z}^{(k-1)}$, $\mathbf{z}^{(k)} := \frac{\mathbf{w}}{\|\mathbf{w}\|_2}$, $k = 1, 2, \dots$.

Rechenaufwand: $1 \times \text{Matrix} \times \text{Vektor}$ pro Schritt \Rightarrow Billig für dünnbesetzte Matrizen

Wie bekommt man den Eigenwert ?

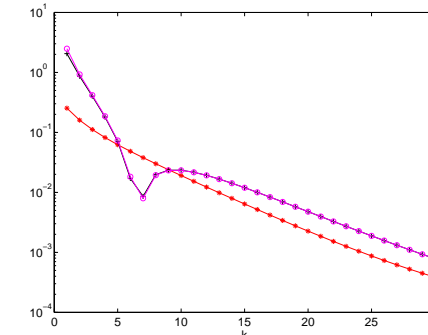
① Asymptotisch aus (3.4.1) $\Rightarrow \mathbf{A}\mathbf{z}^{(k)} \approx \lambda_n \mathbf{z}^{(k)} \Rightarrow |\lambda_n| \approx \frac{\|\mathbf{A}\mathbf{z}^{(k)}\|}{\|\mathbf{z}^{(k)}\|}$

② Idee (für $\mathbf{A} = \mathbf{A}^H$): $\lambda_n \approx \underset{\theta \in \mathbb{R}}{\operatorname{argmin}} \|\mathbf{A}\mathbf{z}^{(k)} - \theta \mathbf{z}^{(k)}\|_2^2 \Rightarrow \lambda_n \approx \frac{(\mathbf{z}^{(k)})^H \mathbf{A} \mathbf{z}^{(k)}}{\|\mathbf{z}^{(k)}\|^2}$.

Definition 3.4.1. Für $\mathbf{A} \in \mathbb{K}^{n,n}$, $\mathbf{u} \in \mathbb{K}^n$ ist der **Rayleigh-Quotient** gegeben durch

$$\rho_{\mathbf{A}}(\mathbf{u}) := \frac{\mathbf{u}^H \mathbf{A} \mathbf{u}}{\mathbf{u}^H \mathbf{u}}.$$

Beispiel 105 (Direkte Potenzmethode).



```
n = length(d);
S = triu(diag(n:-1:1,0)+...
ones(n,n));
A = S*diag(d,0)*inv(S);
```

\diamond

\circ Fehler $|\lambda_n - \rho_{\mathbf{A}}(\mathbf{z}^{(k)})|$
 $*$ Fehlernorm $\|\mathbf{z}^{(k)} - \mathbf{s}_{\cdot n}\|$
 $+$ $\left| \lambda_n - \frac{\|\mathbf{A}\mathbf{z}^{(k-1)}\|_2}{\|\mathbf{z}^{(k-1)}\|_2} \right|$
 $\mathbf{z}^{(0)}$ = Zufallsvektor

Experimente:

- ① $d = (1:10)'$ $\Rightarrow |\lambda_{n-1}| : |\lambda_n| = 0.9$
 ② $d = [ones(9,1); 2]'$ $\Rightarrow |\lambda_{n-1}| : |\lambda_n| = 0.5$
 ③ $d = 1-2.^{(-(1:0.5:5)'')}$ $\Rightarrow |\lambda_{n-1}| : |\lambda_n| = 0.9866$

3.4
p. 225

k	①		②		③	
	$\rho_{\text{EV}}^{(k)}$	$\rho_{\text{EW}}^{(k)}$	$\rho_{\text{EV}}^{(k)}$	$\rho_{\text{EW}}^{(k)}$	$\rho_{\text{EV}}^{(k)}$	$\rho_{\text{EW}}^{(k)}$
22	0.9102	0.9007	0.5000	0.5000	0.9900	0.9781
23	0.9092	0.9004	0.5000	0.5000	0.9900	0.9791
24	0.9083	0.9001	0.5000	0.5000	0.9901	0.9800
25	0.9075	0.9000	0.5000	0.5000	0.9901	0.9809
26	0.9068	0.8998	0.5000	0.5000	0.9901	0.9817
27	0.9061	0.8997	0.5000	0.5000	0.9901	0.9825
28	0.9055	0.8997	0.5000	0.5000	0.9901	0.9832
29	0.9049	0.8996	0.5000	0.5000	0.9901	0.9839
30	0.9045	0.8996	0.5000	0.5000	0.9901	0.9844

Vermutung:

Lineare Konvergenz (\rightarrow Def. 2.1.6)

Theorem 3.4.2 (Konvergenz der direkten Potenzmethode). $\mathbf{A} \in \mathbb{K}^{n,n}$ habe einen betraggrößten Eigenwert $\lambda_n > 0$ mit algebraischer Vielfachheit 1. Seien \mathbf{v}, \mathbf{y} Rechts- bzw. Linkseigenvektoren von \mathbf{A} zu λ_n mit $\|\mathbf{y}\|_2 = \|\mathbf{v}\|_2 = 1$. Dann konvergieren

$$\left\| \mathbf{A} \mathbf{z}^{(k)} \right\|_2 \rightarrow \lambda_n, \quad \mathbf{z}^{(k)} \rightarrow \pm \mathbf{v} \text{ linear mit Rate } \frac{|\lambda_{n-1}|}{|\lambda_n|},$$

wobei $\mathbf{z}^{(k)}$ die Iterierten der direkten Potenzmethode sind und $\mathbf{y}^H \mathbf{z}^{(0)} \neq 0$ vorausgesetzt wird.

3.4
p. 226

3.4
p. 227

Bemerkung 106. Rundungsfehler $\rightarrow \mathbf{y}^H \mathbf{z}^{(0)} \neq 0$ „numerisch“ immer erfüllt

ABBRUCHKRITIKPOTZT
Bemerkung 107. Abbruchkriterium für Potenziteration ? (\rightarrow Abschn. 2.1) sec:iterationsverfahren

„Relative Änderung“ $\leq \text{tol}$:
$$\begin{cases} \|\mathbf{z}^{(k)} - \mathbf{z}^{(k-1)}\| \leq \text{tol}, \\ \left| \frac{\|\mathbf{A}\mathbf{z}^{(k)}\|}{\|\mathbf{z}^{(k)}\|} - \frac{\|\mathbf{A}\mathbf{z}^{(k-1)}\|}{\|\mathbf{z}^{(k-1)}\|} \right| \leq (1/L - 1)\text{tol} \end{cases} \quad \text{vgl. (2.1.2).}$$

Geschätzte Konvergenzrate

Wie findet man den **betragsskleinsten** Eigenwert (+ Eigenvektor) von \mathbf{A} ?



Falls $\mathbf{A} \in \mathbb{K}^{n,n}$ regulär:

$$\text{Betragsskleinster EW von } \mathbf{A} = \left(\text{Betraggrößter EW von } \mathbf{A}^{-1} \right)^{-1}$$

Direkte Potenzmethode für \mathbf{A}^{-1} INVIT **Inverse Iteration**

Verallgemeinerung auf „Zu $\alpha \in \mathbb{C}$ finde $\lambda \in \sigma(\mathbf{A})$ mit $|\alpha - \lambda| = \min\{|\alpha - \mu|, \mu \in \sigma(\mathbf{A})\}$ “:

Inverse Iteration mit Shift:

$$\mathbf{z}^{(0)} \text{ beliebig}, \quad \mathbf{w} = (\mathbf{A} - \alpha \mathbf{I})^{-1} \mathbf{z}^{(k-1)}, \quad \mathbf{z}^{(k)} := \frac{\mathbf{w}}{\|\mathbf{w}\|_2}, \quad k = 1, 2, \dots. \quad (3.4.2)$$

Dabei: $(\mathbf{A} - \alpha \mathbf{I})^{-1} \mathbf{z}^{(k-1)} \hat{=} \text{Löse } (\mathbf{A} - \alpha \mathbf{I})\mathbf{w} = \mathbf{z}^{(k-1)}$ basierend auf Gaußelimination:
einmalige LU-Zerlegung von $\mathbf{A} - \alpha \mathbf{I}$!

Und was passiert, wenn „versehentlich“ $\alpha \in \sigma(\mathbf{A})$ ($\rightarrow \mathbf{A} - \alpha \mathbf{I}$ singulär) ?

„Magie der Gaußelimination“:

Die Gauß-Elimination mit Spaltenpivotsuche (bzw. LU-Zerlegung/Cholesky-Zerlegung + Vorwärtssubstitution + Rücksubstitution) angewandt auf das LGS $\mathbf{Ax} = \mathbf{b}$ berechnet (fast immer → Bsp. 7/5) ein \mathbf{x} für das das **Residuum** $\mathbf{r} := \mathbf{b} - \mathbf{Ax}$ „klein“ ist: $\|\mathbf{r}\| \approx \text{eps}$!

Sei $\mathbf{A} = \mathbf{A}^H \in \mathbb{K}^{n,n}$ mit $\mathbf{S}^H \mathbf{A} \mathbf{S} = \text{diag}(\lambda_1, \dots, \lambda_n)$, \mathbf{S} unitär, $0 < |\lambda_1| \ll |\lambda_j|, j = 2, \dots, n$

Eigenvektorentwicklung $\mathbf{b} = \sum_{j=1}^n \beta_j \mathbf{s}_{\cdot j}, \quad \tilde{\mathbf{x}} = \sum_{j=1}^n \xi_j \mathbf{s}_{\cdot j} \quad \rightarrow \quad \mathbf{r} := \mathbf{b} - \mathbf{A} \tilde{\mathbf{x}} = \sum_{j=1}^n (\beta_j - \lambda_j \xi_j) \mathbf{s}_{\cdot j}$

$$\|\mathbf{r}\|_2 \text{ „klein“} \rightarrow \begin{cases} \xi_j \approx \frac{\beta_j}{\lambda_j}, & j = 2, \dots, n, \\ \xi_1 \text{ „gross“.} \end{cases}$$

\rightarrow Für $\mathbf{A} = \mathbf{A}^H \in \mathbb{K}^{n,n}$: Rundungsfehler bei der Gauss-Elimination können nur grosse Fehler in Richtung des Eigenvektors zum betragskleinsten Eigenwert zur Folge haben.

Bemerkung 108. Falls tatsächlich einmal Pivotelement = 0 \rightarrow ersetze es durch eps !

Thm. 3.4.2 \rightarrow Für inverse Iteration (mit Shift):

Asymptotisch lineare Konvergenz, Rayleigh-Quotient $\rightarrow \lambda_j$ mit Rate

$$\frac{|\lambda_j - \alpha|}{\min\{|\lambda_i - \alpha|, i \neq j\}} \quad \text{mit} \quad \lambda_j \in \sigma(\mathbf{A}), \quad |\alpha - \lambda_j| \leq |\alpha - \lambda| \quad \forall \lambda \in \sigma(\mathbf{A}).$$

\rightarrow Sehr schnell für $\alpha \approx \lambda_j$!



Idee:

A posteriori Anpassung des Shifts
Benutze $\alpha := \rho_{\mathbf{A}}(\mathbf{z}^{(k-1)})$ im k . Schritt

3.4
p. 229

RAYLEIGHQUOTITT
ewp:invit Rayleigh-
Quotienten-
Iteration
(für normale $\mathbf{A} \in \mathbb{K}^{n,n}$)

erhält Dünnbesetzung,
sec:matr-spese siehe Abschnitt 3.1.2
MATLAB-CODE: Rayleigh-Quotienten-Iteration

```
function [z,lmin] = rqui(A,tol,maxit)
alpha = 0; n = size(A,1);
z = rand(size(A,1),1); z = z/norm(z);
for i=1:maxit
    z = (A-alpha*speye(n))\z;
    z = z/norm(z); lmin=dot(A*z,z);
    if (abs(alpha-lmin) < tol), break; end;
    alpha = lmin;
end
```

(3.4.3) raui

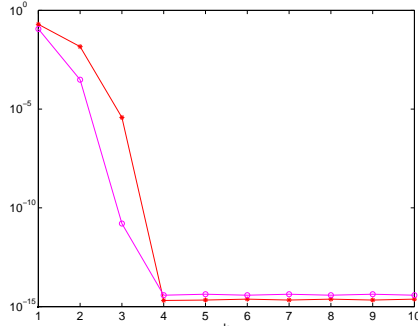
Nachteil: Kein Recycling von LU-Zerlegungen möglich (im Vergleich zu (3.4.2))

Beispiel 109 (Rayleigh-Quotienten-Iteration).

3.4
p. 230

3.4
p. 231

3.4
p. 232



```
d = (1:10)';
n = length(d);
Z = diag(sqrt(1:n), 0)+ones(n,n);
[Q,R] = qr(Z);
A = Q*diag(d,0)*Q';

o: |λ_min - ρ_A(z^(k))|
*: ||z^(k) - x_{:,j}||, λ_min = λ_j
```

k	$ \lambda_{\min} - \rho_A(z^{(k)}) $	$\ z^{(k)} - x_{:,j}\ $
1	0.09381702342056	0.20748822490698
2	0.00029035607981	0.01530829569530
3	0.00000000001783	0.00000411928759
4	0.00000000000000	0.00000000000000
5	0.00000000000000	0.00000000000000

Theorem 3.4.3. Für $A = A^H$ konvergiert $\rho_A(z^{(k)})$ für die Iterierten $z^{(k)}$ aus der Rayleigh-Quotienten-Iteration (3.4.3) lokal kubisch gegen den betragskleinsten Eigenwert.

Was tun, wenn man mehrere Eigenwerte $\lambda_{n-k}, \lambda_{n-k+1}, \dots, \lambda_n, k \ll n$, und zugehörige Eigenvektoren von $A \in \mathbb{K}^{n,n}$ benötigt?

DIREKTOPITUR

Direkte Potenziteration im Unterraum (für Hermitesche Matrizen $A \in \mathbb{K}^{n,n}$)

```
MATLAB-CODE: Potenzmethode im Unterraum
function [V, ev] = spowit(A, k, m)
n = size(A,1); V = rand(n,m); d = zeros(k,1);
for i=1:maxit
    V=A*V;
    [Q,R] = qr(V,0);
    T=Q'*A*Q;
    [S,D] = eig(T); [l,perm] = sort(-abs(diag(D)));
    V = Q*S(:,perm);
    if (norm(d+l(1:k)) < tol), break; end;
    d = -l(1:k);
end
V = V(:,1:k); ev = diag(D(perm(1:k),perm(1:k)));
```

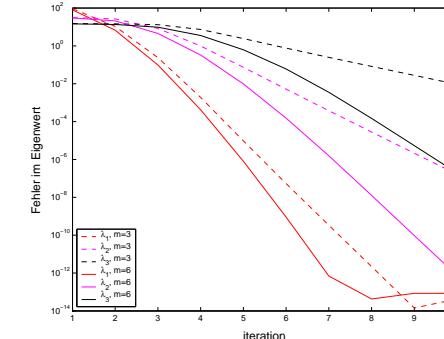
RITZPROJ

Ritz-Projektion

Verallgemeinerung der Normierung auf $\|z\|_2 = 1$

→ Analog: Unterraumvarianten der inversen Iteration/Rayleigh-Quotienten-Iteration

Beispiel 110 (Direkte Potenziteration im Unterraum).



S.p.d. Testmatrix: $a_{ij} := \min\{\frac{i}{j}, \frac{j}{i}\}$
 $n=200$; $A = \text{gallery('lehmer', } n)$;
„Anfangsmatrix“:
 $V = \text{eye}(n, m)$;

- Beobachtung:
Lineare Konvergenz der Eigenwerte
- Wahl $m > k$ beschleunigt Konvergenz der Eigenwerte

3.4.2 Vorkonditionierte inverse Iteration

VORKONDINVIT

3.4

p. 233

Aufgabe: Für symmetrisch positiv definites $A \in \mathbb{K}^{n,n}$ (\rightarrow Def. 3.2.8) finde betragskleinsten Eigenwert (+ zugehörigen Eigenvektor).

► Optionen: Inverse Iteration, Rayleigh-Quotienten-Iteration (3.4.3)

Problem: Trotz sparse-Eliminationstechniken (\rightarrow 3.2.6): Direkte LU-Zerlegung (\rightarrow Abschn. 3.2.3) oft unmöglich für $n \gg 1$.

Beachte: Inverse Iteration \Rightarrow Näherungslösung des LGS in (3.4.2) ausreichend!



Idee: (für) Inverse Iteration ohne Shift

Statt Lösung von $Aw = z^{(k-1)}$: $w = B^{-1}z^{(k-1)}$ mit “billiger” s.p.d. approximativer Inversen $B^{-1} \approx A^{-1}$



Kann man in der inversen Iteration A^{-1} einfach durch B^{-1} ersetzen?

NEIN, denn kleinster Eigenwert von B interessiert nicht!



3.4
p. 234

Ersetzung $A^{-1} \rightarrow B^{-1}$ nur möglich bei Anwendung auf ein Residuum
RESIDUUM
Residuum = Größe, die $\rightarrow 0$, wenn Konvergenz gegen gesuchte Lösung

3.4

p. 235

Kandidat: Residuum für Eigenwertproblem $\mathbf{Ax} = \lambda \mathbf{x}$:

$$\mathbf{r} := \mathbf{Ax} - \rho_{\mathbf{A}}(\mathbf{z})\mathbf{z}, \quad \rho_{\mathbf{A}}(\mathbf{z}) = \text{Rayleigh-Quotient} \rightarrow \text{Def. 3.4.1.}^{\text{Def:rq}}$$

Beachte: Nur Richtung von $\mathbf{A}^{-1}\mathbf{z}$ relevant in inverser Iteration (3.4.2)^{lwp:invitshift}

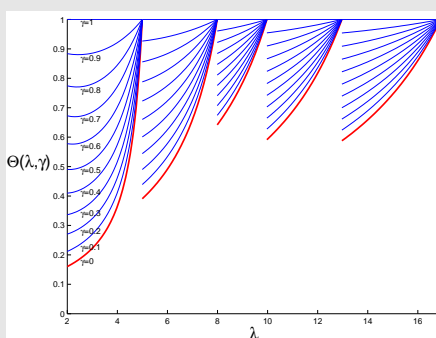
$$(\mathbf{A}^{-1}\mathbf{z}) \parallel (\mathbf{z} - \mathbf{A}^{-1}(\mathbf{Az} - \rho_{\mathbf{A}}(\mathbf{z})\mathbf{z})) \Rightarrow \text{definiert gleiche nächste Iterierte!}$$

[Vorkonditionierte inverse Iteration für s.p.d. \mathbf{A}]

$$\begin{aligned} \mathbf{z}^{(0)} \text{ beliebig, } \mathbf{w} &= \mathbf{z}^{(k-1)} - \mathbf{B}^{-1}(\mathbf{Az}^{(k-1)} - \rho_{\mathbf{A}}(\mathbf{z}^{(k-1)})\mathbf{z}^{(k-1)}), \\ \mathbf{z}^{(k)} &= \frac{\mathbf{w}}{\|\mathbf{w}\|_2}, \quad k = 1, 2, \dots. \end{aligned} \quad (3.4.5)$$

Theorie:

- Lineare Konvergenz von (3.4.5)^{leg:pcinvit}
- Konvergenzgeschwindigkeit gross, wenn $\lambda_{\max}(\mathbf{B}^{-1}\mathbf{A}) : \lambda_{\min}(\mathbf{B}^{-1}\mathbf{A})$ klein



Beispiel: (\mathbf{A} aus Bsp. 112)^{ex:gspoison}
`gallery('poisson', 100)` (skaliert)
 $\lambda := \rho_{\mathbf{A}}(\mathbf{z}^{(k-1)})$
 $\lambda^* = \max\{\mu \in \sigma(\mathbf{A}), \mu \leq \lambda\}$
Plot zeigt theoretische Schranke [34, 33] für^{NEY99C, NEY99}

$$\Theta(\lambda, \rho) = \frac{|\rho_{\mathbf{A}}(\mathbf{z}^{(k)}) - \lambda^*|}{|\lambda - \lambda^*|},$$

$$\rho := \left\| \mathbf{I} - \mathbf{B}^{-1}\mathbf{A} \right\|_A. \quad (3.4.6)$$

Notation: Die von einer s.p.d. Matrix $\mathbf{A} \in \mathbb{K}^{n,n}$ induzierte Energienorm ist

$$\|\mathbf{x}\|_A := (\mathbf{x}^H \mathbf{A} \mathbf{x})^{1/2}, \quad \mathbf{x} \in \mathbb{K}^n.$$

Beachte: Matrix-Energienorm: $\|\mathbf{M}\|_A := \sup_{\mathbf{x} \in \mathbb{K}^n \setminus \{0\}} \frac{\|\mathbf{Mx}\|_A}{\|\mathbf{x}\|_A} = \left\| \mathbf{A}^{1/2} \mathbf{M} \mathbf{A}^{-1/2} \right\|_2$

Aus Lemma 3.4.6 folgt:^{lem:pc}

$$0 < \gamma < 1: \quad \gamma (\mathbf{x}^H \mathbf{B} \mathbf{x}) \leq \mathbf{x}^H \mathbf{A} \mathbf{x} \leq (\mathbf{x}^H \mathbf{B} \mathbf{x}) \quad \forall \mathbf{x} \in \mathbb{K}^n \Rightarrow \left\| \mathbf{I} - \mathbf{B}^{-1}\mathbf{A} \right\|_A \leq 1 - \gamma.$$

VORKOND

Konzept 3.4.4 (Vorkonditionierer). Eine s.p.d. Matrix $\mathbf{B} \in \mathbb{K}^{n,n}$ heisst **Vorkonditionierer** (engl. preconditioner) für die s.p.d. Matrix $\mathbf{A} \in \mathbb{K}^{n,n}$, falls

$$1. \exists 0 < \gamma < \Gamma \text{ „klein“: } \gamma (\mathbf{x}^H \mathbf{B} \mathbf{x}) \leq \mathbf{x}^H \mathbf{A} \mathbf{x} \leq \Gamma (\mathbf{x}^H \mathbf{B} \mathbf{x}) \quad \forall \mathbf{x} \in \mathbb{K}^n \text{ und}$$

2. die Auswertung von $\mathbf{B}^{-1}\mathbf{x}$ erfordert ungefähr den gleichen Rechenaufwand wie die Matrix-Vektor-Multiplikation \mathbf{Ax} , $\mathbf{x} \in \mathbb{K}^n$.

Ein Vorkonditionierer liefert eine „billige“ approximative Inverse von \mathbf{A}

SPEKCOND

Definition 3.4.5 (Spektrale Kondition). **Spektrale Kondition** für reguläres $\mathbf{A} \in \mathbb{K}^{n,n}$

$$\kappa(\mathbf{A}) = \frac{\max\{|\sigma(\mathbf{A})|\}}{\min\{|\sigma(\mathbf{A})|\}}.$$

Lemma 3.4.6. Für s.p.d. $\mathbf{A}, \mathbf{B} \in \mathbb{K}^{n,n}$

$$0 < \gamma < \Gamma: \quad \gamma (\mathbf{x}^H \mathbf{B} \mathbf{x}) \leq \mathbf{x}^H \mathbf{A} \mathbf{x} \leq \Gamma (\mathbf{x}^H \mathbf{B} \mathbf{x}) \quad \forall \mathbf{x} \in \mathbb{K}^n \Rightarrow \kappa(\mathbf{B}^{-1}\mathbf{A}) \leq \frac{\Gamma}{\gamma}.$$

3.4

p. 237 Beispiele für Vorkonditionierer (**Black-Box-Methoden**):

- Diagonalvorkonditionier (Jacobi-Vorkonditionierer):

$$\mathbf{B} = \text{diag}(a_{11}, \dots, a_{nn})$$

SYMGSVORK

- Symmetrischer Gauss-Seidel-Vorkonditionierer Idee: Approximativer Lösen von $\mathbf{Ax} = \mathbf{b}$ in zwei Stufen

① Approximiere $\mathbf{A}^{-1} \approx \text{tril}(\mathbf{A})$ (unterer Dreiecksanteil): $\tilde{\mathbf{x}} = \text{tril}(\mathbf{A})^{-1} \mathbf{b}$

② Approximiere $\mathbf{A}^{-1} \approx \text{triu}(\mathbf{A})$ (oberer Dreiecksanteil) und „löse“ damit die Fehlergleichung $\mathbf{A}(\mathbf{x} - \tilde{\mathbf{x}}) = \mathbf{r}$, mit Residuum $\mathbf{r} := \mathbf{b} - \mathbf{A}\tilde{\mathbf{x}}$:

$$\mathbf{x} = \tilde{\mathbf{x}} + \text{triu}(\mathbf{A})^{-1}(\mathbf{b} - \mathbf{A}\tilde{\mathbf{x}}).$$

Mit $\mathbf{L}_A := \text{tril}(\mathbf{A})$, $\mathbf{U}_A := \text{triu}(\mathbf{A})$ findet man

$$\mathbf{x} = (\mathbf{L}_A^{-1} + \mathbf{U}_A^{-1} - \mathbf{U}_A^{-1} \mathbf{A} \mathbf{L}_A^{-1}) \mathbf{b} \quad \Rightarrow \quad \mathbf{B} = \mathbf{L}_A^{-1} + \mathbf{U}_A^{-1} - \mathbf{U}_A^{-1} \mathbf{A} \mathbf{L}_A^{-1}.$$

Beispiel 111 (Jacobi-Vorkonditionierung).

3.4

p. 238

3.4

p. 239

3.4

p. 240

Matrix mit „schwerer“ Diagonalen

$$\mathbf{A} = \mathbf{A}^T \in \mathbb{R}^{n,n}: \exists \delta \in]0, 1[: \delta a_{ii} \geq \sum_{j \neq i} |a_{ij}|. \quad (3.4.7)$$

► $\sigma(\mathbf{A}) \subset [(1 - \delta) \min_i \{a_{ii}\}, (1 + \delta) \max_i \{a_{ii}\}]$.

irin Lemma 3.4.7 (Gershgorin-Kreise). Für $\mathbf{A} \in \mathbb{K}^{n,n}$ gilt

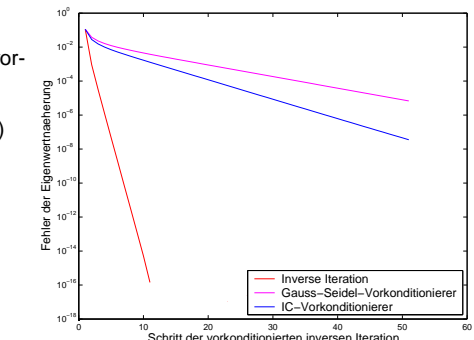
$$\sigma(\mathbf{A}) \subset \bigcup_{j=1}^n \{z \in \mathbb{C} : |z - a_{jj}|\} \leq \sum_{i \neq j} |a_{ji}|\}.$$

Für \mathbf{A} aus (3.4.7) (Jacobi-Vorkonditionierer = „Equilibrierung“)

$$\kappa(\text{diag}(a_{11}, \dots, a_{nn})^{-1} \mathbf{A}) \subset [1 - \delta, 1 + \delta].$$

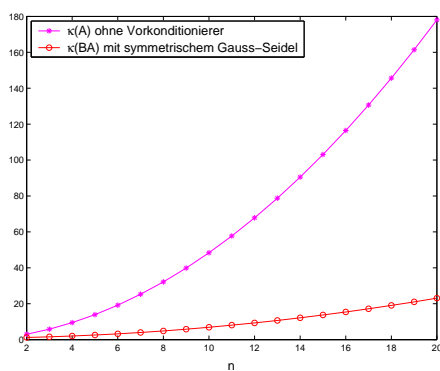
Jade1

Beispiel 113 (Konvergenz der vorkonditionierten inversen Iteration).



◇

Beispiel 112 (Gauss-Seidel-Vorkonditionierung).



$$\mathbf{A} = \begin{pmatrix} \mathbf{T} & -\mathbf{I} & 0 & \cdots & \cdots & 0 \\ -\mathbf{I} & \mathbf{T} & -\mathbf{I} & & & \vdots \\ 0 & \cdots & \cdots & \ddots & & \\ \vdots & & & -\mathbf{I} & \mathbf{T} & -\mathbf{I} \\ 0 & \cdots & \cdots & 0 & -\mathbf{I} & \mathbf{T} \\ 4 & -1 & 0 & \cdots & \cdots & 0 \\ -1 & 4 & -1 & \cdots & & \vdots \\ 0 & \cdots & \cdots & -1 & 4 & -1 \\ \vdots & & & 0 & -1 & 4 \end{pmatrix} \in \mathbb{R}^{n^2, n^2},$$

$$\mathbf{T} = \begin{pmatrix} 4 & -1 & 0 & \cdots & \cdots & 0 \\ -1 & 4 & -1 & \cdots & & \vdots \\ 0 & \cdots & \cdots & -1 & 4 & -1 \\ \vdots & & & 0 & -1 & 4 \end{pmatrix} \in \mathbb{R}^{n, n}.$$

◇

UNVOLLSTCHOL

- Unvollständige Cholesky-Zerlegung (engl. *incomplete Cholesky decomposition*)

„Cholesky-Zerlegung“ mit Unterdrückung von Fill-In (→ B.2.14, Abschn. B.2.6)

MATLAB-Funktion: `R=cholinc(A, '0');` (nur sinnvoll für dünnbesetzte Matrizen !)

3.4 Gegeben: (Große, diagonalisierbare) Matrix $\mathbf{A} \in \mathbb{K}^{n,n}$: $\mathbf{S}^{-1} \mathbf{A} \mathbf{S} = \text{diag}(\lambda_1, \dots, \lambda_n)$
p. 241 (Eigenwerte sortiert: $|\lambda_1| \leq |\lambda_2| \leq \dots \leq |\lambda_n|$)

Eigenwertproblem: Finde $\lambda_1, \dots, \lambda_l$ (und Eigenvektoren $\mathbf{s}_{\cdot,1}, \dots, \mathbf{s}_{\cdot,l}$) bzw.
Finde $\lambda_{n-l+1}, \dots, \lambda_n$ (und $\mathbf{s}_{\cdot,n-l+1}, \dots, \mathbf{s}_{\cdot,n}$), l ≪ n

► Option: Potenzmethoden (direkt, invers), Abschnitte 3.4.1, 3.4.2

RITZ Idee der Ritz-Projektion, vgl. (3.4.4).

- $\mathbf{s}_{\cdot,m} \in V_l := \text{Im}(\mathbf{V}) \subset \mathbb{K}^n$, $1 \leq m \leq n$, $\mathbf{V} \in \mathbb{K}^{n,l}$, $\Rightarrow \lambda_m \in \sigma(\mathbf{V}^H \mathbf{A} \mathbf{V})$
 $1 \leq l \leq n$, $\{\mathbf{v}_{\cdot,1}, \dots, \mathbf{v}_{\cdot,l}\}$ Orthonormalbasis von V_l
- Falls V_l „signifikante Komponenten in Richtung von $\mathbf{s}_{\cdot,m}$ “ $\Rightarrow \exists \mu \in \sigma(\mathbf{V}^H \mathbf{A} \mathbf{V})$, $\mu \approx \lambda_m$ enthält

Aus Stabilitätsgründen!

Wie bekommt man Unterraum mit „signifikanten Komponenten in Richtung von $\mathbf{s}_{\cdot,n-l+1}, \dots, \mathbf{s}_{\cdot,n}$ “ ?

Tipp: Unterraumversion der direkten Potenzmethode (3.4.4)

$$V_l^{(0)} \text{ beliebig}, \quad V_l^{(k)} := \mathbf{A} V_l^{(k-1)}, \quad k = 1, 2, \dots.$$

3.4

p. 242 Wie bekommt man Unterraum mit „signifikanten Komponenten in Richtung von $\mathbf{s}_{\cdot,1}, \dots, \mathbf{s}_{\cdot,l}$ “ ?

3.4
p. 243

3.4

p. 244

Tipp:

$$\sigma(\|A\|_2 I - A) = \|A\|_2 - \sigma(A)$$

(A s.p.d.: Betragkleinste Eigenwerte von A = betragsgrößte Eigenwerte von $\|A\|_2 I - A$)

Definition 3.4.8. Für $A \in \mathbb{K}^{n,n}$, $z \in \mathbb{K}^n$, $z \neq 0$, ist der l. Krylov-Unterraum

$$\mathcal{K}_l(A, z) := \text{Span} \left\{ z, Az, \dots, A^{l-1}z \right\}.$$

Äquivalent:

$$\mathcal{K}_l(A, z) = \{p(A)z : p \text{ Polynom vom Grad } \leq l\}$$

Sukzessive Konstruktion einer Orthonormalbasis (ONB) von $\mathcal{K}_l(A, z)$: ARNOLDI

Induktives Vorgehen: $\{v_1, \dots, v_m\}$ ONB von $\mathcal{K}_m(A, z)$ $\forall 1 \leq m \leq l$

► $Av_l \in \mathcal{K}_{l+1}(A, z)$ (warum ?)

$$\blacktriangleright \tilde{v}_{l+1} := Av_l - \sum_{j=1}^l (v_j^H Av_l) v_j, \quad v_{l+1} := \frac{\tilde{v}_{l+1}}{\|\tilde{v}_{l+1}\|_2} \Rightarrow v_{l+1} \perp \mathcal{K}_l(A, z). \quad (3.4.8)$$

(vgl. Gram-Schmidt-Orthonormalisierung → lineare Algebra)

orthogonal

$$V_l = [v_1, \dots, v_l] : AV_l = V_{l+1} \tilde{H}_l, \quad \tilde{H}_l \in \mathbb{K}^{l+1, l} \text{ mit } \tilde{h}_{ij} = \begin{cases} v_i^H Av_j & , \text{ falls } i \leq j, \\ \|\tilde{v}_j\|_2 & , \text{ falls } i = j + 1, \\ 0 & , \text{ sonst.} \end{cases}$$

► \tilde{H}_l = obere Hessenbergmatrizen

Stabile Implementierung des Arnoldi-Prozesses:

Modifizierter Gram-Schmidt

Im l. Schritt:

1 × A × Vektor

l + 1 Skalarprodukte

l SAXPYs

n Divisionen

➢ Rechenaufwand für l Schritte, wenn A maximal k Einträge ≠ 0 pro Zeile: $O(nkl^2)$
 $H_{l+1,1} = 0 \rightarrow$ Abbruch !

MATLAB-CODE: Arnoldi-Prozess

```
function [V,Ht] = arnoldi(A,k,v0)
V = [v0/norm(v0)];
Ht = zeros(k+1,k);
for l=1:k
    vt = A*V(:,l);
    for j=1:l
        Ht(j,l) = dot(V(:,j),vt);
        vt = vt - Ht(j,l)*V(:,j);
    end
    Ht(l+1,l) = norm(vt);
    V = [V, vt/Ht(l+1,l)];
end
```

(3.4.9) arnoldi

3.4

p. 245

ARNOLDI Lemma 3.4.9. Für die Matrizen $V_l \in \mathbb{K}^{n,l}$, $\tilde{H}_l \in \mathbb{K}^{l+1,l}$ aus dem l. Schritt, $l \leq n$, des Arnoldi-Verfahrens gilt

- (i) $V_l^H V_l = I$,
- (ii) $AV_l = V_{l+1} \tilde{H}_l$, \tilde{H}_l obere Hessenbergmatrix,
- (iii) $V_l^H AV_l = H_l \in \mathbb{K}^{l,l}$, $h_{ij} = \tilde{h}_{ij}$ für $1 \leq i, j \leq l$,
- (iv) Falls $A = A^H \Rightarrow H_l$ tridiagonal.

Abbruch des Arnoldi-Prozesses (3.4.9)

im l. Schritt ➤ Span {v₁, ..., v_l} invariante Teilraum von A.

(Praxis: rechne in diesem Fall mit „beliebigem“ vt weiter)

Beachte:

(iii) ⇔ H_l ist Ritz-Projektion von A auf $\mathcal{K}_l(A, z)$.

Arnoldi-Prozess zur Eigenwertapproximation:

3.4

p. 246

Im l. Schritt: $\lambda_n \approx \mu_l^{(l)}$, $\lambda_{n-1} \approx \mu_{l-1}^{(l)}, \dots, \lambda_1 \approx \mu_1^{(l)}$,
 $\sigma(H_l) = \{\mu_1^{(l)}, \dots, \mu_l^{(l)}\}$, $|\mu_1^{(l)}| \leq |\mu_2^{(l)}| \leq \dots \leq |\mu_l^{(l)}|$.

3.4

p. 247

MATLAB-CODE Arnoldi-Verfahren

```

function [dn,V,Ht] = arnoldidev(A,v0,k,tol)
n = size(A,1); V = [v0/norm(v0)];
H = zeros(1,0); dn = zeros(k,1);
for l=1:n
    d = dn;
    Ht = [Ht, zeros(1,1); zeros(1,1)];
    vt = A*V(:,l);
    for j=1:l
        Ht(j,l) = dot(V(:,j),vt);
        vt = vt - Ht(j,l)*V(:,j);
    end
    ev = sort(eig(Ht(1:l,1:l)));
    dn(1:min(l,k)) = ev(end:-1:end-min(l,k)+1);
    if (norm(d-dn) < tol*norm(dn)), break; end;
    Ht(l+1,l) = norm(vt);
    V = [V, vt/Ht(l+1,l)];
end

```

Arnoldi-Verfahren
zur Berechnung der k , $k \leq n$
betraggrößten Eigenwerte von
 $A \in \mathbb{K}^{n,n}$

Pro Schritt nur eine
Multiplikation mit Matrix A !
(Effizient für dünnbesetzte
Matrizen)

Monoton wachsender Speicherauf-
wand!

Beispiel 114 (Arnoldi-Verfahren zur Eigenwertberechnung).

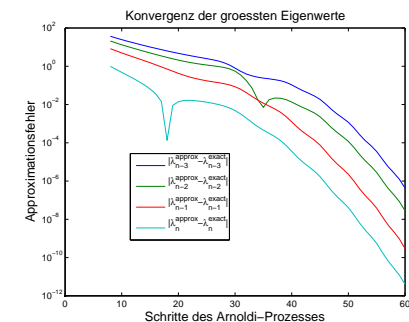
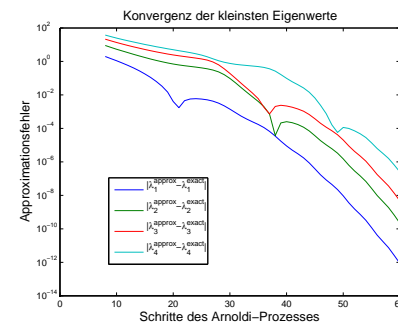
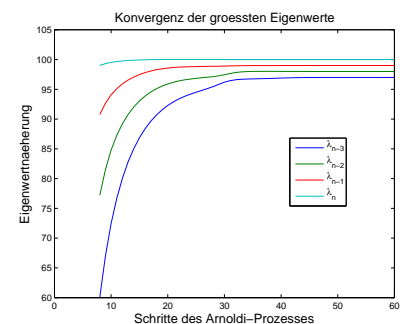
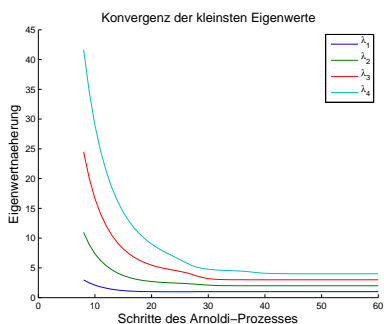
```

n=100;
M=gallery('tridiag',-0.5*ones(n-1,1),2*ones(n,1),-1.5*ones(n-1,1));
[Q,R]=qr(M);
v=ones(n,1); v(2:2:end)=2*v(2:2:end);
S=diag(v)*Q; A=S*diag(1:n)*inv(S);

```

Startvektor: ones(100,1):

$$\sigma(A) = \{1, 2, 3, 4, \dots, 97, 98, 99, 100\}$$



Im Fall $A = A^H \in \mathbb{K}^{n,n}$ $\Rightarrow H_l = H_l^H$ \Rightarrow kurze Rekursionen: Lanczos-Prozess

3.4
p. 249

Lemma 3.4.9 \Rightarrow Schritt, $1 \leq l \leq n$ des Lanczos-Prozesses erzeugt $V_l \in \mathbb{K}^{n,l}$ mit orthonormalisierten Spalten, so dass

$$V_l^H A V_l = \begin{pmatrix} \alpha_1 & \beta_1 & & \\ \beta_1 & \alpha_2 & \beta_2 & \\ & \beta_2 & \alpha_3 & \ddots \\ & & \ddots & \ddots \\ & & & \ddots & \ddots \\ & & & & \ddots & \beta_{k-1} \\ & & & & & \beta_{k-1} & \alpha_k \end{pmatrix} =: T_l \in \mathbb{K}^{k,k} \quad [\text{Tridiagonalmatrix}]$$

3.4
p. 250

3.4
p. 251

Lanczos-Prozess

Rechenaufwand pro Schritt:

1 × A×Vektor

2 Skalarprodukte

2 SAXPYs

1 Division

➤ Rechenaufwand für l Schritte, wenn

A maximal k Einträge $\neq 0$ pro Zeile:

$O(nkl)$

$\text{beta}(l+1) = 0 \rightarrow$ Abbruch!

Speicherbedarf: 2 Vektoren Länge n ,

wenn V nicht berechnet wird.

```
MATLAB-CODE Lanczos-Prozess
function [V,alpha,beta] = lanczos(A,k,w)
V = [w/norm(w)];
alpha = zeros(k,1);
beta = zeros(k,1);
for l=1:k
    vt = A*V(:,l);
    if (l>1)
        vt = vt - beta(l)*V(:,l-1);
    end
    alpha(l) = dot(V(:,l),vt);
    vt = vt - alpha(l)*V(:,l);
    beta(l+1) = norm(vt);
    V = [V, vt/beta(l+1)];
end
beta = beta(2:end-1);
```

Lanczos-Prozess zur Eigenwertapproximation: (Theorie [12, Abschn. 8.5])

$$\text{Im } l. \text{ Schritt: } \lambda_n \approx \mu_l^{(l)}, \lambda_{n-1} \approx \mu_{l-1}^{(l)}, \dots, \lambda_1 \approx \mu_1^{(l)}, \\ \sigma(\mathbf{T}_l) = \{\mu_1^{(l)}, \dots, \mu_l^{(l)}\}, |\mu_1^{(l)}| \leq |\mu_2^{(l)}| \leq \dots \leq |\mu_l^{(l)}|.$$

Beispiel 115 (Rundungsfehlereinfluss beim Lanczos-Prozess).

$$\mathbf{A} \in \mathbb{R}^{10,10}, a_{ij} = \min\{i,j\}.$$

$$\mathbf{A} = \text{gallery('minij', 10);}$$

Berechnet durch [V, alpha, beta] = lanczos(A, n, ones(n, 1));

$$\mathbf{T} = \begin{pmatrix} 38.50000 & 14.813845 & & & & & & & & & \\ 14.813845 & 9.642857 & 2.062955 & & & & & & & & \\ & 2.062955 & 2.720770 & 0.776284 & & & & & & & \\ & & 0.776284 & 1.336364 & 0.385013 & & & & & & \\ & & & 0.385013 & 0.826316 & 0.215431 & & & & & \\ & & & & 0.215431 & 0.582380 & 0.126781 & & & & \\ & & & & & 0.126781 & 0.446860 & 0.074650 & & & \\ & & & & & & 0.074650 & 0.363803 & 0.043121 & & \\ & & & & & & & 0.043121 & 3.820888 & 11.991094 & & \\ & & & & & & & & 11.991094 & 41.254286 & & \end{pmatrix}$$

$$\sigma(\mathbf{A}) = \{0.255680, 0.273787, 0.307979, 0.366209, 0.465233, 0.643104, 1.000000, 1.873023, 5.048917, 44.766069\}$$

$$\sigma(\mathbf{T}) = \{0.263867, 0.303001, 0.365376, 0.465199, 0.643104, 1.000000, 1.873023, 5.048917, 44.765976, 44.766069\}$$

► Mysteriöser Cluster von Eigenwerten von \mathbf{T} („ghost eigenvalues“ [19, Sect. 9.2.5])

$$\mathbf{V}^H \mathbf{V} = \begin{pmatrix} 1.000000 & 0.000000 & 0.000000 & 0.000000 & 0.000000 & 0.000000 & 0.000000 & 0.000251 & 0.258801 & 0.883711 \\ 0.000000 & 1.000000 & -0.000000 & 0.000000 & 0.000000 & 0.000000 & 0.000000 & 0.000106 & 0.109470 & 0.373799 \\ 0.000000 & -0.000000 & 1.000000 & 0.000000 & 0.000000 & 0.000000 & 0.000000 & 0.000005 & 0.005373 & 0.018347 \\ 0.000000 & 0.000000 & 0.000000 & 1.000000 & -0.000000 & 0.000000 & 0.000000 & 0.000096 & 0.0000328 & 0.000003 \\ 0.000000 & 0.000000 & 0.000000 & -0.000000 & 1.000000 & 0.000000 & 0.000000 & 0.000000 & 0.000001 & 0.000003 \\ 0.000000 & 0.000000 & 0.000000 & 0.000000 & 0.000000 & 1.000000 & -0.000000 & 0.000000 & 0.000000 & 0.000000 \\ 0.000000 & 0.000000 & 0.000000 & 0.000000 & -0.000000 & 1.000000 & -0.000000 & 0.000000 & 0.000000 & 0.000000 \\ 0.000000 & 0.000000 & 0.000000 & 0.000000 & 0.000000 & -0.000000 & 1.000000 & -0.000000 & 0.000000 & 0.000000 \\ 0.000251 & 0.000106 & 0.000005 & 0.000000 & 0.000000 & 0.000000 & -0.000000 & 1.000000 & -0.000000 & 0.000000 \\ 0.258801 & 0.109470 & 0.005373 & 0.000096 & 0.000001 & 0.000000 & 0.000000 & -0.000000 & 1.000000 & 0.000000 \\ 0.883711 & 0.373799 & 0.018347 & 0.000328 & 0.000003 & 0.000000 & 0.000000 & 0.000000 & 0.000000 & 1.000000 \end{pmatrix}$$

► Orthogonalitätsverlust der Basisvektoren durch Rundungsfehlereinfluss
(Lemma 3.4.9 nur von „theoretischem Wert“)

3.4

p. 253

l	$\sigma(\mathbf{T}_l)$									
1	38.500000									
2	3.392123 44.750734									
3	1.117692 4.979881 44.766064									
4	0.597664 1.778008 5.048259 44.766069									
5	0.415715 0.925441 1.870175 5.048916 44.766069									
6	0.336507 0.588906 0.995299 1.872997 5.048917 44.766069									
7	0.297303 0.431779 0.638542 0.999922 1.873023 5.048917 44.766069									
8	0.276160 0.349724 0.462449 0.643016 1.000000 1.873023 5.048917 44.766069									
9	0.276035 0.349451 0.462320 0.643006 1.000000 1.873023 3.821426 5.048917 44.766069									
10	0.263867 0.303001 0.365376 0.465199 0.643104 1.000000 1.873023 5.048917 44.765976 44.766069									

► Gute Approximation der betragsgrößten Eigenwerte für $l < n$

Analytisch äquivalent: Arnoldi-Prozess angewandt auf \mathbf{A} , versuchen wir es mal:

3.4

p. 254

3.4

p. 255

l	$\sigma(\mathbf{T}_l)$																
1	38.500000																
2		3.392123 44.750734															
3			1.117692 4.979881 44.766064														
4				0.597664 1.788008 5.048259 44.766069													
5					0.415715 0.925441 1.870175 5.048916 44.766069												
6						0.336507 0.588906 0.995299 1.872997 5.048917 44.766069											
7							0.297303 0.431779 0.638542 0.999922 1.873023 5.048917 44.766069										
8								0.276159 0.349722 0.462449 0.643016 1.000000 1.873023 5.048917 44.766069									
9									0.263872 0.303009 0.365379 0.465199 0.643104 1.000000 1.873023 5.048917 44.766069								
10										0.255680 0.273787 0.307979 0.366209 0.465233 0.643104 1.000000 1.873023 5.048917 44.766069							

► Perfekt !!

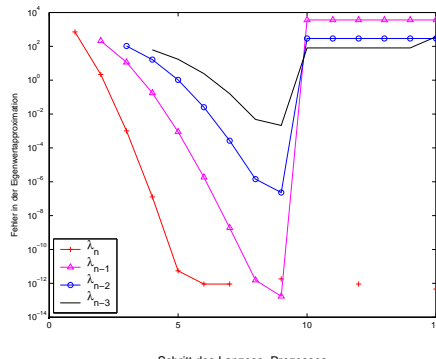
Beispiel 116 (Eigenwertberechnung mit Lanczos/Arnoldi-Prozess).

Lanczos-Verfahren:

```
A = gallery('minij',100);
Startvektor: ones(1,100)
```

►

Gute Konvergenz
bevor „ghost eigenvalues“ auftreten.



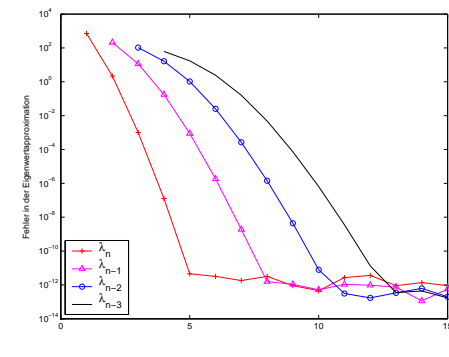
Arnoldi-Verfahren:

(Matrix/Startvektor wie oben)

$\lambda_l(\mathbf{T}_l), \lambda_{l-1}(\mathbf{T}_l), \dots$ ►

Lanczos-Prozess rundungsfehleranfällig

Arnoldi-Prozess wesentlich stabiler
(Keine „ghost eigenvalues“)



Krylov-Unterraum-Verfahren basierend auf Arnoldi-/Lanczos-Prozess sind die Methoden der Wahl zur Berechnung von wenigen Eigenwerten/Eigenvektoren für grosse dünnbesetzte Matrizen

Bemerkung 117. Erweiterung der Krylov-Unterraum-Verfahren auf verallgemeinertes Eigenwertproblem $\mathbf{Ax} = \lambda \mathbf{Bx}$, \mathbf{B} s.p.d., durch Ersetzung des Euklidischen Skalarprodukts mit „ \mathbf{B} -Skalarprodukt“ $(\mathbf{x}, \mathbf{y}) \mapsto \mathbf{x}^H \mathbf{By}$.

3.4

p. 257 MATLAB-Funktion:

```
d = eigs(A,k,sigma) : k grösste/kleinste Eigenwerte von A
d = eigs(A,B,k,sigma): k grösste/kleinste Eigenwerte für verallgemeinertes Eigenwertproblem  $\mathbf{Ax} = \lambda \mathbf{Bx}$ ,  $\mathbf{B}$  s.p.d.
d = eigs(Afun,n,k) : Afun = Funktionshandle für Anwendung von  $\mathbf{A}/\mathbf{A}^{-1}/\mathbf{A} - \alpha \mathbf{I}/(\mathbf{A} - \alpha \mathbf{B})^{-1}$  auf Vektor. Eigenschaften der durch Afun repräsentierten Matrix müssen durch Flaggen spezifiziert werden.
```

3.4

p. 259

3.4.4 Singulärwertzerlegungen

SINGULÄRWERTZERZ

= Diagonalisierung durch separate unitäre Basistransformationen in Bild- und Urbildbereich

■ Theorem 3.4.10. Zu jedem $\mathbf{A} \in \mathbb{K}^{m,n}$ gibt es unitäre Matrizen $\mathbf{U} \in \mathbb{K}^{m,m}$, $\mathbf{V} \in \mathbb{K}^{n,n}$ und eine Diagonalmatrix $\Sigma = \text{diag}(\sigma_1, \dots, \sigma_p) \in \mathbb{R}^{m,n}$, $p := \min\{m, n\}$, $\sigma_1 \geq \sigma_2 \geq \dots \geq \sigma_p \geq 0$ mit

$$\mathbf{A} = \mathbf{U} \Sigma \mathbf{V}^H$$

3.4

p. 258

3.4

p. 260

$$\begin{pmatrix} \mathbf{A} \end{pmatrix} = \begin{pmatrix} \mathbf{U} \end{pmatrix} \begin{pmatrix} \Sigma \end{pmatrix} \begin{pmatrix} \mathbf{V}^H \end{pmatrix}$$

$$\begin{pmatrix} \mathbf{A} \end{pmatrix} = \begin{pmatrix} \mathbf{U} \end{pmatrix} \begin{pmatrix} \Sigma \end{pmatrix} \begin{pmatrix} \mathbf{V}^H \end{pmatrix}$$

Definition 3.4.11. Die Zerlegung $\mathbf{A} = \mathbf{U}\Sigma\mathbf{V}^H$ aus Satz 3.4.10 heißt **Singulärwertzerlegung (SVD) mit Singulärwerten σ_i** .

Singulärwertzerlegung = Zerlegung in Rang-1-Komponenten:

$$\mathbf{A} = \mathbf{U}\Sigma\mathbf{V}^H = \sum_{j=1}^p \sigma_j \mathbf{u}_{:,j} \mathbf{v}_{:,j}^H. \quad (3.4.10)$$

Lemma 3.4.12. Die Quadrate σ_i^2 der nichtverschwindenden Singulärwerte von \mathbf{A} sind Eigenwerte von $\mathbf{A}^H\mathbf{A}$, $\mathbf{A}\mathbf{A}^H$ und $\begin{pmatrix} 0 & \mathbf{A}^H \\ \mathbf{A} & 0 \end{pmatrix}$ zu den Eigenvektoren $\mathbf{v}_{:,1}, \dots, \mathbf{v}_{:,p}, \mathbf{u}_{:,1}, \dots, \mathbf{u}_{:,p}$, bzw. $(\mathbf{u}_{:,1}), \dots, (\mathbf{v}_{:,p})$.

Thm. 3.3.5 $\Rightarrow |\sigma_k(\mathbf{A}) - \sigma_k(\mathbf{A} + \mathbf{E})| \leq \|\mathbf{E}\|_2$

Das Problem der Berechnung der Singulärwerte ist immer hervorragend konditioniert

Singulärwerte von \mathbf{A} sind eindeutig bestimmt

MATLAB-Funktionen:

$s = \text{svd}(\mathbf{A})$: Berechnet Singulärwerte der Matrix \mathbf{A}
 $[\mathbf{U}, \Sigma, \mathbf{V}] = \text{svd}(\mathbf{A})$: Berechnet Singulärwertzerlegung gemäß Thm. 3.4.10
 $[\mathbf{U}, \Sigma, \mathbf{V}] = \text{svd}(\mathbf{A}, 0)$: Sparsame Singulärwertzerlegung für $m > n$: $\mathbf{U} \in \mathbb{K}^{m,n}$, $\Sigma \in \mathbb{R}^{n,n}$, $\mathbf{V} \in \mathbb{K}^{n,n}$
 $s = \text{svds}(\mathbf{A}, k)$: k grösste Singulärwerte (sinnvoll für dünnbesetztes \mathbf{A})
 $[\mathbf{U}, \Sigma, \mathbf{V}] = \text{svds}(\mathbf{A}, k)$: Partielle Singulärwertzerlegung: $\mathbf{U} \in \mathbb{K}^{m,k}$, $\mathbf{V} \in \mathbb{K}^{n,k}$, $\Sigma \in \mathbb{R}^{k,k}$ diagonal, enthält k grösste Singulärwerte von \mathbf{A} .

Sparsame Singulärwertzerlegung:

$$\begin{pmatrix} \mathbf{A} \end{pmatrix} = \begin{pmatrix} \mathbf{U} \end{pmatrix} \begin{pmatrix} \Sigma \end{pmatrix} \begin{pmatrix} \mathbf{V}^H \end{pmatrix}$$

3.4
p. 261

SVD-Algorithmus ist in jedem Fall numerisch stabil

RECHENAUFWANDSV

Rechenaufwand:

$$2mn^2 + 2n^3 + O(n^2) + O(mn) \quad \text{für } s = \text{svd}(\mathbf{A}), \\ 4m^2n + 22n^3 + O(mn) + O(n^2) \quad \text{für } [\mathbf{U}, \Sigma, \mathbf{V}] = \text{svd}(\mathbf{A}), \\ O(mn^2) + O(n^3) \quad \text{für } [\mathbf{U}, \Sigma, \mathbf{V}] = \text{svd}(\mathbf{A}, 0), m \gg n.$$

- Anwendung: Numerische Rangbestimmung

Lemma 3.4.13 (SVD und Rang einer Matrix). Erfüllen die Singulärwerte von \mathbf{A}

$$\sigma_1 \geq \dots \geq \sigma_r > \sigma_{r+1} = \dots = \sigma_p = 0,$$

$$\text{rank}(\mathbf{A}) = r,$$

$$\text{Ker}(\mathbf{A}) = \text{Span} \{ \mathbf{v}_{:,r+1}, \dots, \mathbf{v}_{:,n} \},$$

$$\text{Im}(\mathbf{A}) = \text{Span} \{ \mathbf{u}_{:,1}, \dots, \mathbf{u}_{:,r} \}.$$

3.4
p. 262

3.4
p. 263

Graphische Darstellung:

$$\begin{pmatrix} A \end{pmatrix} = \begin{pmatrix} U \end{pmatrix} \begin{pmatrix} \Sigma \end{pmatrix} \begin{pmatrix} V^H \end{pmatrix}$$

Spalten = ONB von $\text{Im}(A)$
Zeilen = ONB von $\text{Ker}(A)$

Anmerkung: MATLAB-Funktion $\text{rank}(A)$ benutzt SVD zur Rangberechnung.

- Berechnung von Matrixnormen

Lemma 3.4.14 (SVD und Euklidische Matrixnorm).

$$\forall A \in \mathbb{K}^{m,n}: \|A\|_2 = \sigma_1(A), \quad \forall A \in \mathbb{K}^{n,n} \text{ regulär: } \text{cond}_2(A) = \sigma_1/\sigma_n.$$

Anmerkung: MATLAB-Funktion $\text{norm}(A)$ und $\text{cond}(A)$ benutzen SVD.

- Anwendung: Bestapproximation durch Niedrigrangmatrizen (engl. low rank approximation)

FROBNORM

Definition 3.4.15 (Frobeniusnorm). Die Frobeniusnorm von $A \in \mathbb{K}^{m,n}$ ist definiert durch

$$\|A\|_F^2 := \sum_{i=1}^m \sum_{j=1}^n |a_{ij}|^2.$$

Frobeniusnorm und SVD:

$$\|A\|_F^2 = \sum_{j=1}^p \sigma_j^2$$

Beachte: $\|A\|_F$ invariant bei unitären Transformationen.

Notation: $\mathcal{R}_k(m, n) := \{A \in \mathbb{K}^{m,n}: \text{rank}(A) \leq k\}, m, n, k \in \mathbb{N}$

Theorem 3.4.16 (Niedrigrang-Bestapproximation). Sei $A = U\Sigma V^H$ die SVD von $A \in \mathbb{K}^{m,n}$.

Setze für $1 \leq k \leq \text{rank}(A)$ $U_k := [u_{\cdot,1}, \dots, u_{\cdot,k}], V_k := [v_{\cdot,1}, \dots, v_{\cdot,k}], \Sigma_k := \text{diag}(\sigma_1, \dots, \sigma_k)$. Dann gilt für $\|\cdot\| = \|\cdot\|_F$ und $\|\cdot\| = \|\cdot\|_2$

$$\|A - U_k \Sigma_k V_k^H\| \leq \|A - F\| \quad \forall F \in \mathcal{R}_k(m, n).$$

Beispiel 118 (Hauptkomponentenanalyse).

$A \in \mathbb{R}^{m,n}, m \gg n$:

Zeilen von A → Messung mehrerer Größen
Spalten von A → Messgrößen

Ziel:

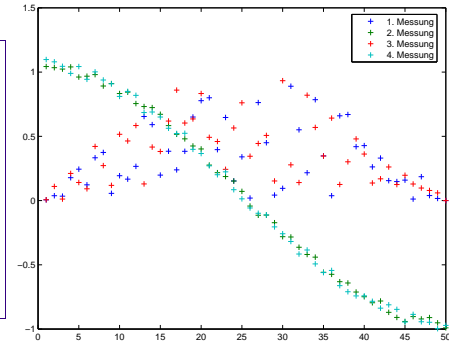
Identifikation linearer Korrelationen

Im Jahresverlauf werden zwei verschiedene Größen an 10 verschiedenen Orten gemessen:

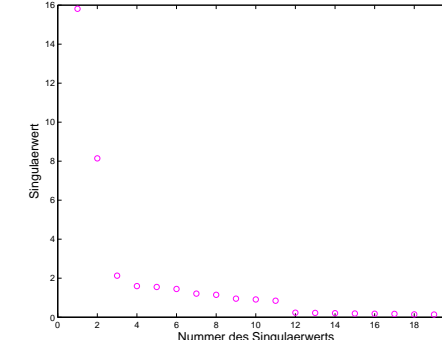
(Die Messungen sind fehlerbehaftet)

```
n = 10;
m = 50;
x = sin(pi*(1:m)'/m);
y = cos(pi*(1:m)'/m);
A = [];
for i = 1:n
    A = [A, x.*rand(m,1), ...
           y+0.1*rand(m,1)];
end
```

3.4
p. 265



3.4
p. 267



← Verteilung der Singulärwerte der Messmatrix

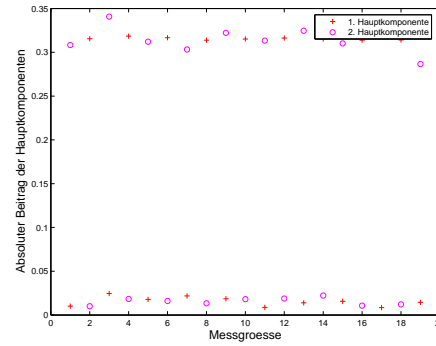
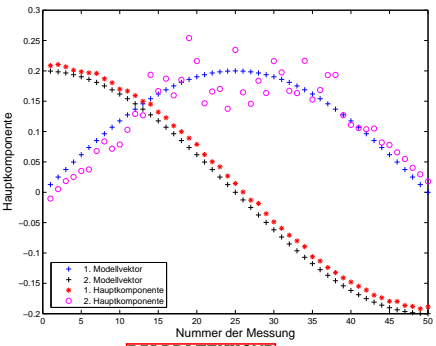
Zwei dominante Singulärwerte

Messungen linear korreliert mit zwei Hauptkomponenten.

Hauptkomponenten = $u_{\cdot,1}, u_{\cdot,2}$ (führende Spalten von U in SVD)
Beiträge = $v_{\cdot,1}, v_{\cdot,2}$ (führende Spalten von V in SVD)

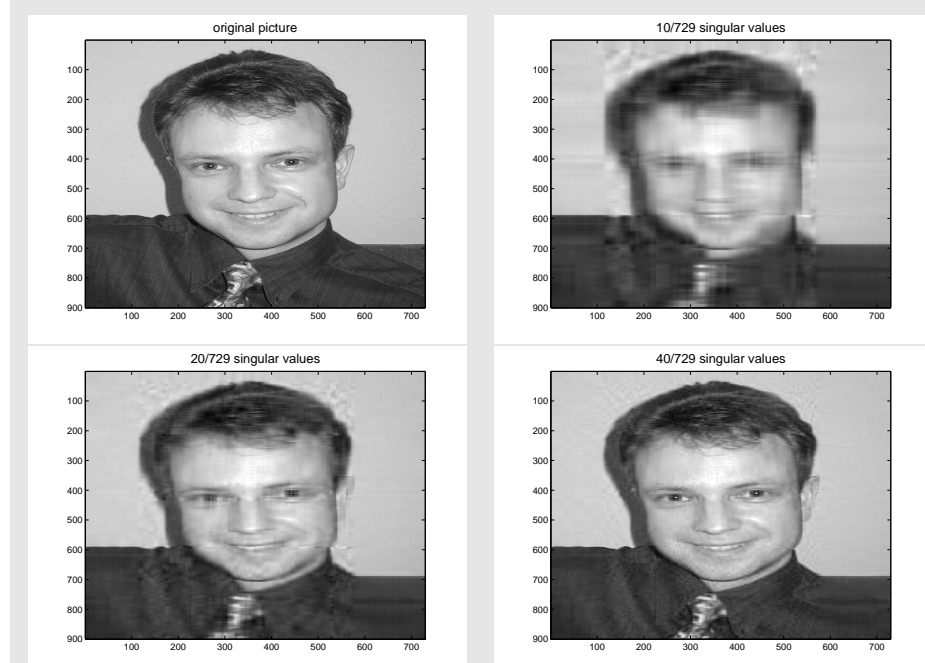
3.4
p. 266

3.4
p. 268



Beispiel 119 (Bilddatenkompression). $m \times n$ -Pixelbild (Graustufen, BMP-Format) \leftrightarrow Matrix $\mathbf{A} \in \mathbb{R}^{m,n}$, $a_{ij} \in \{0, \dots, 255\}$

► Niedrigrang-Bestapproximation des Bildes: $\tilde{\mathbf{A}} = \mathbf{U}_k \Sigma_k \mathbf{V}^T$, Thm. 3.4.16 ($\xrightarrow{\text{thm:rankapprox}}$ Animation)



```
[img_data] = imread(<file>.jpg');
img_data = double(img_data);
image(img_data);
[U,S,V] = svd(img_data(:,:,1));
s = diag(S);
k=20;
img_data_comp = U(:,1:k)*diag(s(1:k))*V(:,1:k)';
image(img_data_comp);
col = [0:1/215:1]*[1,1,1];
colormap(col);
```

Zugegeben: Es gibt bessere Verfahren (JPEG, Wavelets, etc.) als SVD.

3.4
p. 269

3.5 Numerik linearer Ausgleichsprobleme

[File: section-numerik-linearer-ausgleichsprobleme.tex, SVN: section-numerik-linearer-ausgleichsprobleme.tex 1199 2006-12-05 06:48:09Z hiptmar]

LQO

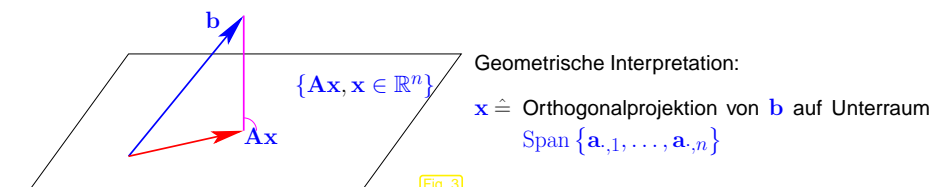
Lineares Ausgleichsproblem, „Methode der kleinsten Quadrate“ (engl. *linear least squares*):

Gegeben: $\mathbf{A} \in \mathbb{K}^{m,n}$, $m, n \in \mathbb{N}$, $\mathbf{b} \in \mathbb{K}^m$

Gesucht: $\mathbf{x} \in \mathbb{K}^n$ mit

$$(i) \|\mathbf{Ax} - \mathbf{b}\|_2 = \inf\{\|\mathbf{Ay} - \mathbf{b}\|_2 : \mathbf{y} \in \mathbb{K}^n\}, \quad (3.5.1) \quad \text{eq:LQO}$$

$$(ii) \|\mathbf{x}\|_2 \text{ minimal unter Bedingung (i)}$$



3.4
p. 270

□ **Lemma 3.5.1.** Existenz & Eindeutigkeit von Lösungen des Linearen Ausgleichsproblems

3.5
p. 271

PSEUDOINV

Definition 3.5.2 (Pseudoinverse). Die **Pseudoinverse** $\mathbf{A}^+ \in \mathbb{K}^{n,m}$ von $\mathbf{A} \in \mathbb{K}^{m,n}$ ist die Matrixdarstellung des (linearen) Lösungsopeators $\mathbb{R}^m \mapsto \mathbb{R}^n$, $\mathbf{b} \mapsto \mathbf{x}$ zum linearen Ausgleichsproblem (3.5.1) $\|\mathbf{Ax} - \mathbf{b}\| \rightarrow \min$, $\|\mathbf{x}\| \rightarrow \min$.

MATLAB:
 $\mathbf{x} = \mathbf{A} \setminus \mathbf{b}$ („backslash“) löst (3.5.1) für $\mathbf{A} \in \mathbb{K}^{m,n}$, $m \neq n$
 $\mathbf{P} = \text{pinv}(\mathbf{A})$ berechnet Pseudoinverse

Beispiel 120 (Lineares Fitten von Daten, lineare Regression). → Bsp. 59

Gegeben: „Messpunkte“ $(t_i, y_i) \in \mathbb{K}^2$, $i = 1, \dots, m$, $t_i \in I \subset \mathbb{K}$

Basisfunktionen $b_j : I \mapsto \mathbb{K}$, $j = 1, \dots, n$.

Gesucht: Koeffizienten $x_j \in \mathbb{K}$, $j = 1, \dots, n$, so dass

$$\sum_{i=1}^m |f(t_i) - y_i|^2 \rightarrow \min, \quad f(t) := \sum_{j=1}^n x_j b_j(t).$$

► Lineares Ausgleichsproblem mit $\mathbf{A} = (b_i(t_j))$, $1 \leq i \leq n$, $1 \leq j \leq m$.

Hier: $\|\mathbf{b} - \mathbf{Ax}\|_2$ misst Qualität des Fit-Modells.

Spezialfall: Polynomiales Fitten: $b_j(t) = t^{j-1}$

MATLAB-Funktion: $\mathbf{p} = \text{polyfit}(\mathbf{t}, \mathbf{y}, \mathbf{n})$; \mathbf{n} = Polynomgrad

Kondition des linearen Ausgleichsproblems:

VERALLGKOND

Definition 3.5.3 (Verallgemeinerte Kondition einer Matrix, → Def. 3.2.5). Seien $\sigma_1 \geq \sigma_2 \geq \dots \geq \sigma_r > \sigma_{r+1} = \dots = \sigma_p = 0$, $p := \min\{m, n\}$, die singulären Werte (→ Def. 3.4.11) von $\mathbf{A} \in \mathbb{K}^{m,n}$. Dann ist

$$\text{cond}_2(\mathbf{A}) := \frac{\sigma_1}{\sigma_r}$$

die **verallgemeinerte Kondition** (bzgl. der 2-Norm) von \mathbf{A} .

Theorem 3.5.4. Für $m \geq n$, $\mathbf{A} \in \mathbb{K}^{m,n}$, $\text{rank}(\mathbf{A}) = n$, löse $\mathbf{x} \in \mathbb{K}^n$ das lineare Ausgleichsproblem $\|\mathbf{Ax} - \mathbf{b}\| \rightarrow \min$ und $\tilde{\mathbf{x}}$ das lineare Ausgleichsproblem $\|(\mathbf{A} + \Delta\mathbf{A})\tilde{\mathbf{x}} - \mathbf{b}\| \rightarrow \min$. Dann gilt

$$\frac{\|\mathbf{x} - \tilde{\mathbf{x}}\|_2}{\|\mathbf{x}\|_2} \leq \left(2 \text{cond}_2(\mathbf{A}) + \text{cond}_2^2(\mathbf{A}) \frac{\|\mathbf{r}\|_2}{\|\mathbf{A}\|_2 \|\mathbf{x}\|_2} \right) \frac{\|\Delta\mathbf{A}\|_2}{\|\mathbf{A}\|_2},$$

mit **Residuum** $\mathbf{r} = \mathbf{Ax} - \mathbf{b}$.

Falls $\|\mathbf{r}\|_2 \ll 1$ > Kondition(Lineares Ausgleichsproblem) $\approx \text{cond}_2(\mathbf{A})$

Falls $\|\mathbf{r}\|_2$ „gross“ > Kondition(Lineares Ausgleichsproblem) $\approx \text{cond}_2^2(\mathbf{A})$

3.5.1 Orthogonaltransformationsmethode

Annahme: $\mathbf{A} \in \mathbb{K}^{m,n}$, $m \geq n$, hat vollen Rang: $\text{rank}(\mathbf{A}) = n$

3.5

p. 273

QR-Zerlegung (→ Abschnitt 3.2.7):

$\mathbf{A} = \mathbf{Q}\mathbf{R}$, $\mathbf{Q} \in \mathbb{K}^{m,m}$ unitär, $\mathbf{R} \in \mathbb{K}^{m,n}$ (reguläre) obere Dreiecksmatrix.

$$\|\mathbf{Ax} - \mathbf{b}\|_2 = \left\| \mathbf{Q}(\mathbf{Rx} - \mathbf{Q}^H \mathbf{b}) \right\|_2 = \left\| \mathbf{Rx} - \tilde{\mathbf{b}} \right\|_2, \quad \tilde{\mathbf{b}} := \mathbf{Q}^H \mathbf{b}.$$

$$\|\mathbf{Ax} - \mathbf{b}\|_2 \rightarrow \min \Leftrightarrow \left\| \begin{pmatrix} \mathbf{R} \\ \mathbf{0} \end{pmatrix} \begin{pmatrix} x_1 \\ \vdots \\ x_n \end{pmatrix} - \begin{pmatrix} \tilde{b}_1 \\ \vdots \\ \tilde{b}_m \end{pmatrix} \right\|_2 \rightarrow \min.$$

$$\mathbf{x} = \left(\begin{pmatrix} \mathbf{R} \\ \mathbf{0} \end{pmatrix}^{-1} \begin{pmatrix} \tilde{b}_1 \\ \vdots \\ \tilde{b}_n \end{pmatrix} \right)^{-1} \begin{pmatrix} \tilde{b}_1 \\ \vdots \\ \tilde{b}_m \end{pmatrix}, \quad \text{Residuum } \mathbf{r} = \mathbf{Q} \begin{pmatrix} 0 \\ \vdots \\ \tilde{b}_{n+1} \\ \vdots \\ \tilde{b}_m \end{pmatrix}.$$

3.5

p. 274

3.5

p. 275

3.5

p. 276

Beachte:

$$\|\mathbf{r}\|_2 = \sqrt{\tilde{b}_{n+1}^2 + \dots + \tilde{b}_m^2}$$

Implementierung: Sukzessive Orthogonaltransformation (von links) von \mathbf{A} ($\rightarrow \mathbf{R}$), \mathbf{b} ($\rightarrow \tilde{\mathbf{b}}$)

☞ QR-basierter Algorithmus implementiert im Least-Squares-Löser des MATLAB-Operators \ (für vollbesetzte Matrizen)

Ausgleichsrechnung und SVD (für allgemeines $\mathbf{A} \in \mathbb{K}^{m,n}$, $\text{rank}(\mathbf{A}) = r \leq \min\{m, n\}$):

$$\mathbf{A} = [\mathbf{U}_1 \quad \mathbf{U}_2] \begin{pmatrix} \Sigma_r & 0 \\ 0 & 0 \end{pmatrix} \begin{pmatrix} \mathbf{V}_1^H \\ \mathbf{V}_2^H \end{pmatrix}$$

$$\left(\begin{array}{c} \mathbf{A} \\ \vdots \\ \mathbf{A} \end{array} \right) = \left(\begin{array}{c|c} \mathbf{U}_1 & \mathbf{U}_2 \\ \hline \mathbf{U}_1 & \mathbf{U}_2 \end{array} \right) \left(\begin{array}{c|c} \Sigma_r & 0 \\ \hline 0 & 0 \end{array} \right) \left(\begin{array}{c} \mathbf{V}_1^H \\ \mathbf{V}_2^H \end{array} \right),$$

$\mathbf{U}_1 \in \mathbb{K}^{m,r}$, $\mathbf{U}_2 \in \mathbb{K}^{m,m-r}$, $\Sigma_r = \text{diag}(\sigma_1, \dots, \sigma_r) \in \mathbb{R}^{r,r}$, $\mathbf{V}_1 \in \mathbb{K}^{n,r}$, $\mathbf{V}_2 \in \mathbb{K}^{n,n-r}$, Spalten von $\mathbf{U}_1, \mathbf{U}_2, \mathbf{V}_1, \mathbf{V}_2$ orthonormiert.

$$\|\mathbf{Ax} - \mathbf{b}\|_2 = \left\| [\mathbf{U}_1 \quad \mathbf{U}_2] \begin{pmatrix} \Sigma_r & 0 \\ 0 & 0 \end{pmatrix} \begin{pmatrix} \mathbf{V}_1^H \\ \mathbf{V}_2^H \end{pmatrix} \mathbf{x} - \begin{pmatrix} \mathbf{b}_1 \\ \mathbf{b}_2 \end{pmatrix} \right\|_2 = \left\| \begin{pmatrix} \Sigma_r \mathbf{V}_1^H \mathbf{x} \\ 0 \end{pmatrix} - \begin{pmatrix} \mathbf{U}_1^H \mathbf{b}_1 \\ \mathbf{U}_2^H \mathbf{b}_2 \end{pmatrix} \right\|_2$$

$$\mathbf{x} = (\mathbf{V}_1 \Sigma_r^{-1} \mathbf{U}_1^H) \mathbf{b}_1.$$

Praxis:

NUMRANK

Numerischer Rang:

$$r = \max\{i : \sigma_i / \sigma_1 > \text{tol}\}$$

MATLAB-CODE Lösung eines linearen
Ausgleichsproblems mit SVD

```
function y = lsqsvd(A,b)
[U,S,V] = svd(A,0);
sv = diag(S);
r = max(find(sv./sv(1) > eps));
y = V(:,1:r)*(diag(1./sv(1:r))*...
(U(:,1:r)'*b));
```

☞ **Theorem 3.5.5.** Hat $\mathbf{A} \in \mathbb{K}^{m,n}$ die SVD (3.5.1), dann gilt $\mathbf{A}^+ = \mathbf{V}_1 \Sigma_r^{-1} \mathbf{U}_1^H$.

Anwendung der SVD: Minimierung auf der Einheitssphäre:

Gegeben: $\mathbf{A} \in \mathbb{K}^{m,n}$, $m > n$: Suche $\mathbf{x} \in \mathbb{K}^n$, $\|\mathbf{x}\|_2 = 1$: $\|\mathbf{Ax}\|_2 \rightarrow \min$. (3.5.2)

Mit SVD $\mathbf{A} = \mathbf{U}\Sigma\mathbf{V}^H$:

$$\begin{aligned} \min_{\|\mathbf{x}\|_2=1} \|\mathbf{Ax}\|_2^2 &= \min_{\|\mathbf{x}\|_2=1} \left\| \mathbf{U}\Sigma\mathbf{V}^H \mathbf{x} \right\|_2^2 = \min_{\|\mathbf{V}^H \mathbf{x}\|_2=1} \left\| \mathbf{U}\Sigma(\mathbf{V}^H \mathbf{x}) \right\|_2^2 \\ &= \min_{\|\mathbf{y}\|_2=1} \|\Sigma\mathbf{y}\|_2^2 = \min_{\|\mathbf{y}\|_2=1} (\sigma_1^2 y_1^2 + \dots + \sigma_n^2 y_n^2) \geq \sigma_n^2. \end{aligned}$$

Das Minimum wird für $\mathbf{y} = \mathbf{e}_n$ angenommen $\Rightarrow \mathbf{x} = \mathbf{V}\mathbf{e}_n = \mathbf{v}_{\cdot,n}$.

Minimaler Wert = σ_n

Beispiel 121 (Fitten von Hyperebenen).

Hessesche Normalform einer Hyperebene im \mathbb{R}^d : $g = \{\mathbf{x} \in \mathbb{R}^d : \mathbf{c} + \mathbf{n}^T \mathbf{x} = 0\}$, $\|\mathbf{n}\|_2 = 1$

► Euklidischer Abstand $\text{dist}(g, \mathbf{y}) = |\mathbf{c} + \mathbf{n}^T \mathbf{y}|$.

Ziel: Zu gegebenen Punkten $\mathbf{y}_1, \dots, \mathbf{y}_m$, $m > d$, finde $g \leftrightarrow \mathbf{c} \in \mathbb{R}$, $\mathbf{n} \in \mathbb{R}^d$, $\|\mathbf{n}\|_2 = 1$, so dass

$$\sum_{j=1}^m \text{dist}(g, \mathbf{y}_j)^2 \rightarrow \min.$$

3.5
p. 277

$$\|\mathbf{Ax}\|_2 \rightarrow \min \Leftrightarrow \left\| \begin{pmatrix} 1 & y_{1,1} & \dots & y_{1,n} \\ 1 & y_{2,1} & \dots & y_{2,n} \\ \vdots & \vdots & & \vdots \\ 1 & y_{m,1} & \dots & y_{m,n} \end{pmatrix} \begin{pmatrix} \mathbf{c} \\ n_1 \\ \vdots \\ n_d \end{pmatrix} \right\|_2 \rightarrow \min \quad \text{wobei } \|\mathbf{n}\|_2 = 1.$$

Mit QR-Zerlegung (\rightarrow Abschnitt 3.2.7)

$$\mathbf{A} := \begin{pmatrix} 1 & y_{1,1} & \dots & y_{1,n} \\ 1 & y_{2,1} & \dots & y_{2,n} \\ \vdots & \vdots & & \vdots \\ 1 & y_{m,1} & \dots & y_{m,n} \end{pmatrix} = \mathbf{QR}, \quad \mathbf{R} := \begin{pmatrix} r_{11} & r_{12} & \dots & \dots & r_{1,d+1} \\ 0 & r_{22} & \dots & \dots & r_{2,d+1} \\ \vdots & \ddots & & & \vdots \\ 0 & \dots & \dots & r_{d+1,d+1} & 0 \\ 0 & \dots & \dots & 0 & \vdots \\ \vdots & & & \vdots & \vdots \\ 0 & \dots & \dots & 0 & 0 \end{pmatrix} \in \mathbb{R}^{m,d+1}.$$

$$\|\mathbf{Ax}\|_2 \rightarrow \min \Leftrightarrow \|\mathbf{Rx}\|_2 = \left\| \begin{pmatrix} r_{11} & r_{12} & \dots & \dots & r_{1,d+1} \\ 0 & r_{22} & \dots & \dots & r_{2,d+1} \\ \vdots & \ddots & & & \vdots \\ 0 & \dots & \dots & r_{d+1,d+1} & 0 \\ 0 & \dots & \dots & 0 & \vdots \\ \vdots & & & \vdots & \vdots \\ 0 & \dots & \dots & 0 & 0 \end{pmatrix} \begin{pmatrix} \mathbf{c} \\ n_1 \\ \vdots \\ n_d \end{pmatrix} \right\|_2 \rightarrow \min.$$

3.5

3.5
p. 279

3.5
p. 280

① Löse mittels SVD (Problem vom Typ (3.5.2)): ! lsg:minconst

$$\left\| \begin{pmatrix} r_{21} & r_{22} & \cdots & \cdots & r_{2,d+1} \\ 0 & r_{33} & \cdots & \cdots & r_{3,d+1} \\ \vdots & \ddots & & & \vdots \\ 0 & & & r_{d+1,d+1} \end{pmatrix} \begin{pmatrix} n_1 \\ \vdots \\ n_d \end{pmatrix} \right\|_2 \rightarrow \min, \quad \|n\|_2 = 1.$$

② Da $r_{11} = \sqrt{d+1} \neq 0 \Rightarrow c = -r_{11}^{-1} \sum_{j=1}^d r_{1,j+1} n_j$.

MATLAB-Funktion:

Zu $A \in \mathbb{K}^{m,n}$ suche MATLAB-CODE: Lineares Ausgleichsproblem mit Nebenbedingung

$n \in \mathbb{K}^{\text{dim}} . c \in \mathbb{K}^{n-\text{dim}}$

mit

$$\left\| A \begin{pmatrix} c \\ n \end{pmatrix} \right\|_2 \rightarrow \min$$

mit Nebenbedingung:

$$\|n\|_2 = 1.$$

```
function [c,n] = clsq(A,dim);
[m,p] = size(A);
if p < dim+1, error ('not enough unknowns'); end;
if m < dim, error ('not enough equations'); end;
m = min (m, p);
R = triu (qr (A));
[U,S,V] = svd(R(p-dim+1:m,p-dim+1:p));
n = V(:,dim);
c = -R(1:p-dim,1:p-dim)\R(1:p-dim,p-dim+1:p)*n;
```

3.5.2 Normalengleichungen

! NORMGLEICH $A \in \mathbb{K}^{m,n}$, $m \geq n$, mit vollem Rang $\text{rank}(A) = n$. Zu lösen ist ! lsg:Lso für $b \in \mathbb{K}^m$

$$x \in \mathbb{K}^n: \quad \|Ax - b\|_2 \rightarrow \min. \quad (3.5.3) \quad \text{sq:prb}$$

$$f(x) := \|Ax - b\|_2^2 = x^H (A^H A)x - 2b^H Ax + b^H b.$$

$$\Rightarrow \text{grad } f(x) = 2(A^H A)x - 2A^H b.$$



$$\text{grad } f(x) \stackrel{!}{=} 0: \quad A^H A x = A^H b \quad = \text{Normalengleichung zu } (3.5.3). \quad \text{lsg:prb}$$

Beachte: $\text{rank}(A) = n \Rightarrow A^H A \in \mathbb{K}^{n,n}$ regulär

Vorsicht: Gefahr der Instabilität: Mit SVD $A = U\Sigma V^H$

$$\text{cond}_2(A^H A) = \text{cond}_2(V\Sigma^H U^H U\Sigma V^H) = \text{cond}_2(\Sigma^H \Sigma) = \frac{\sigma_1^2}{\sigma_n^2} = \text{cond}_2(A)^2.$$



Vorsicht: Informationsverlust bei Berechnung von $A^H A$, z.B.



$$A = \begin{pmatrix} 1 & 1 \\ \delta & 0 \\ 0 & \delta \end{pmatrix} \Rightarrow A^H A = \begin{pmatrix} 1+\delta^2 & 1 \\ 1 & 1+\delta^2 \end{pmatrix} \quad \text{sq:trafo}$$

Wenn $\delta < \sqrt{\epsilon}$ $\Rightarrow 1 + \delta^2 = 1$ in \mathbb{M} , d.h. $A^H A$ „numerisch singulär“, obwohl $\text{rank}(A) = 2$! lsg:trafo

Vermeidung der Berechnung von $A^H A$: Residuum $r := Ax - b$ als neue Unbekannte:

$$A^H A x = A^H b \Leftrightarrow B \begin{pmatrix} r \\ x \end{pmatrix} := \begin{pmatrix} -I & A \\ A^H & 0 \end{pmatrix} \begin{pmatrix} r \\ x \end{pmatrix} = \begin{pmatrix} b \\ 0 \end{pmatrix}. \quad (3.5.4)$$

Allgemeinere Substitution $z := \alpha x$, $r := \alpha^{-1}Ax - b$, $\alpha > 0$ (zur Verbesserung der Kondition):

$$A^H A x = A^H b \Leftrightarrow B_\alpha \begin{pmatrix} r \\ x \end{pmatrix} := \begin{pmatrix} -\alpha I & A \\ A^H & 0 \end{pmatrix} \begin{pmatrix} r \\ z \end{pmatrix} = \begin{pmatrix} \alpha b \\ 0 \end{pmatrix} \quad (3.5.5) \quad \text{sq:trafo2}$$

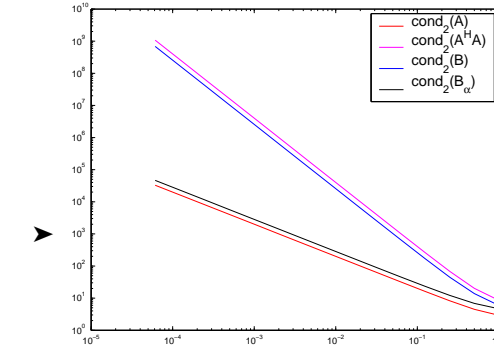
Beispiel 122 (Kondition des erweiterten Systems).

3.5

p. 281

$$A = \begin{pmatrix} 1+\epsilon & 1 \\ 1-\epsilon & 1 \\ \epsilon & \epsilon \end{pmatrix}$$

Plot verschiedener Konditionszahlen
in Abhängigkeit von ϵ
($\alpha = \|A\|_2 / \sqrt{2}$)



3.5

p. 283

Bemerkung 123 (Normalengleichung vs. Orthogonaltransformationsmethode).

Vorteil der Normalengleichungen in der Form (3.5.4)/(3.5.5): ! lsg:t lsg:trafo2

$$A \text{ sparse} (\rightarrow \text{Def. 3.1.1}) \stackrel{\text{def:sparse}}{\Rightarrow} B/B_\alpha \text{ sparse}$$

3.5

p. 282

3.5

p. 284

3.5.3 Totales Ausgleichsproblem

TOTAUSGLPROB

Gegeben: $\mathbf{A} \in \mathbb{K}^{m,n}$, $m \geq n$, $\text{rank}(\mathbf{A}) = n$, $\mathbf{b} \in \mathbb{K}^m$

Gesucht: $\hat{\mathbf{A}} \in \mathbb{K}^{m,n}$, $\hat{\mathbf{b}} \in \mathbb{K}^m$ mit

$$\left\| \underbrace{[\mathbf{A} \quad \mathbf{b}]_C}_{=: \mathbf{C}} - \underbrace{[\hat{\mathbf{A}} \quad \hat{\mathbf{b}}]_{\hat{\mathbf{C}}}} \right\|_F \rightarrow \min \quad , \quad \hat{\mathbf{b}} \in \text{Im}(\hat{\mathbf{A}}) .$$

(3.5.6)

$$\hat{\mathbf{b}} \in \text{Im}(\hat{\mathbf{A}}) \Rightarrow \text{rank}(\hat{\mathbf{C}}) = n \quad \xrightarrow{(3.5.6)} \quad \min_{\text{rank}(\hat{\mathbf{C}})=n} \|\mathbf{C} - \hat{\mathbf{C}}\|_F .$$

Thm. 3.4.16 $\xrightarrow{\text{thm:rankapprox}}$ Verwende SVD $\mathbf{C} = \mathbf{U}\Sigma\mathbf{V}^T$

$$\hat{\mathbf{C}} = \sum_{j=1}^n \sigma_j \mathbf{u}_{:,j} \mathbf{v}_{:,j}^H \Rightarrow \hat{\mathbf{C}} \mathbf{v}_{:,n+1} = 0 .$$

Wenn $\mathbf{v}_{n+1,n+1} \neq 0$, dann

$$\hat{\mathbf{A}}\mathbf{x} = \hat{\mathbf{b}} \quad \text{mit} \quad \mathbf{x} = \mathbf{v}_{n+1,n+1}^{-1} \mathbf{v}_{:,n+1} .$$

MATLAB-CODE Totales Ausgleichsproblem

```
function x = lsqtotal(A,b);
[m,n]=size(A);
[U, Sigma, V] = svd([A,b]);
s = V(n+1,n+1);
if s == 0 ,
    error('No solution')
end
x = -V(1:n,n+1)/s;
```

3.5.4 Ausgleichsrechnung mit linearen Nebenbedingungen

AUSGLPROBLINNB

Gegeben: $\mathbf{A} \in \mathbb{K}^{m,n}$, $m \geq n$, $\text{rank}(\mathbf{A}) = n$, $\mathbf{b} \in \mathbb{K}^m$,
 $\mathbf{C} \in \mathbb{K}^{p,n}$, $p < n$, $\text{rank}(\mathbf{C}) = p$, $\mathbf{d} \in \mathbb{K}^p$

Gesucht: $\mathbf{x} \in \mathbb{K}^n$ mit $\|\mathbf{Ax} - \mathbf{b}\|_2 \rightarrow \min$, $\mathbf{Cx} = \mathbf{d}$.

(3.5.7)

Lineare Nebenbedingung

Idee: Ankopplung der Nebenbedingung durch Lagrange-Multiplikator $\mathbf{m} \in \mathbb{K}^p$

$$\mathbf{x} = \underset{\mathbf{x} \in \mathbb{K}^n}{\text{argmin}} \underset{\mathbf{m} \in \mathbb{K}^p}{\max} L(\mathbf{x}, \mathbf{m}) , \quad L(\mathbf{x}, \mathbf{m}) := \frac{1}{2} \|\mathbf{Ax} - \mathbf{b}\|^2 + \mathbf{m}^H (\mathbf{Cx} - \mathbf{d}) .$$

Notwendige (und hinreichende) Bedingungen für Lösung (\rightarrow Abschnitt 3.5.2)

$$\frac{\partial L}{\partial \mathbf{x}}(\mathbf{x}, \mathbf{m}) = \mathbf{A}^H(\mathbf{Ax} - \mathbf{b}) + \mathbf{C}^H \mathbf{m} \stackrel{!}{=} 0 \quad , \quad \frac{\partial L}{\partial \mathbf{m}}(\mathbf{x}, \mathbf{m}) = \mathbf{C}\mathbf{x} - \mathbf{d} \stackrel{!}{=} 0 ; .$$

$$\begin{pmatrix} \mathbf{A}^H \mathbf{A} & \mathbf{C}^H \\ \mathbf{C} & 0 \end{pmatrix} \begin{pmatrix} \mathbf{x} \\ \mathbf{m} \end{pmatrix} = \begin{pmatrix} \mathbf{A}^H \mathbf{b} \\ \mathbf{d} \end{pmatrix} \quad \text{ERWNORMGEL}$$

Erweiterte Normalengleichungen (Sattelpunktproblem)

Algorithmus (basierend auf Block-LU-Zerlegung):

$$\begin{pmatrix} \mathbf{A}^H \mathbf{A} & \mathbf{C}^H \\ \mathbf{C} & 0 \end{pmatrix} = \begin{pmatrix} \mathbf{R}^H & 0 \\ \mathbf{G} & -\mathbf{S}^H \end{pmatrix} \begin{pmatrix} \mathbf{R} & \mathbf{G}^H \\ 0 & \mathbf{S} \end{pmatrix} , \quad \mathbf{R}, \mathbf{S} \in \mathbb{K}^{n,n} \text{ obere Dreiecksmatrizen}$$

3.5
p. 285

Vorsicht:

Abschn. 3.5.2: Berechnung von $\mathbf{A}^H \mathbf{A}$ kann teuer und problematisch sein !
 $\xrightarrow{\text{lsg:trafo}}$
(Abhilfe durch Einführung einer neuen Unbekannten $\mathbf{r} = \mathbf{Ax} - \mathbf{b}$, vgl. (3.5.4))

$$\xrightarrow{} \begin{pmatrix} -\mathbf{I} & \mathbf{A} & 0 \\ \mathbf{A}^H & 0 & \mathbf{C}^H \\ 0 & \mathbf{C} & 0 \end{pmatrix} \begin{pmatrix} \mathbf{r} \\ \mathbf{x} \\ \mathbf{m} \end{pmatrix} = \begin{pmatrix} \mathbf{b} \\ 0 \\ \mathbf{d} \end{pmatrix} . \quad (3.5.8)$$

3.5
p. 287

SVD-basierter Algorithmus:

① Berechne Orthonormalbasis von $\text{Ker}(\mathbf{C})$ mit SVD (\rightarrow Abschnitt 3.5.1):

$$\mathbf{C} = \mathbf{U} [\Sigma \ 0] \begin{bmatrix} \mathbf{V}_1^H \\ \mathbf{V}_2^H \end{bmatrix} , \quad \mathbf{U} \in \mathbb{K}^{p,p}, \Sigma \in \mathbb{R}^{p,p}, \mathbf{V}_1 \in \mathbb{K}^{n,p}, \mathbf{V}_2 \in \mathbb{K}^{n,n-p}$$

$$\xrightarrow{} \text{Ker}(\mathbf{C}) = \text{Im}(\mathbf{V}_2) .$$

und partikuläre Lösung

$$\mathbf{x}_0 := \mathbf{V}_1 \Sigma^{-1} \mathbf{U}^H \mathbf{d} .$$

Darstellung für Lösung \mathbf{x} von (3.5.7): $\mathbf{x} = \mathbf{x}_0 + \mathbf{V}_2 \mathbf{y}$, $\mathbf{y} \in \mathbb{K}^{n-p}$

② Einsetzen der Darstellung $\xrightarrow{} \mathbf{Standard lineares Ausgleichsproblem}$

$$\|\mathbf{A}(\mathbf{x}_0 + \mathbf{V}_2 \mathbf{y}) - \mathbf{b}\|_2 \rightarrow \min \Leftrightarrow \|\mathbf{AV}_2 \mathbf{y} - (\mathbf{b} - \mathbf{Ax}_0)\| \rightarrow \min .$$

3.6
p. 288

3.6 Krylov-Verfahren für lineare Gleichungssysteme

[File: section-krylov-verfahren-fuer-lineare-gleichungssysteme.tex, SVN: section-krylov-verfahren-fuer-lineare-gleichungssysteme.tex 1062 2006-10-21 09:33]

Klasse von Iterationsverfahren (\rightarrow Abschnitt 2.1) zur approximativen Lösung linearer Gleichungssysteme $\mathbf{A}x = \mathbf{b}$.
KRYLURVERF

Charakteristika:

- Nur Auswertung $\mathbf{A} \times$ Vektor erforderlich
- (In vielen Fällen) Aufwand für einen Schritt \approx Kosten($\mathbf{A} \times$ Vektor)

Iterationsverfahren zur Lösung linearer Gleichungssysteme!? Warum?

- Eliminationsverfahren zu aufwändig (z.B. für \mathbf{A} sehr gross, dünnbesetzt), \rightarrow lab:lucosts
- Direktes Lösen „overkill“, da nur geringe Genauigkeit erforderlich (z.B. im Newton-Verfahren \rightarrow Abschnitt 2.5))
sec:Newtonverfahren
- Gute Näherung als Startwert verfügbar
- Koeffizientenmatrix nur als Prozedur $y = \text{evalA}(x) \leftrightarrow y = \mathbf{A}x$ gegeben

Beobachtung: Lösungen vieler LGS aus Wissenschaft/Technik mit s.p.d. Koeffizientenmatrix weisen dominierende Anteile von Eigenvektoren zu betragsgrößten/betragskleinsten Eigenwerten auf.

[siehe Motivation für Krylovräume, Abschnitt 3.4.3]
sec:kryl-unterr



Idee: Gegeben Näherungslösung $\mathbf{x}^{(0)}$, suche Lösung der Fehlergleichung
FEHLERGL
 $\mathbf{A}\mathbf{c} = \mathbf{r}$, Residuum $\mathbf{r} := \mathbf{b} - \mathbf{A}\mathbf{x}^{(0)}$
im Krylovraum $\mathcal{K}_l(\mathbf{A}, \mathbf{z})$ (\rightarrow Def. 3.4.8), \mathbf{z}, l „geeignet“
def:kryl

! Beachte: $\dim \mathcal{K}_l(\mathbf{A}, \mathbf{z}) \leq n \Rightarrow$ überbestimmtes Problem
leg:cfix

3.6.1 Das Verfahren der konjugierten Gradienten (CG)

Annahme: $\mathbf{A} = \mathbf{A}^H \in \mathbb{K}^{n,n}$, $n \in \mathbb{N}$, Hermitesch, positiv definit (\rightarrow Def. 3.2.8)
def:spd

→ WISSENSAKTIVITÄT \mathbf{A} -Skalarprodukt $(\mathbf{x}, \mathbf{y}) \mapsto \mathbf{x}^H \mathbf{A} \mathbf{y} \Rightarrow$ „ \mathbf{A} -Geometrie“

■ **Definition 3.6.1** (Energienorm). Die von einer s.p.d. Matrix $\mathbf{A} \in \mathbb{K}^{n,n}$ induzierte Energienorm ist

$$\|\mathbf{x}\|_A := (\mathbf{x}^H \mathbf{A} \mathbf{x})^{1/2}, \quad \mathbf{x} \in \mathbb{K}^n.$$

3.6.1.1 Prinzip des CG-Verfahrens



Idee:

- Abbruch für exakte Lösung: $\mathbf{z} = \mathbf{r} := \mathbf{b} - \mathbf{A}\mathbf{x}^{(0)}$ (Residuum)
leg:cfix
- Fixiere \mathbf{c} aus (3.6.1) durch Galerkin-Bedingung

$$\mathbf{r} - \mathbf{A}\mathbf{c} \perp \mathcal{K}_l(\mathbf{A}, \mathbf{r}) \Leftrightarrow \mathbf{r}^{(\text{neu})} := \mathbf{b} - \mathbf{A}\mathbf{x}^{(\text{neu})} \perp \mathcal{K}_l(\mathbf{A}, \mathbf{r}). \quad (3.6.2) \quad \text{eq:galco}$$

Euklidisch orthogonal

3.6
p. 289

CGVERF
(Abstraktes) Verfahren der konjugierten Gradienten (CG) berechnet Näherungslösung $\mathbf{x}^{(l)}$ des LGS $\mathbf{Ax} = \mathbf{b}$ durch Korrektur der Startnäherung $\mathbf{x}^{(0)}$ in $\mathcal{K}_l(\mathbf{A}, \mathbf{r})$, $\mathbf{r} := \mathbf{b} - \mathbf{A}\mathbf{x}^{(0)}$, festgelegt durch Galerkin-Bedingung (3.6.2)
leg:gacond

3.6
p. 291

➤ falls $\{\mathbf{p}_1, \dots, \mathbf{p}_l\}$ = Basis von $\mathcal{K}_l(\mathbf{A}, \mathbf{r})$
leg:gacond $\mathbf{p}_j^H(\mathbf{r} - \mathbf{A}\mathbf{c}) = \mathbf{p}_j^H(\mathbf{b} - \mathbf{A}\mathbf{x}^{(\text{neu})}) = 0 \quad \forall j = 1, \dots, l.$ (3.6.3) eq:gc2

➤ Berechne Koeffizienten der Basisdarstellung $\mathbf{c} = \gamma_1 \mathbf{p}_1 + \dots + \gamma_l \mathbf{p}_l$ aus

$$\begin{pmatrix} \mathbf{p}_1^H \mathbf{A} \mathbf{p}_1 & \dots & \mathbf{p}_1^H \mathbf{A} \mathbf{p}_l \\ \vdots & \ddots & \vdots \\ \mathbf{p}_l^H \mathbf{A} \mathbf{p}_1 & \dots & \mathbf{p}_l^H \mathbf{A} \mathbf{p}_l \end{pmatrix} \begin{pmatrix} \gamma_1 \\ \vdots \\ \gamma_l \end{pmatrix} = \begin{pmatrix} \mathbf{p}_1^H \mathbf{r} \\ \vdots \\ \mathbf{p}_l^H \mathbf{r} \end{pmatrix}. \quad (3.6.4) \quad \text{eq:gclsg}$$

Besonders einfach, wenn $\{\mathbf{p}_1, \dots, \mathbf{p}_l\}$ \mathbf{A} -orthogonale Basis von $\mathcal{K}_l(\mathbf{A}, \mathbf{r})$: $\mathbf{p}_j^H \mathbf{A} \mathbf{p}_i = 0$ für $i \neq j$.

Bemerkung 124 (CG als direkter Löser).

Falls $\mathbf{A}^l \mathbf{r} \in \mathcal{K}_l(\mathbf{A}, \mathbf{r})$, dann $\mathbf{x}^{(l)} = \mathbf{A}^{-1} \mathbf{b}$ für die Näherungslösung aus dem abstrakten CG-Algorithmus.

➤ CG terminiert nach spätestens n Schritten mit $\mathbf{x}^{(l)} = \mathbf{A}^{-1} \mathbf{b}$.

Sei l minimal, so dass $\mathbf{A}^l \mathbf{r} \in \mathcal{K}_l(\mathbf{A}, \mathbf{r})$. Nach dem Austauschaxiom $\mathbf{r} \in \text{Span}\{\mathbf{A}\mathbf{r}, \dots, \mathbf{A}^l \mathbf{r}\} = \mathbf{A}\mathcal{K}_l(\mathbf{A}, \mathbf{r})$, also $\mathbf{A}(\mathbf{x}^* - \mathbf{x}^{(0)}) \in \mathbf{A}\mathcal{K}_l(\mathbf{A}, \mathbf{r}) \Leftrightarrow \mathbf{x}^* - \mathbf{x}^{(0)} \in \mathcal{K}_l(\mathbf{A}, \mathbf{r})$, so dass die Korrektur die exakte Lösung liefert.

3.6
p. 290

3.6
p. 292

Bemerkung 125 (CG-Verfahren und quadratische Minimierung).

Lemma 3.6.2 (S.p.d. Gleichungssysteme und Minimierungsproblem). Für $\mathbf{A} \in \mathbb{K}^{n,n}$ s.p.d., $\mathbf{b} \in \mathbb{K}^n$ gilt

$$\mathbf{Ax} = \mathbf{b} \Leftrightarrow \mathbf{x} = \arg \min_{\mathbf{y} \in \mathbb{K}^n} J(\mathbf{y}), \quad J(\mathbf{y}) := \frac{1}{2} \mathbf{y}^H \mathbf{Ay} - \operatorname{Re}\{\mathbf{b}^H \mathbf{y}\}.$$

Unterraumkorrektur: Sei $V \subset \mathbb{K}^n$ Unterraum mit Basis $\{\mathbf{p}_1, \dots, \mathbf{p}_l\}$, $l \ll n$.

► Approximatives Lösen der Fehlergleichung (3.6.1) durch „Minimierung in Richtung von V “:

$$(i) \quad \mathbf{c} = \underset{\mathbf{y} \in V}{\operatorname{argmin}} J(\mathbf{y}), \quad J(\mathbf{y}) := \frac{1}{2} \mathbf{y}^H \mathbf{Ay} - \operatorname{Re}\{(\mathbf{b} - \mathbf{Ax}^{(0)})^H \mathbf{y}\}, \quad (3.6.5) \quad \text{[cg:1]}$$

$$(ii) \quad \text{Neue Näherung } \mathbf{x}^{(\text{neu})} := \mathbf{x}^{(0)} + \mathbf{c}. \quad (3.6.6) \quad \text{[cg:2]}$$

Lemma 3.6.3. $\mathbf{c}, \mathbf{x}^{(\text{neu})}$ aus (3.6.5), (3.6.6) eindeutig bestimmt durch die Galerkin-Bedingung (3.6.3).

Bemerkung 126. Für $\mathbf{b} \in \mathbb{R}^n$, $J(\mathbf{y}) := \frac{1}{2} \mathbf{y}^H \mathbf{Ay} - \operatorname{Re}\{\mathbf{b}^H \mathbf{y}\}$ ist $-\operatorname{grad} J(\mathbf{x}) = \mathbf{b} - \mathbf{Ax}$ (\Rightarrow Residuum = Abstiegsrichtung):

► Wähle Residuum als Grundlage des Krylov-Raumes.

3.6.1.2 Implementierung des CG-Verfahrens

IMPLEMENTATION
Annahme: \mathbf{A} -orthogonale Basis $\{\mathbf{p}_1, \dots, \mathbf{p}_n\}$ von \mathbb{R}^n verfügbar, so dass

$$\operatorname{Span}\{\mathbf{p}_1, \dots, \mathbf{p}_l\} = \mathcal{K}_l(\mathbf{A}, \mathbf{r}).$$

(Effiziente) sukzessive Berechnung der $\mathbf{x}^{(l)}$

Input : Anfangsnäherung $\mathbf{x}^{(0)} \in \mathbb{K}^n$
Output : Bessere Näherungslösung $\mathbf{x}^{(l)} \in \mathbb{K}^n$

$$\begin{aligned} \mathbf{r}^{(0)} &:= \mathbf{b} - \mathbf{Ax}^{(0)}, \\ \text{for } j = 1 \text{ to } l \text{ do } \{ &\quad \mathbf{x}^{(j)} := \mathbf{x}^{(j-1)} + \frac{\mathbf{p}_j^H \mathbf{r}^{(0)}}{\mathbf{p}_j^H \mathbf{Ap}_j} \mathbf{p}_j; \quad \} \end{aligned} \quad (3.6.7) \quad \text{[ALG:Kryl]}$$

► Für $1 \leq j \leq m \leq l$: Orthogonalität $\mathbf{p}_j \perp \mathbf{r}^{(m)} := \mathbf{b} - \mathbf{Ax}^{(m)}$

$$\mathbf{p}_j \cdot (\mathbf{b} - \mathbf{Ax}^{(m)}) = \mathbf{p}_j^H (\underbrace{\mathbf{b} - \mathbf{Ax}^{(0)}}_{= \mathbf{r}^{(0)}} - \sum_{k=1}^m \frac{\mathbf{p}_k^H \mathbf{r}^{(0)}}{\mathbf{p}_k^H \mathbf{Ap}_k} \mathbf{Ap}_k) = 0. \quad (3.6.8) \quad \text{[KryOrth]}$$

Aufgabe: Konstruktion einer \mathbf{A} -orthogonalen Basis $\{\mathbf{p}_1, \dots, \mathbf{p}_l\}$ des Krylov-Raums $\mathcal{K}_l(\mathbf{A}, \mathbf{r}^{(0)})$
 \rightarrow Def. 3.4.8, Arnoldi-Prozess Abschnitt 3.4.3).

3.6
p. 293



(3.6.8) \Rightarrow Idee: Gram-Schmidt-Orthogonalisierung, \rightarrow (3.4.8), der intermediären Residuen $\mathbf{r}^{(j)} := \mathbf{b} - \mathbf{Ax}^{(j)}$:

$$\mathbf{p}_1 := \mathbf{r}^{(0)}, \quad \mathbf{p}_{j+1} := (\underbrace{\mathbf{b} - \mathbf{Ax}^{(j)}}_{= \mathbf{r}^{(j)}} - \sum_{k=1}^j \frac{\mathbf{p}_k^H \mathbf{Ar}^{(j)}}{\mathbf{p}_k^H \mathbf{Ap}_k} \mathbf{p}_k), \quad j = 1, \dots, l-1. \quad (3.6.9) \quad \text{[GRS]}$$

3.6
p. 295

Lemma 3.6.4. Nichtverschwindende Vektoren \mathbf{p}_j , $1 \leq j \leq l$, und $\mathbf{r}^{(j)} := \mathbf{b} - \mathbf{Ax}^{(j)}$, $0 \leq j \leq l$, aus (3.6.7), (3.6.9) erfüllen

- (i) $\{\mathbf{p}_1, \dots, \mathbf{p}_l\}$ ist \mathbf{A} -orthogonale Basis von $\mathcal{K}_l(\mathbf{A}, \mathbf{r}^{(0)})$,
- (ii) $\{\mathbf{r}^{(0)}, \dots, \mathbf{r}^{(j-1)}\}$ ist Orthogonalbasis von $\mathcal{K}_j(\mathbf{A}, \mathbf{r}^{(0)})$.

Beweis. \mathbf{A} -Orthogonalität der \mathbf{p}_j nach Konstruktion \rightarrow (3.6.9).

$$\begin{aligned} \text{[ALG:Kryl]} \& \& (3.6.7) \& \& \Rightarrow \mathbf{p}_{j+1} = \mathbf{r}^{(0)} - \sum_{k=1}^j \frac{\mathbf{p}_k^H \mathbf{r}^{(0)}}{\mathbf{p}_k^H \mathbf{Ap}_k} \mathbf{Ap}_k - \sum_{k=1}^j \frac{\mathbf{p}_k^H \mathbf{Ar}^{(j)}}{\mathbf{p}_k^H \mathbf{Ap}_k} \mathbf{p}_k. \\ & \& & \& \Rightarrow \mathbf{p}_{j+1} \in \operatorname{Span}\{\mathbf{r}^{(0)}, \mathbf{p}_1, \dots, \mathbf{p}_j, \mathbf{Ap}_1, \dots, \mathbf{Ap}_j\}. \end{aligned}$$

3.6
p. 294

3.6
p. 296

$$\mathbf{p}_1 := \mathbf{r}^{(0)}, \mathbf{p}_{j+1} := \underbrace{(\mathbf{b} - \mathbf{A}\mathbf{x}^{(j)})}_{=:\mathbf{r}^{(j)}} - \sum_{k=1}^j \frac{\mathbf{p}_k^H \mathbf{r}^{(j)}}{\mathbf{p}_k^H \mathbf{A} \mathbf{p}_k} \mathbf{p}_k, \quad j = 1, \dots, l-1, \quad (3.6.9)$$

$$\mathbf{p}_1 := \mathbf{r}^{(0)}, \mathbf{p}_{j+1} := \underbrace{(\mathbf{b} - \mathbf{A}\mathbf{x}^{(j)})}_{=:\mathbf{r}^{(j)}} - \sum_{k=1}^j \frac{\mathbf{p}_k^H \mathbf{r}^{(j)}}{\mathbf{p}_k^H \mathbf{A} \mathbf{p}_k} \mathbf{p}_k, \quad j = 1, \dots, l-1. \quad (3.6.8)$$

(3.6.9) $\mathbf{p}_{j+1}^{(j)} \in \text{Span}\{\mathbf{p}_1, \dots, \mathbf{p}_{j+1}\}$ & $\mathbf{p}_j \in \text{Span}\{\mathbf{r}^{(0)}, \dots, \mathbf{r}^{(j-1)}\}$.

► $\text{Span}\{\mathbf{p}_1, \dots, \mathbf{p}_j\} = \text{Span}\{\mathbf{r}^{(0)}, \dots, \mathbf{r}^{(j-1)}\} = \mathcal{K}_l(\mathbf{A}, \mathbf{r}^{(0)})$.

(3.6.8) $\mathbf{r}^{(j)} \perp \text{Span}\{\mathbf{p}_1, \dots, \mathbf{p}_j\} = \text{Span}\{\mathbf{r}^{(0)}, \dots, \mathbf{r}^{(j-1)}\}$. (3.6.12)

Bemerkung 127 (Lanczos-Prozess und CG).

$\{\mathbf{r}^{(0)}, \dots, \mathbf{r}^{(j-1)}\} \leftrightarrow$ Orthonormalbasis von $\mathcal{K}_j(\mathbf{A}, \mathbf{r})$ erzeugt im Lanczos-Prozess → Abschn. 3.4.3

p. 297

Analog zum Lanczos-Prozess: Kurze Rekursion für Basisvektoren \mathbf{p}_j :

$$(3.6.8) \Rightarrow (3.6.9) \text{ vereinfacht sich zu } \mathbf{p}_{j+1} := \mathbf{r}^{(j)} - \frac{\mathbf{p}_j^H \mathbf{A} \mathbf{r}^{(j)}}{\mathbf{p}_j^H \mathbf{A} \mathbf{p}_j} \mathbf{p}_j, \quad j = 1, \dots, l.$$

Rekursion für Residuen:

$$(3.6.7) \quad \mathbf{r}^{(j)} = \mathbf{r}^{(j-1)} + \frac{\mathbf{p}_j^H \mathbf{r}^{(0)}}{\mathbf{p}_j^H \mathbf{A} \mathbf{p}_j} \mathbf{A} \mathbf{p}_j. \quad (3.6.13)$$

Lemma 3.6.4, (i) ► $\mathbf{r}^{(j-1)} \cdot \mathbf{p}_j = \left(\mathbf{r}^{(0)} + \sum_{k=1}^{m-1} \frac{\mathbf{r}^{(0)} \cdot \mathbf{p}_k}{\mathbf{p}_k^H \mathbf{A} \mathbf{p}_k} \mathbf{A} \mathbf{p}_k \right) \cdot \mathbf{p}_j = \mathbf{r}^{(0)} \cdot \mathbf{p}_j.$ (3.6.14)

Algorithmus:

CG-Verfahren zur Lösung von $\mathbf{Ax} = \mathbf{b}$, \mathbf{A} s.p.d.

Input : Anfangsnäherung $\mathbf{x}^{(0)} \in \mathbb{R}^n$
Output : Bessere Näherungslösung $\mathbf{x}^{(l)} \in \mathbb{R}^n$

```

 $\mathbf{p}_1 = \mathbf{r}^{(0)} := \mathbf{b} - \mathbf{A}\mathbf{x}^{(0)};$ 
for  $j = 1$  to  $l$  do {
     $\mathbf{x}^{(j)} := \mathbf{x}^{(j-1)} + \frac{\mathbf{p}_j \cdot \mathbf{r}^{(j-1)}}{\mathbf{p}_j \cdot \mathbf{A} \mathbf{p}_j} \mathbf{p}_j;$ 
     $\mathbf{r}^{(j)} = \mathbf{r}^{(j-1)} - \frac{\mathbf{p}_j \cdot \mathbf{r}^{(j-1)}}{\mathbf{p}_j \cdot \mathbf{A} \mathbf{p}_j} \mathbf{A} \mathbf{p}_{j-1};$ 
     $\mathbf{p}_{j+1} = \mathbf{r}^{(j)} - \frac{\mathbf{A} \mathbf{p}_j \cdot \mathbf{r}^{(j)}}{\mathbf{p}_j \cdot \mathbf{A} \mathbf{p}_j} \mathbf{p}_j;$ 
}

```

Input: Anfangsnäherung $\mathbf{x} \hat{=} \mathbf{x}^{(0)} \in \mathbb{R}^n$
Abbruchschranke $\tau > 0$
Output: Bessere Näherungslösung $\mathbf{x} \hat{=} \mathbf{x}^{(l)}$

```

 $\mathbf{p} := \mathbf{r}^{(0)} := \mathbf{r} := \mathbf{b} - \mathbf{A}\mathbf{x};$ 
for  $j = 1$  to  $l_{\max}$  do {
     $\beta := \mathbf{r} \cdot \mathbf{r};$ 
     $\mathbf{h} := \mathbf{A}\mathbf{p};$ 
     $\alpha := \frac{\beta}{\mathbf{p} \cdot \mathbf{h}};$ 
     $\mathbf{x} := \mathbf{x} + \alpha \mathbf{p};$ 
     $\mathbf{r} := \mathbf{r} - \alpha \mathbf{h};$ 
    if  $\|\mathbf{r}\| \leq \tau \|\mathbf{r}^{(0)}\|$  then stop;
     $\beta := \frac{\beta}{\mathbf{r} \cdot \mathbf{r}};$ 
     $\mathbf{p} := \mathbf{r} + \beta \mathbf{p};$ 
}

```

► 1 Matrix \times Vektor-Produkt, 3 Skalarprodukte, 3 SAXPY-Operationen pro Schritt:
Wenn \mathbf{A} dünnbesetzt, $\text{nnz}(\mathbf{A}) \sim n$ ► Rechenaufwand $\mathcal{O}(n)$ für einen Schritt

3.6
p. 299

△ MATLAB-Funktion:

```

x=pcg(A,b,tol,maxit,[],[],x0) : Löse  $\mathbf{Ax} = \mathbf{b}$  mit maximal maxit CG Schritten:  
terminiere wenn  $\|\mathbf{r}^{(l)}\| : \|\mathbf{r}^{(0)}\| < \text{tol}$ .
x=pcg(Afun,b,tol,maxit,[],[],x0): Afun = Handle auf Funktion, die Auswertung  
 $\mathbf{A} \times$  Vektor realisiert.
[x,flag,relr,it,resv] = pcg(...): Diagnostische Informationen über Verlauf der Iteration

```

Grundgerüst der Implementierung in MATLAB (type pcg):

```

MATLAB-CODE CG-Algorithmus
function x = cg(A,b,tol,maxit)
r = b - A * x; rho = 1;
for i = 1 : maxit
    rho1 = rho; rho = r' * r;
    if (i == 1), p = r;
    else beta = rho/rho1; p = r + beta * p; end
    q = A * p; alpha = rho/(p' * q);
    x = x + alpha * p;
    if (norm(b - A * x) <= tol*norm(b)) return; end
    r = r - alpha * q;
end

```

3.6
p. 298

3.6
p. 300

Bemerkung 128 (Abbruchkriterium für nicht-vorkonditioniertes CG-Verfahren).

Mit $\mathbf{r}^{(l)} := \mathbf{b} - \mathbf{A}\mathbf{x}^{(l)}$ gilt für beliebige Vektornormen und die zugehörige Matrixkondition (\rightarrow Def. 3.2.5) def:cond

$$\frac{1}{\text{cond}(\mathbf{A})} \frac{\|\mathbf{r}^{(l)}\|}{\|\mathbf{r}^{(0)}\|} \leq \frac{\|\mathbf{x}^{(l)} - \mathbf{x}\|}{\|\mathbf{x}^{(0)} - \mathbf{x}\|} \leq \text{cond}(\mathbf{A}) \frac{\|\mathbf{r}^{(l)}\|}{\|\mathbf{r}^{(0)}\|}. \quad (3.6.15) \quad \text{cg term}$$

Relative Abnahme des Iterationsfehlers



Beispiel 129 (Orthogonalitätsverlust der Residuen).

$$\mathbf{R}^H \mathbf{R} = \begin{pmatrix} 1.000000 & -0.000000 & 0.000000 & -0.000000 & 0.000000 & -0.000000 & 0.016019 & -0.795816 & -0.430569 & 0.348133 \\ -0.000000 & 1.000000 & -0.000000 & 0.000000 & -0.000000 & 0.000000 & -0.012075 & 0.600068 & -0.520610 & 0.420903 \\ 0.000000 & -0.000000 & 1.000000 & -0.000000 & 0.000000 & -0.000000 & 0.001582 & -0.078664 & 0.384453 & -0.310577 \\ -0.000000 & 0.000000 & -0.000000 & 1.000000 & -0.000000 & 0.000000 & -0.000024 & 0.001218 & -0.024115 & 0.019394 \\ 0.000000 & -0.000000 & 0.000000 & -0.000000 & 1.000000 & -0.000000 & 0.000000 & -0.000002 & 0.000151 & -0.000118 \\ -0.000000 & 0.000000 & -0.000000 & 0.000000 & -0.000000 & 1.000000 & -0.000000 & 0.000000 & -0.000000 & 0.000000 \\ 0.016019 & -0.012075 & 0.001582 & -0.000024 & 0.000000 & -0.000000 & 1.000000 & -0.000000 & -0.000000 & 0.000000 \\ -0.795816 & 0.600068 & -0.078664 & 0.001218 & -0.000002 & 0.000000 & -0.000000 & 1.000000 & 0.000000 & -0.000000 \\ -0.430569 & -0.520610 & 0.384453 & -0.024115 & 0.000151 & -0.000000 & 0.000000 & 0.000000 & 1.000000 & 0.000000 \\ 0.348133 & 0.420903 & -0.310577 & 0.019394 & -0.000118 & 0.000000 & 0.000000 & -0.000000 & 0.000000 & 1.000000 \end{pmatrix}$$

- Orthogonalitätsverlust der Residuen als Folge von Rundungsfehlern, vgl. Lanczos-Prozess, Bsp. 115.

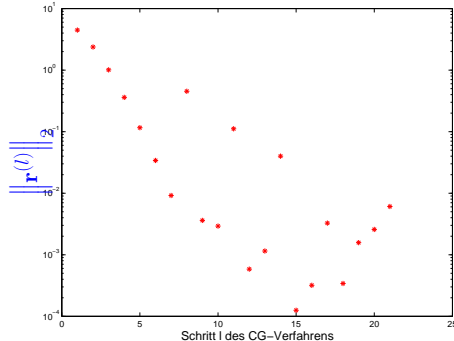


Numerisches Experiment: $\mathbf{A} = \text{hilb}(20)$, $\mathbf{x}^{(0)} = \mathbf{0}$, $\mathbf{b} = (1, \dots, 1)^T$

Hilbert-Matrix: extrem schlecht konditioniert

Residuen während der CG-Iteration:

$$\mathbf{R} = [\mathbf{r}^{(0)}, \dots, \mathbf{r}^{(10)}]$$



3.6

p. 301 Hoffnung: Substantielle Fehlerreduktion bereits in wenigen $l \ll n$ Schritten

Frage (für grosse n): Wie gut ist die Näherungslösung $\mathbf{x}^{(l)}$, $l \ll n$?

3.6

p. 303

➤ Lemma 3.6.5 („Optimalität“ der CG-Iterierten). Mit der exakten Lösung $\mathbf{x} \in \mathbb{K}^n$ von $\mathbf{Ax} = \mathbf{b}$ gilt für die CG-Iterierten $\mathbf{x}^{(l)}$

$$\|\mathbf{x} - \mathbf{x}^{(l)}\|_A = \min \{ \|\mathbf{y} - \mathbf{x}\|_A : \mathbf{y} \in \mathbf{x}^{(0)} + \mathcal{K}_l(\mathbf{A}, \mathbf{r}) \}, \quad \mathbf{r} := \mathbf{b} - \mathbf{A}\mathbf{x}^{(0)}.$$

- Monotone Abnahme der Energienorm des Fehlers während der CG-Iteration („Gedächtnis“ des CG-Verfahrens)

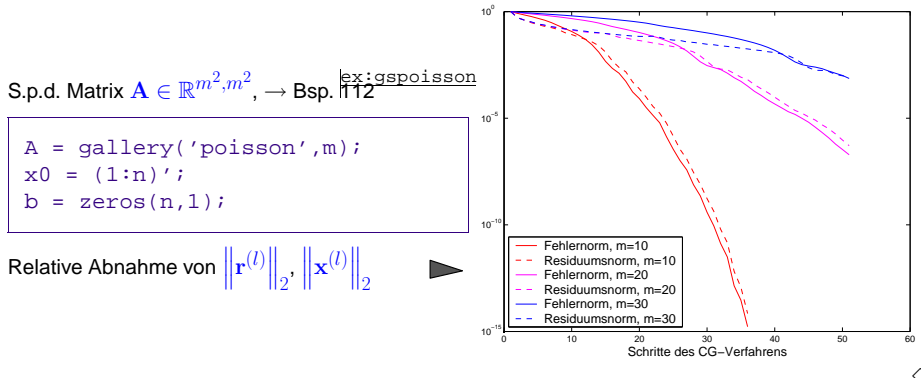
Beispiel 130 (Konvergenz des CG-Verfahrens).

3.6

p. 302

3.6

p. 304



Quantitative Konvergenzabschätzung aus Lemma 3.6.5: [Lem:cgpt](#)

$$\mathbf{y} \in \mathbf{x}^{(0)} + \mathcal{K}_l(\mathbf{A}, \mathbf{r}) \Leftrightarrow \mathbf{y} = \mathbf{x}^{(0)} + \mathbf{A} p(\mathbf{A})(\mathbf{x} - \mathbf{x}^{(0)}), \quad p = \text{Polynom vom Grad } \leq l-1.$$

$\mathbf{x} - \mathbf{y} = q(\mathbf{A})(\mathbf{x} - \mathbf{x}^{(0)})$ mit $q = \text{Polynom vom Grad } \leq l, \quad q(0) = 1$.

$$\|\mathbf{x} - \mathbf{x}^{(l)}\|_A \leq \left[\min \left\{ \max_{\lambda \in \sigma(\mathbf{A})} |q(\lambda)| : q \text{ Polynom vom Grad } \leq l, \quad q(0) = 1 \right\} \right] \cdot \|\mathbf{x} - \mathbf{x}^{(0)}\|_A.$$

Abzuschätzen für $\lambda \in [\lambda_{\min}(\mathbf{A}), \lambda_{\max}(\mathbf{A})]$ durch „Kandidatenpolynome“

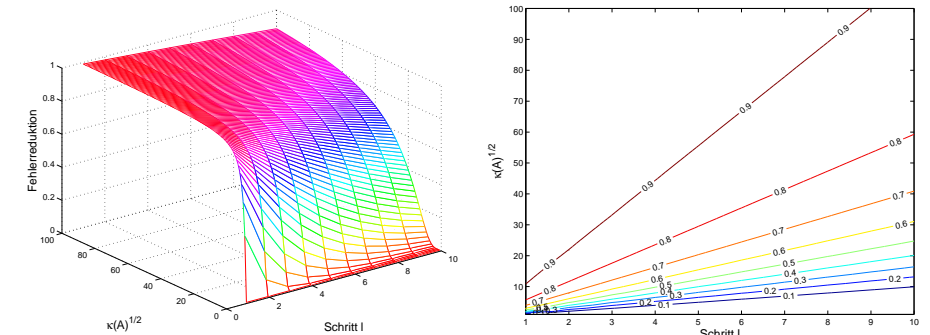
Mit Tschebyscheff-Polynomen (\rightarrow Abschnitt 4.1.3) zeigt man [21, Satz 9.4.2]: [sec:tschbysch](#) [#1a94](#) p.

Theorem 3.6.6 (Konvergenz des CG-Verfahrens). Für die Iterierten des CG-Verfahrens zur Lösung von $\mathbf{Ax} = \mathbf{b}$, $\mathbf{A} = \mathbf{A}^H$ positiv definit, gilt

$$\|\mathbf{x} - \mathbf{x}^{(l)}\|_A \leq \frac{2 \left(1 - \frac{1}{\sqrt{\kappa(\mathbf{A})}} \right)^l}{\left(1 + \frac{1}{\sqrt{\kappa(\mathbf{A})}} \right)^{2l} + \left(1 - \frac{1}{\sqrt{\kappa(\mathbf{A})}} \right)^{2l}} \|\mathbf{x} - \mathbf{x}^{(0)}\|_A.$$

($\kappa(\mathbf{A})$ = spektrale Kondition (\rightarrow Def. 3.4.5) von \mathbf{A} , $\kappa(\mathbf{A}) = \text{cond}_2(\mathbf{A})$)

Theoretische Schranken aus Thm. 3.6.6 für Fehlerreduktion (in Energienorm) nach l CG-Schritten: [thm:CGconv](#)



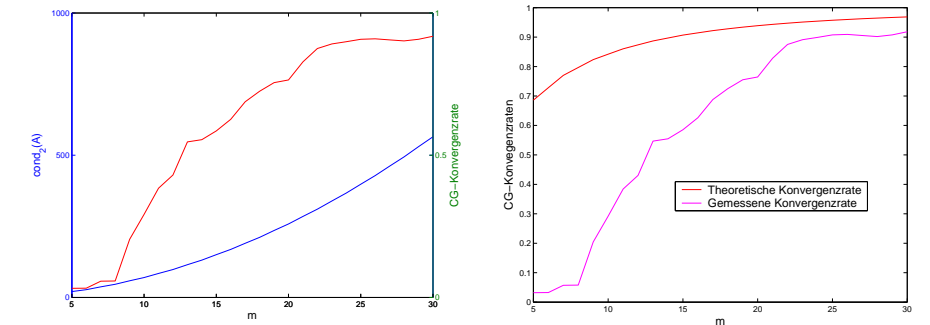
Beispiel 131 (Konvergenzraten für CG-Verfahren).

```
A = gallery('poisson',m); n = size(A,1);
x0 = (1:n)'; b = ones(n,1); maxit = 30; tol = 0;
[x,flag,relres,iter,resvec] = pcg(A,b,tol,maxit,[],[],x0);
```

3.6
p. 305

Messen der Konvergenzrate:

$$\text{rate} = \sqrt[10]{\frac{\|\mathbf{r}^{(30)}\|_2}{\|\mathbf{r}^{(20)}\|_2}}.$$



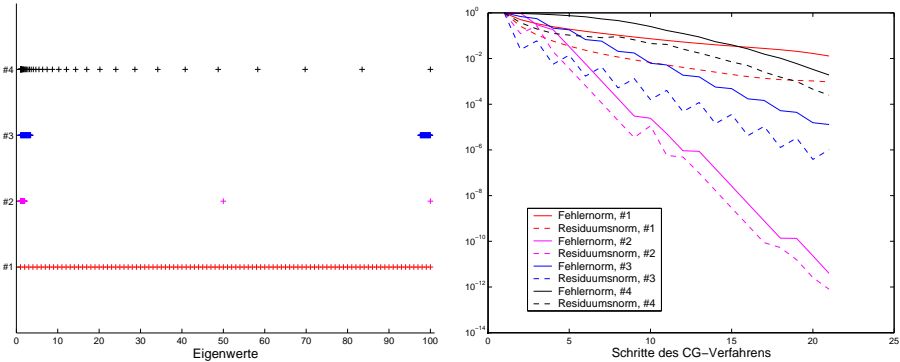
Beispiel 132 (CG-Konvergenz und Spektrum).

Testmatrix #1: $\mathbf{A} = \text{diag}(\mathbf{d}); \mathbf{d} = (1:100);$
 Testmatrix #2: $\mathbf{A} = \text{diag}(\mathbf{d}); \mathbf{d} = [1+(0:97)/97, 50, 100];$
 Testmatrix #3: $\mathbf{A} = \text{diag}(\mathbf{d}); \mathbf{d} = [1+(0:49)*0.05, 100-(0:49)*0.05];$
 Testmatrix #4: Spektrum exponentiell gehäuft um 1

3.6
p. 306

$\mathbf{x}0 = \cos((1:n)'); \mathbf{b} = \text{zeros}(n,1);$

3.6
p. 307



- Verteilung der Eigenwerte hat entscheidenden Einfluss auf CG-Konvergenzgeschwindigkeit:
Wichtig: Schnellere Konvergenz bei gehäuften Eigenwerten

3.6.2 Vorkonditionierung

VORKOND Thm. 3.6.6 CG konvergiert (unter Umständen) sehr langsam für $\kappa(\mathbf{A}) \gg 1$.
Idee: **Vorkonditionierung** (\rightarrow Abschnitt 3.4.2)

 Wende CG an auf das transformierte Gleichungssystem

$$\tilde{\mathbf{A}}\tilde{\mathbf{x}} = \tilde{\mathbf{b}}, \quad \tilde{\mathbf{A}} := \mathbf{B}^{-1/2}\mathbf{A}\mathbf{B}^{-1/2}, \quad \tilde{\mathbf{x}} := \mathbf{B}^{1/2}\mathbf{x}, \quad \tilde{\mathbf{b}} := \mathbf{B}^{-1/2}\mathbf{b}, \quad (3.6.16)$$

mit $\kappa(\tilde{\mathbf{A}})$ = "klein", $\mathbf{B} = \mathbf{B}^H \in \mathbb{K}^{N,N}$ positiv definiter **Vorkonditionierer** \rightarrow Def. 3.4.4.

"Black-box"-Vorkonditionierer aus Abschnitt 3.4.2): Jacobi-, Gauß-Seidel-, IC-Vorkonditionierer.

Bemerkung 133 (Vorkonditionierung und Kontraktionszahl).

Für s.p.d. Vorkonditionierer \mathbf{B} von s.p.d. \mathbf{A} heisst $\rho := \|\mathbf{I} - \mathbf{B}^{-1}\mathbf{A}\|_A$ die **Kontraktionszahl** von \mathbf{B} bzgl. \mathbf{A} , siehe (3.4.6), Lemma ??.

$$\begin{aligned} \rho := \lambda_{\max}(\mathbf{I} - \mathbf{B}^{-1}\mathbf{A}) &= \lambda_{\max}(\mathbf{I} - \mathbf{B}^{-1/2}\mathbf{A}\mathbf{B}^{-1/2}) < 1 \Rightarrow \begin{cases} \lambda_{\min}(\mathbf{B}^{-1/2}\mathbf{A}\mathbf{B}^{-1/2}) \geq 1 - \rho, \\ \lambda_{\max}(\mathbf{B}^{-1/2}\mathbf{A}\mathbf{B}^{-1/2}) \leq 1 + \rho, \end{cases} \\ \Rightarrow \quad \kappa(\mathbf{B}^{1/2}\mathbf{A}\mathbf{B}^{1/2}) &\leq \frac{1 + \rho}{1 - \rho}. \end{aligned}$$

Implementierung: CG-Iteration in untransformierten Variablen \mathbf{x} (intrinsische Transformation)

Algorithmus: **VORKCG**
Vorkonditioniertes CG-Verfahren (PCG)

```
Input: Anfangsnäherung  $\mathbf{x} \in \mathbb{K}^n \hat{=} \mathbf{x}^{(0)} \in \mathbb{K}^n$ , Abbruchschranke  $\tau > 0$ 
Output: Bessere Näherung  $\mathbf{x} \hat{=} \mathbf{x}^{(l)}$ 

 $\mathbf{p} := \mathbf{r} := \mathbf{b} - \mathbf{Ax}; \quad \mathbf{p} := \mathbf{B}^{-1}\mathbf{r}; \quad \mathbf{q} := \mathbf{p}; \quad \tau_0 := \mathbf{p}^H \mathbf{r};$ 
for  $l = 1$  to  $l_{\max}$  do {
     $\beta := \mathbf{r}^H \mathbf{q}; \quad \mathbf{h} := \mathbf{Ap}; \quad \alpha := \frac{\beta}{\mathbf{p}^H \mathbf{h}};$ 
     $\mathbf{x} := \mathbf{x} + \alpha \mathbf{p};$ 
     $\mathbf{r} := \mathbf{r} - \alpha \mathbf{h};$ 
     $\mathbf{q} := \mathbf{B}^{-1}\mathbf{r}; \quad \beta := \frac{\mathbf{r}^H \mathbf{q}}{\beta};$ 
    if  $|\mathbf{q}^H \mathbf{r}| \leq \tau \cdot \tau_0$  then stop;
     $\mathbf{p} := \mathbf{q} + \beta \mathbf{p};$ 
}
```

(3.6.17) **alg:PCG**

➤ Rechenaufwand pro Schritt: 1 Auswertung $\mathbf{A} \times$ Vektor, 1 Auswertung $\mathbf{B}^{-1} \times$ Vektor, 3 Skalarprodukte, 3 SAXPY-Operationen

3.6 p. 309 Bemerkung 134 (Konvergenztheorie für PCG). Aussagen von Thm. 3.6.6 bleiben gültig mit $\tilde{\mathbf{A}}$ -Energienorm anstelle \mathbf{A} -Energienorm.

Bemerkung 135 (Abbruch des vorkonditionierten CG-Verfahrens).

Bem. 128, (3.6.15) ➤ Überwache transformiertes Residuum
 $\tilde{\mathbf{r}} = \tilde{\mathbf{b}} - \tilde{\mathbf{A}}\tilde{\mathbf{x}} = \mathbf{B}^{-1/2}\mathbf{r} \Rightarrow \|\tilde{\mathbf{r}}\|_2^2 = \mathbf{r}^H \mathbf{B}^{-1}\mathbf{r}.$

➤ Abschätzungen für Energienorm des Fehlers $\mathbf{e}^{(l)} := \mathbf{x} - \mathbf{x}^{(l)}$:

Benutze die Fehlergleichung (3.6.1) $\mathbf{A}\mathbf{e} = \mathbf{r}$:

$$\begin{aligned} \mathbf{r}^{(l)} \cdot \mathbf{B}^{-1}\mathbf{r}^{(l)} &= \mathbf{B}^{-1}\mathbf{A}\mathbf{e}^{(l)} \cdot \mathbf{A}\mathbf{e}^{(l)} \leq \lambda_{\max}(\mathbf{B}^{-1}\mathbf{A}) \|\mathbf{e}^{(l)}\|_A^2, \\ \|\mathbf{e}^{(l)}\|_A^2 &= \mathbf{A}\mathbf{e}^{(l)} \cdot \mathbf{e}^{(l)} = \mathbf{r}^{(l)} \cdot \mathbf{A}^{-1}\mathbf{r}^{(l)} = \mathbf{B}^{-1}\mathbf{r} \cdot \mathbf{B}\mathbf{A}^{-1}\mathbf{r}^{(l)} \leq \lambda_{\max}(\mathbf{B}\mathbf{A}^{-1}) \mathbf{B}^{-1}\mathbf{r}^{(l)} \cdot \mathbf{r}^{(l)}. \end{aligned}$$

verfügbar in Algorithmus (3.6.17) **alg:PCG**

$$\frac{1}{\kappa(\mathbf{B}^{-1}\mathbf{A})} \frac{\|\mathbf{e}^{(l)}\|_A^2}{\|\mathbf{e}^{(0)}\|_A^2} \leq \frac{\mathbf{B}^{-1}\mathbf{r}^{(l)} \cdot \mathbf{r}^{(l)}}{\mathbf{B}^{-1}\mathbf{r}^{(0)} \cdot \mathbf{r}^{(0)}} \leq \kappa(\mathbf{B}^{-1}\mathbf{A}) \frac{\|\mathbf{e}^{(l)}\|_A^2}{\|\mathbf{e}^{(0)}\|_A^2} \quad (3.6.18) \quad \text{eq:pcgfei}$$

3.6 p. 310 $\kappa(\mathbf{B}^{-1}\mathbf{A})$ „klein“ ➤ \mathbf{B}^{-1} -Energienorm des Residuums $\approx \mathbf{A}$ -Energienorm des Fehlers!
 $(\mathbf{r}^{(l)} \cdot \mathbf{B}^{-1}\mathbf{r}^{(l)}) = \mathbf{q}^H \mathbf{r}$ in Algorithmus (3.6.17) **alg:PCG**

3.6 p. 311

MATLAB-Funktion: `[x,flag,relr,it,rv] = pcg(A,b,tol,maxit,B,[],x0);`
 $(A, B$ können Handles auf Funktionen sein, die \mathbf{Ax} bzw. $\mathbf{B}^{-1}\mathbf{x}$ realisieren)

Interne MATLAB-Implementierung:

```
MATLAB-CODE: PCG-Algorithmus
function x = pcg(Afun,b,tol,maxit,Binvfun,x0)
x = x0; r = b - feval(Afun,x); rho = 1;
for i = 1 : maxit
    y = feval(Binvfun,r);
    rho1 = rho; rho = r' * y;
    if (i == 1)
        p = y;
    else
        beta = rho / rho1;
        p = y + beta * p;
    end
    q = feval(Afun,p);
    alpha = rho / (p' * q);
    x = x + alpha * p;
    if (norm(b - evalf(Afun,x)) <= tol*norm(b)), return; end
    r = r - alpha * q;
end
```

Zweifelhaftes Abbruchkriterium !

3.6.3 Weitere Krylov-Unterraumverfahren

3.6.3.1 Residuenminimierende Verfahren

Idee: Ersetze Euklidisches Skalarprodukt $\rightarrow \mathbf{A}$ -Skalarprodukt im CG-Algorithmus

$$\|\mathbf{x}^{(l)} - \mathbf{x}\|_A \rightarrow \|\mathbf{A}(\mathbf{x}^{(l)} - \mathbf{x})\|_2 = \|\mathbf{r}^{(l)}\|_2$$

MINRES-Verfahren (für beliebige Hermitesche Matrizen !)

■ **Theorem 3.6.7.** Für $\mathbf{A} = \mathbf{A}^H$ erfüllen die Residuen $\mathbf{r}^{(l)}$ in der MINRES-Iteration

$$\|\mathbf{r}^{(l)}\|_2 = \min\{\|\mathbf{Ay} - \mathbf{b}\|_2 : \mathbf{y} \in \mathbf{x}^{(0)} + \mathcal{K}_l(\mathbf{A}, \mathbf{r}^{(0)})\}$$

$$\Rightarrow \|\mathbf{r}^{(l)}\|_2 \leq \frac{2 \left(1 - \frac{1}{\kappa(\mathbf{A})}\right)^l}{\left(1 + \frac{1}{\kappa(\mathbf{A})}\right)^{2l} + \left(1 - \frac{1}{\kappa(\mathbf{A})}\right)^{2l}} \|\mathbf{x} - \mathbf{x}^{(0)}\|_A.$$

3.6 Beachte: Konvergenzrate bestimmt durch $\kappa(\mathbf{A})$, nicht durch $\sqrt{\kappa(\mathbf{A})}$ wie bei CG !

p. 313

3.6

p. 315

MATLAB-Funktion: • `[x,flg,res,it,resv] = minres(A,b,tol,maxit,B,[],x0);`
• `[...] = minres(Afun,b,tol,maxit,Binvfun,[],x0);`

Rechenaufwand : 1 $\mathbf{A} \times$ Vektor, 1 $\mathbf{B}^{-1} \times$ Vektor pro Schritt, wenige Skalarprodukte & SAXPYs
Speicheraufwand: Wenige Vektoren $\in \mathbb{K}^n$

Idee: Löse überbestimmtes Gleichungssystem



$$\mathbf{x}^{(l)} \in \mathbf{x}^{(0)} + \mathcal{K}_l(\mathbf{A}, \mathbf{r}^{(0)}): \mathbf{Ax}^{(l)} = \mathbf{b}$$

im Sinn der Methode der kleinsten Quadrate, \rightarrow Abschnitt 3.5 sec:numer-line-ausgl

$$\mathbf{x}^{(l)} = \operatorname{argmin}\{\|\mathbf{Ay} - \mathbf{b}\|_2 : \mathbf{y} \in \mathbf{x}^{(0)} + \mathcal{K}_l(\mathbf{A}, \mathbf{r}^{(0)})\}.$$

► GMRES-Verfahren für allgemeine Matrizen $\mathbf{A} \in \mathbb{K}^{n,n}$

MATLAB-Funktion: • `[x,flag,relr,it,rv] = gmres(A,b,rs,tol,maxit,B,[],x0);`
• `[...] = gmres(Afun,b,rs,tol,maxit,Binvfun,[],x0);`

Rechenaufwand : 1 $\mathbf{A} \times$ Vektor, 1 $\mathbf{B}^{-1} \times$ Vektor pro Schritt,
: $O(l)$ Skalarprodukte & SAXPYs im l . Schritt
Speicheraufwand: $O(l)$ Vektoren $\in \mathbb{K}^n$ im l . Schritt

3.6
p. 314

3.6

p. 316

Bemerkung 136 (GMRES und Arnoldi-Prozess). GMRES \leftrightarrow Arnoldi-Prozess, \rightarrow Abschnitt 3.4.3 (vgl. Bem. 127) rem: LancG Lange Rekursionen \triangleright wachsender Speicher- und Rechenaufwand

Bemerkung 137 (Neustart von GMRES). Wenn Speicher- und Rechenaufwand zu gross wird: Starte GMRES-Iteration neu mit bisher erhaltenen Näherung als Startwert \rightarrow rs-Parameter = Neustart nach jeweils rs Schritten (Vorsicht: Gefahr der Stagnation !)

3.6.3.2 Verfahren mit kurzen Rekursionen



Idee: Gegeben $\mathbf{x}^{(0)} \in \mathbb{K}^n$ bestimme verbesserte Näherung $\mathbf{x}^{(l)}$ aus **Petrov-Galerkin-Bedingung**

$$\mathbf{x}^{(l)} \in \mathbf{x}^{(0)} + \mathcal{K}_l(\mathbf{A}, \mathbf{r}^{(0)}): \mathbf{p}^H(\mathbf{b} - \mathbf{Ax}^{(l)}) = 0 \quad \forall \mathbf{p} \in W_l,$$

mit geeignetem **Testraum** W_l , $\dim W_l = l$, z.B. $W_l := \mathcal{K}_l(\mathbf{A}^H, \mathbf{r}^{(0)})$ (\rightarrow bi-conjugate gradients, BiCG)

\blacktriangleright „Zoo“ von Verfahren mit kurzen Rekursionen (\rightarrow Lanczos-Prozess) für allgemeine Matrizen TEMPLATES94 $\mathbf{A} \in \mathbb{K}^{n,n}$, siehe [3].

MATLAB-Funktion:

- $[\mathbf{x}, \text{flag}, \mathbf{r}, \text{it}, \text{rv}] = \text{bicgstab}(\mathbf{A}, \mathbf{b}, \text{tol}, \text{maxit}, \mathbf{B}, [], \mathbf{x}_0)$
- $[...] = \text{bicgstab}(\mathbf{Afun}, \mathbf{b}, \text{tol}, \text{maxit}, \mathbf{Binvfun}, [], \mathbf{x}_0);$

Rechenaufwand: $2 \mathbf{A} \times \text{Vektor}, 2 \mathbf{B}^{-1} \times \text{Vektor}, 4 \text{ Skalarprodukte}, 6 \text{ SAXPYs pro Schritt}$
Specheraufwand: 8 Vektoren $\in \mathbb{K}^n$

MATLAB-Funktion:

- $[\mathbf{x}, \text{flag}, \mathbf{r}, \text{it}, \text{rv}] = \text{qmr}(\mathbf{A}, \mathbf{b}, \text{tol}, \text{maxit}, \mathbf{B}, [], \mathbf{x}_0)$
- $[...] = \text{qmr}(\mathbf{Afun}, \mathbf{b}, \text{tol}, \text{maxit}, \mathbf{Binvfun}, [], \mathbf{x}_0);$

Rechenaufwand: $2 \mathbf{A} \times \text{Vektor}, 2 \mathbf{B}^{-1} \times \text{Vektor}, 2 \text{ Skalarprodukte}, 12 \text{ SAXPYs pro Schritt}$
Specheraufwand: 10 Vektoren $\in \mathbb{K}^n$

Keine Garantie für Konvergenz bei diesen Verfahren:
Stagnation & Breakdowns „an der Tagesordnung“

Beispiel 138 (Versagen von Krylov-Raum basierten iterativen Lösen).

$$\mathbf{A} = \begin{pmatrix} 0 & 1 & 0 & \cdots & & \cdots & 0 \\ 0 & 0 & 1 & 0 & & & \vdots \\ \vdots & \ddots & \ddots & \ddots & & & \\ & & & \ddots & \ddots & \ddots & \vdots \\ & & & & \ddots & \ddots & 0 \\ 0 & & & & & 0 & 1 \\ 1 & 0 & \cdots & & \cdots & 0 & 0 \end{pmatrix}, \quad \mathbf{b} = \begin{pmatrix} 0 \\ \vdots \\ 0 \\ 1 \end{pmatrix} \quad \blacktriangleright \quad \mathbf{x} = \mathbf{e}_1.$$

$$\mathbf{x}^{(0)} = 0 \quad \Rightarrow \quad \mathbf{r}^{(0)} = \mathbf{e}_n \quad \Rightarrow \quad \mathcal{K}_l(\mathbf{A}, \mathbf{r}^{(0)}) = \text{Span}\{\mathbf{e}_n, \mathbf{e}_{n-1}, \dots, \mathbf{e}_{n-l+1}\}$$

$$\blacktriangleright \quad \min\{\|\mathbf{y} - \mathbf{x}\|_2 : \mathbf{y} \in \mathcal{K}_l(\mathbf{A}, \mathbf{r}^{(0)})\} = \begin{cases} 1, & \text{falls } l \leq n, \\ 0, & \text{für } l = n. \end{cases}$$

◇

Was soll der Anwender tun?

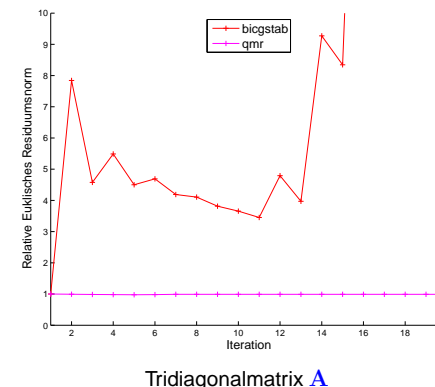
Ausprobieren („try and pray“)

Beispiel 139 (Konvergenz von Krylovverfahren für nichtsymmetrische Matrix).

```
A = gallery('tridiag', -0.5*ones(n-1,1), 2*ones(n,1), -1.5*ones(n-1,1));
B = gallery('tridiag', 0.5*ones(n-1,1), 2*ones(n,1), 1.5*ones(n-1,1));
```

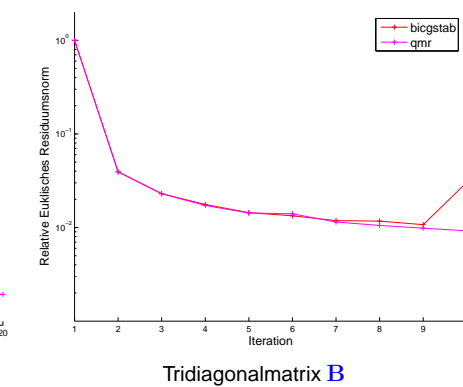
Plots zeigen $\|\mathbf{r}^{(l)}\|_2 : \|\mathbf{r}^{(0)}\|_2 :$

3.6
p. 317



Tridiagonalmatrix \mathbf{A}

3.6
p. 319



Tridiagonalmatrix \mathbf{B}

◇

3.7 Spezielle Matrizen

[File: section-specialmat.tex, SVN: section-specialmat.tex 1056 2006-10-18 15:52:41Z kalai]

3.6
p. 318

SPEZMAT
Spezielle Algorithmen für $n \times n$ -Matrizen mit $\mathcal{O}(n)$ Information (Bsp. \rightarrow Bandmatrizen)

3.7
p. 320

3.7.1 Diskrete Fouriertransformationen

DISKRETFOURIERTRAFO

$n \in \mathbb{N}$ fest $\Rightarrow n$. Einheitswurzel $\omega_n := \exp(-2\pi i/n) = \cos(2\pi i/n) - i \sin(2\pi i/n)$

$$\Rightarrow \omega_n^k = \omega_n^{k+n} \forall k \in \mathbb{Z}, \quad \omega_n^n = 1, \quad \omega_n^{n/2} = -1, \quad (3.7.1)$$

$$\sum_{k=0}^{n-1} \omega_n^{kj} = \begin{cases} n & , \text{ falls } j = 0, \\ 0 & , \text{ falls } j \neq 0. \end{cases} \quad (3.7.2)$$

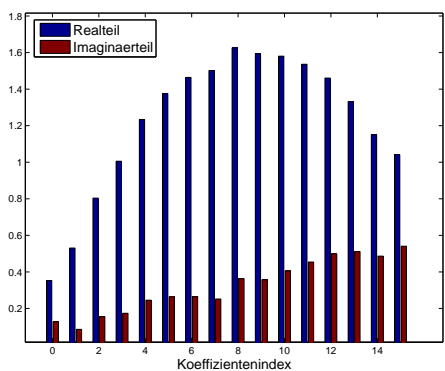
Eine Basistransformation in \mathbb{C}^n :

$$\text{Standardbasis des } \mathbb{K}^n \quad \text{Trigonometrische Basis}$$

$$\left\{ \begin{pmatrix} 1 \\ 0 \\ 1 \\ 0 \\ \vdots \\ 0 \\ 1 \\ 0 \end{pmatrix}, \dots, \begin{pmatrix} 0 \\ 1 \\ 0 \\ \vdots \\ 0 \\ 1 \\ 0 \\ 1 \end{pmatrix} \right\} \leftarrow \left\{ \begin{pmatrix} \omega_n^0 \\ \vdots \\ \omega_n^0 \\ \omega_n^1 \\ \vdots \\ \omega_n^{n-1} \\ \omega_n^{0(n-2)} \\ \vdots \\ \omega_n^{(n-1)(n-2)} \end{pmatrix}, \dots, \begin{pmatrix} \omega_n^0 \\ \vdots \\ \omega_n^{2(n-2)} \\ \omega_n^{2(n-1)} \\ \vdots \\ \omega_n^{(n-1)^2} \end{pmatrix} \right\}$$

Matrix der Basistransformation Trigonometrische Basis \rightarrow Standardbasis: **Fourier-Matrix**

$$\mathbf{F}_n = \begin{pmatrix} \omega_n^0 & \omega_n^0 & \dots & \omega_n^0 \\ \omega_n^0 & \omega_n^1 & \dots & \omega_n^{n-1} \\ \omega_n^0 & \omega_n^2 & \dots & \omega_n^{2n-2} \\ \vdots & \vdots & & \vdots \\ \omega_n^0 & \omega_n^{n-1} & \dots & \omega_n^{(n-1)^2} \end{pmatrix} = (\omega_n^{ij})_{i,j=0}^{n-1} \in \mathbb{C}^{n,n}. \quad (3.7.3)$$



Definition 3.7.1 (Diskrete Fouriertransformation). Die lineare Abbildung $\mathcal{F}_n : \mathbb{C}^n \mapsto \mathbb{C}^n$, $\mathcal{F}_n(\mathbf{y}) := \mathbf{F}_n \mathbf{y}$, $\mathbf{y} \in \mathbb{C}^n$, heisst **diskrete Fouriertransformation** (DFT), d.h. für $\mathbf{c} := \mathcal{F}_n(\mathbf{y})$

$$c_k = \sum_{j=0}^{n-1} y_j \omega_n^{kj}, \quad k = 0, \dots, n-1. \quad (3.7.4)$$

Konvention: Bei Diskussion der DFT: Vektorindizes laufen von 0 bis $n-1$.

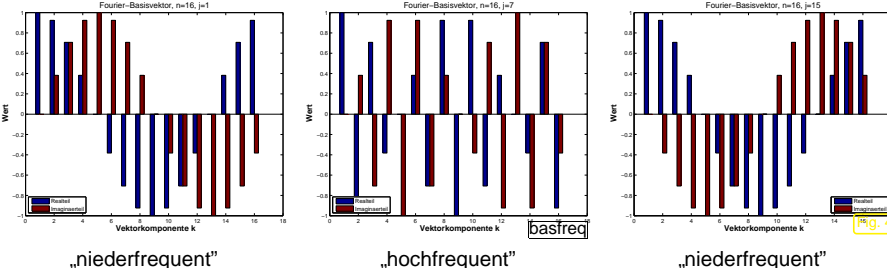
Lemma 3.7.2 (Abbildungseigenschaft der diskreten Fourier-Transformation). Die skalierte Fourier-Matrix $\frac{1}{\sqrt{n}} \mathbf{F}_n$ ist unitär: $\mathbf{F}_n^{-1} = \frac{1}{n} \mathbf{F}^H = \frac{1}{n} \overline{\mathbf{F}_n}$

MATLAB-Funktionen: $c = \text{fft}(\mathbf{y}) \leftrightarrow \mathbf{y} = \text{ifft}(c);$

Beispiel 140 (Frequenzanalyse mit DFT).

Einige Vektoren der Fourierbasis ($n = 16$): \rightarrow Fig. 3.7

3.7
p. 321



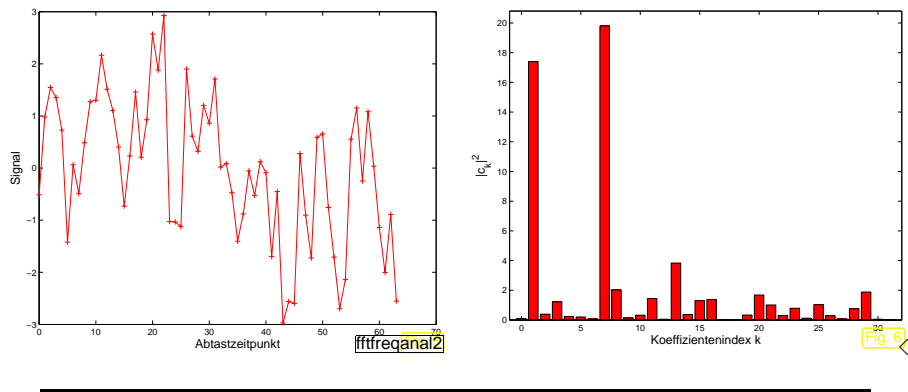
Extraktion charakteristischer Frequenzen aus gestörtem, zeitdiskretem und periodischem Signal:

```
t = 0:63; x = sin(2*pi*t/64)+sin(7*2*pi*t/64);
y = x + randn(size(t));
```

3.7
p. 322

3.7
p. 323

3.7
p. 324



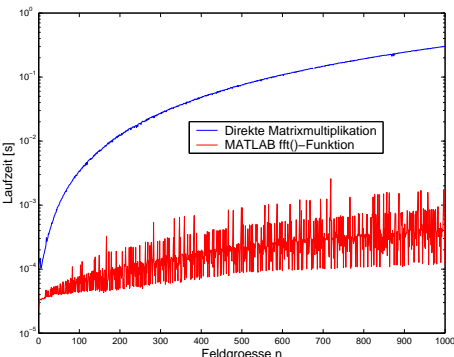
„Naive“ Auswertung von \mathbf{Fy} $\rightarrow O(n^2)$ Rechenoperationen

Beispiel 141 (Effizienz von fft).

tic-toc-Zeitmessung in MATLAB: Vergleich von fft und direkter Matrixmultiplikation
(MATLAB V6.5, Linux, Mobile Intel Pentium 4 - M CPU 2.40GHz, Minimum über 100 Runs)

MATLAB-CODE Naive DFT-Implementierung

```
c = zeros(n,1);
omega = exp(-2*pi*i/n);
c(1) = sum(y); s = omega;
for j=2:n
    c(j) = y(n);
    for k=n-1:-1:1
        c(j) = c(j)*s+y(k);
    end
    s = s*omega;
end
```

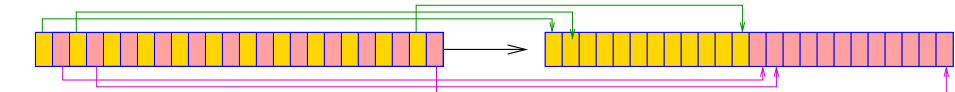


3.7.1.1 Schnelle Fouriertransformation

SCHNELLFOURAFO
„Milleniums-Algorithmus“ **Schnelle Fouriertransformation (FFT)** (C.F. Gauss, siehe [13])
http://orion.math.iastate.edu/burkardt/misc/algorithms_dongarra.html

Für $n = 2m, m \in \mathbb{N}$,

Permutation $P_m^{\text{OE}}(1, \dots, n) = (1, 3, \dots, n-1, 2, 4, \dots, n)$.



Wegen $\omega_n^{2j} = \omega_m^j$:

$$\text{Zeilenpermutation } P_m^{\text{OE}} \mathbf{F}_n = \left(\begin{array}{c|c} \mathbf{F}_m & \mathbf{F}_m \\ \hline \mathbf{F}_m \begin{pmatrix} \omega_n^0 & \omega_n^1 & \dots & \omega_n^{n/2-1} \end{pmatrix} & \mathbf{F}_m \begin{pmatrix} \omega_n^{n/2} & \omega_n^{n/2+1} & \dots & \omega_n^{n-1} \end{pmatrix} \\ \hline & \mathbf{F}_m \\ \hline & \mathbf{F}_m \end{array} \right) \left(\begin{array}{c|c} \mathbf{I} & \mathbf{I} \\ \hline \omega_n^0 & -\omega_n^0 \\ \omega_n^1 & -\omega_n^1 \\ \vdots & \vdots \\ \omega_n^{n/2-1} & -\omega_n^{n/2-1} \end{array} \right) =$$

3.7
p. 325

Beispiel 142 (Zerlegung der Fourier-Matrix).

$$P_5^{\text{OE}} \mathbf{F}_{10} = \frac{\begin{pmatrix} \omega^0 & \omega^0 \\ \omega^0 & \omega^2 & \omega^4 & \omega^6 & \omega^8 & \omega^0 & \omega^2 & \omega^4 & \omega^6 & \omega^8 \\ \omega^0 & \omega^4 & \omega^8 & \omega^2 & \omega^6 & \omega^0 & \omega^4 & \omega^8 & \omega^2 & \omega^6 \\ \omega^0 & \omega^6 & \omega^2 & \omega^8 & \omega^4 & \omega^0 & \omega^6 & \omega^2 & \omega^8 & \omega^4 \\ \omega^0 & \omega^8 & \omega^6 & \omega^4 & \omega^2 & \omega^0 & \omega^8 & \omega^6 & \omega^4 & \omega^2 \\ \omega^0 & \omega^1 & \omega^2 & \omega^3 & \omega^4 & \omega^5 & \omega^6 & \omega^7 & \omega^8 & \omega^9 \\ \omega^0 & \omega^3 & \omega^6 & \omega^9 & \omega^2 & \omega^5 & \omega^8 & \omega^1 & \omega^4 & \omega^7 \\ \omega^0 & \omega^5 & \omega^0 & \omega^5 & \omega^0 & \omega^5 & \omega^0 & \omega^5 & \omega^0 & \omega^5 \\ \omega^0 & \omega^7 & \omega^4 & \omega^1 & \omega^8 & \omega^5 & \omega^2 & \omega^9 & \omega^6 & \omega^3 \\ \omega^0 & \omega^9 & \omega^8 & \omega^7 & \omega^6 & \omega^5 & \omega^4 & \omega^3 & \omega^2 & \omega^1 \end{pmatrix}}{\omega^{10}}, \quad \omega := \omega_{10}.$$



Rekursive Implementierung für $n = 2^p, p \in \mathbb{N}$

3.7
p. 326

3.7
p. 327

„Teile-und-herrsche“ (engl. divide and conquer)

Rechenaufwand $O(n \log_2 n)$
MATLAB-FFT $\approx 5n \log_2 n$

(Auf Rekursionstiefe $0 \leq q < p$:

2^q Aufrufe, jeder 2^{p-q} Additionen,
 2^{p-q-1} Multiplikationen)

MATLAB-CODE Rekursiv Implementierung von FFT

```
function c = myfft(y)
n = length(y);
if (n == 1), c = y; return; end
omega = exp(-2*pi*i/n);
z = (omega.^((0:n-1)').*y);
c = [myfft(y(1:n/2)+y(n/2+1:n));...
       myfft(z(1:n/2)+z(n/2+1:n))];
c = reshape(reshape(c,n/2,2)',n,1);
```

FFT basierend auf allgemeiner Faktorisierung: $n = pq$, $p, q \in \mathbb{N}$ (Cooley-Tuckey-Algorithmus)

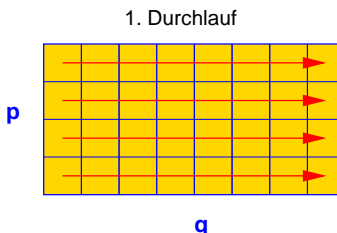
$$c_k = \sum_{j=0}^{n-1} y_j \omega_n^{jk} \stackrel{j=lp+m}{=} \sum_{m=0}^{p-1} \sum_{l=0}^{q-1} y_{lp+m} e^{-\frac{2\pi i}{pq}(lp+m)k} = \sum_{m=0}^{p-1} \omega_n^{mk} \sum_{l=0}^{q-1} y_{lp+m} \omega_q^{l(k \bmod q)} \quad (3.7.5)$$

► p DFTs der Länge q berechnen $z_{m,k} := \sum_{l=0}^{q-1} y_{lp+m} \omega_q^{lk}$, $0 \leq m < p$, $0 \leq k < q$.

► für $k =: rq + s$, $0 \leq r < p$, $0 \leq s < q$

$$c_{rq+s} = \sum_{m=0}^{p-1} e^{-\frac{2\pi i}{pq}(rq+s)m} z_{m,s} = \sum_{m=0}^{p-1} (\omega_n^{ms} z_{m,s}) \omega_p^{mr}$$

► q DFTs der Länge p berechnen alle c_k .



Aus dem MATLAB-Manual:

To compute an n -point DFT when n is composite (that is, when $n = pq$), the FFTW library decomposes the problem using the Cooley-Tukey algorithm, which first computes p transforms of size q , and then computes q transforms of size p . The decomposition is applied recursively to both the p - and q -point DFTs until the problem can be solved using one of several machine-generated fixed-size codelets. The codelets in turn use several algorithms in combination, including a variation of Cooley-Tukey, a prime factor algorithm, and a split-radix algorithm. The particular factorization of n is chosen heuristically.

The execution time for fft depends on the length of the transform. It is fastest for powers of two. It is almost as fast for lengths that have only small prime factors. It is typically several times slower for lengths that are prime or which have large prime factors → Bsp. 141.

Bemerkung 143 (Zweidimensionale diskrete Fouriertransformation).

Zu $y_{j_1,j_2} \in \mathbb{C}$, $0 \leq j_1 < n_1$, $0 \leq j_2 < n_2$ berechne (geschachtelte DFTs !)

$$c_{k_1,k_2} = \sum_{j_1=0}^{n_1-1} \sum_{j_2=0}^{n_2-1} y_{j_1,j_2} \omega_{n_1}^{j_1 k_1} \omega_{n_2}^{j_2 k_2}, \quad 0 \leq k_1 < n_1, 0 \leq k_2 < n_2.$$

MATLAB-Kommando: fft2(X)

RECHENBEISPIEL

Bemerkung 144 (Reelle DFT).

Aufgabe: Effiziente Berechnung der DFT (Def. 3.7.1) (c_0, \dots, c_{n-1}) für reelle Koeffizienten $(y_0, \dots, y_{n-1})^T \in \mathbb{R}^n$, $n = 2m$, $m \in \mathbb{N}$

Redundanz:

$$\omega_n^{(n-k)j} = \bar{\omega}_n^{kj}, \quad k = 0, \dots, n-1 \quad \Rightarrow \quad c_{n-k} = \bar{c}_k, \quad k = 1, \dots, n-1.$$

3.7
p. 329

3.7
p. 331

► Idee: Komplexifizierung & Rückführung auf DFT der Länge m .

$$h_k = \sum_{j=0}^{m-1} (y_{2j} + iy_{2j+1}) \omega_m^{jk} = \boxed{\sum_{j=0}^{m-1} y_{2j} \omega_m^{jk}} + i \cdot \boxed{\sum_{j=0}^{m-1} y_{2j+1} \omega_m^{jk}}, \quad (3.7.6)$$

$$\bar{h}_{m-k} = \sum_{j=0}^{m-1} \overline{y_{2j} + iy_{2j+1}} \bar{\omega}_m^{j(m-k)} = \boxed{\sum_{j=0}^{m-1} y_{2j} \omega_m^{jk}} - i \cdot \boxed{\sum_{j=0}^{m-1} y_{2j+1} \omega_m^{jk}}. \quad (3.7.7)$$

Spezialfall von (3.7.5) ($p = 2$):

$$c_k = \sum_{j=0}^{n-1} y_j \omega_n^{jk} = \boxed{\sum_{j=0}^{m-1} y_{2j} \omega_m^{jk}} + \omega_n^k \cdot \boxed{\sum_{j=0}^{m-1} y_{2j+1} \omega_m^{jk}}. \quad (3.7.8)$$

$$c_k = \frac{1}{2}(h_k + \bar{h}_{m-k}) - \frac{1}{2}i\omega_n^k(h_k - \bar{h}_{m-k}), \quad k = 0, \dots, m-1, \quad (3.7.9)$$

$$c_m = \operatorname{Re}\{h_0\} - \operatorname{Im} h_0,$$

$$c_k = \bar{c}_{n-k}, \quad k = m+1, \dots, n-1.$$

3.7
p. 330

3.7
p. 332

MATLAB-Implementierung
(auf der Grundlage
einer `fft`
der Länge $n/2$):

Ineffizient!

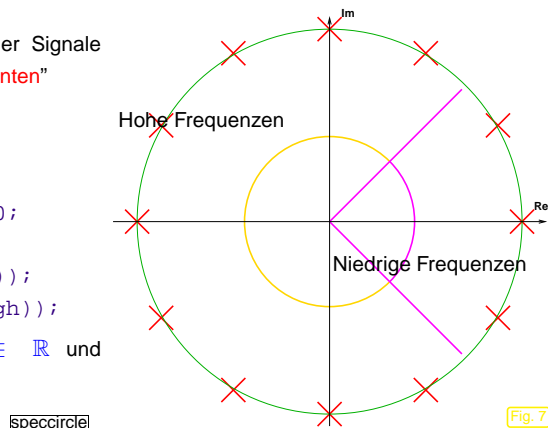
```
function c = fftreal(y)
n = length(y); m = n/2;
if (mod(n,2) ~= 0), error('n odd!'); end
y = y(1:2:n)+i*y(2:2:n);
h = fft(y); h = [h;h(1)];
c = 0.5*(h+conj(h(m+1:-1:1))) - ...
(0.5*i*[exp(-2*pi*i/n).^(0:m)').*...
(h-conj(h(m+1:-1:1)));
c = [c;conj(c(m:-1:2))];
```

FREQFILTDISKRSIG
Beispiel 145 (Frequenzfilterung diskreter Signale).

Frequenzfilterung diskreter periodischer Signale
durch Ausblenden von „Fourierkoeffizienten“

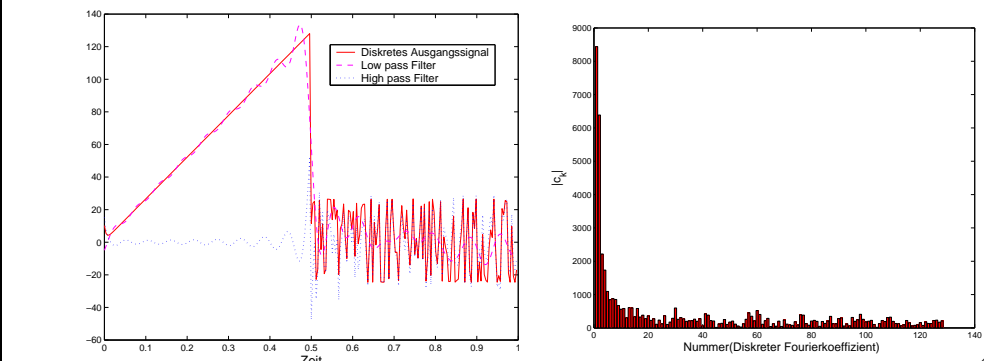
```
m = length(y)/2;
c = fft(y);
clow = c;
clow(m+1-k:m+1+k) = 0;
chigh = c-clow;
low = real(ifft(clow));
high = real(ifft(chigh));
```

(Optimierungspotential wegen $y_j \in \mathbb{R}$ und
 $c_{n/2-k} = \bar{c}_{n/2+k}$)



Konkretes Signal:

```
k = 110; n = 256; m = n/2;
y = [(1:m)'; ones(m,1)] + n/10*sin(exp([-1:m]'; (1:m)' ));
```



Übung 3.8. Implement an efficient routine `x=solvetrig(m,y)` for the solution of a linear system

3.7
p. 333

of equations $\mathbf{M}\mathbf{x} = \mathbf{y}$ for $\mathbf{y} \in \mathbb{C}^p$, $p = 2m + 1$, $m \in \mathbb{N}$, and

$$\mathbf{M} := \begin{pmatrix} 1 & 1 & 1 & \cdots & \cdots & 1 \\ \cos(\varphi_1) & \cos(\varphi_2) & \cos(\varphi_3) & \cdots & \cdots & \cos(\varphi_p) \\ \sin(\varphi_1) & \sin(\varphi_2) & \sin(\varphi_3) & \cdots & \cdots & \sin(\varphi_p) \\ \cos(2\varphi_1) & \cos(2\varphi_2) & \cos(2\varphi_3) & \cdots & \cdots & \cos(2\varphi_p) \\ \sin(2\varphi_1) & \sin(2\varphi_2) & \sin(2\varphi_3) & \cdots & \cdots & \sin(2\varphi_p) \\ \vdots & \vdots & \vdots & & & \vdots \\ \cos(m\varphi_1) & \cos(m\varphi_2) & \cos(m\varphi_3) & \cdots & \cdots & \cos(m\varphi_p) \\ \sin(m\varphi_1) & \sin(m\varphi_2) & \sin(m\varphi_3) & \cdots & \cdots & \sin(m\varphi_p) \end{pmatrix},$$

where $\varphi_j = \frac{2\pi}{p}(j-1)$, $j = 1, \dots, p$.

Hint: First compute $\mathbf{M}\mathbf{M}^T$ and establish that this yields a diagonal matrix.

3.8.0.2 Sinustransformation

SINTRAFO

Eine weitere trigonometrische Basistransformation in \mathbb{R}^{n-1} , $n \in \mathbb{N}$:

3.7
p. 334

3.8
p. 335

3.8
p. 336

Standardbasis des \mathbb{R}^{n-1}

$$\left\{ \begin{pmatrix} 1 \\ 0 \\ \vdots \\ 0 \end{pmatrix}, \begin{pmatrix} 0 \\ 1 \\ \vdots \\ 0 \end{pmatrix}, \dots, \begin{pmatrix} 0 \\ \vdots \\ 0 \\ 1 \end{pmatrix}, \begin{pmatrix} 0 \\ \vdots \\ 1 \end{pmatrix} \right\} \leftarrow \left\{ \begin{pmatrix} \sin(\frac{\pi}{n}) \\ \sin(\frac{2\pi}{n}) \\ \vdots \\ \sin(\frac{(n-1)\pi}{n}) \end{pmatrix}, \begin{pmatrix} \sin(\frac{2\pi}{n}) \\ \sin(\frac{4\pi}{n}) \\ \vdots \\ \sin(\frac{2(n-1)\pi}{n}) \end{pmatrix}, \dots, \begin{pmatrix} \sin(\frac{(n-1)\pi}{n}) \\ \sin(\frac{2(n-1)\pi}{n}) \\ \vdots \\ \sin(\frac{(n-1)^2\pi}{n}) \end{pmatrix} \right\}$$

„Sinusbasis“

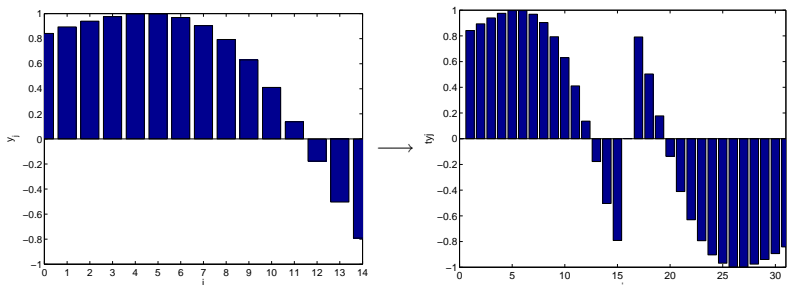
Matrix(Basistransformation Sinusbasis → Standardbasis): $\mathbf{S}_n := (\sin(jk\pi/n))_{j,k=1}^{n-1} \in \mathbb{R}^{n-1, n-1}$

Lemma 3.8.1 (Eigenschaften der Sinusmatrix). $\sqrt{2/n} \mathbf{S}_n$ ist reell, symmetrisch und unitär.

Sinustransformation: $s_k = \sum_{j=1}^{n-1} y_j \sin(\pi j k / n) \quad , \quad k = 1, \dots, n-1 . \quad (3.8.1)$

DFT-basierter Algorithmus zur Auswertung der Sinustransformation ($\hat{\mathbf{S}}_n$ Vektor):

„Wrap around“: $\tilde{\mathbf{y}} \in \mathbb{R}^{2n}$: $\tilde{y}_j = \begin{cases} y_j & , \text{falls } j = 1, \dots, n-1 , \\ 0 & , \text{falls } j = 0, n , \\ -y_{2n-j} & , \text{falls } j = n+1, \dots, 2n-1 . \end{cases}$ ($\tilde{\mathbf{y}}$ „punktssymmetrisch“)



$(\mathbf{F}_{2n}\tilde{\mathbf{y}})_k \stackrel{\text{Def.: DFT}}{=} \sum_{j=1}^{2n-1} \tilde{y}_j e^{-\frac{2\pi}{2n} kj}$

Wrap-around Implementierung
 function c = sinetrans(y)
 n = length(y)+1;
 yt = [0,y,0,-y(end:-1:1)];
 ct = fft(yt);
 c = -ct(2:n)/(2*i);
 MATLAB-CODE Sinustransformation

$= \sum_{j=1}^{n-1} y_j e^{-\frac{\pi}{n} kj} - \sum_{j=n+1}^{2n-1} y_{2n-j} e^{-\frac{\pi}{n} kj}$
 $= \sum_{j=1}^{n-1} y_j (e^{-\frac{\pi}{n} kj} - e^{\frac{\pi}{n} kj})$
 $= -2i (\mathbf{S}_n \mathbf{y})_k \quad , k = 1, \dots, n-1 .$

Bemerkung 146 (Sinustransformation per DFT halber Länge).

3.8 p. 337

Schritt ①: Transformation der Koeffizienten

$$\tilde{y}_j = \sin(j\pi/n)(y_j + y_{n-j}) + \frac{1}{2}(y_j - y_{n-j}) , \quad j = 1, \dots, n-1 , \quad \tilde{y}_0 = 0 .$$

3.8 p. 337

Schritt ②: Reelle DFT (\rightarrow Def. 3.7.1) von $(\tilde{y}_0, \dots, \tilde{y}_{n-1}) \in \mathbb{R}^n$: $c_k := \sum_{j=0}^{n-1} \tilde{y}_j e^{-\frac{2\pi i}{n} jk}$

► $\text{Re}\{c_k\} = \sum_{j=0}^{n-1} \tilde{y}_j \cos(-\frac{2\pi i}{n} jk) = \sum_{j=1}^{n-1} (y_j + y_{n-j}) \sin(\frac{\pi j}{n}) \cos(\frac{2\pi i}{n} jk)$
 $= \sum_{j=0}^{n-1} 2y_j \sin(\frac{\pi j}{n}) \cos(\frac{2\pi i}{n} jk) = \sum_{j=0}^{n-1} y_j \left(\sin(\frac{2k+1}{n}\pi j) - \sin(\frac{2k-1}{n}\pi j) \right)$
 $= s_{2k+1} - s_{2k-1} .$
 $\text{Im}\{c_k\} = \sum_{j=0}^{n-1} \tilde{y}_j \sin(-\frac{2\pi i}{n} jk) = - \sum_{j=1}^{n-1} \frac{1}{2}(y_j - y_{n-j}) \sin(\frac{2\pi i}{n} jk) = - \sum_{j=1}^{n-1} y_j \sin(\frac{2\pi i}{n} jk)$
 $= -s_{2k} .$

Schritt ③: Extraktion der s_k

$s_{2k+1} , \quad k = 0, \dots, \frac{n}{2}-1 \quad \blacktriangleright \quad \text{Aus Rekursion } s_{2k+1} - s_{2k-1} = \text{Re}\{c_k\} , \quad s_1 = \sum_{j=1}^{n-1} y_j \sin(\pi j/n)$
 $s_{2k} , \quad k = 1, \dots, \frac{n}{2}-2 \quad \blacktriangleright \quad s_{2k} = -\text{Im}\{c_k\} .$

3.8 p. 338

MATLAB-Implementierung (basierend auf einer `fft` der Länge $n/2$):

3.8 p. 339

3.8 p. 340

MATLAB-CODE Sinustransformation

```

function s = sinetrans(y)
n = length(y)+1;
sinevals = imag(exp(i*pi/n).^(1:n-1));
yt = [0 (sinevals.*(y+y(end:-1:1)) + 0.5*(y-y(end:-1:1)))];
c = fftreal(yt);
s(1) = dot(sinevals,y);
for k=2:N-1
if (mod(k,2) == 0), s(k) = -imag(c(k/2+1));
else, s(k) = s(k-2) + real(c((k-1)/2+1)); end
end

```

ANWENDUNGSRAFO

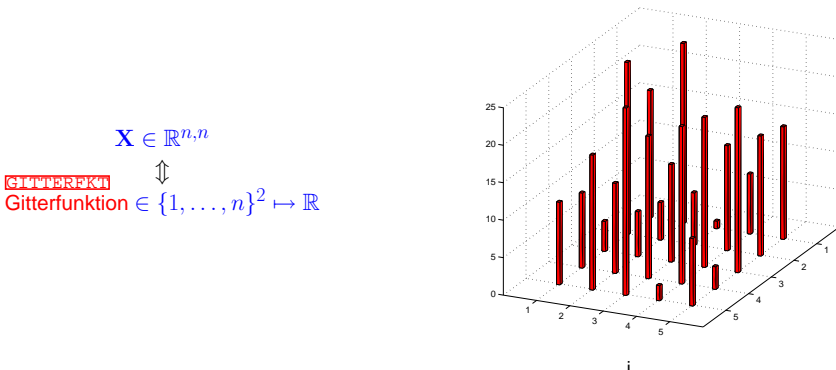
Anwendung: Diagonalisierung lokaler translationsinvarianter linearer Operatoren

REINFORCERSTERN

5-Punkt-Stern-Operator auf $\mathbb{R}^{n,n}$, $n \in \mathbb{N}$, in Gitterdarstellung:

$$T : \mathbb{R}^{n,n} \mapsto \mathbb{R}^{n,n}, \quad (T(\mathbf{X}))_{ij} := cx_{ij} + cyx_{i,j+1} + cyx_{i,j-1} + cx_{i+1,j} + cx_{i-1,j}$$

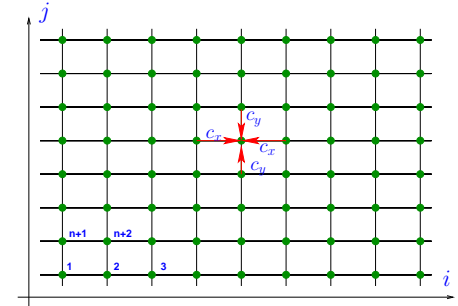
mit $c, c_y, c_x \in \mathbb{R}$, Konvention: $x_{ij} := 0$ für $(i, j) \notin \{1, \dots, n\}^2$.



Identifikation $\mathbb{R}^{n,n} \cong \mathbb{R}^{n^2}$, $x_{ij} \sim \tilde{x}_{(j-1)n+i}$ \Rightarrow Matrixdarstellung $\mathbf{T} \in \mathbb{R}^{n^2, n^2}$ von T :

$$\mathbf{T} = \begin{pmatrix} \mathbf{C} & c_y \mathbf{I} & 0 & \cdots & \cdots & 0 \\ c_y \mathbf{I} & \mathbf{C} & c_y \mathbf{I} & & & \vdots \\ 0 & \ddots & \ddots & \ddots & & \\ \vdots & & c_y \mathbf{I} & \mathbf{C} & c_y \mathbf{I} & \\ 0 & \cdots & \cdots & 0 & c_y \mathbf{I} & \mathbf{C} \end{pmatrix} \in \mathbb{R}^{n^2, n^2},$$

$$\mathbf{C} = \begin{pmatrix} c & c_x & 0 & \cdots & \cdots & 0 \\ c_x & c & c_x & & & \vdots \\ 0 & \ddots & \ddots & \ddots & & \\ \vdots & & c_x & c & c_x & \\ 0 & \cdots & \cdots & 0 & c_x & c \end{pmatrix} \in \mathbb{R}^{n, n}.$$



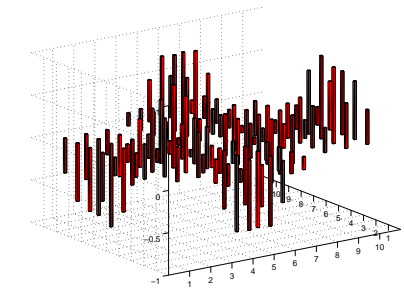
Sinusbasis von $\mathbb{R}^{n,n}$:

$$\mathbf{B}^{kl} = (\sin(\frac{\pi}{n+1}ki) \sin(\frac{\pi}{n+1}lj))_{i,j=1}^n. \quad (3.8.2)$$

$n = 10$: Gitterfunktion $\mathbf{B}^{2,3}$

3.8

p. 341



3.8

p. 343

$$(T(\mathbf{B}^{kl}))_{ij} = c \sin(\frac{\pi}{n}ki) \sin(\frac{\pi}{n}lj) + c_y \sin(\frac{\pi}{n}ki) (\sin(\frac{\pi}{n+1}l(j-1)) + \sin(\frac{\pi}{n+1}l(j+1))) + c_x \sin(\frac{\pi}{n}lj) (\sin(\frac{\pi}{n+1}k(i-1)) + \sin(\frac{\pi}{n+1}k(i+1))) = \sin(\frac{\pi}{n}ki) \sin(\frac{\pi}{n}lj) (c + 2c_y \cos(\frac{\pi}{n+1}l) + 2c_x \cos(\frac{\pi}{n+1}k))$$

$\blacktriangleright \mathbf{B}^{kl}$ ist Eigenvektor von $T \leftrightarrow \mathbf{T}$ zum Eigenwert $c + 2c_y \cos(\frac{\pi}{n+1}l) + 2c_x \cos(\frac{\pi}{n+1}k)$

Algorithmus für Basistransformation:

$$\mathbf{X} = \sum_{k=1}^n \sum_{l=1}^n y_{kl} \mathbf{B}^{kl} \Rightarrow x_{ij} = \sum_{k=1}^n \sin(\frac{\pi}{n+1}ki) \sum_{l=1}^n y_{kl} \sin(\frac{\pi}{n+1}lj).$$

MATLAB-CODE Zweidimensionaler Sinustr.

```

function C = sinft2d(Y)
[m,n] = size(Y);
C = fft([zeros(1,n); Y; ... zeros(1,n); ... -Y(end:-1:1,:)]);
C = i*C(2:m+1,:)/2;
C = fft([zeros(1,m); C; ... zeros(1,m); ... -C(end:-1:1,:)]);
C = i*C(2:n+1,:)/2;

```

3.8

p. 342

\blacktriangleright Geschachtelte Sinustransformationen (\rightarrow Bem. 3.8.1) angewandt auf Zeilen/Spalten von $\mathbf{Y} = (y_{kl})_{k,l=1}^n$

Hier: Implementierung der Sinustransformation (3.8.1) mit „wrapping“-Technik

3.8

p. 344

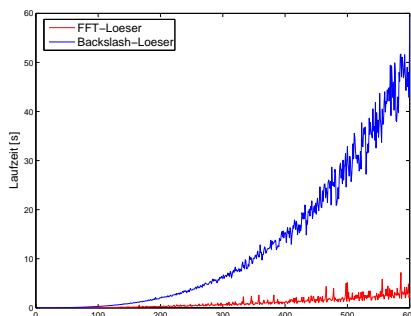
```
MATLAB-CODE FFT-basiertes Lösen aus lokalen  

function X = fftsolve(B,c,cx,cy)
[m,n] = size(B);
[I,J] = meshgrid(1:m,1:n);
X = 4*sinft2d(sinft2d(B)...
    ./(c+2*cx*cos(pi/(n+1)*I)+...
        2*cy*cos(pi/(m+1)*J))...
    /((m+1)*(n+1));
translationsinvarianten linearer Operatoren
```

Beispiel 147 (Effizienz FFT-basierter Gleichungslöser).

tic-toc-Zeitmessung (MATLAB V7, Linux, Intel Pentium 4 Mobile CPU 1.80GHz)

```
A = gallery('poisson',n);
B = magic(n);
b = reshape(B,n*n,1);
tic;
C = fftsolve(B,4,-1,-1);
t1 = toc;
tic; x = A\b; t2 = toc;
```



◇

p. 345

3.8.0.3 Kosinustransformation

COSTRANS

Noch eine trigonometrische Basistransformation im \mathbb{R}^n , $n \in \mathbb{N}$:

$$\left\{ \begin{pmatrix} 1 \\ 0 \\ \vdots \\ 0 \end{pmatrix}, \begin{pmatrix} 0 \\ 1 \\ \vdots \\ 0 \end{pmatrix}, \dots, \begin{pmatrix} 0 \\ \vdots \\ 0 \\ 1 \end{pmatrix}, \begin{pmatrix} 0 \\ \vdots \\ 0 \\ 0 \end{pmatrix} \right\} \leftarrow \left\{ \begin{pmatrix} 2^{-1/2} \\ \cos(\frac{\pi}{2n}) \\ \cos(\frac{3\pi}{2n}) \\ \vdots \\ \cos(\frac{(n-1)\pi}{2n}) \end{pmatrix}, \begin{pmatrix} 2^{-1/2} \\ \cos(\frac{3\pi}{2n}) \\ \cos(\frac{6\pi}{2n}) \\ \vdots \\ \cos(\frac{3(n-1)\pi}{2n}) \end{pmatrix}, \dots, \begin{pmatrix} 2^{-1/2} \\ \cos(\frac{(2n-1)\pi}{2n}) \\ \cos(\frac{2(2n-1)\pi}{2n}) \\ \vdots \\ \cos(\frac{(n-1)(2n-1)\pi}{2n}) \end{pmatrix} \right\}$$

Matrix(Basistransformation Kosinusbasis → Standardbasis):

$$\mathbf{C}_n = (c_{ij}) \in \mathbb{R}^{n,n} \quad \text{mit} \quad c_{ij} = \begin{cases} 2^{-1/2} & , \text{falls } i = 1, \\ \cos((i-1)\frac{2j-1}{2n}\pi) & , \text{falls } i > 1. \end{cases}$$

Lemma 3.8.2 (Eigenschaften der Kosinusmatrix). $\sqrt{2/n} \mathbf{C}_n$ ist reell und unitär (aber nicht symmetrisch).

Diagonalisierung von \mathbf{T}
durch 2D Sinustransformation

Effizienter Algorithmus
zum Lösen des LGS $\mathbf{T}(\mathbf{X}) = \mathbf{B}$
Rechenaufwand $O(n^2 \log n)$

Kosinustransformation: $c_k = \sum_{j=0}^{n-1} y_j \cos(k \frac{2j+1}{2n}\pi)$, $k = 1, \dots, n-1$, (3.8.3) [fftcosf1](#)

$$c_0 = \frac{1}{\sqrt{2}} \sum_{j=0}^{n-1} y_j.$$

MATLAB-Implementierung von $\mathbf{C}\mathbf{y}$ („Wrapping“-Technik)

MATLAB-CODE Kosinustransformation

```
function c = costrans(y)
n = length(y);
z = fft([y,y(end:-1:1)]);
c = real([z(1)/(2*sqrt(2)), ...
    0.5*(exp(-i*pi/(2*n)).^(1:n-1).*z(2:n))]);
```

MATLAB-Implementierung von $\mathbf{C}^{-1}\mathbf{y}$ („Wrapping“-Technik):

MATLAB-CODE Inverse Kosinustransformation

```
function y=icostrans(c)
n = length(c);
y = [sqrt(2)*c(1), (exp(i*pi/(2*n)).^(1:n-1).*c(2:end));
y = ifft([y,0,conj(y(end:-1:2))]);
y = 2*y(1:n);
```

3.8.1 Zirkulante Matrizen

ZIRKMAT

Folge $(x_k)_{k \in \mathbb{Z}} = (\dots, x_{-2}, x_{-1}, x_0, x_1, x_2, \dots)$ ist n -periodisch, wenn $x_k = x_{n+k} \forall k \in \mathbb{Z}$.
(→ festgelegt durch x_0, \dots, x_{n-1})

IV Definition 3.8.3. Die **diskrete Faltung** (engl. discrete convolution) zweier n -periodischer Folgen $(x_k)_{k \in \mathbb{Z}}, (y_k)_{k \in \mathbb{Z}} \rightarrow n$ -periodische Folge

$$z_k := (x_k) * (y_k) := \sum_{j=0}^{n-1} x_{k-j} y_j = (y_k) * (x_k) := \sum_{j=0}^{n-1} y_{k-j} x_j, \quad k \in \mathbb{Z}.$$

3.8
p. 346

$$\begin{pmatrix} z_0 \\ \vdots \\ z_{n-1} \end{pmatrix} = \begin{pmatrix} x_0 & x_{n-1} & x_{n-2} & \cdots & \cdots & x_1 \\ x_1 & x_0 & x_{n-1} & & & \vdots \\ x_2 & x_1 & x_0 & \ddots & & \\ \vdots & \ddots & \ddots & \ddots & \ddots & \\ & \ddots & \ddots & \ddots & \ddots & \\ x_{n-1} & \cdots & & & x_1 & x_0 \end{pmatrix} \begin{pmatrix} y_0 \\ \vdots \\ y_{n-1} \end{pmatrix}$$

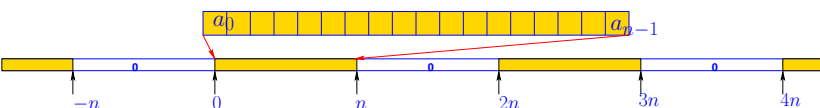
3.8
p. 347

Beispiel 148 (Multiplikation von Polynomen).

$$p(z) = \sum_{j=0}^{n-1} a_j z^j, \quad q(z) = \sum_{j=0}^{n-1} b_j z^j \quad \Rightarrow \quad (pq)(z) = \sum_{j=0}^{2n-2} \left(\sum_{k=0}^j a_k b_{j-k} \right) z^j.$$

Konstruiere $2n - 1$ -periodische Koeffizientenfolgen

$$x_k := \begin{cases} a_k & , \text{ falls } 0 \leq k < n , \\ 0 & , \text{ falls } n \leq k < 2n - 1 \end{cases}, \quad y_k := \begin{cases} b_k & , \text{ falls } 0 \leq k < n , \\ 0 & , \text{ falls } n \leq k < 2n - 1 \end{cases}.$$



\Rightarrow k. Koeffizient von pq : $c_j = ((x_k) * (y_k))_j$, $j = 0, \dots, 2n - 2$.

◇

ZIRKULANT

Definition 3.8.4 (Zirkulante Matrix).

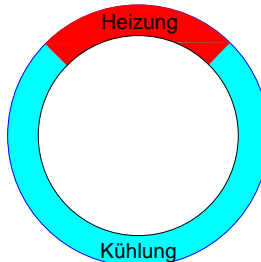
Matrix $\mathbf{C} = (c_{ij})_{i,j=1}^n \in \mathbb{K}^{n,n}$ = zirkulant: $\Leftrightarrow \exists (u_k)_{k \in \mathbb{Z}}$ n -periodisch: $c_{ij} = u_{i-j}$, $1 \leq i, j \leq n$.

- ☞ Zirkulante Matrix hat konstante (Neben-)Diagonalen $i-j = \text{const.}$
- ☞ Zeilen zyklisch verschoben.

$$\begin{pmatrix} u_0 & u_1 & u_2 & \cdots & & \cdots & u_{n-1} \\ u_{n-1} & u_0 & & & & & u_{n-2} \\ u_{n-2} & & \ddots & & & & \vdots \\ \vdots & & & \ddots & & & \vdots \\ u_1 & \cdots & & \cdots & u_{n-1} & u_0 \end{pmatrix}$$

STRAHLTRANSP.

Beispiel 149 (Strahlungstransport).

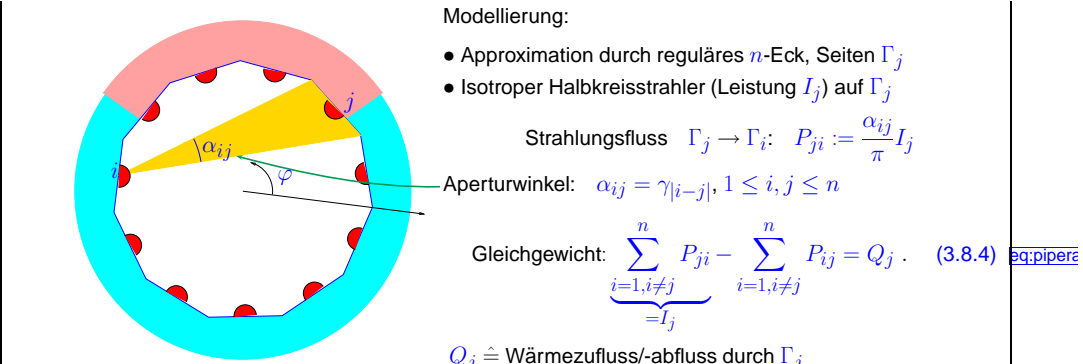


Zylindrisches Rohr:

Heizung auf Teilen Γ_H des Umfangs (\rightarrow Wärmefluss vorgegeben)

Kühlung auf restlichem Umfang Γ_K (\rightarrow konstanter Wärmeabfluss)

Zu berechnen: Lokaler Wärmefluss



Modellierung:

- Approximation durch reguläres n -Eck, Seiten Γ_j
- Isotroper Halbkreisstrahler (Leistung I_j) auf Γ_j

Strahlungsfluss $\Gamma_j \rightarrow \Gamma_i$: $P_{ji} := \frac{\alpha_{ij}}{\pi} I_j$

Aperturwinkel: $\alpha_{ij} = \gamma_{|i-j|}$, $1 \leq i, j \leq n$

$$\text{Gleichgewicht: } \underbrace{\sum_{i=1, i \neq j}^n P_{ji}}_{=I_j} - \underbrace{\sum_{i=1, i \neq j}^n P_{ij}}_{=I_j} = Q_j. \quad (3.8.4)$$

$Q_j \hat{=} \text{Wärmezufuss/-abfluss durch } \Gamma_j$

$$Q_j := \int_{\frac{2\pi}{n}(j-1)}^{\frac{2\pi}{n}j} q(\varphi) d\varphi, \quad q(\varphi) := \begin{cases} \text{lokale Heizleistung} & , \text{ falls } \varphi \in \Gamma_H , \\ \frac{1}{|\Gamma_K|} \int_{\Gamma_H} q(\varphi) d\varphi & , \text{ falls } \varphi \in \Gamma_K . \end{cases}$$

$$\stackrel{(3.8.4)}{\Rightarrow} \text{LGS: } I_j - \sum_{i=1, i \neq j}^n \frac{\alpha_{ij}}{\pi} I_i = Q_j, \quad j = 1, \dots, n.$$

3.8

p. 349

3.8

p. 351

$$n = 8: \quad \begin{pmatrix} 1 & -\gamma_1 & -\gamma_2 & -\gamma_3 & -\gamma_4 & -\gamma_3 & -\gamma_2 & -\gamma_1 \\ -\gamma_1 & 1 & -\gamma_1 & -\gamma_2 & -\gamma_3 & -\gamma_4 & -\gamma_3 & -\gamma_2 \\ -\gamma_2 & -\gamma_1 & 1 & -\gamma_1 & -\gamma_2 & -\gamma_3 & -\gamma_4 & -\gamma_3 \\ -\gamma_3 & -\gamma_2 & -\gamma_1 & 1 & -\gamma_1 & -\gamma_2 & -\gamma_2 & -\gamma_4 \\ -\gamma_4 & -\gamma_3 & -\gamma_2 & -\gamma_1 & 1 & -\gamma_1 & -\gamma_2 & -\gamma_3 \\ -\gamma_3 & -\gamma_4 & -\gamma_3 & -\gamma_2 & -\gamma_1 & 1 & -\gamma_1 & -\gamma_2 \\ -\gamma_2 & -\gamma_3 & -\gamma_4 & -\gamma_3 & -\gamma_2 & -\gamma_1 & 1 & -\gamma_1 \\ -\gamma_1 & -\gamma_2 & -\gamma_3 & -\gamma_4 & -\gamma_3 & -\gamma_2 & -\gamma_1 & 1 \end{pmatrix} \begin{pmatrix} I_1 \\ I_2 \\ I_3 \\ I_4 \\ I_5 \\ I_6 \\ I_7 \\ I_8 \end{pmatrix} = \begin{pmatrix} Q_1 \\ Q_2 \\ Q_3 \\ Q_4 \\ Q_5 \\ Q_6 \\ Q_7 \\ Q_8 \end{pmatrix}$$

\Rightarrow Symmetrische, zirkulante, singuläre, positiv semidefinite (\rightarrow Lemma 3.4.7) Koeffizientenmatrix

Effiziente Algorithmen für zirkulante Matrizen:

Sei $\mathbf{C} \in \mathbb{C}^{n,n}$ zirkulante Matrix (\rightarrow Def. 3.8.4) $c_{ij} \stackrel{\text{def: zirmat}}{=} u_{i-j}$, $(u_k)_{k \in \mathbb{Z}}$ = n -periodische Folge
 $\mathbf{v}_k := (\omega_n^{-jk})_{j=0}^{n-1} \in \mathbb{C}^n$, $k = 0, \dots, n-1$ ($= k$. Spalte der Fourier-Matrix $\bar{\mathbf{F}}_n = n \mathbf{F}_n^{-1}$)

3.8

p. 350

3.8

p. 352

$$(\mathbf{Cv}_k)_j = \sum_{l=0}^{n-1} u_{j-l} \omega_n^{-lk} = \sum_{l=0}^{n-1} u_l \omega_n^{(l-j)k} = \omega_n^{-jk} \left(\sum_{l=0}^{n-1} u_l \omega_n^{lk} \right) = \lambda_k \omega_n^{-jk}.$$

unabhängig von j !

\mathbf{v}_k ist Eigenvektor von \mathbf{C} zum Eigenwert $\lambda_k = \sum_{l=0}^{n-1} u_l \omega_n^{lk} = (\mathbf{F}_n \mathbf{u})_k$.

Lemma 3.8.5 (Diagonalisierung zirkulanter Matrizen (\rightarrow Def. 3.8.4)). Für jede zirkulante Matrix $\mathbf{C} \in \mathbb{K}^{n,n}$, $c_{ij} = u_{i-j}$, $(u_k)_{k \in \mathbb{Z}}$ n -periodische Folge, gilt

$$\mathbf{CF}_n = \overline{\mathbf{F}}_n \operatorname{diag}(d_1, \dots, d_n), \quad \mathbf{d} = \mathbf{F}_n(u_0, \dots, u_{n-1})^T.$$

Beachte:

$$\overline{\mathbf{F}}_n = n\mathbf{F}_n^{-1} \quad \Rightarrow \quad \mathbf{C} = \mathbf{F}_n^{-1} \operatorname{diag}(d_1, \dots, d_n) \mathbf{F}_n$$

► Effizienter Algorithmus zur Berechnung der diskreten Faltung (\rightarrow Def. 3.8.3) zweier n -periodischer Folgen $(x_k)_{k \in \mathbb{Z}}, (y_k)_{k \in \mathbb{Z}}$:

```
function z=conv(x,y)
n = length(y); z = zeros(n,1);
for i=1:n
    z(i)=dot(conj(x),...
        y([i:-1:1,n:-1:i+1]));
end
MATLAB-CODE Naive Diskrete Faltung
```

Gedankenlos: Aufwand $O(n^2)$

```
function z=conv(x,y)
z = ifft(fft(x).*fft(y));
MATLAB-CODE FFT-basierte diskrete Faltung
```

Professionell: Aufwand $O(n \log n)$

► Effizienter FFT-basierter Algorithmus zur Invertierung einer zirkulanten Matrix

Bemerkung 150 (Primzahl-FFT).

Aus dem MATLAB-Manual:

When n is a prime number, the FFTW library first decomposes an n -point problem into three $(n-1)$ -point problems using Rader's algorithm [37]. It then uses the Cooley-Tukey decomposition described above to compute the $(n-1)$ -point DFTs.

Ein Satz aus der Zahlentheorie:

$$\forall p \in \mathbb{N} \text{ prim } \exists g \in \{1, \dots, p-1\}: \{g^k \pmod{p} : k = 1, \dots, p-1\} = \{1, \dots, p-1\}.$$

► Permutation $P_{p,g} : \{1, \dots, p-1\} \mapsto \{1, \dots, p-1\}$, $P_{p,g}(k) = g^k \pmod{p}$.
Spiegelpermutation $P_k : \{1, \dots, k\} \mapsto \{1, \dots, k\}$, $P_k(i) = k - i + 1$.

Für Fouriermatrix $\mathbf{F} = (f_{ij})_{i,j=1}^p$: $P_{p-1} P_{p,g} (f_{ij})_{i,j=2}^p P_{p,g}^T$ ist zirkulant

3.8
p. 353

Beispiel für $p = 13$: $g = 2$, Permutation: (2 4 8 3 6 12 11 9 5 10 7 1).

$$\begin{array}{cccccccccccccc} \omega^0 & \omega^0 \\ \omega^0 & \omega^2 & \omega^4 & \omega^8 & \omega^3 & \omega^6 & \omega^{12} & \omega^{11} & \omega^9 & \omega^5 & \omega^{10} & \omega^7 & \omega^1 \\ \omega^0 & \omega^1 & \omega^2 & \omega^4 & \omega^8 & \omega^3 & \omega^6 & \omega^{12} & \omega^{11} & \omega^9 & \omega^5 & \omega^{10} & \omega^7 \\ \omega^0 & \omega^7 & \omega^1 & \omega^2 & \omega^4 & \omega^8 & \omega^3 & \omega^6 & \omega^{12} & \omega^{11} & \omega^9 & \omega^5 & \omega^{10} \\ \omega^0 & \omega^{10} & \omega^7 & \omega^1 & \omega^2 & \omega^4 & \omega^8 & \omega^3 & \omega^6 & \omega^{12} & \omega^{11} & \omega^9 & \omega^5 \\ \omega^0 & \omega^5 & \omega^{10} & \omega^7 & \omega^1 & \omega^2 & \omega^4 & \omega^8 & \omega^3 & \omega^6 & \omega^{12} & \omega^{11} & \omega^9 \\ \omega^0 & \omega^9 & \omega^5 & \omega^{10} & \omega^7 & \omega^1 & \omega^2 & \omega^4 & \omega^8 & \omega^3 & \omega^6 & \omega^{12} & \omega^{11} \\ \omega^0 & \omega^{11} & \omega^9 & \omega^5 & \omega^{10} & \omega^7 & \omega^1 & \omega^2 & \omega^4 & \omega^8 & \omega^3 & \omega^6 & \omega^{12} \\ \omega^0 & \omega^{12} & \omega^{11} & \omega^9 & \omega^5 & \omega^{10} & \omega^7 & \omega^1 & \omega^2 & \omega^4 & \omega^8 & \omega^3 & \omega^6 \\ \omega^0 & \omega^6 & \omega^{12} & \omega^{11} & \omega^9 & \omega^5 & \omega^{10} & \omega^7 & \omega^1 & \omega^2 & \omega^4 & \omega^8 & \omega^3 \\ \omega^0 & \omega^3 & \omega^6 & \omega^{12} & \omega^{11} & \omega^9 & \omega^5 & \omega^{10} & \omega^7 & \omega^1 & \omega^2 & \omega^4 & \omega^8 \\ \omega^0 & \omega^8 & \omega^3 & \omega^6 & \omega^{12} & \omega^{11} & \omega^9 & \omega^5 & \omega^{10} & \omega^7 & \omega^1 & \omega^2 & \omega^4 \\ \omega^0 & \omega^4 & \omega^8 & \omega^3 & \omega^6 & \omega^{12} & \omega^{11} & \omega^9 & \omega^5 & \omega^{10} & \omega^7 & \omega^1 & \omega^2 \end{array}$$

$\mathbf{F}_{13} \longrightarrow$

3.8
p. 354

Übung 3.9. Gegeben sei die Matrix $\mathbf{A} = (a_{lm})_{l,m=0}^{n-1} \in \mathbb{R}^{n,n}$, $n \in \mathbb{N}$. Zu berechnen sind die Werte

$$f_k := \sum_{l=0}^k a_{l,k-l} x_l y_{k-l}, \quad k = 0, \dots, n-1, \quad (3.9.1) \quad \text{eq:k}$$

für beliebige Vektoren $\mathbf{x} := (x_0, \dots, x_{n-1})^T \in \mathbb{R}^n$, $\mathbf{y} := (y_0, \dots, y_{n-1})^T \in \mathbb{R}^n$.

3.8
p. 355

3.9
p. 356

- (i) Schreibe eine MATLAB-Funktion `function f = compf(A,x,y)`, die die f_k gemäss (3.9.1) berechnet.
- (ii) Was ist die asymptotische Komplexität von `compf` bzgl. n ?
- (iii) Entwickle eine effiziente Implementierung der Funktion `function f = compflr(p,q,x,y)` die `compf` für $A = pq^T$, $p,q \in \mathbb{R}^n$, realisiert (Hinweis: Beispiel 148)
- (iv) Was ist die asymptotische Komplexität von `compflr` bzgl. n ?

Identifikationsproblem = Gesucht: $\mathbf{x} \in \mathbb{R}^n$ so, dass

$$\|\mathbf{Ax} - \mathbf{y}\|_2 = \left\| \begin{pmatrix} u_0 & u_{-1} & \cdots & \cdots & u_{-n} \\ u_1 & u_0 & u_{-1} & \cdots & \vdots \\ \vdots & u_1 & u_0 & \ddots & \vdots \\ & & \ddots & \ddots & \vdots \\ u_{n-1} & & & u_1 & u_0 \\ u_n & u_{n-1} & & u_1 & \vdots \\ \vdots & & & \ddots & \vdots \\ u_{m-1} & \cdots & & \cdots & u_{m-n} \end{pmatrix} \begin{pmatrix} x_1 \\ \vdots \\ x_n \end{pmatrix} - \begin{pmatrix} y_0 \\ \vdots \\ y_{m-1} \end{pmatrix} \right\|_2 \rightarrow \min .$$

➤ Lineares Ausgleichsproblem, → Abschnitt 3.5, mit Toeplitz-Matrix \mathbf{A} : $a_{ij} = u_{i-j}$.

Matrix der Normalengleichungen (\rightarrow Abschnitt 3.5.2)

$$\mathbf{M} := \mathbf{A}^H \mathbf{A}, \quad m_{ij} = \sum_{k=1}^m u_{k-i} u_{k-j} = z_{i-j} \text{ wegen Periodizität der Folge } (u_k)_{k \in \mathbb{Z}} .$$

➤ $\mathbf{M} \in \mathbb{R}^{n,n}$ ist ebenfalls Toeplitz-Matrix & symmetrisch positiv semi-definit.

3.9

p. 357

Beispiel 152 (Lineare Regression bei stationären Markov-Ketten).

Folge von Zufallsvariablen: $(y_k)_{k \in \mathbb{Z}}$ = Markov-Kette mit zeitunabhängiger Korrelation

$$\text{Erwartungswert } E(y_{i-j} y_{i-k}) = u_{k-j} \quad \forall i, j, k \in \mathbb{Z}, \quad u_i = u_{-i} .$$

Modell: Linearer Zusammenhang

$$\exists \mathbf{x} = (x_1, \dots, x_n)^T \in \mathbb{R}^n: \quad y_k = \sum_{j=1}^n x_j y_{k-j} \quad \forall k \in \mathbb{Z} .$$

mit zu schätzenden Koeffizienten $x_j, j = 1, \dots, n$: Für festes $i \in \mathbb{Z}$

$$\mathbf{x} = \underset{\mathbf{x} \in \mathbb{R}^n}{\operatorname{argmax}} E \left| y_i - \sum_{j=1}^n x_j y_{i-j} \right|^2 \quad \Rightarrow \quad E |y_i|^2 - 2 \sum_{j=1}^n x_j u_{k-j} + \sum_{k,j=1}^n x_k x_j u_{k-j} \rightarrow \max .$$

➤ $\mathbf{x}^T \mathbf{A} \mathbf{x} - \mathbf{b}^T \mathbf{x} \rightarrow \max$ mit $\mathbf{b} = (u_k)_{k=1}^n$, $\mathbf{A} = (u_{i-j})_{i,j=1}^n$.

Kovarianzmatrix \mathbf{A} ist s.p.d. Toeplitz-Matrix, \mathbf{x} Lösung der Yule-Walker-Gleichung $\mathbf{A} \mathbf{x} = \mathbf{b}$.

3.9.1.1 Toeplitz-Matrix-Arithmetik

TOEPMATHARITH

3.9
p. 358

Gegeben: Toeplitz-Matrix $\mathbf{T} = (u_{j-i}) \in \mathbb{K}^{m,n}$ mit erzeugendem Vektor $\mathbf{u} = (u_{-m+1}, \dots, u_{n-1}) \in \mathbb{C}^{2n-1}$, Vektor $\mathbf{x} \in \mathbb{K}^n$

3.9
p. 360

3.9.1 Toeplitz-Matrizen

TOEPLITZMAT

Matrizen mit konstanten Diagonalen (Spezialfall: Zirkulante Matrizen → Def. 3.8.4)

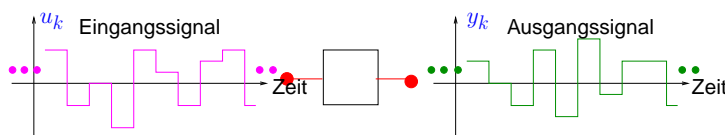
Definition 3.9.1 (Toeplitz-Matrix). $\mathbf{T} = (t_{ij})_{i,j=1}^n \in \mathbb{K}^{m,n}$ heisst **Toeplitz-Matrix**, wenn ein Vektor $\mathbf{u} = (u_{-m+1}, \dots, u_{n-1}) \in \mathbb{K}^{m+n-1}$ existiert, so dass $t_{ij} = u_{j-i}, 1 \leq i \leq m, 1 \leq j \leq n$.

$$\mathbf{T} = \begin{pmatrix} u_0 & u_1 & \cdots & \cdots & u_{n-1} \\ u_{-1} & u_0 & u_1 & \cdots & \vdots \\ \vdots & \ddots & \ddots & \ddots & \vdots \\ \vdots & & \ddots & \ddots & \vdots \\ u_{1-m} & \cdots & & \cdots & u_1 \\ u_0 & u_{-1} & \cdots & \cdots & u_{m-n} \end{pmatrix}$$

Beispiel 151 (Lineare zeitinvariante Systeme).

- $(u_k)_{k \in \mathbb{Z}}$ m -periodisches zeitdiskretes Signal = input
- $(y_k)_{k \in \mathbb{Z}}$ m -periodisches Ausgabesignal eines zeitinvarianten linearen Übertragungssystems

$$\exists \mathbf{x} = (x_1, \dots, x_n)^T \in \mathbb{R}^n, \quad n \leq m : \quad y_k = \sum_{j=1}^n x_j u_{k-j+1} .$$



Aufgabe: Effiziente Realisierung des Matrix×Vektor-Produkts $\mathbf{T}\mathbf{x}$

Beobachtung: Folgende erweiterte Matrix ist zirkulant! (Beispiel für $m = n$)

$$\mathbf{C} = \begin{pmatrix} \mathbf{T} & \mathbf{S} \\ \mathbf{S} & \mathbf{T} \end{pmatrix} = \left(\begin{array}{cccccc|cccccc} u_0 & u_1 & \cdots & \cdots & u_{n-1} & 0 & u_{1-n} & \cdots & \cdots & u_{-1} \\ u_{-1} & u_0 & u_1 & & \vdots & u_{n-1} & 0 & \ddots & & \vdots \\ \vdots & \ddots & \ddots & \ddots & \vdots & \vdots & \ddots & \ddots & & \vdots \\ \vdots & & \ddots & \ddots & \vdots & \vdots & & \ddots & & \vdots \\ \vdots & & & \ddots & u_1 & \vdots & & \ddots & \ddots & u_{1-n} \\ u_{1-n} & \cdots & \cdots & u_{-1} & u_0 & u_1 & & u_{n-1} & 0 \\ 0 & u_{1-n} & \cdots & \cdots & u_{-1} & u_0 & u_1 & \cdots & \cdots & u_{n-1} \\ u_{n-1} & 0 & \ddots & & \vdots & u_{-1} & u_0 & u_1 & & \vdots \\ \vdots & \ddots & \ddots & & \vdots & \vdots & \ddots & \ddots & \ddots & \vdots \\ & & & \ddots & & \vdots & & \ddots & \ddots & \vdots \\ \vdots & & & \ddots & u_{1-n} & \vdots & & \ddots & \ddots & u_1 \\ u_1 & & u_{n-1} & 0 & u_{1-n} & \cdots & \cdots & u_{-1} & u_0 \end{array} \right)$$

Allgemein: $\mathbf{T} = \text{toeplitz}(u(0:-1:1-m), u(0:n-1))$

$\mathbf{S} = \text{toeplitz}([0, u(n-1:-1:n-m+1)], [0, u(1-m:1:-1)])$

$$\mathbf{C} \begin{pmatrix} \mathbf{x} \\ 0 \end{pmatrix} = \begin{pmatrix} \mathbf{T}\mathbf{x} \\ \mathbf{S}\mathbf{x} \end{pmatrix}$$

► Rechenaufwand $O(n \log n)$ für Auswertung $\mathbf{T}\mathbf{x}$ (mit FFT, Abschn 3.8.1) sec:zirkulante-matrizen

3.9

p. 361

3.9.1.2 Der Levinson-Algorithmus

Gegeben: S.p.d. Toeplitz-Matrix $\mathbf{T} = (u_{j-i})_{i,j=1}^n$

mit erzeugendem Vektor $\mathbf{u} = (u_{-n+1}, \dots, u_{n-1}) \in \mathbb{C}^{2n-1}$, $u_{-k} = u_k$, o.B.d.A. $u_0 = 1$, Vektor $\mathbf{b} \in \mathbb{K}^n$

Gesucht: Effizientes Verfahren zur Lösung des LGS $\mathbf{T}\mathbf{x} = \mathbf{b}$

Induktive Konstruktion des Algorithmus:

Definiere: $\mathbf{T}_k := (u_{j-i})_{i,j=1}^k \in \mathbb{K}^{k,k}$ (linkes oberes Dreieck, ebenfalls s.p.d. & Toeplitz),

$\mathbf{x}^k \in \mathbb{K}^k$: $\mathbf{T}_k \mathbf{x}^k = (b_1, \dots, b_k)^T$,

$\mathbf{u}^k := (u_1, \dots, u_k)^T$

$$\mathbf{T}_{k+1} \mathbf{x}^{k+1} = \left(\begin{array}{c|c} \mathbf{T}_k & \begin{matrix} u_k \\ \vdots \\ u_1 \\ \hline u_k & \cdots & u_1 & 1 \end{matrix} \end{array} \right) \begin{pmatrix} \tilde{\mathbf{x}}^{k+1} \\ \vdots \\ x_{k+1}^{k+1} \end{pmatrix} = \begin{pmatrix} b_1 \\ \vdots \\ b_{k+1} \end{pmatrix}$$

Spiegelungspermutation: $P_k : \{1, \dots, k\} \mapsto \{1, \dots, k\}$, $P_k(i) := k - i + 1$

$$\blacktriangleright \tilde{\mathbf{x}}_{k+1} = \mathbf{T}_k^{-1}(\tilde{\mathbf{b}}_{k+1} - x_{k+1}^{k+1} P_k \mathbf{u}^k) = \mathbf{x}^k - x_{k+1}^{k+1} \mathbf{T}_k^{-1} P_k \mathbf{u}^k, \\ x_{k+1}^{k+1} = b_{k+1} - P_k \mathbf{u}^k \cdot \tilde{\mathbf{x}}^{k+1} = b_{k+1} - P_k \cdot \mathbf{x}^k + x_{k+1}^{k+1} P_k \cdot \mathbf{T}_k^{-1} P_k \mathbf{u}^k.$$

Mit Hilfsvektoren $\mathbf{y}^k := \mathbf{T}_k^{-1} P_k \mathbf{u}^k$

$$\mathbf{x}^{k+1} = \begin{pmatrix} \tilde{\mathbf{x}}^{k+1} \\ x_{k+1}^{k+1} \end{pmatrix} \quad \text{mit} \quad \tilde{\mathbf{x}}^{k+1} = (b_{k+1} - P_k \mathbf{u}^k) / \sigma_k, \quad \sigma_k := 1 - P_k \mathbf{u}^k \cdot \mathbf{y}^k.$$

MATLAB-CODE Levinson-Algorithmus

```
function [x,y] = levinson(u,b)
k = length(u)-1;
if (k == 0)
    x=b(1); y = u(1); return;
end
[xk,yk] = levinson(u(1:k),b(1:k));
sigma = 1-dot(u(1:k),yk);
t= (b(k+1)-dot(u(k:-1:1),xk))/sigma;
x= [ xk-t*yk(k:-1:1); t];
s= (u(k+1)-dot(u(k:-1:1),yk))/sigma;
y= [yk-s*yk(k:-1:1); s];
```

MATLAB-Implementierung
(rekursiv, u_{n+1} nicht verwendet!)

Lineare Rekursion:

Rechenaufwand $O(n-k)$ auf k . Rekursionsstufe, $k = 0, \dots, n-1$

► Gesamtaufwand $O(n^2)$

Bemerkung 153 („Superschnelle“ Toeplitz-Löser). FFT-basierte Algorithmen zur Lösung von $\mathbf{T}\mathbf{x} = \mathbf{b}$ benötigen Rechenaufwand $O(n \log^3 n)$ STE03a [42]!

3.9

p. 363

3.9

p. 361

Übung 3.10. Gegeben eine grosse ganze Zahl $N \gg 1$ und zwei Polynome

$$p(z) = \sum_{j=0}^{2N} \alpha_j z^j, \quad q(z) = \sum_{j=0}^N \beta_j z^j, \quad \alpha_j, \beta_j \in \mathbb{C},$$

die Polynomdivision mit fragt nach einem Polynom s vom Grad N und einem Polynom r vom Grad $N-1$, so dass

$$p(z) = q(z)s(z) + r(z).$$

Implementiere eine effiziente MATLAB-Funktion $[s,r] = \text{polydiv}(a,b)$, der die Koeffizienten α_j und β_j übergeben werden und die die Koeffizienten von s und r berechnet. Dabei ist zu berücksichtigen, dass in MATLAB ein Polynom durch den Vektor seiner Koeffizienten zu absteigenden Potenzen kodiert wird, so etwa das Polynom q durch $(\alpha_{2N}, \alpha_{2N-1}, \dots, \alpha_0) \in \mathbb{C}^{2N+1}$.

Gib die Asymptotik des Rechenaufwandes in N an.

Übung 3.11. Für stetige Funktionen $f, u, h \in C^0([0, 1])$ betrachte die Integralgleichung

$$\int_0^t f(t-\tau)u(\tau) d\tau = h(t), \quad 0 \leq t \leq \tau. \quad (3.11.1) \quad \text{eq:integ}$$

Die Gleichung wird auf folgende Art diskretisiert: Man wählt ein äquidistantes Gitter $\{t_j := j/N\}_{j=0,\dots,N}$, $N \in \mathbb{N}$, betrachtet die Gleichung nur an den Gitterpunkten t_j , $j = 1, \dots, N$

3.11

p. 364

3.9

p. 362

(Kolokation), und approximiert die Integrale durch Mittelpunktsquadratur (die einfachste Gauss-Quadraturformel) auf den Intervallen $[t_{j-1}, t_j]$, $j = 1, \dots, N$.

So gelangt man zu der diskretisierten Integralgleichung

$$\frac{1}{N} \sum_{j=1}^n f(t_n - m_j) u(m_j) = h(t_n), \quad n = 1, \dots, N, \quad (3.11.2)$$

wobei $m_j := 1/2(t_j + t_{j-1})$. Implementiere eine effiziente MATLAB-Funktion $u = \text{inteqslove}(N, h, f)$, die für Funktionshandles h, f die Werte $u(m_j)$, $j = 1, \dots, N$, aus (3.11.2) berechnet.

4.1 Polynomiale Techniken

[File: section-polynomiale-techniken.tex, SVN: section-polynomiale-techniken.tex 1299 2007-02-01 09:09:04Z kalai]

Notation: Vektorraum der Polynome vom Grad $\leq k$, $k \in \mathbb{N}$:

$$\mathcal{P}_k := \{t \mapsto \alpha_k t^k + \alpha_{k-1} t^{k-1} + \dots + \alpha_1 t + \alpha_0, \alpha_j \in \mathbb{K}\}. \quad (4.1.1)$$

[http://mondo](#)

$$\dim \mathcal{P}_k = k+1 \quad \text{und} \quad \mathcal{P}_k \subset C^\infty(\mathbb{R})$$

Warum Polynome? → Einfach auszuwerten, zu integrieren, zu differenzieren
 → Vektorraumstruktur & Algebra
 ↔ Analysis: Taylorpolynome & Potenzreihen

Bemerkung 154. $t \mapsto \alpha_k t^k + \alpha_{k-1} t^{k-1} + \dots + \alpha_0$ = monomiale Darstellung eines Polynoms

MATLAB: $\alpha_k t^k + \alpha_{k-1} t^{k-1} + \dots + \alpha_0 \rightarrow$ Vektor $(\alpha_k, \alpha_{k-1}, \dots, \alpha_0)$ (Anordnung!)

3.11
p. 365

- Auswertung eines Polynoms in monomialer Darstellung (→ Bem. 154): [Hornerschema](#)

$$p(t) = (x \cdots x(x(\alpha_n x + \alpha_{n-1}) + \alpha_{n-2}) + \dots + \alpha_1) + \alpha_0.$$

```
function y = polyval(p,x)
y = p(1); for i=2:length(p), y = x*y+p(i); end
```

► Rechenaufwand $O(n)$

Benutze: MATLAB „built-in“-Funktion `polyval(x,p)`

4.1.1 Polynominterpolation

Ziel: Rekonstruktion von Funktionen aus Wertepaaren, vgl. „Fitten“ Bsp. 120

4 [File: chapter-interpolation-und-approximation.tex, SVN: chapter-interpolation-und-approximation.tex 1299 2007-02-01 09:09:04Z kalai]

Interpolation und Approximation

Allgemeine „Funktion“ $f : D \subset \mathbb{R} \mapsto \mathbb{K}$ = Konzept der Analysis (unendlich viel Information)

Herausforderung: „Computergerechte“ Repräsentation von Funktionen



Idee: **Parametrisierung**
 → endlich viele Parameter $\alpha_1, \dots, \alpha_n$, $n \in \mathbb{N}$, charakterisieren Funktion.
 (→ Bsp. 59)

Spezialfall: Darstellung durch (endliche) Linearkombination von

Basisfunktionen $b_j : D \subset \mathbb{R} \mapsto \mathbb{K}$, $j = 1, \dots, n$:

$$f = \sum_{j=1}^n \alpha_j b_j, \quad \alpha_j \in \mathbb{K}.$$

► f ∈ endlichdimensionaler **Funktionenraum** $V_n := \text{Span } \{b_1, \dots, b_n\}$

4.1
p. 366

4.1
p. 367

LAGRANGEINTP

Allgemeine Lagrange-Polynominterpolationsaufgabe

Zu (einfachen) Knoten (engl. nodes) $t_0, \dots, t_n, n \in \mathbb{N}, -\infty < t_0 < t_1 < \dots < t_n < \infty$ und Werten $y_0, \dots, y_n \in \mathbb{K}$ bestimme $p \in \mathcal{P}_n$ so, dass

$$p(t_j) = y_j \quad \text{für } j = 0, \dots, n. \quad (4.1.2)$$

intp:lagr

Allgemeine Polynominterpolationsaufgabe

Zu (evtl. mehrfachen) Knoten $t_0, \dots, t_n, n \in \mathbb{N}, -\infty < t_0 \leq t_1 \leq \dots \leq t_n < \infty$ und Werten $y_0, \dots, y_n \in \mathbb{K}$ bestimme $p \in \mathcal{P}_n$ so, dass

$$\frac{d}{dt^k} p(t_j) = y_j \quad \text{für } k = 0, \dots, l_j \quad \text{und } j = 0, \dots, n, \quad (4.1.3)$$

intp:state

mit $l_j := \max\{j-i : t_j = t_i, i = 0, \dots, n\}$ (Vielfachheit des Knotens t_j)

Doppelte Knoten $t_0 = t_1 < t_2 = t_3 < \dots$ HERMITEINTP $p(t_{2j}) = y_{2j}, p'(t_{2j}) = y_{2j+1}$
Hermite-Interpolation

4.1.1.1 Theorie und Kondition

Für $t_0 < t_1 < \dots < t_n$ (\rightarrow Lagrange-Interpolation) betrachte

LAGRANGEPOI
Lagrange-Polynome $L_i(t) := \prod_{\substack{j=0 \\ j \neq i}}^n \frac{t - t_j}{t_i - t_j}, \quad i = 0, \dots, n.$ (4.1.4)

eq:lagr

$L_i \in \mathcal{P}_n$ und $L_i(t_j) = \delta_{ij}$

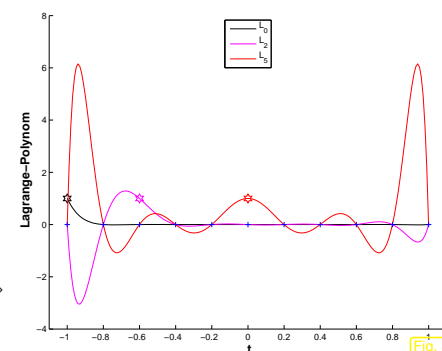
Beispiel 155 (Lagrange-Polynome).

Lagrange-Polynome für äquidistante Knoten

$$\mathcal{T} := \left\{ -5 + \frac{10}{n} j \right\}_{j=0}^n, \quad y_j = \frac{1}{1+t_j^2}, \quad j = 0, \dots, n.$$

Plot $n = 10$ >

agrplot



4.1
p. 370



Für Lagrange-Interpolation: Darstellung $p(t) = \sum_{i=0}^n y_i L_i(t).$ (4.1.5)

eq:lagre

ntp

Theorem 4.1.1 (Existenz & Eindeutigkeit des Interpolationspolynoms). Die Polynominterpolationsaufgabe (4.1.3) hat eine eindeutige Lösung $p \in \mathcal{P}_n.$

Beweis. für Lagrange-Interpolation:

$$p(t_j) = y_j \iff \sum_{i=0}^n a_i t_j^i = y_j, \quad j = 0, \dots, n \\ \iff (n+1) \times (n+1) \text{ lineares Gleichungssystem}$$

(4.1.5) \Rightarrow Existenz \Rightarrow Eindeutigkeit des Interpolationspolynoms \square

► Polynominterpolation zu Knoten $\mathcal{T} := \{t_j\}_{j=0}^n =$ lineare Abbildung

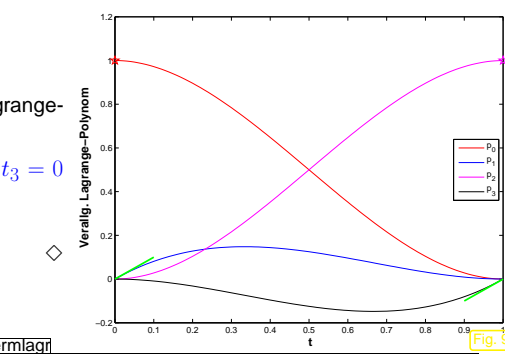
$$!_{\mathcal{T}} : \mathbb{K}^{n+1} \mapsto \mathcal{P}_n, \quad (y_0, \dots, y_n)^T \mapsto \text{Interpolationspolynom } p. \quad (4.1.6)$$

http:polint

p. 371

Definition 4.1.2 (Verallgemeinerte Lagrange-Polynome).

Die verallgemeinerten Lagrange-Polynome zu einer Knotenmenge $\mathcal{T} = \{t_j\}_{j=0}^n \subset \mathbb{R}$ sind $L_i := !_{\mathcal{T}}^{-1}(\mathbf{e}_{i+1}), i = 0, \dots, n,$ wobei $\mathbf{e}_i = (0, \dots, 0, 1, 0, \dots, 0)^T \in \mathbb{R}^{n+1} \hat{=} i.$ Einheitsvektor.



hermlagr

4.1
p. 372

Beispiel 156. (Verallgemeinerte Lagrange-Polynome für Hermite-Interpolation)

Doppelte Knoten $t_0 = 0, t_1 = 0, t_2 = 0, t_3 = 0$

► $n = 3$

(Kubische Hermite-Interpolation)

Erforderlich für Konditionsuntersuchung:

$$\text{Supremumsnorm} \quad \|f\|_{L^\infty(I)} := \sup\{|f(t)| : t \in I\}, \quad (4.1.7)$$

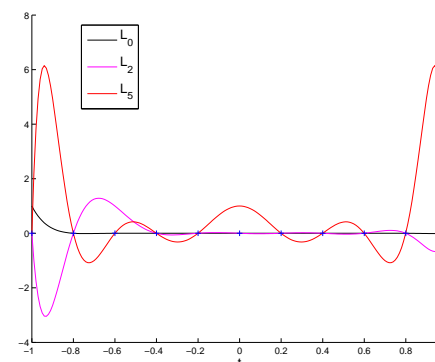
$$L^2\text{-Norm} \quad \|f\|_{L^2(I)}^2 := \int_I |f(t)|^2 dt, \quad (4.1.8)$$

$$L^1\text{-Norm} \quad \|f\|_{L^1(I)} := \int_I |f(t)| dt. \quad (4.1.9)$$

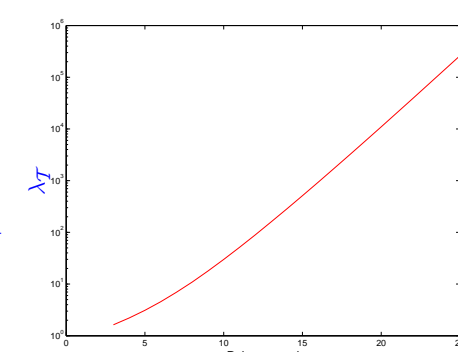
Lemma 4.1.3 (Absolute Kondition der Polynominterpolation). Für eine Knotenmenge $\mathcal{T} \subset \mathbb{R}$ mit zugehörigen verallgemeinerten Lagrange-Polynomen L_i , $i = 0, \dots, n$, und festes $I \subset \mathbb{R}$ gilt

$$\|\mathbf{l}_{\mathcal{T}}\|_{\infty \rightarrow \infty} := \sup_{\mathbf{y} \in \mathbb{K}^{n+1} \setminus \{0\}} \frac{\|\mathbf{l}_{\mathcal{T}}(\mathbf{y})\|_{L^\infty(I)}}{\|\mathbf{y}\|_\infty} = \left\| \sum_{i=0}^n |L_i| \right\|_{L^\infty(I)}, \quad (4.1.10) \quad \text{eq:IPN1}$$

$$\|\mathbf{l}_{\mathcal{T}}\|_{2 \rightarrow 2} := \sup_{\mathbf{y} \in \mathbb{K}^{n+1} \setminus \{0\}} \frac{\|\mathbf{l}_{\mathcal{T}}(\mathbf{y})\|_{L^2(I)}}{\|\mathbf{y}\|_2} \leq \left(\sum_{i=0}^n \|L_i\|_{L^2(I)}^2 \right)^{\frac{1}{2}}. \quad (4.1.11) \quad \text{eq:IPN2}$$



Lagrange-Polynome für $n = 10$



Lebesgue-Konstante für äquidistante Knoten

Asymptotische Abschätzung (Stirlingsche Formel): für $n = 2m$, $I = [-1, 1]$, $\mathcal{T} = \{-1 + \frac{2k}{n}\}_{k=0}^n$

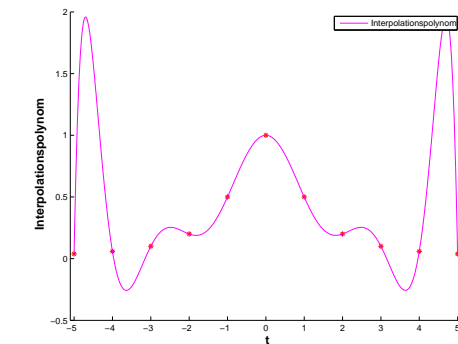
$$|L_m(1 - \frac{1}{n})| = \frac{\frac{1}{n} \cdot \frac{1}{n} \cdot \frac{3}{n} \cdots \frac{n-3}{n} \cdot \frac{n+1}{n} \cdots \frac{2n-1}{n}}{\left(\frac{2}{n} \cdot \frac{4}{n} \cdots \frac{n-2}{n} \cdot 1 \right)^2} = \frac{(2n)!}{(n-1)2^{2n}((n/2)!)^2 n!} \sim \frac{2^{n+1/2}}{\pi(n-1)n^{3/2}}$$

Theorie [8]: für äquidistante Knoten $\lambda_{\mathcal{T}} \geq Ce^{n/2}$ für $C > 0$ unabhängig von n . \diamond

4.1
p. 373

4.1
p. 375

Beispiel 158 (Oszillierende Interpolationspolynome).



Polynominterpolation mit äquidistanten Knoten:

$$\mathcal{T} := \left\{ -5 + \frac{10}{n} j \right\}_{j=0}^n,$$

$$y_j = \frac{1}{1+t_j^2}, \quad j = 0, \dots, n.$$

Plot $n = 10$ \gg

Beweis. (für L^∞ -Norm) Mit \triangle -Ungleichung

$$\|\mathbf{l}_{\mathcal{T}}(\mathbf{y})\|_{L^\infty(I)} = \left\| \sum_{j=0}^n y_j L_j \right\|_{L^\infty(I)} \leq \sup_{t \in I} \sum_{j=0}^n |y_j| |L_j(t)|,$$

Gleichheit in (4.1.10) für $\mathbf{y} := (\text{sgn}(L_j(t^*))_{j=0}^n$, $t^* := \text{argmax}_{t \in I} \sum_{i=0}^n |L_i(t)|$. \square

Beweis. (für L^2 -Norm) Mit \triangle -Ungleichung und Cauchy-Schwarz-Ungleichung

$$\|\mathbf{l}_{\mathcal{T}}(\mathbf{y})\|_{L^2(I)} \leq \sum_{j=0}^n |y_j| \|L_j\|_{L^2(I)} \leq \left(\sum_{j=0}^n |y_j|^2 \right)^{\frac{1}{2}} \left(\sum_{j=0}^n \|L_j\|_{L^2(I)}^2 \right)^{\frac{1}{2}}. \quad \square$$

Terminologie:

Lebesgue-Konstante zu \mathcal{T} : $\lambda_{\mathcal{T}} := \left\| \sum_{i=0}^n |L_i| \right\|_{L^\infty(I)}$

Beispiel 157 (Berechnung von Lebesgue-Konstanten).

$I = [-1, 1]$, $\mathcal{T} = \{-1 + \frac{k}{2n}\}_{k=0}^n$ (äquidistante Knoten)

4.1
p. 374

Gefahr: Starke Oszillationen von Interpolationspolynomen hohen Grades auf äquidistanten Knoten \diamond

4.1
p. 376

4.1.1.2 Algorithmen

- Vielfache Auswertung eines Interpolationspolynoms zu Knotenmenge $\mathcal{T} = \{t_j\}_{j=0}^n$, Stützwerten y_0, \dots, y_n :

$$p(t) = \sum_{i=0}^n \prod_{\substack{j=0 \\ j \neq i}}^n \frac{t - t_j}{t_i - t_j} y_i = \sum_{i=0}^n \lambda_i \prod_{\substack{j=0 \\ j \neq i}}^n (t - t_j) y_i = \prod_{j=0}^n (t - t_j) \cdot \sum_{i=0}^n \frac{\lambda_i}{t - t_i} y_i.$$

mit $\lambda_i = \frac{1}{(t_i - t_0) \cdots (t_i - t_{i-1})(t_i - t_{i+1}) \cdots (t_i - t_n)}$, $i = 0, \dots, n$.

$$\text{Aus } 1 = \prod_{j=0}^n (t - t_j) \sum_{i=0}^n \frac{\lambda_i}{t - t_i} \Rightarrow \prod_{j=0}^n (t - t_j) = \frac{1}{\sum_{i=0}^n \frac{\lambda_i}{t - t_i}}$$

Baryzentrische Interpolationsformel $p(t) = \frac{\sum_{i=0}^n \frac{\lambda_i}{t - t_i} y_i}{\sum_{i=0}^n \frac{\lambda_i}{t - t_i}}$.

Falls λ_i verfügbar:

Rechenaufwand(Auswertung von $p(t)$) = $O(n)$:

MATLAB-CODE: Auswertung eines Interpolationspolynomes

```
function p = intpolyval(t,y,x)
n = length(t); N = length(x);
for k = 1:n, lambda(k) = 1 / prod(t(k) - t([1:k-1,k+1:n])); end;
for i = 1:N
    z = (x(i)-t); j = find(z == 0);
    if (~isempty(j)), p(i) = y(j);
    else
        mu = lambda./z;
        p(i) = dot(mu,y)/sum(mu);
    end
end
```

Vermeide Division durch 0 !

- Auswertung eines Interpolationspolynoms an wenigen Stellen: Aitken-Neville-Schema

Gegeben: Knotenmenge $\mathcal{T} := \{t_j\}_{j=0}^n \subset \mathbb{R}$ paarweise verschieden, $t_i \neq t_j$ für $i \neq j$, Stützwerte y_0, \dots, y_n , Auswertungsstelle $x \in \mathbb{R}$

Für $\{i_0, \dots, i_m\} \subset \{0, \dots, n\}$, $0 \leq m \leq n$:

p_{i_0, \dots, i_m} = Interpolationspolynom durch $(t_{i_0}, y_{i_0}), \dots, (t_{i_m}, y_{i_m})$:

$$\blacktriangleright p_i \equiv y_i, \quad i = 0, \dots, n, \quad p_{i_0, \dots, i_m}(t) = \frac{(t - t_{i_0})p_{i_1, \dots, i_m} - (t - t_{i_m})p_{i_0, \dots, i_{m-1}}}{t_{i_m} - t_{i_0}}. \quad (4.1.12)$$

Schema:

	$n = 0$	1	2	3
t_0	$y_0 =: p_0(x)$	$p_{01}(x)$	$p_{012}(x)$	$p_{0123}(x)$
t_1	$y_1 =: p_1(x)$	$p_{12}(x)$	$p_{123}(x)$	
t_2	$y_2 =: p_2(x)$	$p_{23}(x)$		
t_3	$y_3 =: p_3(x)$			

```
function v = ANipoleval(t,y,x)
for i=1:length(y)
    for k=i-1:-1:1
        y(k) = y(k+1)+(y(k+1)-y(k))*...
            (x-t(i))/(t(i)-t(k));
    end
end
v = y(1);
```

4.1

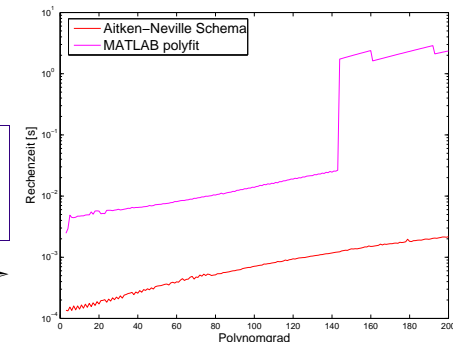
p. 377

Äquivalente MATLAB-Funktion:

(mit deutlich höherem Rechenaufwand !)

```
function v=ipoleval(t,y,x)
p = polyfit(t,y,length(y)-1);
v=polyval(p,x);
```

tic-toe-Rechenzeitmessung, 100 runs >



Wichtige Anwendung:

Extrapolation nach Null

Problem: Gesucht ist $f(0)$ mit vorgeschriebener Genauigkeit, aber implementierte Funktion $y=f(h)$ ist für $|h| \ll 1$ nicht stabil auszuwerten.

Bekannt:

Existenz einer asymptotischen Entwicklung in h^2

4.1
p. 378

$f(h) = f(0) + A_1 h^2 + A_2 h^4 + \dots + A_n h^{2n} + R(h), \quad A_k \in \mathbb{K},$
mit Restgliedabschätzung $|R(h)| = O(h^{2n+2})$ für $h \rightarrow 0$.

4.1

p. 379



Idee:

- ① Auswertung $f(t_i)$ für verschiedene $t_i, i = 0, \dots, n, |t_i| > 0$.
- ② $f(0) \approx p(0)$ mit Interpolationspolynom $p \in \mathcal{P}_n, p(t_i) = f(t_i)$.

Beispiel 159 (Numerische Differentiation durch Extrapolation, → Bsp. 27).
lex: numdiff

Für $2(n+1)$ -mal stetig differenzierbare Funktion $f : D \subset \mathbb{R} \mapsto \mathbb{R}, x \in D$ (Taylorsumme mit Lagrange-Restglied)

$$T(h) := \frac{f(x+h) - f(x-h)}{2h} \sim f'(x) + \sum_{k=1}^n \frac{1}{(2k)!} \frac{d^{2k}f}{dx^{2k}}(x) h^{2k} + \frac{1}{(2n+2)!} f^{(2n+2)}(\xi(x)).$$

MATLAB-Code (f = handle auf Funktion):

```
MATLAB-CODE: Numerische Differentiation durch Interpolation
function d = diffex(f,x,h0,tol)
h = h0;
y(1) = (f(x+h0)-f(x-h0))/(2*h0);
for i=2:10
    h(i) = h(i-1)/2;
    y(i) = (f(x+h(i))-f(x-h(i)))/h(i-1);
    for k=i-1:-1:1
        y(k) = y(k+1)-(y(k+1)-y(k))*h(i)/(h(i)-h(k));
    end
    if (abs(y(2)-y(1)) < tol*abs(y(1))), break; end
end
d = y(1);
```

A posteriori Fehlerschätzung

diffex(@atan,1.1,0.5)		diffex(@sqrt,1.1,0.5)		diffex(@exp,1.1,0.5)	
Grad	Relativer Fehler	Grad	Relativer Fehler	h	Relativer Fehler
0	0.04262829970946	0	0.02849215135713	0	0.04219061098749
1	0.02044767428982	1	0.01527790811946	1	0.02129207652215
2	0.00051308519253	2	0.00061205284652	2	0.00011487434095
3	0.00004087236665	3	0.00004936258481	3	0.00000825582406
4	0.00000048930018	4	0.00000067201034	4	0.000000000589624
5	0.00000000746031	5	0.00000001253250	5	0.00000000009546
6	0.00000000001224	6	0.00000000004816	6	0.00000000000002
7	0.00000000000021				

Vorteile: Garantierte Genauigkeit > Effizienz

Zum Vergleich: Numerische Differentiation mit finiten (Vorwärts-) Differenzen > Auslöschung
lex: numdiff
(→ Bsp. 27)

```
x=1.1; h=2.^[-1:-5:-36];
atan_err = atan_err=abs(dirnumdiff(@atan,x,h)-1/(1+x^2))*(1+x^2);
sqrt_err=abs(dirnumdiff(@sqrt,x,h)-1/(2*sqrt(x)))*(2*sqrt(x));
exp_err=abs(dirnumdiff(@exp,x,h)-exp(x))/exp(x);

4.1
function[df]=dirnumdiff(f,x,h)
p. 381
df=(f(x+h)-f(x))/h;
end
```

4.1
p. 383

$f(x) = \arctan(x)$		$f(x) = \sqrt{x}$		$f(x) = \exp(x)$	
h	Relativer Fehler	h	Relativer Fehler	h	Relativer Fehler
2^{-1}	0.20786640808609	2^{-1}	0.09340033543136	2^{-1}	0.29744254140026
2^{-6}	0.00773341103991	2^{-6}	0.00352613693103	2^{-6}	0.00785334954789
2^{-11}	0.00024299312415	2^{-11}	0.00011094838842	2^{-11}	0.00024418036620
2^{-16}	0.00000759482296	2^{-16}	0.00000346787667	2^{-16}	0.00000762943394
2^{-21}	0.00000023712637	2^{-21}	0.00000010812198	2^{-21}	0.00000023835113
2^{-26}	0.00000001020730	2^{-26}	0.00000001923506	2^{-26}	0.0000000429331
2^{-31}	0.00000005960464	2^{-31}	0.00000001202188	2^{-31}	0.00000012467100
2^{-36}	0.000000679016113	2^{-36}	0.000000198842224	2^{-36}	0.000000495453865

4.1.2 Interpolationsfehlerabschätzungen

INTERPABSCH

4.1 Wir betrachten Lagrangesche Polynominterpolation zu paarweise verschiedenen Knoten
p. 382 $\mathcal{T} := \{t_0, \dots, t_n\} \subset I, I \subset \mathbb{R}$ Intervall mit Länge $|I|$.

4.1
p. 384

Notation: Für eine stetige Funktion $f : I \mapsto \mathbb{K}$ definiere Polynominterpolationsoperator $I_{\mathcal{T}}(f) := I_{\mathcal{T}}(\mathbf{y}) \in \mathcal{P}_n$ mit $\mathbf{y} := (f(t_0), \dots, f(t_n))^T \in \mathbb{K}^{n+1}$.

Fragestellung: Genaugigkeit der Approximation einer Funktion (= Interpoland) durch ihr Lagrangesches Interpolationspolynom zur Knotenmenge \mathcal{T} .

Spezielle Fragestellung: Asymptotisches Fehlerverhalten

$$\exists C \neq C(n): \|f - I_{\mathcal{T}}f\| \leq CT(n) \quad \text{für } n \rightarrow \infty.$$

Klassifikation (beste Schranken für $T(n)$):

$\exists p > 0: T(n) \leq n^{-p}$: ALGCVG
$\exists 0 < q < 1: T(n) \leq q^n$: EXPGCVG

Beachte: Gleicher Begriff \leftrightarrow verschiedene Bedeutungen:

- Konvergenz einer Folge (von Iterierten $x^{(k)}$ \rightarrow Abschn. 2.1) sec:iterationsverfahren
- Konvergenz einer Approximation (abhängig von einem Approximationsparameter)

Theorem 4.1.4 (Fehler der Polynominterpolation). Für $f \in C^{n+1}(I)$: $\forall t \in I$:

$$f(t) - I_{\mathcal{T}}(f)(t) = \int_0^1 \int_0^{\tau_1} \cdots \int_0^{\tau_{n-1}} \int_0^{\tau_n} f^{(n+1)}(t_0 + \tau_1(t_1 - t_0) + \cdots + \tau_n(t_n - t_{n-1}) + \tau(t - t_n)) d\tau d\tau_n \cdots d\tau_1 \cdot \prod_{j=0}^n (t - t_j).$$

Beweis. Durch Induktion nach n , verwendet leg:ipolrec (4.1.12) und Hauptsatz der Integral- und Differentialrechnung [38, Sect. 3.1].

Bemerkung 160. Thm. 4.1.4 gilt auch für Hermite-Interpolation. △

Korollar 4.1.5. $f \in C^{n+1}(I)$: $\forall t \in I: \exists \tau_t \in [\min\{t, t_0, \dots, t_n\}, \max\{t, t_0, \dots, t_n\}]$:

$$f(t) - I_{\mathcal{T}}(f)(t) = \frac{f^{(n+1)}(\tau_t)}{(n+1)!} \cdot \prod_{j=0}^n (t - t_j).$$

Interpolationsfehlerabschätzungen erfordern Glattheit!

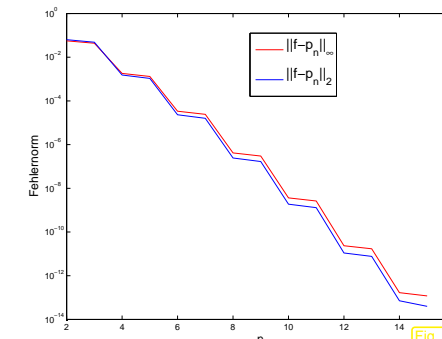
Beispiel 161 (Interpolationsfehler).

Interpolation von $f(t) = \sin t$, äquidistante Knoten in $I := [0, \pi]$: $\mathcal{T} := \{j\pi/n\}_{j=0}^n$: Interpolationspolynom $p := I_{\mathcal{T}}f \in \mathcal{P}_n$

$$\left\| f^{(k)} \right\|_{L^\infty(I)} \leq 1, \quad \Rightarrow \quad \|f - p\|_{L^\infty(I)} \leq \frac{1}{(1+n)!} \left\| (-0)(-\frac{\pi}{n})(-\frac{2\pi}{n}) \cdots (-\pi) \right\|_{L^\infty(I)} \leq \frac{1}{n+1} \left(\frac{\pi}{n}\right)^{n+1}.$$

➤ Gleichmässige exponentielle Konvergenz der Interpolationspolynome
(Gilt für beliebige Knotenmengen \mathcal{T})

4.1
p. 385



MATLAB-Experiment:

Berechnung der Normen:

- L^∞ -Norm: Abtastung auf Gitter mit Maschenweite $\pi/1000$.
- L^2 -Norm: Numerische Quadratur (\rightarrow Abschnitt 4.4) mit Trapezregel auf Gitter mit Maschenweite $\pi/1000$. cha:numerische-quadratur

4.1
p. 386

Beispiel 162 (Runge's Beispiel).

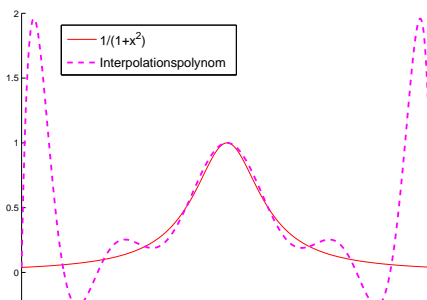
4.1
p. 387

Polynominterpolation von $f(t) = \frac{1}{1+t^2}$ mit äquidistanten Knoten:

$$T := \left\{ -5 + \frac{10}{n} j \right\}_{j=0}^n,$$

$$y_j = \frac{1}{1+t_j^2}, \quad j = 0, \dots.$$

Plot $n = 10$ >



Oszillationen von $I_T f$ am Intervallende

► $\|f - I_T f\|_{L^\infty([-5,5])} \rightarrow \infty$ für $n \rightarrow \infty$.

runge

Hier: $f(t) = \frac{1}{1+t^2}$ ► $|f^{(n)}(t)| = 2^n n! \cdot O(|t|^{-2-n})$.

> Schranke für Fehlerglied aus Cor. 4.1.5 $\xrightarrow{\text{cor:pointerr}} \infty$ für $n \rightarrow \infty$.

Bemerkung 163 (L^2 -Fehlerabschätzungen).

Cor. 4.1.5 ► Fehlerabschätzung für L^∞ -Norm

andere Normen ?

Aus Thm. 4.1.4 mit Cauchy-Schwarz-Ungleichung für Integrale:

$$\begin{aligned} \|f - I_T(f)\|_{L^2(I)}^2 &= \int_I \left| \int_0^1 \int_0^{\tau_1} \cdots \int_0^{\tau_{n-1}} \int_0^{\tau_n} f^{(n+1)}(\dots) d\tau d\tau_n \cdots d\tau_1 \prod_{j=0}^n (t - t_j) \right|^2 dt \\ &\leq \int_I |I|^{2n+2} \text{vol}(S_{n+1}) \int_{S_{n+1}} |f^{(n+1)}(\dots)|^2 d\tau dt \\ &\leq \int_I \frac{|I|^{2n+2}}{(n+1)!} \int_I \text{vol}(C_{t,\tau}) |f^{(n+1)}(\tau)|^2 d\tau dt, \\ &\leq 2^{(n-1)/2} / n! \end{aligned}$$

wobei

$$\begin{aligned} S_{n+1} &:= \{\mathbf{x} \in \mathbb{R}^{n+1}: 0 \leq x_n \leq x_{n-1} \leq \cdots \leq x_1 \leq 1\} \quad (\text{Einheitssimplex}), \\ C_{t,\tau} &:= \{\mathbf{x} \in S_{n+1}: t_0 + x_1(t_1 - t_0) + \cdots + x_n(t_n - t_{n-1}) + x_{n+1}(t - t_n) = \tau\}. \end{aligned}$$

► $\|f - I_T(f)\|_{L^2(I)} \leq \frac{2^{(n-1)/4} |I|^{n+1}}{\sqrt{(n+1)! n!}} \left(\int_I |f^{(n+1)}(\tau)|^2 d\tau \right)^{1/2}. \quad (4.1.13)$

Beachte: $f \mapsto \|f^{(n)}\|_{L^2(I)}$ definiert eine Seminorm auf $C^{n+1}(I)$
(Sobolev-Seminorm, Mass für Glattheit einer Funktion)

4.1.3 Tschebyscheff-Interpolation

TSCHEBYSCHEFF

Knotenmenge: $\mathcal{T} := \{t_0 < t_1 < \cdots < t_{n-1} < t_n\}$, $n \in \mathbb{N}$, $I := [t_0, t_n]$

Cor. 4.1.5

$$\|f - p\|_{L^\infty(I)} \leq \frac{1}{(n+1)!} \|f^{(n+1)}\|_{L^\infty(I)} \|w\|_{L^\infty(I)},$$

$$w(t) := (t - t_0) \cdots (t - t_n).$$



Idee: Knoten t_0, \dots, t_n so, dass $\|w\|_{L^\infty(I)} \rightarrow \min!$

↔ Finde $q \in \mathcal{P}_{n+1}$, führender Koeffizient = 1, $\|q\|_{L^\infty(I)} \rightarrow \min$.

► Wähle $t_0, \dots, t_n :=$ Nullstellen von q (Vorsicht: $t_j \in I$?)

Heuristik: • q hat $n+1$ Nullstellen in I

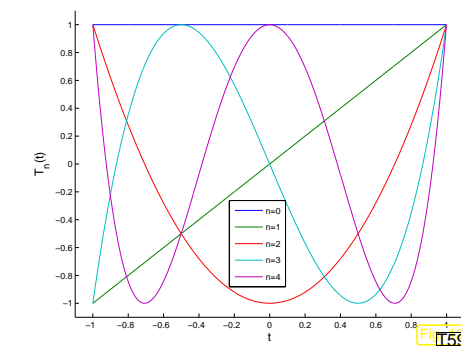
• $|q(t_0)| = |q(t_n)| = \|q\|_{L^\infty(I)}$

• t^* Extremalstelle von q ► $|q(t^*)| = \|q\|_{L^\infty(I)}$

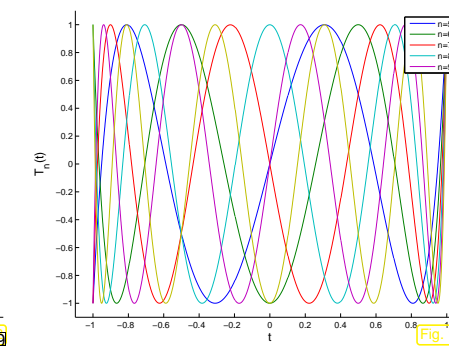
Definition 4.1.6 (Tschebyscheff-Polynome).

n. Tschebyscheff-Polynom $= T_n(t) := \cos(n \arccos t)$, $-1 \leq t \leq 1$

4.1
p. 389



Tschebyscheff-Polynome T_0, \dots, T_4



Tschebyscheff-Polynome T_5, \dots, T_9

4.1
p. 390

4.1
p. 391

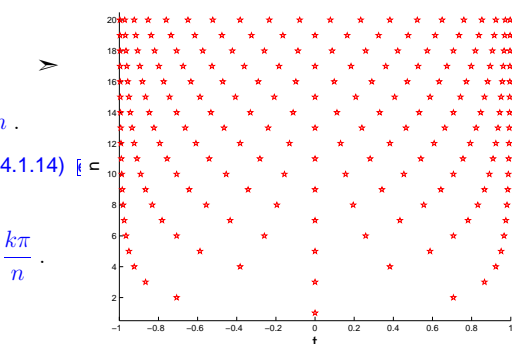
4.1
p. 392

Nullstellen von T_n :

$$t_k = \cos\left(\frac{2k-1}{2n}\pi\right), \quad k = 1, \dots, n. \quad (4.1.14)$$

Extrema (Alternanten) von T_n an

$$|T_n(\bar{t}_k)| = 1 \Leftrightarrow \exists k = 0, \dots, n: \bar{t}_k = \cos\frac{k\pi}{n}.$$



3-Term-Rekursion (\rightarrow Abschnitt 4.2) aus $\cos(n+1)x = 2\cos nx \cos x - \cos(n-1)x$ mit $\cos x = t$:
sec: dreitermreksuren

$$T_{n+1}(t) = 2tT_n(t) - T_{n-1}(t), \quad T_0 \equiv 1, \quad T_1(t) = t, \quad n \in \mathbb{N}. \quad (4.1.15)$$

$T_n \in \mathcal{P}_n$, führender Koeffizient 2^{n-1}

$\mathcal{P}_n = \text{Span } \{T_0, \dots, T_n\}, n \in \mathbb{N}_0, T_n$ linear unabhängig (\rightarrow Basis)

Theorem 4.1.7 (Minimax Eigenschaft der Tschebyscheff-Polynome).

$$\|T_n\|_{L^\infty([-1,1])} = \inf\{\|p\|_{L^\infty([-1,1])}: p \in \mathcal{P}_n, p(t) = 2^{n-1}t^n + \dots\}, \quad \forall n \in \mathbb{N}.$$

Zum Beweis siehe [DEH02], Abschnitt 7.1.4.

- Für $I = [-1, 1]$ ➤ „Optimale“ Interpolationsknoten $\mathcal{T} = \left\{ \cos\left(\frac{2k+1}{2(n+1)}\pi\right), k = 0, \dots, n \right\}$,
- $w = 2^{-n}T_{n+1}$, $\|w\|_{L^\infty(I)} = 2^{-n}$,
- $\|f - I_{\mathcal{T}}(f)\|_{L^\infty([-1,1])} = \frac{2^{-n}}{(n+1)!} \|f^{(n+1)}\|_{L^\infty([-1,1])}$.

SKALARG

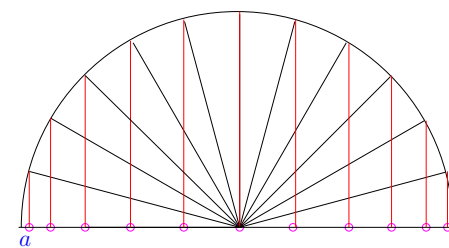
Ein Skalierungsargument: Intervaltransformation \leftrightarrow Transport von Funktionen

$$[-1, 1] \xrightarrow{\hat{t} \mapsto t := a + \frac{1}{2}(\hat{t}+1)(b-a)} [a, b] \leftrightarrow \hat{f}(\hat{t}) := f(t).$$

$$p \in \mathcal{P}_n \wedge p(t_j) = f(t_j) \Leftrightarrow \hat{p} \in \mathcal{P}_n \wedge \hat{p}(\hat{t}_j) = \hat{f}(\hat{t}_j).$$

Mit Transformationsformel für Integrale & $\frac{d^n \hat{f}}{d\hat{t}^n}(\hat{t}) = (\frac{1}{2}|I|)^n \frac{d^n f}{dt^n}(t)$:

$$\begin{aligned} \|f - I_{\mathcal{T}}(f)\|_{L^\infty(I)} &= \|\hat{f} - I_{\hat{\mathcal{T}}}(\hat{f})\|_{L^\infty([-1,1])} \leq \frac{2^{-n}}{(n+1)!} \left\| \frac{d^{n+1} \hat{f}}{d\hat{t}^{n+1}} \right\|_{L^\infty([-1,1])} \\ &\leq \frac{2^{-2n-1}}{(n+1)!} |I|^{n+1} \|f^{(n+1)}\|_{L^\infty(I)}. \end{aligned} \quad (4.1.16) \quad \text{eq:I2intp}$$



Für $I = [a, b]$: CHEBNODES Tschebyscheff-Knoten

$$t_k := a + \frac{1}{2}(b-a) \left(\cos\left(\frac{2k+1}{2(n+1)}\pi\right) + 1 \right), \quad k = 0, \dots, n. \quad (4.1.17) \quad \text{eq:CHEBNO}$$

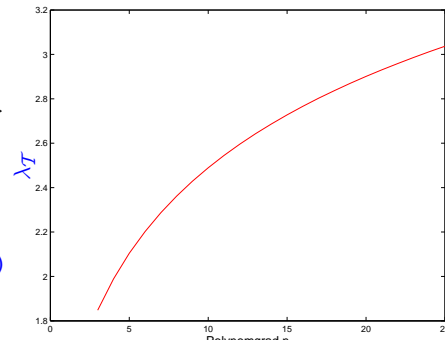
4.1
p. 393

Lebegue-Konstante für Tschebyscheff-Knoten

Theorie [CHB95]

$$\lambda_{\mathcal{T}} \sim \frac{2}{\pi} \log(1+n) + o(1),$$

$$\lambda_{\mathcal{T}} \leq \frac{2}{\pi} \log(1+n) + 1. \quad (4.1.18)$$



Beispiel 164 (Tschebyscheff-Interpolation).

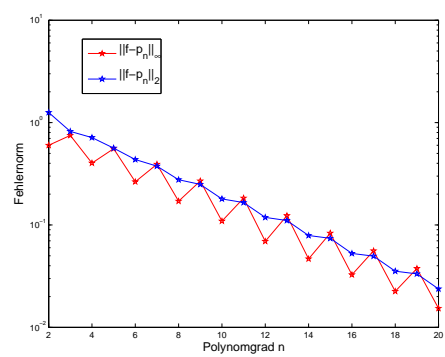
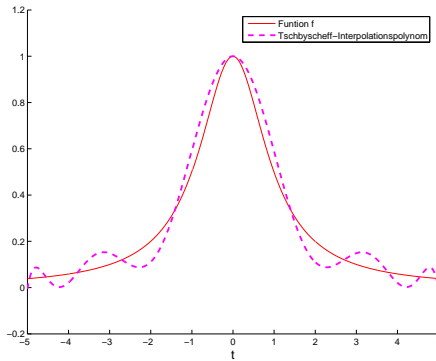
Für $I = [a, b]$ seien $x_l := a + \frac{b-a}{N}l$, $l = 0, \dots, N$, $N = 1000$ und man approximiert

$$\begin{aligned} \|f - p\|_\infty &\approx \max_{0 \leq l \leq N} |f(x_l) - p(x_l)| \\ \|f - p\|_2^2 &\approx \frac{b-a}{2N} \sum_{0 \leq l < N} \left(|f(x_l) - p(x_l)|^2 + |f(x_{l+1}) - p(x_{l+1})|^2 \right) \end{aligned}$$

4.1
p. 394

① $f(t) = (1+t^2)^{-1} \rightarrow$ Bsp. [T62, I62], $I = [-5, 5]$, $n = 10$ im linken Plot.

4.1
p. 395



➤ Beobachtung: Exponentielle Konvergenz der Tschebyscheff-Interpolation

$$p_n \rightarrow f, \|f - I_n f\|_{L^2([-5,5])} \approx 0.8^n.$$

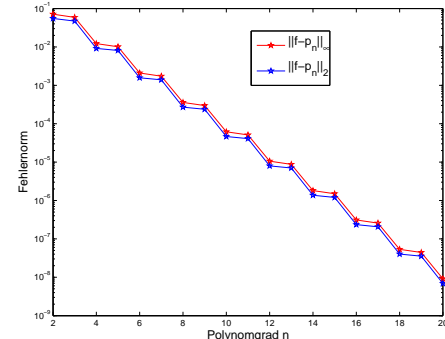
Nun: $I = [-1, 1]$

$$\text{Weiterhin } f(t) = (1 + t^2)^{-1}$$

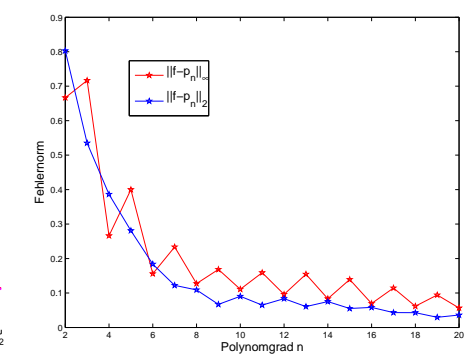
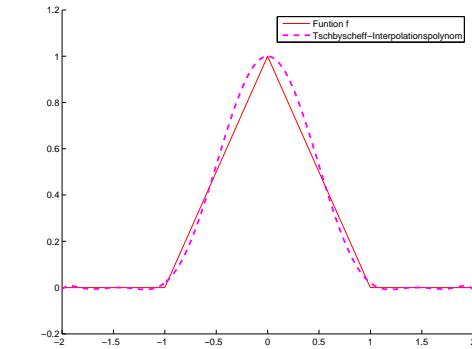
➤ Beobachtung:

Exponentielle Konvergenz:

$$\|f - I_n f\|_{L^2([-5,5])} \approx 0.42^n.$$



② $f(t) = \max\{1 - |t|, 0\}$, $I = [-2, 2]$, $n = 10$ im linken Plot.



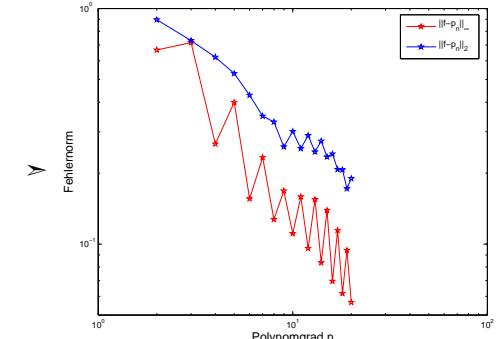
4.1

p. 397

Doppeltlogarithmischer Plot

➤ Beobachtung:

- keine exponentielle Konvergenz
- algebraische Konvergenz (?)



4.1

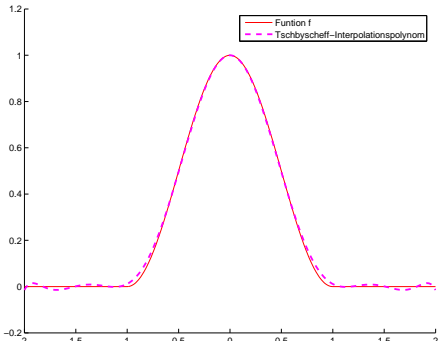
p. 398

4.1

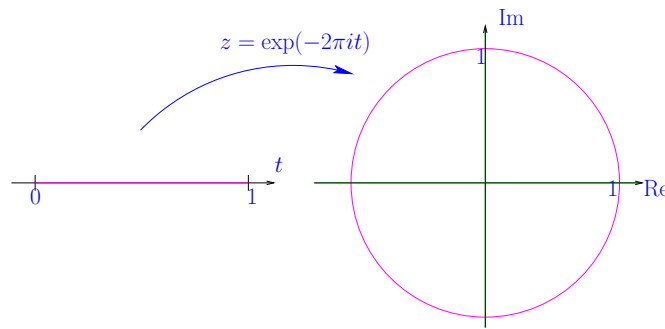
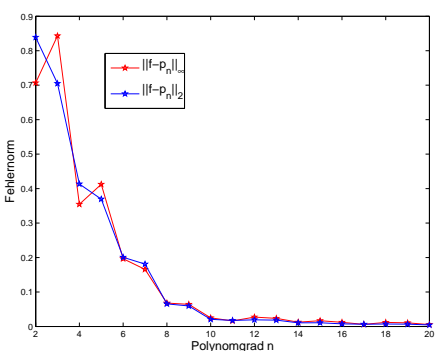
p. 399

4.1

p. 400



➤ Beobachtung: Nur algebraische Konvergenz



Definition 4.1.9 (Laurent-Polynome).

Der Raum \mathcal{P}_n^L der **Laurent-Polynome** vom Grad $\leq n$ über \mathbb{K} ist gegeben durch

$$\mathcal{P}_n^L := \begin{cases} \{z \mapsto \sum_{j=-m}^m \gamma_j z^j, \gamma_j \in \mathbb{K}\} & , \text{ falls } n = 2m, m \in \mathbb{N}, \\ \{z \mapsto \sum_{j=-m+1}^m \gamma_j z^j, \gamma_j \in \mathbb{K}\} & , \text{ falls } n = 2m - 1, m \in \mathbb{N}. \end{cases}$$

4.1 Beachte: trigonometrische Polynome \subset 1-periodische Funktionen auf \mathbb{R} ($\leftrightarrow f(t) = f(t + 1)$)

p. 401

4.1

p. 403

Trigonometrische Polynominterpolationsaufgabe

Zur äquidistanten Knoten $\mathcal{T} := \{j/n, j = 0, \dots, n-1\}$ und Stützwerten $y_0, \dots, y_{n-1} \in \mathbb{C}$ finde $p \in \mathcal{P}_{n-1}^T$, so dass

$$p(j/n) = y_j, \quad j = 0, \dots, n-1.$$

Theorem 4.1.10.

Die **trigonometrische Polynominterpolationsaufgabe** ist eindeutig lösbar $\forall y_k$.

Beweis. siehe unten. □

4.1.4 Trigonometrische Interpolation

4.1.4.1 Trigonometrische Polynome

Definition 4.1.8 (Trigonometrisches Polynom).

Der Raum \mathcal{P}_n^T der **trigonometrischen Polynome** vom Grad $\leq n$ ist gegeben durch

$$\mathcal{P}_n^T := \begin{cases} \{t \mapsto \sum_{j=-m}^m \gamma_j e^{-2\pi i jt}, \gamma_j \in \mathbb{C}\} & , \text{ falls } n = 2m, m \in \mathbb{N}, \\ \{t \mapsto \sum_{j=-m+1}^m \gamma_j e^{-2\pi i jt}, \gamma_j \in \mathbb{C}\} & , \text{ falls } n = 2m - 1, m \in \mathbb{N}. \end{cases}$$

Warum trigonometrische Polynome ?

$$p(t) := \sum_{j=-m[+1]}^m \gamma_j e^{-2\pi i jt} = \sum_{j=-m[+1]}^m \gamma_j z^j \hat{=} (\text{Laurent})\text{-Polynom auf } \mathbb{S}^1$$

$$\text{Parametrisierung: } [0, 1] \xrightarrow[t \mapsto z]{z = \exp(-2\pi i t)} \mathbb{S}^1 := \{z \in \mathbb{C}: |z| = 1\}.$$

Beachte: 1-periodische Funktionen auf $\mathbb{R} \leftrightarrow$ Funktionen $\mathbb{S}^1 \mapsto \mathbb{K}$

4.1
p. 402

4.1

$$f(t) = f(t + 1) \quad \forall t \in \mathbb{R} \leftrightarrow g(z) = g(e^{2\pi i t}) := f(t) \quad \forall z \in \mathbb{S}^1.$$

p. 404

► Trigonometrische Polynominterpolationsaufgabe \Leftrightarrow Äquidistante Polynominterpolation auf S^1

► Zu Knotenmenge $T_n = \{\omega_n^j\}_{j=0}^{n-1}$ (komplexe Einheitswurzeln, Abschnitt [sec:diskr-four-tr](#)) und Stützwerten y_0, \dots, y_{n-1} finde $p \in \mathcal{P}_{n-1}^L$ (komplexe Koeffizienten), so dass

$$p(\omega_n^k) = y_k, \quad k = 0, \dots, n-1.$$

$T_n \leftrightarrow$ Lineare Abbildung $\mathbb{C}^{n+1} \mapsto \mathcal{P}_n^L$.

Umformulierung der trigonometrischen Polynominterpolationsaufgabe:

① n gerade, $n = 2m, m \in \mathbb{N}$, $\Rightarrow p(t) = \sum_{j=-m+1}^m \gamma_j e^{-2\pi i j t} \in \mathcal{P}_{n-1}^L$

$$p\left(\frac{k}{n}\right) = y_k, \quad k = 0, \dots, n-1.$$

\Updownarrow

$$\sum_{j=-m+1}^m \gamma_j \omega_n^{jk} = \sum_{j=0}^m \gamma_j \omega_n^{jk} + \sum_{j=1}^{m-1} \gamma_{-j} \omega_n^{(n-j)k} = \boxed{\sum_{j=0}^m \gamma_j \omega_n^{jk} + \sum_{j=m+1}^{n-1} \gamma_{j-n} \omega_n^{jk} = y_k},$$

ω_n [komplexe Einheitswurzeln, Abschnitt 3.7.1](#)

② n ungerade, $n = 2m+1, m \in \mathbb{N}$, $\Rightarrow p(t) = \sum_{j=-m}^m \gamma_j e^{-2\pi i j t} \in \mathcal{P}_{n-1}^L$

$$p\left(\frac{k}{n}\right) = y_k, \quad k = 0, \dots, n-1.$$

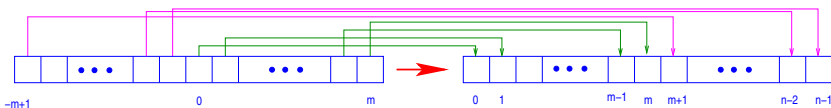
\Updownarrow

$$\sum_{j=-m}^m \gamma_j \omega_n^{jk} = \sum_{j=0}^m \gamma_j \omega_n^{jk} + \sum_{j=1}^m \gamma_{-j} \omega_n^{(n-j)k} = \boxed{\sum_{j=0}^m \gamma_j \omega_n^{jk} + \sum_{j=m+1}^{n-1} \gamma_{j-n} \omega_n^{jk} = y_k}.$$

$\boxed{\text{Fng} = \mathbf{y}}, \quad \mathbf{g} = (\gamma_0 \ \cdots \ \gamma_m \ \gamma_{m+1-n} \ \cdots \ \gamma_{n-1}), \quad \mathbf{y} = (y_0 \ \cdots \ \cdots \ y_{n-1})$.

$\text{Fourier-Matrix } \boxed{\text{fft:FM}}$

► γ_j durch inverse [diskrete Fouriertransformation](#) (\rightarrow Def. 3.7.1) + Umsortieren der Koeffizienten:



Aufgabe: Auswertung eines trigonometrischen Polynoms $p \in \mathcal{P}_{n-1}^T$ (\rightarrow Def. [4.1.8](#)) an äquidistanten Stellen $\frac{l}{N}, l = 0, \dots, N-1, N > n$, in $[0, 1]$:

Für $n = 2m$:

$$p\left(\frac{l}{N}\right) = \sum_{j=-m+1}^m \gamma_j \omega_N^{lj} = \sum_{j=0}^m \gamma_j \omega_N^{lj} + \sum_{j=1}^{m-1} \gamma_{-j} \omega_N^{(N-j)l} = \sum_{j=0}^{N-1} \tilde{\gamma}_j \omega_N^{lj},$$

mit $\tilde{\gamma}_j := \begin{cases} \gamma_j & , \text{falls } 0 \leq j \leq m-1, \\ \gamma_{j-N} & , \text{falls } N-m+1 \leq j \leq N-1, \\ 0 & \text{sonst.} \end{cases}$

MATLAB-CODE Auswertung eines

```
function v = evaliptrig(y,N)
    n = length(y);
    if (mod(n,2) ~= 0), error; end
    c = ifft(y);
    c = [c(1:n/2), zeros(1,N-n), ...
           c(n/2+1:n)];
    v = fft(c);
    %trigonometrischen Interpolationspolynom
```

4.1.4.2 Trigonometrische Interpolation 1-periodischer Funktionen:

4.1 \Leftrightarrow Linearer trigonometrischer Interpolationsoperator: für 1-periodisches $f : \mathbb{R} \mapsto \mathbb{C}$
p. 405 $T_n(f) := p \in \mathcal{P}_{n-1}^T$ mit $p\left(\frac{j}{n}\right) = y_j, \quad j = 0, \dots, n-1$.

4.1

p. 407

Beispiel 165 (Trigonometrische Interpolation).

#1 Stufenfunktion: $f(t) = 0$ für $|t - \frac{1}{2}| > \frac{1}{4}$, $f(t) = 1$ für $|t - \frac{1}{2}| \leq \frac{1}{4}$

#2 Glatte periodische Funktion: $f(t) = \frac{1}{\sqrt{1 + \frac{1}{2} \sin(2\pi t)}}$.

#3 Keilfunktion: $f(t) = |t - \frac{1}{2}|$

Berechnung der Normen der Interpolationsfehler:

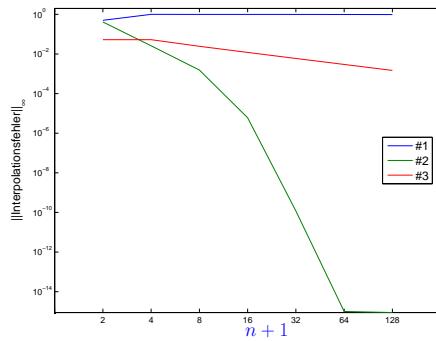
```
t = 0:1/n:1; y = feval(f,t(1:end-1));
v = real(evaliptrig(y,4096));
v = [v,v(1)]; fv = feval(f,0:1/4096:1);
d = abs(fv-v); l1inf = max(d); l2 = 1/64*norm(d(1:end-1));
```

4.1

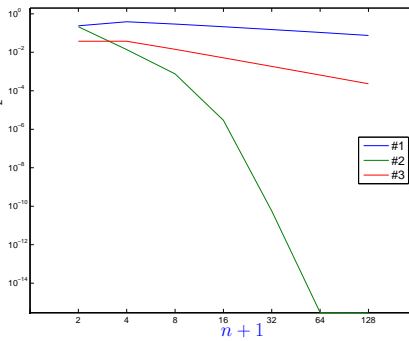
p. 406

4.1

p. 408

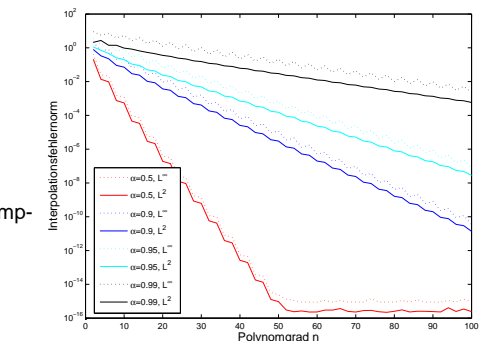


Beobachtung: Fall #1, #3: Algebraische Konvergenz
Fall #2: Exponentielle Konvergenz

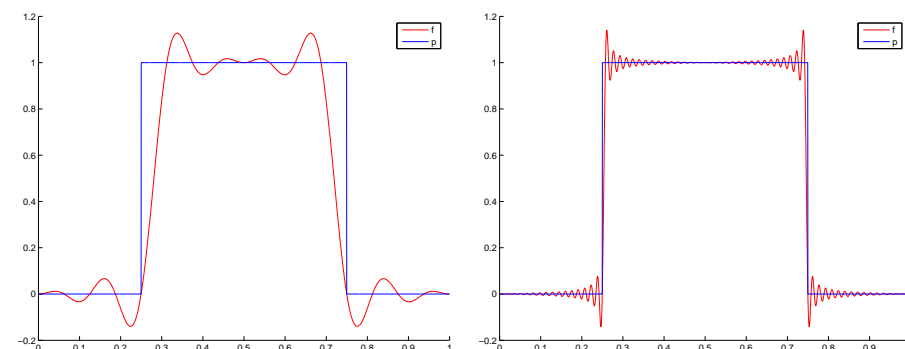


$$f(t) = \frac{1}{\sqrt{1 - \alpha \sin(2\pi t)}} \text{ auf } I = [0, 1].$$

Approximative Messung der Normen: "oversampling" in 4096 Punkten



➤ Beobachtet: Exponentielle Konvergenz im Grad n , je schneller, je kleiner α



➤ $n = 16$
Gibssches Phänomen: Überschwinger an Unstetigkeitsstellen

$n = 128$

Beispiel 166 (Trigonometrische Interpolation analytischer Funktionen).

Analyse benutze: Trigonometrische Polynome = Partialsummen von Fourierreihen

Bekannt aus → Analysis, → Mathematische Methoden der Physik:

4.1
p. 409

▀ **Theorem 4.1.11 (L^2 -Konvergenz der Fourierreihe).** Jede quadratintegrierbare Funktion $f \in L^2([0, 1]) := \{f :]0, 1[\rightarrow \mathbb{C} : \|f\|_{L^2([0,1])} < \infty\}$ ist der $L^2([0, 1])$ -Grenzwert ihrer Fourierreihe

$$f(t) = \sum_{k=-\infty}^{\infty} \hat{f}(k) e^{2\pi i k t} \text{ in } L^2([0, 1]),$$

mit Fourierkoeffizienten

$$\hat{f}(k) = \int_0^1 f(t) e^{-2\pi i k t} dt, \quad k \in \mathbb{Z}.$$

Isometrieeigenschaft: $\sum_{k=-\infty}^{\infty} |\hat{f}(k)|^2 = \|f\|_{L^2([0,1])}^2$ (4.1.19) eq:Fouriso

4.1
p. 410

4.1
p. 411

4.1
p. 412

Lemma 4.1.12 (Ableitung und Fourierkoeffizienten).

$$f \in L^1([0, 1]) \text{ & } f' \in L^1([0, 1]) \Rightarrow \widehat{f'}(k) = 2\pi i k \widehat{f}(k), \quad k \in \mathbb{Z}.$$

$$\Rightarrow \|f^{(n)}\|_{L^2([0,1])}^2 = (2\pi)^{2n} \sum_{k=-\infty}^{\infty} k^{2n} |\widehat{f}(k)|^2. \quad (4.1.20)$$

$$\text{Falls } |\widehat{f^{(n)}}(k)| \leq \int_0^1 |f^{(n)}(t)| dt < \infty \Rightarrow \widehat{f}(k) = O(k^{-n}) \text{ für } |k| \rightarrow \infty.$$

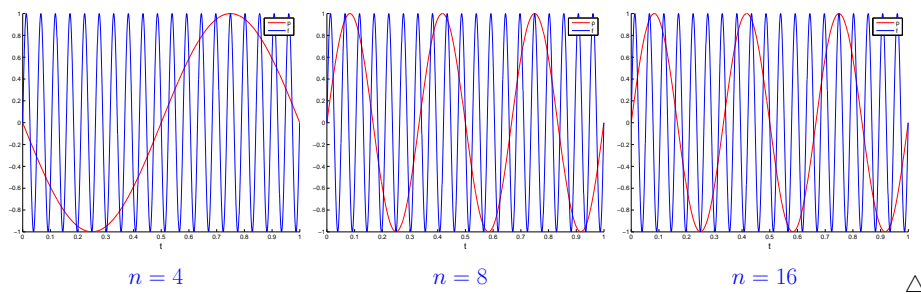
Je glatter eine 1-periodische Funktion, desto schneller der Abfall ihrer Fourierkoeffizienten

Bemerkung 167 (Aliasing).

$$\mathcal{T} = \left\{ \frac{j}{n} \right\}_{j=0}^{n-1} \Rightarrow e^{\frac{2\pi i N t}{n}} = e^{\frac{2\pi i (N-n)t}{n}} \Rightarrow \mathsf{T}_n(e^{2\pi i N \cdot}) = \mathsf{T}_n(e^{2\pi i (N \bmod n) \cdot}).$$

Die trigonometrische Interpolation von $t \rightarrow e^{2\pi i N t}$ und $t \rightarrow e^{2\pi i (N \bmod n) t}$ mit Polynomgrad n liefert das gleiche trigonometrische Interpolationspolynom! → **Aliasing**

Beispiel für $f(t) = \sin(2\pi \cdot 19t)$ ➤ $N = 38$:



[Linearität der trigonometrischen Interpolation]

Für $f \in C([0, 1])$ 1-periodisch, $n = 2m$:

$$f(t) = \sum_{j=-\infty}^{\infty} \widehat{f}(j) e^{2\pi i j t} \Rightarrow \mathsf{T}_n(f)(t) = \sum_{j=-m+1}^m \gamma_j e^{2\pi i j t}, \quad \gamma_j = \sum_{l=-\infty}^{\infty} \widehat{f}(j+l).$$

► Fourier-Koeffizienten der Interpolationsfehlerfunktion $e = f - \mathsf{T}_n(f)$:

$$\widehat{e}(j) = \begin{cases} - \sum_{l=1}^{\infty} \widehat{f}(j+l), & \text{falls } -m+1 \leq j \leq m, \\ \widehat{f}(j), & \text{falls } j \leq -m \vee j > m. \end{cases}$$

$$\blacktriangleright \stackrel{\text{eq:Fouriso}}{\|f - \mathsf{T}_n(f)\|_{L^2([0,1])}^2} \stackrel{\text{eq:fourierest}}{\leq} \left| \sum_{|l|=1}^{\infty} \widehat{f}(j+l) \right|^2 + \sum_{|j| \geq m} |\widehat{f}(j)|^2. \quad (4.1.21)$$

Abschätzbar bei bekanntem Abfall der $\widehat{f}(j) \leftrightarrow$ Glattheit von f , vgl. (4.1.20)

Theorem 4.1.13 (Fehlerabschätzung für trigonometrische Interpolation). Für $k \in \mathbb{N}$:

$$f^{(k)} \in L^2([0, 1]) \Rightarrow \|f - \mathsf{T}_n f\|_{L^2([0,1])} \leq \sqrt{1 + c_k} n^{-k} \|f^{(k)}\|_{L^2([0,1])},$$

$$\text{mit } c_k = 2 \sum_{l=1}^{\infty} (2l-1)^{-2k}.$$

4.1.4.3 Trigonometrische Interpolation analytischer Funktionen

Was passiert wenn $f : \mathbb{R} \mapsto \mathbb{C}$ 1-periodisch und $f \in C^\infty(\mathbb{R})$? (Aussage von Thm. 4.1.13)

4.1
p. 413

4.1
p. 415

Definition 4.1.14 (Analytische Funktion).

Eine Funktion $f : D \subset \mathbb{C} \mapsto \mathbb{C}$ heisst **analytisch** (\leftrightarrow holomorph) (in D), falls (im Sinne lokal gleichmässiger Konvergenz)

$$\forall z \in D: \exists r > 0, (\alpha_k)_{k=0}^{\infty} \in \mathbb{C}^{\mathbb{N}_0}: |w-z| < r \Rightarrow f(w) = \sum_{k=0}^{\infty} \alpha_k (w-z)^k.$$

Analytizität \leftrightarrow lokale Darstellbarkeit durch Potenzreihe

Noch glatter:

Ganze Funktionen \leftrightarrow global konvergente Potenzreihe

► analytisch in \mathbb{C} , z.B. Polynome, $\exp z, \sin z, \cos z, \dots$ + Kompositionen.

„Eine Funktion sucht sich ihr Analytizitätsgebiet selbst!“

Beispiel 168 (Analytizitätsgebiete von Funktionen).

• $f(t) = (1+t^2)^{-1}$ (\rightarrow Bsp. 4.1.62): Interpretation als Funktion in $z \in \mathbb{C}$:

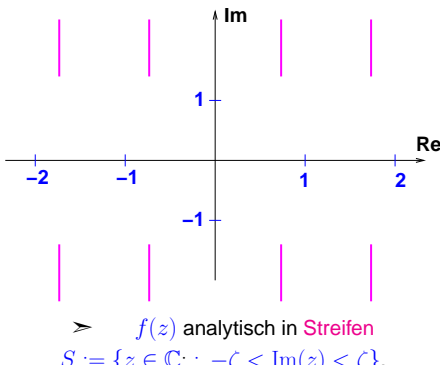
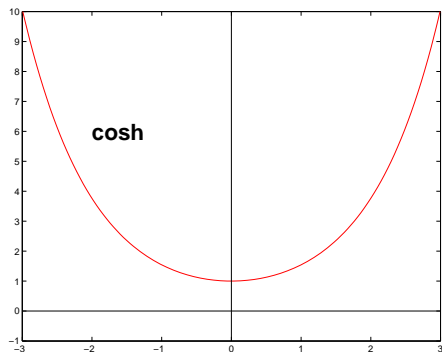
4.1
p. 414

$$f(z) = \frac{1}{1+z^2} = \frac{1}{(z-i)(z+i)} \Rightarrow f \text{ analytisch in } \mathbb{C} \setminus \{\pm i\}.$$

4.1
p. 416

• $f(t) = \frac{1}{\sqrt{1 + \alpha \sin(2\pi t)}}$, $\alpha > 0$ (\rightarrow Bsp. 165): Fortsetzung in \mathbb{C} , \checkmark = Hauptzweig, analytisch auf $\mathbb{C} \setminus \mathbb{R}_0^-$.

$1 + \alpha \sin(2\pi z) \notin \mathbb{R}_0^- \Leftrightarrow \sin(2\pi z) = \sin(2\pi x) \cosh(2\pi y) + i \cos(2\pi x) \sinh(2\pi y) \notin -\infty, -1 - \frac{1}{\alpha}$.
 ► Analytizitätsgebiet: $\mathbb{C} \setminus \bigcup_{k \in \mathbb{Z}} \left(\frac{k}{2} + \frac{1}{4} + i(\mathbb{R} \setminus [-\zeta, \zeta]) \right)$, $\zeta \in \mathbb{R}^+$, $\cosh(2\pi\zeta) = 1 + \frac{1}{\alpha}$.



■ **Theorem 4.1.15** (Exponentielle Konvergenz der trigonometrischen Interpolation).
 Falls $f : \mathbb{R} \mapsto \mathbb{C}$ 1-periodisch und analytisch (\rightarrow Def. 4.1.14) im Streifen $\overset{\text{def:analytic}}{S} := \{z \in \mathbb{C} : -\eta \leq \text{Im } z \leq \eta\}$, $\eta > 0$,

dann existiert ein nur von η abhängiges $C_\eta > 0$, so dass

$$\|f - T_n f\|_X \leq C_\eta e^{-\pi \eta n} \|f\|_{L^\infty(S)}, \quad n \in \mathbb{N}, \quad X = L^2([0, 1], L^\infty([0, 1])).$$

Beweis auf der Grundlage des folgenden Satzes, der aus (4.1.21) folgt:

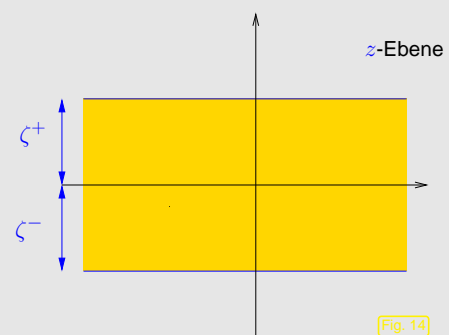
■ **Theorem 4.1.16.** Falls $f \in L^2([0, 1])$ mit

$$\exists M > 0, \rho \in [0, 1]: |\hat{f}(k)| \leq M \rho^{|k|} \Rightarrow \begin{aligned} \|f - T_n(f)\|_{L^2([0, 1])} &\leq M \frac{\rho^{n/2}}{1 - \rho^n} \frac{2\sqrt{2}}{\sqrt{1 - \rho^2}}, \\ \|f - T_n(f)\|_{L^\infty([0, 1])} &\leq 4M \frac{\rho^{n/2}}{1 - \rho}. \end{aligned}$$

Proof. (Beweis von Theorem 4.1.15) thm:expcvgl

Sei $f : \mathbb{R} \mapsto \mathbb{C}$ 1-periodisch, analytisch fortsetzbar in abgeschlossenen Streifen $S := \{z \in \mathbb{C} : -\eta^- \leq \text{Im } z \leq \eta^+\}$

$\triangleright g_r(t) := f(t + ir)$, 1-periodisch und glatt für $-\eta^- \leq r \leq \eta^+$



$$\widehat{g}_r(k) = \int_0^1 f(t + ir) e^{-2\pi i k t} dt = \int_0^1 f(t) e^{2\pi i k (t - ir)} dt = e^{-2\pi r k} \widehat{f}(k).$$

$$|\widehat{f}(k)| \leq e^{-2\pi r k} \frac{\max\{|f(t + ir)|, 0 \leq t \leq 1\}}{\|g_r\|_{L^\infty([0,1])}} \quad \forall k \in \mathbb{Z}, \quad \forall -\eta^- \leq r \leq \eta^+.$$

4.1
 p. 417

4.1
 p. 419

$$\begin{aligned} |\widehat{f}(-k)| &\leq \exp(-2\pi \eta^-)^k \|f\|_{L^\infty(\tilde{S})} \quad \forall k \in \mathbb{N}, \\ |\widehat{f}(k)| &\leq \exp(-2\pi \eta^+)^k \|f\|_{L^\infty(\tilde{S})} \quad \forall k \in \mathbb{N}. \end{aligned}$$

(4.1.22) eq:TIPstr

Exponentieller Abfall

↑
4.1.16

$\widehat{f}(k)$

Beispiel 169 (Exponentielle Konvergenz der trigonometrischen Interpolation).

$$f(t) = \frac{1}{\sqrt{1 + \alpha \sin(2\pi t)}}, \alpha > 0 \quad (\rightarrow \text{Bsp. 165 \& Bsp. 168})$$

f analytisch in Streifen $S := \{x \in \mathbb{C} : \text{Im } z < \zeta, \cosh(2\pi\zeta) = 1 + \frac{1}{\alpha}\}$

Vorsicht: f unbeschränkt auf S ! \triangleright betrachte schmalere Streifen.

4.1
 p. 418

4.1
 p. 420

4.1.4.4 Trigonometrische Interpolation und Tschebyscheff-Interpolation

$p \in \mathcal{P}_n \hat{=} \text{Tschebyscheff-Interpolationspolynom auf } [-1, 1] \text{ zu } f : [-1, 1] \mapsto \mathbb{C}$ (\rightarrow Abschnitt 4.1.3) sec:tschbysci

$$p(t_k) = f(t_k) \quad \text{für Tschebyscheff-Knoten}, \text{ siehe (4.1.17)}, \quad t_k := \cos\left(\frac{2k+1}{2(n+1)}\pi\right), \quad k = 0, \dots, n.$$

$$\begin{aligned} f : [-1, 1] \mapsto \mathbb{C} &\leftrightarrow g(s) := f(\cos 2\pi s), \\ p : [-1, 1] \mapsto \mathbb{C} &\leftrightarrow q(s) := p(\cos 2\pi s), \end{aligned} \quad \text{1-periodisch, achsensymmetrisch.}$$

$$p(t_k) = f(t_k) \Leftrightarrow q\left(\frac{2k+1}{4(n+1)}\right) = g\left(\frac{2k+1}{4(n+1)}\right). \quad (4.1.23)$$

! Wir zeigen: $q(s)$ ist trigonometrisches Polynom:

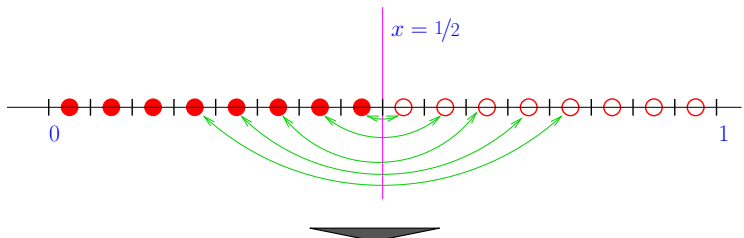
$$q \in \mathcal{P}_{2n}^T$$

$\mathcal{P}_n = \text{Span}\{T_0, \dots, T_n\}$, T_j = Tschebyscheff-Polynome \rightarrow Def. 4.1.6 Def:Tpol

$$\blacktriangleright p(t) = \gamma_0 T_0(t) + \gamma_1 T_1(t) + \dots + \gamma_n T_n(t), \quad \gamma_j \in \mathbb{C}.$$

$$\blacktriangleright q(s) = p(\cos 2\pi s) = \sum_{j=0}^n \gamma_j \cos(2\pi j s) = \sum_{j=-n}^n \frac{1}{2} \gamma_j |j| e^{-2\pi i j s}, \quad s \in \mathbb{R}. \quad (4.1.24)$$

$$p(t_k) = f(t_k) \Leftrightarrow \sum_{j=0}^n \gamma_j \cos\left(2\pi j \cdot \frac{2k+1}{4(n+1)}\right) = g\left(\frac{2k+1}{4(n+1)}\right), \quad k = 0, \dots, n.$$



$$\begin{aligned} \tilde{g}(s) &:= g\left(s + \frac{1}{4(n+1)}\right), \\ \tilde{q}(s) &:= q\left(s + \frac{1}{4(n+1)}\right) \end{aligned} \Rightarrow \tilde{q}\left(\frac{k}{2(n+1)}\right) = \tilde{g}\left(\frac{k}{2n+2}\right), \quad k = 0, \dots, 2n+1.$$

$$\underbrace{\sum_{j=-n}^n \tilde{\gamma}_j \exp\left(2\pi i j \cdot \frac{k}{2(n+1)}\right)}_{\in \mathcal{P}_{2n}^T} = \tilde{g}\left(\frac{k}{2n+2}\right), \quad k = 0, \dots, 2n+1,$$

$$\text{mit } \tilde{\gamma}_j := \begin{cases} \frac{1}{2} \exp\left(2\pi i \frac{j}{4(n+1)}\right) \gamma_{|j|} & \text{falls } j \neq 0, \\ \gamma_0 & \text{für } j = 0. \end{cases}$$

► Transformiertes Tschebyscheff-Interpolationspolynom $p(\cos 2\pi t)$ = trigonometrisches Interpolationspolynom zu \tilde{g} ! $\Rightarrow \|f - p\|_{L^\infty([-1,1])} = \|\tilde{g} - \tilde{q}\|_{L^\infty([0,1])}$

► Übertragung der L^∞ Fehlerabschätzungen von Thm. 4.1.15 t hm:expcvg

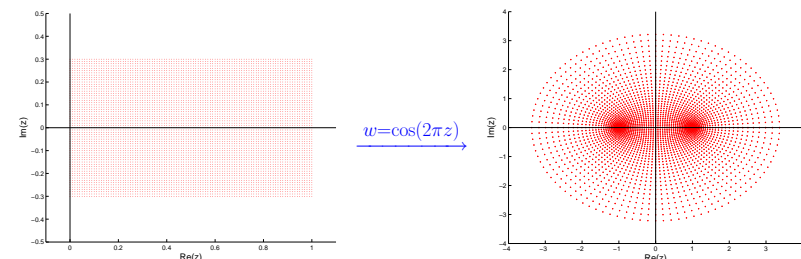
Wo muss f analytisch sein, damit $g(w) = f(\cos 2\pi z)$ analytisch in Streifen

$$S := \{w \in \mathbb{C} : -\zeta^- < \text{Im}\{z\} < \zeta^+, \zeta^-, \zeta^+ > 0\}?$$

\Updownarrow

Gestalt von $\cos(S)$?

4.1
p. 421



Mit $\cos(x + iy) = \cos x \cosh y - i \sin x \sinh y$: $\cos(S)$ = Inneres der Ellipse

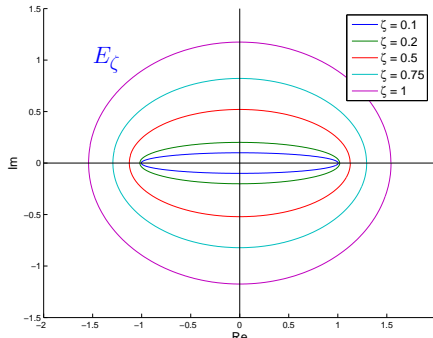
$$E_\zeta := \{z = \cos \varphi \cosh(2\pi \zeta) - i \sin \varphi \sinh(2\pi \zeta) : 0 \leq \varphi \leq 2\pi\}, \quad \zeta := \max\{\zeta^-, \zeta^+\}.$$

E_ζ : horizontale Halbachse = $\cosh(2\pi \zeta)$, vertikale Halbachse = $\sinh(2\pi \zeta)$.

4.1
p. 422

4.1
p. 423

4.1
p. 424



- Analyse: Tschebyscheff-Interpolation von analytischen Funktionen
1. Transformation auf $[-1, 1]$
 2. Analytizitätsgebiet $A \subset \mathbb{C}$ der transformierten Funktion
 3. Maximale Ellipse $E_\zeta \subset A$ + Maximum auf Ellipse
 4. Konvergenzabschätzung aus Thm. 4.1.15 [thm:expcvg]

4.1.5 Approximation durch Polynome

4.1.5.1 Bestapproximation

☞ Entscheidendes theoretisches Hilfsmittel:

\mathcal{T} = Knotenmenge in $I \subset \mathbb{R}$, $\mathbf{l}_\mathcal{T} : C(I) \mapsto \mathcal{P}_n$ Polynominterpolationsoperator \rightarrow [url:polintop] (4.1.6)

$$\mathbf{l}_\mathcal{T}(p) = p \quad \forall p \in \mathcal{P}_n \Rightarrow \|f - \mathbf{l}_\mathcal{T}(f)\| = \|(f - p) - \mathbf{l}_\mathcal{T}(f - p)\| \leq (1 + \|\mathbf{l}_\mathcal{T}\|) \|f - p\| .$$

► $\|f - \mathbf{l}_\mathcal{T}(f)\| \leq (1 + \|\mathbf{l}_\mathcal{T}\|) \inf_{p \in \mathcal{P}_n} \|f - p\|$.

Bestapproximationsfehler

Speziell für $\|\cdot\| = \|\cdot\|_{L^\infty(I)}$:

$$\|f - \mathbf{l}_\mathcal{T}(f)\|_{L^\infty(I)} \leq (1 + \lambda_\mathcal{T}) \inf_{p \in \mathcal{P}_n} \|f - p\|_{L^\infty(I)} \quad \text{mit Lebesgue-Konstante } \lambda_\mathcal{T} . \quad (4.1.25)$$

Resultat von Jackson [9, Thm. 13.3.7]:

☞ **Theorem 4.1.17** (L^∞ -Bestapproximation durch Polynome).

$$f \in C^r([-1, 1]), r \geq 1: \inf_{p \in \mathcal{P}_n} \|f - p\|_{L^\infty([-1, 1])} \leq (1 + \pi^2/2)^r \frac{(n-r)!}{n!} \|f^{(r)}\|_{L^\infty([-1, 1])} .$$

Thm. 4.1.17 + (4.1.25) + Abschätzung $\lambda_\mathcal{T} \leq \frac{2}{\pi} \log(1+n) + 1$ [RIV84b] [39, Thm. 1.2]

► L^∞ -Fehlerabschätzung für Tschebyscheff-Interpolation (\mathcal{T} = Tschebyscheff-Knoten)

$$f \in C^r([-1, 1]), r \geq 1: \|f - \mathbf{l}_\mathcal{T}(f)\|_{L^\infty([-1, 1])} \leq C(r)(1 + \frac{1}{\pi} \log n) \frac{(n-r)!}{n!} \|f^{(r)}\|_{L^\infty([-1, 1])} ,$$

mit $C(r) := 2(1 + \pi^2/2)^r$.

☞ Übertragung auf beliebige Intervalle mit Skalierungsargument.



4.1.5.2 Polynomiale Least-Squares Approximation

Gegeben: Knotenmenge $\mathcal{M} := \{\nu_0 < \nu_1 < \dots < \nu_m\}$ ($I := [\nu_0, \nu_m]$), $y_j \in \mathbb{C}, j = 0, \dots, m$

Gesucht: $p_n \in \mathcal{P}_n$ ($n < m$) mit

$$\sum_{j=0}^m |p(\nu_j) - y_j|^2 \rightarrow \min$$

☞ Lineares Ausgleichsproblem \rightarrow Abschnitt 3.5 [sec:numer-line-ausgl]

4.1
p. 425

Abstrakt: Inneres Produkt auf \mathcal{P}_m :

$$\langle p, q \rangle := \sum_{j=0}^m p(\nu_j) \bar{q}(\nu_j)$$

➤ Norm auf \mathcal{P}_m : $\|p\|_\mathcal{T} := \sqrt{\langle p, p \rangle}$

eq:icrole

Ausgleichsproblem: $p \in \mathcal{P}_n: \|p - y\|_\mathcal{T}^2 \rightarrow \min$,

wobei etwa $y := \mathbf{l}_m(y)$.

☞ **Theorem 4.1.18.** Sei $(V, (\cdot, \cdot))$ ein Innenproduktraum (mit Norm $\|\cdot\|^2 := (\cdot, \cdot)$) mit Orthonormalbasis (ONB) $\{b_1, \dots, b_m\}$, $m := \dim V \in \mathbb{N}$, und $W_n := \text{Span } \{b_1, \dots, b_n\}$, $n \leq m$:

$$\forall y \in V: x^{(n)} := \arg \min_{v \in W_n} \|y - v\| \Leftrightarrow x^{(n)} = \sum_{j=1}^n (y, b_j) b_j .$$

4.1
p. 426

Beweis: Benutze $v = \sum_{j=1}^m \xi_j b_j \Rightarrow \|v\|^2 = \sum_{j=1}^m |\xi_j|^2$ [sec:normalengleichungen]

oder Normalengleichungen \rightarrow Abschnitt 3.5.2.

4.1
p. 427

Ziel: Finde $\langle \cdot, \cdot \rangle$ -ONB $\{r_0, r_1, \dots, r_m\}$ von \mathcal{P}_m mit

$$\text{Span } \{r_0, \dots, r_n\} = \mathcal{P}_n, \quad 0 \leq n \leq m. \quad (4.1.26)$$



Idee: Gram-Schmidt-Orthonormalisierung wie im Lanczos-Prozess:
Gegeben ONB $\{r_0, \dots, r_n\}$, $r_j \in \mathcal{P}_j$, orthogonalisiere $tr_n(t)$ gegen $\{r_0, \dots, r_n\}$.

Krylov-Connection: $C(I) \mapsto C(I), f(t) \mapsto tf(t)$ ist $\langle \cdot, \cdot \rangle$ -selbstadjungierter Operator

Theorem 4.1.19 (Diskrete Orthogonalpolynome). Definiere $r_1 := 0, r_0 \equiv 1$ und

$$r_{k+1}(t) = (t - \alpha_{k+1})r_k(t) - \beta_k r_{k-1}(t), \quad k = 0, 1, \dots, m-1,$$

mit $\alpha_{k+1} := \frac{\langle tr_k, r_k \rangle}{\|r_k\|_{\mathcal{T}}^2}, \quad \beta_k := \frac{\|r_k\|_{\mathcal{T}}^2}{\|r_{k-1}\|_{\mathcal{T}}^2}$.

Dann ist $\{r_0, \dots, r_m\}$ eine $\langle \cdot, \cdot \rangle$ -orthogonale Basis von \mathcal{P}_m und erfüllt (4.1.26). Die r_j heißen (diskrete) Orthogonalpolynome

Beweis: (durch Induktion)

$$\begin{aligned} \langle r_{k+1}, r_j \rangle &= \langle (t - \alpha_{k+1})r_k - \beta_k r_{k-1}, r_j \rangle \\ &= \begin{cases} \langle r_k, (t - \alpha_{k+1})r_j \rangle - \beta_k \langle r_{k-1}, r_j \rangle = 0 & , \text{ falls } j < k-1, \\ \langle r_k, r_{k-1} \rangle - \|r_k\|_{\mathcal{T}}^2 = 0 & , \text{ falls } j = k-1, \\ \langle r_k, r_k \rangle - \alpha_{k+1} \langle r_k, r_k \rangle = 0 & , \text{ falls } j = k. \end{cases} \end{aligned}$$

MATLAB-Code aus [GGG05, Sect. 4.2.5]:

Input:

ν : Vektor der m Knotenpunkte

y : Werte $y_j, j = 0, \dots, m$

n : Maximaler Wert für k

Output:

α : Rekursionskoeffizienten α_k

β : Rekursionskoeffizienten β_k

b : Koeffizienten $\langle y, r_j \rangle, j = 0, \dots, n$

P : $p_{kj} = r_k(\nu_j)$

MATLAB-Code: Berechnung diskreter Orthogonalpolynome

```
function [alpha,beta,b,P]=dorthp(v,y,n)
m = length(v);
alpha(1) = sum(v)/m;
p1 = ones(size(v)); p2 = v-alpha(1);
P = [p1;p2];
b(1) = dot(p1,y)/dot(p1,p1);
b(2) = dot(p2,y)/dot(p2,p2);
for k=1:min(n-1,m-2)
    p0 = p1; p1 = p2;
    alpha(k+1) = dot(p1,(v.*p1))/norm(p1)^2;
    beta(k) = (norm(p1)/norm(p0))^2;
    p2 = (v-alpha(k+1)).*p1-beta(k)*p0;
    P = [P; p2];
    b(k+2) = dot(p2,y)/norm(p2)^2;
end
```

Aufwand zur Berechnung von $\alpha_k, \beta_k, \langle y, r_j \rangle, j = 0, \dots, n$ = $O(nm)$

MATLAB-Code Auswertung diskreter Orthogonalpolynome: (MATLAB-Code aus [GGG05, Sect. 4.2.5])

```
function[Y,Z]=evlortho(alpha,beta,b,z)
m = max(size(b));
p1 = ones(size(z));
p2 = z-alpha(1);
Z = [ p1; p2];
Y = [p1*b(1); p1*b(1)+p2*b(2)];
for i = 2:m-1
    p0 = p1; p1 = p2;
    p2 = (z-alpha(i)).*p1...
        -beta(i-1)*p0;
    Z = [Z;p2];
    Y = [Y; Y(i,:)+p2*b(i+1)];
end

```

Orthogonalpolynome

Auswertung von diskreten Orthogonalpolynomen: (MATLAB-Code aus [GGG05, Sect. 4.2.5])

Input:

ausgabe von `dorthp`

z : Auswertungsstellen

Output:

Y : Fitpolynomwerte an Stellen z

Z : Orthogonalpolynomwerte an Stellen z

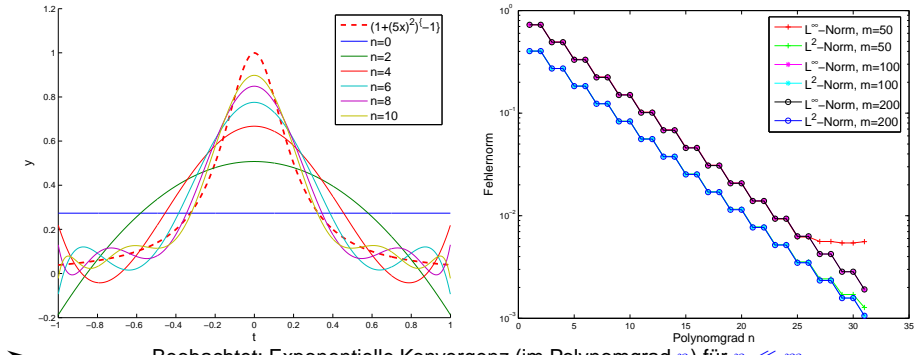
Beispiel 170 (Approximation durch Fitpolynome).

$$\text{① } f(t) = (1 + (5t)^2)^{-1}, I = [-1, 1] \rightarrow \text{Bsp. } f(x) \text{, analytische Funktion}$$

Fitten in $t_k = -1 + k \frac{2}{m}, k = 0, \dots, m, m \in \mathbb{N}$

Approximative Berechnung der Fehlernormen (Sampling in $\xi_j = -1 + \frac{j}{500}, j = 0, \dots, 1000$)

4.1
p. 429



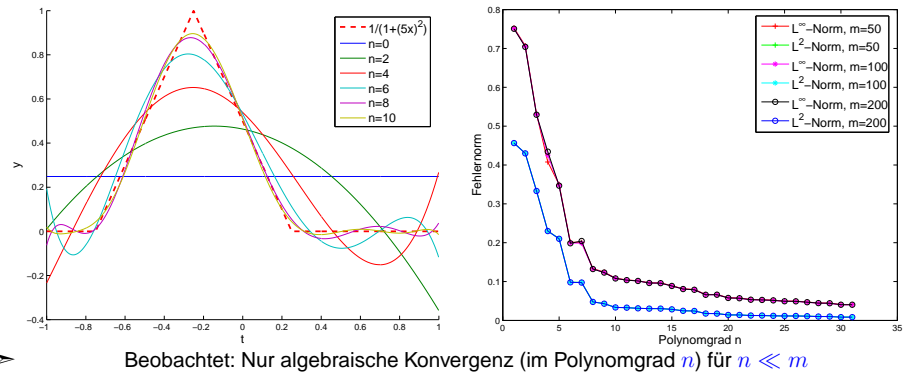
Beobachtet: Exponentielle Konvergenz (im Polynomgrad n) für $n \ll m$

$$\text{② } f(t) = \max\{0, 1 - 2 * |x + \frac{1}{4}| \}, f \text{ nur } C^0([-1, 1]), \text{ sonst wie oben}$$

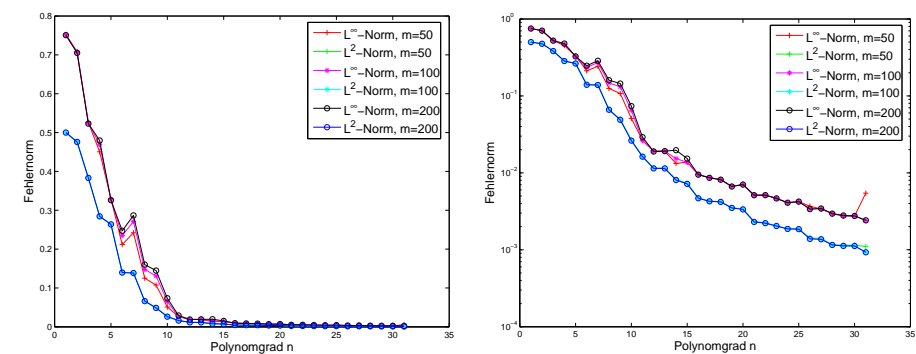
4.1
p. 430

4.1
p. 431

4.1
p. 432



③ $f(t) = \max\{\cos(4\pi|t + \frac{1}{4}|), 0\}$, nur $f \in C^1([-1, 1])$, sonst wie oben



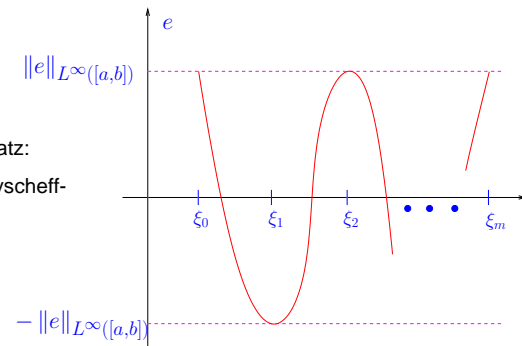
4.1.5.3 Tschebyscheff-Approximation

Gegeben: $f : I \subset \mathbb{R} \mapsto \mathbb{C}$ beschränkt, I Intervall

Gesucht: L^{∞} -bestapproximierendes Polynom: $q_n = \operatorname{argmin}_{p \in \mathcal{P}_n} \|f - p\|_{L^{\infty}(I)}$

Theorem 4.1.20 (Tschebyscheffscher Alternantensatz). Für $f \in C[a, b]$, $a < b$, $n \in \mathbb{N}$:

$$q = \arg \min_{p \in \mathcal{P}_n} \|f - p\|_{L^{\infty}(I)} \Leftrightarrow \begin{aligned} e(t) := f(t) - q(t) &\text{ erfüllt:} \\ \exists a \leq \xi_0 < \xi_1 < \dots < \xi_m \leq b, m \geq n+1, \\ |e(\xi_j)| &= \|e\|_{L^{\infty}([a, b])}, \quad j = 0, \dots, m, \\ e(\xi_{j-1}) &= -e(\xi_{j+1}), \quad j = 1, \dots, m. \end{aligned}$$



Veranschaulichung Alternantensatz:

Verhalten von $e \leftrightarrow$ Tschebyscheff-Polynome → Def. 4.1.6

4.1

p. 433 Terminologie: Extremalstellen ξ_j der Fehlerfunktion = Alternanten
Der Remes-Algorithmus [45, Abschn. II.5]:

Darstellung von Polynomen bzgl. Basis $\{u_0, \dots, u_n\}$ von \mathcal{P}_n : u_j = Monome, Tschebyscheff-Polynome, Def. 4.1.6

Idee: Iterative Aktualisierung einer Alternantenmenge: $\mathcal{A}^{(0)} \rightarrow \mathcal{A}^{(1)} \rightarrow \dots$, $\#\mathcal{A}^{(l)} = n+2$

① $\mathcal{A}^{(0)} := \{\xi_0^{(0)} < \xi_1^{(0)} < \dots < \xi_n^{(0)} < \xi_{n+1}^{(0)}\} \subset [a, b]$ „willkürlich“
(z.B. Extremalstellen des Tschebyscheff-Polynoms T_{n+1} , → 4.1.6: Tschebyscheff-Alternanten)

② Falls $\mathcal{A}^{(l)} := \{\xi_0^{(l)} < \xi_1^{(l)} < \dots < \xi_n^{(l)} < \xi_{n+1}^{(l)}\} \subset [a, b]$ exakte Alternantenmenge (\rightarrow Thm. 4.1.20):

$$\sum_{j=0}^n \alpha_j u_j(\xi_k^{(l)}) + (-1)^k \delta = f(\xi_k^{(l)}), \quad k = 0, \dots, n+1, \quad (4.1.27) \quad \text{Eq:ALTSY}$$

liefert L^{∞} -bestapproximierendes Polynom $q = \sum_{j=0}^n \alpha_j u_j$, $\delta = \pm \|f - q\|_{L^{\infty}([a, b])}$.

4.1
p. 434

► Löse (4.1.27) mit $\mathcal{A}^{(l)}$. Wenn $|\delta| - \|f - q\|_{L^{\infty}([a, b])} \leq \text{TOL}$ STOP

4.1
p. 436

- ③ $\mathcal{A}^{(l+1)}$ = Extrempunkte von $f - q$ (zu finden durch Newton/Sekanten-Verfahren, Sampling).
 $l \leftarrow l + 1$ und GOTO ②.
- Alternativ: $\mathcal{A}^{(l+1)} := \mathcal{A}^{(l)} \cup \{\text{Maximalstelle von } |f - q|\} \setminus \{\text{Minimalstelle von } |f - q|\}$
(Austausch → robusterer Algorithmus)

MATLAB-Code: Remes-Algorithmus zur Tschebyscheff-Approximation auf $[a, b]$:

f : Handle auf $f : [a, b] \mapsto \mathbb{R}$

n : Polynomgrad

N : Sampling-Auflösung

Tschebyscheff-Alternanten

Vandermonde-Matrix:

Die ersten $n+1$ Spalten des LGS (4.1.27)

Suche: Maximum der Fehlerfunktion
(Sampling-Technik)

```
nx = length(ind); xe = x(ind);
if (nx == d), xe=[a;xe;b];
elseif (nx == d+1)
  xmin = min(xe); xmax =
  max(xe);
  if ((xmin-a) > (b-xmax))
    xe = [a;xe];
  else xe = [xe;b];
end
```

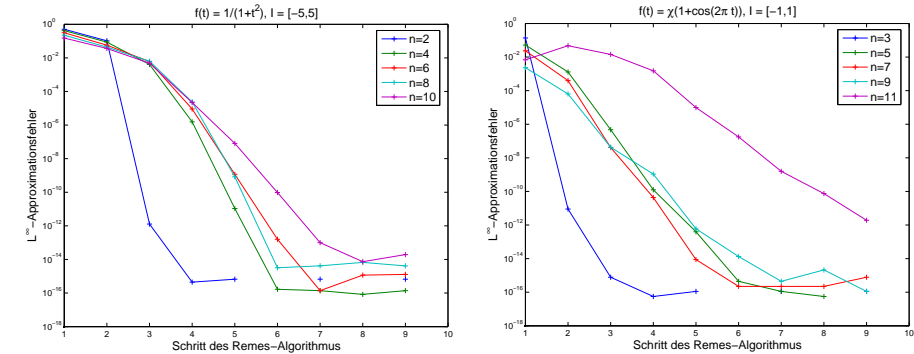
Beispiel 171 (Konvergenz des Remes-Algorithmus).

MATLAB-CODE: Remes-Algorithmus

```
function dev = remes(f,a,b,n,N,tol)
t = [a:(b-a)/N:b]'; y = feval(f,t);
xe=(a+b)/2+(a-b)/2*cos(pi/(n+1)*[0:d+1]');
fxe=feval(f,xe);
for k=1:maxit
  V=vander(xe);
  A=[V(:,2:d+2),(-1).^(0:d+1)'];
  c=A\fxe;
  delta = c(d+2);

  err = polyval(c(1:d+1),t) - y;
  delta = diff(err);
  s=[delta(1:n-1)].*[delta(2:n)];
  ind=find(s<0)+1;
  xe=....;
  fxe=feval(f,xe);
  del = polyval(c(1:d+1),xe) - fxe;
  dev = max(abs(del));
  if (abs(dev-abs(e)) < tol), break; end
end;
```

- $f(t) = (1+t^2)^{-1}$, $I = [-5, 5] \rightarrow$ Bsp. 162 ex:runge
- $f(t) = \begin{cases} \frac{1}{2}(1+\cos(2\pi t)) & , \text{ falls } |t| < \frac{1}{2} \\ 0 & \text{sonst.} \end{cases}$, $I = [-1, 1]$



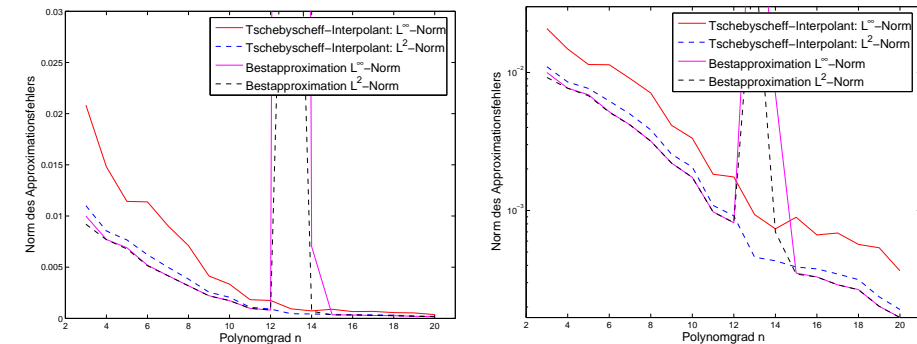
Beispiel 172 (Tschebyscheff-Interpolation vs. Bestapproximation).

4.1
p. 437

$$f(t) = \begin{cases} \exp\left(\frac{1}{(t-0.1)^2 - \frac{1}{4}}\right) & , \text{ falls } -0.4 < t < 0.6 \\ 0 & \text{sonst.}, \quad I = [-1, 1]. \end{cases}$$

$f \in C^\infty([-1, 1])$, aber f nicht analytisch!

Approximative Berechnung der Fehlernormen für verschiedene Polynomgrade:



Beobachtungen: Indizien für Exponentielle Konvergenz

$n = 13$: Divergenz des Remes-Algorithmus!?

4.1
p. 438

4.1
p. 439

4.1
p. 440

4.1.6 Clusteringapproximation

CLUSTAPPROX

Aufgabenstellung:

KERNEN

Gegeben: Kernfunktion $G : I \times J \mapsto \mathbb{C}$, $I, J \subset \mathbb{R}$ Intervalle: $G(x, y)$ glatt für $x \neq y$
Kollokationspunkte $x_1 < x_2 < \dots < x_n, x_j \in I, y_1 < y_2 < \dots < y_m, y_j \in J$

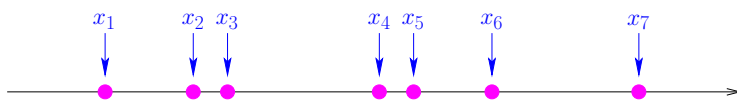
KOLLMAT

Kollokationsmatrix: $\mathbf{M} \in \mathbb{C}^{n,m} \Leftrightarrow (\mathbf{M})_{ij} := G(x_i, y_j), 1 \leq i \leq n, 1 \leq j \leq m.$

(4.1.28) [\[q:Mdef\]](#)

Gesucht: Effizienter Algorithmus für approximative Auswertung $\mathbf{M} \times$ Vektor
(Naiv: Rechenaufwand $O(mn)$!)

Beispiel 173 (Interaktionsberechnung für Vielteilchensysteme).



n parallele stromdurchflossene Drähte, Draht $j \rightarrow$ Strom c_j , Position $x_j \in \mathbb{R}, c_j \in \mathbb{R}$

Zu berechnen: Magnetische Kraft auf alle Drähte

$$\text{Kraft auf Draht } j: f_j = \sum_{k=1}^n \frac{1}{|x_j - x_k|} c_k c_j, j = 1, \dots, n.$$

► $\mathbf{f} = \text{diag}(c_1, \dots, c_n) \mathbf{M} \begin{pmatrix} c_1 \\ \vdots \\ c_n \end{pmatrix}, \mathbf{M} = (m_{ij})_{i,j=1}^n, m_{ij} = \begin{cases} \frac{1}{|x_j - x_i|} & \text{falls } i \neq j, \\ 0 & \text{für } i = j. \end{cases}$

➤ Kollokationsmatrix \mathbf{M} wird erzeugt durch **Kernfunktion** $G(x, y) = \frac{1}{|x-y|}$

Beispiel 174 (Gravitationskräfte in Galaxien).

Galaxie: $n (\approx 10^9)$ Sterne mit Positionen $\mathbf{x}_i \in \mathbb{R}^3$ und Massen $m_i, i = 1, \dots, n$.

Erforderlich für Simulation der Galaxiedynamik:

☞ Gravitationskraft auf alle Sterne !

$$f_j = \frac{G}{4\pi} \sum_{i \neq j} \frac{1}{\|\mathbf{x}_i - \mathbf{y}_j\|} m_i m_j, j \in \{1, \dots, n\}.$$



$$\mathbf{f} = \text{diag}(m_1, \dots, m_n) \mathbf{M} \begin{pmatrix} m_1 \\ \vdots \\ m_n \end{pmatrix}, m_{ij} := \begin{cases} \frac{G}{4\pi} \frac{1}{\|\mathbf{x}_i - \mathbf{y}_j\|} & \text{for } i \neq j, \\ 0 & \text{for } i = j, \end{cases} 1 \leq i, j \leq n.$$

▷ dreidimensionale Verallgemeinerung der Aufgabenstellung

4.1
p. 441

4.1.6.1 Separierte Kernapproximation

Beobachtung: Falls Kernfunktion separiert: $G(x, y) = g(x)h(y), g : I \mapsto \mathbb{C}, h : J \mapsto \mathbb{C}$

$$\mathbf{M} = (g(x_j))_{j=1}^n \cdot ((h(y_j))_{j=1}^m)^T \quad \blacktriangleright \quad \text{rank}(\mathbf{M}) = 1.$$

Rechenaufwand($\mathbf{M} \times$ Vektor) = $m + n$

$$\left(\begin{array}{c} \mathbf{M} \\ \vdots \\ \mathbf{M} \end{array} \right) \left(\begin{array}{c} \| \\ \| \\ \| \end{array} \right) = \left(\begin{array}{c} \| \\ \| \\ \| \end{array} \right) \underbrace{\left(\begin{array}{c} \| \\ \| \\ \| \end{array} \right)}_{\text{Skalarprodukt!}} \left(\begin{array}{c} \| \\ \| \\ \| \end{array} \right)$$

Verallgemeinerung: $G(x, y) = \sum_{j=1}^q g_j(x)h_j(y), g_j : I \mapsto \mathbb{C}, h_j : J \mapsto \mathbb{C}, q \in \mathbb{N}$

4.1
p. 442

$$\mathbf{M} = \mathbf{U} \mathbf{V}^T, \mathbf{U} \in \mathbb{R}^{n,q}, u_{ij} = g_j(x_i), j \in \{1, \dots, q\}, i \in \{1, \dots, n\}, \mathbf{V} \in \mathbb{R}^{q,m}, v_{ij} = h_i(y_j), i \in \{1, \dots, q\}, j \in \{1, \dots, m\}.$$

4.1
p. 443

4.1
p. 444



$$\text{rank}(\mathbf{M}) = q$$

Rechenaufwand($\mathbf{M} \times$ Vektor) = $q(m + n)$

$$\left(\begin{array}{|c|} \hline \mathbf{M} \\ \hline \end{array} \right) \left(\begin{array}{|c|} \hline \text{V} \\ \hline \end{array} \right) = \left(\begin{array}{|c|} \hline \mathbf{U} \\ \hline \end{array} \right) \left\{ \left(\begin{array}{|c|} \hline \mathbf{V}^T \\ \hline \end{array} \right) \right\}$$

q Skalarprodukte!



Idee: Globale Approximation von G durch (Summe) separierter Kernfunktionen:

$$G(x, y) \approx \tilde{G}(x, y) := \sum_{l=0}^d \sum_{k=0}^d \kappa_{l,k} g_l(x) h_k(y), \quad \kappa_{l,k} \in \mathbb{C}, \quad (x, y) \in I \times J.$$
(4.1.29) CA:1



$$\text{Ersetze } \mathbf{M} \rightarrow \widetilde{\mathbf{M}} = (\tilde{m}_{ij}), \quad \tilde{m}_{ij} = \tilde{G}(x_i, y_j)$$

Bemerkung 175 (Qualitätsmaß für Kernapproximation).

$$\|\mathbf{M} - \widetilde{\mathbf{M}}\|_2^2 \leq \|\mathbf{M} - \widetilde{\mathbf{M}}\|_F^2 = \sum_{i,j} (m_{ij} - \tilde{m}_{ij})^2 = \boxed{\sum_{i,j} (G(x_i, y_j) - \tilde{G}(x_i, y_j))^2}.$$

► Normalisiertes Qualitätsmaß: $\frac{1}{mn} \sum_{i,j} (G(x_i, y_j) - \tilde{G}(x_i, y_j))^2$. (4.1.30) CA:qualr



Wie bekommt man eine separierte Kernapproximation?

Definition 4.1.21 (Tensorprodukt-Polynominterpolation). $L_j^x \in \mathcal{P}_n$ ($L_k^y \in \mathcal{P}_m$), $j = 0, \dots, n$ ($k = 0, \dots, m$), Lagrange-Polynome zu Knotenmenge $\mathcal{X} := \{x_j\}_{j=0}^n \subset I$ ($\mathcal{Y} := \{y_k\}_{k=0}^m \subset J$), $I, J \subset \mathbb{R}$ Intervalle. Zu stetigem $f : I \times J \mapsto \mathbb{C}$ definiert

$$(I_{\mathcal{X} \times \mathcal{Y}} f)(x, y) := \sum_{j=0}^n \sum_{k=0}^m f(x_j, y_k) L_j^x(x) L_k^y(y), \quad x, y \in \mathbb{R},$$

das **Tensorprodukt-Interpolationspolynom**.

Abschnitt 4.1.3: Benutze Tensorprodukt-Tschebyscheff-Polynominterpolation

$$\tilde{G}(x, y) := \sum_{j=0}^d \sum_{k=0}^d G(t_j^x, t_k^y) L_j^x(x) L_k^y(y), \quad (4.1.31) \text{ CA:2}$$

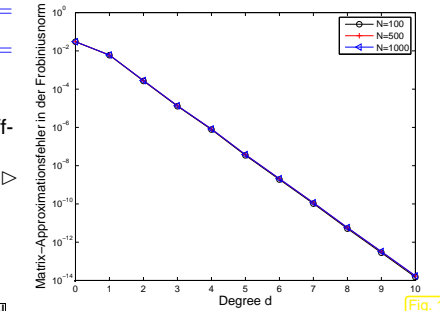
$t_0^x, \dots, t_d^x / t_0^y, \dots, t_d^y$ Tschebyscheff-Knoten in I/J ,
 L_j^x, L_k^y zugeordnete Lagrange-Polynom.

Beispiel 176 (Globale separierbare Approximation bei glatter Kernfunktion).

- Glatte (analytische !) Kernfunktion $G(x, y) = \frac{1}{1 + |x - y|^2}$, Kollokationspunkte $x_i = y_i = \frac{i-1}{n}, i = 1, \dots, n$.
- \tilde{G} durch Tensorprodukt-Tschebyscheff-Polynominterpolation (178) vom Grad $d \in \mathbb{N}$. CA:2

$$\frac{1}{n^2} \sum_{i,j} (G(x_i, y_j) - \tilde{G}(x_i, y_j))^2$$

als Funktion von d für $n \in \{100, 200, 400\}$ smoothkernel



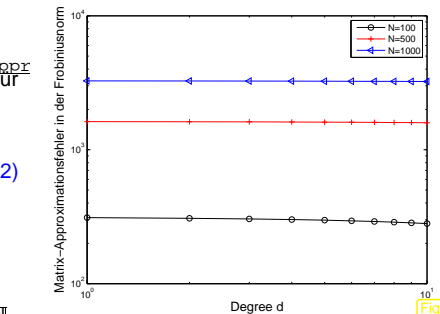
4.1 p. 445 Beobachtet: Exponentielle Konvergenz $\|\mathbf{M} - \widetilde{\mathbf{M}}\|_F \rightarrow 0$ in Abhängigkeit von d

Beispiel 177 (Globale separierbare Approximation bei nichtglatter Kernfunktion).

Auswertungen wie in Bsp. 176, nun für Kernfunktion

$$G(x, y) = \begin{cases} \frac{1}{|x-y|} & \text{für } x \neq y, \\ 0 & \text{sonst,} \end{cases} \quad (4.1.32)$$

vgl. Bsp. 173. ex:wires



Beobachtet: (Praktisch) keine Konvergenz $\|\mathbf{M} - \widetilde{\mathbf{M}}\|_F \rightarrow 0$ für $d \rightarrow \infty$

Schuldiger:

- Fehlende *globale* Glattheit
- Schlechte Approximierbarkeit von $G(x, y) := |x - y|^{-1}$ in Umgebung von $\{(x, y) \in I \times J : x = y\}$.

JEDOCH $G(x, y)$ aus (4.1.32) ist glatt (sogar analytisch \rightarrow Def. 4.1.14) in "grosserer Entfernung" von $\{(x, y) \in I \times J: x = y\}$.



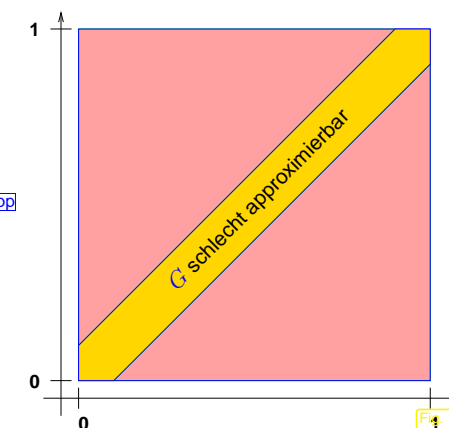
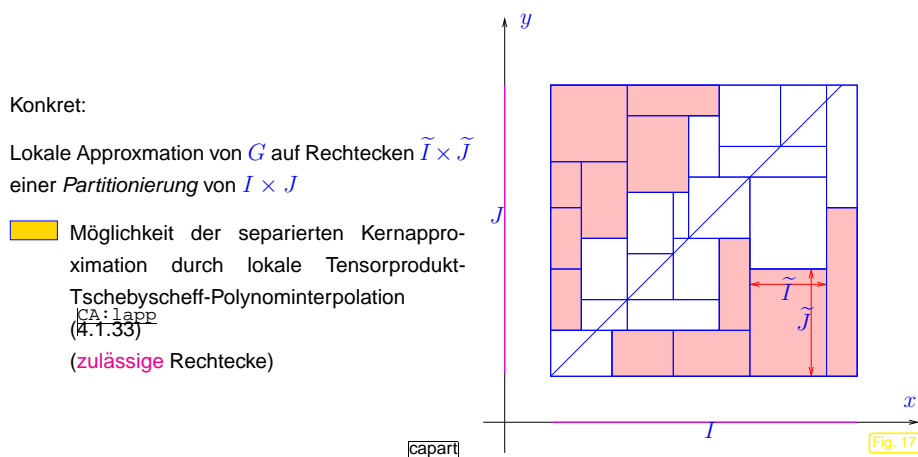
Idee: **Lokale** Approximation von G durch (Summe) separierter Kernfunktionen:

$$G(x, y) \approx \sum_{l=0}^d \sum_{k=0}^d \kappa_{l,k} g_l(x) h_k(y), \quad \kappa_{l,k} \in \mathbb{C}, \quad (4.1.33)$$

CA:lapp

$(x, y) \in \tilde{I} \times \tilde{J}, \tilde{I} \subset I, \tilde{J} \subset J,$

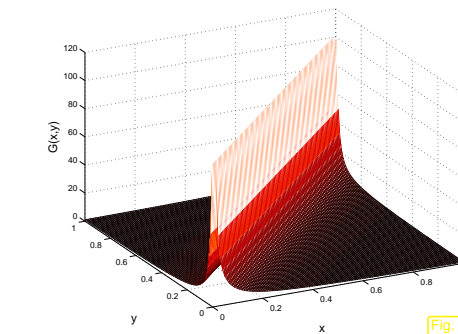
$\text{mit } \tilde{I} \times \tilde{J} \cap \{(x, y): x = y\} = \emptyset.$



Terminologie:

- █ NEARF
- █ Nahfeld: G nicht approximierbar
- █ FARF
- █ Fernfeld: G gut approximierbar

4.1
p. 449



Kernfunktion (4.1.32) auf $[0, 1]^2$

$$G(x, y) = \frac{1}{|x - y|}$$

- singulär für $x = y$
- Analytisch fern von $\{(x, y): x = y\}$: Analytizitätsellipsen (\rightarrow Abschn. 4.1.4) wachsen mit $|x - y|$

Ähnliche Kernfunktionen: $G(x, y) = \log|x - y|$, $G(x, y) = \frac{\partial}{\partial x} \frac{1}{|x - y|}$, etc.

4.1
p. 450

4.1
p. 451

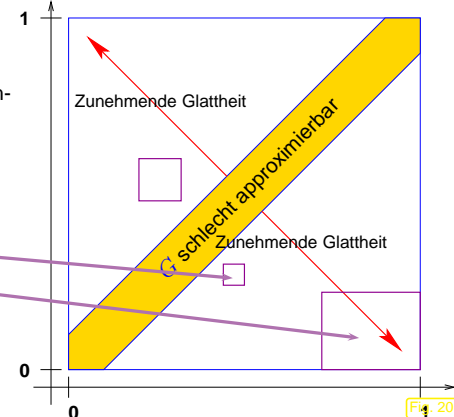
„Glattheit von $G(x, y) = \frac{1}{|x-y|}$ nimmt mit wachsender Entfernung von Diagonalen $\{x = y\}$ zu“:

► Keine Approximation, wenn $|x - y|$ „klein“

Tensorprodukt-Polynominterpolation auf

- kleinen Rechtecken nahe Diagonale
- grossen Rechtecken fern der Diagonalen

Wahl geeigneter Rechtecke ?

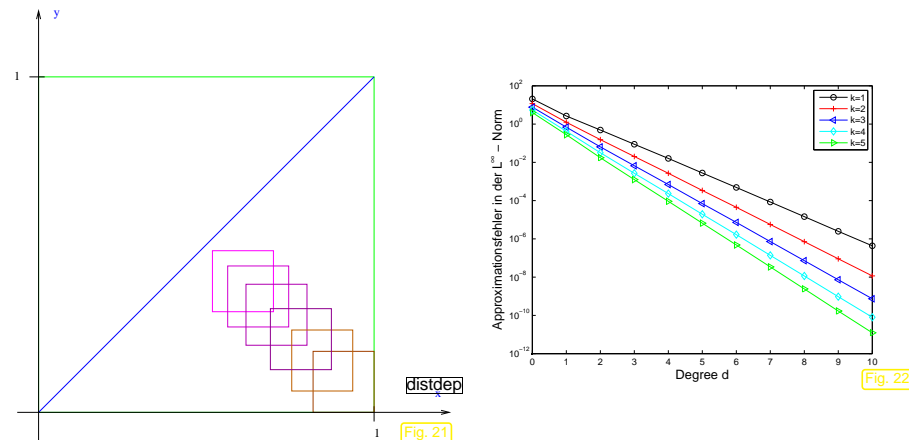


Beispiel 178 (Tensorprodukt-Tschebyscheff-Interpolation auf Rechtecken).

$I = J = [0, 1]^2$, $G(x, y) = |x - y|^{-1}$ from (4.1.32), (Genäherte) Supremumsnorm des Fehlers der lokalen Tensorprodukt-Tschebyscheff-Polynominterpolation von G auf

Rechtecken konstanter Grösse, aber mit wachsendem Abstand von $\{(x, y) : x = y\}$.

$$\tilde{I}_k = [0.55 + k \cdot 0.05, 0.75 + k \cdot 0.05], \quad \tilde{J}_k = [0.25 - k \cdot 0.05, 0.45 - k \cdot 0.05], \quad k \in \{0, \dots, 5\}.$$



Abnahme des Interpolationsfehlers mit zunehmendem Abstand von $\{(x, y) : x = y\}$

Beispiel 179 (Tensorprodukt-Tschebyscheff-Interpolation auf variablen Rechtecken).

siehe → Bsp. 178: nun Supremumsnorm des Interpolationsfehlers auf Rechtecken

$$[\frac{1}{2}(\sqrt{2}-1)\xi + \frac{1}{2}, \frac{1}{2}(\sqrt{2}+1)\xi + \frac{1}{2}] \times [-\frac{1}{2}(\sqrt{2}-1)\xi + \frac{1}{2}, -\frac{1}{2}(\sqrt{2}+1)\xi + \frac{1}{2}], \quad 0.05 \leq \xi \leq \frac{1}{1+\sqrt{2}}$$

Grösse der Rechtecke ↗ Abstand von Diagonalen

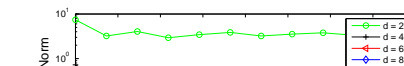
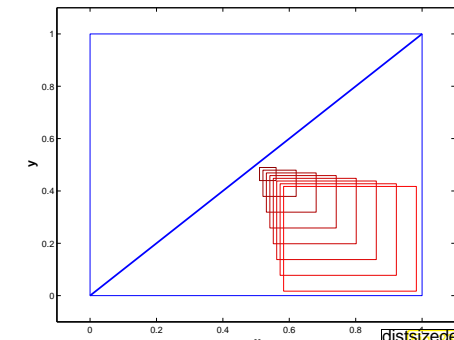


Fig. 24

Abnahme des Interpolationsfehlers trotz Zunahme der Rechtecksgrösse

ZULIB
Zulässigkeitsbedingung:

$$[a, b] \times [c, d] \text{ heisst } \eta\text{-zulässig} \text{ (engl. admissible), } \eta > 0, \text{ falls } \eta \text{ dist}([a, b], [c, d]) \geq \max\{b - a, d - c\}. \quad (4.1.34) \quad \text{CA:adm}$$

4.1
p. 453

$$(\text{dist}([a, b], [c, d]) := \min\{|x - y| : x \in [a, b], y \in [c, d]\})$$

4.1
p. 455

4.1.6.2 Clustertechnik

Aufgabe: Gegeben $\eta > 0$, finde (→ schneller Algorithmus) Partitionierung von $I \times J$ „fern der Diagonalen“ in η -zulässige Rechtecke.

Bemerkung 180. Perspektiven:

$$\begin{array}{ccc} \text{Partitionierung} & \implies & \text{Partitionierung} \\ \text{von } I \times J & & \text{von } \{x_i\}_{i=1}^n \times \{y_j\}_{j=1}^m \quad \Leftrightarrow \quad \text{Partitionierung der} \\ & & \text{Indexmenge } \{1, \dots, n\} \times \{1, \dots, m\} \end{array}$$



Clustertechnik:

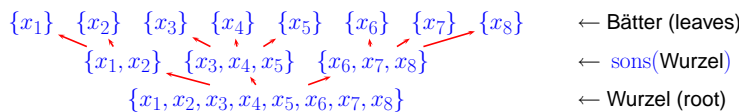
■ Definition 4.1.22 (Clusterbaum). Ein Baum (→ Informatik, Graphentheorie) T heisst Clusterbaum (engl. cluster tree) zu $\mathbb{P} := \{x_1, \dots, x_n\} \subset \mathbb{R}^d$: \Leftrightarrow

- Knoten von T (= Cluster) sind Teilmengen von \mathbb{P} .
- $\text{root}(T) = \mathbb{P}$.
- Für alle Knoten σ von T : $\{\sigma'\mid \sigma' \in \text{sons}(\sigma)\}$ ist Partitionierung von σ .

Bounding Box von Cluster $\sigma \in T$: $\Gamma(\sigma) := [\min\{x\}_{x \in \sigma}, \max\{x\}_{x \in \sigma}]$

4.1
p. 454

4.1
p. 456



Terminologie (\rightarrow Graphentheorie):

Clusterbaum T : $\sigma \in T$: $\text{sons}(\sigma) = \emptyset \Leftrightarrow \sigma$ Blatt

Clusterbaum T :

Rekursive Konstruktion

MATLAB-Datenstruktur:

$N \times 6$ -Matrix, $N = \#T$,

Zeilen $\hat{=}$ Cluster

$T = [T; i, j, xl, xr, s1, s2]$

$i, j : \sigma = \{x_i, \dots, x_j\}$

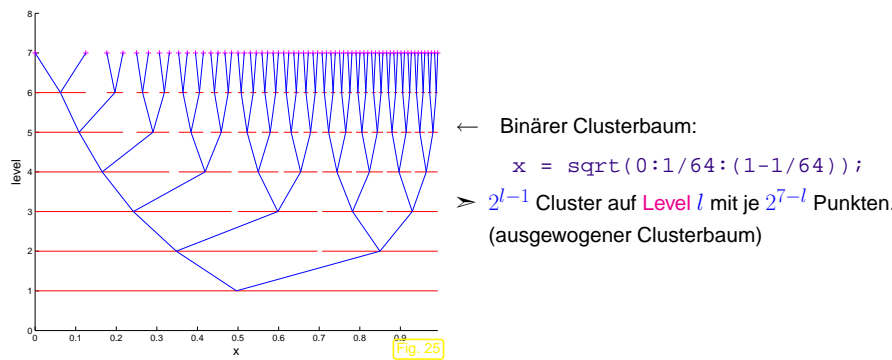
$xl : xl = \min_{i \leq k \leq j} x_k$

$xr : xr = \max_{i \leq k \leq j} x_k$

$s1, s2$: Zeilenindices der Söhne

$$\#T \leq 2n$$

Beispiel 181 (Clusterbaum).



Idee: Wähle Approximationsrechtecke = Tensorprodukte von Bounding Boxen von Clustern $\in T$



Respektiere Zulässigkeitsbedingung CA:adm (4.1.34)

Cluster σ, μ zulässig $\Leftrightarrow \Gamma(\sigma), \Gamma(\mu)$ zulässig.

Rekursiver Aufbau einer zulässigen Partitionierung:

Pnear = Nahfeld:

Zone nahe der Diagonalen
 \rightarrow keine Approximation

Pfar = Fernfeld:

Partitioniert mit η -zulässigen Rechtecken

MATLAB-CODE: Rekursiver Aufbau einer zulässigen Partitionierung

```
function [Pnear,Pfar] = ...
divide(Tx,Ty,sigma,mu,Pnear,Pfar,eta)
cls = Tx(sigma,:); clm = Ty(mu,:);
if (sigma == Blatt | mu == Blatt)
Pnear = [Pnear; cls(2),cls(3),clm(2),clm(3)];
elseif ((sigma,mu) zulässig)
Pfar = [Pfar; cls(2),cls(3), clm(2),clm(3)];
else
for s1 = cls(6:7), for s2 = clm(6:7)
[Pnear,Pfar] = divide(Tx,Ty,s1,s2,Pnear,Pfar,eta);
end; end
end
```

4.1
p. 457

MATLAB-CODE: Aufruf

```
function [Pnear,Pfar] = partition(Tx,Ty,eta)
Pnear = []; Pfar = [];
sigma = find(Tx(:,1) == min(Tx(:,1)));
mu = find(Ty(:,1) == min(Ty(:,1)));
[Pnear,Pfar] = divide(Tx,Ty,sigma,mu,Pnear,Pfar,eta);
```

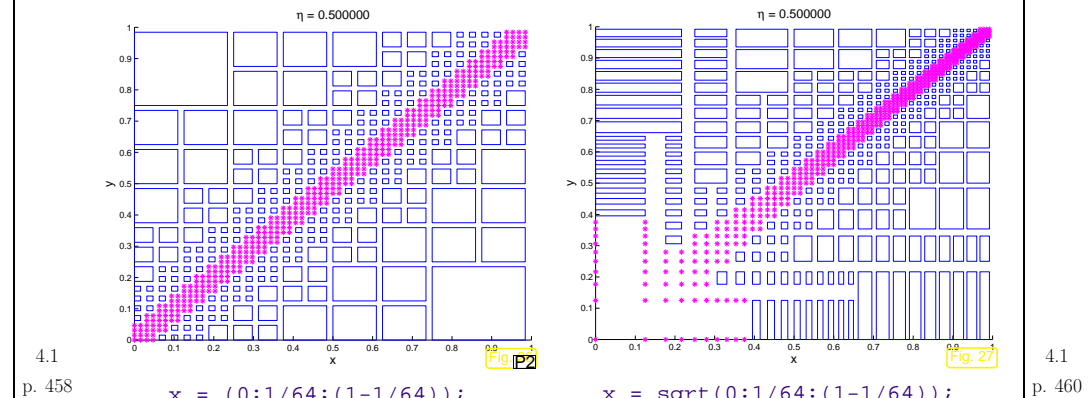
4.1
p. 459

MATLAB Animation zum Aufbau einer Partitionierung in File

./MATLAB/Kapitel_4_ApproximationInterpolation/Clustering/clusteringanimation.m

Aufruf: clusteringapproximation(N,waittime)

N: Anzahl Kollokationspunkte in einer Dimension, waittime: Zeit (sec) zwischen 2 Animationsschritten



Punktmenge(n): $*$ = Nahfeldpunktpaare , \square = Partitionsrechtecke (Fernfeld)

! Achsenabschnitte der Partitionsrechtecke $\in \{\Gamma(\sigma) : \sigma \in T\}$, $T \stackrel{\text{Def.: CT}}{\hat{=}}$ Clusterbaum (\rightarrow Def. 4.1.22)

4.1.6.3 Multipol-Matrixmultiplikation



Notation:

$$\begin{aligned} \sigma &:= \{i_1, \dots, i_d\} \subset \{1, \dots, n\} \\ \mu &:= \{j_1, \dots, j_d\} \subset \{1, \dots, m\} \quad \Rightarrow \quad \mathbf{M}_{|\sigma \times \mu|} := (m_{ij})_{\substack{i=i_1, \dots, i_d \\ j=j_1, \dots, j_d}}. \end{aligned}$$

Betrachte Kernapproximation auf $[x_{i_1}, x_{i_2}] \times [y_{j_1}, y_{j_2}]$ durch Tensorprodukt-Tschebyscheff-Polynominterpolation (\rightarrow siehe (178)):

$$G(x, y) \approx \tilde{G}(x, y) := \sum_{j=0}^d \sum_{k=0}^d G(t_j^x, t_k^y) L_j^x(x) L_k^y(y),$$

- $t_0^x, \dots, t_d^x / t_0^y, \dots, t_d^y$ $\hat{=}$ Tschebyscheff-Knoten auf $[x_{i_1}, x_{i_2}] / [y_{j_1}, y_{j_2}]$,
- L_j^x, L_k^y $\hat{=}$ zugeordnete Lagrange-Polynome.

$$\tilde{G}(x, y) = \sum_{j=0}^d \sum_{k=0}^d G(t_j^x, t_k^y) L_j^x(x) L_k^y(y), \quad x \in [x_{i_1}, x_{i_2}], y \in [y_{j_1}, y_{j_2}].$$

$$\Rightarrow \widetilde{\mathbf{M}}_{|\sigma \times \mu|} = \underbrace{\left(L_j^x(x_i) \right)_{\substack{i=i_1, \dots, i_d \\ j=0, \dots, d}}}_{\in \mathbb{R}^{|\sigma|, d+1}} \underbrace{\left(G(t_j^x, t_k^y) \right)_{\substack{j,k=0, \dots, d}}}_{\in \mathbb{R}^{d+1, d+1}} \underbrace{\left(L_k^y(y_j) \right)_{\substack{k=0, \dots, d \\ j=j_1, \dots, j_2}}}_{\in \mathbb{R}^{d+1, |\mu|}}$$

rank $\leq d+1$

$$\widetilde{\mathbf{M}}_{|\sigma \times \mu|} = \begin{pmatrix} \square & \square & \cdots & \square \end{pmatrix} \begin{pmatrix} \square & \square & \cdots & \square \end{pmatrix} \begin{pmatrix} \square & \square & \cdots & \square \end{pmatrix}.$$

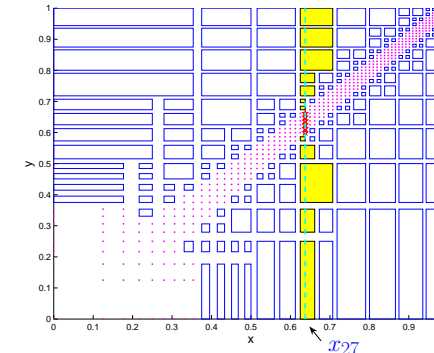
Anwendung auf Partitionierung

$$\{x_1, \dots, x_n\} \times \{y_1, \dots, y_m\} = \left(\bigcup_{(\sigma, \mu) \in P^{\text{near}}} \sigma \times \mu \right) \cup \left(\bigcup_{(\sigma, \mu) \in P^{\text{far}}} \sigma \times \mu \right).$$

Algorithmus: Auswertung $\mathbf{f} = \mathbf{Mc}$, \mathbf{M} aus (4.1.28)

$$f_i = \sum_{j=1}^m G(x_i, y_j) c_j = \underbrace{\sum_{j \in P^{\text{near}}(i)} G(x_i, y_j) c_j}_{\text{Nahfeldbeiträge}} + \underbrace{\sum_{\substack{\sigma \in T_x \\ x_i \in \sigma}} \sum_{\substack{\mu \in T_y \\ (\sigma, \mu) \in P^{\text{far}}}} \sum_{\substack{1 \leq j \leq m \\ y_j \in \mu}} G(x_i, y_j) c_j}_{\text{Fernfeldbeiträge}}.$$

Nahfeldkopplungsindices $P^{\text{near}}(i) := \{j \in \{1, \dots, m\} : (\{x_i\} \times \{y_j\}) \in P^{\text{near}}\}$



Veranschaulichung:

$\mathbf{x} = \text{sqrt}(0:1/64:1) i, i = 27, \eta = 1$:

Yellow arrow → Fernfeldclusterpaare mit Beiträgen zu f_i

Pink star → Nahfeldpunktpaare mit Beiträgen zu f_i

4.1
p. 461

4.1
p. 463

$$\begin{aligned} &\approx \sum_{j \in P^{\text{near}}(i)} G(x_i, y_j) c_j + \sum_{\substack{\sigma \in T_x \\ x_i \in \sigma}} \sum_{\substack{\mu \in T_y \\ (\sigma, \mu) \in P^{\text{far}}}} \sum_{\substack{1 \leq j \leq m \\ y_j \in \mu}} \sum_{l=0}^d \sum_{k=0}^d G(t_l^\sigma, t_k^\mu) L_l^\sigma(x_i) L_k^\mu(y_j) c_j \\ &\approx \sum_{j \in P^{\text{near}}(i)} G(x_i, y_j) c_j + \sum_{\substack{\sigma \in T_x \\ x_i \in \sigma}} \sum_{\substack{\mu \in T_y \\ (\sigma, \mu) \in P^{\text{far}}}} (\mathbf{V}_\sigma \mathbf{X}_{\sigma, \mu} \mathbf{V}_\mu^T \mathbf{c}_{|\mu})_i, \end{aligned}$$

mit

$$t_l^\sigma, t_k^\mu := \text{Tschebyscheff-Knoten (4.1.17) in } \Gamma(\sigma), \Gamma(\mu), \quad l = 0, \dots, d,$$

$$\mathbf{X}_{\sigma, \mu} := (G(t_l^\sigma, t_k^\mu))_{l, k=0}^d \in \mathbb{R}^{d+1, d+1}, \quad (4.1.35) \quad \text{eq:PQXo}$$

$$\mathbf{V}_\sigma := (L_l^\sigma(x_i))_{l=0, \dots, d} \in \mathbb{R}^{d+1, d+1}, \quad (4.1.36) \quad \text{eq:PQVs}$$

$$\mathbf{V}_\mu := (L_k^\mu(y_j))_{k=0, \dots, d} \in \mathbb{R}^{d+1, d+1}, \quad (4.1.37) \quad \text{eq:PQVn}$$

Komplexitätsanalyse (unter der Annahme $n \approx m$):

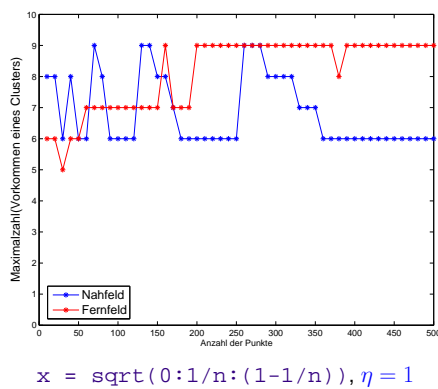
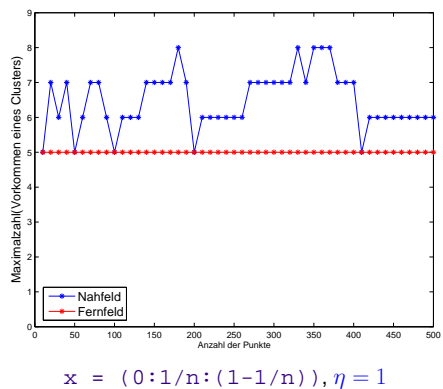
① Trick: Berechnung „auf Vorrat“
4.1 Berechne $\mathbf{w}_\mu := \mathbf{V}_\mu^T \mathbf{c}_{|\mu} \in \mathbb{R}^{d+1}, \mu \in T_y \rightarrow O(n)$ Operationen auf jedem Level von T_y
p. 462 Rechenaufwand $O((d+1)n \log_2 n)$, Specheraufwand $O((d+1)n \log_2 n)$

4.1
p. 464

②: Berechne $\mathbf{X}_{\sigma,\mu}$ aus (4.1.35), $\sigma \in T_x, \mu \in T_y, (\sigma, \mu) \in P^{\text{far}}$.

Regelmässige Punktverteilung $\Rightarrow \max\{\#\{\mu \in T_y: (\sigma, \mu) \in P^{\text{far}}\}, \sigma \in T_x\} = O(1)$

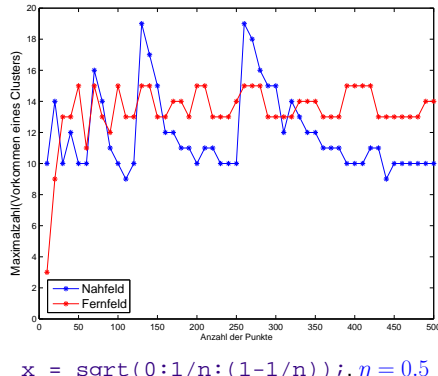
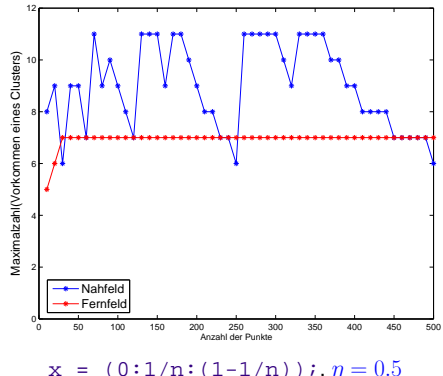
Beispiel 182 (Vorkommen von Clustern in Partitionsrechecken).



Bei „gleichmässiger“ Verteilung der x_i, y_j : Für alle $\sigma \in T_x$

$$\#\{\mu \in T_y: (\sigma, \mu) \in P^{\text{far}}\} = O(1),$$

\Rightarrow jeder Cluster trägt nur zu einer kleinen Anzahl von Partitionsrechtecken bei.



\Rightarrow Rechenaufwand für Schritt ②: $O(n(d+1)^2)$, Specheraufwand $O(n(d+1)^2)$

③: Fernfeldauswertung $\hat{=}$ Summe

$$\sum_{\sigma \in T_x} \sum_{\substack{\mu \in T_y \\ x_i \in \sigma \\ (\sigma, \mu) \in P^{\text{far}}}} \mathbf{V}_\sigma \mathbf{X}_{\sigma, \mu} \mathbf{w}_\mu$$

foreach $\sigma \in T_x$ { Berechne \mathbf{V}_σ ; $s := 0$
foreach $\mu \in T_y, (\sigma, \mu) \in P^{\text{far}}$ { $s \leftarrow s + \mathbf{X}_{\sigma, \mu} \mathbf{w}_\mu$ }
 $f_{|\sigma} \leftarrow f_{|\sigma} + \mathbf{V}_\sigma s$ }

\Rightarrow Rechenaufwand $O(n \log_2 n (d+1)^2)$, Specheraufwand $O(n(d+1))$

④: Nahfeldberechnung

foreach $(\sigma, \mu) \in P^{\text{near}}$ { **foreach** $i: x_i \in \sigma$ { $f_i \leftarrow f_i + \sum_{j: y_j \in \mu} G(x_i, y_j) c_j$ } }

\Rightarrow Rechenaufwand $O(n)$

Gesamtrechenaufwand/Gesamtspeicherbedarf $O((d+1)^2 n \log_2 n)$

Bemerkung 183 (Konvergenz der Clusteringapproximation).

Falls $G(x, y)$ analytisch (\rightarrow Def. 4.1.14) in $\{(x, y): x \neq y\}$

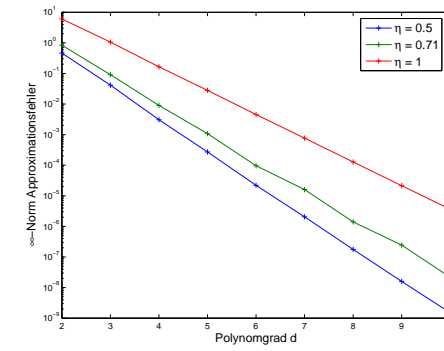
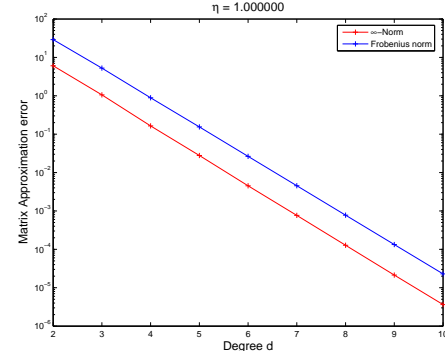
4.1 \Rightarrow Clusteringapproximation erbt exponentielle Konvergenz von Tschebyscheff-Interpolation, p. 465 Bem. 4.1.4.4

4.1

p. 467

Beispiel 184 (Konvergenz der Clusteringapproximation einer Kollokationsmatrix).

- $\bullet x = 0:1/128:1, G(x, y) = |x - y|^{-1}$ für $x \neq y, G(x, x) = 0$.



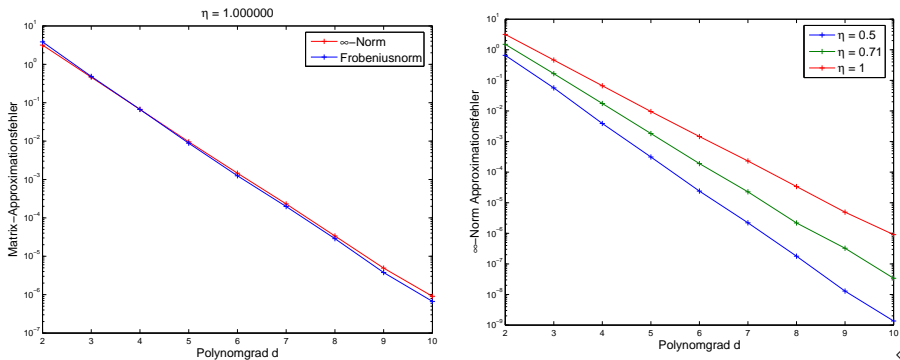
- $\bullet x = \sqrt{0:1/128:1}, G(x, y) = |x - y|^{-1}$ für $x \neq y, G(x, x) = 0$.

4.1

p. 466

4.1

p. 468



Beispiel 185 (Auswertung eines trigonometrischen Polynoms). [PUR95]

Gegeben: $\{t_0, \dots, t_{n-1}\} \subset [0, 1], \alpha_{-m+1}, \dots, \alpha_m \in \mathbb{C}, n = 2m, m \in \mathbb{N}$, berechne

$$c_k := p(t_k), \quad j = 0, \dots, n-1 \quad \text{für} \quad p(t) := \underbrace{\sum_{j=-m+1}^m \alpha_j e^{-2\pi i jt}}_{\text{Trigonometrisches Polynom}}.$$

Diskrete Fouriertransformation (DFT) → Abschnitt 3.7.1:

$$f_l := \sum_{j=-m+1}^m \alpha_j e^{-\frac{2\pi i}{n} jl} \quad \text{Lemma 3.7.2} \Rightarrow \alpha_j = \frac{1}{n} \sum_{l=-m+1}^m f_l e^{\frac{2\pi i}{n} jl}$$

FFT: $f_l, l = -m+1, \dots, m$, zu berechnen mit Rechenaufwand $O(n \log_2 n)$

$$\begin{aligned} c_k &= \sum_{j=-m+1}^m \alpha_j e^{2\pi i j t_k} = \sum_{j=-m+1}^m \frac{1}{n} \left(\sum_{l=-m+1}^m f_l e^{\frac{2\pi i}{n} jl} \right) e^{-2\pi i j t_k} \\ &= \frac{1}{n} \sum_{l=-m+1}^m f_l \sum_{j=-m+1}^m e^{-2\pi i j (t_k - l/n)} \\ &= \frac{1}{n} \sum_{l=-m+1}^m f_l e^{-2\pi i (t_k - l/n)(-m+1)} \frac{1 - e^{-2\pi i n (t_k - l/n)}}{1 - e^{-2\pi i (t_k - l/n)}} \\ &= \frac{1}{n} \sum_{l=-m+1}^m f_l e^{-\pi i t_k} \sin(\pi n t_k) \frac{1}{\sin(\pi (t_k - l/n))} (-1)^l e^{-\pi i l/n}. \end{aligned}$$

$$\blacktriangleright \mathbf{c} = \text{diag} \left(\frac{\sin(\pi n t_k)}{e^{\pi i t_k}} \right)_{k=-m+1}^m \mathbf{M} \text{diag} \left((-1)^l e^{-\pi i l/n} \right)_{l=-m+1, \dots, m} \mathbf{f}.$$

mit Kollokationsmatrix gemäß (4.1.28)

$$\mathbf{M} := \left(\frac{1}{\sin(\pi (t_k - l/n))} \right)_{\substack{k=-m+1, \dots, m \\ l=-m+1, \dots, m}} \in \mathbb{R}^{2n, 2n}.$$

➤ Approximative Auswertung mit Clustering-Algorithmus! → USFFT

Bemerkung 186. Clusteringapproximation Beispiel für schnelle approximative Realisierung eines Algorithmus der numerischen linearen Algebra (→ Kap. 3) → Trend in der numerischen linearen Algebra?

Problem	Exakte/direkte Methoden	Approximative/iterative Verfahren
Lineare Gleichungssysteme	Gauss-Elimination	CG-artige iterative Löser → Sect. 3.6
Eigenwertproblem	Transformationsmethoden	Krylov-Unterraumverfahren → Sect. 3.4.3
Kollokationsmatrix × Vektor	BLAS (SAXPY)	Clusteringtechniken

4.1
p. 469

4.1
p. 471

Mit Clusteringapproximation verwandt, bzw. Verallgemeinerungen davon:

- \mathcal{H} -Matrix-Techniken [BGH03]
- \mathcal{H}^2 -Matrix-Techniken [HAB02]
- Multipol-Methoden [ROK85a, GRR97] → weiterer „Millenniums-Algorithmus“
http://orion.math.iastate.edu/burkardt/misc/algorithms_dongarra.html

4.2 Dreitermrekursionen

[File: section-dreitermrekursion.tex, SVN: section-dreitermrekursion.tex 1011 2006-09-11 18:44:51Z hiptmair]

Technik zur Darstellung von Funktionen $I \subset \mathbb{R} \mapsto \mathbb{R}$ (→ Einleitung Kap. 4):

FUNC SYS
Gegeben: Funktionensystem $b_k : I \mapsto \mathbb{R}, k \in \{1, \dots, n\}, n \in \mathbb{N}$
COEFFS
Entwicklungskoeffizienten $\alpha_j, j \in \{1, \dots, n\}$

4.1
p. 470

4.2
p. 472

► Funktion $f(t) = \sum_{j=0}^{\infty} \alpha_j b_j(t)$, $t \in I$.

Aufgabe: Effiziente Auswertung von $f(x)$ für ein/mehrere $x \in I$

DREITERMREK
Dreitermrekursionen für viele relevante Funktionensysteme
 $b_0, b_1 \in \mathbb{R}$, $b_{k+1}(x) = \kappa_k(x)b_k(x) + \sigma_k(x)b_{k-1}(x)$, $\kappa_k, \sigma_k \in \mathbb{R}$, $k \in \mathbb{N}$. (4.2.1) eq:dreiterm

Beispiel 187 (Orthogonalpolynome). (\rightarrow Abschn. 4.1.5.2) sec:least-sqar-best

• Legendre-Polynome auf $I := [-1, 1] \rightarrow$ Def. 4.4.1, Fig. 38 def:Legendrepol

(4.4.6): $b_0(t) \equiv 1$, $b_1(t) = t$, $b_{k+1}(t) = \frac{2k+1}{k+1} tb_k(t) - \frac{k}{k+1} b_{k-1}(t)$.

• Tschebyscheff-Polynome auf $I := [-1, 1] \rightarrow$ Def. 4.1.6, Figs. 12, 13 def:Tpol

(4.1.15): $b_0(t) \equiv 1$, $b_1(t) = t$, $b_{k+1}(t) = 2tb_k(t) - b_{k-1}(t)$.

Immer gilt:

Polynome vom Grad $\leq n$: $\mathcal{P}_n = \text{Span } \{b_0, \dots, b_n\}$

Beispiel 188 (Spezielle Funktionen).

• Trigonometrische Funktionen $b_k(t) = \cos(kt)$ bzw. $b_k(t) = \sin(kt)$

$b_{k+1}(t) = 2 \cos t \cdot b_k(t) - b_{k-1}(t)$, $b_0(t) \equiv 1$, $b_1(t) = \cos t$ für Cosinus,
 $b_0(t) \equiv 0$, $b_1(t) = \sin t$ für Sinus.

Herleitung benutzt Additionstheorem

$$\cos x + \cos y = 2 \cos \frac{x+y}{2} \cos \frac{x-y}{2}, \quad x, y \in \mathbb{R},$$

für $x = (k+1)t$, $y = (k-1)t$.

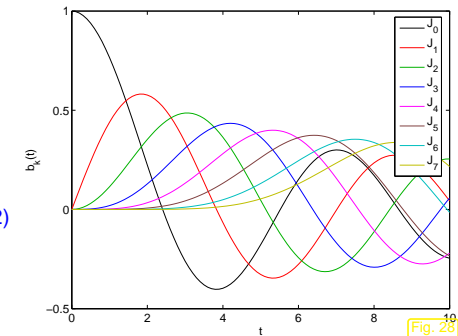
• Bessel-Funktionen (erster Art) $b_k := J_k : \mathbb{R} \mapsto \mathbb{R}$

Reihenentwicklung:

$$J_k(t) := \sum_{l=0}^{\infty} \frac{(-1)^l}{2^{2l+k} l!(k+l)!} t^{2l+k}.$$

Dreitermrekursion:

$$b_{k+1}(t) = \frac{2k}{t} b_k(t) - b_{k-1}, \quad k \in \mathbb{N}, \quad b_0 := J_0, \quad b_1 := J_1. \quad (4.2.2)$$



besselfunctions

☞ Wichtig z.B. in Fluidmechanik, Elektromagnetik: Lösungsdarstellung für Feldgleichungen bei Rotationssymmetrie ◇

4.2

p. 473

Plotten von Funktionensystemen aus (4.2.1)

```
function plotbk(kappa,sigma,t,b0,b1,N)
% Plotten von Funktionensystemen
V = [b0;b1];
for k=1:N-1
    V = [V;kappa(k,t).*V(end,:)+...
           sigma(k,t).*V(end-1,:)];
end
figure; hold on;
for k=0:N, plot(t,V(k+1,:),'-'); end
```

Beispiel 189 (Besselfunktionen aus Dreitermrekursion).

Beobachtung: "Instabilität" für kleine t , grosse k !?

4.2

p. 474

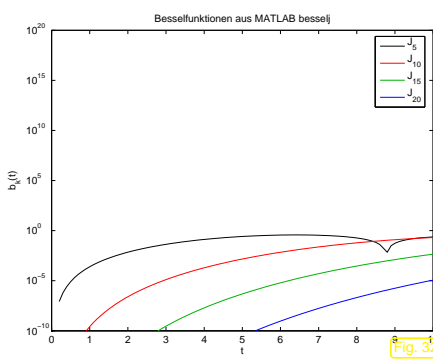
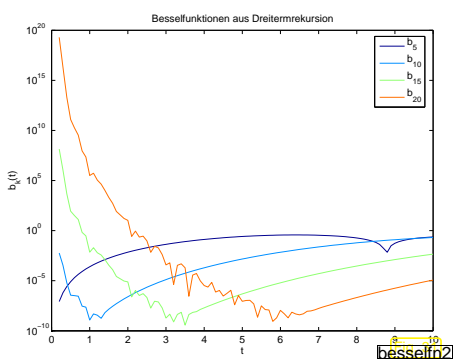
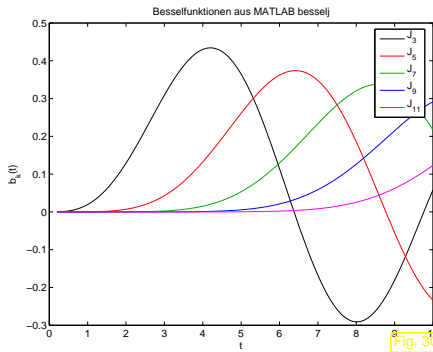
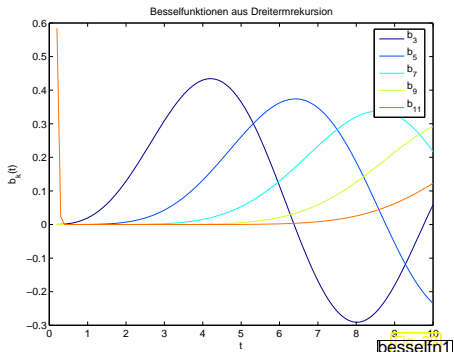
4.2

p. 475

▷ MATLAB-Code zur graphischen Ausgabe der b_k Funktionen $\sigma_k, \kappa_k \leftrightarrow \sigma_k(x), \kappa_k(x)$
Für Besselfunktionen J_k :
• $\kappa_k = @(k,t) 2*k./t;$
• $\sigma_k = @(k,t) -1;$

4.2

p. 476



Modellproblem:

Skalare Dreitermrekursion mit konstanten Koeffizienten:

$$x^{(k+1)} = \kappa \cdot x^{(k)} - x^{(k-1)}, \quad x^{(0)}, x^{(1)} \in \mathbb{R}. \quad (4.2.3)$$

Ansatz:

$$x^{(k)} = \zeta^k, \quad \zeta \in \mathbb{R}$$

$$\text{notwendig: } \zeta^2 - \kappa\zeta + 1 = 0.$$

$$\zeta_{1,2} = \kappa/2 \pm \sqrt{(\kappa/2)^2 - 1} \quad : \quad |\kappa| \leq 2 \Rightarrow |\zeta_{1,2}| = 1, \\ |\kappa| > 2 \Rightarrow ; |\zeta_1| > 1, |\zeta_2| < 1.$$

Allgemeine Lösung: $x^{(k)} = c_1 \zeta_1^k + c_2 \zeta_2^k, \quad c_1, c_2 \in \mathbb{R}.$

(4.2.4) eq:3tgen

Beispiel 190 (Instabile Dreitermrekursion).

(4.2.3) für $\kappa \equiv 5$, $x^{(0)} = 1$, $x^{(1)} = 5/2 - \frac{1}{2}\sqrt{21}$

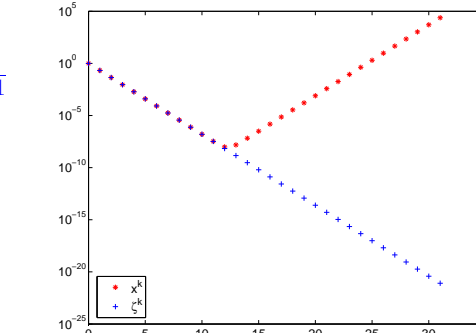
$$x^{(k)} = (5/2 - \frac{1}{2}\sqrt{21})^k.$$

Beobachtung:

“Umspringen” zu $x^{(k)} = (5/2 + \frac{1}{2}\sqrt{21})^k$

? Warum denn das ?

4.2
p. 477



4.2
p. 479

Im Computerprogramm: $x^{(1)} = 0.20871215252208 \neq 5/2 - \frac{1}{2}\sqrt{21}$ Rundung !

Gestörte $x^{(0)}, x^{(1)} \Rightarrow$ Dominanz exponentiell wachsender Lösung für $k \gg 1$

Beispiel 191 (Instabile Dreitermrekursion für Besselfunktionen).

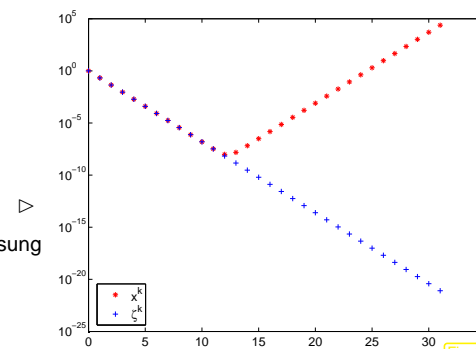
Dreitermrekursion (4.2.2):

$$t = 1/2, b_0 = J_0(1/2), b_1 = J_1(1/2)$$

Beobachtung:

eq:3tsim “Wuchern” einer exponentiell wachsenden Lösung

4.2
p. 478



4.2
p. 480

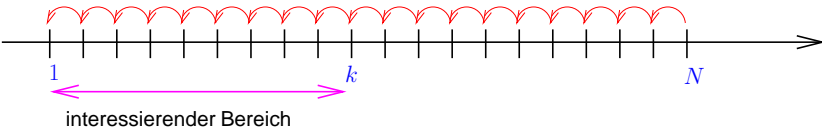


Idee:

RückwärtsrekursionFixiere $N \gg n$ und berechne $b_k(t)$, $k = 0, \dots, n$, aus (für $\sigma_k(t) \neq 0$)

$$b_{k-1}(t) = -\frac{\kappa_k(t)}{\sigma_k(t)} b_k(t) + \frac{1}{\sigma_k(t)} b_{k+1}(t), \quad b_N(t), b_{N-1}(t) \text{ "beliebig"}$$

(4.2.5)



eq:inv3t

Beispiel 192 (Approximation von Besselfunktionen mittels Rückwärtsrekursion).

Für $t = 10, 20, 30, 40$ Näherungen $\tilde{J}_k(t)$ durch Rückwärtsrekursion für $k = 0, \dots, 20$

Fehlermass:

$$\max_{0 \leq k \leq 20} |J_k(t) - \tilde{J}_k(t)|$$

Beobachtung

Asymptotisch exponentielle Konvergenz

revrecbess

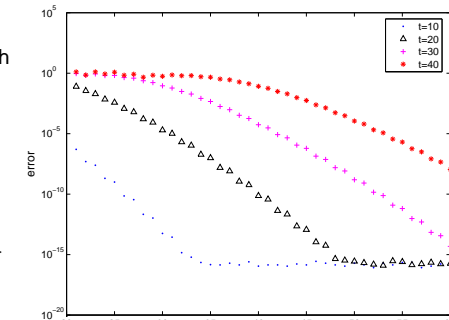


Fig. 50

4.2 Bemerkung 193.

p. 481

Adaptive Rückwärtsrekursion für Besselfunktionen

```
function y = besscomp(t,n,tol)
d = realmax; N = n + 10;
x = revrecbess(t,n,N);
while(d > tol)
    N = N + 10;
    y = revrecbess(t,n,N);
    d = max(abs(x-y));
end
```

medskip

Adaptive Wahl von N :Erhöhe N solange bis sich "Approximation stabilisiert" (d.h. Fehler < Toleranz tol)

4.3 Stückweise Polynome

[File: section-stueckweise-polynome.tex, SVN: section-stueckweise-polynome.tex 1270 2007-01-15 10:44:02Z hiptmair]

STKWPOLYAufgabenstellung: Modellieren eines funktionalen Zusammenhangs $f : I \subset \mathbb{R} \mapsto \mathbb{R}$ basierend auf (genauen) Messungen (t_i, y_i) , $i = 0, \dots, n$:> Interpolationsbedingung $f(t_i) = y_i$, $i = 0, \dots, n$

4.3

p. 482

Beispiel 194 (Versagen der Polynominterpolation).

p. 484

Modellproblemanalyse:

Rückwärtsrekursion für (4.2.3)

$$x^{(k-1)} = \kappa \cdot x^{(k)} - x^{(k+1)} \quad (4.2.3)$$

Weiterhin: allgemeine Lösung (4.2.4): $x^{(k)} = c_1 \zeta_1^k + c_2 \zeta_2^k$ Annahme: $0 < |\zeta_1| < 1 < |\zeta_2|$, Lösung $x^{(k)} = \zeta_1^k$ gesucht

$$x^{(N)}, x^{(N-1)} \text{ "beliebig"} \Rightarrow c_1 \zeta_1^N \approx c_2 \zeta_2^N \Rightarrow |c_1| \gg |c_2|$$

für $x^{(k)}$ aus (4.2.3): $x^{(k)} \approx c_1 \zeta_1^k$.Nun gut, aber $c_1 = ?$ 

Idee:

Nutze zusätzliche Normierungsbedingung

$$\sum_{k=0}^{\infty} \omega_k b_k(t) = \text{bekannt}, \quad \omega_k \in \mathbb{R}.$$

(4.2.6)

eq:norm

Normierungsbedingungen:

• Für Modellproblem (4.2.3): $x^{(0)} = 1$ • Für Besselfunktionen [1]: $J_0(t) + 2 \sum_{k=1}^{\infty} J_{2k}(t) = 1$

Rückwärtsrekursion für Besselfunktionen

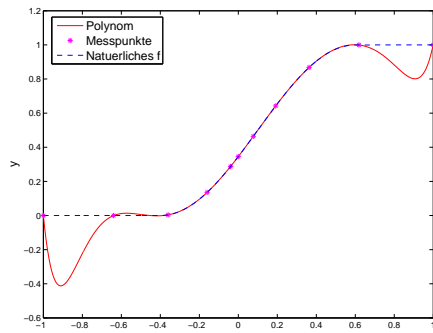
```
function x = revrecbess(t,n,N)
x = [1, 0];
for k=N:-1:1
    x = [2*k/t*x(1)-x(2), x];
end
G = x(1) + 2*sum(x(3:2:length(x)));
x = x(1:n+1)/G;
```

< MATLAB-Funktion: Auswertung von Besselfunktionen J_k , $k = 0, \dots, n$ für Argument $t > 0$

Technik:

Rückwärtsrekursion
+
Normierungsbedingung

t_i	-1.0000	-0.6400	-0.3600	-0.1600	-0.0400	0.0000	0.0770	0.1918	0.3631	0.6187	1.0000
y_i	0.0000	0.0000	0.0039	0.1355	0.2871	0.3455	0.4639	0.6422	0.8678	1.0000	1.0000



Idee: Benutze **stückweise Polynome** bzgl. einer **Partition** (Gitter, engl. *mesh*) $\mathcal{M} := \{a = x_0 < x_1 < \dots < x_m = b\}$ des Intervalls $I := [a, b], a < b$.

Beachte: $x_j \neq t_j$ erlaubt!

4.3.1 Stückweise Polynominterpolation

Für Polynomgrad $d \in \mathbb{N}$ fasse jeweils $d+1$ Stützstellen zusammen ➤ Gitter \mathcal{M}

$$\begin{array}{ccccccccccccccccc} : & t_0 & t_1 & t_2 & t_3 & t_4 & t_5 & t_6 & t_7 & t_8 & t_9 & t_{10} & t_{11} & t_{12} & t_{13} & t_{14} & t_{15} & t_{16} & t_{17} & t_{18} & t_{19} & t_{20} \\ d=2: & x_0 & & x_1 & & x_2 & & x_3 & & x_4 & & x_5 & & x_6 & & x_7 & & x_8 & & x_9 & & x_{10} \\ d=4: & x_0 & & x_1 & & x_2 & & & x_3 & & & x_4 & & & x_5 & & & & & & & & \end{array}$$

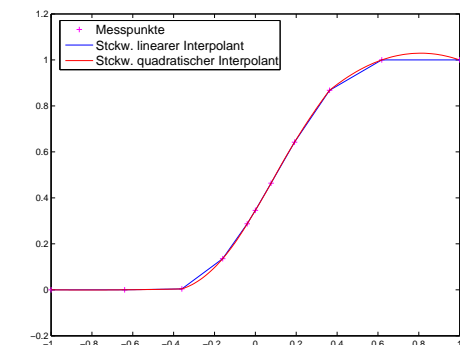
➤ Stückweises Interpolationspolynom $s : [x_0, x_n] \rightarrow \mathbb{K}$:

$$s_j := s|_{[x_{j-1}, x_j]} \in \mathcal{P}_d \quad \text{und} \quad s_j(t_i) = y_i \quad i = 0, \dots, n, \quad j = 1, \dots, m.$$

Beispiel 195 (Stückweise Polynominterpolation von Messpunkten).

Messpunkte aus Bsp. [I.94](#)
Stückweise lineare/quadratische Interpolation

Lokalität



4.3.1.1 Stückweise lineare Interpolation

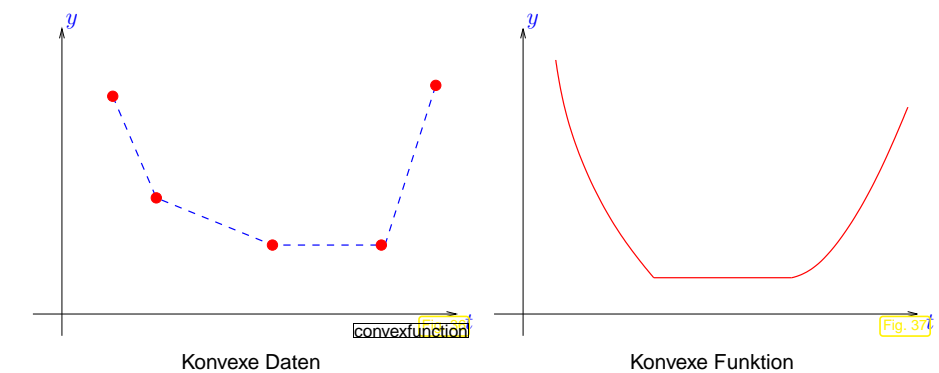
Daten: $(t_i, y_i) \in \mathbb{R}^2, i = 0, \dots, n, n \in \mathbb{N}, t_0 < t_1 < \dots < t_n$

4.3 p. 485

a **Definition 4.3.1** (Monotone Daten). Daten **monoton**, wenn $y_i \geq y_{i-1}$ oder $y_i \leq y_{i-1}, i = 1, \dots, n$.

a **Definition 4.3.2** (Konvexe/konkave Daten). Daten $\{(t_i, y_i)\}_{i=0}^n$ **konvex (konkav)**, falls

$$\Delta_j \stackrel{(\geq)}{\leq} \Delta_{j+1}, \quad j = 1, \dots, n-1, \quad \Delta_j := \frac{y_j - y_{j-1}}{t_j - t_{j-1}}, j = 1, \dots, n.$$



Definition 4.3.3 (Konvexe/konkave Funktion).

$$f : I \subset \mathbb{R} \mapsto \mathbb{R} \quad \begin{array}{l} \text{konvex} \\ \text{konkav} \end{array} \Leftrightarrow \begin{array}{ll} f(\lambda x + (1 - \lambda)y) \leq \lambda f(x) + (1 - \lambda)f(y) & \forall 0 \leq \lambda \leq 1, \\ f(\lambda x + (1 - \lambda)y) \geq \lambda f(x) + (1 - \lambda)f(y) & \forall x, y \in I. \end{array}$$

SHAPEPRESERV

Theorem 4.3.4 (Formerhaltung bei stückweise linearer Interpolation).

Für stückweise linearen Interpolanten $s \in C([t_0, t_n])$ von $(t_i, y_i) \in \mathbb{R}^2$, $i = 0, \dots, n$:

$$\begin{aligned} (t_i, y_i) \text{ monoton (steigend/fallend)} &\Rightarrow s \text{ monoton (steigend/fallend)} \\ (t_i, y_i) \text{ konvex/konkav} &\Rightarrow s \text{ konvex/konkav} \end{aligned}$$

Lineare Interpolation ist linear (als Abbildung $y \mapsto s$) und lokal:

$$y_j = \delta_{ij}, \quad i, j = 0, \dots, n \Rightarrow \text{supp}(s) \subset [t_{i-1}, t_{i+1}] .$$

4.3.1.2 Stückweise polynomiale Interpolation von Funktionen

Lokale Lagrange-Interpolation von $f \in C(I)$:

Zu Gitter \mathcal{M} wähle Knotenmenge $\mathcal{T}^j := \{t_0^j, \dots, t_{n_j}^j\} \subset I_j$ für jede Gitterzelle $I_j := [x_{j-1}, x_j]$.

► Stückweises Interpolationspolynom $s : [x_0, x_m] \rightarrow \mathbb{K}$:

$$s_j := s|_{I_j} \in \mathcal{P}_{n_j} \quad \text{und} \quad s_j(t_i^j) = f(t_i^j) \quad i = 0, \dots, n_j, \quad j = 1, \dots, m.$$

Beachte: $t_{n_{j-1}}^{j-1} = x_{j-1} = t_0^j, j = 2, \dots, m \Leftrightarrow s \in C^0(I)$

Fragestellung: Asymptotik des Interpolationsfehlers für n fest, $m \rightarrow \infty$
 (Interpolationsfehler $\leq T(h)$, Maschenweite $h := \max\{|x_j - x_{j-1}| : j = 1, \dots, m\}$)

Beispiel 196 (Stückweise Polynominterpolation).

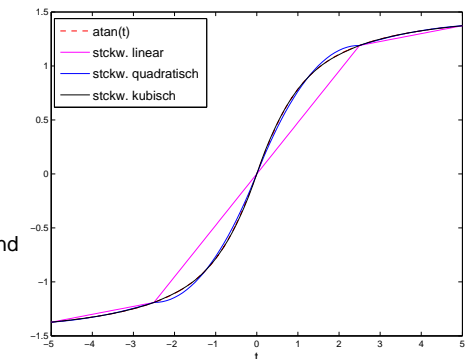
vgl. Bsp. 194: [ex:logpolyinterp](#)

$$f(t) = \arctan t, I = [-5, 5]$$

Gitter $\mathcal{M} := \{-5, -\frac{5}{2}, 0, \frac{5}{2}, 5\}$

\mathcal{T}^j äquidistant in I_j

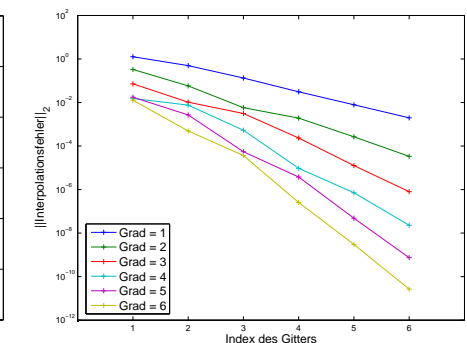
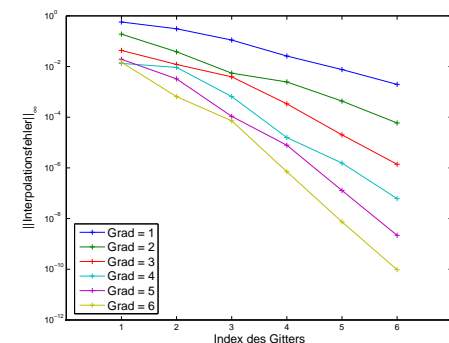
Plots der stückweise linearen, quadratischen und kubischen Polynominterpolanten



Interpolationsfehlernormen auf Gittern $\mathcal{M}_i := \{-5 + j 2^{-i} 10\}_{j=0}^{2^i}, i = 1, \dots, 6$, äquidistante Knotenmengen:

4.3

p. 489



Algebraische Konvergenz in Maschenweite



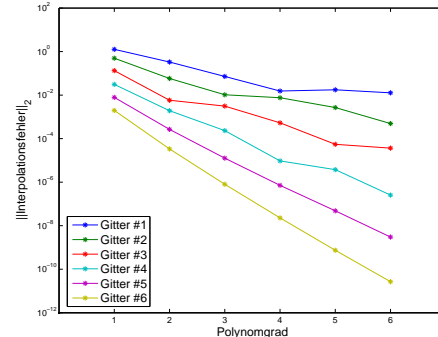
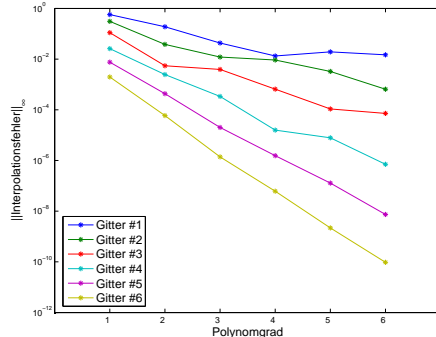
Exponentielle Konvergenz im Polynomgrad

4.3

p. 490

4.3

p. 491



Interpolationsfehlerabschätzungen:

- Für festen Polynomgrad $n = n_j, j = 1, \dots, m$:

Anwendung von Cor 4.1.5 auf jedes Teilintervall: falls $f \in C^{n+1}([x_0, x_m])$

$$\|f - s\|_{L^\infty([x_0, x_m])} \leq \frac{h^{n+1}}{(n+1)!} \|f^{(n+1)}\|_{L^\infty([x_0, x_m])},$$

mit **Maschenweite** $h := \max\{|x_j - x_{j-1}| : j = 1, \dots, m\}$.

- Für festes Gitter: Situation wie bei Standard-Polynominterpolation → Abschnitt 4.1.2.

4.3.1.3 Kubische Hermite-Interpolation

Gegeben: Messpunkte $(t_i, y_i) \in \mathbb{R}^2, i = 0, \dots, n, t_0 < t_1 < \dots < t_n$

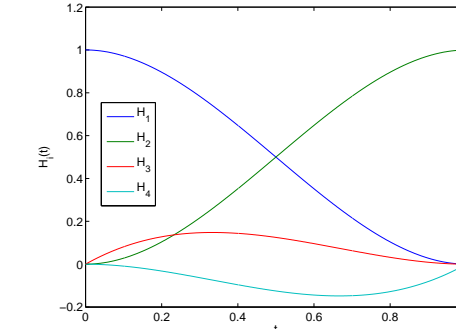
Gesucht: Modellfunktion $f \in C^1([x_0, x_n]), f(t_i) = y_i, i = 0, \dots, n$

- Stückweise **kubisches Hermite-Interpolationspolynom** $s \in C^1([t_0, t_n])$:

zu gegebenen **Steigungen** $c_i \in \mathbb{R}, i = 0, \dots, n$:

$$s|_{[t_{i-1}, t_i]} \in \mathcal{P}_3, \quad i = 1, \dots, n, \quad s(t_i) = y_i, \quad i = 0, \dots, n, \quad s'(t_i) = c_i, \quad i = 0, \dots, n.$$

$$\blacktriangleright s(t) = y_{i-1}H_1(t) + y_iH_2(t) + c_{i-1}H_3(t) + c_iH_4(t), \quad t \in [t_{i-1}, t_i], \quad (4.3.1)$$



$$\begin{aligned} H_1(t) &:= \phi\left(\frac{t-t}{h_i}\right), & H_2(t) &:= \phi\left(\frac{t-t_{i-1}}{h_i}\right), \\ H_3(t) &:= -h_i\psi\left(\frac{t-t}{h_i}\right), & H_4(t) &:= h_i\psi\left(\frac{t-t_{i-1}}{h_i}\right), \\ h_i &:= t_i - t_{i-1}, & \phi(\tau) &:= 3\tau^2 - 2\tau^3, \\ \psi(\tau) &:= \tau^3 - \tau^2. \end{aligned}$$

Stückweise kubisches Polynom s auf

t_1, t_2 mit $s(t_1) = y_1, s(t_2) = y_2,$

$s'(t_1) = c_1, s'(t_2) = c_2$:

Effiziente lokale Auswertung

```
function s = kubeval(t,t1,t2,y1,y2,c1,c2)
h = t2-t1; t = (t-t1)/h;
a1 = y2-y1; a2 = a1-h*c1;
a3 = h*c2-a1-a2;
s = y1+(a1+(a2+a3*t).*t);
```

Wahl der Steigungen c_i ?

4.3

p. 493

► Mittelwert von Abschnittssteigungen:

$$c_i = \begin{cases} \Delta_1 & , \text{ für } i = 0, \\ \Delta_n & , \text{ für } i = n, \\ \frac{t_{i+1}-t_i}{t_{i+1}-t_{i-1}}\Delta_i + \frac{t_i-t_{i-1}}{t_{i+1}-t_{i-1}}\Delta_{i+1} & , \text{ falls } 1 \leq i < n. \end{cases}, \quad \Delta_j := \frac{y_j - y_{j-1}}{t_j - t_{j-1}}, j = 1, \dots, n.$$

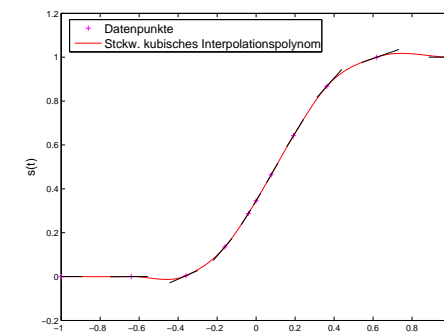
► Linearer lokaler Interpolationsoperator

Beispiel 197 (Stückweise kubische Hermite-Interpolation).

Daten aus Bsp. 194

Verwendung gewichtet gemittelter Steigungen

Keine Erhaltung von Monotonie und Krümmung



4.3

p. 494

4.3

p. 495

4.3

p. 496

☞ Wahl der c_i mit „Limiter“ → Monotonieerhaltung [FRC80]

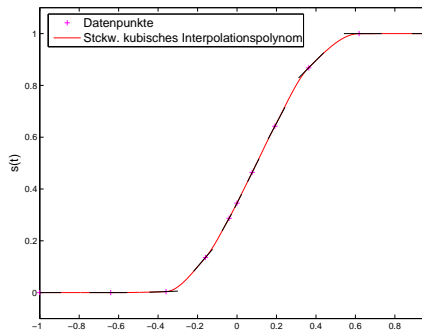
$$c_i = \begin{cases} 0 & , \text{ falls } \operatorname{sgn}(\Delta_i) \neq \operatorname{sgn}(\Delta_{i+1}) \\ \text{gewichtetes Mittel von } \Delta_i, \Delta_{i+1} & \text{sonst} \end{cases}, \quad i = 1, \dots, n-1.$$

Beispiel 198 (Monotonierhaltende stückweise kubische Polynominterpolation).

Daten aus Bsp. [F94] [lex:logpolyinterp](#)

MATLAB-Funktion:

```
v = pchip(t,y,x);
t: Stützstellen
y: Stützwerte
x: Auswertungsstellen
v: Vektor s(x)
    Lokaler Interpolationsoperator
! Nichtlinearer Interpolationsoperator
```



◇

Berechnung der c_i in pchip (Details in [F15]):

```
function c = crfslopes(x,y)
n = length(x); h = diff(x); del = diff(y)./h;
if n==2, c = [del(1),del(1)];
    return;
end
k = find(sign(del(1:n-2)).*sign(del(2:n-1)) > 0);
c = zeros(size(y)); hs = h(k)+h(k+1);
w1 = (h(k)+hs)./(3*hs); w2 = (hs+h(k+1))./(3*hs);
dmax = max(abs(del(k)), abs(del(k+1))); dmin = min(abs(del(k)), abs(del(k+1)));
c(k+1) = dmin./conj(w1.*del(k)./dmax) + w2.*del(k+1)./dmax;
c(1) = ((2*h(1)+h(2))*del(1) - h(1)*del(2))/(h(1)+h(2));
if (sign(d(1)) ~= sign(del(1)))
    d(1) = 0;
elseif (sign(del(1)) ~= sign(del(2))) && (abs(d(1)) > abs(3*del(1)))
    c(1) = 3*del(1);
end
c(n) = ((2*h(n-1)+h(n-2))*del(n-1) - h(n-1)*del(n-2))/(h(n-1)+h(n-2));
if (sign(d(n)) ~= sign(del(n-1)))
    d(n) = 0;
elseif (sign(del(n-1)) ~= sign(del(n-2))) && (abs(d(n)) > abs(3*del(n-1)))
    c(n) = 3*del(n-1);
end
```

4.3.2 Splines

SPLINES

☞ **Definition 4.3.5** (Splineraum). für ein Intervall $I := [a, b] \subset \mathbb{R}$, eine Knotenmenge (Gitter) $\mathcal{M} := \{a = t_0 < t_1 < \dots < t_{n-1} < t_n = b\}$ ist der Vektorraum $\mathcal{S}_{d,\mathcal{M}}$ der Splinefunktionen vom Grad d und der Ordnung $d+1$ definiert durch

$$\mathcal{S}_{d,\mathcal{M}} := \{s \in C^{d-1}(I) : s_j := s|_{[t_{j-1}, t_j]} \in \mathcal{P}_d \forall j = 1, \dots, d\}.$$

► $s \in \mathcal{S}_{d,\mathcal{M}} \Rightarrow s' \in \mathcal{S}_{d-1,\mathcal{M}} \wedge \int_a^b s(\tau) d\tau \in \mathcal{S}_{d+1,\mathcal{M}}.$

- $d = 0$: \mathcal{M} -stückweise konstante *unstetige* Funktionen
- $d = 1$: \mathcal{M} -stückweise lineare *stetige* Funktionen
- $d = 2$: *Stetig differenzierbare* \mathcal{M} -stückweise quadratische Funktionen

Abzählargument (Heuristik):

4.3

p. 497

$$\dim \mathcal{S}_{d,\mathcal{M}} = n \cdot \dim \mathcal{P}_d - (n-1) \cdot d = n+d.$$

4.3

p. 499

4.3.2.1 Splineinterpolation

Spezialfall: Interpolation in $\mathcal{S}_{1,\mathcal{M}}$ = Stückweise lineare Interpolation

Weiterer Spezialfall: **Kubische Splineinterpolation $d = 3$** (→ Abschnitt 4.3.1.3) [sec:kubische-herm-interp](#)

► [leg:kub](#) $s|_{[t_{j-1}, t_j]}(t) = s(t_{j-1})(1 - 3\tau^2 + 2\tau^3) + s(t_j)(3\tau^2 - 2\tau^3)$
 $+ h_j s'(t_{j-1})(\tau - 2\tau^2 + \tau^3) + h_j s'(t_j)(-\tau^2 + \tau^3),$

mit $h_j := t_j - t_{j-1}$, $\tau := (t - t_{j-1})/h_j$.

► Falls $s(t_j), s'(t_j), j = 0, \dots, l$ bekannt → einfache Auswertung von s (→ Abschnitt 4.3.1.3) [sec:kubische-herm](#)

Interpolationsbedingung $s(t_j) = y_j, j = 0, \dots, n$: Steigungen $c_j := s'(t_j) = ?$

! $s \in C^2([t_0, t_n])$ ► $n-1$ Stetigkeitsbedingung für $s''(t)$ ► $n-1$ Gleichungen

$$\frac{1}{h_j} c_{j-1} + \left(\frac{2}{h_j} + \frac{2}{h_{j+1}} \right) c_j + \frac{1}{h_{j+1}} c_{j+1} = 3 \left(\frac{y_j - y_{j-1}}{h_j} + \frac{y_{j+1} - y_j}{h_{j+1}} \right), \quad j = 1, \dots, n-1.$$

4.3 Zwei zusätzliche Bedingungen erforderlich:

p. 498

4.3

p. 500

① **Vollständige kubische Splineinterpolation:** $s'(t_0) = c_0, s'(t_n) = c_n$ vorgeschrieben

② **Natürliche kubische Splineinterpolation:** $s''(t_0) = s''(t_n) = 0$

$$\frac{2}{h_1}c_0 + \frac{1}{h_1}c_1 = 3\frac{y_1 - y_0}{h_1^2}, \quad \frac{1}{h_n}c_{n-1} + \frac{2}{h_n}c_n = 3\frac{y_n - y_{n-1}}{h_n^2}.$$

► Jeweils LGS mit tridiagonalem s.p.d. (\rightarrow Def. 3.2.8, Lemma 3.2.11) Koeffizientenmatrix $\rightarrow c_0, \dots, c_n$

Thm. 3.2.18 \Rightarrow Rechenaufwand zur Lösung $= O(n)$

③ **Periodische kubische Splineinterpolation:** $s'(t_0) = s'(t_n), s''(t_0) = s''(t_n)$

► $n \times n$ -LGS mit s.p.d. Koeffizientenmatrix

$$A := \begin{pmatrix} a_1 & b_2 & 0 & \cdots & 0 & b_n \\ b_2 & a_2 & b_3 & 0 & \cdots & 0 \\ 0 & \ddots & \ddots & \ddots & \ddots & \vdots \\ \vdots & \ddots & \ddots & \ddots & 0 & \\ 0 & & \ddots & \ddots & \ddots & b_{n-1} \\ b_n & 0 & \cdots & 0 & b_{n-1} & a_{n-1} \end{pmatrix}, \quad b_i := \frac{1}{h_{i-1}}, \quad i = 2, 3, \dots, n, \\ a_i := \frac{2}{h_i} + \frac{2}{h_{i+1}}, \quad i = 1, 2, \dots, n-1.$$

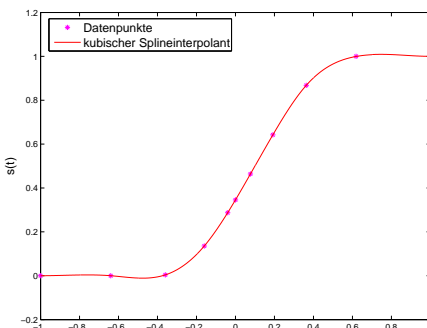
► Lösung durch Rang-1-Modifikationstechniken (\rightarrow Abschnitt 3.2.8.1, Lemma 3.2.22) + tridiagonale Elimination, Rechenaufwand $O(n)$

Beispiel 199 (Vollständige kubische Splineinterpolation).

Daten aus Bsp. 194

$$c_0 := \frac{y_1 - y_0}{t_1 - t_0}, \\ c_n := \frac{y_n - y_{n-1}}{t_n - t_{n-1}}.$$

Kubischer Splineinterpolant nicht monotonie- oder krümmungserhaltend
(kubische Splineinterpolation linear !)



◇

MATLAB-Funktion: `v = spline(t,y,x)`: Natürliche/vollständige Splineinterpolation
(\rightarrow Spline-Toolbox in MATLAB)

Beispiel 200 (Lokalität der natürlichen kubischen Splineinterpolation).

Gegeben: Gitter $\mathcal{M} := \{t_0 < t_1 < \dots < t_n\}$

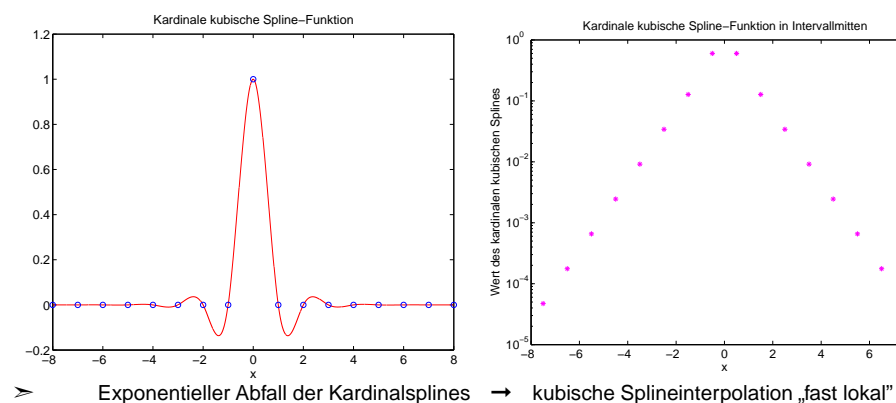
$L_i \in \mathcal{S}_{3,\mathcal{M}}$ = i. natürlicher Kardinalspline $\Leftrightarrow L_i(t_j) = \delta_{ij}, L_i''(t_0) = L_i''(t_n) = 0$.

► Natürlicher Spline-Interpolant: $s(t) = \sum_{j=0}^n y_j L_j(t)$.

Abfall der $L_i \leftrightarrow$ Lokalität der kubischen Splineinterpolation

Hier: $\mathcal{M} = \{-30, -29, \dots, 29, 30\}$

4.3
p. 501



► Exponentieller Abfall der Kardinalsplines \rightarrow kubische Splineinterpolation „fast lokal“ ◇

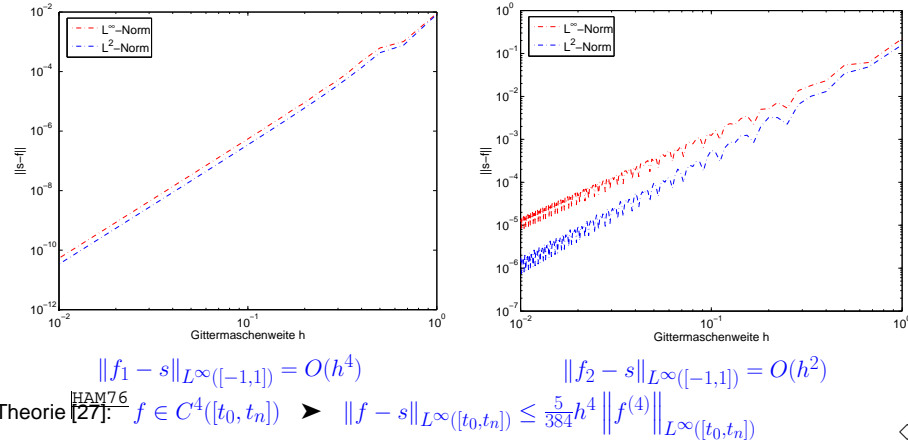
Beispiel 201 (Approximation durch vollständigen kubischen Splineinterpolanten).

Gitter $\mathcal{M} := \{-1 + \frac{2}{n}j\}_{j=0}^n, n \in \mathbb{N} \Rightarrow$ Maschenweite $h = 2/n, I = [-1, 1]$

$$f_1(t) = \frac{1}{1 + e^{-2t}} \in C^\infty(I), \quad f_2(t) = \begin{cases} 0 & , \text{falls } t < -\frac{2}{5}, \\ \frac{1}{2}(1 + \cos(\pi(t - \frac{3}{5}))) & , \text{falls } -\frac{2}{5} < t < \frac{3}{5}, \in C^1(I) \\ 1 & \text{sonst} \end{cases}$$

4.3
p. 502

4.3
p. 503



4.3.2.2 Formerhaltende Splineinterpolation

Gegeben: Messpunkte $(t_i, y_i) \in \mathbb{R}^2, i = 0, \dots, n, t_0 < t_1 < \dots < t_n$

Gesucht: Gitter $\mathcal{M} \subset [t_0, t_n]$ & formerhaltende interpolierende quadratische Splinefunktion $s \in \mathcal{S}_{2,\mathcal{M}}, s(t_i) = y_i, i = 0, \dots, n$ ($\mathcal{M} \neq \{t_j\}_{j=0}^n$!)

① „Formtreue“ Wahl von Steigungen $c_i, i = 0, \dots, n$ [MAR81, DQO01] [31, 36] sec:kubische-herm-inter Abschnitt 4.3.1.3

$$\text{Limiter } c_i := \begin{cases} \frac{2}{\Delta_i^{-1} + \Delta_{i+1}^{-1}} & \text{falls } \text{sign}(\Delta_i) = \text{sign}(\Delta_{i+1}), \\ 0 & \text{sonst,} \end{cases}, \quad i = 1, \dots, n-1.$$

$$c_0 := 2\Delta_1 - c_1, \quad c_n := 2\Delta_n - c_{n-1}.$$

Glattheit des kubischen Splineinterpolanten

Für $f : [a, b] \mapsto \mathbb{R}, f \in C^2([a, b])$: $\frac{1}{2} \int_a^b |f''(t)|^2 dt$ = elastische Krümmungsenergie

Zu Gitter $\mathcal{M} := \{t_0 < t_1 < \dots < t_n\}$: $s \in \mathcal{S}_{3,\mathcal{M}}$ = natürlicher kubischer Splineinterpolant von $(t_i, y_i) \in \mathbb{R}^2, i = 0, \dots, n$.

$k \in C^2([t_0, t_n])$ erfülle $k(t_i) = 0, i = 0, \dots, n$:

$$h(\lambda) := \frac{1}{2} \int_a^b |s'' + \lambda k|^2 dt \Rightarrow \frac{dh}{d\lambda}|_{\lambda=0} = \int_a^b s''(t)k''(t) dt = \sum_{j=1}^n \int_{t_{j-1}}^{t_j} s''(t)k''(t) dt$$

Zweimalige partielle Integration:

$$\Rightarrow \int_a^b s''(t)k''(t) dt = s''(t_n)k'(t_n) - s''(t_0)k'(t_0) = 0.$$

Theorem 4.3.6 (Optimalität des natürlichen kubischen Splineinterpolanten). Unter allen interpolierenden zweimal stetig differenzierbaren Funktionen minimiert der natürliche kubische Splineinterpolant die elastische Krümmungsenergie.

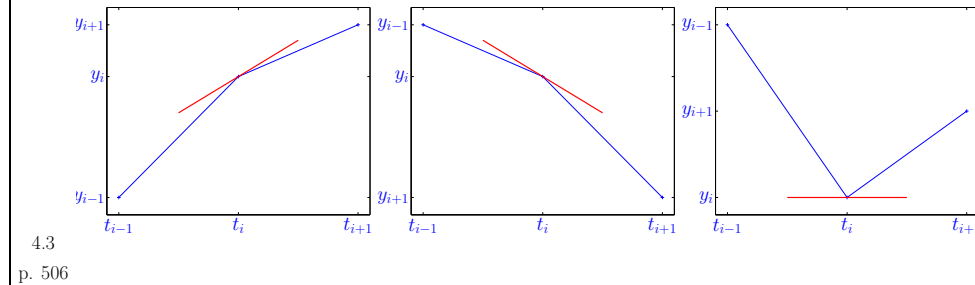
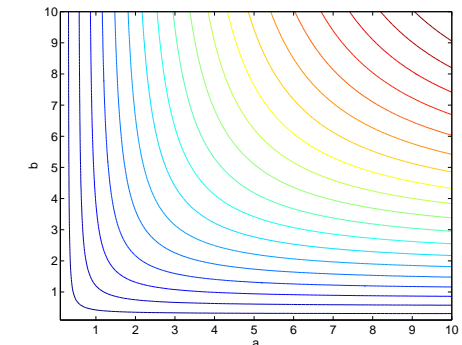
4.3
p. 505

$$c_i := \frac{2}{\Delta_i^{-1} + \Delta_{i+1}^{-1}}$$

Harmonisches Mittel

Harmonisches Mittel von a und b

„Geglättete min(\cdot, \cdot)-Funktion“

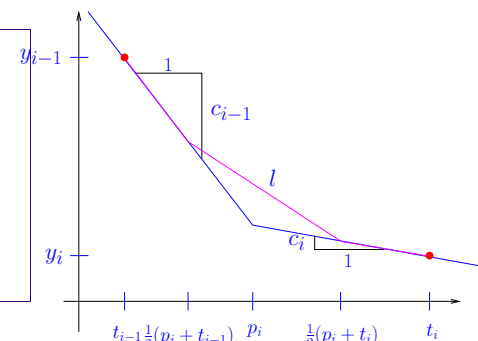


4.3
p. 507

② Wahl von „Zwischenpunkten“ $p_i \in]t_{i-1}, t_i]$, $i = 1, \dots, n$:

$$p_i = \begin{cases} \text{Schnittpunkt der Geraden durch } (t_{i-1}, y_{i-1}), (t_i, y_i) & , \text{ falls Schnittpunkt } \in]t_{i-1}, t_i] \\ \text{mit Steigungen } c_{i-1}, c_i & \\ \frac{1}{2}(t_{i-1} + t_i) & \text{sonst.} \end{cases}$$

```
p = (t(1)-1)*ones(1,length(t)-1);
for j=1:n-1
    if (c(j) ~= c(j+1))
        p(j)=(y(j+1)-y(j)+...
            t(j)*c(j)-t(j+1)*c(j+1))/...
            (c(j)-c(j+1));
    end
    if ((p(j)<t(j))|(p(j)>t(j+1)))
        p(j) = 0.5*(t(j)+t(j+1));
    end;
end;
```



> Gitter für quadratischen Spline:

$$\mathcal{M} = \{t_0 < p_1 < t_1 < p_2 < \dots < p_n < t_n\}$$

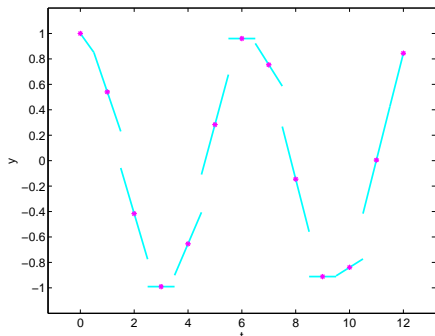
③ Setze l = Linearer Spline auf Gitter

$$\{t_0 < \frac{1}{2}(t_0 + p_1) < \frac{1}{2}(p_1 + t_1) < \frac{1}{2}(t_1 + p_2) < \dots < \frac{1}{2}(t_{n-1} + p_n) < \frac{1}{2}(p_n + t_n) < t_n\} ,$$

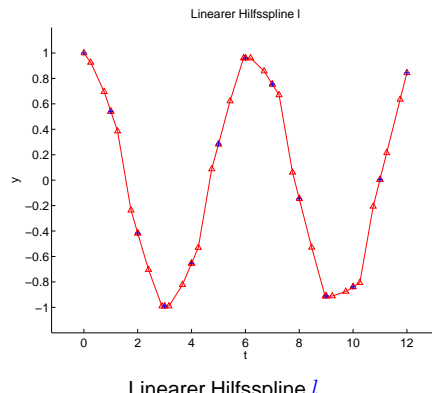
mit $l(t_i) = y_i$, $l'(t_i) = c_i$.

Beispiel 202 (Hilfskonstruktion für formerhaltende quadratische Splineinterpolation).

Datenpunkte: $t = (0:12)$; $y = \cos(t)$;



Lokale Steigungen c_i , $i = 0, \dots, n$



Linearer Hilfspline l

◇

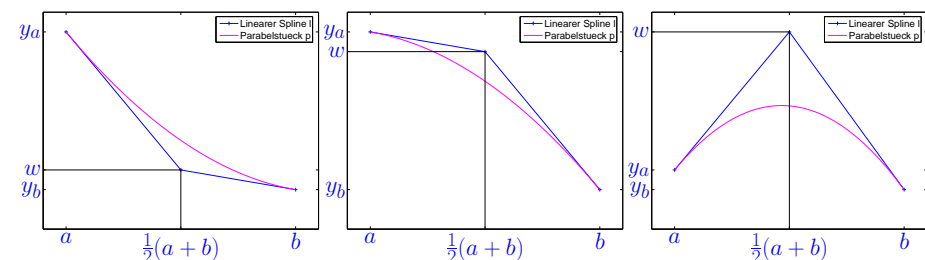
► l „erbt“ lokale Monotonie/Krümmung der Daten

③ Lokale quadratische Approximation/Interpolation von l :

g: Streckenzug (linearer Spline) durch (a, y_a) , $(\frac{1}{2}(a+b), w)$, (b, y_b) , $a < b$, $y_a, y_b, w \in \mathbb{R}$.

Parabel: $p(t) := (y_a(b-t)^2 + 2w(t-a)(b-t) + y_b(t-a)^2)/(b-a)^2$, $a \leq t \leq b$.

► $p(a) = y_a$, $p(b) = y_b$, $p'(a) = g'(a)$, $p'(b) = g'(b)$.



4.3

p. 509

g monoton wachsend/fallend

g konkav/konvex

\Rightarrow p monoton wachsend/fallend

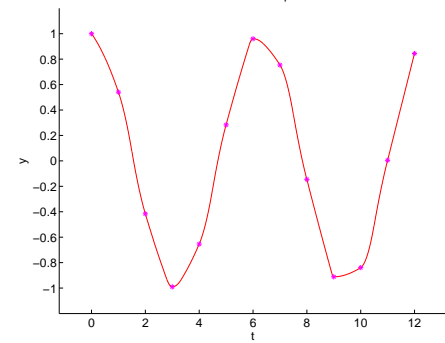
4.3

p. 511

g konkav/konvex

\Rightarrow p konkav/konvex

Quadratischer Spline

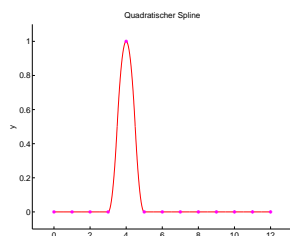
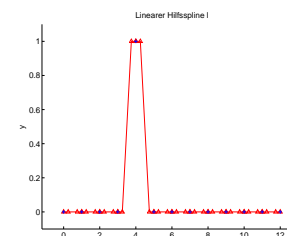
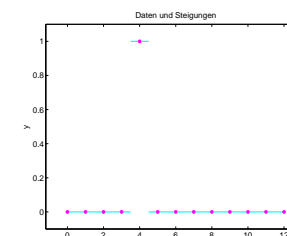


Fortsetzung von Bsp. 202:
lex:formspline

Interpolierender quadratischer Spline

4.3

p. 510



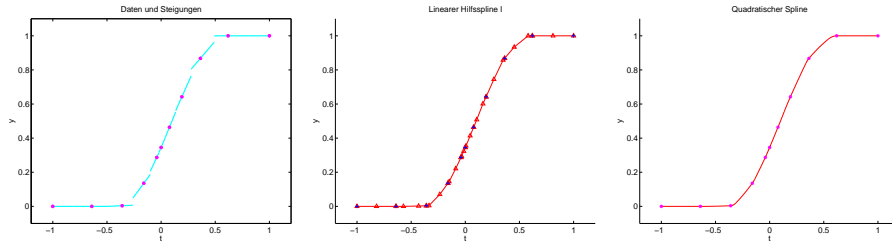
4.3

p. 512

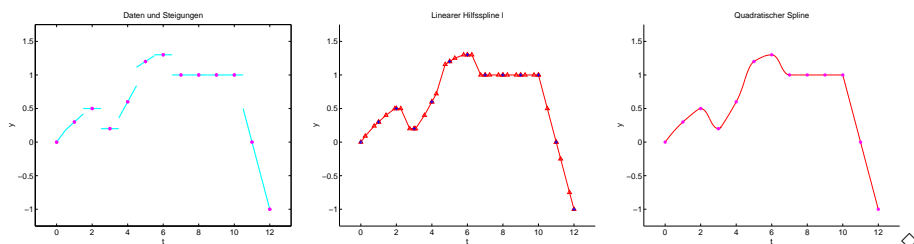
Formerhaltende quadratische Splineinterpolation = lokal + nichtlinear

Beispiel 203 (Formerhaltende quadratische Splineinterpolation).

ex: logpolyintpol
Daten aus Bsp. IT94:



MAR81	t_i	0	1	2	3	4	5	6	7	8	9	10	11	12
y_i	0	0.3	0.5	0.2	0.6	1.2	1.3	1	1	1	1	0	-1	



4.3.3 Bezier-Techniken

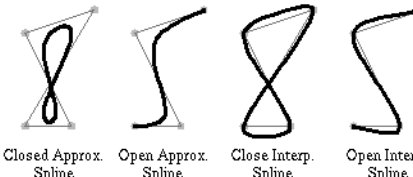
Ziel: Kurvenapproximation (nicht Interpolation) durch stückweise Polynome

Aus dem XFIG-Manual (<http://www.xfig.org/>):

About Spline Curves

A *Spline curve* is a smooth curve controlled by specified points.

- **CLOSED APPROXIMATING SPLINE**: Smooth closed curve which approximates specified points.
- **OPEN APPROXIMATING SPLINE**: Smooth curve which approximates specified points.
- **CLOSED INTERPOLATING SPLINE**: Smooth closed curve which passes through specified points.
- **OPEN INTERPOLATING SPLINE**: Smooth curve which passes through specified points.



Using splines, curves such as the following may be easily drawn.



4.3
p. 513

4.3
p. 515

Ein Beweis des Weierstrassschen Approximationssatzes (→ Analysis, [Hausv./O](#)):

Theorem 4.3.7 (Approximation durch Bernstein-Polynome). Falls $f \in C([0, 1])$ und

$$p_n(t) := \sum_{j=0}^n f(j/n) \binom{n}{j} t^j (1-t)^{n-j}, \quad 0 \leq t \leq 1,$$

dann $p_n \rightarrow f$ gleichmäßig für $n \rightarrow \infty$. Wenn $f \in C^m([0, 1])$, dann $p_n^{(k)} \rightarrow f^{(k)}$ gleichmäßig für $n \rightarrow \infty$.

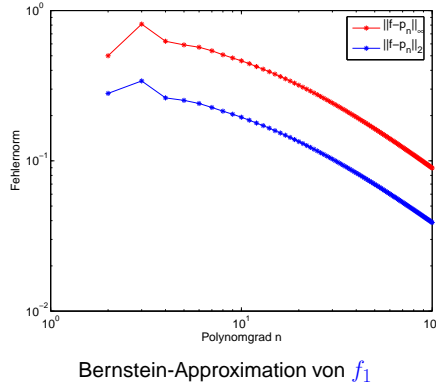
Beispiel 204 (Bernstein-Approximation).

$$f_1(t) := \begin{cases} 0 & , \text{ falls } |2t - 1| > \frac{1}{2}, \\ \frac{1}{2}(1 + \cos(2\pi(2t - 1))) & \text{sonst.} \end{cases}, \quad f_2(t) := \frac{1}{1 + e^{-12(x-1/2)}}.$$

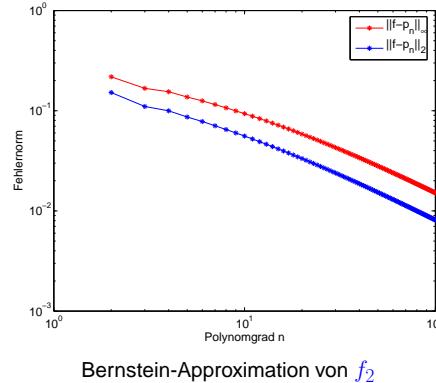
Normen des Approximationsfehlers $f - p_n, p_n$ aus Thm. [4.3.7](#)

4.3
p. 514

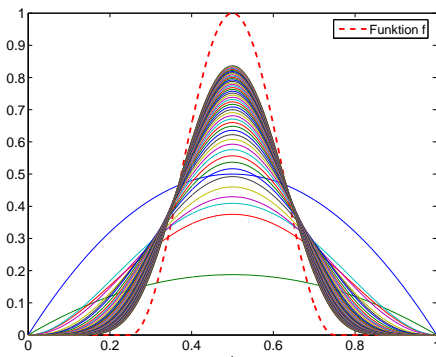
4.3
p. 516



Bernstein-Approximation von f_1



Bernstein-Approximation von f_2



> Schlechte Approximation, aber gute „Formwiedergabe“ durch p_n

DAV75
Aus [9, Sect. 6.3]: Monotonic and convex functions yield monotonic and convex approximants, respectively. In a work, the Bernstein approximants mimic the behavior of the function to a remarkable degree. There is a price that must be paid for these beautiful approximation properties: the convergence of Bernstein polynomials is very slow.

It is far slower than what can be achieved by other means. If f is bounded, then at a point t where $f'(t)$ exists and does not vanish, $p_n(t)$ converges to $f(t)$ precisely like C/n . This fact seems to

have precluded any numerical application of Bernstein polynomials from having been made (1965!). Perhaps they will find application when the properties of the approximant in the large are of more importance than closeness of the approximation.

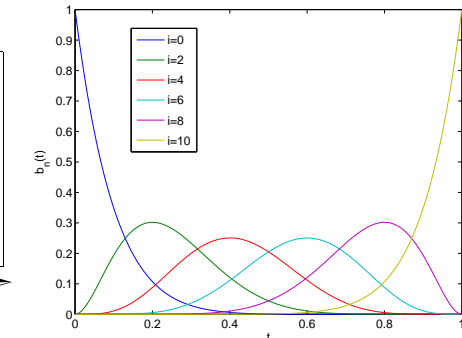
Definition 4.3.8 (Bernstein-Polynome).

Bernstein-Polynome vom Grad n :

$$b_{i,n}(t) := \binom{n}{i} t^i (1-t)^{n-i}, \quad i = 0, \dots, n.$$

($b_{i,n} \equiv 0$ für $i < 0, i > n$)

Bernstein-Polynome für $n = 10$



4.3

p. 517

Lemma 4.3.9 (Eigenschaften von Bernstein-Polynomen).

- (i) $t = 0 = i$ -fache Nullstelle von $b_{i,n}$, $t = 1 = n - i$ -fache Nullstelle von $b_{i,n}$,
- (ii) $\sum_{i=0}^n b_{i,n} \equiv 1$ (*Zerlegung der Eins*),
- (iii) $b_{i,n}(t) = (1-t)b_{i,n-1}(t) + tb_{i-1,n-1}(t)$,
- (iv) $b_{i,n}(t) \geq 0 \quad \forall 0 \leq t \leq 1$.

Lemma 4.3.9 (iii)

> Effiziente Auswertung von $b_{i,n}(t)$ (Rekursion)

```
function V = bernstein(n,x)
V = [ones(1,length(x)); ... % initial values
      zeros(n,length(x))];
for j=1:n
    for k=j+1:-1:2
        V(k,:) = x.*V(k-1,:); + (1-x).*V(k,:);
    end
    V(1,:) = (1-x).*V(1,:);
end
```

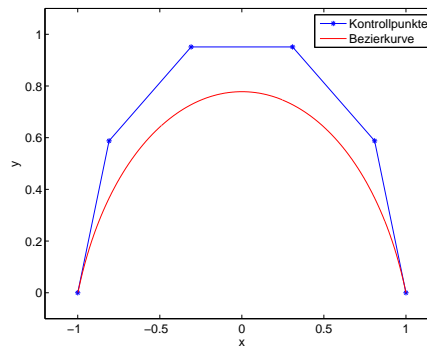
4.3

p. 518

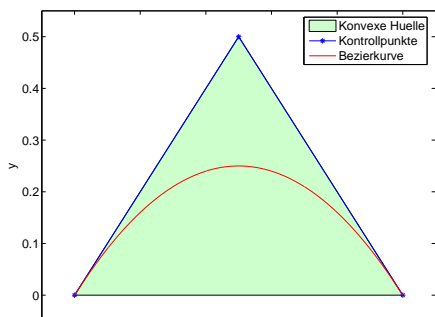
4.3

p. 519

Definition 4.3.10 (Bézier-Kurven). *Bézier-Kurve* zu *Kontrollpunkten* $\mathbf{d}_i \in \mathbb{R}^d$, $i = 0, \dots, n$, $d \in \mathbb{N}$:

$$\gamma : \begin{cases} [0, 1] \mapsto \mathbb{R}^d \\ t \mapsto \sum_{i=0}^n \mathbf{d}_i b_{i,n}(t) \end{cases}$$


- $\gamma(0) = \mathbf{d}_0, \gamma(1) = \mathbf{d}_n$ (Interpolationseigenschaft)
- $\gamma'(0) = n(\mathbf{d}_1 - \mathbf{d}_0), \gamma'(1) = n(\mathbf{d}_n - \mathbf{d}_{n-1})$ (Tangenten)

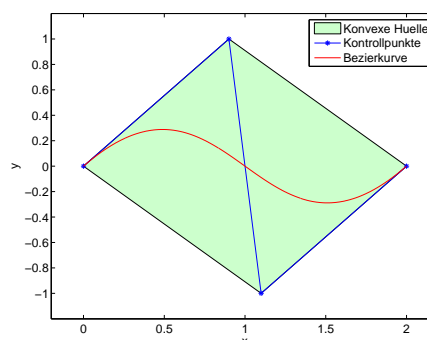


Lemma 4.3.9(ii) $\Rightarrow \gamma \subset \text{convex}\{\mathbf{d}_0, \dots, \mathbf{d}_n\}$

Konvexe Hülle: $\text{convex}\{\mathbf{d}_0, \dots, \mathbf{d}_n\} := \{\mathbf{x} = \sum_{i=0}^n \lambda_i \mathbf{d}_i, 0 \leq \lambda_i \leq 1, \sum_{i=0}^n \lambda_i = 1\}$.

Praxis:

- Stückweise Bézier-Kurven \Rightarrow Spline-Kurven
- X-Splines & NURBS (\rightarrow CAGD, Computergraphik)



4.4 Numerische Quadratur

[File: section-numerische-quadratur.tex, SVN: section-numerische-quadratur.tex 1331 2007-03-07 09:16:14Z hiptmair]

NUMQUAD

= Näherungsweise Auswertung von $\int_{\Omega} f(\mathbf{x}) d\mathbf{x}$ (\neq Quadratur des Kreises)

$f : \Omega \subset \mathbb{R}^n \mapsto \mathbb{R} \hat{=} \text{function } y = f(\mathbf{x})$ (Nur Punkt auswertungen verfügbar)

Spezialfall $n = 1$: $\Omega = [a, b]$ (Intervall)

QUADFORM

Quadraturformel: $\int_a^b f(t) dt \approx Q_n(f) := \sum_{j=0}^n \omega_j f(\xi_j)$.

ω_j : Quadraturgewichte $\in \mathbb{R}$ (engl. weights)

ξ_j : Quadraturknoten $\in [a, b]$ (engl. nodes)

Fragestellung: (analog zur Interpolationsfehlerabschätzung, Abschnitt 4.1.2) sec:interp

4.3 p. 521 Asymptotisches Verhalten $\int_a^b f(t) dt - Q_n(f)$ für $n \rightarrow \infty$ \triangleright Algebraische Konvergenz \triangleright Exponentielle Konvergenz

4.4.1 Polynomiale Quadraturformeln

Idee: Ersetze $f \rightarrow p_n$, $p_n \in \mathcal{P}_n$ = Interpolationspolynom von f zu gegebener Knotenmenge $\{\xi_0, \dots, \xi_n\} \subset [a, b]$



$$\Rightarrow \int_a^b f(t) dt \approx \int_a^b p_n(t) dt. \quad (4.4.1) \quad \text{eq:polqf}$$

Lagrange-Polynom: $L_i(t) := \prod_{\substack{j=0 \\ j \neq i}}^n \frac{t - \xi_j}{\xi_i - \xi_j}, \quad i = 0, \dots, n \quad \Rightarrow \quad p_n(t) = \sum_{j=0}^n f(\xi_j) L_j(t).$

$$\int_a^b p_n(t) dt = \sum_{j=0}^n f(\xi_j) \int_a^b L_j(t) dt \quad \Rightarrow \quad \text{Gewichte} \quad \omega_j := \int_a^b L_j(t) dt. \quad (4.4.2) \quad \text{eq:quadvf}$$

Beispiel 205 (Newton-Cotes-Formeln).

Äquidistante Knoten $\nu_j := a + hj, h := \frac{b-a}{n}, j = 0, \dots, n$:

4.4 p. 522 Symbolische Berechnung der Quadraturformeln mit MAPLE:

4.4 p. 523

```
> newtoncotes := n -> factor(int(interp([seq(i*h, i=0..n)], [seq(f(i*h), i=0..n)], z), z=0..n*h));
```

• $n = 1$: Trapezregel

```
> trapez := newtoncotes(1);
```

$$\frac{h}{2}(f(0) + f(h)) \quad \left(= \frac{b-a}{2}(f(a) + f(b)) \right)$$

(4.4.3) eq:trapez

• $n = 2$: Simpson-Regel

```
> simpson := newtoncotes(2);
```

$$\frac{h}{3}(f(0) + 4f(h) + f(2h)) \quad \left(= \frac{b-a}{6}(f(0) + 4f(h) + f(2h)) \right)$$

(4.4.4) eq:simps

• $n = 4$: Milne-Regel

```
> milne := newtoncotes(4);
```

$$\frac{2}{45}h(7f(0) + 32f(h) + 12f(2h) + 32f(3h) + 7f(4h))$$

• $n = 6$: Weddle-Regel

```
> weddle := newtoncotes(6);
```

$$\begin{aligned} \frac{1}{140}h &(41f(0) + 216f(h) + 27f(2h) + 272f(3h) \\ &+ 27f(4h) + 216f(5h) + 41f(6h)) \end{aligned}$$

• $n = 8$: Quadraturformel mit negativen Gewichten

```
> newtoncotes(8);
```

$$\begin{aligned} \frac{4}{14175}h &(989f(0) + 5888f(h) - 928f(2h) + 10496f(3h) \\ &- 4540f(4h) + 10496f(5h) - 928f(6h) + 5888f(7h) + 989f(8h)) \end{aligned}$$

Negative Quadraturgewichte beeinträchtigen numerische Stabilität!

Alternative:

Falls ν_j = Tschebyscheff-Knoten \Rightarrow Tschebyscheff-Quadratur

Quadraturfehlerabschätzungen \leftarrow Direkt aus L^∞ -Interpolationsfehlerabschätzungen, Cor. 4.1.5: cor:polintpe

$$f \in C^{n+1}([a, b]) \Rightarrow \left| \int_a^b f(t) dt - Q_n(f) \right| \leq \frac{1}{(n+1)!} (b-a)^{n+1} \|f^{(n+1)}\|_{L^\infty([a,b])}. \quad (4.4.5) \quad \text{eq:polqu}$$

(Schärfere Abschätzungen für Tschebyscheff-Quadratur)

4.4.2 Gauss-Quadratur

Nach Konstruktion:

Polynomiale Quadraturformeln (4.4.1) exakt für $f \in \mathcal{P}_n$ eq:polaf

4.4

p. 525

Mass für Qualität einer Quadraturformel Q_n :

$$\text{Ordnung}(q_n) := \max\{n \in \mathbb{N}_0 : Q_n(p) = \int_a^b p(t) dt \quad \forall p \in \mathcal{P}_n\} + 1$$

\Rightarrow Jede polynomiale Quadraturformel mit n Knoten \Rightarrow Ordnung $\geq n$

Geht es auch besser?

Beispiel 206 (Gauss-Legendre-Quadratur der Ordnung 4).

$$\text{Linearität} \Rightarrow Q_n(p) = \int_a^b p(t) dt \quad \forall p \in \mathcal{P}_3 \Leftrightarrow Q_n(t^q) = \frac{1}{q+1} (b^{q+1} - a^{q+1}), \quad q = 0, 1, 2, 3.$$

4 Gleichungen für Gewichte ω_j , Knoten $\xi_j, j = 1, 2$ ($a = -1, b = 1$)

$$\begin{aligned} \int_{-1}^1 1 dt &= 2 = 1\omega_1 + 1\omega_2, & \int_{-1}^1 t dt &= 0 = \xi_1\omega_1 + \xi_2\omega_2 \\ \int_{-1}^1 t^2 dt &= \frac{2}{3} = \xi_1^2\omega_1 + \xi_2^2\omega_2, & \int_{-1}^1 t^3 dt &= 0 = \xi_1^3\omega_1 + \xi_2^3\omega_2. \end{aligned}$$

4.4
p. 526

4.4

p. 527

```

> eqns := seq(int(x^k, x=-1..1) = w[1]*xi[1]^k+w[2]*xi[2]^k, k=0..3);
> sols := solve(eqns, indets(eqns, name));
> convert(sols, radical);

```

$$\{\omega_2 = 1, \omega_1 = 1, \xi_1 = 1/3\sqrt{3}, \xi_2 = -1/3\sqrt{3}\}$$

► Quadraturformel: $\int_{-1}^1 f(x) dx \approx f\left(\frac{1}{\sqrt{3}}\right) + f\left(-\frac{1}{\sqrt{3}}\right)$

Heuristik: n Knoten + n Gewichte ► $2n$ Freiheitsgrade = $\dim \mathcal{P}_{2n-1}$

► Hoffnung: Quadraturformel der Ordnung $2n$ mit n Knoten

Herleitung: Polynomdivision mit Rest: für gegebenes $q \in \mathcal{P}_n$

$$p \in \mathcal{P}_{2n-1}: p(t) = h(t)q(t) + r(t), \quad h \in \mathcal{P}_{n-1}, r \in \mathcal{P}_{n-1}.$$

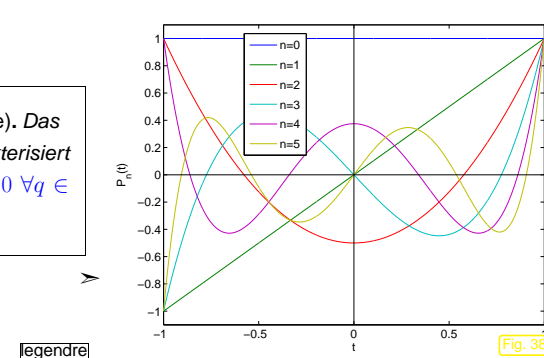
$$\int_a^b p(t) dt - \sum_{j=1}^n \omega_j p(\xi_j) = \int_a^b h(t)q(t) dt - \sum_{j=1}^n \omega_j h(\xi_j)q(\xi_j) + \int_a^b r(t) dt - \sum_{j=1}^n \omega_j r(\xi_j) = 0.$$

① Wähle $q \in \mathcal{P}_n$: $\int_a^b h(t)q(t) dt = 0 \quad \forall h \in \mathcal{P}_{n-1} \rightarrow \int_a^b h(t)q(t) dt = 0$

► q = Orthogonalpolynom zum Skalarprodukt $(f, g) \mapsto \int_a^b f(t)g(t) dt$ → Abschnitt 4.1.5.2

Definition 4.4.1 (Legendre-Polynome). Das n . Legendre-Polynom P_n ist charakterisiert durch $P_n \in \mathcal{P}_n$, $\int_{-1}^1 P_n(t)q(t) dt = 0 \quad \forall q \in \mathcal{P}_{n-1}$, $P_n(1) = 1$.

Legendre-Polynome P_0, \dots, P_5



Dreiterm-Rekursion analog zu Thm. 4.1.19: thm:orthpoly

$$P_{n+1}(t) = \frac{2n+1}{n+1} t P_n(t) - \frac{n}{n+1} P_{n-1}(t).$$

(4.4.6)

```

function V = legendre(N,x)
V = ones(size(x)); V = [V; x];
for n=1:N-1
    V = [V; ... (2*n+1)/(n+1).*x.*V(end,:)];
    V = [V; -n/(n+1)*V(end-1,:)];
end

```

- ② Wähle Knoten ξ_1, \dots, ξ_n auf $[a, b]$ transformierte (vgl. (4.1.17)) Nullstellen von Legendre-Polynom P_n , $n \geq 1$ (→ Gauss-Punkte).

$$\rightarrow \sum_{j=1}^n \omega_j h(\xi_j)q(\xi_j) = 0, \text{ da } q = P_n !$$

§ **Theorem 4.4.2** (Nullstellen von Orthogonalpolynomen).

P_n hat genau n einfache Nullstellen in $[-1, 1]$.

4.4
p. 529

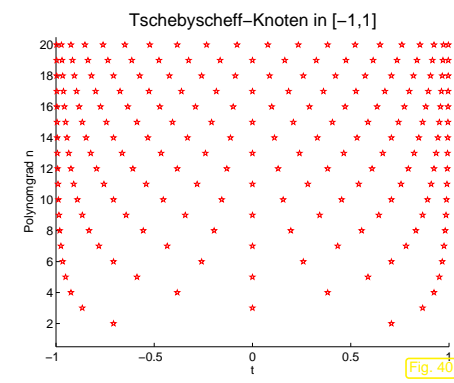
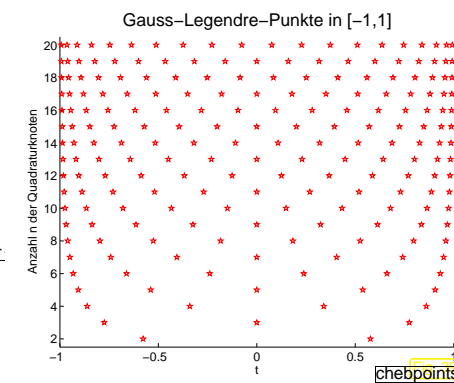


Fig. 40

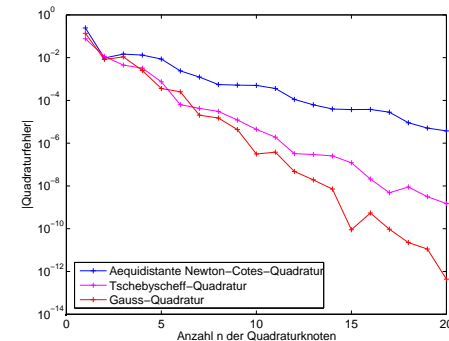
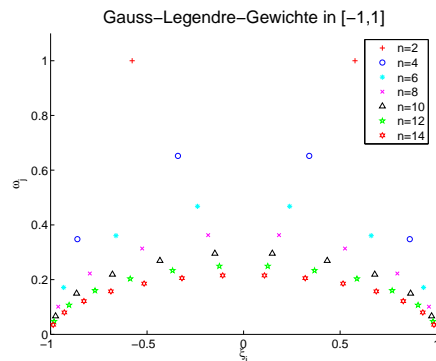
- ③ Für $[a, b] = [-1, 1]$ wähle $\omega_j \in \mathbb{R}$: $\sum_{j=1}^n \omega_j \xi_j^k = \frac{1}{k+1} (1 - (-1)^{k+1})$, $k = 0, \dots, n-1$
- $$\rightarrow \int_a^b r(t) dt - \sum_{j=1}^n \omega_j r(\xi_j) = 0, \text{ da } r \in \mathcal{P}_{n-1} !$$

4.4
p. 530

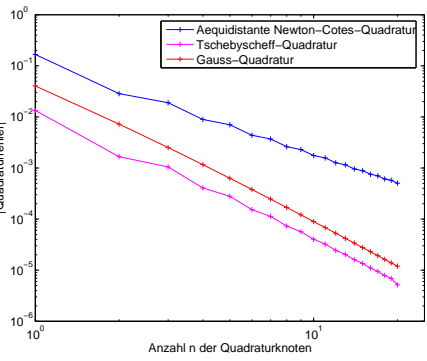
► Gauss-Legendre-Quadraturformeln: n Knoten & Ordnung $2n$

4.4
p. 531

Theorem 4.4.3 (Gewichte der Gauss-Legendre-Quadraturformeln). Die Gewichte der Gauss-Legendre-Quadraturformeln sind eindeutig bestimmt und positiv.



Quadraturfehler, $f_1(t) := \frac{1}{1+(5t)^2}$ auf $[0, 1]$



Quadraturfehler, $f_2(t) := \sqrt{t}$ auf $[0, 1]$

Asymptotik des Quadraturfehlers $\epsilon_n := \left| \int_0^1 f(t) dt - Q_n(f) \right|$ für „ $n \rightarrow \infty$ “:

➤ Exponentielle Konvergenz $\epsilon_n \approx O(q^n)$, $0 < q < 1$, für analytischen Integranden (\rightarrow Def. 4.1.14) f_1 : Newton-Cotes-Quadratur: $q \approx 0.61$, Tschebyscheff-Quadratur: $q \approx 0.40$, Gauss-Legendre-Quadratur: $q \approx 0.27$

4.4
p. 533

➤ Algebraische Konvergenz $\epsilon_n \approx O(n^{-\alpha})$, $\alpha > 0$, für Integranden f_2 mit Singularität in $t = 0$: Newton-Cotes-Quadratur: $\alpha \approx 1.8$, Tschebyscheff-Quadratur: $\alpha \approx 2.5$, Gauss-Legendre-Quadratur: $\alpha \approx 2.7$

Geht es noch besser als Gauss-Quadratur? (etwa Ordnung $2n+1$ mit n Knoten)

Zu Knoten $a \leq \xi_1 < \xi_2 < \dots < \xi_n \leq b$ ➤ $p(t) := \prod_{j=1}^n (t - \xi_j)^2 \in \mathcal{P}_{2n}$

➤ $Q_n(p) = 0$ aber $\int_a^b p(t) dt > 0$.

➤ Ordnung $> 2n$ kann mit n Quadraturpunkten nicht erreicht werden

4.4.3 Zusammengesetzte Quadraturformeln

Analogon: Globale Polynominterpolation $\xleftarrow{\text{sec ist stuckw-polyn}}$ \longleftrightarrow stückweise Polynominterpolation
(→ Abschnitt 4.3.1)

4.4
p. 534

4.4
p. 536

Bemerkung 207. Berechnung der Knoten/Gewichte der Gauss-Legendre-Quadraturformeln aus Eigenwertproblem!
(Golub-Welsch-Algorithmus [GG05] [T6, Sect. 3.5.4])

In Codes: ξ_j, ω_j tabelliert

```
function [x,w]=gaussQuad(p)
b = 1:p-1;
b = b./sqrt(4*b.*b-1);
J=diag(b,-1)+diag(b,1);
[ev,ew]=eig(J);
for i=1:p
    ev(:,i)/=norm(ev(:,i));
end
x=diag(ew);
w=(2*(ev(1,:).*ev(1,:)))';
```



- Idee:
- Partitionierung des Integrationsintervalls $[a, b]$ durch Gitter (\rightarrow Abschnitt 4.3) $\mathcal{M} := \{a = x_0 < x_1 < \dots < x_m = b\}$
 - Anwendung der Quadraturformeln aus Abschnitt 4.4.1 auf Teilintervalle $I_j := [x_{j-1}, x_j], j = 1, \dots, m$, + Summation.

(Wir betrachten nur zusammengesetzte Quadraturformeln basierend auf einer einzigen lokalen Quadraturformel)

Konvergenzuntersuchung (Skalierungsargument, vgl. (4.1.16)) und (4.4.5)):

Asymptotik des Quadraturfehlers bzgl. Maschenweite h von \mathcal{M} :

Theorem 4.4.4 (Konvergenz zusammengesetzter Quadraturformeln). Für eine zusammengesetzte Quadraturformel Q basierend auf einer lokalen Quadraturformel der Ordnung m gilt

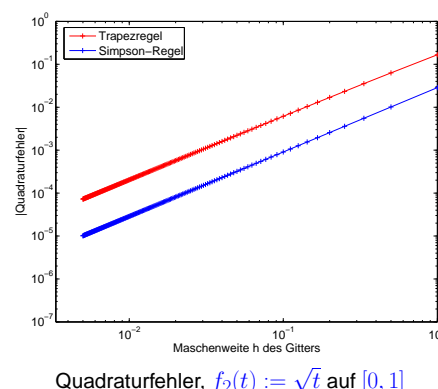
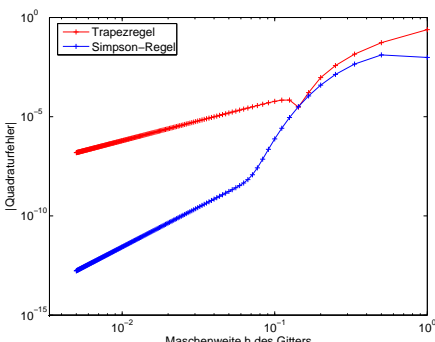
$$\exists C > 0: \left| \int_I f(t) dt - Q(f) \right| \leq Ch^m \|f^{(m)}\|_{L^\infty(I)} \quad \forall f \in C^m(I), \forall \mathcal{M} .$$

Beispiel 209 (Quadraturfehler bei zusammengesetzten Regeln).

Zusammengesetzte Quadraturformeln basierend auf

- Trapezregel (4.4.3) \rightarrow Lokale Ordnung 2 (exakt für lineare Funktionen),
- Simpson-Regel (4.4.4) \rightarrow Lokale Ordnung 3 (exakt für Parabeln)

auf äquidistantem Gitter $\mathcal{M} := \{jh\}_{j=0}^n, h = 1/n, n \in \mathbb{N}$.



Asymptotik des Quadraturfehlers $\epsilon_n := \left| \int_0^1 f(t) dt - Q_n(f) \right|$ für Maschenweite „ $h \rightarrow 0$ “

- Algebraische Konvergenz $\epsilon = O(h^\alpha), \alpha > 0$:
- Hinreichend glatter Integrand f_1 : α gemäss Thm. 4.4.4, Trapezegel $\rightarrow \alpha = 2$, Simpson-Regel $\rightarrow \alpha = 4$!?
- Singulärer Integrand f_2 : $\alpha = 3/2$ für Trapezegel & Simpson-Regel! (Glattheit des Integranden begrenzt Konvergenz)

Simpson-Regel: Ordnung = 4 ? MAPLE schafft Klarheit

```
> rule := 1/3*h*(f(2*h)+4*f(h)+f(0))
> err := taylor(rule - int(f(x), x=0..2*h), h=0, 6);
```

$$err := \left(\frac{1}{90} (D^{(4)})(f)(0) h^5 + O(h^6), h, 6 \right)$$

\Rightarrow Simpson-Regel hat sogar Ordnung 4 !

4.4

p. 537

4.4

p. 539

Bemerkung 210 (Auflösung einer Singularität durch Transformation).

Für $f \in C^\infty([0, b])$ approximiere $\int_0^b \sqrt{t} f(t) dt$ durch numerische Quadratur (\rightarrow Bsp. 209)

$$\text{Substitution } s = \sqrt{t}: \int_0^b \sqrt{t} f(t) dt = \int_0^{\sqrt{b}} 2s^2 f(s^2) ds .$$

Dann: Anwendung einer Quadraturformel auf glatten Integranden

Die äquidistante Trapezregel:

$\hat{=}$ stückweise lineare Approximation des Integranden auf äquidistantem Gitter:

$$\int_a^b f(t) dt \approx T_n(f) := h \left(\frac{1}{2}f(a) + \sum_{k=1}^{n-1} f(kh) + \frac{1}{2}f(b) \right), \quad h := \frac{b-a}{n} .$$

Beispiel 211 (Konvergenz für äquidistante Trapezregel).

1-periodischer analytischer Integrand (\rightarrow Bsp. 166):

$$f(t) = \frac{1}{\sqrt{1-a \sin(2\pi t - \gamma)}}, \quad 0 < a < 1, \gamma \in \mathbb{R} .$$

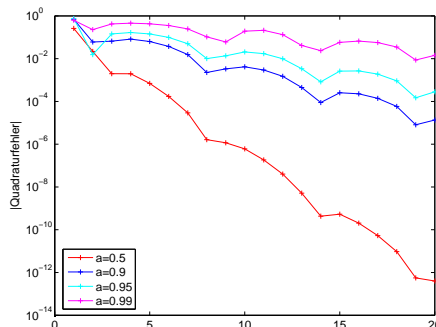
4.4

p. 538

4.4

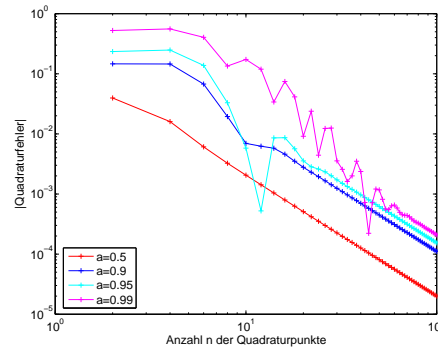
p. 540

(„Exakte Integralwerte“ aus T₅₀₀)



Quadraturfehler für $T_n(f)$, $\gamma = 1$, auf $[0, 1]$

Exponentielle Konvergenz



Quadraturfehler für $T_n(f)$, $\gamma = 1$, auf $[0, \frac{1}{2}]$

Nur algebraische Konvergenz

Erklärung:

$$f(t) = e^{2\pi i k t} \Rightarrow \begin{cases} \int_0^1 f(t) dt = \begin{cases} 0 & , \text{ falls } k \neq 0 , \\ 1 & \text{für } k = 0 . \end{cases} \\ T_n(f) = \frac{1}{n} \sum_{l=0}^{n-1} e^{\frac{2\pi i l k}{n}} \stackrel{\text{leg:comroot2}}{=} \begin{cases} 0 & , \text{ falls } k \notin n\mathbb{Z} , \\ 1 & , \text{ falls } k \in n\mathbb{Z} . \end{cases} \end{cases}$$

Äquidistante Trapezregel T_n ist exakt für trigonometrische Polynome (\rightarrow Def. 4.1.8) vom Grad $< 2n$!

$T_n \hat{=} \text{Approximation des Integranden durch trigonometrisches Interpolationspolynom} \rightarrow \text{Abschn. 4.1.4}$

Glatte periodische Integranden \Rightarrow Benutze äquidistante Trapezregel !

Übung 4.5. Was versteht man unter Tschebyscheff-Quadratur? Gib die Quadraturknoten an und bestimme numerisch eine Näherung für die Quadraturgewichte unter Verwendung der MATLAB-Function `intpolyval(t, y, x)` aus Abschnitt 4.1.1.2 und der standard MATLAB-Funktion `quad`.

Übung 4.6. Die Integralwerte

$$\int_0^1 \sqrt{1 - x^2} f(x) dx \quad (4.6.1) \quad \text{eq:logqua}$$

sollen effizient, d.h. mit möglichst wenigen Auswertungen von f , numerisch approximiert werden. Dabei darf $f \in C^\infty([0, 1])$ angenommen werden.

1. Wie ist das Integral vor Anwendung einer Quadraturformel geeignet zu transformieren? (Hinweis: Verwende $1 - x^2 = (1 - x)(1 + x)$)
2. Schreibe eine auf Gauss-Quadratur basierende effiziente MATLAB-Funktion `logquad(f, p)` ($f \hat{=} \text{handle auf Funktion } f$, $p \hat{=} \text{Ordnung der zugrundeliegenden Gauss-Quadratur}$) zur Approximation von (4.6.1). Die Routine `gaussQuad(p)` aus Bemerkung der Vorlesungsunterlagen darf verwendet werden.
3. Für $f(x) = \sqrt{1+x}$ plotte den Quadraturfehler in Abhängigkeit von p für $p = 1, \dots, 20$. Welche qualitative Konvergenz kann abgelesen werden?

4.4

p. 541

4.6.1 Adaptive Quadratur

Betrachte zusammengesetzte Trapezregel auf Gitter $\mathcal{M} := \{a = x_0 < x_1 < \dots < x_m = b\}$

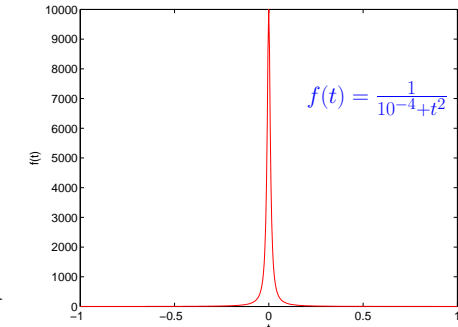
Lokaler Quadraturfehler (für $f \in C^2([a, b])$):

$$\begin{aligned} & \int_{x_{k-1}}^{x_k} f(t) dt - \frac{1}{2}(f(x_{k-1}) + f(x_k)) \\ & \leq (x_k - x_{k-1})^3 \|f''\|_{L^\infty([x_{k-1}, x_k])} . \end{aligned}$$

\Rightarrow Benutze nichtäquidistante Gitter !

(fein, wo $|f''|$ gross)

Sinnvoll etwa für „Nadelfunktion“



4.6

p. 542

Ziel:

Gleiche Beiträge aller Gitterintervalle zum Gesamtfehler

APEST

Werkzeug:

Lokale a posteriori Fehlerschätzung

(Schätzen der Fehlerbeiträge von Gitterintervallen aus Zwischenergebnissen)

Lokale Gitterverfeinerung

4.6

p. 543

4.6

p. 544

► Adaptive Mehrgitterquadratur (vereinfacht nach [12, Abschnitt 9.7])



Idee: Vergleich der Resultate zweier lokaler Quadraturformeln Q_1, Q_2 unterschiedlicher Ordnung → lokale Fehlerschätzung

Heuristik: Fehler(Q_2) \ll Fehler(Q_1) \Rightarrow Fehler(Q_1) $\approx Q_2(f) - Q_1(f)$.

Hier: Trapezregel \leftrightarrow Simpson-Regel

Gegeben: Gitter $\mathcal{M} := \{a = x_0 < x_1 < \dots < x_m = b\}$

❶ (Fehlerschätzung) Für $I_k = [x_{k-1}, x_k]$, $k = 1, \dots, m$ ($m_k := \frac{1}{2}(x_{k-1} + x_k)$)

$$\text{EST}_k := \underbrace{\frac{h_k}{6}(f(x_{k-1}) + 4f(m_k) + f(x_k))}_{\text{Simpson-Regel}} - \underbrace{\frac{h_k}{4}(f(x_{k-1}) + 2f(m_k) + f(x_k))}_{\text{Trapezregel (auf unterteilter Gitterzelle)}}$$

❷ (Abbruch) Simpson-Regel auf \mathcal{M} \Rightarrow Vorläufiger Integralwert I

Wenn $\sum_{k=1}^m \text{EST}_k \leq \text{TOL} \cdot I$ (TOL := vorgegebene Toleranz) \Rightarrow STOP

❸ (Lokale Gitterverfeinerung)

$$\mathcal{S} := \{k \in \{1, \dots, m\}: \text{EST}_k \geq \eta \cdot \frac{1}{m} \sum_{j=1}^m \text{EST}_j\}, \quad \eta \approx 0.9.$$

► Neues Gitter $\mathcal{M}^* := \mathcal{M} \cup \{m_k: k \in \mathcal{S}\}$.

Dann weiter mit ❶ und $\mathcal{M} \leftarrow \mathcal{M}^*$.

Adaptive Quadratur in MATLAB (nach [17]):

`q = quad(fun,a,b,tol):` Adaptive Mehrgitterquadratur

(lokale Quadraturformeln niedriger Ordnung)

`q = quadl(fun,a,b,tol):` Adaptive Gauss-Quadratur

(lokale Gauss-Quadraturformeln & Ordnungserhöhung)

4.6.2 Numerische Berechnung oszillatorischer Integrale

4.7 Multiskalenbasen

[File: section-multiskalenbasen.tex, SVN: section-multiskalenbasen.tex 1010 2006-09-11 15:44:43Z hiptmair]

Ziel: Analyse von Daten (\leftrightarrow Funktionen) durch **Darstellung in geeigneter Basis**

Beispiel 212 (Nichtlokalität der DFT).

Diskrete Fouriertransformation (\rightarrow Abschn. 3.7.1, Bsp. 1145)

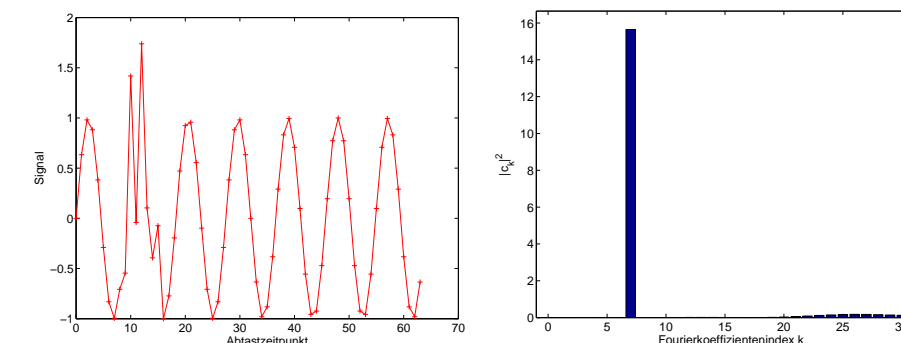
- Gute Identifikation von Frequenzanteilen
- Keine Auflösung zeitlokal Effekte

Daten:

```
t = 0:63; y = sin(7*2*pi*t/64);
y(10:16) = y(10:16) + cos(10*t(10:16));
```

4.6

p. 545



Gegeben: Abtastzeitpunkte $t_j := j/n$, $j = 0, \dots, n-1$, $n \in \mathbb{N}$ (äquidistant), Abtastwerte y_j , $j = 0, \dots, n-1 \Leftrightarrow$ Vektor $\mathbf{y} \in \mathbb{R}^n$

4.7

p. 546

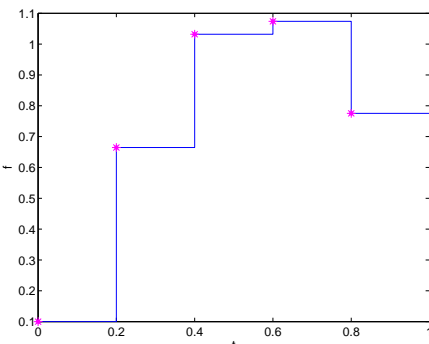
4.7

p. 547

Vektor $\mathbf{y} \in \mathbb{R}^n$

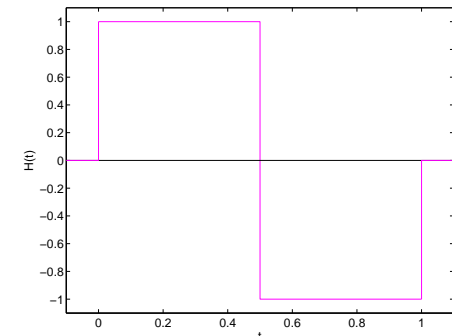
► Assoziierte Treppenfunktion

$$f(t) = y_j \quad \text{für } t_j \leq t < t_{j+1} . \\ (\text{mit } t_n := 1)$$



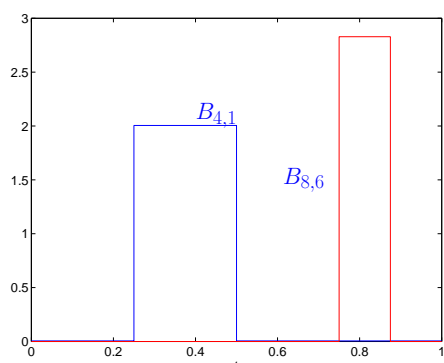
Beachte: $\mathcal{C}_n = \mathcal{S}_{0,T}$ (Splineraum niedrigster Ordnung, → Def. 4.3.5)
perispine

Eine weitere L^2 -Orthonormalbasis (für $n = 2^L$, $L \in \mathbb{N}$):



■ **Definition 4.7.1** (Haar-Wavelet). *Haar-Wavelet auf $[0, 1]$:*

$$H(t) := \begin{cases} 1 & \text{für } 0 \leq t < \frac{1}{2}, \\ -1 & \text{für } \frac{1}{2} \leq t < 1, \\ 0 & \text{sonst.} \end{cases} \\ = B(2t) - B(2t - 1) .$$

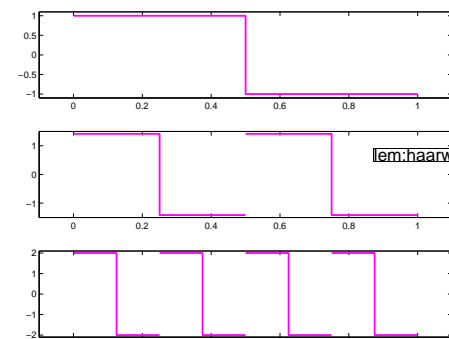


► $f(t) = \sum_{j=0}^{n-1} \left(\frac{1}{\sqrt{n}} y_j \right) B_{n,j}(t) ,$

$$B_{n,j}(t) := \sqrt{n} B(nt - j) , \\ B(t) := \begin{cases} 1 & , \text{falls } 0 \leq t < 1 , \\ 0 & \text{sonst.} \end{cases}$$

- Beachte:
- $\text{supp}(B(n \cdot - j)) = [j/n, j+1/n]$
 - $\|B_{n,j}\|_{L^2([0,1])} = 1$

4.7
p. 549



Terminologie: $c_{l,j}$ = Waveletkoeffizienten

$$\sum_{j=0}^{2^l-1} c_{l,j} H_{l,j} = \text{Level } l \text{ der Waveletzerlegung}$$

4.7
p. 550

B ≈ „Grundbasisfunktion“ (Skalierungsfunktion)

Terminologie:

$$B(nt - j) = B(n(t - \frac{j}{n}))$$

Dilatation Translation um j/n

► $\{B_{n,j}\}_{j=0}^{n-1} = L^2$ -orthonormale Basis des Treppenfunktionsraums \mathcal{C}_n auf äquidistantem Gitter $\mathcal{T} := \{j/n, j = 0, \dots, n\}$ in $[0, 1]$.

4.7
p. 551

Translierte/dilatierte Haar-Wavelets:
 $H_{l,j}(t) := 2^{l/2} H(2^l t - j)$, $j = 0, \dots, l-1$.

Lemma 4.7.2.

$$\bigcup_{l=0}^{L-1} \bigcup_{j=0}^{2^l-1} \{H_{l,j}\} \cup \{B\}$$

ist eine L^2 -Orthonormalbasis von \mathcal{C}_{2^L} , die Haar-Waveletbasis.

► Waveletdarstellung von $f \in \mathcal{C}_{2^L}$: $f = c_0 B + \sum_{l=0}^{L-1} \sum_{j=0}^{2^l-1} c_{l,j} H_{l,j}$.

4.7
p. 552

Folgerung aus Orthonormalbasiseigenschaft:

$$\sum_{j=0}^{n-1} y_j B_{n,j} = c_0 B + \sum_{l=0}^{L-1} \sum_{j=0}^{2^l-1} c_{l,j} H_{l,j} \Rightarrow \sum_{j=0}^{n-1} y_j^2 = c_0^2 + \sum_{l=0}^{L-1} \sum_{j=0}^{2^l-1} c_{l,j}^2.$$

$\xleftarrow{\text{Unitarität der (skalierten) diskreten Fouriertransformation}} \text{Lemma 3.7.2}$

Algorithmen zur Basistransformation Boxfunktionsbasis \leftrightarrow Haar-Waveletbasis:

Verfeinerungsrelationen:

$$B_{2^l,j} = \frac{1}{2}\sqrt{2} (B_{2^{l+1},2j} + B_{2^{l+1},2j+1}), \quad \Leftrightarrow \quad B_{2^{l+1},2j} = \frac{1}{2}\sqrt{2} (B_{2^l,j} + H_{l,j}), \\ H_{l,j} = \frac{1}{2}\sqrt{2} (B_{2^{l+1},2j} - B_{2^{l+1},2j+1}), \quad \Leftrightarrow \quad B_{2^{l+1},2j+1} = \frac{1}{2}\sqrt{2} (B_{2^l,j} - H_{l,j}). \quad (4.7.1)$$

$$g = y_1 B_{2^{l+1},2j} + y_2 B_{2^{l+1},2j+1} \Rightarrow g = \frac{1}{2}\sqrt{2} \left((y_1 + y_2) B_{2^l,j} + (y_1 - y_2) H_{l,j} \right) \quad (4.7.2)$$

Tiefpassfilter Hochpassfilter

Lineare Anordnung der Waveletkoeffizienten $c_{l,j}$ für $f = c_0 B + \sum_{l=0}^{L-1} \sum_{j=0}^{2^l-1} c_{l,j} H_{l,j}$:

$$c_0, c_{0,0}, c_{1,0}, c_{1,1}, c_2, \dots, c_{2,3}, \dots, c_{l,0}, \dots, c_{l,2^l-1}, \dots, c_{L-1,0}, \dots, c_{L-1,2^{L-1}-1}. \quad (4.7.3)$$

Boxfunktionsbasis \rightarrow Haar-Waveletbasis:

MATLAB-CODE: Basistransformation

```
function c = boxbastohwf(y,L)
c = zeros(size(y)); c(1) = y(1);
for l=2.^(-L-1:-1:0)
    y = y/sqrt(2); m = 2*l;
    c(1+m)=y(1:2:m)-y(2:2:m);
    y(1:l) = y(1:2:m)+y(2:2:m);
end
```

Rekursiver bottom-up Algorithmus:

(für $\text{length}(y) = 2^L$)

(Sukzessive Berechnung der Waveletkoeffizienten auf Level l und Boxfunktionsdarstellung auf Level $l-1$)

Rechenaufwand $O(2^L)$

Haar-Waveletbasis \rightarrow Boxfunktionsbasis:

MATLAB-CODE: Basistransformation

```
function y = hwftoboxbas(c,L)
y = zeros(size(c));
y(1) = c(1); ofs = 1;
for l=2.^(-0:L-1)
    z = y(1:l); w=c(ofs+(1:l));
    y(1:2:2*l) = (z+w)/sqrt(2);
    y(2:2:2*l) = (z-w)/sqrt(2);
    ofs = ofs+l;
end
```

Rekursiver top-down Algorithmus:
(für $\text{length}(y) = 2^L$)

(Sukzessive Berechnung der Boxfunktionsdarstellung auf Level $0, 1, 2, \dots$)

Rechenaufwand $O(2^L)$

Beispiel 213 (Waveletzerlegung eines Signals). Wavelet!Zerlegung eines Signals

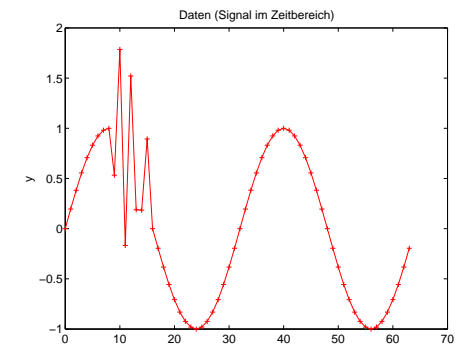
4.7

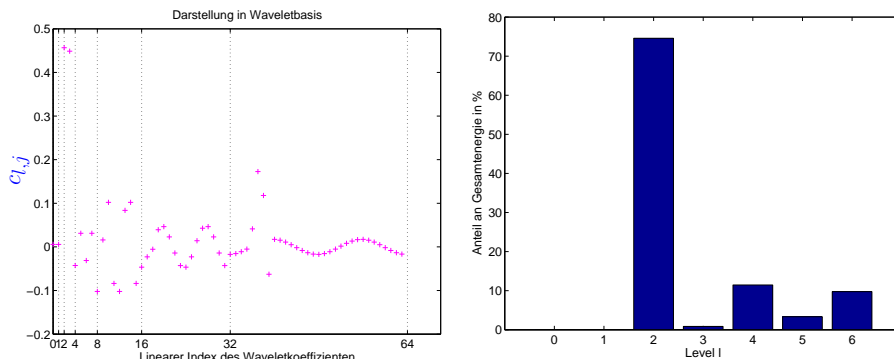
Signal (\rightarrow Bsp. 212):

```
t = 0:63; y = sin(4*pi*t/64);
y(10:16) = y(10:16) +
cos(10*t(10:16));
```

Signal mit

- dominierendem Grundfrequenzanteil
- zeitlokaler Störung



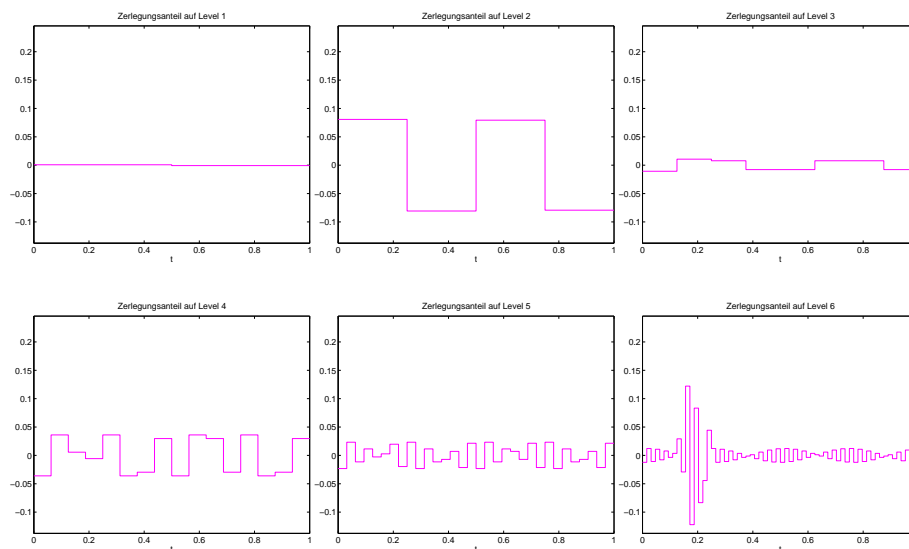


Leistung auf Level l :

$$P_l := \sum_{j=0}^{2^l-1} c_{l,j}^2 \quad \Rightarrow \quad \sum_{l=0}^L P_l = \|\mathbf{y}\|_2^2$$

- Auflösung der „Größenordnung“ der Grundfrequenz im Leistungsspektrum
(\rightarrow Koeffizientenindex $l \leftrightarrow$ Frequenzzerlegung)

Wavelet-Zerlegungsanteile:



- Zeitliche Auflösung der Störung (\rightarrow Koeffizientenindex k)

Raum der Treppenfunktionen = Splineraum vom Grad 0/Ordnung 1

Verallgemeinerung ?

► Spline-Wavelets [7] (Komplizierte Konstruktionen)
(Herausforderung: Kleine Träger, Orthogonalität \leftrightarrow Stabilität)

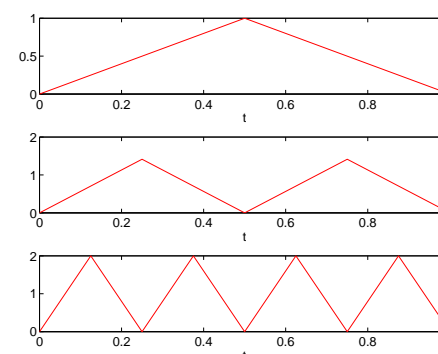
Hierarchische Basis für $\mathcal{S}_{1,\mathcal{M}}$:

Äquidistante Knoten in $[0, 1]$: $\mathcal{M} := \{t_j := j/n, j = 0, \dots, n\}$, $n = 2^L$, $L \in \mathbb{N}$

Skalierungsfunktion („Hutfunktion“) $\varphi(t) = \begin{cases} 1-t & , \text{ falls } 0 \leq t \leq 1, \\ 1+t & , \text{ falls } -1 \leq t \leq 0, \\ 0 & , \text{ sonst.} \end{cases} \in C^0(\mathbb{R})$, stückweise linear.

$$\varphi_{l,n}(t) := 2^{l/2} \varphi(2^l t - j) \Rightarrow \{\varphi_{l,n}\}_{j=0}^{2^L} = \text{Basis von } \mathcal{S}_{1,\mathcal{M}} \text{ auf } [0, 1] \text{ (Knotenbasis)}$$

4.7
p. 557



Hierarchische Basis von $\mathcal{S}_{1,\mathcal{M}}$:

$$\{\varphi_{0,0}, \varphi_{0,1}\} \cup \bigcup_{l=1}^L \bigcup_{j=0}^{2^l-1} \{\varphi_{l,2j+1}\}. \quad (4.7.4)$$

Hierarchische-Basis-Zerlegung:

$$s \in \mathcal{S}_{1,\mathcal{M}} \Rightarrow s = c_0 \varphi_{0,0} + c_1 \varphi_{0,1} + \sum_{l=1}^L \sum_{j=0}^{2^l-1} c_{l,j} \varphi_{l,2j+1}.$$

Beispiel 214 (Hierarchische-Basis-Zerlegung).

4.7
p. 558

4.7
p. 559

$s \in \mathcal{S}_{1,\mathcal{M}}$, Knotenwerte $s(t_j)$ aus

$t = 0:63; y = \sin(4\pi t/64);$

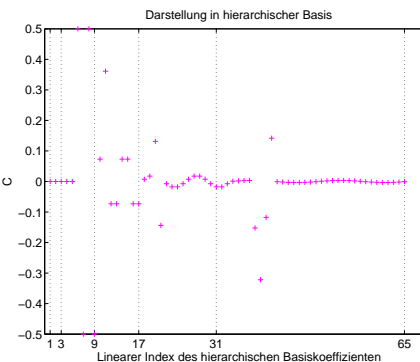
$y(10:16) = y(10:16) +$

$\cos(10t(10:16));$

Signal aus → Bsp. 213

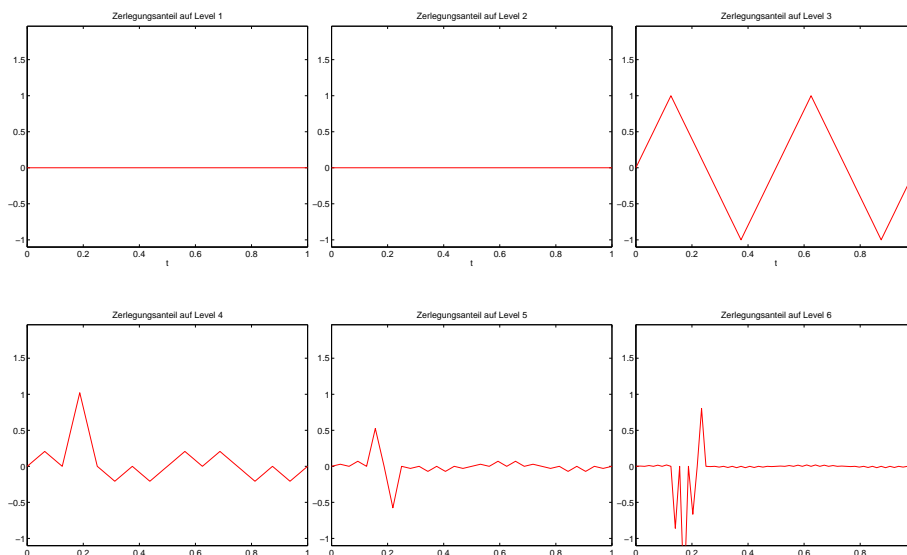
Hierarchische-Basis-Koeffizienten $c_{l,j}$

(Anordnung wie in (4.7.3))



► Auflösung von Grundschwingungen und zeitlokalen Merkmalen

Hierarchische-Basis-Zerlegungsanteile:



Beispiel 215 (L^2 -Instabilität der hierarchischen Basis).

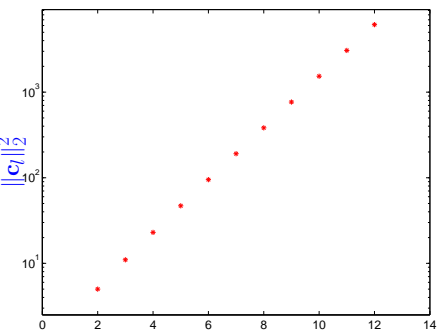
Auf Gitter $\mathcal{M}_l := \{j/n, j = 0, \dots, n\}$, $n := 2^l$
wähle

$$s_l := \varphi_{l,2^{l-1}}.$$

Euklidische Norm der hierarchischen-Basis-Koeffizienten (4.7.4) von s_l

$$\|\mathbf{c}\|_2^2 := c_0^2 + c_1^2 + \sum_{l=1}^L \sum_{j=0}^{2^{l-1}-1} c_{l,j}^2.$$

Exponentielles Wachstum von $\|\mathbf{c}_l\|_2^2$!



► Hierarchische Basis nicht l -gleichmäßig stabil (im L^2 -Sinn)

4.7
p. 561

4.7
p. 563

5

Numerik Gewöhnlicher Differentialgleichungen

Gegeben: • Phasenraum (engl. phase space) $\Omega \subset \mathbb{R}^d$, $d \in \mathbb{N}$ ($\mathbf{y} \in \Omega$ = „Zustand“, engl. state)
 ➤ Erweiterter Phasenraum $\hat{\Omega} \subset \mathbb{R} \times \Omega$ „Zeitvariable“
 (Annahme: Tensorproduktstruktur $\hat{\Omega} = I \times \Omega$)
 • Stetige Funktion $f : \hat{\Omega} \mapsto \mathbb{R}^d$ („rechte Seite“)
 • Anfangsdaten $(t_0, \mathbf{y}_0) \in \hat{\Omega}$, (\mathbf{y}_0 = Anfangswert engl. initial value)

Gesucht: C^1 -Lösungsfunktion $\mathbf{y} : J \mapsto \Omega$, $J \subset \mathbb{R}$ Intervall, $t_0 \in J$, für das Anfangswertproblem (AWP) für die gewöhnliche Differentialgleichung (engl. ordinary differential equation, ODE) [1. Ordnung]:

$$\mathbf{y}(t_0) = \mathbf{y}_0 \quad , \quad \dot{\mathbf{y}} = f(t, \mathbf{y}(t)) \quad \forall t \in J.$$

Notation: Punkt $\cdot \triangleq$ „Zeitableitung“ $\frac{d}{dt}$

4.7
p. 562

5.0
p. 564

Mechanik
Reaktionskinetik
Populationsdynamik
Schaltkreismodelle
...

Beispiel 216 (Mechanisches System Pendel).

Phasenraum Ω = Konfigurationsraum für Minimalkoordinaten (= Auslenkungswinkel)

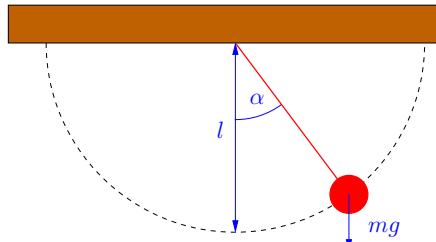
$$\Rightarrow d = 1, \Omega =]-\pi/2, \pi/2[$$

(→ zulässige Auslenkungswinkel α)

Newtonscche Bewegungsgleichungen:

$$ml \ddot{\alpha}(t) = -mg \sin \alpha(t) .$$

► ODE 2. Ordnung



Formale Umwandlung in gewöhnliche Differentialgleichungen 1. Ordnung (Hamiltonsche Form der Bewegungsgleichungen → Physik):

$$p := \dot{\alpha} \Rightarrow \begin{pmatrix} \dot{\alpha} \\ p \end{pmatrix} = \begin{pmatrix} \dot{\alpha} \\ -\frac{g}{l} \sin \alpha \end{pmatrix} .$$

5.1 Theorie gewöhnlicher Differentialgleichungen

[File: section-theorie-gewöhnlicher-differentialgleichungen.tex, SVN: section-theorie-gewöhnlicher-differentialgleichungen.tex 1010 2006-09-11 15:44:43Z]

Gegeben: $f : \hat{\Omega} \subset \mathbb{R} \times \Omega \mapsto \mathbb{R}^d$ stetig, Anfangsdaten $(t_0, \mathbf{y}_0) \in \hat{\Omega}$

$$\blacktriangleright \text{ AWP: } \mathbf{y}(t_0) = \mathbf{y}_0 \underset{\text{AUTONOM}}{\Rightarrow} \dot{\mathbf{y}}(t) = f(t, \mathbf{y}(t)) . \quad (5.1.1)$$

Terminologie:

$$\text{AWP autonom} \Leftrightarrow f(t, \mathbf{y}) = f(\mathbf{y})$$

Definition 5.1.1. $J \subset \mathbb{R}$ offenes Intervall, $t_0 \in J$

$$\mathbf{y} \in C^1(J, \Omega) \text{ Lösung des AWP (5.1.1)} \Leftrightarrow \mathbf{y}(t_0) = \mathbf{y}_0, \dot{\mathbf{y}}(t) = f(t, \mathbf{y}(t)) \quad \forall t \in J .$$

Annahme: (Lokale Lipschitz-Stetigkeit)

$$\forall (t, \mathbf{y}) \in \hat{\Omega}: \exists L > 0, \delta > 0: |t - \tilde{t}| + \|\mathbf{y} - \tilde{\mathbf{y}}\| < \delta \Rightarrow \|f(t, \mathbf{y}) - f(\tilde{t}, \tilde{\mathbf{y}})\| \leq L \|\mathbf{y} - \tilde{\mathbf{y}}\|$$

Kriterium: $\frac{d}{dy} f$ stetig auf $\hat{\Omega}$ (→ Kompaktheitsargument)

„Die Lösung eines Anfangswertproblems sucht sich Ihren Definitionsbereich selbst“

Lösung $\mathbf{y} \in C^1([t_0, t_1], \Omega)$ von AWP (5.1.1) maximal (in die Zukunft) fortsetzbar \Leftrightarrow

Es gibt Lösung $\tilde{\mathbf{y}} \in C^1([t_0, t_+], \Omega)$ des AWP (5.1.1) mit $t_+ \geq t_1$, $\mathbf{y}(t) = \tilde{\mathbf{y}}(t) \forall t_0 \leq t < t_1$, wobei

$$t_+ = \infty \wedge \lim_{t \rightarrow t_+} \|\tilde{\mathbf{y}}(t)\| = \infty \wedge \lim_{t \rightarrow t_+} \text{dist}(\tilde{\mathbf{y}}(t), \partial \hat{\Omega}) = 0 .$$

(Analog: Maximale Fortsetzbarkeit in die Vergangenheit auf $]t_-, t_0[$)

Blow-up

Notation: $J(t_0, \mathbf{y}_0) =]t_-, t_+[$ = maximales Existenzintervall für Lösung von AWP (5.1.1).

■ **Theorem 5.1.2** (Satz von Peano & Picard-Lindelöf). Falls $f : \hat{\Omega} \mapsto \mathbb{R}^d$ lokale Lipschitz-stetig, so hat das AWP (5.1.1) $\forall (t_0, \mathbf{y}_0) \in \hat{\Omega}$ eine eindeutige maximal fortsetzbare Lösung $\mathbf{y} : J(t_0, \mathbf{y}_0) \mapsto \Omega$.

5.1
p. 565

► EVOLUTION

Evolutionsoperator $\Phi^{s,t} : \Omega \mapsto \Omega$, $\Phi^{s,t} \mathbf{y}_0 := \mathbf{y}(s)$, \mathbf{y} Lsg. von $\dot{\mathbf{y}} = f(t, \mathbf{y})$, $\mathbf{y}(t) = \mathbf{y}_0$, $s \in J(t, \mathbf{y}_0)$

$$\blacktriangleright \Phi^{t,t} = \text{Id} , \quad \Phi^{s,t} = \Phi^{s,r} \circ \Phi^{r,t} . \quad (5.1.2)$$

Bemerkung 217. Falls AWP (5.1.1) autonom:

$$\Phi^{s,t} = \Phi^{s-t,0} \text{ falls } s - t \in I .$$

\mathbf{y} Lösung mit $\mathbf{y}(t_0) = \mathbf{y}_0 \Rightarrow \tilde{\mathbf{y}}(t) := \mathbf{y}(t + \tau)$ Lsg. mit $\tilde{\mathbf{y}}(t_0 - \tau) = \mathbf{y}_0$

► Für autonome AWP: „Kanonischer“ Anfangszeitpunkt $t_0 = 0$

Beispiel 218 (Skalare Differentialgleichungen). $\Rightarrow d = 1$

- $f(t, y) = -\lambda y$, $\lambda \in \mathbb{R}$ ► Lösung des AWP $y(t) = y_0 e^{-\lambda t}$, $t \in \mathbb{R}$
(existiert für alle Zeiten, d.h. $]t_-, t_+[= \mathbb{R}$ für jedes y_0)

$$\bullet f(t, y) = \lambda y^2, \lambda \in \mathbb{R}: \dot{y} = \lambda y^2, y(0) = y_0 \in \mathbb{R}$$

$$\text{Lösung } y(t) = \begin{cases} -\frac{1}{y_0^{-1} - \lambda t} , & \text{falls } y_0 \neq 0 , \quad (\text{Blow-up}) \\ 0 , & \text{falls } y_0 = 0 . \end{cases} ,$$

$$\lambda, y_0 > 0 \Rightarrow J(0, y_0) =]-\infty, 1/\lambda y_0[.$$

5.1
p. 566

5.1
p. 567

5.1
p. 568

• $f(t, y) = -\frac{1}{\sqrt{y}}, \Omega = \mathbb{R}^+, \text{ Anfangswert } y(0) = 1$

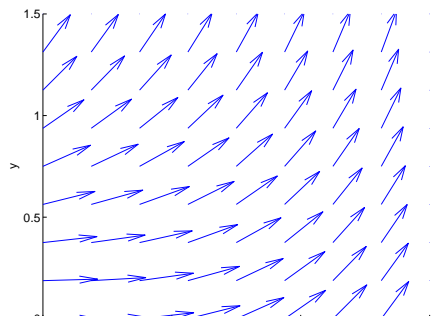
$\Rightarrow y(t) = (1 - 3t/2)^{2/3}, t_- = -\infty, t_+ = 2/3$

(Lösung läuft zum Rand $y = 0$ des Phasenraums)

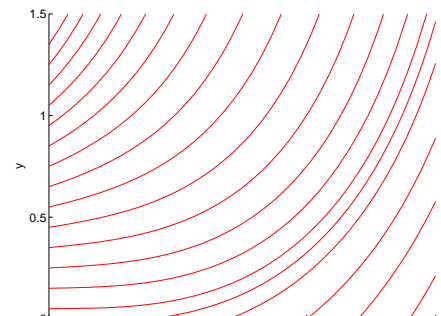
Beispiel 219 (Richtungsfeld und Orbits).

Riccati Differentialgleichung

$$\dot{y} = y^2 + t^2. \quad (5.1.3)$$



Richtungsfeld

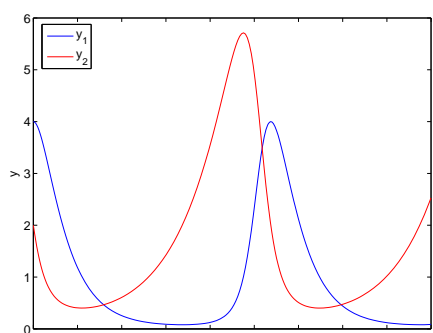


Lösungskurven

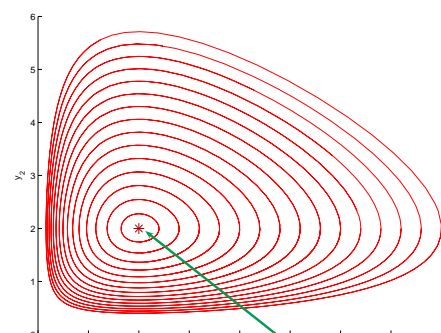
Lotka-Volterra Dgl.

$$\begin{pmatrix} \dot{y}_1 \\ \dot{y}_2 \end{pmatrix} = \begin{pmatrix} y_1(y_2 - 2) \\ y_2(1 - y_1) \end{pmatrix}$$

$$(5.1.4) \quad \text{eq:lv} \quad p. 569$$



Zeitabhängige Lösung, $y(0) = \begin{pmatrix} 4 \\ 1 \end{pmatrix}$



Orbits des von (5.1.4) erzeugten Flusses
Stationärer Punkt

Basiswechsel im Phasenraum (kovariante Transformation): $\hat{\mathbf{y}} = \mathbf{S}^{-1}\mathbf{y}$, $\mathbf{S} \in \mathbb{R}^{d,d}$ regulär

\mathbf{y} löst $\begin{cases} \dot{\mathbf{y}} = f(t, \mathbf{y}), \\ \mathbf{y}(t_0) = \mathbf{y}_0 \end{cases} \Leftrightarrow \hat{\mathbf{y}} := \mathbf{S}^{-1}\mathbf{y}$ löst $\begin{cases} \dot{\hat{\mathbf{y}}} = \hat{f}(t, \hat{\mathbf{y}}), \\ \hat{\mathbf{y}}(t_0) = \mathbf{S}^{-1}\mathbf{y}_0 \end{cases}$ mit $\hat{f}(t, \mathbf{y}) = \mathbf{S}^{-1}f(t, \mathbf{S}\mathbf{y})$. $(5.1.5)$

Beispiel 220 (Lineare Differentialgleichungen mit konstanten Koeffizienten).

$\Omega = \mathbb{R}^d, \hat{\Omega} = \mathbb{R}^{d+1}, f(t, \mathbf{y}) = \mathbf{A}\mathbf{y}(t) + g(t)$ mit $\mathbf{A} \in \mathbb{R}^{d,d}$, $g : \mathbb{R} \mapsto \mathbb{R}^d$

Annahme: \mathbf{A} diagonalisierbar, $\exists \mathbf{S} \in \mathbb{R}^{d,d}$ regulär: $\mathbf{S}^{-1}\mathbf{A}\mathbf{S} = \text{diag}(\lambda_1, \dots, \lambda_d)$, $\lambda_i \in \mathbb{C}$

- $g \equiv 0: \dot{\mathbf{y}} = \mathbf{A}\mathbf{y}$ (autonome homogene lineare Dgl.)

$$\hat{\mathbf{y}} := \mathbf{S}^{-1}\mathbf{y} \text{ löst } \begin{aligned} \dot{\hat{\mathbf{y}}}_1 &= \lambda_1 \hat{\mathbf{y}}_1, \\ &\vdots \\ \dot{\hat{\mathbf{y}}}_d &= \lambda_d \hat{\mathbf{y}}_1 \end{aligned} \Rightarrow \hat{\mathbf{y}}_i(t) = (\mathbf{S}^{-1}\mathbf{y}_0)_i e^{\lambda_i t}, \quad t \in \mathbb{R}. \\ \mathbf{y}(t) &= \mathbf{S} \underbrace{\begin{pmatrix} e^{\lambda_1 t} & & \\ & \ddots & \\ & & e^{\lambda_d t} \end{pmatrix}}_{\text{Matrixexponentialfunktion } \exp(\mathbf{At})} \mathbf{S}^{-1} \mathbf{y}_0. \end{aligned}$$

5.1
p. 571

- Inhomogener Fall $\dot{\mathbf{y}}(t) = \mathbf{A}\mathbf{y}(t) + g(t)$ partikuläre Lösung durch „Variation der Konstanten“:

Ansatz: $\mathbf{y}(t) = \exp(\mathbf{At})\mathbf{G}(t)\mathbf{y}_0$ mit $\mathbf{G} \in C^1(\mathbb{R}, \mathbb{R}^{d,d})$, $\mathbf{G}(t_0) = \mathbf{I}$

$$\dot{\mathbf{y}}(t) = (\mathbf{A} \exp(\mathbf{At})\mathbf{G}(t) + \exp(\mathbf{At})\dot{\mathbf{G}}(t))\mathbf{y}_0 = \mathbf{A}\exp(\mathbf{At})\mathbf{G}(t)\mathbf{y}_0 + g(t)$$

$$\mathbf{G}(t)\mathbf{y}_0 = g(t) \Rightarrow \mathbf{G}(t)\mathbf{y}_0 = \mathbf{y}_0 + \int_{t_0}^t \exp(-\mathbf{A}\tau)g(\tau) d\tau$$

$$\mathbf{y}(t) = \boxed{\exp(\mathbf{At})\mathbf{y}_0} + \boxed{\int_{t_0}^t \exp(\mathbf{A}(t-\tau))g(\tau) d\tau}$$

Lsg. des homogenen Problems

Faltung mit Inhomogenität

5.2 Kondition von Anfangswertproblemen

[File: section-kondition-von-anfangswertproblemen.tex, SVN: section-kondition-von-anfangswertproblemen.tex 1010 2006-09-11 15:44:43Z hiptmair]

Wie wirken sich Störungen im Anfangswert \mathbf{y}_0 in (5.1.1) auf die Lösung $\mathbf{y}(t)$ aus?

Absolute Konditionszahl (\rightarrow Def. I.6.1) durch $\text{def:wellconditioned}$ differentielle Konditionsanalyse (\rightarrow Abschnitt I.6) sec:kondition

5.1
p. 570

5.2
p. 572

$$\frac{d}{ds}\Phi^{s,t}\mathbf{y} = f(s, \Phi^{s,t}\mathbf{y}) \quad \Rightarrow \quad \frac{d}{ds}\left(\frac{d}{dy}\Phi^{s,t}\mathbf{y}\right) = \frac{d}{dy}f(s, \Phi^{s,t}\mathbf{y}) = \frac{\partial f}{\partial y}(s, \Phi^{s,t}\mathbf{y}) \frac{d}{dy}\Phi^{s,t}\mathbf{y}$$

Propagationsmatrix (Wronski-Matrix) $\mathbf{W}(s, t_0) := \frac{d}{dy}\Phi^{s,t_0}\mathbf{y} \in \mathbb{R}^{d,d}$ zum AWP (5.1.1) erfüllt

VARG Variationsgleichung $\frac{d}{ds}\mathbf{W}(s, t_0) = \frac{\partial f}{\partial y}(s, \Phi^{s,t_0}\mathbf{y}_0)\mathbf{W}(s, t_0) \quad , \quad \mathbf{W}(t_0, t_0) = \mathbf{I} . \quad (5.2.1)$

Beachte: Variationsgleichung = lineare Differentialgleichung mit $\Omega = \mathbb{R}^{d,d}$

$$\mathbf{y}_0 \leftarrow \mathbf{y}_0 + \delta\mathbf{y} \quad \Rightarrow \quad \delta\mathbf{y}(t) \approx W(t, t_0)\delta\mathbf{y} \quad \text{für „kleine“ } \delta\mathbf{y}$$

Definition 5.2.1 (Kondition des AWP). *Intervallweise Kondition* des AWP (5.1.1) bzgl. Norm $\|\cdot\|$ auf \mathbb{R}^d :

$$\kappa(t_0, t) := \max\{\|\mathbf{W}(s, t_0)\| : t_0 \leq s \leq t\} .$$

Lemma 5.2.2 (Konditionsabschätzung für AWP).

$$\left\| \frac{\partial f}{\partial y}(t, \Phi^{t,t_0}\mathbf{y}_0) \right\| \leq \chi(t) \quad \Rightarrow \quad \kappa(t_0, t) \leq \exp\left(\int_{t_0}^t \chi(\tau) d\tau\right) .$$

Beweis mit Lemma von Gronwall (\rightarrow Analysis)

Beispiel 221 (Kondition linearer AWPs mit konstanten Koeffizienten).

$$\dot{y} = \lambda y \quad \Rightarrow \quad y(t) = e^{\lambda t} y_0 \quad \Rightarrow \quad \begin{cases} \kappa(0, \infty) = \infty, \quad \kappa(-\infty, 0) = 1 & , \text{ falls } \operatorname{Re} \lambda > 0 , \\ \kappa(0, \infty) = \kappa(-\infty, 0) = 1 & , \text{ falls } \operatorname{Re} \lambda = 0 , \\ \kappa(0, \infty) = 1, \quad \kappa(-\infty, 0) = \infty & , \text{ falls } \operatorname{Re} \lambda < 0 . \end{cases}$$

Beachte: Hier Variationsgleichung: $\dot{y} = \lambda y \quad \Rightarrow \quad$ Propagation von Störungen durch Dgl. selbst

\blacktriangleright Lemma 5.2.2 liefert zu pessimistische Aussagen.

Für $\dot{\mathbf{y}} = \mathbf{A}\mathbf{y}$, $\mathbf{A} \in \mathbb{R}^{d,d}$ diagonalisierbar \rightarrow Bsp. 220: (Spektrum $\sigma(\mathbf{A}) \rightarrow$ Def. 3.3.1)

$$\begin{aligned} \operatorname{Re}\{\sigma(\mathbf{A})\} \subset]-\infty, 0[& \Rightarrow \quad \kappa(0, \infty) \sim 1, \quad \kappa(-\infty, 0) = \infty , \\ \operatorname{Re}\{\sigma(\mathbf{A})\} = \{0\} & \Rightarrow \quad \kappa(0, \infty) \sim 1, \quad \kappa(-\infty, 0) \sim 1 , \\ \operatorname{Re}\{\sigma(\mathbf{A})\} \subset]0, \infty[& \Rightarrow \quad \kappa(0, \infty) = \infty, \quad \kappa(-\infty, 0) \sim 1 . \end{aligned}$$

Allgemeiner: Kondition bzgl. Störungen in $f \triangleright$ DEB02 [11, Kap. 3]

5.3 Einschrittverfahren

[File: section-einschrittverfahren.tex, SVN: section-einschrittverfahren.tex 1010 2006-09-11 15:44:43Z hiptmair]

Gegeben: $f : \hat{\Omega} \mapsto \mathbb{R}^d$ lokale Lipschitz-stetig auf erweitertem Phasenraum $\hat{\Omega} \subset \mathbb{R} \times \Omega$

\triangleright Definiert Familie von AWP (5.1.1)



Zugehörige Evolution: $\Phi^{s,t} : \Omega \mapsto \Omega$

Gegeben: Anfangsdaten $(t_0, \mathbf{y}_0) \in \hat{\Omega}$ \triangleright Konkretes AWP

Ziel: \triangleright Approximation von $\mathbf{y}(T)$ für ein $T \in J(t_0, y_0)$.

\triangleright Approximation der Funktion $t \mapsto \mathbf{y}(t)$, $t \in [t_0, T]$, $T \in J(t_0, y_0)$ $\triangleright \mathbf{y}_h(t)$.

5.2

p. 573

5.3.1 Kollokation



Idee: ① Approximiere $\mathbf{y}(t)$, $t \in [t_0, T]$, in $s+1$ -dimensionalem Ansatzraum V von Funktionen $[t_0, T] \mapsto \mathbb{R}^d \triangleright \mathbf{y}_h$.

② Festlegung von $\mathbf{y}_h \in V$ durch Kollokationsbedingungen

$$\mathbf{y}_h(t_0) = \mathbf{y}_0 \quad , \quad \dot{\mathbf{y}}_h(\tau_j) = f(\tau_j, \mathbf{y}_h(\tau_j)) \quad , \quad j = 1, \dots, s , \quad (5.3.1) \quad \text{eq:kollcon}$$

für Kollokationspunkte $t_0 \leq \tau_1 < \dots < \tau_s \leq T$.

„Standardoption“:

Polynomialer Ansatzraum $V = \mathcal{P}_s$

Herleitung: Formel für $\mathbf{y}_h(T)$ ($h := T - t_0$, $\tau_j := t_0 + c_j h$, $0 \leq c_1 < c_2 < \dots < c_s \leq 1$)

$$\{L_j\}_{j=1}^s \subset \mathcal{P}_{s-1} \hat{=} \text{Lagrange-Polynom (4.1.4)}: L_j(c_i) = \delta_{ij}, \quad i, j = 1, \dots, s .$$

\blacktriangleright eq:kollcond $\dot{\mathbf{y}}_h(t_0 + \tau h) = \sum_{j=1}^s \mathbf{k}_j L_j(\tau) \quad , \quad \mathbf{k}_j := f(t_0 + c_j h, \mathbf{y}_h(t_0 + c_j h)) .$

5.3

p. 574

\blacktriangleright $\mathbf{y}_h(t_0 + \tau h) = \mathbf{y}_0 + h \sum_{j=1}^s \mathbf{k}_j \int_0^\tau L_j(\zeta) d\zeta .$

5.3

p. 575

$$\mathbf{k}_i = f(t_0 + c_i h, \mathbf{y}_0 + h \sum_{j=1}^s a_{ij} \mathbf{k}_j), \quad \text{mit} \quad a_{ij} = \int_0^{c_i} L_j(\tau) d\tau, \quad b_i = \int_0^1 L_i(\tau) d\tau. \quad (5.3.2)$$

DEVOLUTION
Diskrete Evolution $\Psi_h^{T,t_0} : \Omega \mapsto \Omega$, $\Psi_h^{T,t_0} \mathbf{y}_0 := \mathbf{y}_h(T)$

► (5.3.2) $\stackrel{\text{leg:rkimpl}}{=} \text{(Nichtlineares) Gleichungssystem für Inkremente } \mathbf{k}_i$

Bemerkung 222. $f(t, \mathbf{y}) = f(t)$ & $\mathbf{y}_0 = 0$ ► Numerische Quadratur

$$\mathbf{y}(T) = \int_{t_0}^T f(t) dt \approx h \sum_{i=1}^s b_i f(t_0 + c_i h) = \text{Quadraturformel, vgl. (4.4.2)}$$

→ $c_1, \dots, c_s \leftrightarrow$ Knoten einer Quadraturformel (z.B. Gauss-Punkte auf $[0, 1]$ → Abschnitt 4.4.2)

• Fall $s = 1$ ► $c_1 = 1/2$ (↔ einfachste Gauss-Legendre-Quadraturformel)

$$L_1 \equiv 1 \Rightarrow a_{11} = 1/2, \quad b_1 = 1.$$

$$\mathbf{k}_1 = f(t_0 + 1/2h, \mathbf{y}_0 + 1/2h\mathbf{k}_1), \quad \mathbf{y}_h(T) = \mathbf{y}_0 + h\mathbf{k}_1. \quad (5.3.3)$$

$\stackrel{\text{leg:implmidrule}}{=} \text{Implizite Mittelpunktsregel}$

• Fall $s = 1$ & $c_1 = 0$ (↔ linksseitige Ein-Punkt-Quadraturformel)

$$L_1 \equiv 1 \Rightarrow a_{11} = 0, \quad b_1 = 1.$$

$$\mathbf{k}_1 = f(t_0, \mathbf{y}_0), \quad \mathbf{y}_h(T) = \mathbf{y}_0 + h\mathbf{k}_1 = \mathbf{y}_0 + hf(t_0, \mathbf{y}_0). \quad (5.3.1)$$

$\stackrel{\text{leg:exEul}}{=} \text{Explizites Eulerverfahren}$ (kein Lösen einer Gleichung erforderlich !)

• Fall $s = 1$ & $c_1 = 1$ (↔ rechtsseitige Ein-Punkt-Quadraturformel)

$$L_1 \equiv 1 \Rightarrow a_{11} = 1, \quad b_1 = 1.$$

$$\mathbf{k}_1 = f(t_0, \mathbf{y}_0 + h\mathbf{k}_1), \quad \mathbf{y}_h(T) = \mathbf{y}_0 + h\mathbf{k}_1 = \mathbf{y}_0 + hf(t_0, \mathbf{y}_h(T)). \quad (5.3.1)$$

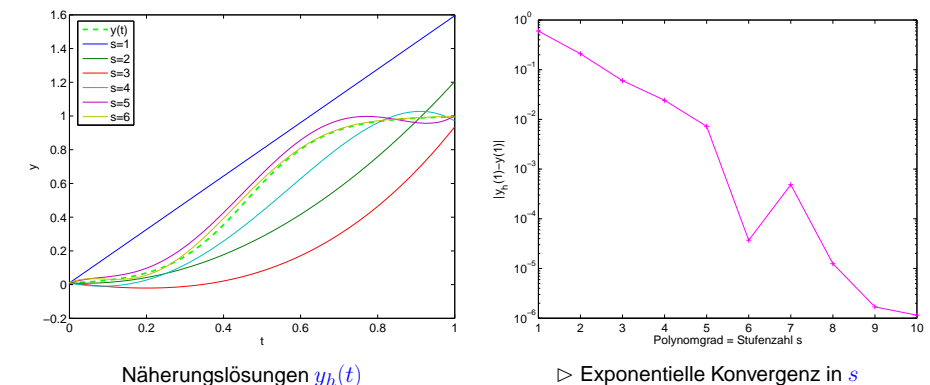
$\stackrel{\text{leg:implEul}}{=} \text{Implizites Eulerverfahren}$

Beispiel 223 (Konvergenz von Kollokationsverfahren).

Logistische Differentialgleichung (→ durch Resourcenknappheit beschränktes Wachstum)

$$\dot{y} = \lambda y(1 - y), \quad y_0 \in]0, 1[\Rightarrow y(t) = \frac{1}{1 + (y_0^{-1} - 1)e^{-\lambda t}}, \quad t \in \mathbb{R}. \quad (5.3.4) \quad \text{eq:logdg}$$

Numerische Experimente mit Gauss-Kollokationsverfahren auf $[0, 1]$, $y_0 = 0.01$, $\lambda = 10$:
(Lösung der Gleichungen für Inkremente \mathbf{k}_i : MATLAB `fsolve`, Toleranz 10^{-9})



5.3 ! Lösbarkeit von (5.3.2) nur gesichert für „kleines h “

p. 577 sec:stuckweise-polynome Abschnitt 4.3 → Problematik globaler Polynominterpolation

► Stückweise Polynominterpolation

Idee: ① Wähle Gitter $\mathcal{M} := \{t_0 < t_1 < t_2 < \dots < t_n = T\}$
 $\Psi_h^{T,t_0} := \Psi_h^{t_n, t_{n-1}} \circ \dots \circ \Psi_h^{t_2, t_1} \circ \Psi_h^{t_1, t_0}$
 ② $\Psi_h^{t_k, t_{k-1}}$:= diskrete Evolution durch Kollokation des AWP auf $[t_{k-1}, t_k]$, → Formel (5.3.2).
 ► Stückweise polynomiale Lösung $\mathbf{y}_h \in C^0([t_0, T])$

■ **Definition 5.3.1** (Einschrittverfahren). Ein **Einschrittverfahren** (ESV, engl. single step method) für ein AWP (5.1.1) auf einem Gitter $\mathcal{M} := \{t_0 < t_1 < t_2 < \dots < t_n = T\}$ und auf der Grundlage einer diskreten Evolution $\Psi_h^{s,t}$ erzeugt Folge von Näherungswerten

$$\mathbf{y}_k \approx \mathbf{y}(t_k) \quad \text{gemäß} \quad \mathbf{y}_k := \Psi_h^{t_k, t_{k-1}} \mathbf{y}_{k-1}, \quad k = 1, \dots, n.$$

■ **Definition 5.3.2** (Explizite und implizite Verfahren). Ein **Einschrittverfahren** zur approximativen Lösung eines AWP heißt **explizit**, falls die zugrundeliegende diskrete Evolution durch endlich viele f -Auswertungen zu realisieren ist.

Die diskrete Evolution eines **impliziten** Einschrittverfahrens erfordert die Lösung eines Gleichungssystems.



Alle Kollokationsverfahren \{Explizites Eulerverfahren\} sind implizit

5.3.2 Runge-Kutta-Verfahren

$$\text{AWP: } \dot{\mathbf{y}}(t) = f(t, \mathbf{y}(t)), \quad \Rightarrow \quad \mathbf{y}(t) = \mathbf{y}_0 + \int_{t_0}^T f(\tau, \mathbf{y}(t_0 + \tau)) d\tau$$

Approximation durch Quadraturformel (auf $[0, 1]$) mit s Knoten c_1, \dots, c_s :

$$\mathbf{y}(T) \approx \mathbf{y}_h(T) = \mathbf{y}_0 + h \sum_{i=1}^s b_i f(t_0 + c_i h, \boxed{\mathbf{y}(t_0 + c_i h)}) .$$

Wie bekommt man diese Werte? \rightarrow Bootstrapping

Beispiel 224 (Konstruktion einfacher Runge-Kutta-Verfahren).

Quadraturformel \rightarrow Trapezregel (4.4.3) & $\mathbf{y}_h(T)$ aus explizitem Eulerschritt (5.3.1)

$$\mathbf{k}_1 = f(t_0, \mathbf{y}_0), \quad \mathbf{k}_2 = f(t_0 + h, \mathbf{y}_0 + h\mathbf{k}_1), \quad \mathbf{y}_h(T) = \mathbf{y}_0 + \frac{h}{2}(\mathbf{k}_1 + \mathbf{k}_2). \quad (5.3.5)$$

eq:extra

p. 581

(5.3.5) $\stackrel{\text{Einfachste}}{=} \text{explizite Trapezregel}$ Quadraturformel \rightarrow Einfachste Gauss-Quadraturformel (Mittelpunktsregel) & $\mathbf{y}_h(\frac{1}{2}(T+t_0))$ aus explizitem Eulerschritt (5.3.1)

$$\mathbf{k}_1 = f(t_0, \mathbf{y}_0), \quad \mathbf{k}_2 = f(t_0 + \frac{h}{2}, \mathbf{y}_0 + \frac{h}{2}\mathbf{k}_1), \quad \mathbf{y}_h(T) = \mathbf{y}_0 + h\mathbf{k}_2. \quad (5.3.6)$$

eq:exMP

(5.3.6) $\stackrel{\text{explizite Mittelpunktsregel}}{=}$

Diskrete Evolutionen der Form (5.3.2)

Definition 5.3.3 (Runge-Kutta-Verfahren). Für $b_i, a_{ij} \in \mathbb{R}$, $i, j = 1, \dots, s$, $s \in \mathbb{N}$, $c_i = \sum_{j=1}^s a_{ij} \Rightarrow s$ -stufiges Runge-Kutta-Einschrittverfahren (RK-ESV) für AWP (5.1.1)

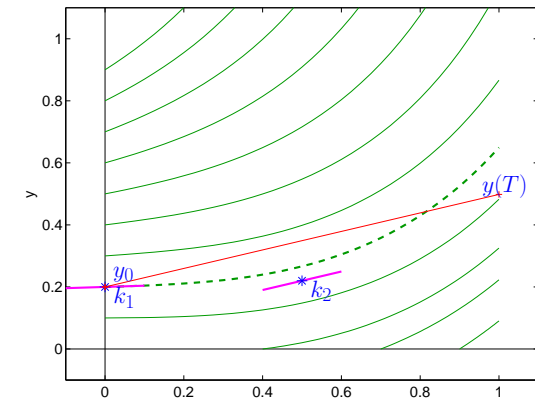
$$\mathbf{k}_i = f(t_0 + c_i h, \mathbf{y}_0 + h \sum_{j=1}^s a_{ij} \mathbf{k}_j), \quad i = 1, \dots, s, \quad \mathbf{y}_h(t_0 + h) = \mathbf{y}_0 + h \sum_{i=1}^s b_i \mathbf{k}_i.$$

\mathbf{k}_i = Inkrementen/Stufen

Falls $a_{ij} = 0$ für $i \leq j$ \rightarrow Explizites Runge-Kutta-Verfahren \rightarrow Def. 5.3.2

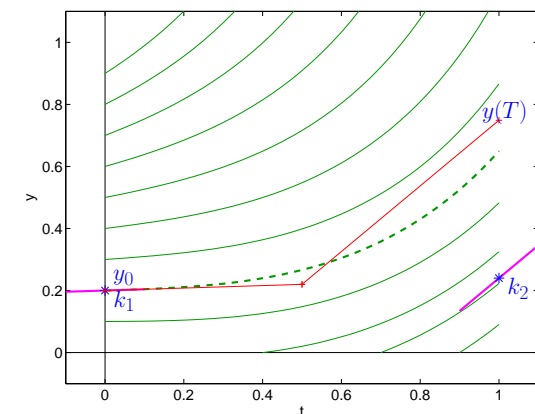
Interpretation: Runge-Kutta-Verfahren \leftrightarrow Polygonzugapproximation der Lösungskurve
Beispiel 225 (Explizite Runge-Kutta-Schritte für Riccati-Differentialgleichung). \rightarrow Bsp 219

Anfangswertproblem: $\dot{y} = t^2 + y^2, y(0) = 0.2$.



5.3

p. 583



5.3

p. 584

Kurznotation für Runge-Kutta-Verfahren:

BS
Butcher-Schema

$$\begin{array}{c|ccccc} \mathbf{c} & \mathbf{a} \\ \hline \mathbf{b}^T & & & & & \end{array} := \begin{array}{c|ccccc} c_1 & a_{11} & \cdots & a_{1s} \\ \vdots & \vdots & & \vdots \\ c_s & a_{s1} & \cdots & a_{ss} \\ \hline b_1 & b_2 & \cdots & b_s \end{array}. \quad (5.3.7)$$

eq:BS

5.3

p. 582

Klassisches Runge-Kutta-Verfahren

(RK4)

$$\begin{array}{c|ccccc} 0 & 0 & 0 & 0 & 0 \\ \frac{1}{2} & 1 & 0 & 0 & 0 \\ \frac{1}{2} & 0 & 1 & 0 & 0 \\ 1 & 0 & 2 & 0 & 0 \\ \hline & \frac{1}{6} & \frac{2}{6} & \frac{2}{6} & \frac{1}{6} \end{array}$$

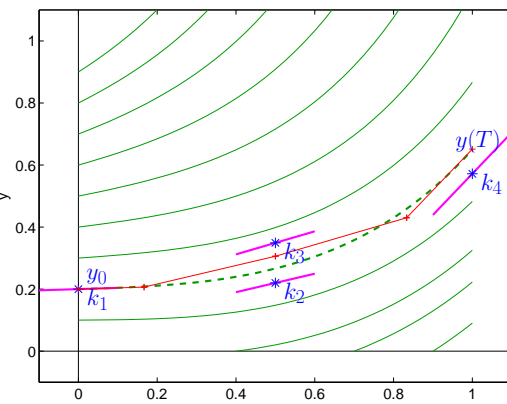
(5.3.8)

grün Lösungskurven

magenta Abschnittsteigungen \mathbf{k}_i

* Punkte f -Auswertung

rot: Polygonzug



Warum $c_i = \sum_{j=1}^s a_{ij}$ in Def. 5.3.3? ^{def:rk}

$$\text{Autonomisierung: } \dot{\mathbf{y}} = f(\mathbf{t}, \mathbf{y}), \quad \mathbf{y}(t_0) = \mathbf{y}_0 \Rightarrow \begin{pmatrix} \dot{\mathbf{y}} \\ s \end{pmatrix} = \begin{pmatrix} f(\mathbf{t}, \mathbf{y}) \\ 1 \end{pmatrix} =: \hat{f}\left(\begin{pmatrix} \mathbf{y} \\ s \end{pmatrix}\right), \quad \begin{pmatrix} \mathbf{y}(0) \\ s(0) \end{pmatrix} = \begin{pmatrix} \mathbf{y}_0 \\ t_0 \end{pmatrix}$$

Evolutionen: $\Phi^{t+h,t}$ \leftrightarrow $\widehat{\Phi}^{t+h,t}$,

Diskrete Evtl: $\Psi_h^{t+h,t}$ \leftrightarrow $\widehat{\Psi}_h^{t+h,t}$.

$$\text{Wunsch: } \begin{pmatrix} \Phi^{t+h,t} \mathbf{y} \\ t+h \end{pmatrix} = \widehat{\Phi}^{t+h,t} \begin{pmatrix} \mathbf{y} \\ t \end{pmatrix} \Rightarrow \begin{pmatrix} \Psi_h^{t+h,t} \mathbf{y} \\ t+h \end{pmatrix} = \widehat{\Psi}_h^{t+h,t} \begin{pmatrix} \mathbf{y} \\ t \end{pmatrix}. \quad (5.3.11) \text{ eq:rkatin}$$

$$\widehat{\Psi}_h^{t+h,t} \begin{pmatrix} \mathbf{y} \\ t \end{pmatrix} = \begin{pmatrix} \mathbf{y} + h \sum_{i=1}^s b_i \widehat{\mathbf{k}}_i \\ t + h \sum_{i=1}^s b_i \widehat{\kappa}_i \end{pmatrix}, \quad \begin{pmatrix} \widehat{\mathbf{k}}_i \\ \widehat{\kappa}_i \end{pmatrix} = \begin{pmatrix} f(t + h \sum_{j=1}^s a_{ij} \widehat{\kappa}_j, \mathbf{y} + h \sum_{j=1}^s a_{ij} \widehat{\mathbf{k}}_j) \\ 1 \end{pmatrix}.$$

$$\Rightarrow c_i = \sum_{j=1}^s a_{ij} \quad \& \quad \widehat{\mathbf{k}}_i = \mathbf{k}_i \quad \& \quad \sum_{i=1}^s b_i = 1. \quad (5.3.12) \text{ ex:rkatin}$$

= Hinreichende + notwendige Bedingungen für Autonomisierungsinvarianz eines RK-Verfahrens

- 5.3 p. 585 ▷ Analyse von autonomisierungsinvarianten RK-Verfahren kann sich auf autonome Probleme beschränken.

5.4

p. 587

Kuttas 3/8-Regel

$$\begin{array}{c|ccccc} 0 & 0 & 0 & 0 & 0 \\ \frac{1}{3} & \frac{1}{3} & 0 & 0 & 0 \\ \frac{3}{3} & -\frac{1}{3} & 1 & 0 & 0 \\ \frac{1}{3} & 1 & -1 & 1 & 0 \\ \hline & \frac{1}{8} & \frac{3}{8} & \frac{3}{8} & \frac{1}{8} \end{array}$$

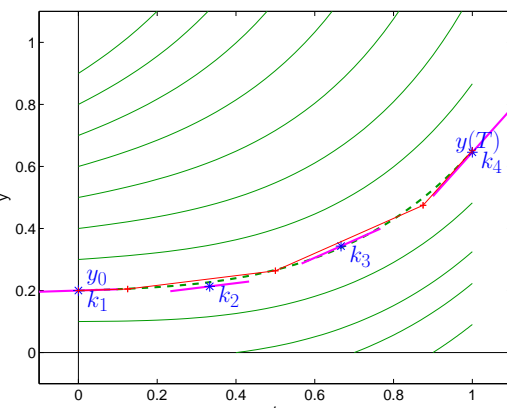
(5.3.9)

grün Lösungskurven

magenta Abschnittsteigungen \mathbf{k}_i

* Punkte f -Auswertung

rot: Polygonzug



RKKOV
Affin-Kovarianz der Runge-Kutta-Verfahren:

Für $\mathbf{S} \in \mathbb{R}^{d,d}$ regulär, $\widehat{\mathbf{y}} := \mathbf{S}^{-1}\mathbf{y}$:

$\Psi_h^{s,t} =$ Diskrete Evolution zu $\dot{\mathbf{y}} = f(\mathbf{t}, \mathbf{y})$,

$\widehat{\Psi}_h^{s,t} =$ Diskrete Evolution zu $\dot{\widehat{\mathbf{y}}} = \widehat{f}(\mathbf{t}, \widehat{\mathbf{y}})$ → ^{leg:kov} $\Rightarrow \mathbf{S} \widehat{\Psi}_h^{s,t} \mathbf{S}^{-1} \mathbf{y} = \Psi_h^{s,t} \mathbf{y}$.

(5.3.10) ^{leg:kov}

$y_h(j/10), j = 1, \dots, 10$: Explizite RK-Verfahren

5.3

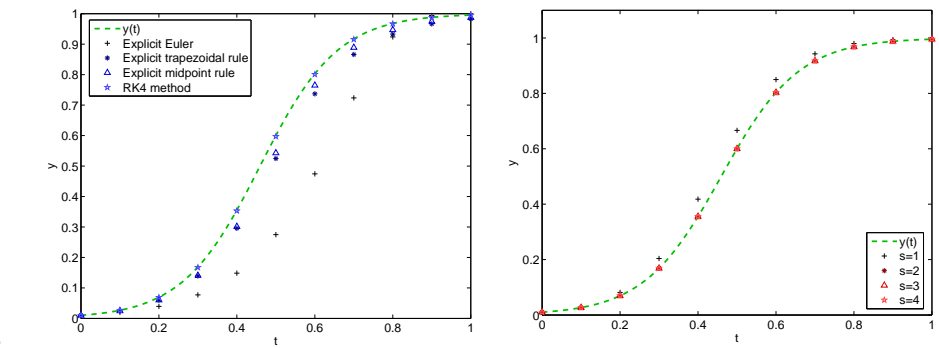
5.4

[File: section-konvergenz.tex, SVN: section-konvergenz.tex 1010 2006-09-11 15:44:43Z hiptmair]

Beispiel 226 (Konvergenz von Einschrittverfahren).

Skalare logistische Differentialgleichung (5.3.4), $\lambda = 10, y(0) = 0.01, T = 1$:

Test: Explizite/implizite Runge-Kutta-Einschrittverfahren, verschiedene Schrittweiten h

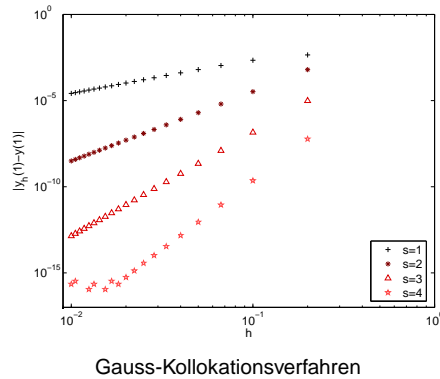
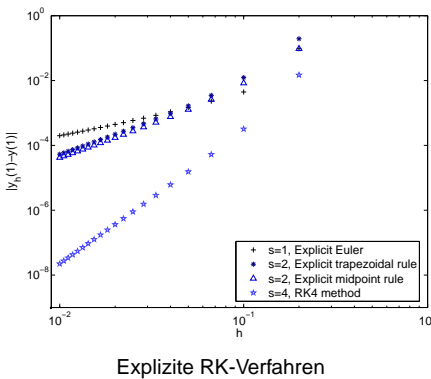


$y_h(j/10)$: Gauss-Kollokationsverfahren

5.4

p. 588

Fehler $y_n - y(1)$ zum Endzeitpunkt, äquidistantes Gitter, $n=5:5:100$



➤ Beobachtung: Algebraische Konvergenz $|y(1) - y_n| = O(h^\alpha)$

Definition 5.4.1 (Konvergenzordnung von Einschrittverfahren). Ein ESV (\rightarrow Def. 5.3.1) für das AWP (\rightarrow AWP) auf $[t_0, T]$ hat Konvergenzordnung p (vgl. Thm. 4.4.4), wenn

$$\exists C > 0: \max_{j=0, \dots, n} |\mathbf{y}_j - \mathbf{y}(t_j)| \leq Ch_M^p \quad \forall \text{Gitter } \mathcal{M} := \{t_0 < t_1 < \dots < t_n \leq T\},$$

mit Schrittweite $h_M := \max_{k=1, \dots, n} |t_k - t_{k-1}|$. Diskretisierungsfehler

Für ESV: Lokale Konsistenz(ordnung) ➔ (globale) Konvergenz(ordnung)

Definition 5.4.2 (Konsistenzordnung einer diskreten Evolution). Diskrete Evolution Ψ_h besitzt Konsistenzordnung p bzgl. einer Evolution Φ (zu einer Dgl.), falls

$$\forall (t, \mathbf{y} \in \widehat{\Omega}: \exists C > 0: |\Psi_h^{t+h,t} \mathbf{y} - \Phi^{t+h,t} \mathbf{y}| \leq Ch^{p+1} \quad \text{für kleine } h.$$

Konsistenzfehler

Theorem 5.4.3 (Konvergenz von Einschrittverfahren). Runge-Kutta ESVs (\rightarrow Def. 5.3.1) auf der Grundlage der diskreten Evolution $\Psi_h^{t+h,t}$ für AWP (\rightarrow AWP) erfüllen:

$$\Psi_h \text{ konsistent mit Ordnung } p \Leftrightarrow \text{ESV konvergent mit Ordnung } p$$

Merke: Konvergenzordnung erlaubt i.a. **keine** Aussage über Grösse des Diskretisierungsfehlers

Annahme: $f = f(\mathbf{y})$ (\rightarrow autonomes AWP) & f „hinreichend“ glatt

➤ Konsistenzanalyse von Runge-Kutta-Verfahren durch Taylorentwicklung (\rightarrow MAPLE)

Beispiel 227 (Konsistenzanalyse durch Computeralgebra).

Explizite Trapezregel (\rightarrow exTrapez)

5.4
p. 589

```
D(y) := x -> f(y(x)); y0 := y(0);
D(y) := x -> f(y(x)); y0 := y(0)
k1 := f(y0); k2 := f(y0+h*k1);
k1 := f(y0); k2 := f(y0+h*f(y0))
ym := y0+h/2*(k1+k2);
ym := y0 + 1/2 h (f(y0) + f(y0 + h f(y0)))
taylor(ym-y(h),h=0,4);
series((1/12 (D^(2))(f)(y(0)) (f(y(0)))^2 - 1/6 (D(f)(y(0)))^2 f(y(0))) h^3 + O(h^4),h,4)
```

5.4
p. 590

5.4
p. 591

Implizite Trapezregel: $y_1 = y_0 + \frac{h}{2}(f(y_0) + f(y_1))$

```

D(y) := x -> f(y(x));
D(y) := x -> f(y(x))
y0 := y(0);
y0 := y(0)
solve(y0+h/2*(f(y0) + f(yt))=yt, {yt});
{yt = RootOf(-2y(0) - hf(y(0)) - hf(.Z) + 2.Z)}
assign(%);
taylor(yt-y(h), h=0, 4);

series(( -1/6(D^(2))(f)(y(0))(f(y(0)))^2 - 1/6(D(f)(y(0)))^2
f(y(0)) + 1/4f(y(0))((D(f)(y(0)))^2 + f(y(0))(D^(2))(f)(y(0))))h^3 + O(h^4), h, 4)

```

Für allgemeines Runge-Kutta-Verfahren → Def. 5.3.3, autonome Dgl. $\dot{\mathbf{y}} = f(\mathbf{y})$

$$\Psi_h^{h,0} \mathbf{y} = \mathbf{y} + h \sum_{i=1}^s b_i \mathbf{k}_i \quad \Rightarrow \quad \Psi_h^{h,0} \mathbf{y} - \Phi^{h,0} \mathbf{y}|_{h=0} = 0, \\ \frac{d}{dh} (\Psi_h^{h,0} \mathbf{y} - \Phi^{h,0} \mathbf{y})|_{h=0} = \sum_{i=1}^s b_i \mathbf{k}_i|_{h=0} - f(\mathbf{y})$$

Da $\mathbf{k}_i|_{h=0} = f(\mathbf{y}) \quad \Rightarrow \quad \text{RK-ESV konsistent} \Leftrightarrow \sum_{i=1}^s b_i = 1$.

Analoge Herleitung von Bedingungsgleichungen für RK-Koeffizienten b_i, a_{ij} (→ Def. 5.3.3) für Konstanzordnungen $p > 1$:

$$p \geq 2 \Leftrightarrow \text{zusätzlich } \sum_{i=1}^s b_i c_i = \frac{1}{2}, \quad \sum_{i=1}^s b_i c_i^2 = \frac{1}{3}, \quad (5.4.1)$$

$$p \geq 3 \Leftrightarrow \text{zusätzlich } \sum_{i,j=1}^s b_i a_{ij} c_j = \frac{1}{6}. \quad (5.4.2)$$

(Algorithmus zur Herleitung der Bedingungsgleichungen → DEB02, HLW02)

→ Konstruktion von RK-Verfahren vorgegebener Konvergenzordnung durch Lösen der (nichtlinearen) Bedingungsgleichungen (B.G.) (vom Typ (5.4.1), (5.4.2)).

p	1	2	3	4	5	6	7	8	9	10	20
#B.G.	1	2	4	8	17	37	85	200	486	1205	20247374

Einige Konvergenzordnungen → Bsp. 226:

Explizite Verfahren	Implizite Verfahren
Explizites Eulerverfahren $p = 1$	Implizites Eulerverfahren $p = 1$
Explizite Trapezregel $p = 2$	Implizite Trapezregel $p = 2$
Explizite Mittelpunktsregel $p = 2$	
Klassisches Runge-Kutta-V. $p = 4$	
Kutta's 3/8-Regel $p = 4$	

Viele weitere Verfahren > [25, 26]

Theorem 5.4.4 (Konvergenzordnung von Kollokationsverfahren).

Für ein Kollokations-Einschrittverfahren (5.3.2) gilt

Quadraturformel auf $[0, 1]$ mit Knoten c_i
 Konsistenzordnung $p \Leftrightarrow$ und Gewichten $b_i, i = 1, \dots, s$ hat Ordnung p (→ Abschnitt 4.4.2).

Ordnungsschranken:

Für explizite Runge-Kutta-Verfahren $p \leq s$

Für allgemeine Runge-Kutta-Verfahren $p \leq 2s$ (vgl. Abschnitt 4.4.2))

> Gauss-Kollokationsverfahren realisieren maximale Ordnung

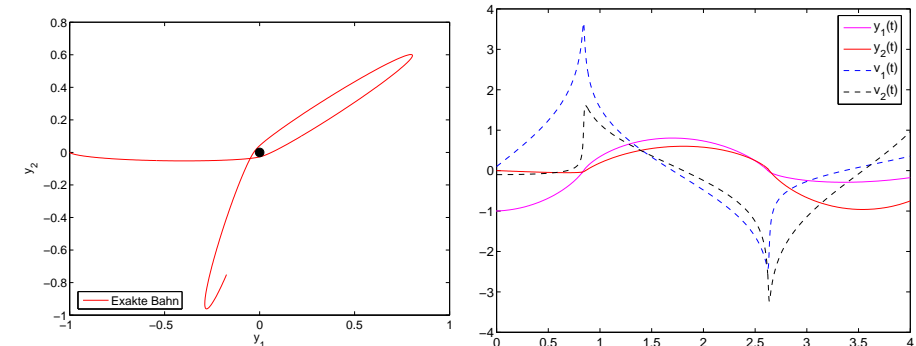
5.4.1 Schrittweitensteuerung für Einschrittverfahren

Beispiel 228 (Satellitenbahn).

5.4
p. 593

Satellitenbahn im Gravitationsfeld eines Planeten (mit Koordinaten $(0)_0$): Keplerproblem

$$\ddot{\mathbf{y}} = -\frac{2\mathbf{y}}{\|\mathbf{y}\|^2} \Rightarrow \begin{pmatrix} \dot{\mathbf{y}} \\ \mathbf{v} \end{pmatrix} = \begin{pmatrix} \mathbf{v} \\ -\frac{2\mathbf{y}}{\|\mathbf{y}\|^2} \end{pmatrix}, \quad \mathbf{y}(0) = \begin{pmatrix} -1 \\ 0 \end{pmatrix}, \quad \mathbf{v}(0) = \begin{pmatrix} 0.1 \\ -0.1 \end{pmatrix}.$$



Beobachtung: „Peaks“ in der Lösungskomponente $\mathbf{v}(t)$ (= zeitlokale Charakteristika)

5.4
p. 594

5.4
p. 595

5.4
p. 596

► Adaptive Wahl des Rechengitters für ESV durch zeitlokale Fehlerschätzung
 (→ Adaptive numerische Quadratur, Abschnitt 4.6.1)

Ziel: $\sharp M$ möglichst klein & $\max_{t \in [t_0, T]} \|y(t) - y_h(t)\| < \text{TOL}$, $\text{TOL} = \text{Toleranz}$
 bzw. $\|y(T) - y_h(T)\| < \text{TOL}$

Technik: Zeitlokaler Fehlerschätzer (basierend auf $y(t_k)$) → Wahl von t_{k+1}

Heuristik: Kontrolle des (lokalen!) Konsistenzfehlers → Def. 5.4.2

Idee: Schätzung des Konsistenzfehlers

Vergleich zweier diskreter Evolutionen $\Psi_h^{t+h,t}$, $\tilde{\Psi}_h^{t+h,t}$ (für eine aktuelle Zeitschrittweite h) verschiedener Ordnung (→ Abschnitt 4.6.1):

Falls $\text{Ordnung}(\tilde{\Psi}_h) > \text{Ordnung}(\Psi_h)$

$$\Rightarrow \underbrace{\Phi^{t+h,t} y(t_k) - \Psi_h^{t+h,t} y(t_k)}_{\text{Konsistenzfehler}} \approx \text{EST}_k := \tilde{\Psi}_h^{t+h,t} y(t_k) - \Psi_h^{t+h,t} y(t_k). \quad (5.4.3)$$



► Vergleich $\text{EST}_k \leftrightarrow \text{TOL}$ Absolute Toleranz
 $\text{EST}_k \leftrightarrow \text{TOL} \|y(t_k)\|$ Verwerfen/Akzeptieren des aktuellen Schritts

Relative Toleranz

Wir wollen mehr ! Wenn $\text{EST}_k > \text{TOL}$: Schrittweitenkorrektur $t_{k+1} = ?$
 Wenn $\text{EST}_k < \text{TOL}$: Schrittweitenvorschlag $t_{k+2} = ?$

Falls $\text{Ordnung}(\Psi_h) = p$, $\text{Ordnung}(\tilde{\Psi}_h) > p$, $p \in \mathbb{N}$,

$$\begin{aligned} \Psi_h^{t+h,t} y(t_k) - \Phi^{t+h,t} y(t_k) &= ch^{p+1} + O(h^{p+2}), \quad h \ll 1 \Rightarrow \text{Ziel: Effizienz} \\ \tilde{\Psi}_h^{t+h,t} y(t_k) - \Phi^{t+h,t} y(t_k) &= O(h^{p+2}) \end{aligned}$$

► „Optimale Schrittweite“:

$$h^* = h^{p+1} \sqrt{\frac{\text{TOL}}{\text{EST}_k}}$$

Korrigierte Schrittweite
(5.4.4) eq:ssc
 Schrittweitenvorschlag

Algorithmische Realisierung (ESV):

Eingebettete Runge-Kutta-Verfahren

Gleiche Inkremente k_i , verschiedene Gewichte b_i (→ Def 5.3.3) $\stackrel{\text{def:rk}}{=} \begin{array}{c|cc} c & \alpha \\ \hline b^T & \widehat{b}^T \end{array} := \begin{array}{c|cc} c_1 & a_{11} & \cdots & a_{1s} \\ \vdots & \vdots & & \vdots \\ c_s & a_{s1} & \cdots & a_{ss} \\ \hline b_1 & b_1 & \cdots & b_s \\ \hline \widehat{b}_1 & \cdots & \widehat{b}_s \end{array}$

realisieren RK-Evolutionen $\Phi_h, \widehat{\Phi}_h$ der Ordnungen p und $p+1$.

Gebräuchlich $p = 4, p = 7$

Eingebettetes RK-ESV:
 Butcher-Schema

Beispiel 229 (Eingebettete Runge-Kutta-Verfahren).

0	$\frac{1}{3}$	$\frac{1}{3}$	$\frac{1}{3}$	$\frac{1}{3}$	$\frac{1}{2}$	$\frac{1}{2}$	$\frac{1}{2}$	$\frac{1}{2}$	$\frac{1}{2}$	0	$\frac{1}{2}$	0	$\frac{1}{2}$	0	0	0	1	1	0	0	1	3	$\frac{5}{32}$	$\frac{7}{32}$	$\frac{13}{32}$	$-\frac{1}{32}$	$\frac{1}{6}$	$\frac{1}{3}$	$\frac{1}{3}$	$\frac{1}{6}$
y_1	$\frac{1}{6}$	0	0	$\frac{2}{3}$	$\frac{1}{6}$	y_1	$\frac{1}{6}$	0	0	$\frac{2}{3}$	$\frac{1}{6}$	\widehat{y}_1	$\frac{1}{10}$	0	$\frac{3}{10}$	$\frac{2}{5}$	$\frac{1}{5}$	\widehat{y}_1	$-\frac{1}{2}$	$\frac{7}{3}$	$\frac{7}{3}$	$\frac{13}{6}$	$-\frac{16}{3}$							
\widehat{y}_1																														

Eingebettetes RK-Verfahren der Ordnung 4(5) von Merson Eingebettetes RK-Verfahren der Ordnung 4(5) von Fehlberg



eq:ssc Adaptive Integratoren für Anfangswertprobleme in MATLAB:

options = odeset('abstol', atol, 'reltol', rtol, 'stats', 'on');
 5.4 [t, y] = ode45/ode23(@(t,x) f(t,x), tspan, y0, options);
 (f = function handle, tspan $\hat{=}$ $[t_0, T]$, y0 $\hat{=}$ y_0 , t $\hat{=}$ t_k , y $\hat{=}$ y_k)
 p. 597

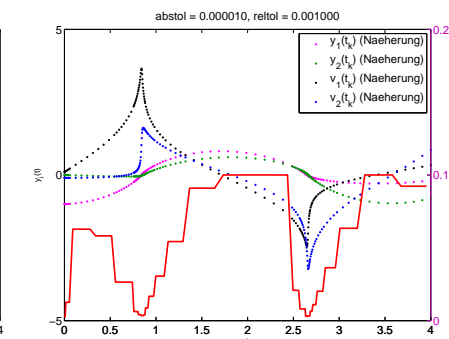
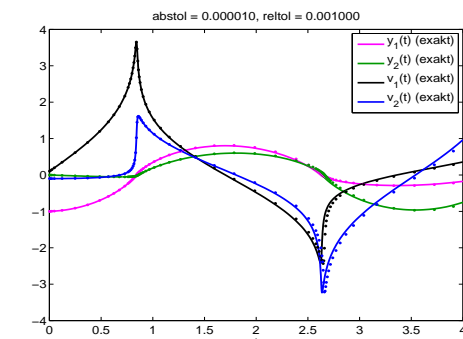
5.4

p. 599

Beispiel 230 (Adaptive RK-ESV zur Satellitenbahnberechnung). → Bsp. 228

Adaptiver Integrator: `ode45(@(t,x) satf,[0 4],[-1;0;0.1;-0.1],options)`:

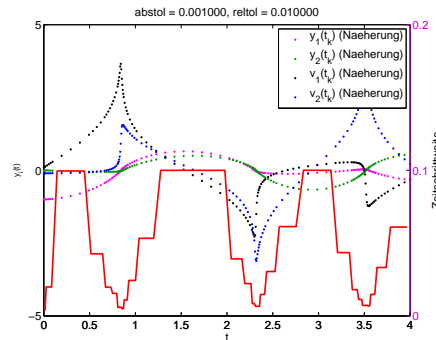
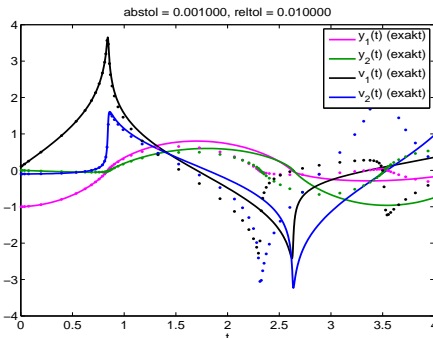
- ❶ options = odeset('reltol', 0.001, 'abstol', 1e-5);
- ❷ options = odeset('reltol', 0.01, 'abstol', 1e-3);



5.4
 p. 598

5.4

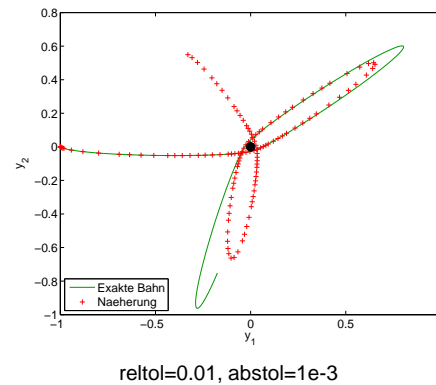
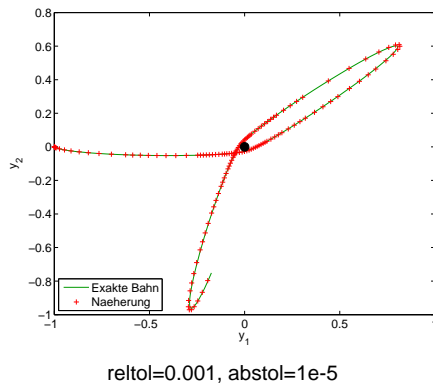
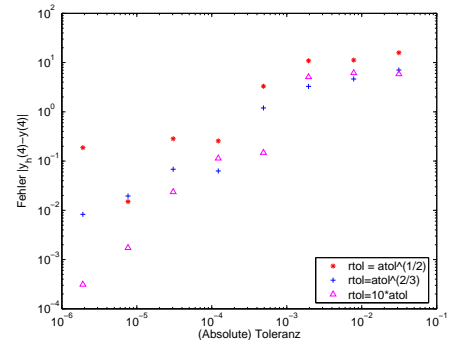
p. 600



AWP aus Bsp. 228

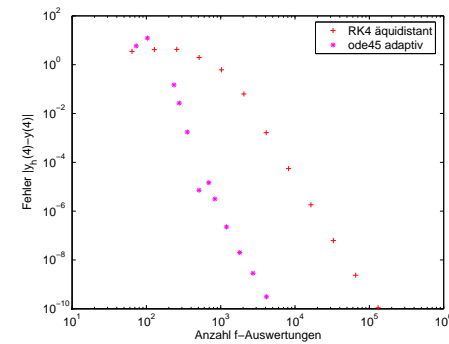
ode45 mit verschiedenen absoluten/relativen Toleranzen

! Toleranzen sagen nichts über tatsächliche Genauigkeit



5.4

p. 601



Effizienz von Schrittweitensteuerung:

Vergleich:

- Klassisches Runge-Kutta-Verfahren (5.3.8) leg: rk4
- Eingebettetes Runge-Kutta-Verfahren mit Schrittweitensteuerung: ode45

Aufwandsmaß: #f-Auswertungen

Adaptivität zahlt sich aus!

5.4

p. 603

Übung 5.5. Kurve in der Ebene lässt sich als Niveaulinie einer stetigen Funktion $F : \mathbb{R}^2 \mapsto \mathbb{R}$ beschreiben:

$$\mathcal{C} := \{\mathbf{x} \in \mathbb{R}^2 : F(\mathbf{x}) = 0\}.$$

Falls F stetig differenzierbar ist, können zusammenhängende Teile der Kurve als Lösungskurve zu Anfangswertproblemen

$$\dot{\mathbf{y}}(t) = \frac{\text{grad } F(\mathbf{y}(t))^\perp}{\|\text{grad } F(\mathbf{y}(t))\|}, \quad F(\mathbf{y}(0)) = 0,$$

5.4

p. 602

5.5

p. 604

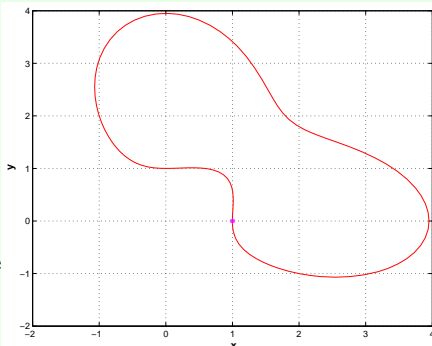
☞ Qualitativ falsche Lösung bei geringfügig erhöhter Toleranz!

Beispiel 231 (Schrittweitensteuerung bei Satellitenbahnberechnung). → Bsp. 228

erhalten werden. Dabei bezeichnet \perp die Rotation eines Vektors $\in \mathbb{R}^2$ um 90° gegen den Uhrzeigersinn.

Entwerfe eine MATLAB-Funktion `draweggcurve()`, die ein solches Anfangswertproblem löst, um die Kurve

$$\{\mathbf{x} = (x, y) \in \mathbb{R}^2 : F(\mathbf{x}) := (x^2 + y^2)^2 - x^3 - y^3 = 0\}$$



durch $(1, 0)$ zu plotten. Löse dazu das Anfangswertproblem auf $[0, 15.8]$ und erwende dazu die MATLAB-Funktion `ode45` mit folgenden Parametern:

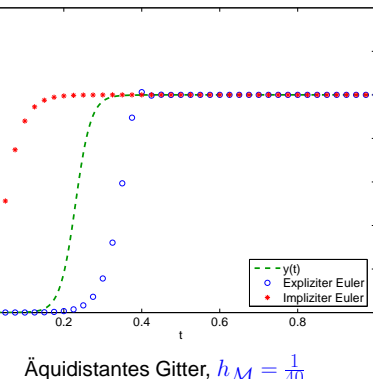
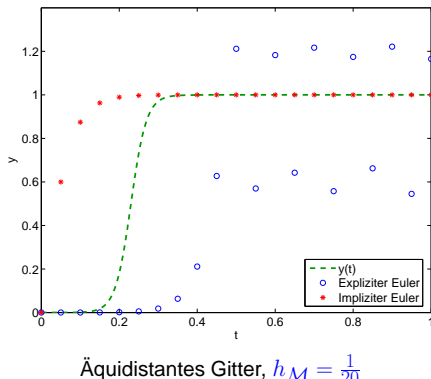
```
options = odeset('reltol', 0.0001,
                  'abstol', 1e-9);
http://en.wikipedia.org/wiki/Crooke
```

5.6 Stabilität

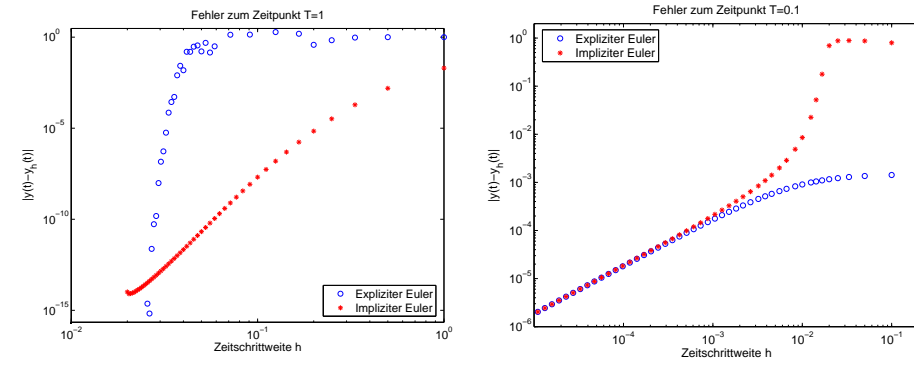
[File: section-ngdiffgleichungen-stabilitaet.tex, SVN: section-ngdiffgleichungen-stabilitaet.tex 1771 2007-08-26 02:14:34Z hiptmair]

Beispiel 232 (Unterschiedliches Verhalten expliziter und impliziter Integratoren).

Logistische Differentialgleichung $\dot{y} = f(y)$, $f(y) = \lambda y(1 - y) \rightarrow$ (5.3.4), $\lambda = 50$, Anfangswert $y_0 = 10^{-4}$, Zeitintervall $[0, 1]$:



h_M -Abhängigkeit der Fehler zum Endzeitpunkt für Integrationsintervalle $[0, T]$, $T = 0.1, 1$:



Beobachtung: $y(T) \approx 0 \Rightarrow$ Impliziter Euler präasymptotisch unbrauchbar
 $y(T) \approx 1 \Rightarrow$ Expliziter Euler präasymptotisch unbrauchbar

$y \in \{0, 1\} \Rightarrow f(y) = 0: 0, 1$ sind stationäre Punkte der Evolution zur Dgl.

5.6
p. 605

$$\frac{df}{dy}(0) = \lambda \Rightarrow \text{für } y \approx 0: \text{Dgl. } \dot{y} = \lambda y, \\ \frac{df}{dy}(1) = -\lambda \Rightarrow \text{für } y \approx 1: \text{Dgl. } \dot{y} = -\lambda y.$$

5.6.1 Modellproblemanalyse

Autonomes skalares lineares AWP: $\dot{y} = \lambda y$, $y(0) = 1$, $\operatorname{Re} \lambda < 0$ auf $[0, \infty[$ (5.6.1) [eq:stiffmp](#)

$$y(t) = e^{\lambda t} \rightarrow 0 \quad \text{für } t \rightarrow \infty \quad (\text{Asymptotische Stabilität}).$$

↔ Diskrete Evolution von s-stufigem Runge-Kutta-Verfahren (\rightarrow Def. 5.3.3) [Def:rk](#) $\frac{c}{|b|^T} \frac{\alpha}{\beta}$?

$$k_i = \lambda(y + h \sum_{j=1}^s a_{ij} k_j), \\ y_h(t+h) = y + h \sum_{i=1}^s b_i k_i \Rightarrow \Psi_h^{h,0} y = (1 + \lambda h \mathbf{b}^T (\mathbf{I} - \lambda h \mathfrak{A})^{-1} \mathbf{1}) y.$$

(Kontinuierliche) Evolution:

$$\Phi^{h,0} = e^{\lambda h}$$

Wann erhält Lösung $\{y_k\}_{k=0}^{\infty}$, $y_{k+1} = \Psi_h^{h,0} y_k$, eines RK-ESV auf (unendlichem) äquidistantem Gitter (Maschenweite h) asymptotische Stabilität?

5.6
p. 606

$$\lim_{k \rightarrow \infty} y_k = 0 \Leftrightarrow z := \lambda h \text{ so, dass } |\Psi_h^{h,0}(z)| < 1.$$

5.6
p. 607

Definition 5.6.1 (Stabilitätsgebiet eines Einschrittverfahrens). Das **Stabilitätsgebiet** eines ESV für das AWP (5.6.1) auf der Grundlage der diskreten Evolution $\Psi_h^{h,0} := S(z)$, $z := \lambda h$, $S : D_S \subset \mathbb{C} \mapsto \mathbb{C}$, ist

$$\mathcal{S}_\Psi := \{z \in \mathbb{C} : |S(z)| < 1\} \subset \mathbb{C}.$$

Theorem 5.6.2 (Stabilitätsfunktion von Runge-Kutta-Verfahren). Ist $\Psi_h^{h,0}$ diskrete Evolution zu einem s -stufigen Runge-Kutta-Verfahren (\rightarrow Def. 5.3.3) mit Butcher-Schema $\frac{\mathbf{c}}{\mathbf{b}^T}$ für das AWP (5.6.1), dann

$$\Psi_h^{h,0} = 1 + z \mathbf{b}^T (\mathbf{I} - z \mathbf{A})^{-1} \mathbf{1}, \quad z := \lambda h, \quad \mathbf{1} = (1, \dots, 1)^T \in \mathbb{R}^s.$$

(HIERABEN STABILITÄTSFUNKTION $S(z)$)

Übung 5.7. Das allgemeine Runge-Kutta-Verfahren aus Definition 5.3.3 werde angewandt auf das skalare Modellproblem (5.6.1), Schrittweite $h > 0$.

(i) Schreibe $\mathbf{k} \in \mathbb{R}^s$ für den Vektor $(k_1, \dots, k_s)^T$ der Inkremente und $y_1 := y_h(t_0 + h)$. Zeige, dass

$$(\mathbf{I} - z \mathbf{A}) \begin{pmatrix} \mathbf{k} \\ y_1 \end{pmatrix} = y_0 \begin{pmatrix} \mathbf{1} \\ 1 \end{pmatrix}.$$

(ii) Benutze die Cramersche Regel, um die alternative Darstellung

$$S(z) = \frac{\det(\mathbf{I} - z \mathbf{A} + z \mathbf{1} \mathbf{b}^T)}{\det(\mathbf{I} - z \mathbf{A})}$$

herzuleiten.

- Explizite Trapezregel:

$$\begin{array}{c|cc} 0 & 0 & 0 \\ 1 & 1 & 0 \\ \hline & \frac{1}{2} & \frac{1}{2} \end{array}$$

$$\Rightarrow S(z) = 1 + z + \frac{1}{2}z^2.$$

- Implizite Mittelpunktsregel:

$$\begin{array}{c|c} \frac{1}{2} & \frac{1}{2} \\ \hline & 1 \end{array}$$

$$\Rightarrow S(z) = \frac{1 + \frac{1}{2}z}{1 - \frac{1}{2}z}.$$

- RK4-Verfahren (5.3.8):

$$\begin{array}{c|cccc} 0 & 0 & 0 & 0 & 0 \\ \frac{1}{2} & \frac{1}{2} & 0 & 0 & 0 \\ \frac{1}{2} & 0 & \frac{1}{2} & 0 & 0 \\ 1 & 0 & 0 & 1 & 0 \\ \hline & \frac{1}{6} & \frac{2}{6} & \frac{2}{6} & \frac{1}{6} \end{array}$$

$$\Rightarrow S(z) = 1 + z + \frac{1}{2}z^2 + \frac{1}{6}z^3 + \frac{1}{24}z^4.$$

Korollar 5.7.1.

Explizite Runge-Kutta-Verfahren

Allgemeine Runge-Kutta-Verfahren

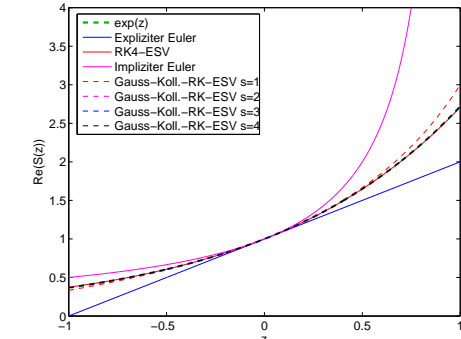
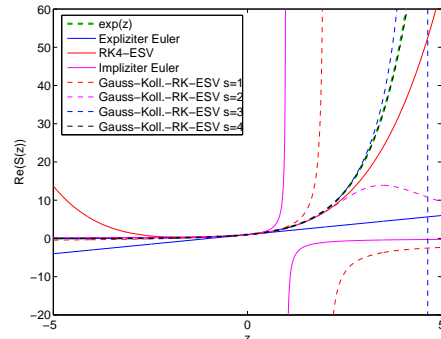
$$\Rightarrow S(z) \in \mathcal{P}_s, \quad \Rightarrow S(z) = \frac{P(z)}{Q(z)}, P, Q \in \mathcal{P}_s.$$

5.7

p. 609

EXSTABEN

Beispiele: Verhalten von Stabilitätsfunktionen (für reelles Argument z):



EXSTABDOM

Beispiele: Stabilitätsgebiete \mathcal{S} expliziter RK-ESV:

5.7

p. 610

- Explizites Eulerverfahren:

$$\begin{array}{c|c} 0 & 0 \\ \hline 1 & 1 \end{array}$$

$$\Rightarrow S(z) = 1 + z.$$

- Implizites Eulerverfahren:

$$\begin{array}{c|c} 1 & 1 \\ \hline 1 & 1 \end{array}$$

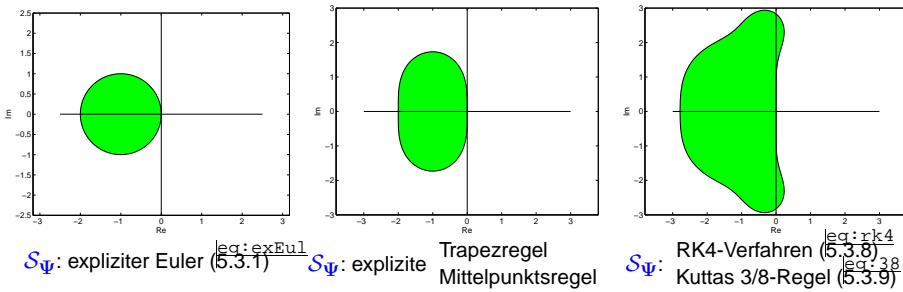
$$\Rightarrow S(z) = \frac{1}{1-z}.$$

5.7

p. 611

5.7

p. 612



Das Stabilitätsgebiet expliziter RK-Verfahren ist beschränkt !

$\lim_{k \rightarrow \infty} y_k = 0$ für von explizitem RK-Verfahren für AWP (5.6.1) erzeugte Folge $\{y_k\}_{k=0}^{\infty}$ nur wenn
 $|\lambda h|$ hinreichend klein ($\lambda h \in \mathcal{S}_{\Psi}$).

Nicht durch Genauigkeitsanforderungen bedingte Schrittweitenbeschränkung !
 (für explizite (RK)-ESV)

5.7.1 Steifheit

Konzept 5.7.2 (Steifes Anfangswertproblem). Ein AWP heißtet **steif** (engl. stiff), falls für explizite ESV (→ Def. 5.3.2) Stabilität eine wesentlich kleinere Schrittweite verlangt als die Genauigkeitsanforderungen.

Beispiel 233 (Adaptive explizite Einschrittverfahren für steifes Problem).

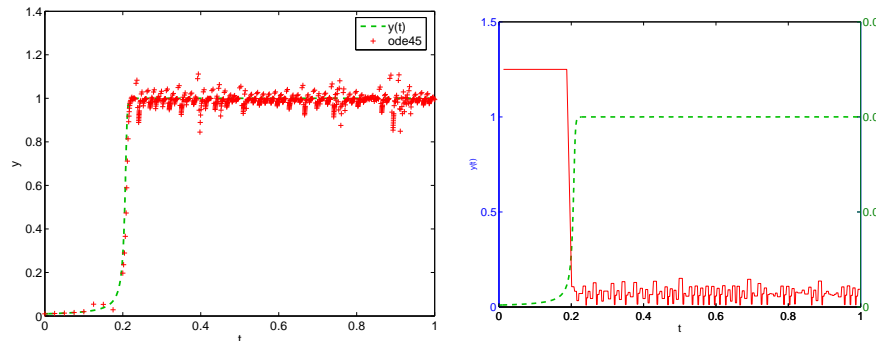
$$\dot{y}(t) = \lambda y^2(1 - y), \quad \lambda = 500, \quad y(0) = \frac{1}{100}.$$

MATLAB-CODE: Adaptives ESV für steifes Problem

```

fun = @(t,x) 500*x.^2*(1-x); tspan = [0 1]; y0 = 0.01;
options = odeset('reltol',0.1,'abstol',0.001,'stats','on');
[t,y] = ode45(fun,tspan,y0,options);
plot(t,y,'r+');

```



➤ Schrittweitensteuerung realisiert Schrittweitenbeschränkung !
 (186 successful steps, 55 failed attempts, 1447 function evaluations)

$y = 1$ stark attraktiver Fixpunkt

➤ Extreme Schrittweitenbeschränkung für expliziten Integrator `ode45`

5.7
p. 613

Welche Anfangswertprobleme sind steif ?

ODE-Modelle für Systeme mit schnell relaxierenden Komponenten
 (mit stark unterschiedlichen Zeitkonstanten)

Beispiel 234 (Steife Schaltkreisgleichungen im Zeitbereich).

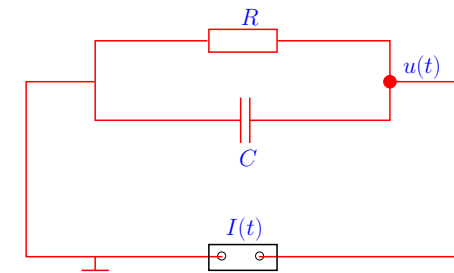
Schaltkreisanalyse im Zeitbereich:
 (vgl. Frequenzbereichsanalyse Bsp. 66)

Bauelementgleichungen (Zeitbereich):

- Widerstand: $i(t) = R^{-1}u(t)$
- Kondensator: $i(t) = C\dot{u}(t)$

Dgl. aus Knotenanalyse:

$$C\dot{u}(t) = -R^{-1}u(t) + I(t).$$



Konkret: $C = 1pF$, $R = 1k\Omega$, $I(t) = \sin(2\pi 1Hz t)mA$, $u(0) = 0V$

➤ Skalierte (dimensionslose) Dgl.: $\dot{u}(t) = -10^9 u(t) + 10^9 \sin(2\pi t) \Rightarrow u(t) \approx \sin(2\pi t)$.

5.7
p. 614

Steife AWP ➤ (Geeignete) implizite RK-ESV (→ Def. 5.3.2) sind zu verwenden !

5.7
p. 615

Übung 5.8. Das Anfangswertproblem $y(0) = 1$, $\dot{y}(0) = 0$ für die lineare Differentialgleichung 2. Ordnung

$$\ddot{y} + \dot{y} + y = 0 \quad (5.8.1)$$

soll mit einem 2-stufigen sogenannten SDIRK-Verfahren (singly diagonally implicit Runge-Kutta method) numerisch gelöst werden. Dies ist ein Runge-Kutta-Verfahren beschrieben durch das Butcher-Tableau

$$\begin{array}{c|cc} \gamma & \gamma & 0 \\ \hline 1-\gamma & 1-2\gamma & \gamma \\ \hline & 1/2 & 1/2 \end{array} \quad (5.8.2)$$

(i) Gib die Gleichungen für die Inkremente k_1 und k_2 des Runge-Kutta-Verfahrens (5.8.2) ^{leg:sdirk1} angewandt auf ein Anfangswertproblem zur Differentialgleichung $\dot{y} = f(t, y)$ an.

(ii) Bestimme die Stabilitätsfunktion $S(z)$ des SDIRK-Verfahrens (5.8.2) ^{leg:sdirk1} für $\gamma = 1$. Ist das Verfahren A/L-stabil?

(iii) Formuliere (5.8.1) als Anfangswertproblem für ein lineares System 1. Ordnung für die Funktion $\mathbf{z}(t) = (y(t), \dot{y}(t))^T$. ^{leg:sdirk0}

(iv) Implementiere eine MATLAB-Funktion

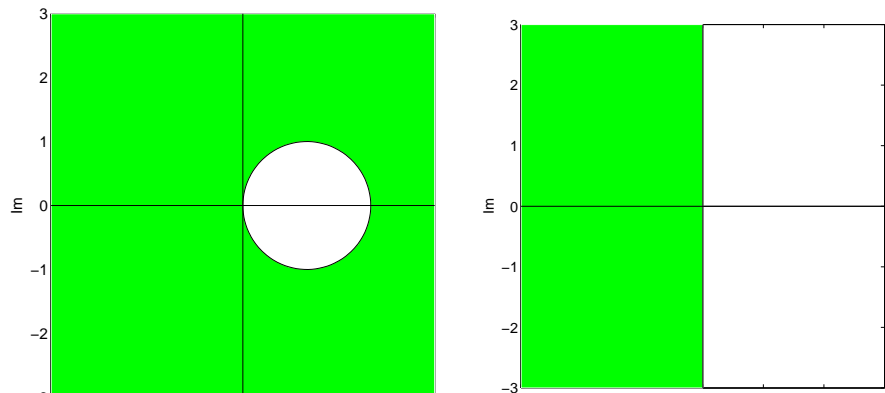
```
z = sdirkstep(z0,h),
```

die die numerische Evolution des Einschrittverfahrens (5.8.2) ^{leg:sdirk1} für die in (ii) erhaltene Differentialgleichung realisiert.

(v) Führe mit Hilfe von MATLAB ein numerisches Experiment aus, das einen Hinweis auf die Ordnung des Verfahrens (mit $\gamma = \frac{3+\sqrt{3}}{6}$) für das Anfangswertproblem aus Teilaufgabe (ii) liefert.

5.8.1 Einschrittverfahren für steife AWP

Beispiele: Stabilitätsgebiete (\rightarrow Def. 5.6.1) ^{def:stabdomain} impliziter Einschrittverfahren (\rightarrow Def. 5.3.2) ^{def:expl}



S_{Ψ} : implizites Eulerverfahren (5.3.1)

S_{Ψ} : implizite Trapezregel

AWP (5.6.1) & $\lambda \gg 1$: Keine stabilitätsbedingte Schrittweitenbeschränkung für beide Verfahren (vgl. Verhalten von $S(z)$, $\text{Re } z < 0$)

5.8

p. 617

5.8

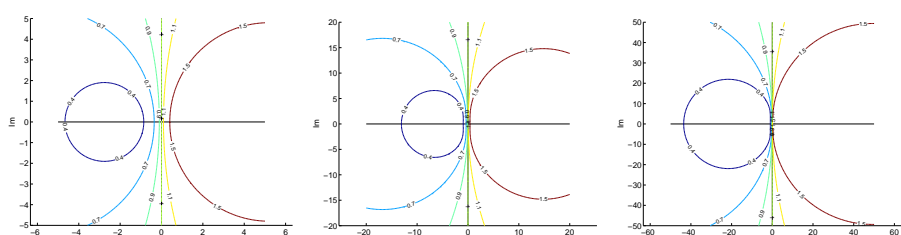
p. 619

a) **Definition 5.8.1** (A-stabiles Einschrittverfahren).

ESV **A-stabil** $\Leftrightarrow \{z \in \mathbb{C}: \text{Re } z < 0\} \subset S_{\Psi}$ (S_{Ψ} = Stabilitätsgebiet, Def. 5.6.1) ^{def:stabdomain}

Autonome Dgl. $\dot{\mathbf{y}} = f(\mathbf{y})$, $f(\mathbf{y}^*) = 0$ \wedge $\text{Re}\{\sigma(Df(\mathbf{y}^*))\} \subset \mathbb{R}^-$ ($\hat{=}$ Stabilität von \mathbf{y}^*) \Rightarrow Falls $\|\mathbf{y}_0 - \mathbf{y}^*\| < \delta$, dann $\lim_{k \rightarrow \infty} \mathbf{y}_k = 0$.

Stabilität von Gauss-Kollokations-Einschrittverfahren (\rightarrow Abschnitt 5.3.1): ^{sec:kollokation}



5.8

p. 618

Implizite Mittelpunktsregel

$s = 2$ (Ordnung 4)
Niveaulinien von $|S(z)|$ für Gauss-Kollokations-Einschrittverfahren

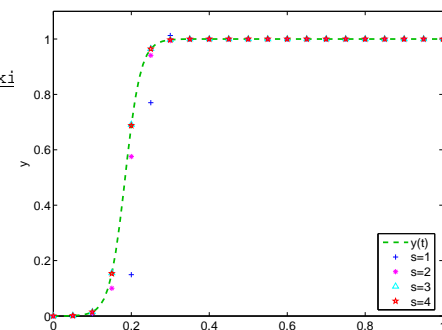
5.8

p. 620

Beispiel 235 (Gauss-Kollokationsverfahren für logistische Differentialgleichung). → Bsp. 232, ex:logexi

Logistische Differentialgleichung $\dot{y} = f(y)$, $f(y) = \lambda y(1 - y)$ → (5.3.4), $\lambda = 50$, Anfangswert $y_0 = 10^{-4}$, Zeitintervall $[0, 1]$.

Kollokations-Einschrittverfahren (→ Abschnitt 5.3.1) auf äquidistantem Gitter, $h = \frac{1}{20}$.



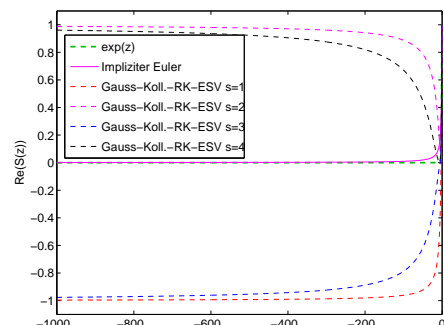
Theorem 5.8.2 (Stabilität von Gauss-Kollokations-Einschrittverfahren).

Alle Gauss-Kollokations-RK-ESV (5.3.2) sind A-stabil.

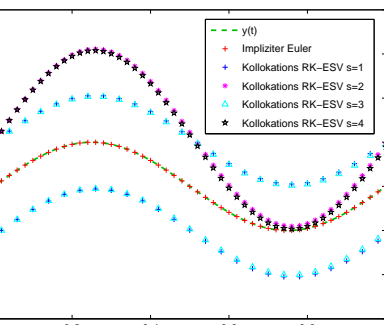
Beispiel 236 (Implizite RK-ESV bei schnellen Transienten). → Bsp. 234 ex:odecircuit

AWP: $\dot{y} = -\lambda y + \beta \sin(2\pi t)$, $\lambda = 10^6$, $\beta = 10^6$, $y(0) = 1$.

RK-ESV, äquidistantes Gitter auf $[0, 1]$, $h = \frac{1}{40}$:



Stabilitätsfunktionen für $\text{Re } z \ll 1$



Diskrete Evolutionen (Zeitverlauf)

> Ungenügende Dämpfung der Anfangsstörung bei Kollokations-RK-ESV!

(Oszillationen für ungerades s → vgl. Stabilitätsfunktionen!)

Definition 5.8.3 (L-Stabilität).

$$\text{ESV L-stabil} \Leftrightarrow \{z \in \mathbb{C}: \text{Re } z < 0\} \subset \mathcal{S}_\Psi \quad \& \quad \lim_{\text{Re } z \rightarrow -\infty} |S(z)| = 0$$

Kurz:

L-stabil \Leftrightarrow A-stabil & „ $S(-\infty) = 0$ “

Wie findet man L-stabile RK-ESV?

$$S(-\infty) = 1 - \mathbf{b}^T \mathfrak{A}^{-1} \mathbf{1} : \quad \text{Falls } \mathbf{b}^T = \mathbf{a}_{:,j}^T \text{ (Zeile von } \mathfrak{A}) \Rightarrow S(-\infty) = 0 .$$



- Wähle $c_s = 1$ im Kollokations-RK-ESV (5.3.2)
- Wähle c_1, \dots, c_{s-1} als Knoten einer Quadraturformel maximaler Ordnung.
→ Gauss-Radau-Quadratur, Ordnung $2s - 1$

Implizite s -stufige L-stabile Radau-ESV, Konvergenzordnung $2s - 1$ (→ Thm. tthm:cvgkoll)

$$\begin{array}{c|cc} 1 & 1 \\ \hline 1 & 1 \end{array}$$

5.8
p. 621

$$\begin{array}{c|cc} \frac{1}{3} & \frac{5}{12} & -\frac{1}{12} \\ \hline 1 & \frac{1}{4} & \frac{1}{4} \\ \hline \frac{1}{4} & \frac{1}{4} \end{array}$$

Radau-ESV, Ordnung 3

$$\begin{array}{c|cccc} \frac{4-\sqrt{6}}{10} & \frac{88-7\sqrt{6}}{360} & \frac{296-169\sqrt{6}}{1800} & \frac{-2+3\sqrt{6}}{225} \\ \hline \frac{4+\sqrt{6}}{10} & \frac{296+169\sqrt{6}}{1800} & \frac{88+7\sqrt{6}}{360} & \frac{-2-3\sqrt{6}}{225} \\ \hline 1 & \frac{16-\sqrt{6}}{36} & \frac{16+\sqrt{6}}{36} & \frac{1}{9} \\ \hline \frac{16-\sqrt{6}}{36} & \frac{16+\sqrt{6}}{36} & \frac{1}{9} \end{array}$$

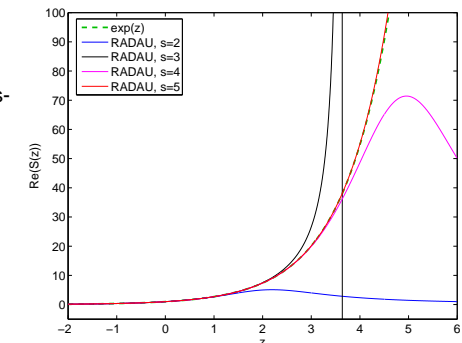
Radau-ESV, Ordnung 5

5.8
p. 623

Stabilitätsfunktion s -stufiger Radau-Kollokations-RK-ESVs:

$$S(z) = \frac{P(z)}{Q(z)}, \quad P \in \mathcal{P}_{s-1}, Q \in \mathcal{P}_s .$$

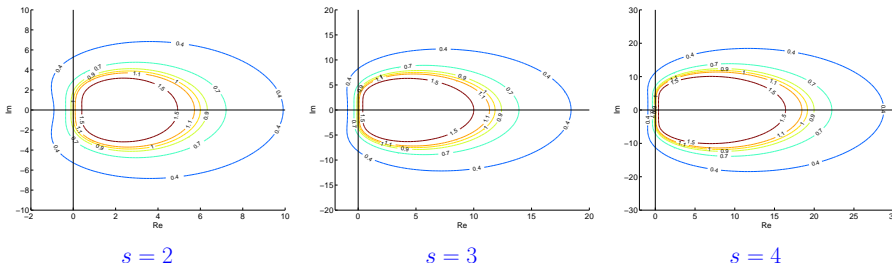
Vorsicht: Auch „ $S(\infty) = 0$ “



Niveaus der Stabilitätsfunktionen von s -stufigen Radau-Kollokations-RK-ESVs:

5.8
p. 622

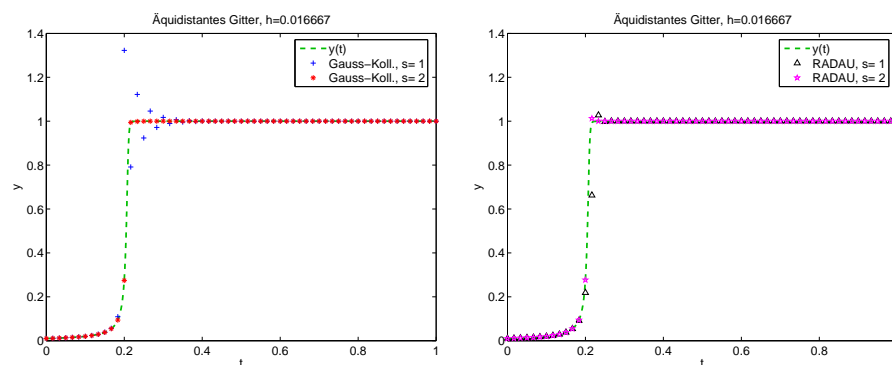
5.8
p. 624



Beispiel 237 (Implizite ESV für steifes Problem). → Bsp. 233

$$\dot{y}(t) = \lambda y^2(1 - y), \quad \lambda = 500, \quad y(0) = \frac{1}{100}.$$

Qualitatives Verhalten von Gauss-Kollokations-ESV (→ Abschnitt 5.3.1) & RADAU-ESV auf äquidistantem Gitter:



➤ Falsche Oszillationen bei Gauss-Kollokations-ESV niedriger Ordnung

5.8.2 Implementierung impliziter Runge-Kutta-Einschrittverfahren

Nichtlineares Gleichungssystem für Inkremente \mathbf{k}_i (→ Def. 5.3.3):

$$\mathbf{k}_i = f(t_0 + c_i h, \mathbf{y}_0 + h \sum_{j=1}^s a_{ij} \mathbf{k}_j) \quad \blacktriangleright \quad s \cdot d \text{ Unbekannte!}$$

$$\vec{\mathbf{g}} = (\mathbf{g}_1, \dots, \mathbf{g}_s)^T, \quad \mathbf{g}_j := h \sum_{i=1}^s a_{ij} f(t_0 + c_i h, \mathbf{y}_0 + \mathbf{g}_i) \quad \blacktriangleright \quad F(\vec{\mathbf{g}}) = \vec{\mathbf{g}} - h \mathfrak{A} \begin{pmatrix} f(t_0 + c_1 h, \mathbf{y}_0 + \mathbf{g}_1) \\ \vdots \\ f(t_0 + c_s h, \mathbf{y}_0 + \mathbf{g}_s) \end{pmatrix} \stackrel{!}{=} 0.$$

Approximative Lösung mit vereinfachtem Newton-Verfahren → Bem. 48: Startnäherung $\vec{\mathbf{g}} = 0$

$$\text{Jacobimatrix } DF(0) = \begin{pmatrix} \mathbf{I} - ha_{11} \frac{\partial f}{\partial \mathbf{y}}(t_0, \mathbf{y}_0) & \cdots & -ha_{1s} \frac{\partial f}{\partial \mathbf{y}}(t_0, \mathbf{y}_0) \\ \vdots & \ddots & \vdots \\ -ha_{s1} \frac{\partial f}{\partial \mathbf{y}}(t_0, \mathbf{y}_0) & \cdots & \mathbf{I} - has \frac{\partial f}{\partial \mathbf{y}}(t_0, \mathbf{y}_0) \end{pmatrix}.$$

➤ In jedem (vereinfachten) Newton-Schritt: Lösen eines linearen Gleichungssystems mit Matrix $DF(0) \in \mathbb{R}^{sd, sd}$.

5.8 Adaptive MATLAB-Integratoren für steife Probleme: (Schrittweitensteuerung wie in Abschnitt 5.4.1) sec:sws

p. 625

```
opts = odeset('abstol', atol, 'reltol', rtol, 'Jacobian', @J)
[t, y] = ode15s(odefun, tspan, y0, opts);
```

Beispiel 238 (Adaptives semi-implizites RK-ESV für steifes Problem). → Bsp. 233, 237

$$\dot{y}(t) = \lambda y^2(1 - y), \quad \lambda = 500, \quad y(0) = \frac{1}{100}.$$

MATLAB-CODE: Semi-Implizites ESV für steifes Problem

```
lambda = 500; tspan = [0 1]; y0 = 0.01;
fun = @(t,x) lambda*x.^2*(1-x);
Jac = @(t,x) lambda*(2*x*(1-x)-x.^2);
o = odeset('reltol', 0.1, 'abstol', 0.001, 'stats', 'on', 'Jacobian', Jac);
[t,y] = ode23s(fun, [0 1], y0, o);
```

Statistik: 20 successful steps 4 failed attempts 70 function evaluations

5.8

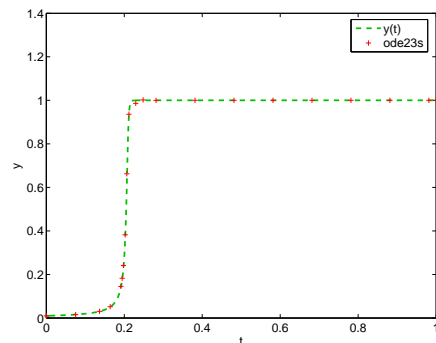
p. 627

5.8

p. 626

5.8

p. 628



► Effizientes Verfahren (vgl. Bsp. 233). Keine Schrittweitenbeschränkung für $y \approx 1$ ex:ode45stiff

5.9 Differentiell-Algebraische Anfangswertprobleme

[File: section-differentiell-algebraische-anfangswertprobleme.tex, SVN: section-differentiell-algebraische-anfangswertprobleme.tex 1061 2006-10-20 16:58:14]

Gegeben: „Rechte Seiten“ $h : \Omega_1 \times \Omega_2 \subset \mathbb{R}^p \times \mathbb{R}^q \mapsto \mathbb{R}^p$, $g : \Omega_1 \times \Omega_2 \mapsto \mathbb{R}^q$ hinreichend glatt, $p, q \in \mathbb{N}$, $\mathbf{u}_0 \in \Omega_1$, $\mathbf{v}_0 \in \Omega_2$

☞ Differential-algebraisches Anfangswertproblem (DAE): Algebraische Nebenbedingung

$$\begin{aligned} \dot{\mathbf{u}} &= h(\mathbf{u}, \mathbf{v}), \\ 0 &= g(\mathbf{u}, \mathbf{v}) \end{aligned} \quad , \quad \begin{aligned} \mathbf{u}(0) &= \mathbf{u}_0, \\ \mathbf{v}(0) &= \mathbf{v}_0 \end{aligned} \quad , \quad g(\mathbf{u}_0, \mathbf{v}_0) = 0. \quad (5.9.1)$$

Konsistente Anfangswerte erforderlich!

Beispiel 239 (Deskriptorform der Pendelgleichung). → Bsp. 216 ex:odemech

Pendelgleichung in nicht-minimalen Koordinaten (Ursprung $(x_1) = (0)$ an Aufhängung):

$$m \begin{pmatrix} \dot{x}_1 \\ \dot{x}_2 \\ \dot{p}_1 \\ \dot{p}_2 \end{pmatrix} = \begin{pmatrix} p_1 \\ p_2 \\ -\lambda x_1 \\ -\lambda x_2 - g \end{pmatrix}, \quad x_1^2 + x_2^2 = l^2.$$

λ = Lagrange-Multiplikator ($\leftrightarrow \mathbf{v}$ in (5.9.1)) leg:DAE ➤ Zwangskraft Zwangsbedingung

Differenzieren der Zwangsbedingung ➤ $x_1 p_1 + x_2 p_2 = 0$, (5.9.2) leg:diffnb

Nochmaliges Differenzieren ➤ $(p_1^2 + p_2^2) - \lambda(x_1^2 + x_2^2) - gx_2 = 0$. (5.9.3) leg:diffnb

Annahme: (trifft auf Bsp. 239 nur für differenzierte Nebenbedingung (5.9.3) zu !) leg:diffnb

$\frac{\partial g}{\partial \mathbf{v}} \in \mathbb{R}^{q,q}$ regulär entlang einer Lösungskurve von (5.9.1) leg:DAE

DAE von höherem Index: ⚠️ Konzept zur Klassifikation von DAEs HAW91

Einschrittverfahren für (5.9.1)?



- Idee: Singuläre Störungstechnik
- ① Betrachte AWP für Dgl. $M\dot{\mathbf{y}} = f(\mathbf{y})$, $M \in \mathbb{R}^{d,d}$, $d = p + q$
 - ② Unter Annahme M regulär: RK-ESV für $\dot{\mathbf{y}} = M^{-1}f(\mathbf{y})$
 - ③ Macht Verfahren noch Sinn für singuläres M ? Wenn ja → 😊

► Inkrementengleichungen, vgl. Def. 5.3.3: $\text{def:rk } M_{ki} = f(\mathbf{y}_0 + h \sum_{j=1}^s a_{ij} \mathbf{k}_j)$. (5.9.4) leg:Minc

► Falls M singulär: (5.9.4) nur sinnvoll für implizite RK-ESV!

5.9
p. 629

Anwendung auf (5.9.1): EU:DAE

$$M = \begin{pmatrix} I & 0 \\ 0 & 0 \end{pmatrix}, \quad I \in \mathbb{R}^{p,p}, \quad \mathbf{y} = \begin{pmatrix} \mathbf{u} \\ \mathbf{v} \end{pmatrix}, \quad f(\mathbf{y}) = \begin{pmatrix} h(\mathbf{u}, \mathbf{v}) \\ g(\mathbf{u}, \mathbf{v}) \end{pmatrix}.$$

Eignen sich alle impliziten ESV?

Modellproblem: $\begin{aligned} \dot{u} &= vf(u), \\ 0 &= 1 - v \end{aligned}$ ➤ $\begin{aligned} \dot{u} &= vf(u), \\ \epsilon \dot{v} &= 1 - v \end{aligned}$, $0 < \epsilon \ll 1$. Singulär gestörte Dgl.

Heuristik: ESV tauglich für Modellproblem ↔ ESV tauglich für singulär gestörtes Problem $\forall \epsilon \approx 0$

► ESV muss für AWP $\dot{v} = \epsilon^{-1}(1 - v)$, $v(0) = 1$, $0 < \epsilon \ll 1$, Folge $\{v_k\}_{k=0}^\infty$ mit $\lim_{k \rightarrow \infty} v_k = 1$ liefern!

► Notwendig: $S(\infty) = 0$ für Stabilitätsfunktion (\rightarrow Thm. 5.6.2) $S(z)$ des ESV leg:SRK

Kandidaten für RK-ESV für (5.9.1): leg:DAE

Radau-Verfahren

5.9
p. 630

5.9
p. 631

5.10
p. 632

5.10 Strukturerhaltung

[File: section-strukturerhaltung.tex, SVN: section-strukturerhaltung.tex 1010 2006-09-11 15:44:43Z hiptmair]

(Wir betrachten nur autonome Anfangswertprobleme $\dot{\mathbf{y}} = f(\mathbf{y})$, $\mathbf{y}(0) = \mathbf{y}_0$, Phasenraum $\Omega \subset \mathbb{R}^d$)

Struktur = Essentielle Qualitative Eigenschaften der Evolution Φ^t zur ODE
 (Hervorragende Darstellung in Monographie [23])
HTW02

Ziel: „Vererbung“ von Struktur an diskrete Evolution Ψ_h^t

Wichtig für Langzeitintegration zur Berechnung einer „qualitativ richtigen Lösung“
 (im Sinne der Rückwärtsanalyse → Abschnitt I.8)
sec:stabilität

5.10.1 Nichtexpansivität

Sei $\mathbf{M} \in \mathbb{R}^{d,d}$ s.p.d. (\rightarrow Def. 3.2.8) def:spd Norm $\|\mathbf{y}\|_M := (\mathbf{y}^T \mathbf{M} \mathbf{y})^{1/2}$ auf \mathbb{R}^d .

Definition 5.10.1 (Nichtexpansivität). Eine Evolution Φ^t zu einer autonomen Dgl. heisst **nicht-expansiv**, falls

$$\|\Phi^t \mathbf{y} - \Phi^t \tilde{\mathbf{y}}\|_M \leq \|\mathbf{y} - \tilde{\mathbf{y}}\|_M \quad \forall \mathbf{y}, \tilde{\mathbf{y}} \in \Omega.$$

☞ Analoges Konzept für diskrete Evolutionen zu ESV HTW02 [11, Abschn. 6.3.3]

Theorem 5.10.2 (B-stabile ESV). Die diskreten Evolutionen zu Gauss-Kollokations- und Radau-RK-ESV erben die Nichtexpansivität der (exakten) Evolution.

Beispiel 240 (Gradientenfluss → „Kriechvorgänge“).

Potential $V : \mathbb{R}^d \mapsto \mathbb{R}$ strikt konkav:

$$\exists \alpha > 0: (\text{grad } V(\mathbf{x}) - \text{grad } V(\mathbf{y}))^T (\mathbf{x} - \mathbf{y}) \geq \alpha \|\mathbf{x} - \mathbf{y}\|_2^2 \quad \forall \mathbf{x}, \mathbf{y} \in \mathbb{R}^d.$$

Gradientenfluss-AWP: $\dot{\mathbf{y}}(t) = -\text{grad } V(\mathbf{y}(t))$, $\mathbf{y}(0) = \mathbf{y}_0 \in \mathbb{R}^d$.

$$\chi(t) := \left\| \Phi^t \mathbf{y} - \Phi^t \tilde{\mathbf{y}} \right\|_2^2 \Rightarrow \dot{\chi}(t) = -2 \underbrace{(\text{grad } V(\Phi^t \mathbf{y}) - \text{grad } V(\Phi^t \tilde{\mathbf{y}}))^T (\Phi^t \mathbf{y} - \Phi^t \tilde{\mathbf{y}})}_{\geq \alpha \|\Phi^t \mathbf{y} - \Phi^t \tilde{\mathbf{y}}\|_2^2} \leq 0.$$

5.10.2 Quadratische erste Integrale

Definition 5.10.3 (Quadratisches erstes Integral). Eine Funktion $I : \mathbb{R}^d \mapsto \mathbb{R}$, $I(\mathbf{x}) = \mathbf{x}^T \mathbf{Q} \mathbf{x} + \mathbf{q}^T \mathbf{x} + q$, $\mathbf{Q} \in \mathbb{R}^{d,d}$, $\mathbf{q} \in \mathbb{R}^d$, $q \in \mathbb{R}$ ist **quadratisches erstes Integral** der Evolution Φ^t zur autonomen Dgl. $\dot{\mathbf{y}} = f(\mathbf{y})$, falls

$$I(\Phi^t \mathbf{y}) = I(\mathbf{y}) \quad \forall \mathbf{y} \in \Omega, \forall t \in J(\mathbf{y}).$$

Theorem 5.10.4 (Erhaltung quadratischer erster Integrale). Quadratische erste Integrale der (exakten) Evolution werden auch von den von Gauss-Kollokations-ESV erzeugten diskreten Evolutionen erhalten.

5.10
p. 633

Beispiel 241 (Präzession einer Magnetnadel).

$\mathbf{y}(t)$ = Trajektorie der Spitze einer Magnetnadel (im äusseren Feld \mathbf{h}) Bewegungsgleichung

$$\dot{\mathbf{y}} = \mathbf{y} \times \mathbf{h} \quad , \quad \text{Kreuzprodukt } \mathbf{y} \times \mathbf{h} = \begin{pmatrix} y_2 h_3 - y_3 h_2 \\ y_3 h_1 - y_1 h_3 \\ y_1 h_2 - y_2 h_1 \end{pmatrix} \perp \mathbf{y}$$

$$(\mathbf{y}(t) \times \mathbf{h}) \cdot \dot{\mathbf{y}}(t) = 0 \quad \Rightarrow \quad \frac{d}{dt} \|\mathbf{y}(t)\|_2^2 = 2 \dot{\mathbf{y}} \cdot \mathbf{y}(t) = 0 \quad \Rightarrow \quad \|\mathbf{y}(t)\|_2^2 = \text{const} .$$

Anfangswert: $\mathbf{y}_0 = (\frac{1}{2}\sqrt{2}, 0, 1, \frac{1}{2}\sqrt{2})^T$

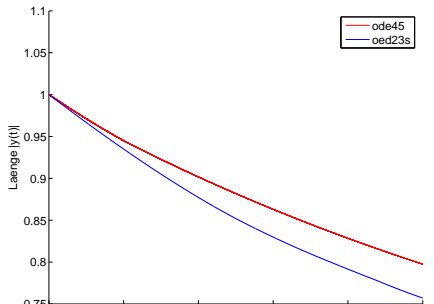
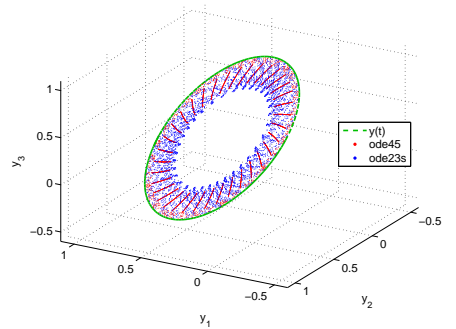
MATLAB-CODE: Berechnung des Präzession einer Magnetnadel

```
h = [-1;-1;-1]; tspan = [0 10000]; y0 = [0.5*sqrt(2);0;0.5*sqrt(2)];
fun = @(t,x) cross(x,h);
Jac = @(t,x) [0 h(3) -h(2); -h(3) 0 h(1); h(2) -h(1) 0];
options = odeset('reltol',0.001,'abstol',1e-4,'stats','on');
[t45,y45] = ode45(fun,tspan,y0,options);
options = odeset('reltol',0.001,'abstol',1e-4,'stats','on','Jacobian',Jac);
[t23,y23] = ode23s(fun,tspan,y0,options);
```

ode45: 24537 successful steps, 7432 failed attempts, 191815 function evaluations
 ode23s: 93447 successful steps, 4632 failed attempts, 289607 function evaluations

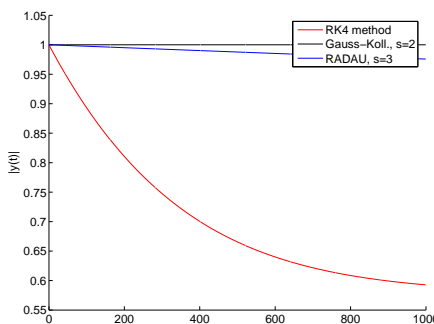
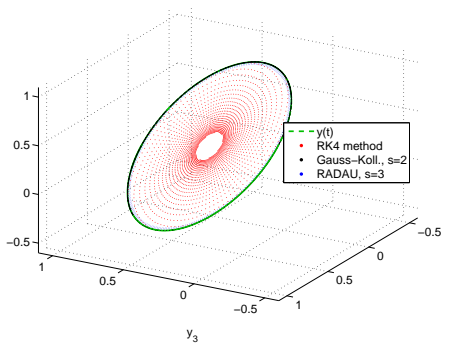
5.10
p. 634

5.10
p. 635



➤ Keine Erhaltung von $\|\mathbf{y}(t)\|_2$ über lange Zeiten

Einschrittverfahren auf äquidistanten Gittern:



5.10.3 Symplektizität

HAM

Gegeben: (Glatte) Hamilton-Funktion $H: \Omega \subset \mathbb{R}^{2d} \mapsto \mathbb{R}$, $d \in \mathbb{N}$ (Energie)
→ Vorlesung „Theoretische Mechanik“

$$\text{Oft: } H(\mathbf{p}, \mathbf{q}) = \frac{1}{2} \|\mathbf{p}\|_2^2 + V(\mathbf{q}), \quad \begin{matrix} \text{Kinetische Energie} \\ \text{Potentielle Energie} \end{matrix}$$

(5.10.1) eq:Hmech

HAMGL

Hamiltonsche (Bewegungs-)Gleichungen der klassischen Mechanik

$$\dot{\mathbf{p}} = -\frac{\partial H}{\partial \mathbf{q}}, \quad \dot{\mathbf{q}} = \frac{\partial H}{\partial \mathbf{p}}.$$

(5.10.2) eq:HAM

$\mathbf{q} \hat{=} (\text{verallgemeinerte}) \text{Ortskoordinate}, \quad \mathbf{p} \hat{=} (\text{verallgemeinerte}) \text{Impulskoordinate}$

➤ Evolution Φ_H^t zu (5.10.2) erfüllt $H(\Phi_H^t(\mathbf{q}, \mathbf{q})) = \text{const}$ für alle $(\mathbf{p}, \mathbf{q})^T \in \Omega$ und Zeiten t
(→ „Energieerhaltung“)

Zusätzliche Struktur:

Φ_H^t SYMPLECTIC → HLW02 [23, Ch. VI]

Erklärung für $d = 1$:

5.10

p. 637

t fest ➤ $\Phi_H^t: \Omega \mapsto \Omega$ Diffeomorphismus des Phasenraums: $(\Phi_H^t)^{-1} = \Phi_H^{-t}$

Lokale „Flächenverzerrung“ $\leftrightarrow \det J(t; \mathbf{p}, \mathbf{q})$, $J(t; \mathbf{p}, \mathbf{q}) := \frac{\partial \Phi_H^t(\mathbf{p}, \mathbf{q})}{\partial (\mathbf{p}, \mathbf{q})}$

$t \mapsto J(t; \mathbf{p}, \mathbf{q})$ erfüllt Variationsgleichung (5.2.1):

$$J(t; \mathbf{p}, \mathbf{q}) = \begin{pmatrix} -\frac{\partial^2 H}{\partial \mathbf{p} \partial \mathbf{q}}(\Phi_H^t(\mathbf{p}, \mathbf{q})) & -\frac{\partial^2 H}{\partial \mathbf{q}^2}(\Phi_H^t(\mathbf{p}, \mathbf{q})) \\ \frac{\partial^2 H}{\partial \mathbf{p}^2}(\Phi_H^t(\mathbf{p}, \mathbf{q})) & \frac{\partial^2 H}{\partial \mathbf{p} \partial \mathbf{q}}(\Phi_H^t(\mathbf{p}, \mathbf{q})) \end{pmatrix} J(t; \mathbf{p}, \mathbf{q}).$$

$$\blacktriangleright \frac{d}{dt} \det J(t; \mathbf{p}, \mathbf{q}) = \frac{d}{dt} \left(\frac{\partial p(t)}{\partial p} \frac{\partial q(t)}{\partial q} - \frac{\partial p(t)}{\partial q} \frac{\partial q(t)}{\partial p} \right) = 0.$$

Ableitungen nach Anfangswerten

► Evolution Φ_H^t ist flächenerhaltend

Beispiel 242 (Symplektizität des Phasenflusses für Pendelgleichung). → Bsp. ZT6

$p \leftrightarrow$ Winkelgeschwindigkeit, $q \leftrightarrow$ Winkelvariable

5.10
p. 638

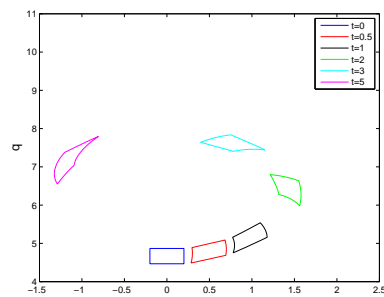
$$\begin{aligned} \dot{p} &= -\sin q, \\ \dot{q} &= p \end{aligned}$$

$$\blacktriangleright H(p, q) = \frac{1}{2} p^2 - \cos q \quad (\text{Gesamtenergie, vgl. (5.10.1)})$$

5.10
p. 640

Volumenerhaltung im Phasenraum:

Evolution eines quadratischen Volumens ▷



◇

Theorem 5.10.5 (Symplektizität von Gauss-Kollokations-RK-ESVs). *Diskrete Evolutionen von sec:kollokation Gauss-Kollokations-ESVs (→ Abschnitt 5.3.1) auf aquidistanten Gittern erhalten die Symplektizität einer Evolution (⇒ „symplektische Integratoren“).*

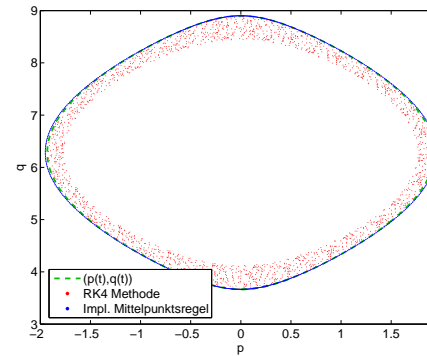
Bemerkung 243 (Warum symplektische Integratoren?).

Beobachtung: Symplektizität von Integrationsverfahren ➤ Hervorragendes qualitatives Langzeitverhalten für AWP (5.10.2) leg:HAM

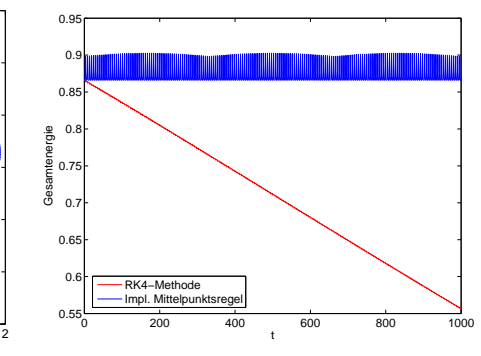
Beispiel 244 (Bewegungsgleichung des starren Pendels). → Bsp. 216 leg:odemech

AWP für (5.10.3) auf $[0, 1000]$, $p(0) = 0$, $q(0) = \frac{7\pi}{6}$.

Vergleich von klassischem Runge-Kutta-Verfahren (5.3.8) (Ordnung 4) mit 1-stufigem Gauss-Kollokations-ESV (implizite Mittelpunktsregel 5.3.3), aquidistantes Gitter, $h = \frac{1}{2}$:



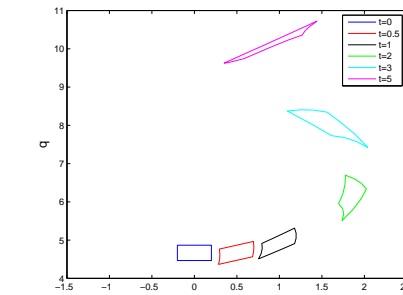
Orbits exakter/diskreter Evolutionen



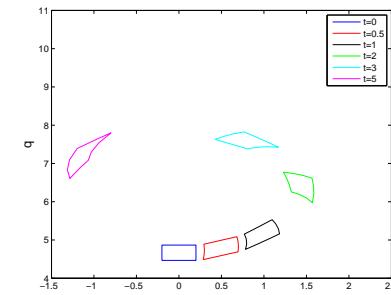
Energieerhaltung diskreter Evolutionen

➤ Keine Energiedrift bei impliziter Mittelpunktsregel (typisch für „symplektische Integratoren“)

5.10
p. 641



Evolution eines quadratischen Volumens
(Explizites Eulerverfahren)



Evolution eines quadratischen Volumens
(Implizite Mittelpunktsregel)

5.10
p. 642

Beispiel 245 (Symplektisches partitioniertes Eulerverfahren). → HTLW02 [23, Kap. VI]

$$\begin{aligned} \dot{\mathbf{u}} &= f(\mathbf{u}, \mathbf{v}), \\ \dot{\mathbf{v}} &= g(\mathbf{u}, \mathbf{v}), \end{aligned} \quad \Rightarrow \quad \begin{aligned} \mathbf{u}_h(t+h) &= \mathbf{u}_h(t) + h f(\mathbf{u}_h(t+h), \mathbf{v}_h(t)), \\ \mathbf{v}_h(t+h) &= \mathbf{v}_h(t) + h g(\mathbf{u}_h(t+h), \mathbf{v}_h(t)), \end{aligned} \quad (5.10.4)$$

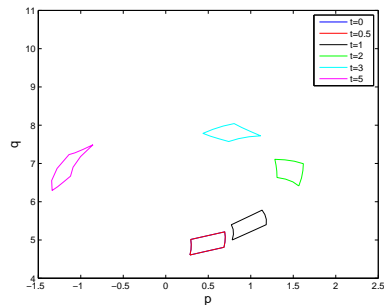
leg:symp
5.10
p. 644

leg:HAM mit H gemäss (5.10.1))

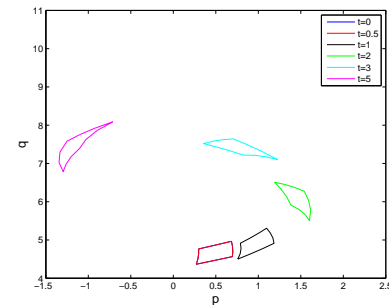
$$\begin{aligned} \mathbf{u} &= \mathbf{q} \\ \mathbf{v} &= \mathbf{p} \\ \Rightarrow \quad \mathbf{q}_h(t+h) &= \mathbf{q}_h(t) + h\mathbf{p}_h(t), \\ \mathbf{p}_h(t+h) &= \mathbf{p}_h(t) - h \operatorname{grad} V(\mathbf{q}_h(t+h)), \\ \mathbf{u} &= \mathbf{p} \\ \mathbf{v} &= \mathbf{q} \\ \Rightarrow \quad \mathbf{p}_h(t+h) &= \mathbf{p}_h(t) - h \operatorname{grad} V(\mathbf{q}_h(t)), \\ \mathbf{q}_h(t+h) &= \mathbf{q}_h(t) + h\mathbf{p}_h(t+h). \end{aligned}$$

> Explizite Einschrittverfahren!

Anwendung auf Pendelgleichung (5.10.3) → Bsp. 244



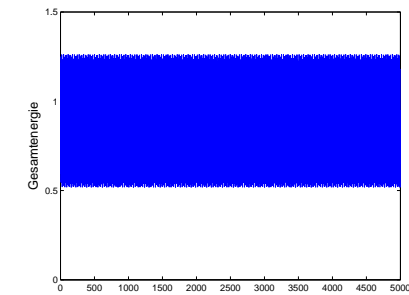
Evolution eines quadratischen Volumens
(Symplektisches partitioniertes Eulerverfahren
(5.10.5))



Evolution eines quadratischen Volumens
(Symplektisches partitioniertes Eulerverfahren
(5.10.6))

(5.10.5) leg:se

Energieerhaltung des symplektischen partitionier-
(5.10.6) leg:sepend ten Eulerverfahrens (5.10.6) ($p(0) = 0, q(0) = \frac{7\pi}{6}$)

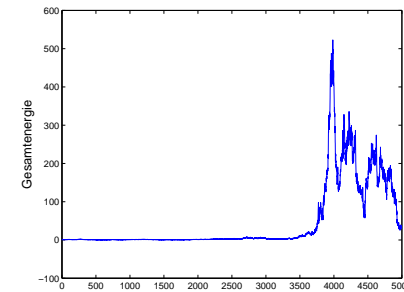


◇

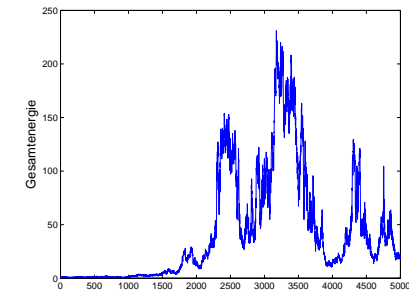
Beispiel 246 (Symplektische Integratoren und variable Schrittweite). Fortsetzung Bsp. 245

Symplektisches Eulerverfahren (5.10.6) für (5.10.3) auf $[0, T]$, $T = 5000$. Erratische variable Schrittweite $h_i = 0.5(1 + 0.5(\text{rand}() - 0.5))$, $i = 1, \dots, 10000$, $p(0) = 0, q(0) = 7\pi/6$

5.10
p. 645



Energiedrift bei variabler Schrittweite
(Symplektisches partitioniertes Eulerverfahren
(5.10.5))



Energiedrift bei variabler Schrittweite
(Symplektisches partitioniertes Eulerverfahren
(5.10.6))

5.10
p. 646

5.10
p. 647

5.10
p. 648

5.10.4 Reversibilität

$\Phi^{s,t} \hat{=} \text{Evolutionsoperator zum AWP (5.1.1)} \rightarrow \text{Sect. 5.1}$

$$\text{Thm. 5.1.2} \xrightarrow{\text{thm:awp}} \forall (t, \mathbf{y}) \in \widehat{\Omega}: (\Phi^{t,s} \circ \Phi^{s,t})\mathbf{y} = \mathbf{y} \quad \forall s \in J(t, \mathbf{y}). \quad (5.10.7)$$

Definition 5.10.6 (Symmetrisches Einschrittverfahren). Ein ESV für das AWP (5.1.1) mit diskreter Evolution $\Psi_h^{s,t}$ heisst **symmetrisch**, falls

$$\forall (t, \mathbf{y}) \in \widehat{\Omega}: (\Psi_h^{t,t+h} \circ \Psi_h^{t+h,t})\mathbf{y} = \mathbf{y} \quad \text{für hinreichend kleines } h.$$

Wann ist s -stufiges, $s \in \mathbb{N}$, Runge-Kutta-Einschrittverfahren (\rightarrow Def. 5.3.3)

$$\mathbf{k}_i = f(\mathbf{y}_0 + h \sum_{j=1}^s a_{ij} \mathbf{k}_j), \quad \mathbf{y}_1 = \mathbf{y}_0 + h \sum_{i=1}^s b_i \mathbf{k}_i,$$

für autonomes AWP symmetrisch? \Leftrightarrow Falls invariant gegen Vertauschung $\mathbf{y}_0 \leftrightarrow \mathbf{y}_1, h \leftrightarrow -h$!

$$\text{Hinreichend: } b_j = a_{ij} + a_{1+s-i, 1+s-j}, \quad 1 \leq i, j \leq s.$$

Wichtige Konsequenz für symmetrische RK-ESV:

$$\text{autonomes AWP } \dot{\mathbf{y}} = f(\mathbf{y}), \quad \mathbf{y}(0) = \mathbf{y}_0 \quad \text{mit} \quad f(T\mathbf{y}) = -Tf(\mathbf{y}) \quad \forall \mathbf{y} \in \Omega, \quad (5.10.8)$$

$T: \Omega \mapsto \Omega \hat{=} \text{bijektive Selbstabbildung des Phasenraumes.}$

$$\Rightarrow T \circ \Phi^t = (\Phi^t)^{-1} \circ T \quad \text{für hinreichend kleines } t. \quad (5.10.9)$$

Lemma 5.10.7. Die diskrete Evolution Φ_h^t für ein Runge-Kutta-Einschrittverfahren (\rightarrow Def. 5.3.3) zu autonomem AWP (5.10.8) erfüllt

$$T \circ \Psi_h^t = \Psi_h^{-h} \circ T \quad \text{für kleine } h.$$

Z.B. expliziter Euler (5.3.1):

$$(T \circ \Phi_h^t)(\mathbf{y}) = T\mathbf{y} + hTf(\mathbf{y}) \stackrel{(5.10.8)}{=} T\mathbf{y} - hf(T\mathbf{y}) = (\Phi_h^{-h} \circ T)(\mathbf{y}) \quad \forall \mathbf{y} \in \Omega.$$

Korollar 5.10.8 (T-Reversibilität symmetrischer RK-ESV). Die diskrete Evolution Φ_h^t für ein symmetrisches RK-ESV (\rightarrow Def. 5.10.6) zu autonomem AWP (5.10.8) erfüllt für hinreichend kleines h

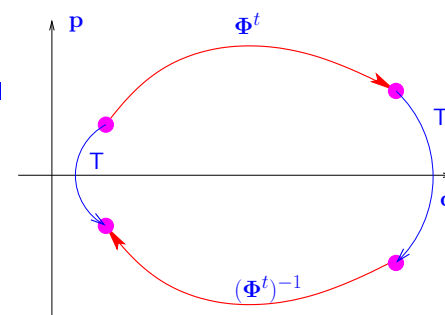
$$T \circ \Psi_h^t = (\Psi_h^t)^{-1} \circ T. \quad \Leftrightarrow \quad (5.10.9)$$

Warum ist das interessant?

Reversibilität mechanischer Systeme mit Hamilton-Funktion (\rightarrow Abschn. 5.10.3)

$$T \begin{pmatrix} p \\ q \end{pmatrix} = \begin{pmatrix} -p \\ q \end{pmatrix} \quad \Rightarrow \quad (5.10.2) = \text{AWP der Klasse (5.10.8)}$$

5.10
p. 649



Interpretation:

(5.10.7) $\hat{=}$ „Rückwärtsevolution“ nach Umkehr der Geschwindigkeitsrichtung

Verwende $(p, q) \mapsto (-p, q)$ -reversible Einschrittverfahren für konservative mechanische Systeme!

Kandidat: Implizite Mittelpunktsregel (5.3.3): symplektisch, symmetrisch (smiley face)

implizit (frowny face)

Geht es auch explizit? (vgl. Bsp. 5.4.5)



5.10
p. 650

Idee: Hintereinanderschaltung symplektischer Eulerverfahren (5.10.5), (5.10.6) mit Schrittweiten $h \leftarrow h/2$

STV Störmer-Verlet-Verfahren [HLW03]

5.10
p. 651

Für (5.10.2) mit $H(\mathbf{p}, \mathbf{q}) = \frac{1}{2} \|\mathbf{p}\|_2^2 + V(\mathbf{q})$ gemäß (5.10.1)

$$\begin{aligned} \mathbf{q}_h(t + \frac{1}{2}h) &= \mathbf{q}_h(t) + \frac{h}{2} \mathbf{p}_h(t), \\ \mathbf{p}_h(t + h) &= \mathbf{p}_h(t) - h \operatorname{grad} V(\mathbf{q}_h(t + \frac{1}{2}h)), \\ \mathbf{q}_h(t + h) &= \mathbf{q}_h(t + \frac{1}{2}h) + \frac{h}{2} \mathbf{p}_h(t + h). \end{aligned} \quad (5.10.10) \quad \text{eq:stv}$$

► Symmetrisches, symplektisches, explizites Verfahren der Ordnung 2

Beispiel 247 (Molekulardynamik). (→ Vorlesung „rechnergestützte Chemie“)

- Phasenraum für $n \in \mathbb{N}$ Atome in $d \in \mathbb{N}$ Dimensionen: $\Omega = \mathbb{R}^{2dn}$ (Positionen $\mathbf{q} = [\mathbf{q}^1; \dots; \mathbf{q}^n]^T \in \mathbb{R}^{dn}$, Impulse $\mathbf{p} = [\mathbf{p}^1; \dots; \mathbf{p}^n]^T \in \mathbb{R}^{dn}$)
- Gesamtenergie (Hamilton-Funktion): $H(\mathbf{p}, \mathbf{q}) = \frac{1}{2} \|\mathbf{p}\|_2^2 + V(\mathbf{q})$

LJP

Lenard-Jones-Potential: $V(\mathbf{q}) = \sum_{j=1}^n \sum_{i \neq j} \mathcal{V}(\|\mathbf{q}^i - \mathbf{q}^j\|_2) \quad , \quad \mathcal{V}(\xi) = \xi^{-12} - \xi^{-6}.$ eq:LJP

$$(5.10.11)$$

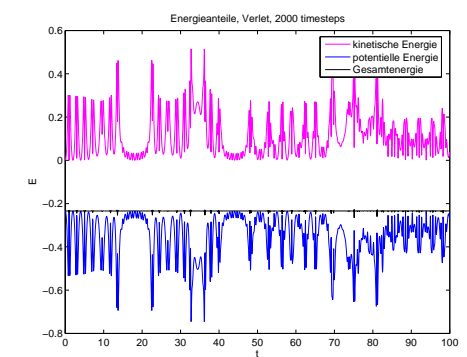
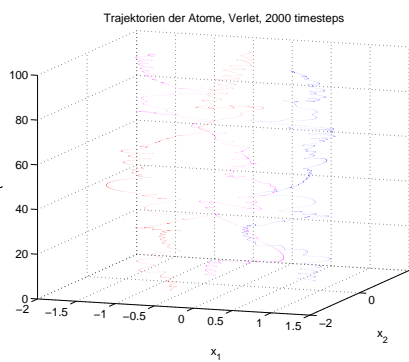
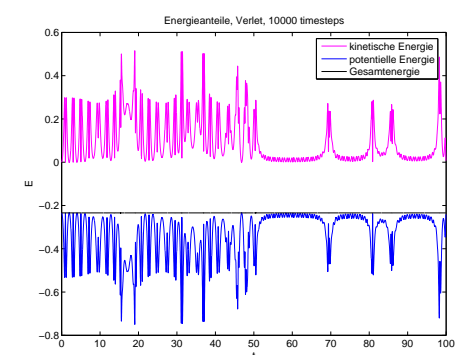
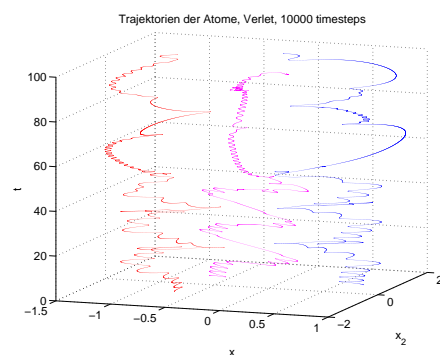
Bewegungsgleichungen (5.10.2):

$$\dot{\mathbf{p}}^j = - \sum_{i \neq j} \mathcal{V}'(\|\mathbf{q}^j - \mathbf{q}^i\|_2) \frac{\mathbf{q}^j - \mathbf{q}^i}{\|\mathbf{q}^j - \mathbf{q}^i\|_2} \quad , \quad \dot{\mathbf{q}}^j = \mathbf{p}^j, \quad j = 1, \dots, n.$$

► Störmer-Verlet-Verfahren (5.10.10):

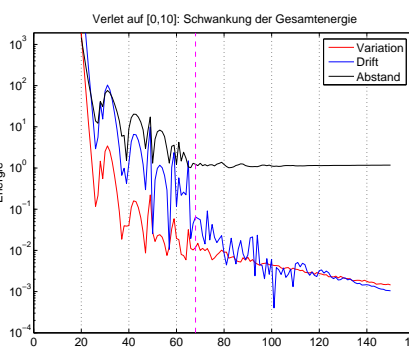
$$\begin{aligned} \mathbf{q}_h(t + \frac{1}{2}h) &= \mathbf{q}_h(t) + \frac{h}{2} \mathbf{p}_h(t), \\ \mathbf{p}_h^j(t + h) &= \mathbf{p}_h^j(t) - h \sum_{i \neq j} \mathcal{V}'(\|\mathbf{q}_h^j(t + \frac{1}{2}h) - \mathbf{q}_h^i(t + \frac{1}{2}h)\|_2) \frac{\mathbf{q}_h^j(t + \frac{1}{2}h) - \mathbf{q}_h^i(t + \frac{1}{2}h)}{\|\mathbf{q}_h^j(t + \frac{1}{2}h) - \mathbf{q}_h^i(t + \frac{1}{2}h)\|_2}, \\ \mathbf{q}_h(t + h) &= \mathbf{q}_h(t + \frac{1}{2}h) + \frac{h}{2} \mathbf{p}_h(t + h). \end{aligned}$$

Simulation mit $d = 2, n = 3, \mathbf{q}^1(0) = \frac{1}{2}\sqrt{2}(-1), \mathbf{q}^2(0) = \frac{1}{2}\sqrt{2}(1), \mathbf{q}^3(0) = \frac{1}{2}\sqrt{2}(-1), \mathbf{p}(0) = 0$, Endzeitpunkt $T = 100$



5.10
p. 653

5.10
p. 655



Beispiel 248 (Harmonischer Oszillator).

Modellproblem für (5.10.2): $p, q \in \mathbb{R}, \Omega = \mathbb{R}^2, H(p, q) = \frac{1}{2}p^2 + \frac{1}{2}aq^2$

$$(5.10.12) \quad \text{eq:harmosc} \quad \dot{p} = -aq, \quad \dot{q} = p \Leftrightarrow \ddot{q} = -aq^2. \quad (5.10.12) \quad \text{eq:harmoc}$$

Äquivalente Formulierung des Störmer-Verlet-Verfahrens (5.10.10) für (5.10.12)

5.10
p. 654

5.10
p. 656

$$\begin{aligned} q_h(t - \frac{1}{2}h) &= q_h(t - h) + \frac{1}{2}hp_h(t - h), & q_h(t + \frac{1}{2}h) &= q_h(t) + \frac{1}{2}hp_h(t), \\ p_h(t - h) &= p_h(t - h) - ahq_h(t - \frac{1}{2}h), & p_h(t + h) &= p_h(t) - ahq_h(t + \frac{1}{2}h), \\ q_h(h) &= q_h(t - \frac{1}{2}h) + \frac{1}{2}hp_h(t), & q_h(t + h) &= q_h(t + \frac{1}{2}h) + \frac{1}{2}hp_h(t + h), \end{aligned}$$

⇓

$$q_h(t + h) - 2q_h(t) + q_h(t - h) = -ah^2 q_h(t) \quad (5.10.13)$$

Dreitermrekursion

Ansatz: $q_h(kh) = \xi^k \quad \xrightarrow{(5.10.13)} \quad \xi^2 - (2 - ah^2)\xi + 1 = 0$

Characteristische Gleichung von (5.10.13)

$\exists \xi_* \in \mathbb{C}: \xi_*^2 - (2 - ah^2)\xi_* + 1 = 0 \quad \wedge \quad |\xi_*| > 1 \iff ah^2 > 4.$

\exists Lösungen von (5.10.13): $|q_h(kh)| \rightarrow \infty$ für $k \rightarrow \infty \quad \Rightarrow \quad$ Instabilität

5.11 Splittingverfahren

[File: section-splittingverfahren.tex, SVN: section-splittingverfahren.tex 1300 2007-02-01 15:58:07Z kalai]

Autonomes AWP mit additiv zerlegter rechter Seite:

$$\dot{\mathbf{y}} = f(\mathbf{y}) + g(\mathbf{y}), \quad \mathbf{y}(0) = \mathbf{y}_0,$$

mit $f: \Omega \subset \mathbb{R}^d \mapsto \mathbb{R}^d, g: \Omega \subset \mathbb{R}^d \mapsto \mathbb{R}^d$ Lipschitz-stetig.

Evolutionen:

$\Phi_f^t \leftrightarrow$ AWP für $\dot{\mathbf{y}} = g(\mathbf{y}),$
$\Phi_g^t \leftrightarrow$ AWP für $\dot{\mathbf{y}} = h(\mathbf{y}).$

Annahme: Φ_f^t, Φ_g^t (analytisch) bekannt



Idee: Konstruiere Einschrittverfahren gemäß

$$\begin{aligned} \mathbf{y}_h(t+h) &= (\Phi_g^h \circ \Phi_f^h) \mathbf{y}_h(t), \\ \mathbf{y}_h(t+h) &= (\Phi_f^{h/2} \circ \Phi_g^h \circ \Phi_f^{h/2}) \mathbf{y}_h(t). \end{aligned} \quad (5.11.1)$$

Terminologie:

Splitting (5.11.2) $\stackrel{\text{eq:lietrotter}}{=} \text{Lie-Trotter-Splitting}$
 Splitting (5.11.3) $\stackrel{\text{eq:strang}}{=} \text{Strang-Splitting}$

Theorem 5.11.1 (Konsistenzordnung einfacher Splittingverfahren). Die ESV (5.11.2) und (5.11.3) haben die Konsistenzordnungen (\rightarrow Def. 5.4.2) 1 bzw. 2.

Beispiel 249 (Konvergenz einfacher Splittingverfahren).

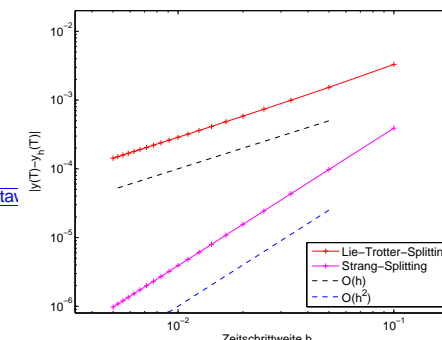
$$\dot{y} = \lambda \underbrace{y(1-y)}_{=:f(y)} + \sqrt{1-y^2} \quad , \quad y(0) = 0.$$

$=:g(y)$

► $\Phi_f^t y = \frac{1}{1 + (y^{-1} - 1)e^{-\lambda t}}, t > 0, y \in]0, 1]$ (Logistische Differentialgleichung (5.3.4))

► $\Phi_g^t y = \begin{cases} \sin(t + \arcsin(y)) & , \text{ falls } t + \arcsin(y) < \frac{\pi}{2}, \\ 1 & , \text{ sonst,} \end{cases} t > 0, y \in [0, 1].$

5.11
p. 657



Numerisches Experiment:

$T = 1, \lambda = 1$, Vergleich von Splittingverfahren (konstante Schrittweite) mit hochgenauer numerischer Lösung erhalten durch

```
f=@(t,x) lambda*x*(1-x)+sqrt(1-x^2);
options=odeset('reltol',1.0e-10,...'abstol',1.0e-12);
[t,yex]=ode45(f,[0,1],y0,options);
```

▷ Fehlerverhalten zum Endzeitpunkt $T = 1$



Idee: Ersetze

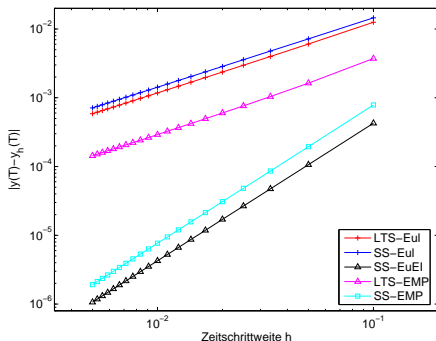
Exakte Evolutionen \rightarrow diskrete Evolutionen
 $\Phi_g^h, \Phi_f^h \rightarrow \Psi_{h,g}^h, \Psi_{h,f}^h$

Beispiel 250 (Inexakte Splittingverfahren). Forsetzung Bsp. 249

AWP von Bsp. 249, Inexakte Splittingverfahren auf der Grundlage verschiedener inexakter Basisverfahren:

5.11
p. 658

5.11
p. 659



SS-EuEl = symmetrisches Einschrittverfahren → Def. 5.10.6

LTS-Eul	Explizites Eulerverfahren (5.3.1) → $\Psi_{h,g}^h, \Psi_{h,f}^h +$ Lie-Trotter-Splitting (5.11.2)
SS-Eul	Explizites Eulerverfahren (5.3.1) → $\Psi_{h,g}^h, \Psi_{h,f}^h +$ Strang-Splitting (5.11.3)
SS-EuEl	Strang-Splitting (5.11.3); Explizites Eulerverfahren (5.3.1) \circ exakte Evolution Beachte: $\Phi_g^h \circ$ implizites Eulerverfahren (5.3.1)
LTS-EMP	Explizite Mittelpunktsregel (5.3.6) → $\Psi_{h,g}^h, \Psi_{h,f}^h +$ Lie-Trotter-Splitting (5.11.2)
SS-EMP	Explizite Mittelpunktsregel (5.3.6) → $\Psi_{h,g}^h, \Psi_{h,f}^h +$ Strang-Splitting (5.11.3)

Gesamtzahl der Zeitschritte

ode45:	152
LT-Euler, $h = 0.04$:	25
LT-Euler, $h = 0.02$:	50
ST-MPExpl, $h = 0.05$:	20

LT-Euler: $\dot{y} = \lambda y(1 - y) \rightarrow$ exakte Evolution, $\dot{y} = \alpha \sin y \rightarrow$ expl. Euler (5.3.1) & Lie-Trotter-Splitting (5.11.2)
ST-MPExpl: $\dot{y} = \lambda y(1 - y) \rightarrow$ exakte Evolution, $\dot{y} = \alpha \sin y \rightarrow$ expl. Mittelpunktsregel (5.3.6) & Strang-Splitting (5.11.3)

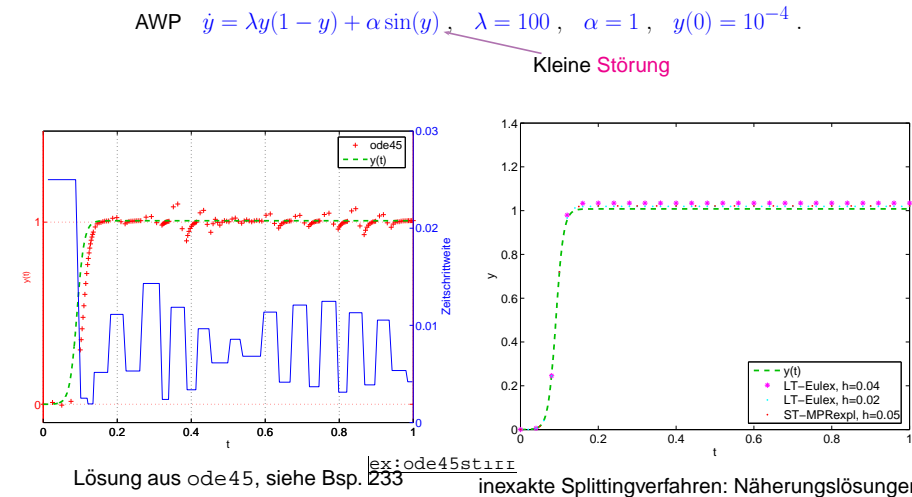
Klar: Störung $\uparrow \Rightarrow$ obige Splittingverfahren schlechter

$\lambda = 100$ und $\alpha = 100$:

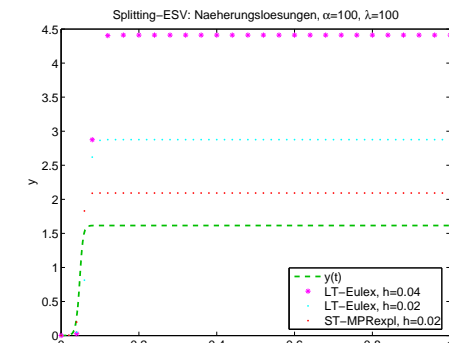
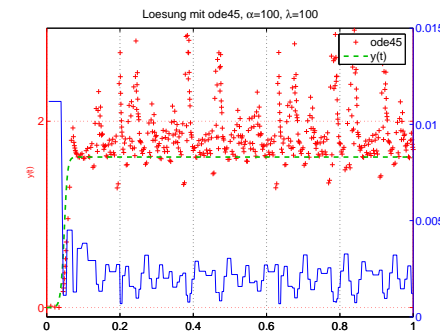
Warum das Ganze ?

$\dot{y} = f(y) + g(y)$ „schwierig“ $\dot{y} = f(y) \rightarrow$ Steifheit, aber analytisch integrierbar
(z.B. steif → Abschn. 5.7.1) $\dot{y} = g(y)$ „einfach“ (explizit) numerisch integrierbar

Beispiel 251 (Abspaltung steifer Anteile). vgl. Bsp. 233



5.11
p. 661



5.12 Verfahren für oszillatorische Differentialgleichungen

[File: section-verfahren-fuer-oszillatorische-probleme.tex, SVN: section-verfahren-fuer-oszillatorische-probleme.tex 1183 2006-11-29 10:46:03Z hipmair]

5.11
p. 662

5.11
p. 663

Prototyp:

$$\ddot{y} = -\omega^2 y \quad , \quad y(0) = y_0, \quad \dot{y}(0) = v_0$$

$$\Rightarrow y(t) = \alpha \cos(\omega t) + \beta \sin(\omega t), \quad \alpha, \beta \in \mathbb{R}$$

Verallgemeinerung (skalar):

$$\ddot{y} = -\omega^2 y + g(y) \quad , \quad y(0) = y_0, \quad \dot{y}(0) = v_0, \quad (5.12.1)$$

mit Lipschitz-stetiger Störung $g : \mathbb{R} \mapsto \mathbb{R}$.

Verallgemeinerung (vektoriell)

$$\ddot{\mathbf{y}} = -\mathbf{A}\mathbf{y} + \mathbf{g}(\mathbf{y}) \quad , \quad \mathbf{y}(0) = \mathbf{y}_0, \quad \dot{\mathbf{y}}(0) = \mathbf{v}_0, \quad (5.12.2)$$

$\mathbf{A} \in \mathbb{R}^{d,d}$ symmetrisch positiv definit (\rightarrow Def. 3.2.8), $\mathbf{g} : \mathbb{R}^d \mapsto \mathbb{R}^d$

Bemerkung 252.

$$(5.12.1) \quad \frac{d}{dt} \begin{pmatrix} y \\ v \end{pmatrix} = \begin{pmatrix} 0 & 1 \\ -\omega^2 & 0 \end{pmatrix} \begin{pmatrix} y \\ v \end{pmatrix} + \begin{pmatrix} 0 \\ g(y) \end{pmatrix}. \quad (5.12.3)$$

Lösung von (5.12.3) durch Variation der Konstanten:

$$\begin{pmatrix} y(t) \\ v(t) \end{pmatrix} = \begin{pmatrix} \cos t\omega & \omega^{-1} \sin t\omega \\ -\omega \sin t\omega & \cos t\omega \end{pmatrix} \begin{pmatrix} y_0 \\ v_0 \end{pmatrix} + \int_0^t \begin{pmatrix} \omega^{-1} \sin(t-s)\omega \\ \cos(t-s)\omega \end{pmatrix} g(y(s)) ds. \quad (5.12.4)$$

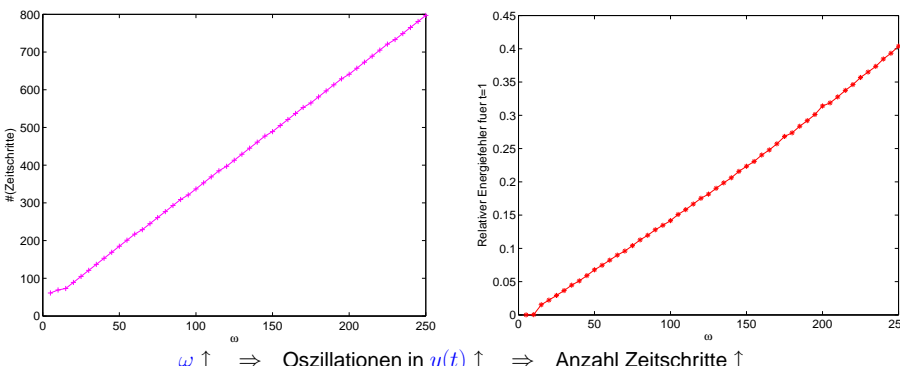
Bemerkung 253. $y(t)$ löst (5.12.1) & $G' = g \Rightarrow \frac{1}{2}|\dot{y}|^2 + \frac{1}{2}\omega^2 y(t) - G(y(t)) \equiv \text{const.}$

„Energie“ für ODE (5.12.1)

Beispiel 254 (Standardintegratoren für oszillatorische Differentialgleichung).

Adaptives explizites RK-ESV (Abschn. 5.4.1) für (5.12.1):

```
Y0=[1;0]; f=@(t,x) [0,1;-omega^2,0]*x + 20*[0;sin(x(1))];  
options=odeset('reltol',1.0e-2,'abstol',1.0e-5);  
[t,y]=ode45(f,[0,1],y0,options); % Invariante aus Bern. 253
```



Ziel: Effiziente numerische Integration von (5.12.1)/(5.12.2) auch für $\omega \gg 1$ bzw. $\lambda_{\max}(\mathbf{A}) \gg 1$

Idee: Verwende analytische Lösungsdarstellung (5.12.4) zur numerischen Integration:



$$y(t \pm h) = \cos(h\omega)y(t) \pm \frac{\sin h\omega}{\omega} \dot{y}(t) + \int_0^{\pm h} \frac{\sin(\pm h-s)\omega}{\omega} \cdot g(y(t+s)) ds. \quad (5.12.5)$$

$$q \equiv \text{const.} \quad \Rightarrow \quad y(t+h) - 2\cos(h\omega)y(t) + y(t-h) = h^2 \left(\frac{\sin(\frac{1}{2}h\omega)}{\frac{1}{2}h\omega} \right)^2 g. \quad (5.12.6)$$

\Rightarrow Gautschis Zweischrittverfahren ($y_h(t+h)$ aus $y_h(t), y_h(t-h)$) für (5.12.1)

$$y_h(t+h) - 2\cos(h\omega)y_h(t) + y_h(t-h) = h^2 \left(\frac{\sin(\frac{1}{2}h\omega)}{\frac{1}{2}h\omega} \right)^2 g(y_h(t)). \quad (5.12.7)$$

Notwendig: Startschrift aus (5.12.4)

$$y_h(h) = \cos(h\omega)y_0 + \frac{\sin h\omega}{\omega}v_0 + \frac{1}{2}h^2 \left(\frac{\sin(\frac{1}{2}h\omega)}{\frac{1}{2}h\omega} \right)^2 g(y_0). \quad (5.12.8)$$

5.12
p. 665

Ableitungs Näherung: Aus (5.12.5) für $g \equiv \text{const.}$

$$\Rightarrow y(t+h) - y(t-h) = 2h \frac{\sin h\omega}{h\omega} \dot{y}(t) \Rightarrow v_h(t) = \frac{h\omega}{\sin h\omega} \cdot \frac{y_h(t+h) - y_h(t-h)}{2h}. \quad (5.12.9)$$

Bemerkung 255. Gautschis Verfahren (5.12.7), (5.12.8) für vektorielles Problem (5.12.2)?

$$\text{Ersetze } \cos(h\omega) \mapsto \cos h\mathbf{A}, \quad \left(\frac{\sin(\frac{1}{2}h\omega)}{\frac{1}{2}h\omega} \right)^2 \mapsto 4(h\mathbf{A})^{-2} \sin^2(\frac{1}{2}h\mathbf{A}).$$

Erinnerung: Funktionalkalkül für Matrizen:

$$\mathbf{S}^{-1} \mathbf{A} \mathbf{S} = \text{diag}(\lambda_1, \dots, \lambda_n) \Rightarrow f(\mathbf{A}) = \mathbf{S} \text{diag}(f(\lambda_1), \dots, f(\lambda_n)) \mathbf{S}^{-1}.$$

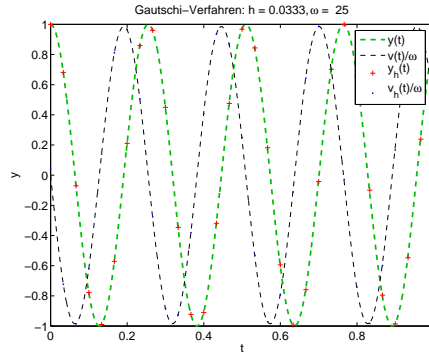
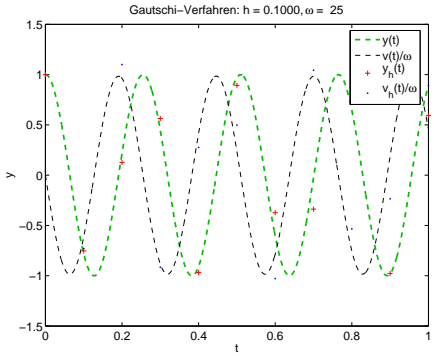
Beispiel 256 (Gautschis Zweischrittverfahren).

Anfangswertproblem vom Typ (5.12.1) auf $[0, 1]$:

$$\ddot{y} = -\omega^2 y + \sin y \quad , \quad y(0) = 1, \quad \dot{y}(0) = 0.$$

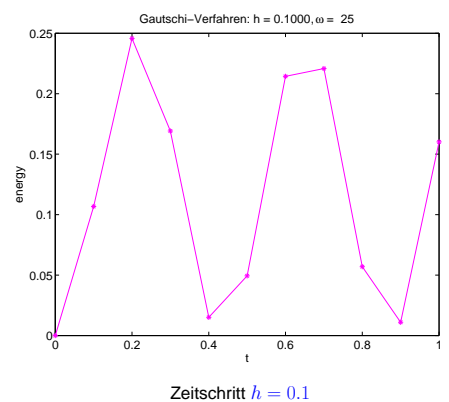
5.12
p. 666

5.12
p. 667

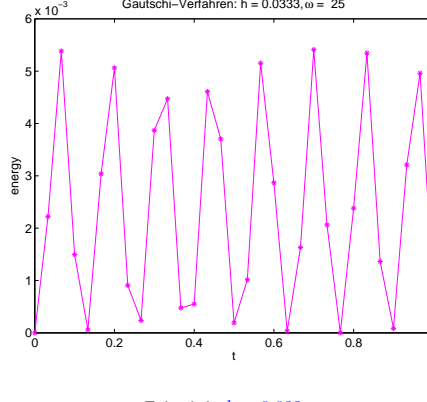


$\omega = 25$: y_h folgt (oszillatorischer Lösung), auch wenn $h \approx \frac{2\pi}{\omega}$

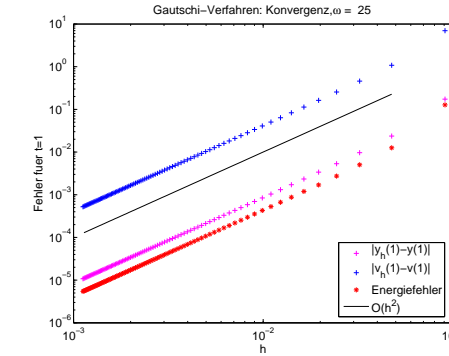
Relativer Fehler in „Energie“ (\rightarrow Bem. 253) für $t = 1$:



Zeitschritt $h = 0.1$



Zeitschritt $h = 0.033$



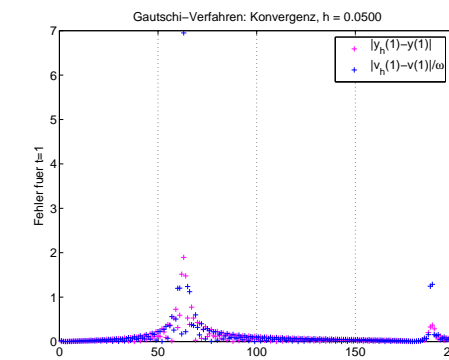
Beobachtung:

$$\begin{aligned} \text{Alle Fehler } &\approx O(h^2) \\ \Updownarrow \\ \text{Konvergenzordnung 2} \end{aligned}$$

Ziel erreicht ?

Fehler für fixes h in Abhängigkeit von ω :

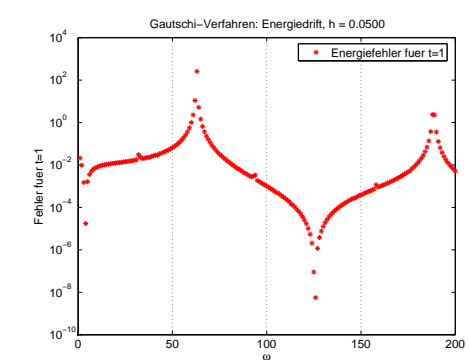
5.12
p. 669



$h = 0.05$: Was pasiert für $\omega \approx 61, \omega \approx 123, \omega \approx 185$?

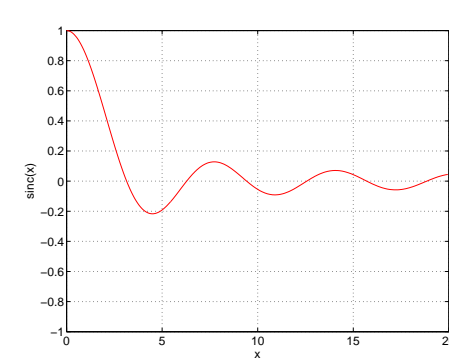
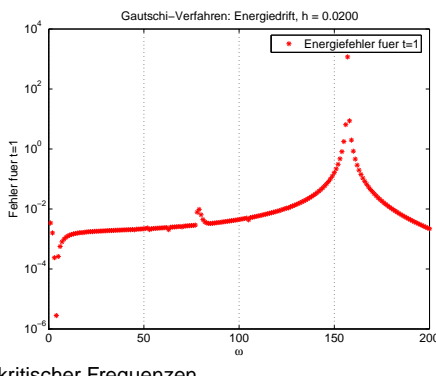
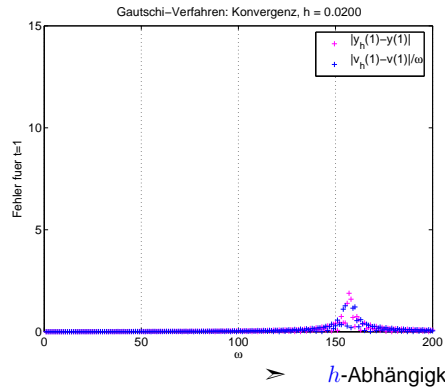
Instabilität ?

5.12
p. 670



5.12
p. 671

5.12
p. 672



Die sinc-Funktion:

$$\text{sinc}(x) := \frac{\sin x}{x}$$

- Analytisch auf \mathbb{R}
- $|\text{sinc}(x)| \leq 1$ mit globalem Maximum in $x = 0$

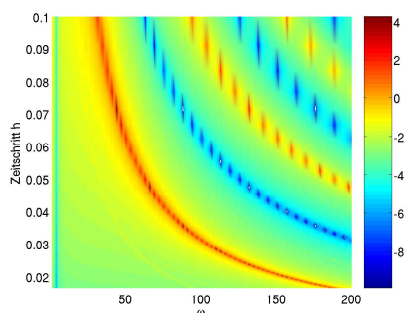


$h\omega$ -Abhängigkeit kritischer Frequenzen

Logarithmus \log_{10} des relativen Energiefehlers zum Endzeitpunkt $t = 0$

Beobachtung:

$h\omega$ -Abhängigkeit kritischer Frequenzen



Modellproblem:

$$iy = -\omega^2 y + \alpha y, \quad \alpha \ll \omega^2.$$

► Gautschi-Verfahren (5.12.7), Schrittweite h : Dreitermrekurrenz, vgl. (5.10.13),

$$y_h(t+h) - \left\{ 2 \cos(h\omega) + h^2 \alpha \text{sinc}^2\left(\frac{1}{2}h\omega\right) \right\} y_h(t) + y_h(t-h) = 0. \quad (5.12.11)$$

(leg:gautschi) (leg:stv3t) (leg:gauts)

(leg:gaufilt) (leg:oscmp cos xi))

5.12

p. 673 Abhilfe (30): „Filterung“: Dämpfung von α , falls $h\omega \approx 2\pi l$:

In (5.12.7), (5.12.8) ersetze: $g(y_h(t)) \mapsto g(\psi(h\omega)y_h(t))$, $\psi(\xi) := \text{sinc}^2 \xi (1 + \frac{1}{2}(1 - \cos \xi))$

► Modifiziertes Gautschi-Verfahren:

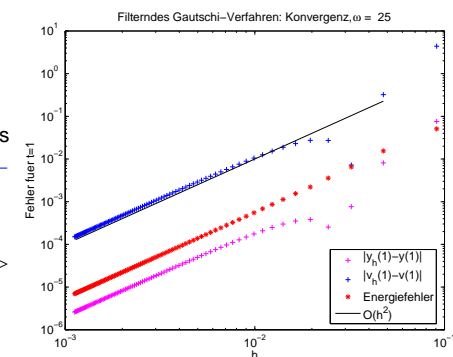
$$y_h(t+h) - 2 \cos(h\omega) y_h(t) + y_h(t-h) = h^2 \left(\frac{\sin(\frac{1}{2}h\omega)}{\frac{1}{2}h\omega} \right)^2 g(\psi(h\omega)y_h(t)). \quad (5.12.12)$$

Beispiel 257 (Modifiziertes Gautschi-Verfahren).

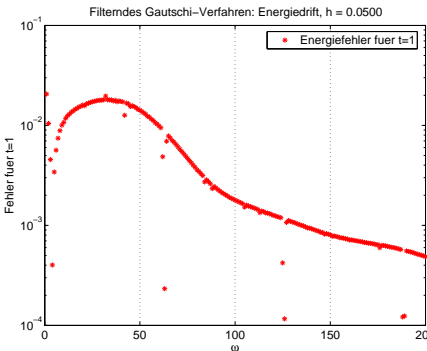
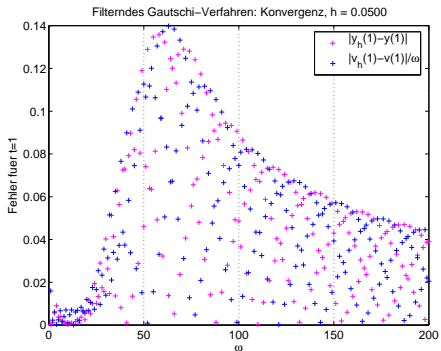
AWP aus Bsp. 5.12.7, Integration gemäss (5.12.12), Filterfunktion $\psi(\xi) := \text{sinc}^2 \xi (1 + \frac{1}{2}(1 - \cos \xi))$

Konvergenzordnung 2

5.12
p. 674



5.12
p. 676

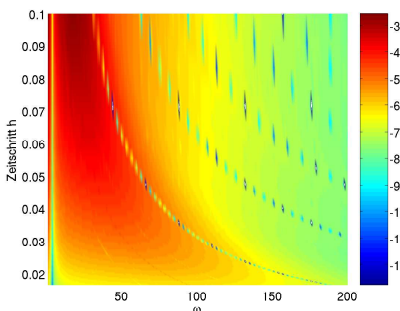


$h\omega$ -Abhängigkeit der Energiedrift

Beobachtung:

(5.12.12): \bullet Keine Instabilität

- \bullet Im Vergleich zu (5.12.7) (\rightarrow)
Bsp. 256) deutlich reduzierte
Energiedrift (Skala!)



5.12
p. 678

Verzeichnisse

5.12
p. 677

Index

- T-Reversibilität, 629
- Ähnlichkeitstransformationen, 204
- unitäre, 209
- Überlauf, 26, 32
- Givens-Rotation, 181
- 3-Term-Rekursion, 457
- für Tschebyscheff-Polynome, 377
- 5-Punkt-Stern-Operator, 329
- A-Skalarprodukt, 281
- Abbruchkriterium, 62
- A posteriori, 63
- A priori, 63
- Ausnutzung von Gleitpunktarithmetik, 28
- CG-Verfahren, 291
- Maschinennahmehängig, 28, 63
- Maschinennahmehängig Quadratur des Kreises, 42
- Newton, 101
- Residuenbasiert, 62
- vorkonditioniertes CG-Verfahrens, 302
- Ableitung bei nichtlinearem Ausgleichsproblem, 117
- Adaptive Quadratur, 526
- a posteriori Fehlerabsch., 526
- Gitterverfeinerung, 526
- Mehrgitter-, 527
- Affin-Invarianz, 99
- Affin-Kovarianz
- Runge-Kutta, 568
- AGM, 61
- Aitken-Neville-Schema, 362
- Algorithmus
- Levinson, 349
- Remes, 420
- Alternanten, 419
- Tschebyscheffscher Satz, 419
- Analytizitätsgebiet, 400
- Funktionen, 400
- AnfangswertProblem, 546
- autonom, 548
- Anfangswertproblem
- Differential-Algebraische, 607
- Steifes, 594
- Approximation

5.12
p. 679

Niedrigrang, 445	Orthonormal (Krylov), 235	Energie	Fehler
polynomiale LSG, 411	Sinus, 325	für oszillatorische Differentialgleichung, 642	Relativer, 18
Arnoldi-Prozess, 235	Trigonometrische, 310	kinetische, 617	Fehlgleichung, 280
Asymptotisches Fehlerverhalten, 369	Bauelementgleichungen, 135	potentielle, 617	Fehlerschätzung
Aufrunden, 28	Bedingung	Energiedrift, 621, 655	linear konvergente Iteration, 64
Ausgleichsproblem	Galerkin, 281, 283	Energieerhaltung, 617	zeitlokal, 579
Lineares, 262	Bernstein-Polynome, 499	Energienorm, 228	Fehlerverhalten
Mit linearen Nebenbedingungen, 276	Besetzungs muster, 176	Entwicklung	Asymptotisch, 369
Totales, 275	Bestapproximation durch Niedrigrangmatrizen, 256	asymptotisch, 364	Fernfeld, 435
Auslöschung, 37	Bewegungsgleichungen	Ergebnismenge, 34	FFT, 315
bei Householdertransformation, 180	Molekulardynamik, 631	ESV	Fill-in, 159, 168
Definition, 38	Newtonsc he, 547	Radau, Ordnung 3, 602	Fitten
Exponentia lfunktion, 40	Newtonsc he Hamiltonsc he Form, 547	Radau, Ordnung 5, 602	Polynomiales, 264
Quadratur des Kreises, 41	Bilddatenkompression, 259	Euler	Fixpunkt, 66
Vorwärts- & Rückwärtssubstitution, 154	Bisektionsverfahren, 76	Implizit, 602	abstossend, 73
Auslöschn gsfrei	Black-Box-Methoden, 229	Eulersche Methode, 86	anziehend, 73
Quadratur des Kreises, 42	BLAS-Bibliothek, 126	Eulerverfahren	Fixpunktiteration, 66
Axiom der Gleitpunktarithmetik, 30	Blow-up, 549, 550	explizit, 559	Konsistent, 66
Auslöschung, 39	Bootstrapping, 563	explizites, Stabilitätsfunktion, 590, 591	lokal kubische Konvergenz, 85
Numerische Differentiation, 46	Bounding Box, 440	implizit, 560	Form
backward error analysis, 48	Broyden	symplektisch, 622	erhaltende Splineinterpolation, 490
Bandbreite, 169	Quasi-Newton-Verfahren, 108	Evolution	erhaltung, 472
obere, 169	Broyden-Verfahren	diskrete, 559, 562, 612	Fourier
reduktion, 172	Konvergenzmonitor, 111, 112	Operator, 550	Koeffizienten, 396
untere, 169	Broydens Rang-1-Modifikation, 108	Exponentia lfunktion	Matrix, 311
Zeilen-, 170	Butcher-Schema, 564	Auslöschung, 40	Reihe, 396
Baryzentrische Interpolationsformel, 361	CG	Exponentialreihe, 18	Fourier-Matrix Zerlegung, 317
Basis	Konvergenz und Spektrum, 298	Exponentielle Konvergenz, 381	Fouriertransformation
Hierarchisch, 541, 542	Konvergenzgeschwindigkeit, 293	Extrapolation, 364	Diskrete, 310
Kosinus, 334	Verfahren Abbruchkriterium, 291	5.12 Faltung	Funktion
Orthonormal, 184, 205, 412	CG-Verfahren, 280	diskrete, 336	Analytizitätsgebiet, 400
Characteristic Gleichung, 635	Riccati, 551	shandles, 99	Lineares, 135
chebyscheff-Polynome	stationäre Punkte, Evolution, 588	Skalierungs-, 532, 541	Gleitkommazahl, 24
3-Term-Rekursion, 377	Variation der Konstanten, 554	fzero, 77	Gleitpunktarithmetik, 27
Cholesky, 165	Differential-Algebraische Anfangswertprobleme, 607	Galerkin-Bedingung, 281, 283	Gradient, 118
Cholesky-Zerlegung	Differenzenquotient, 45	Gauss	Gram-Schmidt
Rechenaufwand, 165	Dilatation, 532	Kollokation, 612	Orthogonalisierung (CG), 285
Unvollständige, 232	Direkte Potenziteration im Unterraum, 224	Kollokations-ESV, 613	Orthonormalisierung, 236, 413
Cluster	Direkte Potenzmethode, 215	Punkte, 514	Hülle, 170
-ing Approximation, 425	Diskrete	Quadratur, 510	Halleysche
Clusteringapproximation	Faltung, 336	Gauss-Radau-Quadratur, 601	Iteration, 80
Aufgabenstellung, 425	Diskrete Fouriertransformation, 310	Gaußelimination, 142	Methode, 86
Compressed-Row-Storage, 128	Diskretisierungsfehler, 572	Gautschi-Verfahren, 644	Hamilton-Funktion, 629
Computerarithmetik, 13	divide and conquer, 318	Filterung, 653	Molekulardynamik, 631
Cosinustransformation, 334	Double Precision, 25	modifiziertes, 653	Hamiltonsc he Gleichung, 617
Crout	Dreiecksform	Gautschis Zweischrittverfahren, 644	Handle MATLAB-Funktion bei Bisektionsverfahren, 77
Algorithmus von, 149	obere, 143	Gedämpftes Newton-Verfahren, 104	Harmonischer Oszillator, 634
CRS, 128	Dreiecksgleichung, 56	Genauigkeit	Harmonisches Mittel, 491
Cuthill & McKee, 175	Dreitermrekursion, 635	Doppelte, 25	Hauptkomponentenanalyse, 257
Algorithmus, 175	skalar, 461	Einfache, 25	Hermite
Dämpfungsfaktor, 104	Effizienz, 92	Gershgorin-Kreise, 231	Lagrange, 354
Definitheit, 56	Eigenvektor	Ghost Eigenvalues, 248	Hermite-Interpolation
Dezimalzahlen	Links-, 207	Gibbsches Phänomen, 394	kubisch, 357
<i>m</i> -stellig, 23	Eigenwert	Gitterfunktion, 330	Hesse-Matrix
DFT, 312, 529	-problem, 203	Gitterverfeinerung	bei Nichtlinearem Ausgleichsproblem, 116
Reelle, 320	-problem Verallgemeinertes, 213	Lokal, adaptive Quadratur, 526	Definition, 118
Diagonalisierung lokaler translationsinvarianter linearer Operatoren, 329	Arnoldi-Verfahren, 239	Givens-Rotation, 180, 187, 191, 199, 202	Homogenität, 56
Differentialgleichung	Eingabedaten, 34	Gleichung	Hornerschema, 353
Lineare konst. Koeffizienten, 552	Einpunktverfahren, 78, 80	Hamilton, 617	Householder-Reflektion, 180
Logistische, 560	Einschrittverfahren	nichtlineare, 53	IEEE Standard 754, 24
Lotka-Volterra , 552	symmetrisch, 627	Gleichungssystem	Impulskoordinate, 617
	Elektrisches Netzwerk, 135	dünnbesetzt, 167	5.12 p. 684

In situ, 149	
inf, 26	
Infinity, 26	
Inkременте	
Kollokation, 559	
Runge-Kutta, 564	
Instabilität, 634, 635	
Gautschi-Verfahren, 649	
Interpolation	
Baryzentrische Formel, 361	
Inverse, 90	
kubische Hermite-, 477	
Lagrange, 354	
Spline formerhaltend, 490	
Spline kubisch, 483	
Spline kubisch, Lokalität, 486	
Spline natürlich kubisch, 484	
Spline periodisch kubisch, 484	
Spline vollständig kubisch, 484	
Trigonometrische, 405	
Tschebyscheff, 405	
Inverse Iteration, 219	
vorkonditionierte, 225	
Iteration	
-sfunktion, 66	
-sfunktion Startwert, 66	
-sverfahren, 54	
Inverse, 219	
Inverse mit Shift, 219	
vorkonditionierte inverse, 227	
Iterationsverfahren	
Spektrale, 229	
Konditionszahl	
absolut, 34, 207	
relative, 35, 137	
Konsistent	
Fixpunktiteration, 66	
Konsistenz	
Iterationsverfahren, 55	
Ordnung, 577	
Konsistenzordnung, 636	
Konstante	
Lebesque, 380	
konvergent, 54	
Konvergenz, 54	
p-te Ordnung, 60	
Algebraische, 369	
Algebraische bei trig. Interp., 393	
Algebraische polynom. Fitten, 417	
Algebraische, Quadratur, 519	
Asymptotische, 72	
des CG-Verfahrens, 298	
Exponentielle, 369, 371	
Exponentielle , 381	
Exponentielle bei trig. Interp., 393, 402	
Exponentielle polynom. Fitten, 416	
Exponentielle, Quadratur, 518	
global, 55	
Kollokationsverfahren, 560	
kubisch notwendige Bedingung , 85	
Linear, 57	
Linear bei Gauss-Newton, 122	
konvergent, 54	
Konvergenz, 54	
Iterierte $x^{(k)}$, 54	
Jacobi-Vorkonditionierer, 230	
Jacobimatrix, 71	
Kardinalsspline, 486	
Keplerproblem, 578	
Kernfunktion, 425, 426	
separiert, 428	
Kettenregel, 117	
Kirchhoffsche Regel, 135	
Knoten, 354	
analyse, 135	
Doppelte, 354	
Einfache, 354	
potentiale, 135	
Tschebyscheff, 379, 380	
Knotenanalyse, 164	
Kollokation, 557	
Inkременте, 559	
Verfahren, Konvergenz, 560	
Kollokations	
Einschrittverfahren, 577	
RK-ESV, 601	
Kollokationsmatrix, 425, 426	
Komplexität, 125	
Kondensator, 135	
Kondition, 33	
analyse, differentielle, 554	
sanalyse differentielle, 35	
lokal (Newton), 102	
lokal kubisch bei Fixpunktiteration, 85	
lokal quadratisch, 80	
lokal quadratisch bei gedämpften Newtonverfahren, 121	
lokal quadratisch(Newton), 100	
Ordnung, 60	
quadratisch notwendige Bedingung , 85	
quadratisch, Fixpunktiteration, 71	
quadratisch, Wurzeliteration, 61	
Rate, 57	
Rate Sekantenverfahren, 89	
Konvergenzanalyse	
Fixpunktiteration, 69	
Konvergenzgeschwindigkeit	
CG, 293	
Konvergenzmonitor	
bei Broyden-Verfahren, 111, 112	
Konvergenzordnung	
explizit, Euler, 576	
explizit, Mittelpunktsregel, 576	
explizit, Trapezregel, 576	
implizit, Euler, 576	
implizit, Trapezregel, 576	
Klassisches RKV, 576	
Kuttas 3/8-Regel, 576	
Kosinus	
basis, 334	
transformation, 334	
Kosinustransformation, 334	
Krylov-Unterraumverfahren, 233, 279	
Kubische Hermite-Interpolation, 357	

Lagrange-Multiplikator, 277, 608	Mantisse, 24
Lanczos-Prozess, 241	Maschinengenauigkeit, 29, 30
Landau-Notation, 39, 125	Maschinenzahl, 24
Langzeitverhalten, 620	Basis, 24
Lebesque	betragsgrösste, 24
Konstante, 380	betragskleinste, 24
Legendre-Polynome, 457	Exponentenbereich, 24
Leitwertmatrix, 164	Mantisse, 24
Lemma	Matlab, 9
Schursches, 205	Matrix
Störungs, 138	Dünnbesetzt, 127, 158
Levinson-Algorithmus, 349	Energienorm, 228
Limiter, 480	Fourier, 311
lineare Korrelationen, 257	Fourier (Zerlegung), 317
lineare Operatoren	Hermitesch, 163, 205
Diagonalisierung, 329	Hesse, 116, 118
lineares Ausgleichsproblem, 262	Kollokations-, 425
lineares elektrisches Netzwerk, 135	Norm, 137
lineares Gleichungssystem, 135	normal, 205
Linearisierung	normalisierte untere Dreiecks, 147, 155
Axiom der Gleitpunktarithmetik, 39	obere Dreiecks, 147, 155, 197, 201
Lokale bei Newton-Iteration, 96	obere Hessenberg, 192, 236
Linkseigenvektor, 207	Orthogonal, 178
Lipschitz	Permutations, 201
Stetigkeit, lokale, 548	positiv definit, 163
Logistische Differentialgleichung, 637	positiv semidefinit, 163
Lokalität, 470	Propagations-, 555
Lotka-Volterra Differentialgleichung, 552	Rang, 137
LU-Zerlegung	regulär, 137
In situ, 149	Schieffermitesch, 205
Rechenaufwand, 150	Sinus, 325
5.12	minimum degree reordering, 176
p. 685	Mittelpunktsregel
	explizit, 564, 565
	implizit, 559
	implizit, Stabilitätsfunktion, 591
	Modelfunktionsverfahren, 78
	Modellfunktion, 78
	Modellproblem
	für gestörte oszillatorische Differentialgleichungen, 651
	Molekulardynamik, 631
	Multiplikation
	Polynom, 337
	Multiskalenbasen, 529
	Nahfeld, 435
	NaN, 26
	Newton
	Abbruchkriterium, 101
	Affin-Invarianz, 99
	Dämpfung, 104
	Dämpfungsfaktor, 104
	Iteration, 96
	Korrektur, 96
	lokal quadratische Konvergenz, 100
	natürlicher Monotonetest, 104
	Numerisches Differenzieren, 99
	vereinfachte Korrektur, 101
	vereinfachtes Verfahren, 99
	Newton-Verfahren
	1D, 78
	Newtoniteration
	n-dimensional, 96
5.12	p. 687
p. 686	

Nichtlinear			
Ausgleichsproblem, 115			
Ausgleichsrechnung, 115			
Regression, 120			
Niedrigrang-Approximation, 445			
Norm, 56, 133			
L^1 , 357			
L^2 , 357			
Äquivalenz, 57			
1-, 56, 133			
Energie-, 281			
Euklidisch, 56, 133			
Matrix, 71, 134			
Maximum, 56, 133			
Semi, 374			
Sobolev-Semi, 374			
Supremum, 357			
Normalengleichung, 272			
Erweiterte, 277			
Normalengleichungen, 272			
Normierungsbedingung			
Besselfunktionen, 465			
Not a Number, 26			
Nullabfrage			
Numerische, 31			
Nullstellen, 49			
Bestimmen von, 49			
Nullstellenbestimmung			
Modellfunktionsverfahren, 78			
Nullstellenformel, 50			
Numerische Differentiation			
Phänomen			
Gibbsches, 394			
Phasenraum, 546			
erweiterter, 546			
Molekulardhamik, 631			
Pivot			
-strategie, 152			
-suche, 152, 155			
-wahl, 154			
Element, 143, 144			
Zeile, 143, 144			
Pivotstrategie, 152			
Pivotsuche, 152			
Spalten-, 154			
Polynom, 352			
-iale LSQ-Approximation, 411			
Bernstein, 499			
charakteristisches, 204			
Lagrange, 355			
monomiale Darstellung, 352			
Multiplikation, 337			
Orthogonal, 513			
Probleme bei Auswertung, 21			
trigonometrisch, 386			
Polynomiales Fitten, 264			
Polynominterpolation			
allgemein, 354			
Potenziteration			
im Unterraum, 224			
Potenzmethode			
direkte, 215			
Rundungsfehlereinfluss, 45			
Numerische Rangbestimmung, 254			
Numerischer Algorithmus, 47			
Numerischer Rang, 268			
Obere Dreiecksform, 143			
Obere Hessenbergmatrix, 192, 236			
Ohmscher Widerstand, 135			
ONB, 412			
Operationen			
Elementare arithmetische, 30			
LEVEL I, 126			
LEVEL II, 126			
LEVEL III, 126			
Ordnung			
Gram-Quadratur, 510			
Ordnungsschranken, 577			
Orthogonalisierung			
Gram-Schmidt (CG), 285			
Orthogonalitätsverlust bei Lanczos, 245			
Orthogonalfpolynome, 457, 513			
Orthonormalbasis, 184, 205			
Orthonormalisierung			
Gram-Schmidt, 413			
Ortskoordinate, 617			
oszillatorische Differentialgleichungen, 641			
PCG			
vorkonditioniert, 301			
Pendelgleichung, 618			
Permutationsmatrix, 197			
Pfeilmatrix, 158			
power method, 215			
Problem			
Anfangswert, 546			
Anfangswert, autonom, 548			
Eigenwert (quadratisch), 203			
Gut konditioniertes, 34			
Mathematisch, 33			
Nichtlineares Ausgleichs-, 115			
Sattelpunkt, 277			
steifes Anfangswert, 594			
Produktregel, 117			
Projektion			
Ritz, 224, 234, 238			
Propagationsmatrix, 555			
Prozess			
Arnoldi, 235			
Lanczos, 241			
Punkt			
stationär, 552, 598			
QR-Algorithmus (mit Shift), 209			
Quadratisch inverse Interpolation, 86			
Mehrpunktverfahren, 91			
Quadratur			
Adaptive, 526			
Adaptive, a posteriori Fehlerabsch., 526			
Adaptive, Gitterverfeinerung, 526			
Adaptive, Mehrgitter-, 527			
formel, 506			
Gauss, 510			
Gauss Ordnung, 510			
Gauss-Radau, 601			
Gewichte, 506			
Knoten, 506			
Numerische, 506			
Zusammgesetzte -formeln, 519			
Quasi-Newton-Verfahren, 107, 108			
QZ-Algorithmus, 213			
Rücksubstitution, 143			
Rückwärtsfehleranalyse, 48			
Rückwärtsrekursion, 464			
Radau-ESV, Ordnung 3, 602			
Radau-ESV, Ordnung 5, 602			
Radau-RK-ESV, 612			
Radau-Verfahren, 610			
Rang			
einer Matrix, 137			
Numerischer, 268			
Spaltenrang, 137			
Zeilenrang, 137			
Rang-1-Modifikation			
Broyden, 108			
Rang-1-Modifikationen, 189			
Rangbestimmung			
numerisch, 254			
Raum			
Phasen-, 546			
Phasen-, erweiterter, 546			
Rayleigh-Quotienten-Iteration, 222			
Rechenaufwand, 92			
5.12	eig(), 211		
p. 689	Cholesky-Zerlegung, 165		
	Gaußelimination, 146		
	mechanisches System, 629		
	Riccati Differentialgleichung, 551		
	Ritz-Projektion, 224, 238		
	RK4, 567		
	Verfahren, Stabilitätsfunktion, 591		
	Rundung, 28		
	Rundungsfehler		
	Kapitel über, 27		
	Relativer, 29		
	Unvermeidlich, 28		
	Runge-Kutta		
	3/8-Regel, 568		
	Affin-Kovarianz, 568		
	Autonomisierung, 569		
	Autonomisierungsinvarianz, 569		
	Eingebettet , 580		
	Inkremental, 564		
	klassisch, 567		
	Runge-Kutta-Verfahren, 563		
	Sattelpunktproblem, 277		
	Satz		
	Peano & Picard-Lindelöf, 549		
	SAXPY, 126, 289		
	Schema		
	Aitken-Neville, 362		
	Horner, 353		
	Schnitt von Geraden, 34		
	Schriftweiten		
	beschränkung, 593		
	steuerung, ESV, 577		
	Schur		
			5.12
			p. 691

Interpolation periodisch kubisch, 484
 Interpolation vollständig kubisch, 484
 Kardinal, 486
Splitting
 Lie-Trotter, 636
 Strang, 636
Splittingverfahren, 635
 inexakte, 638
Spule, 135
Störmer-Verlet-Verfahren, 630
 Molekulardynamik, 632
Störungsanfälligkeit von Eigenwerten, 207
Stabil
 Algorithmus, 47
 numerisch, 47
Stabilität, 47
 -funktion, 602
 -funktion von Runge-Kutta-Verfahren, 590
 -sgebiet, 598
 Gauss-Kollokations-ESV, 600
Startschritt, 644
Startwert $x^{(0)}$, 54
stationäre Punkte
 Evolution Dgl., 588
steif
 Differentialgleichung, 639
Stetigkeit
 lokal Lipschitz, 548
Strahlungstransport, 338
Struktursymmetrie, 169
Substitution
 äquidistante, 523
Trapezregel, 508
 explizit, 564, 566, 573
 explizit, Stabilitätsfunktion, 591
 Implizit, 575
Tridiagonalmatrix, 169
Trigonometrische Basis, 310
Trigonometrische Interpolation, 405
 trigonometrisches Polynom, 386
Tschebyscheff-Interpolation, 405
Tschebyscheff-Knoten, 379, 380
Tschebyscheff-Polynome, 457
Tschebyscheffscher Alternantensatz, 419
Unitäre Ähnlichkeitstransformationen, 209
Unnormalisierte Zahlen, 26
Unterlauf, 26, 32
Unterraumkorrektur, 283
Variationsgleichung, 555
Variation der Konstanten, 554, 642
Variationsgleichung, 618
Verallgemeinertes Eigenwertproblem, 213
Verfahren
 Arnoldi, 239
 Bisektions-, 76
 Einschritt, implizit, 562
 Einschritt, Schrittwitzensteuerung, 577
 Euler, explizit, 559
 Euler, explizit, Stabilitätsfunktion, 590
 Euler, implizit, 560
 Euler, implizit, Stabilitätsfunktion, 591

Rück, 150
 Rück (bei Cholesky), 165
 Vorwärts, 150
 Vorwärts (bei Cholesky), 165
Supremumsnorm, 357
SVD, 267
 Ausgleichsrechnung, 278
Symmetrischer Gauss-Seidel Vorkonditionierer, 230
 symplektisch, 617
 symplektisches Integrationsverfahren, 619
 Symplektizität, 616
Töplitz-Matrizen, 344
 Taylorformel, 70
 mehrdimensional, 71
Teile-und-herrsche, 318
Tensorprodukt
 Interpolationspolynom, 430
 Tschebyscheff-Polynominterpolation, 431, 445
tic,toc, 131
Toleranz
 Absolut, 579
 Relativ, 579
Totales Ausgleichsproblem, 275
Transformation
 Ähnlichkeits, 204
 Kosinus, 334
 kovariant, 552
 schnelle Fourier, 315
 Sinus, 325
Translation, 532
Trapez-Regel
 Gauss-Newton, 118
 gedämpftes Newton-, 104
 Iterations-, 54
 Kollokation, Konvergenz, 560
 Kollokations-Einschritt, 577
 Krylov-Unterraum, 233
 kurze Rekursionen, 306
 Mehrpunkt, 87
 Newton, 95
 Quasi-Newton-, 107
 Radau, 610
 Residuenminimierend, 304
 RK4, Stabilitätsfunktion, 591
 Runge-Kutta, 563
 Runge-Kutta, Eingebettet, 580
 Runge-Kutta, klassisch, 567
 Sekanten, 87
 Störmer-Verlet, 630
 Trust-Region, 119
 vorkonditioniertes CG, 301
 Verfeinerungsrelationen, 535
 Vorkonditionierer, 229
 Gauss-Seidel, 230
 Jacobi, 230
 Vorkonditionierte inverse Iteration, 225, 227
 Vorkonditioniertes CG-Verfahren (PCG), 301
 Vorkonditionierung, 299, 300
Wavelet
 Koeffizienten, 534
 Zerlegung, 534
Weddle-Regel, 509

Wurzeliteration, 28
Zahldarstellung, 23
Zeilen
 permutation, 155, 201
 umformungen, 142
Zerlegung
 Cholesky, 165, 194
 der Eins, 503
 Fouriermatrix, 317
 LU, 150
 QR, 178, 182, 197, 201, 266
 QR (Aufwand), 186
 QR (Rücksubstitution), 186
 unvollständige Cholesky-, 232
Zirkulante Matrizen, 336
Zulässigkeitsbedingung, 439
Zweidimensionale diskrete Fouriertransformation, 320
Zweischrittverfahren
 Gautschis, 644

5.12
p. 693

5.12

Beispiele und Bemerkungen

L^2 -Instabilität der hierarchischen Basis, 562
 m -stellige Dezimalzahlen, 23
Über- und Unterlauf, 33
 $B = B^H$ s.p.d. mit Cholesky-Zerlegung, 223
fft
 Effizienz, 325
 Abbruch des vorkonditionierten CG-Verfahrens, 312
Abbruchkriterium
 Potenziteration, 229
 Abbruchkriterium für nicht-vorkonditioniertes CG-Verfahren, 301
 Abspaltung steifer Anteile, 662
 Adaptive explizite Einschrittverfahren für steifes Problem, 614
 Affin-Invarianz, 102
 Akkumulation von unitären Transformationen, 194
Algorithmus
 Golub-Welsch, 534
 Remes Konvergenz, 438
 Bandbreite, 177
Basis
 L^2 -Instabilität, hierarchischen , 562
 Hierarchische Zerlegung, 560
 Berechnung der Eulerschen Zahl, 14

5.12
p. 694

5.12
p. 695

Bernstein-Approximation, 516	Eigenwert	theorie, PCG, 311	Neustart von GMRES, 317
Besetzungsmuster der LU-Faktoren, 155	Arnoldi-Verfahren, 249	verkonditionierte inverse Iteration, 243	Newton
Bilddatenkompression, 269	erw. Krylov-Unterraum-Verfahren, 259	Konvergenz der Clusteringapproximation, 467	vereinfachtes Verfahren, 102
Bisektion in MATLAB:fzero, 80	Lanczos/Arnoldi, 257	Konvergenz einfacher Splittingverfahren, 659	Verfahren in 1D, 82
BLAS-Bibliothek, 130	Eingabefehler und Rundungsfehler, 28	Lösen eines Rang-1-modifizierten LGS, 199	Verfahren in 2D, 100
Blockweise Matrixmultiplikation:, 131	Eingebettete Runge-Kutta-Verfahren, 599	Lanczos-Prozess, 253	Newton-Cotes-Formeln, 524
Broyden-Verfahren für grosses nichtlineares Gleichungssystem, 117	Endlichkeit von \mathbb{M} , 24	CG, 297	Newton-Verfahren, modifiziert , 89
Broydens Quasi-Newton-Verfahren: Konvergenz, 113	Erweiterung Krylov-Unterraum-Verfahren, 259	Lanczos/Arnoldi, 257	Nichtassoziativität der Maschinenaddition, 31
CG	ESV	Lebesgue-Konstanten, 374	Nichtlineare Regression, 124
direkter Löser, 292	implizit, steifes Problem, 625	Lineare Konvergenz Iteration, 58	Normalengleichunge vs. Orthogonaltransformationsmethode, 284
CG-Konvergenz und Spektrum, 308	Exponentielfunktion	Lineare Regression bei stationären Markov-Ketten, 360	Nullabfrage
CG-Verfahren und quadratische Minimierung, 293	Auswertung, 18, 40	Lineare zeitinvariante Systeme, 358	Numerische, 31
Charakteristische Größen der IEEE Gleitpunktarithmetik, 26	Exponentielle Konvergenz der trigonometrischen Interpolation, 420	Logistische Differentialgleichung , 579	Numerische Differentiation durch Extrapolation, 381
Clusterbaum, 458	Falls $Df(x)$ nicht verfügbar, 102	Lokale Konvergenz des Newton-Verfahren, 106	Numerische Quadratur, 577
CRS-Matrixspeicherformat, 133	Fehlerschätzung für linear konvergente Iteration, 66	Lokale Konvergenz, Sekantenverfahren, 93	Operationen $\tilde{+}, \tilde{\cdot}$ nicht assoziativ, 31
DFT	FFT	LU-Faktorisierung dünnbesetzter Matrizen, 176	Optimierung der Anordnung →Fill-in, 186
Frequenzanalyse, 323	Effizienz Gleichungslöser, 345	Magnetnadel	Orbits, 569
Nichtlokalität, 547	Primzahl, 354	Präzession , 636	Orthogonalitätsverlust der Residuen, 301
Differentialgleichungen	Fill-in-Minimierung durch Umordnung, 186	Maschinengenauigkeit von MATLAB, 29	Oszillierende Interpolationspolynome, 376
Skalare, 568	Fitten	Massgeschneidertes Newton-Verfahren, 85	Pendel
Differentiation, 45	Hyperebene, 279	Matrix	Mechanisches System, 565
Differenzieren Wiederholung, 121	Linear, 273	Wilkinson, 160	Pendelgleichung, 642
Direkte Potenzierung im Unterraum, 235	Fixpunktiteration, 69	Mechanisches System	Deskriptorform, 630
Effiziente Initialisierung von Sparse-Matrizen, 134	Frequenzanalyse mit DFT, 323	Pendel, 565	Pivotelement = 0, 231
Effizienz FFT-basierter Gleichungslöser, 345	Frequenzfilterung diskreter Signale, 333	Mehrdimensionale Fixpunktiteration, 77	Pivotstrategie und Rundungsfehler, 157
Effizienz von Iterationsverfahren, 97	Gauss-Kollokationsverfahren, logistische Dgl., 621	Minimierung von C^2 -Funktion, 168	Polynom
Effizienz von FFT, 325	Gautschis Zweischrittverfahren, 668	Modifiziertes Gautschi-Verfahren, 676	Interpolation, 490
Eigenschaften von Leitwertmatrizen, 169	Gedämpftes Newtonverfahren, 109	Molekulardynamik, 653	Interpolation stückweise von Messpunkten, 486
Globale separierbare Approximation bei glatter Kernfunktion, 447	Spline quadratisch formerhaltend, Hilfskonstruktion, 510	Multiplikation	Interpolation Versagen, 484
Globale separierbare Approximation bei nichtglatter Kernfunktion, 448	stückweise, 490	Polynom, 349	Linear (Fitten), 273
GMRES und Arnoldi-Prozess, 317	stückweise kubisch monotonerhaltend, 497	monomiale Darstellung, 367	Remes-Algorithmus
Golub-Welsch Algorithmus, 534	stückweise Polynom- von Messpunkten, 486	Multiplikation, 349	Konvergenz, 438
Gradientenfluss , 634	Trigonometrische, 408	trigonometrisch Auswertung, 469	Residuum
Gravitationskräfte in Galaxien, 442	Trigonometrische analytische Funktionen, 410	Potenzmethode	Grundlage Krylov-Raum, 294
Hülle einer Matrix, 179	Tschebyschef vs. Bestapproximation, 439	Direkte, 227	Richtungsfeld, 569
Hüllenorientierte Speicherung, 180	Tschebyschef, 396	Präzession	Rundungsfehler
Halley'sche Iteration, 83	Interpolationsfehler, 387	Magnetnadel, 636	Lanczos-Prozess, 253
Harmonischer Oszillator, 656	Iteration	Primzahl-FFT, 354	Runge-Kutta
Hauptkomponentenanalyse, 267	Rayleigh-Quotienten, 232	Problem	Adaptives semi-implizites RK-ESV, steifes Problem, 628
Hermite-Interpolation, 496	Knotenanalyse eines linearen elektrischen Netzwerks, 139	Anfangswert, autonom, 568	explizite Schritte, Riccati Dgl., 583
Theorem, 386	Kollokation	steifes, Adaptives semi-implizites RK-ESV, 628	Implizite ESV, schnelle Transienten, 621
Hierarchische Basis-Zerlegung, 560	Gauss-, logistische Dgl., 621	steifes, implizites ESV, 625	Konstruktion, 581
IEEE Standard	Kompression	Probleme bei Polynomauswertung, 21	Runges Beispiel, 388
Sonderfälle, 26	Bilddaten, 269	Prozess	Satellitenbahn, 595
IEEE Standard 754 für Maschinenzahlen, 24	Kondition	Lanczos mit CG, 297	Adaptive RK-ESV, 600
Inexakte Splittingverfahren, 660	erweitertes System, 283	QR	Schrittweitensteuerung, 602
Interaktionsberechnung Vierteilchensysteme, 441	Nullstellen, 36	basiertes Lösen eines tridiagonalen Gleichungssystems, 197	Schaltkreis
Interne Binärdarstellung einer Gleitkommazahl doppelter Genauigkeit (MATLAB):, 25	Konsistenzanalyse durch Computeralgebra, 591	Orthogonalisierung, 193	steife -gleichunge Zeitbereich, 615
Interpolation	Kontraktionszahl, 310	Quadratische inverse Interpolation, 95	Schlecht konditioniertes lineares Gleichungssystem, 144
Hermite Theorem, 386	Konvergenz	Quadratisches Eigenwertproblem, 224	Schnitt von Geraden, 35
kubische Hermite-, 496	äquidistante Trapezregel, 540	Quadratur	Sekantenverfahren, 91
kubische Spline- Lokalität, 502	bereich, Newton-Verfahrens, 106	-Fehler zusammengesetzte Regeln, 538	Skalare Differentialgleichungen , 568
kubische Spline- vollständig, 502	CG-Verfahren, 304	-Fehler, Asymp. Verhalten, 534	Spline
Polynom Versagen, 484	Clusteringapproximation mit Kollokationsmatrix, 468	des Kreises, 15, 41	interpolanten, Approx. vollst. kubisch, 504
Spline quadratisch formerhaltend, 513	Einschrittverfahren, 588	Gauss-Legendre Ordnung 4, 528	Interpolation natürlich kubisch Lokalität, 502
	Exponentielle trigonometrische Interpolation, 420	Qualitätsmass für Kernapproximation, 446	Interpolation quadratisch formerhaltend, Hilfskonstruktion, 513
	Kryloverfahren, nichtsymmetrische Matrix, 319	Rayleigh-Quotienten-Iteration, 232	Interpolation quadratisch formerhaltend, 510
	rate, CG-Verfahren, 307	Reelle Nullstellen eines quadratischen Polynoms, 49	Interpolation vollständig kubisch, 502
	Remes-Algorithmus, 438	Regression	Stückweise

5.12

p. 699

<p>kubische Hermite-Interpolation, 496 Polynominterpolation, 490 Stückweise Polynominterpolation von Messpunkten, 486 Stabilität LU-Zerlegung, 162 von Algorithmus A aus Bsp. 24, 48 Stabilitätsfunktionen, 611 Standardintegatoren für oszillierische Differentialgleichung, 666 Steife Schaltkreisgleichungen im Zeitbereich, 615 Strahlungstransport, 350 Summation der Harmonischen Reihe, 21 Symplektische Integratoren und variable Schrittweite, 647 Symplektisches Eulerverfahren, 644 Symplektizität der Pendelgleichung, 640 Tensorprodukt-Tschebyscheff-Interpolation auf variablen Rechtecken, 454 Tensorprodukt-Tschebyscheff-Interpolation auf zulässigen Rechtecken, 453 Theorem für Hermite-Interpolation, 386 Toeplitzloser, Superschnell, 363 Totalpivotsuche, 162 Trigonometrische Interpolation, 408 analytische Funktionen, 410 Tschebyscheff-Interpolation, 396 Unitäre Ähnlichkeitstransformation auf Tridiagonalgestalt, 219 Unterschiedliches Verhalten expliziter und impliziter Integratoren, 606 Verfahren</p>	<p>Adaptives semi-implizites RK-ESV, steifes Problem, 628 Arnoldi, 249 CG (direkter Löser), 292 CG (Konvergenz), 304 CG (Konvergenzrate), 307 Einschritt, Konvergenz, 588 Erweiterung Krylov-Uerraum, 259 ESV adaptiv, explizit, steifes Problem, 614 ESV implizit, steifes Problem, 625 EW/EV, 219 Runge-Kutta ESV, schnelle Transienten, 621 Runge-Kutta, Konstruktion, 581 Versagen des gedämpften Newton-Verfahrens, 110 Versagen von Krylov-Raum basierten iterativen Lösern, 318 Vorkommen von Clustern in Partitionsrechecken, 465 Vorkonditionierer Gauss-Seidel, 241 Jacobi-, 240 Vorkonditionierung, 310 Wurzeliteration, 28, 62 Zahldarstellung durch Exponent und Mantisse, 23 Zerlegung Block-LU-, 156 Hierarchische Basis-, 560 Teil-LU, 156 Zerlegung der Fourier-Matrix, 328 Zweidimensionale diskrete Fouriertransformation, 331</p>	<p>Funktion Analytisch, 416 konkav, 489 konvex, 489 Haar-Wavelet, 551 Integral quadratisches erstes, 635 Inverse Pseudo-, 273 Kondition AWP, 573 Eigenwert, 218 Spektrale, 239 Konkav Daten, 488 Funktion, 489 Konsistent Fixpunktiteration, 68 Konsistenz Iterationsverfahren, 55 Ordnung diskrete Evolution, 590 Konvergenz, 54 p-te Ordnung, 61 global, 55 Linear, 57 lokal, 55 Ordnung, 61 Ordnung von ESV, 590 Konvex Daten, 488 Evolution, 634 Norm, 56, 137 Energie-, 291 Frobeniusnorm, 266 Numerischer Algorithmus, 47 Pfeilmatrix, 163 Polynom Bernstein, 519 Interpolation Tensorprodukt, 446 Lagrange verallg., 372 Laurent, 403 Legendre, 530 Tschebyscheff, 391 Problem Anfangswert, Lösung, 566 Gut konditioniertes, 34 Mathematisch, 34 Pseudoinverse, 273 Quadratisches erstes Integral, 635 Raum Spline-, 499 Rayleigh-Quotient, 226 Rundungsfehler bei Potenzmethoden, 229 Runge-Kutta ES-Verfahren, 582 Verfahren, 582 Singulärwert, 262 zerlegung, 262 Spektrum, 214</p>
<p>A-Stabilität, 620 Analytische Funktion, 416 Anfangswert Problem, Lösung, 566 Auslöschung, 38 AWP Einschrittverfahren, 580 Kondition, 573 Verfahren explizit, 580 Verfahren implizit, 580 Bézier-Kurven, 521 Bernstein-Polynome, 519 Cluster Baum, 456 Daten konkav, 488 konvex, 488 monoton, 487 Diagonaldominanz, 169</p>	<p>Differenzenquotient, 45 Diskrete Faltung, 348 Fouriertransformation, 323 Eigenraum, 214 Eigenvektor, 214 Eigenwert, 214 Evolution Diskrete, Konsistenzordnung, 590 Nichtexpansivität, 634 Faltung diskrete, 348 Fehler Relativer, 18 Fill-In, 177 Fixpunkt abstossend, 76 anziehend, 76 Fouriertransformation, 323 Frobeniusnorm, 266</p>	<p>5.12 p. 701 5.12 p. 702 5.12 p. 703</p> <p>Funktion, 489 Krylov-Uerraum, 245 L-Stabilität, 622 Landau-Notation, 39 Laurent-Polynome, 403 Legendre-Polynom, 530 Maschinengenauigkeit, 29 Maschinenzahl, 24 Matrix Dünnbesetzt, 131 Diagonal, 152 Diagonaldominant, 169 Hülle, 178 Kondition, 144 Kondition allg., 274 normalisiert, 152 obere Dreiecks, 152 Orthogonal, 188 Pseudoinverse, 273 Rang, 141 s.p.d. 168 symmetrisch positiv definit, 168 Toeplitz, 358 Unitär, 188 untere Dreiecks, 152 Zirkulant, 349 Matrixnorm, 74, 138 Monoton Daten, 487 Nichtexpansivität Spline Raum, 499 Stabiler Algorithmus, 47 Stabilität A-, 620 Gebiet bei ESV, 609 L-, 622 Struktursymmetrie, 178 SVD, 262 Symmetrisches Einschrittverfahren, 649 Tensorprodukt Polynominterpolation, 446 Toeplitzmatrix, 358 Transformation Fourier, 323 Trigonometrisches Polynom, 402 Tschebyscheff-Polynome, 391 Verfahren AWP, explizit, 580 AWP, implizit, 580 Einschritt, AWP, 580 ESV, Runge-Kutta, 582 Runge-Kutta, 582 Vielfachheit geometrische, 214 Wavelet Haar, 551 Zerlegung Singulärwert, 262</p>

Definitionen und Konzepte

MATLAB-CODE-Fragmente

```
bisect , 80
sinetrans, 339
symamd, 186
symrcm, 186
bisect
    Kapitel_2.NichtlineareGleichungen/
        Iterationsverfahren/
            bisect.m, 80
blockgs
    Kapitel_3.NumerischeLineareAlgebra/
        3.2_Numerische_Loesung_linearer_Gleichungssysteme/m, 154
        blockgs.m, 149
broyden
    Kapitel_2.NichtlineareGleichungen/
        Newton-Verfahren/Broyden-Verfahren/
            fastbroyd.m , 116
dampnewton
    Kapitel_2.NichtlineareGleichungen/
        Newton-Verfahren/
            dampnewton.m, 109
gn
    Kapitel_3.NumerischeLineareAlgebra/
        3.1_Grundbegriffe_und_operationen/
            spinit.m, 135
Adaptives ESV, steifes Problem, 615
arnoldidev, 249
arnoldi, 247
bernstein, 520
bicgstab, 317
blockgs, 149
boxbastohwf, 554
broyden, 116
cg, 301
cholinc, 243
cholupdate, 206
chol, 172, 186
cond, 146
conv, 354
costrans, 347
ct_rect, 457
dampnewton, 109
divide, 459
dorthp, 430
eigs, 260
eig, 221, 223
evaliptrig, 407
evlortho, 431
expeval, 18
    Kapitel_1.ComputerArithmetics/
        ExponentialFunction/
            expeval_simple.m, 18
fftsolve, 345
```

```
Kapitel_2.NichtlineareGleichungen/
    NichtlineareAusgleichsprobleme/
        gaussnewton.m , 123
lupattern
    Kapitel_3.NumerischeLineareAlgebra/
        3.2_Numerische_Loesung_linearer_Gleichungssysteme/m, 155
        lupattern.m, 155
lurec
    Kapitel_3.NumerischeLineareAlgebra/
        3.2_Numerische_Loesung_linearer_Gleichungssysteme/m, 154
        newton
            Kapitel_2.NichtlineareGleichungen/
                Newton-Verfahren/
                    newton.m, 102
secant
    Kapitel_2.NichtlineareGleichungen/
        Iterationsverfahren/
            secant.m, 91
spinit
    fft, 323
    fzero, 80
    gallery, 235, 238, 243, 250, 254
    gaussQuad, 534
    gmres, 316
    gn, 123
    hwftoboxbas, 555
    icostrans, 347
    ifft, 323
    ipoleval, 380
    lanczos, 253
    legendre, 531
    lsqsvd, 278
    lsqtotal, 286
    lurec, 154
    lu, 160, 177
    minres, 316
    newton, 102
    ode15s, 628
    ode23s, 628
    ode23, 599
    ode45, 599, 615, 660
    odeset, 599, 615, 628, 660
    partition, 459
    pcg, 300, 313
    pchip, 497
    planerot, 191
    polyfit, 274, 380
    polyval, 380
    qmr, 318
    qrupdate, 203
```

<p>qr, 193 quadl, 546 quadzero, 51 Kapitel_1.ComputerArithmetics/ QuadZero/ quadzero.m, 51 quad, 546 qzfool, 51 Kapitel_1.ComputerArithmetics/ QuadZero/ qzfool.m, 51 qztest Kapitel_1.ComputerArithmetics/ QuadZero/ qztest.m, 51 remes, 438 roudchol, 206 rqui, 232 sa1, 165 sa2, 165 sa3, 167 schur, 221 secant, 91 sinetrans, 341 sinft2d, 344 smw, 200 sparse, 134 spdiags, 134 speye, 134 spline, 502 p. 705 spones, 134</p> <p>Näherung für e, 14 Kapitel_1.ComputerArithmetics/ Calculate_EulerNumber/ Calculate_EulerNumber.m, 14 Niedrigrang-Bestapproximation, 271 Numerische Differentiation, 45 Kapitel_1.ComputerArithmetics/ NumericDifferentiation/ NumericDifferentiation.m, 45 Parameter der Gleitkommaarithmetik, 27 Plotten von Funktionensystemen, 476 Polynomauswertung, 22 Kapitel_1.ComputerArithmetics/ EvaluationOfPolynom/ pvnst.m, 22</p> <p>Rückwärtsrekursion für Besselfunktionen, 482 Rekursive Gaußelimination, 149 Rekursive Gaußelimination mit Pivotsuche, 159 Rekursive LU-Zerlegung, 154 Summation rückwärts Kapitel_1.ComputerArithmetics/ SummationHarmonic/ SummationHarmonic.m, 21 Unterlauf, 33</p>	<p>spowit, 234 spy, 186 squareroot, 28 Kapitel_1.ComputerArithmetics/ SquareRoot/ squareroot.m, 28 svds, 263 svd, 263 symamd, 186 symrcm, 186 tic,toc, 135, 345 toeplitz, 361 tril, 240 triu, 240 Abfrage der Maschinengenauigkeit, 30 Adaptive Rückwärtsrekursion für Besselfunktion 484 Berechnung von pi Instabile, 16 Kapitel_1.ComputerArithmetics/ CircleQuadrature/ Approx_PI_instable.m, 16 Stabile, 43 Kapitel_1.ComputerArithmetics/ CircleQuadrature/ Approx_PI_stable.m, 43 Demonstration von Rundungsfehlern, 29 Givens-Rotation, 191 linsolve, 174</p>
---	---

5.12

p. 707

Symbolverzeichnis

$O(\epsilon)$, 39	$\ \cdot\ $, 56, 137
$O(n)$, 129	$\rho_A(u)$, 226
$R_{\epsilon}(m, n)$, 266	\hat{x} , 29
eps, 29	$\ \mathbf{x}\ _1$, 56
I_T , 371	$\ \mathbf{x}\ _2$, 56
$K_l(A, z)$, 245	$\ \mathbf{x}\ _\infty$, 56
$\ A\ _F^2$, 266	
$\ \mathbf{x}\ _A$, 291	
$\ f\ _{L^\infty(I)}$, 373	
$\ f\ _{L^1(I)}$, 373	
$\ f\ _{L^2(I)}^2$, 373	
P_k , 367	
T_n , 404	
A^+ , 273	
M , 24	
ϵ_r , 18	
$\kappa(A)$, 239	
κ_{abs} , 34	
κ_{rel} , 35	
rd, 28	

Literaturverzeichnis

- [1] M. ABRAMOWITZ UND I. STEGUN, *Handbook of Mathematical Functions*, Dover Publications, New York, 1970.
- [2] P. AMESTOY, T. DAVIS UND I. DUFF, *An approximate minimum degree ordering algorithm*, SIAM Journal on Matrix Analysis and Applications, 17 (1996), S. 886–905.
- [3] R. BARRETT, M. BERRY, T. F. CHAN, J. DEMMEL, J. DONATO, J. DONGARRA, V. EIJKHOUT, R. POZO, C. ROMINE UND H. V. DER VORST, *Templates for the Solution of Linear Systems: Building Blocks for Iterative Methods*, SIAM, Philadelphia, PA, 2nd ed., 1994.
- [4] S. BÖRM, L. GRASEDYCK UND W. HACKBUSCH, *Introduction to hierarchical matrices with applications*, Engineering Analysis with Boundary Elements, 27 (2003), S. 405–422.
- [5] R. BRENT, C. PERCIVAL UND P. ZIMMERMANN, *Error bounds on complex floating-point multiplication*, Math. Comp., (2007).

- [6] Q. CHEN UND I. BABUSKA, *Approximate optimal points for polynomial interpolation of real functions in an interval and in a triangle*, Comp. Meth. Appl. Mech. Engr., 128 (1995), S. 405–417.
- [7] C. CHUI, *Wavelets and spline interpolation*, in Advances in numerical analysis. Vol. 2: Wavelets, subdivision algorithms, and radial basis functions, Proc. 4th Summer Sch., Lancaster/UK 1990, Clarendon Press, oxford ed., 1992, S. 1–35.
- [8] D. COPPERSMITH UND T. RIVLIN, *The growth of polynomials bounded at equally spaced points*, SIAM J. Math. Anal., 23 (1992), S. 970–983.
- [9] P. DAVIS, *Interpolation and Approximation*, Dover, New York, 1975.
- [10] P. DEUFLHARD, *Newton Methods for Nonlinear Problems*, Band 35 in Springer Series in Computational Mathematics, Springer, Berlin, 2004.
- [11] P. DEUFLHARD UND F. BORNEMANN, *Numerische Mathematik II*, DeGruyter, Berlin, 2 ed., 2002.
- [12] P. DEUFLHARD UND A. HOHMANN, *Numerische Mathematik I*, DeGruyter, Berlin, 3 ed., 2002.
- [13] P. DUHAMEL UND M. VETTERLI, *Fast fourier transforms: a tutorial review and a state of the art*, Signal Processing, 19 (1990), S. 259–299.
- [14] A. DUTT UND V. ROKHLIN, *Fast Fourier transforms for non-equispaced data II*, Appl. Comput. Harmon. Anal., 2 (1995), S. 85–100.
- [15] F. FRITSCH UND R. CARLSON, *Monotone piecewise cubic interpolation*, SIAM J. Numer. Anal., 17 (1980), S. 238–246.
5.12
p. 709
- [16] M. GANDER, W. GANDER, G. GOLUB UND D. GRUNTZ, *Scientific Computing: An introduction using MATLAB*, Springer, 2005. In Vorbereitung.
5.12
p. 711
- [17] W. GANDER UND W. GAUTSCHI, *Adaptive quadrature - revisited*, BIT, 40 (2000), S. 84–101.
- [18] J. GILBERT, C. MOLER UND R. SCHREIBER, *Sparse matrices in MATLAB: Design and implementation*, SIAM Journal on Matrix Analysis and Applications, 13 (1992), S. 333–356.
- [19] G. GOLUB UND C. VAN LOAN, *Matrix computations*, John Hopkins University Press, Baltimore, London, 2nd ed., 1989.
- [20] L. GREENGARD UND V. ROKHLIN, *A new version of the fast multipole method for the Laplace equation in three dimensions*, Acta Numerica, (1997), S. 229–269.
- [21] W. HACKBUSCH, *Iterative Lösung großer linearer Gleichungssysteme*, B.G. Teubner–Verlag, Stuttgart, 1991.
- [22] W. HACKBUSCH UND S. BÖRM, *Data-sparse approximation by adaptive \mathcal{H}^2 -matrices*, Computing, 69 (2002), S. 1–35.
- [23] E. HAIRER, C. LUBICH UND G. WANNER, *Geometric numerical integration*, Band 31 in Springer Series in Computational Mathematics, Springer, Heidelberg, 2002.
- [24] —, *Geometric numerical integration illustrated by the Störmer-Verlet method*, Acta Numerica, 12 (2003), S. 399–450.
- [25] E. HAIRER, S. NORSETT UND G. WANNER, *Solving Ordinary Differential Equations I. Nonstiff Problems*, Springer-Verlag, Berlin, Heidelberg, New York, 2 ed., 1993.
5.12
p. 712

- [26] E. HAIRER UND G. WANNER, *Solving Ordinary Differential Equations II. Stiff and Differential-Algebraic Problems*, Springer-Verlag, Berlin, Heidelberg, New York, 1991.
- [27] C. HALL UND W. MEYER, *Optimal error bounds for cubic spline interpolation*, J. Approx. Theory, 16 (1976), S. 105–122.
- [28] M. HANKE-BOURGEOIS, *Grundlagen der Numerischen Mathematik und des Wissenschaftlichen Rechnens*, Mathematische Leitfäden, B.G. Teubner, Stuttgart, 2002.
- [29] N. HIGHAM, *Accuracy and Stability of Numerical Algorithms*, SIAM, Philadelphia, PA, 2 ed., 2002.
- [30] M. HOCHBRUCK UND C. LUBICH, *A Gautschi-type method for oscillatory second-order differential equations*, Numer. Math., 83 (1999), S. 403–426.
- [31] D. MCALLISTER UND J. ROULIER, *An algorithm for computing a shape-preserving osculatory quadratic spline*, ACM Trans. Math. Software, 7 (1981), S. 331–347.
- [32] J. MELENK, *Vorlesungsaufzeichnungen numerik*, skriptum, Universität Regensburg, 2003.
- [33] K. NEYMEYR, *A geometric theory for preconditioned inverse iteration applied to a subspace*, Tech. Report 130, SFB 382, Universität Tübingen, Tübingen, Germany, November 1999. Submitted to Math. Comp.
- [34] —, *A geometric theory for preconditioned inverse iteration: III. Sharp convergence estimates*, Tech. Report 130, SFB 382, Universität Tübingen, Tübingen, Germany, November 1999.
- [35] M. OVERTON, *Numerical Computing with IEEE Floating Point Arithmetic*, SIAM, Philadelphia, PA, 2001.
- [36] A. D. H.-D. QI, L.-Q. QI UND H.-X. YIN, *Convergence of Newton's method for convex best interpolation*, Numer. Math., 87 (2001), S. 435–456.
- [37] C. RADER, *Discrete Fourier transforms when the number of data samples is prime*, Proceedings of the IEEE, 56 (1968), S. 1107–1108.
- [38] R. RANNACHER, *Einführung in die numerische mathematik*. Vorlesungsskriptum Universität Heidelberg, 2000. <http://gaia.iwr.uni-heidelberg.de/>.
- [39] J. RIVLIN, *The Chebyshev Polynomials*, Wiley-Interscience, 1984.
- [40] V. ROKHLIN, *Rapid solution of integral equations of classical potential theory*, J. Comp. Phys., 60 (1985), S. 187–207.
- [41] H. SCHWARZ, *Methode der finiten Elemente*, Band 47 in Leitfäden der angewandten Mathematik und Mechanik, Teubner-Verlag, Stuttgart, 3rd ed., 1991.
- [42] M. STEWART, *A superfast toeplitz solver with improved numerical stability*, SIAM J. Matrix Analysis Appl., 25 (2003), S. 669–693.
- [43] J. STOER, *Einführung in die Numerische Mathematik*, Heidelberger Taschenbücher, Springer, 4 ed., 1983.
- [44] F. TISSEUR UND K. MEERBERGEN, *The quadratic eigenvalue problem*, SIAM Review, 43 (2001), S. 235–286.
- [45] H. WERNER UND R. SCHABACK, *Praktische Mathematik II*, Hochschulktext, Springer, Berlin, 1972.

5.12

p. 713

5.12

p. 714